



TUGAS AKHIR (RC184803)

**MODIFIKASI PERENCANAAN STRUKTUR GEDUNG
FAKULTAS EKONOMI DAN BISNIS UNIVERSITAS
MUHAMMADIYAH PROF. DR. HAMKA MENGGUNAKAN
ELEMEN PRACETAK DAN *HOLLOW CORE SLAB* SESUAI
SNI 2847:2019**

AJENG LARASATI
NRP. 03111640000027

Dosen Pembimbing I
Dr. techn. Pujo Aji, ST., MT.

Dosen Pembimbing II
Prof. Dr. Ir. I Gusti Putu Raka, DEA.

DEPARTEMEN TEKNIK SIPIL
Fakultas Teknik Sipil, Perencanaan, dan Kebumihan
Institut Teknologi Sepuluh Nopember
Surabaya
2020



TUGAS AKHIR (RC184803)

**MODIFIKASI PERENCANAAN STRUKTUR GEDUNG
FAKULTAS EKONOMI DAN BISNIS UNIVERSITAS
MUHAMMADIYAH PROF. DR. HAMKA MENGGUNAKAN
ELEMEN PRACETAK DAN *HOLLOW CORE SLAB* SESUAI
SNI 2847:2019**

AJENG LARASATI
NRP. 0311164000027

Dosen Pembimbing I
Dr. techn. Pujo Aji, ST., MT.

Dosen Pembimbing II
Prof. Dr. Ir. I Gusti Putu Raka, DEA.

DEPARTEMEN TEKNIK SIPIL
Fakultas Teknik Sipil, Perencanaan, dan Kebumihan
Institut Teknologi Sepuluh Nopember
Surabaya
2020

“Halaman ini sengaja dikosongkan...”



FINAL PROJECT (RC184803)

**MODIFICATION DESIGN OF FACULTY OF ECONOMIC
AND BUSINESS PROF. DR. HAMKA MUHAMMADIYAH
UNIVERSITY BUILDING USING PRECAST CONCRETE
AND HOLLOW CORE SLAB AS STATED IN SNI 2847:2019**

AJENG LARASATI
NRP. 0311164000027

Academic Supervisor I
Dr. techn. Pujo Aji, ST., MT.

Academic Supervisor II
Prof. Dr. Ir. I Gusti Putu Raka, DEA.

CIVIL ENGINEERING DEPARTMENT
Faculty of Civil, Planning, and Geo Engineering
Sepuluh Nopember Institute of Technology
Surabaya
2020

“Halaman ini sengaja dikosongkan...”

**MODIFIKASI PERENCANAAN STRUKTUR GEDUNG
FAKULTAS EKONOMI DAN BISNIS UNIVERSITAS
MUHAMMADIYAH PROF. DR. HAMKA
MENGUNAKAN ELEMEN PRACETAK DAN
*HOLLOW CORE SLAB***

TUGAS AKHIR

Diajukan untuk Memenuhi Salah Satu Syarat
Memperoleh Gelar Sarjana Teknik
pada
Bidang Studi Struktur
Program Studi S-1 Departemen Teknik Sipil
Fakultas Teknik Sipil, Perencanaan, dan Kebumihan
Institut Teknologi Sepuluh Nopember

Oleh:

AJENG LARASATI
NRP. 0311164000027

Disetujui oleh Pembimbing Tugas Akhir:

1. Dr. techn. Pujo Aji, ST., MT.  (Pembimbing I)
2. Prof. Dr. Ir. I Gusti ~~Purno Raka~~  (Pembimbing II)



SURABAYA
AGUSTUS 2020

“Halaman ini sengaja dikosongkan...”

**MODIFIKASI PERENCANAAN STRUKTUR GEDUNG
FAKULTAS EKONOMI DAN BISNIS UNIVERSITAS
MUHAMMADIYAH PROF. DR. HAMKA
MENGUNAKAN ELEMEN PRACETAK DAN
HOLLOW CORE SLAB SESUAI SNI 2847:2019**

Nama Mahasiswa : Ajeng Larasati
NRP : 0311164000027
Departemen : Teknik Sipil FTSPK – ITS
Dosen : Dr. techn. Pujo Aji, ST., MT.
Pembimbing : Prof. Dr. Ir. I Gusti Putu Raka, DEA.

ABSTRAK

Gedung Fakultas Ekonomi dan Bisnis Universitas Muhammadiyah Prof. Dr. Hamka merupakan gedung 9 lantai dengan basement yang pada kondisi sebenarnya direncanakan menggunakan beton konvensional (cast in-situ). Dalam tugas akhir ini akan dilakukan modifikasi perencanaan gedung tersebut menjadi 15 lantai dengan basement dan elemen struktur bangunan akan direncanakan menggunakan metode beton pracetak. Elemen-elemen struktur yang akan dimodifikasi menggunakan beton pracetak adalah kolom, balok, dan pelat. Elemen pelat pada tugas akhir ini akan dimodifikasi menggunakan hollow core slab. Pemilihan hollow core slab pada tugas akhir ini didasari oleh adanya celah menerus pada hollow core slab yang dapat meningkatkan efisiensi yaitu berkurangnya berat sendiri pada pelat dan berkurangnya biaya pelaksanaan konstruksi. Sedangkan untuk sistem bangunan yang dipakai pada gedung ini adalah sistem ganda (dual system).

Perencanaan elemen beton pracetak pada tugas akhir ini mengacu pada beberapa pedoman dan peraturan seperti SNI 2847:2019, SNI 1726:2019, PCI Handbook, dan beberapa referensi lainnya. Metode penyambungan antar elemen pracetak yang digunakan adalah sambungan mekanis

menggunakan produk Modix Rebar Coupler dari Peikko Group dan NMB Splice Sleeve.

Kata Kunci: Beton Pracetak, Hollow Core Slab, Sistem Ganda, Rebar Couplers, Splice Sleeve

**MODIFICATION DESIGN OF FACULTY OF
ECONOMIC AND BUSINESS PROF. DR. HAMKA
MUHAMMADIYAH UNIVERSITY BUILDING USING
PRECAST CONCRETE AND HOLLOW CORE SLAB
AS STATED IN SNI 2847:2019**

Student Name : Ajeng Larasati
Student ID : 0311164000027
Departement : Teknik Sipil FTSPK – ITS
Academic : Dr. techn. Pujo Aji, ST., MT.
Supervisor : Prof. Dr. Ir. I Gusti Putu Raka, DEA.

ABSTRACT

Faculty of Economic and Business Prof. Dr. Hamka Muhammadiyah University is a 9 story bulding that built with conventional concrete method (cast in-situ). In this final thesis, Faculty of Economic and Business Prof. Dr. Hamka Muhammadiyah University bulding will be modified into a 15 story building using precast concrete method on its column, beam, and slab. The slab element will be modified using hollow core slab. The hollow core slab is chosen due to its continuous gap within its cross section which therefore will reduce the weight of itself and also will increase the cost efficiency. The modified building will be designed using dual system.

The design of this building will refer to several literatures and codes such as SNI 2847:2019, SNI 1726:2019, PCI Handbook, and the other corelating references. The connections of the precast elements will be using mechanical connection Modix Rebar Coupler from Peikko Group and NMB Splice Sleeve.

Keywords: Precast Concrete, Hollow Core Slab, Dual System, Splice Sleeve

KATA PENGANTAR

Puji syukur ke hadirat Tuhan Yang Maha Esa karena atas berkat, rahmat, dan kasih karunia-Nya penulis dapat menyelesaikan draft tugas akhir ini dengan baik dan tepat waktu.

Tugas akhir yang berjudul “Modifikasi Perencanaan Struktur Gedung Fakultas Ekonomi dan Bisnis Universitas Muhammadiyah Prof. Dr. Hamka Menggunakan Elemen Pracetak dan *Hollow Core Slab* Sesuai SNI 2847:2019” ini tidak dapat terealisasikan dengan baik tanpa bantuan-bantuan dari berbagai macam pihak. Oleh karena itu, penulis ingin mengucapkan terima kasih yang sebesar-besarnya kepada:

1. Dr. techn. Pujo Aji, ST., MT. dan Prof. Dr. Ir. I Gusti Putu Raka, DEA selaku dosen pembimbing penyusunan tugas akhir ini.
2. Orang tua penulis yang selalu mendukung dan mendoakan.
3. Rekan-rekan Departemen Teknik Sipil yang telah memberi banyak bantuan dan masukan dalam penyusunan proposal tugas akhir ini.

Penulis menyadari bahwa masih banyak kekurangan dalam penyusunan draft tugas akhir ini. Maka, kritik dan saran yang membangun sangat penulis harapkan. Semoga draft tugas akhir ini dapat memberi manfaat bagi pembacanya.

Surabaya, Agustus 2020

Penulis

DAFTAR ISI

HALAMAN JUDUL.....	i
TITTLE PAGE.....	iii
ABSTRAK.....	vii
ABSTRACT.....	ix
KATA PENGANTAR	x
DAFTAR ISI.....	xi
DAFTAR GAMBAR	xvi
DAFTAR TABEL.....	xx
BAB I PENDAHULUAN	1
1.1. Latar Belakang	1
1.2. Perumusan Masalah.....	3
1.2.1. Masalah Utama.....	3
1.2.2. Detail Masalah.....	3
1.3. Tujuan	4
1.3.1. Tujuan Utama.....	4
1.3.2. Tujuan Detail.....	4
1.4. Batasan Masalah.....	5
1.5. Manfaat	5
BAB II TINJAUAN PUSTAKA.....	7
2.1. Umum.....	7
2.2. Beton Pracetak.....	7
2.3. Sistem Struktur Gedung	8
2.4. Konstruksi Tahan Gempa.....	10
2.5. Elemen Struktur Beton Pracetak	11
2.5.1. Pelat Pracetak	11
2.5.2. Balok Pracetak.....	12
2.5.3. Kolom Pracetak	13
2.6. Dinding Geser (<i>Shear Wall</i>).....	14
2.7. Sambungan Beton Pracetak.....	15
2.7.1. Sambungan Kering dengan Menggunakan Baut	16

2.7.2.	Sambungan Kering dengan Menggunakan Las ..	16
2.7.3.	Sambungan Basah dengan Cor di Tempat.....	17
2.8.	Pengangkatan dan Metode <i>Erection</i> Beton Pracetak..	18
2.8.1.	Pengangkatan Elemen Beton Pracetak	18
2.8.2.	Metode <i>Erection</i> Beton Pracetak.....	20
2.9.	<i>Basement</i>	22
2.9.1	<i>Sheet Pile Wall</i>	22
2.9.2	<i>Soldier Pile Wall</i>	23
2.9.3	<i>Contiguous Bored Pile Wall</i>	23
2.9.4	<i>Secant Pile Wall</i>	24
2.9.5	<i>Diaphragm Wall</i>	24
2.10.	Pondasi	24
2.10.1.	Pondasi Dangkal	25
2.10.2.	Pondasi Dalam.....	27
BAB III METODOLOGI		30
3.1.	Umum	30
3.2.	Bagan Alir Perencanaan	30
3.3.	Pengumpulan Data.....	31
3.3.1.	Data Awal.....	31
3.3.2.	Data Modifikasi	32
3.4.	Peraturan dan Pedoman	33
3.5.	Perencanaan Struktur Sekunder.....	33
3.5.1.	Perencanaan Balok Anak.....	33
3.5.2.	Perencanaan Tangga	33
3.5.3.	Perencanaan dan Kontrol <i>Hollow Core Slab</i> ..	34
3.6.	<i>Preliminary Design</i>	37
3.6.1.	Perencanaan Dimensi <i>Hollow Core Slab</i>	37
3.6.2.	Perencanaan Dimensi Balok	38
3.6.3.	Perencanaan Dimensi Kolom	38
3.6.4.	Perencanaan Dimensi Dinding Geser	39
3.7.	Pembebanan.....	39
3.7.1.	Beban Mati	39

3.7.2.	Beban Hidup.....	40
3.7.3.	Beban Gempa	40
3.7.4.	Kombinasi Pembebanan.....	50
3.8.	Permodelan dan Analisa Struktur.....	51
3.8.1.	Penggunaan Analisa Struktur	51
3.8.2.	Perhitungan Gaya Dalam	51
3.8.3.	Kontrol Permodelan Struktur	51
3.9.	Perencanaan Struktur Primer.....	56
3.9.1.	Penulangan Balok.....	56
3.9.2.	Penulangan Kolom	61
3.9.3.	Perencanaan dan Penulangan Dinding Geser.....	63
3.10.	Perencanaan Sambungan.....	65
3.10.1.	Sambungan <i>Base Plate</i> – Kolom atau Kolom – Kolom	67
3.10.2.	Sambungan Balok – Kolom	68
3.10.3.	Sambungan Balok Induk – Balok Anak	69
3.10.4.	Sambungan Balok – Pelat	70
3.11.	Perencanaan <i>Basement</i>	71
3.12.	Perencanaan Pondasi	71
3.13.1.	Daya Dukung Tiang Pancang Vertikal.....	71
3.13.2.	Perhitungan Jumlah Tiang Pancang	72
3.14.	Metode Pelaksanaan Konstruksi Gedung.....	73
3.15.	Gambar Teknik.....	76
BAB IV	PEMBAHASAN.....	78
4.1.	Perencanaan Struktur Sekunder	78
4.1.1.	Umum.....	78
4.1.2.	Perencanaan Tangga.....	78
4.1.3.	Perencanaan Balok Bordes.....	88
4.1.4.	Perencanaan <i>Hollow Core Slab</i>	92
4.1.5.	Perencanaan Pelat Basement	100
4.1.6.	Perencanaan Balok Anak	109
4.1.7.	Perencanaan Lift.....	131
4.2.	<i>Preliminary Design</i>	133
4.2.1.	Perencanaan Dimensi Balok Induk	133

4.2.2.	Perencanaan Dimensi Kolom	134
4.2.3.	Perencanaan Dimensi Dinding Geser	139
4.3.	Permodelan dan Analisa Struktur	140
4.3.1.	Umum	140
4.3.2.	Permodelan Struktur	140
4.3.3.	Pembebanan Gravitasi	141
4.3.4.	Pembebanan Gempa Dinamis.....	143
4.3.5.	Kontrol Waktu Getar Alami Fundamental ...	147
4.3.6.	Kontrol Gaya Geser Dasar (<i>Base Shear</i>)	148
4.3.7.	Kontrol Partisipasi Massa	152
4.3.8.	Kontrol Simpangan (<i>Drift</i>)	153
4.3.9.	Kontrol <i>Dual System</i>	156
4.3.10.	Kontrol Pengaruh P-Delta	157
4.3.11.	Hasil Analisa Struktur	159
4.4.	Perencanaan Struktur Primer	162
4.4.1.	Umum	162
4.4.2.	Perencanaan Balok Induk	163
4.4.3.	Perencanaan Kolom.....	196
4.4.4.	Perencanaan Dinding Geser (<i>Shear Wall</i>)	209
4.5.	Perencanaan Sambungan	220
4.5.1.	Umum	220
4.5.2.	Perencanaan Konsol pada Elemen Pracetak	221
4.5.3.	Perencanaan Sambungan Balok – Kolom.....	225
4.5.4.	Perencanaan Sambungan Balok Anak – Balok Induk	230
4.5.5.	Perencanaan Sambungan Balok – Plat	234
4.5.6.	Perencanaan Sambungan Kolom – Kolom ...	234
4.6.	Metode Pelaksanaan	236
4.6.1.	Umum	236
4.6.2.	Transportasi Elemen Beton Pracetak	236
4.6.3.	Metode <i>Erection</i>	237
4.6.4.	Pengangkatan Elemen Pracetak.....	237
4.7.	Perencanaan Struktur Bawah.....	238
4.7.1.	Umum	238

4.7.2.	Perencanaan Pondasi Tiang Pancang	238
4.7.3.	Perencanaan Poer	263
4.7.4.	Perencanaan Dinding Penahan Tanah	274
4.7.5.	Perencanaan Sloof	281
4.7.6.	Perencanaan Tusuk Konde	284
BAB V PENUTUP		286
5.1.	Rangkuman Perencanaan	286
5.2.	Saran	288
DAFTAR PUSTAKA		290
LAMPIRAN		

DAFTAR GAMBAR

Gambar 1.1 Tampak Gedung Fakultas Ekonomi dan Bisnis, UHAMKA	3
Gambar 2.1 Deformasi Akibat Beban Lateral pada Sistem Rangka, Dinding Struktural, dan <i>Dual System</i>	10
Gambar 2.2 <i>Hollow Core Slab</i>	11
Gambar 2.3 <i>Solid Flat Slab</i>	12
Gambar 2.4 <i>Double Tees Slab</i>	12
Gambar 2.5 <i>Rectangular Beam</i>	13
Gambar 2.6 <i>L-Shaped Beam</i>	13
Gambar 2.7 <i>Inverted Tee Beam</i>	13
Gambar 2.8 <i>Single Storey dan Multi Storey Column</i>	14
Gambar 2.9 Sambungan Menggunakan Baut	16
Gambar 2.10 Sambungan Menggunakan Las	17
Gambar 2.11 Sambungan dengan Cor di Tempat	18
Gambar 2.12 (a) Empat Titik Angkat pada Pelat Pracetak (b) Delapan Titik Angkat pada Pelat Pracetak	19
Gambar 2.13 Pengangkatan Balok Pracetak	19
Gambar 2.14 Pengangkatan Kolom Pracetak	20
Gambar 2.15 Metode <i>Erection</i> Arah Vertikal	21
Gambar 2.16 Metode <i>Erection</i> Arah Horizontal	21
Gambar 2.17 <i>Sheet Pile Wall</i>	23
Gambar 2.18 <i>Soldier Pile Wall</i>	23
Gambar 2.19 <i>Contiguous Bored Pile Wall</i>	23
Gambar 2.20 <i>Secant Pile Wall</i>	24
Gambar 2.21 <i>Diaphragm Wall</i>	24
Gambar 2.22 Pondasi Telapak	26
Gambar 2.23 Pondasi Rakit	26
Gambar 2.24 Pondasi Batu Kali	27
Gambar 2.25 Pondasi Sumuran	28
Gambar 2.26 Pondasi Tiang	28
Gambar 3.1 Bagan Alir Penyelesaian Tugas Akhir	31
Gambar 3.2 Posisi Titik Angkat Pelat (4 Titik Angkat)	36

Gambar 3.3 Posisi Titik Angkat Pelat (8 Titik Angkat).....	37
Gambar 3.4 Data Penampang <i>Hollow Core Slab</i> yang Digunakan.....	38
Gambar 3.5 Detail Penampang <i>Hollow Core Slab</i> yang Digunakan.....	38
Gambar 3.6 S_s , Gempa maksimum yang dipertimbangkan risiko tertarget (MCE_R).....	44
Gambar 3.7 S_1 , Gempa maksimum yang dipertimbangkan risiko tertarget (MCE_R).....	45
Gambar 3.8 Penentuan Simpangan Tiap Lantai	55
Gambar 3.9 Momen pada Balok Pracetak Saat Pengangkatan	61
Gambar 3.10 Peikko Coupler	66
Gambar 3.11 NMB Splice Sleeve	66
Gambar 3.12 Pemasangan Sambungan Kolom	68
Gambar 3.13 Parameter Geometri Konsol Pendek	69
Gambar 3.14 Sambungan Balok Induk dengan Balok Anak..	70
Gambar 3.15 Sambungan Balok dengan Pelat Lantai	70
Gambar 3.16 Sistem Struktur Rangka dengan Kolom Sambungan Setiap Lantai	74
Gambar 3.16 Metode Ereksi Horizontal.....	74
Gambar 4.1 Denah Tangga.....	79
Gambar 4.2 Ilustrasi Tebal Pelat Tangga	80
Gambar 4.3 Pemodelan Tangga	81
Gambar 4.4 Bidang N pada Tangga	82
Gambar 4.5 Bidang D pada Tangga	83
Gambar 4.6 Bidang M pada Tangga	84
Gambar 4.7 Variasi Jenis Pelat Lantai	92
Gambar 4.8 Denah Pelat Tipe S1 8,4 m x 3,1 m.....	93
Gambar 4.9 Denah Pelat Tipe S10 7,2 m x 4 m.....	93
Gambar 4.10 Penampang <i>Hollow Core Slab</i> Tebal 150 mm .	97
Gambar 4.11 Pengangkatan Pelat Pracetak.....	99
Gambar 4.12 Denah Pelat Basement.....	101
Gambar 4.13 Distribusi Beban Pelat pada Balok Anak	111

Gambar 4.14 Titik Angkat Balok Anak.....	125
Gambar 4.15 Jenka PSA Short Inserts.....	130
Gambar 4.16 Kait JL	131
Gambar 4.17 Potongan Ruang Lift.....	133
Gambar 4.18 Luas Pembebanan Kolom.....	135
Gambar 4.19 Permodelan Struktur Menggunakan Etabs 2016	141
Gambar 4.20 Hasil <i>Output</i> Pembebanan ETABS 2016.....	143
Gambar 4.21 Grafik Respon Spektrum Desain	146
Gambar 4.22 Grafik <i>Story Drift</i> Arah X dan Y	155
Gambar 4.23 Grafik Simpangan Arah X dan Y	156
Gambar 4.24 Denah Balok Induk.....	164
Gambar 4.25 Tipe Pendistribusian Beban pada Balok Induk	165
Gambar 4.26 Titik Angkat Balok Anak.....	190
Gambar 4.27 Jenka PSA Short Inserts.....	195
Gambar 4.28 Kait JL	195
Gambar 4.29 Denah Kolom.....	197
Gambar 4.30 Diagram Interaksi Beban Aksial dan Momen pada K5.....	199
Gambar 4.31 Jenka PSA Short Inserts.....	207
Gambar 4.32 Kait JL	208
Gambar 4.33 Denah Dinding Geser	210
Gambar 4.34 Dinding Geser SW1	211
Gambar 4.35 Diagram Interaksi Beban Aksial dan Momen pada SW1	213
Gambar 4.36 Detail Sambungan.....	221
Gambar 4.37 Detail Konsol Pendek	222
Gambar 4.38 Sambungan Antar Kolom	235
Gambar 4.39 Tulangan Angkat Jenka Lifting System.....	238
Gambar 4.40 Penampang <i>Prestressed Concrete Spun Pile</i> PT WKA Beton	238
Gambar 4.41 Denah Pondasi	239
Gambar 4.42 Konfigurasi Tiang Pancang Tipe 1	247

Gambar 4.43 Konfigurasi Tiang Pancang Tipe 2.....	248
Gambar 4.44 Konfigurasi Tiang Pancang Tipe 3.....	248
Gambar 4.45 Konfigurasi Tiang Pancang Tipe 4.....	249
Gambar 4.46 Konfigurasi Tiang Pancang Tipe 5.....	249
Gambar 4.47 Grafik <i>Immediate Settlement of Isolate Footing</i>	258
Gambar 4.48 Grafik <i>Influence Value for Laterally Loaded Pile</i>	259
Gambar 4.49 Grafik <i>Influence Value for Laterally Loaded Pile</i>	260
Gambar 4.50 Bidang Kritis Geser Pons Satu Arah Pondasi Tipe 1.....	265
Gambar 4.51 Bidang Kritis Geser Pons Dua Arah Akibat Kolom Pondasi Tipe 1.....	266
Gambar 4.52 Bidang Kritis Geser Pons Dua Arah Akibat Tiang Pancang Pondasi Tipe 1.....	267
Gambar 4.53 Permodelan Poer Pondasi Tipe 1 pada ETABS 2016.....	269
Gambar 4.54 Output M11 pada Dinding <i>Basement</i>	276
Gambar 4.55 Output M22 pada Dinding <i>Basement</i>	276
Gambar 4.56 Diagram Interaksi Sloof.....	282

DAFTAR TABEL

Tabel 3.1 Tinggi Minimum Balok.....	38
Tabel 3.2 Jenis dan Besar Beban Mati	39
Tabel 3.3 Klasifikasi Situs.....	41
Tabel 3.4 Kategori Risiko Bangunan	42
Tabel 3.5 Faktor Keutamaan Gempa (I_e).....	43
Tabel 3.6 Koefisien situs, F_a	45
Tabel 3.7 Koefisien situs, F_v	46
Tabel 3.8 Kategori Desain Seismik berdasarkan Parameter Respons Percepatan Periode Pendek, S_{DS}	47
Tabel 3.9 Kategori Desain Seismik berdasarkan Parameter Respons Percepatan Periode 1 Detik, S_{D1}	47
Tabel 3.10 Koefisien C_u	53
Tabel 3.11 Koefisien C_t dan x	53
Tabel 3.12 Simpang Ijin Struktur	54
Tabel 3.13 Angka Pengali Beban Statis Ekuivalen untuk Menghitung Gaya Pengangkatan dan Gaya Dinamis	61
Tabel 3.14 Penulangan Minimum untk Dinding Dalam Bidang $V_u \leq 0,5 \phi V_c$	64
Tabel 3.15 Nilai V_c untuk <i>Two-Way Shear</i>	73
Tabel 4.1 Rekapitulasi Penulangan Tangga	88
Tabel 4.2 Rekapitulasi Perhitungan Dimensi <i>Hollow Core Slab</i>	96
Tabel 4.3 Rekapitulasi Perhitungan Pengangkatan Pelat	100
Tabel 4.4 Rekapitulasi Momen pada Pelat Basement	103
Tabel 4.5 Rekapitulasi Penulangan Pelat Basement.....	108
Tabel 4.6 Rekapitulasi Perhitungan Dimensi Balok Anak ...	110
Tabel 4.7 Rekapitulasi Tulangan Balok Anak.....	131
Tabel 4.8 Rekapitulasi Perhitungan Dimensi Balok Induk ..	134
Tabel 4.9 Rekapitulasi Pembebanan Kolom.....	136
Tabel 4.10 Rekapitulasi Dimensi Kolom	139
Tabel 4.11 Rekapitulasi Pembebanan Gravitasi	142
Tabel 4.12 Hasil Perhitungan N Rerata	144

Tabel 4.13 Respon Spektrum Desain	145
Tabel 4.14 Periode Fundamental Struktur.....	147
Tabel 4.15 Berat Efektif Struktur.....	149
Tabel 4.16 Gaya Geser Dinamik.....	150
Tabel 4.17 Rekapitulasi Gaya Geser Statik (V) dan Dinamik (Vi)	150
Tabel 4.18 Gaya Geser Dinamik Baru	151
Tabel 4.19 Rekapitulasi Gaya Geser Statik (V) dan Dinamik (Vi) dengan Koreksi <i>Scale Factor</i>	151
Tabel 4.20 Modal Partisipasi Massa Ragam	152
Tabel 4.21 Tabel Simpangan dengan Gempa Arah X.....	154
Tabel 4.22 Tabel Simpangan dengan Gempa Arah Y.....	154
Tabel 4.23 Reaksi Perletakan untuk Gempa X dan Y.....	156
Tabel 4.24 Pengaruh P-Delta pada Arah X.....	158
Tabel 4.25 Pengaruh P-Delta pada Arah Y.....	158
Tabel 4.26 Hasil Gaya Dalam Balok.....	159
Tabel 4.27 Hasil Gaya Dalam Kolom.....	160
Tabel 4.28 Hasil Gaya Dalam Dinding Geser.....	161
Tabel 4.29 Rekapitulasi Perhitungan M_{pr} Balok Induk.....	178
Tabel 4.30 Rekapitulasi Penambahan Tulangan Torsi.....	183
Tabel 4.31 Rekapitulasi Tulangan Balok Induk.....	195
Tabel 4.32 Rekapitulasi Tulangan Kolom.....	208
Tabel 4.33 Rekapitulasi Penulangan Dinding Geser.....	220
Tabel 4.34 Rekapitulasi Perencanaan Daerah Komponen Batas Dinding Geser.....	220
Tabel 4.35 Rekapitulasi Perencanaan Konsol Pendek	225
Tabel 4.36 Rekapitulasi <i>Single-Sided Connection</i> Balok – Kolom.....	228
Tabel 4.37 Rekapitulasi <i>Double-Sided Connection</i> Balok – Kolom.....	228
Tabel 4.38 Rekapitulasi <i>Single-Sided Connection</i> Balok Induk – Balok Anak.....	233
Tabel 4.39 Rekapitulasi <i>Double-Sided Connection</i> Balok Induk – Balok Anak.....	234

Tabel 4.40 Pembebanan Pondasi Tipe 1.....	240
Tabel 4.41 Pembebanan Pondasi Tipe 2.....	240
Tabel 4.42 Pembebanan Pondasi Tipe 3.....	241
Tabel 4.43 Pembebanan Pondasi Tipe 4.....	242
Tabel 4.44 Pembebanan Pondasi Tipe 5.....	242
Tabel 4.45 Daya Dukung Tiang Pancang.....	245
Tabel 4.46 Daya Dukung 1 Tiang Pondasi Tipe 1.....	251
Tabel 4.47 Daya Dukung 1 Tiang Pondasi Tipe 2.....	251
Tabel 4.48 Daya Dukung 1 Tiang Pondasi Tipe 3.....	252
Tabel 4.49 Daya Dukung 1 Tiang Pondasi Tipe 4.....	252
Tabel 4.50 Daya Dukung 1 Tiang Pondasi Tipe 5.....	253
Tabel 4.51 Daya Dukung Tiang Pancang <i>Group</i> Tipe 1	254
Tabel 4.52 Daya Dukung Tiang Pancang <i>Group</i> Tipe 2	255
Tabel 4.53 Daya Dukung Tiang Pancang <i>Group</i> Tipe 3	255
Tabel 4.54 Daya Dukung Tiang Pancang <i>Group</i> Tipe 4	256
Tabel 4.55 Daya Dukung Tiang Pancang <i>Group</i> Tipe 5	256
Tabel 4.56 Kontrol Gaya Lateral Pondasi Tipe 1	260
Tabel 4.57 Kontrol Gaya Lateral Pondasi Tipe 2	261
Tabel 4.58 Kontrol Gaya Lateral Pondasi Tipe 3	262
Tabel 4.59 Kontrol Gaya Lateral Pondasi Tipe 4	262
Tabel 4.60 Kontrol Gaya Lateral Pondasi Tipe 5	263
Tabel 4.61 P_{max} dan Output Momen pada Poer	269
Tabel 4.62 Rekapitulasi Penulangan Poer	274
Tabel 5.1 Rekapitulasi Dimensi Struktur Sekunder	286
Tabel 5.2 Rekapitulasi Dimensi Struktur Primer.....	286
Tabel 5.3 Rekapitulasi Dimensi Struktur Bawah	287

BAB I

PENDAHULUAN

1.1. Latar Belakang

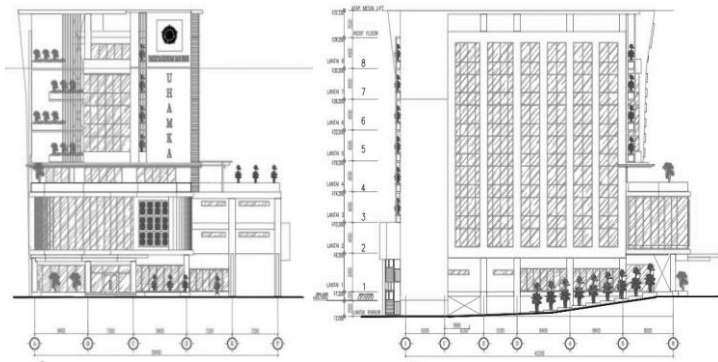
Kota Jakarta merupakan salah satu kota terbesar di Indonesia dengan laju pertumbuhan penduduk yang relatif tinggi dan akan terus meningkat. Berdasarkan data Badan Pusat Statistik, pada tahun 2015 angka laju pertumbuhan penduduk di DKI Jakarta mencapai angka 1,02% yang berarti setiap tahunnya akan ada penambahan penduduk sebanyak kurang lebih tiga juta orang. Pertambahan penduduk yang semakin meningkat dengan pesat beriringan dengan semakin sempitnya lahan yang tersedia. Hal ini menyebabkan gaya pembangunan gedung tidak lagi mengarah ke model *landed* melainkan menjadi vertikal atau biasa kita sebut sebagai *high rise building*.

Gedung tinggi atau *high rise building* biasanya dibangun dengan metode konvensional dimana struktur beton pada gedung tersebut dicor di tempat proyek konstruksi sehingga membutuhkan waktu yang relatif lama dalam pembangunannya. Selain itu, mutu dan kualitas yang dihasilkan beton konvensional tidak menentu karena pengerjaannya sangat bergantung dengan faktor cuaca dan juga sumber daya manusia. Dengan kondisi tersebut, timbul kebutuhan terhadap pekerjaan konstruksi yang cepat dan efisien dengan tanpa mengurangi mutu dan kemampuan bangunan dalam menerima beban yang ada. Pengaplikasian metode pembangunan menggunakan elemen pracetak dapat memenuhi kebutuhan tersebut karena memiliki beberapa keunggulan. Di antaranya adalah durasi pekerjaan menjadi lebih singkat, kualitas dan mutu beton terjaga dengan baik karena pembuatan produk dilakukan di pabrik tanpa terpengaruh oleh cuaca, membutuhkan tenaga kerja yang lebih sedikit karena beton sudah terfabrikasi, pekerjaan di proyek menjadi lebih sederhana, dan tidak

membutuhkan tempat penyimpanan material terlalu luas (Ervianto, 2006).

Selain menggunakan metode pracetak sebagai salah satu usaha efisiensi dalam pembangunan sebuah gedung, desain lantai dan atap pada gedung tersebut juga memerlukan beberapa pertimbangan. Dimensi elemen struktur berpengaruh terhadap beban gravitasi yang harus dipikul oleh gedung tersebut, semakin besar dimensinya maka semakin besar pula beban gravitasinya. Dengan adanya pengurangan *cross section* pada sebuah struktur, diharapkan dapat mengurangi beban gravitasi yang harus dipikul oleh gedung tersebut. Salah satu upaya pengurangan *cross section* pada elemen struktur gedung yang dapat digunakan adalah *Hollow Core Slab* yang mempunyai lubang longitudinal yang berfungsi untuk mengurangi berat beban gravitasi pelat lantai (El-Arab, 2017).

Gedung Fakultas Ekonomi dan Bisnis Universitas Muhammadiyah Prof. Dr. Hamka (UHAMKA) terletak di Jakarta Timur. Gedung ini terdiri dari 9 lantai dengan *basement* dan dibangun dengan beton bertulang menggunakan metode cor *in-situ*. Untuk menghemat biaya dan waktu konstruksi tanpa mengabaikan mutu dan kualitas beton, penulis akan memodifikasi Gedung Fakultas Ekonomi dan Bisnis UHAMKA yang awalnya 9 lantai, seperti yang diilustrasikan pada Gambar 1.1, menjadi 15 lantai dengan menggunakan elemen pracetak dan *Hollow Core Slab*.



Gambar 1.1 Tampak Gedung Fakultas Ekonomi dan Bisnis, UHAMKA

1.2. Perumusan Masalah

1.2.1. Masalah Utama

Bagaimana merencanakan ulang Gedung Fakultas Ekonomi dan Bisnis Universitas Muhammadiyah Prof. Dr. Hamka dengan menggunakan elemen pracetak dan *Hollow Core Slab*?

1.2.2. Detail Masalah

Detail permasalahan yang akan ditinjau pada perencanaan ini adalah:

1. Bagaimana menentukan *preliminary design* pada struktur primer dan struktur sekunder yang sesuai dengan proses perencanaan?
2. Bagaimana perhitungan pembebanan setelah proses perencanaan struktur?
3. Bagaimana analisa permodelan struktur dengan menggunakan program bantu ETABS?
4. Bagaimana menentukan dimensi dari elemen beton pracetak yang efektif dan efisien sehingga mampu menahan beban-beban yang bekerja pada struktur?

5. Bagaimana merencanakan sambungan antar elemen struktur yang tahan gempa?
6. Bagaimana merencanakan pondasi bangunan yang mampu menopang beban yang dipikul dan sesuai dengan kondisi tanah?
7. Bagaimana menerjemahkan hasil perhitungan modifikasi struktur menjadi bentuk gambar teknik?

1.3. Tujuan

1.3.1. Tujuan Utama

Tujuan utama dari perencanaan Gedung Fakultas Ekonomi dan Bisnis Universitas Muhammadiyah Prof. Dr. Hamka adalah mampu merencanakan dan menetapkan elemen beton pracetak dan *Hollow Core Slab* dalam pembangunan seluruh komponen struktur sesuai dengan peraturan yang berlaku.

1.3.2. Tujuan Detail

Tugas akhir ini memiliki beberapa tujuan detail, di antaranya adalah:

1. Menentukan *preliminary design* pada struktur primer dan struktur sekunder yang sesuai dengan proses perencanaan.
2. Menghitung pembebanan setelah proses perencanaan struktur.
3. Mendapatkan hasil analisa permodelan struktur dengan menggunakan program bantu ETABS.
4. Menentukan dimensi dari elemen beton pracetak yang efektif dan efisien sehingga mampu menahan beban-beban yang bekerja pada struktur.
5. Merencanakan sambungan antar elemen struktur yang tahan gempa.

6. Merencanakan pondasi bangunan yang mampu menopang beban yang dipikul dan sesuai dengan kondisi tanah.
7. Mendapatkan gambar teknik dari hasil perhitungan struktur.

1.4. Batasan Masalah

Batasan masalah dari Tugas Akhir ini adalah:

1. Perencanaan menggunakan elemen pracetak pada kolom, balok, dan pelat sedangkan dinding geser, pelat *basement*, dinding *basement*, dan tangga menggunakan metode cor *in-situ*.
2. Perencanaan tidak meninjau dari segi produksi beton pracetak dan segi analisis anggaran biaya.
3. Perencanaan tidak meninjau utilitas bangunan, *mechanical*, *electrical*, dan *finishing*.

1.5. Manfaat

Manfaat dari perencanaan ulang Gedung Fakultas Ekonomi dan Bisnis Universitas Muhammadiyah Prof. Dr. Hamka adalah untuk mendapatkan alternatif desain pada pembangunan Gedung Fakultas Ekonomi dan Bisnis Universitas Muhammadiyah Prof. Dr. Hamka dengan menggunakan elemen pracetak dan *Hollow Core Slab* serta sebagai acuan bagi para pembaca tentang pembangunan dengan elemen pracetak dan *Hollow Core Slab*.

“Halaman ini sengaja dikosongkan...”

BAB II

TINJAUAN PUSTAKA

2.1. Umum

Tinjauan pustaka ini akan membahas beberapa jurnal dan dasar teori menyangkut perencanaan Gedung Fakultas Ekonomi dan Bisnis Universitas Muhammadiyah Prof. Dr. Hamka secara umum dan dengan menggunakan beton pracetak secara khusus.

2.2. Beton Pracetak

Beton pracetak adalah sebuah teknologi konstruksi dimana elemen struktur penyusun sebuah bangunan seperti kolom, balok, dan pelat dicetak terlebih dahulu di suatu tempat, terkadang elemen-elemen tersebut disatukan terlebih dahulu untuk kemudian dilakukan instalasi atau pemasangan di lokasi konstruksi.

Beton pracetak mempunyai keuntungan dan kelebihan sendiri dibandingkan dengan beton konvensional atau beton cor di tempat. Kelebihan beton pracetak adalah sebagai berikut:

1. Pengurangan penggunaan bekisting dan perancah karena komponen struktur telah terfabrikasi
2. Menghemat waktu konstruksi karena pengerjaannya lebih cepat sehingga menghemat biaya konstruksi pula
3. Meminimalisir kegiatan konstruksi di lapangan
4. Pengecekan mutu dan kualitas dapat menjadi lebih mudah karena dilakukan saat pembuatan di pabrik bukan di lokasi konstruksi
5. Meminimalisir pengaruh cuaca selama proses konstruksi
6. Lebih ramah lingkungan karena minimnya limbah

Sedangkan kekurangan beton pracetak antara lain adalah:

1. Membutuhkan penanganan khusus terhadap komponen yang telah terfabrikasi

2. Membutuhkan perhatian khusus pada kekuatan sambungan dan ketahanan korosi dari sambungan untuk menghindari terjadinya kegagalan pada sambungan
3. Membutuhkan biaya transportasi tambahan untuk pengangkutan elemen pracetak
4. Membutuhkan tenaga profesional untuk mengawasi instalasi elemen pracetak (Yadav & Shah, 2013)

2.3. Sistem Struktur Gedung

Pembebanan lateral pada suatu gedung mempengaruhi tinggi rendahnya bangunan tersebut. Semakin tinggi suatu bangunan, maka sistem pembebanan lateral yang berupa beban angin dan beban gempa akan semakin besar pula. Semakin tinggi suatu bangunan, pentingnya aksi gaya lateral menjadi semakin berarti (Juwana, 2005). Pertimbangan kekakuan menentukan jenis rancangan. Derajat kekakuannya terutama bergantung pada jenis sistem struktur yang dipilih (Schueller, 1989).

Terdapat beberapa sistem struktur yang berkaitan dengan kemampuan suatu gedung untuk menahan beban lateral. Sistem struktur yang umum digunakan sebagai penahan gaya gempa dalam perencanaan gedung antara lain Sistem Dinding Struktural (SDS), Sistem Rangka Pemikul Momen (SRPM), dan Sistem Ganda atau *Dual System* (Paulay & Priestley, 1992).

Sistem Rangka Pemikul Momen (SRPM) adalah sebuah sistem rangka yang komponen struktur dari sebuah gedung seperti kolom, balok, dan pelatnya terhubung secara *rigid* untuk menahan gaya-gaya yang bekerja, terutama gaya gempa. SRPM dikelompokkan menjadi tiga, yaitu:

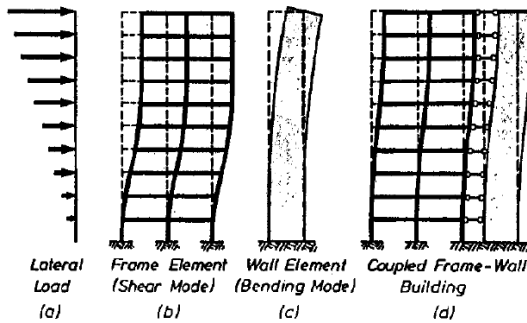
1. Sistem Rangka Pemikul Momen Biasa (SRPMB), merupakan sistem struktur yang memiliki tingkat daktilitas terbatas dan cocok digunakan di daerah dengan resiko gempa yang rendah.

2. Sistem Rangka Pemikul Momen Menengah (SRPMM), merupakan sistem struktur yang memiliki tingkat daktilitas sedang dan dapat digunakan di daerah dengan resiko gempa yang sedang.
3. Sistem Rangka Pemikul Momen Khusus (SRPMK), merupakan sistem struktur yang memiliki tingkat daktilitas tinggi sehingga harus digunakan pada daerah dengan tingkat resiko gempa yang tinggi.

Sistem Dinding Struktural (SDS) atau biasa dikenal dengan *Shear Wall* adalah sistem rangka dimana gaya geser dan momen gaya aksial yang ditimbulkan oleh gaya gempa ditahan oleh dinding. Sistem Dinding Struktural dikelompokkan menjadi dua, yaitu:

1. Dinding Struktural Beton Biasa (SDSB), merupakan sistem struktur dinding yang memiliki tingkat daktilitas terbatas dan cocok digunakan di daerah dengan resiko gempa rendah sampai menengah.
2. Dinding Struktural Beton Khusus (SDSK), merupakan sistem struktur dinding yang memiliki tingkat daktilitas tinggi sehingga dapat digunakan pada daerah dengan resiko gempa yang tinggi

Dual System merupakan sistem struktur dimana rangka beton berinteraksi dengan beton bertulang atau dinding struktural untuk menahan beban-beban lateral yang terjadi pada gedung seperti gaya gempa untuk mengurangi deformasi yang terjadi pada struktur seperti yang diilustrasikan pada Gambar 2.1.



Gambar 2.1 Deformasi Akibat Beban Lateral pada Sistem Rangka, Dinding Struktural, dan *Dual System* (Paulay & Priestley, 1992)

2.4. Konstruksi Tahan Gempa

Dalam merencanakan sebuah gedung, perlu dipastikan bahwa struktur gedung tersebut tahan terhadap gempa. Khususnya pada gedung yang berada pada daerah dengan resiko gempa yang tinggi. Taraf keamanan minimum untuk bangunan gedung dan rumah tinggal yang masuk dalam kategori bangunan tahan gempa, yaitu yang memenuhi berikut ini:

- a. Bila terkena gempa bumi yang lemah, bangunan tersebut tidak mengalami kerusakan sama sekali.
- b. Bila terkena gempa bumi sedang, bangunan tersebut boleh rusak pada elemen-elemen non-struktural, tetapi tidak boleh rusak pada elemen-elemen struktural.
- c. Bila terkena gempa bumi yang sangat kuat, bangunan tersebut tidak boleh runtuh baik sebagian maupun seluruhnya; bangunan tersebut tidak boleh mengalami kerusakan yang tidak dapat diperbaiki; bangunan gedung tersebut boleh mengalami kerusakan tetapi kerusakan yang terjadi harus dapat diperbaiki dengan

cepat sehingga dapat berfungsi kembali (Direktorat Jenderal Cipta Karya, 2006)

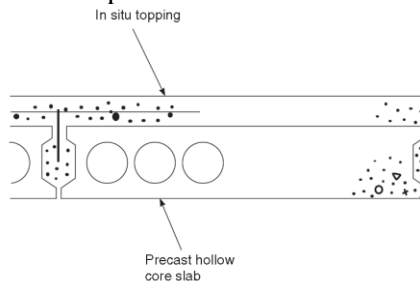
2.5. Elemen Struktur Beton Pracetak

2.5.1. Pelat Pracetak

Terdapat tiga macam pelat pracetak yang umum diproduksi dan digunakan sebagai elemen pracetak, di antaranya adalah:

1. *Hollow Core Slab*

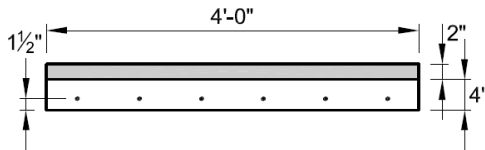
Merupakan pelat pracetak dimana tebalnya lebih besar dibandingkan dengan pelat pracetak tanpa lubang (*Solid Flat Slab*). Pelat tipe ini biasanya menggunakan kabel prategang. Keuntungan *Hollow Core Slab* adalah lebih ringan karena beban gravitasinya berkurang akibat lubang-lubang yang ada, tingkat durabilitas tinggi, tingkat ketahanan terhadap api tinggi, serta dapat digunakan untuk bentang yang panjang dengan ketebalan yang relatif lebih kecil. Pelat ini memiliki lebar rata-rata 4 hingga 15 inci. Pelat jenis ini akan penulis gunakan dalam perencanaan ulang Gedung Fakultas Ekonomi dan Bisnis Universitas Muhammadiyah Prof. Dr. Hamka. Penampang *hollow core slab* dapat dilihat pada Gambar 2.2.



Gambar 2.2 *Hollow Core Slab*
(Elliot, 2002)

2. *Solid Flat Slab*

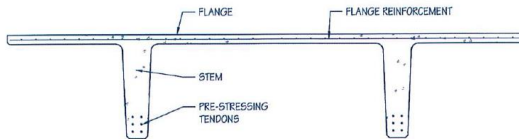
Solid Flat Slab merupakan pelat pracetak tanpa lubang yang berbentuk seperti pelat beton pada umumnya yang dapat dilihat pada Gambar 2.3. Keuntungan dari pelat jenis ini adalah kemudahan dalam proses penyimpanannya karena tidak memakan banyak tempat. Pelat jenis ini dapat berupa beton prategang atau beton bertulang biasa dengan ketebalan dan lebar yang bervariasi.



Gambar 2.3 *Solid Flat Slab*
(Elliot, 2002)

3. *Single Tee* dan *Double Tees Slab*

Single Tee dan *Double Tees Slab* merupakan jenis pelat hasil modifikasi dari *Solid Flat Slab* dimana terdapat kaki vertikal yang membentuk profil “T” dimana pada bagian kaki tersebut terdapat penulangan yang lebih banyak sehingga pelat jenis ini mampu menahan beban yang lebih berat. Pelat jenis ini cocok digunakan untuk bentang yang seperti pada lahan parkir, pabrik, *ballroom*, dan lain-lain (Hogan & Farahmandpour, 2013). Penampang *double tees slab* dapat dilihat pada Gambar 2.4.



Gambar 2.4 *Double Tees Slab*
(Hogan & Farahmandpour, 2013)

2.5.2. Balok Pracetak

Balok adalah elemen struktur berbentuk batang horizontal yang menahan lentur dan membentangi di antara kolom. Balok berfungsi untuk memikul beban dari pelat dan kemudian menyalurkan beban-beban tersebut ke kolom. Terdapat berbagai macam bentang dan dimensi penampang untuk elemen balok pracetak. Berdasarkan *PCI Design Handbook*, 2004 terdapat tiga jenis elemen balok pracetak, di antaranya adalah:

1. Balok Segi Empat (*Rectangular Beam*)



Gambar 2.5 *Rectangular Beam*
(PCI Design Handbook, 2004)

2. Balok Berpenampang L (*L-Shaped Beam*)



Gambar 2.6 *L-Shaped Beam*
(PCI Design Handbook, 2004)

3. Balok Berpenampang T Terbalik (*Inverted Tee Beam*)

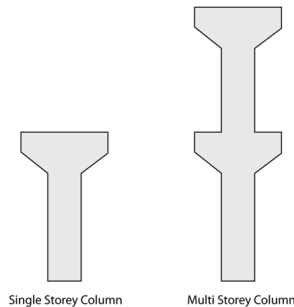


Gambar 2.7 *Inverted Tee Beam*
(PCI Design Handbook, 2004)

2.5.3. Kolom Pracetak

Kolom adalah elemen struktur berbentuk batang vertikal yang menahan beban aksial. Struktur beton pracetak untuk

kolom dapat diproduksi tanpa sambungan atau dengan sambungan. Apabila suatu bangunan memiliki ketinggian di bawah 30 meter, maka penggunaan kolom menerus masih memungkinkan. Namun, untuk bangunan dengan ketinggian lebih dari 30 meter, sebaiknya digunakan kolom dengan sambungan (Ervianto, 2006). Terdapat dua jenis kolom pracetak yang umum digunakan dalam konstruksi, yaitu kolom *single storey* dan kolom *multi storey* yang diilustrasikan pada Gambar 2.8.



Gambar 2.8 *Single Storey dan Multi Storey Column*
(Brosur Sarawak Consolidated Industries Berhad, 2017)

2.6. Dinding Geser (*Shear Wall*)

Dinding geser merupakan struktur kaku yang digunakan untuk menahan gaya geser, momen, dan gaya aksial yang timbul akibat beban gempa. Dinding geser yang kaku pada bangunan dapat menyerap sebagian besar beban gempa (Imran & Hendrik, 2014). Terdapat beberapa tipe dinding geser, di antaranya adalah:

1. *Flexural Wall* (Dinding Langsing)

Merupakan dinding geser yang memiliki rasio $h_w/l_w \geq 2$, dimana desainnya dikontrol oleh perilaku lentur.

2. *Squat Wall*

Merupakan dinding geser yang memiliki rasio $h_w/l_w \leq 2$, dimana desainnya dikontrol oleh perilaku geser.

3. *Coupled Shear Wall*

Momen guling yang terjadi akibat beban gempa ditahan oleh sepasang dinding yang dihubungkan oleh balok-balok perangkai (balok kopel), sebagai gaya-gaya tarik dan tekan yang bekerja pada masing-masing dasar pasangan dinding tersebut.

Gedung yang diperkaku dengan dinding geser dianggap lebih efektif daripada gedung dengan rangka kaku, dengan mempertimbangkan pembatasan kehancuran, keamanan secara keseluruhan dan keandalan struktur. Hal ini berdasarkan fakta bahwa dinding geser dianggap lebih kaku daripada elemen rangka biasa sehingga dapat menahan beban lateral yang lebih besar akibat gempa, dan di saat yang bersamaan dapat membatasi simpangan antar lantai (Nawy, 2005).

2.7. Sambungan Beton Pracetak

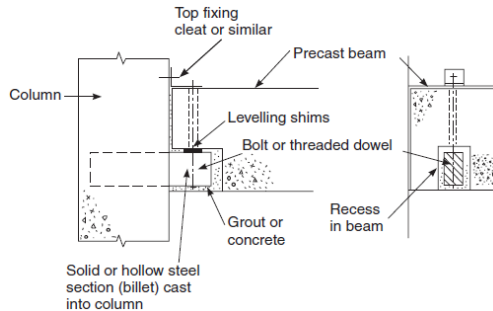
Elemen yang berperan sangat penting dalam desain konstruksi bangunan tahan gempa ialah sambungan. Keruntuhan bangunan akibat gempa terjadi pada sambungan yang relatif kurang kaku atau monolit sehingga lemah dalam menahan beban gempa. Agar bangunan memiliki performa yang baik saat menerima beban gempa, maka harus dipenuhi syarat sambungan balok kolom. Sambungan balok-kolom menempati fungsi yang sangat kritis, karena mekanisme respon struktur terhadap beban terjadi pada penyaluran gaya-gaya dari balok ke kolom-kolom bangunan (Indrayana, 2013).

Secara umum, ada dua jenis sambungan yang biasa digunakan dalam sistem beton pracetak, yaitu sambungan kering (*dry connection*) dan sambungan basah (*wet connection*) (Erviyanto, 2006). Untuk sambungan kering dapat digunakan sambungan dengan baut maupun sambungan dengan las.

Sementara untuk sambungan basah merupakan sambungan dengan cor langsung di tempat.

2.7.1. Sambungan Kering dengan Menggunakan Baut

Metode penyambungan jenis ini dilakukan dengan memberikan pelat baja pada ujung-ujung kedua elemen beton pracetak yang akan disambung. Pelat baja tersebut ditanam masuk pada daerah tulangan dan dicor pada waktu pembuatan elemen pracetak. Pelat baja dari kedua komponen tersebut disatukan menggunakan alat sambung berupa baut dengan kuat tarik tinggi. Untuk menghindari terjadinya korosi pada plat baja, setelah proses penyambungan selesai dilakukan maka pelat baja tersebut ditutup dengan adukan semen beton (Erviyanto, 2006). Sambungan yang menggunakan baut dapat dilihat pada Gambar 2.9.

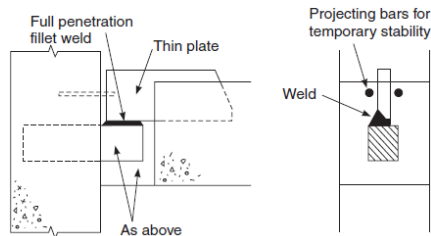


Gambar 2.9 Sambungan Menggunakan Baut
(Elliot, 2002)

2.7.2. Sambungan Kering dengan Menggunakan Las

Alat sambung jenis ini menggunakan pelat baja (pelat sisip) yang ditanam masuk pada daerah tulangan dan ditempatkan pada ujung-ujung beton yang akan disatukan, kemudian di cor pada waktu pembuatan elemen pracetak. Fungsi dari pelat baja ini adalah untuk meneruskan gaya-gaya sehingga pelat baja ini harus benar-benar menyatu dengan material betonnya (Erviyanto, 2006). Untuk menyatukan antar

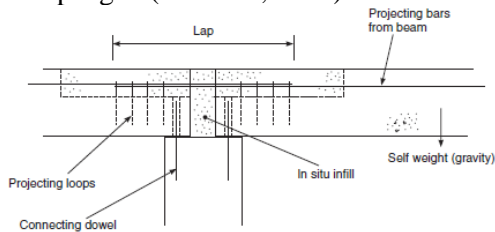
pelat sisip dari beton yang akan disambung digunakan pelat baja (pelat sambung) yang dilas ke pelat sisip. Setelah dilas, pelat disambung tersebut kemudian ditutup dengan menggunakan adukan beton. Hal ini dilakukan untuk melindungi pelat penyambung tersebut dari korosi yang membahayakan kekuatan sambungan. Sambungan yang menggunakan las dapat dilihat pada Gambar 2.10.



Gambar 2.10 Sambungan Menggunakan Las
(Elliot, 2002)

2.7.3. Sambungan Basah dengan Cor di Tempat

Metode penyambungan jenis ini menggunakan tulangan biasa sebagai penyambung antar komponen beton pracetak seperti yang dapat dilihat pada Gambar 2.11. Komponen beton pracetak yang sudah berada di tempatnya akan dicor bagian ujungnya untuk menyambungkan komponen satu dengan yang lain. Sambungan jenis ini lebih sering digunakan dalam pelaksanaan beton pracetak karena menghasilkan struktur yang lebih kaku jika dibanding dengan menggunakan sambungan jenis lain. Selain itu sambungan jenis ini lebih mudah untuk dikerjakan dilapangan (Ervianto, 2006).



Gambar 2.11 Sambungan dengan Cor di Tempat
(Elliot, 2002)

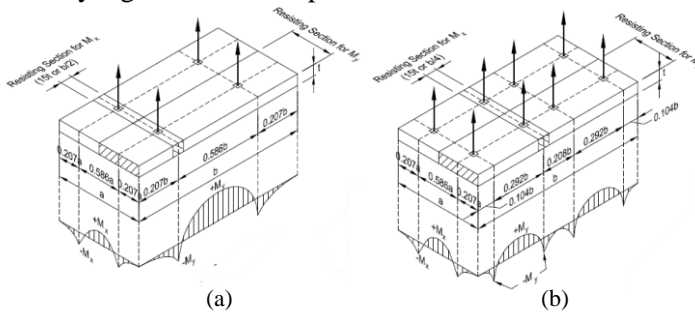
2.8. Pengangkatan dan Metode *Erection* Beton Pracetak

2.8.1. Pengangkatan Elemen Beton Pracetak

Hal yang perlu diperhatikan dan sangat penting dalam sebuah elemen beton pracetak adalah proses pengangkatannya. Karena sebuah kesalahan kecil dapat mengakibatkan keretakan pada beton tersebut. Titik pengangkatannya juga perlu ditinjau sedemikian rupa dalam rangka menjaga keseimbangan gaya tegangan beton pada saat diangkat.

a. Pengangkatan Pelat Pracetak

Dalam pemasangan pelat pracetak, perlu diperhatikan bahwa pelat akan mengalami pengangkatan sehingga perlu adanya perencanaan terhadap tulangan angkat untuk pelat agar tidak terjadi momen yang disebabkan oleh fleksibilitas dari truk pengangkut dalam perjalanan menuju *site* dimana pelat tersebut akan dipasang. Untuk menyeimbangkan elemen pracetak pada saat pengangkatan, dapat digunakan bantuan balok angkat (*spreader beam*). Terdapat dua jenis titik angkat pada pelat pracetak, yaitu empat titik angkat dan delapan titik angkat seperti yang diilustrasikan pada Gambar 2.12.



Gambar 2.12 (a) Empat Titik Angkat pada Pelat Pracetak (b)
 Delapan Titik Angkat pada Pelat Pracetak
 (PCI Design Handbook, 2004)

b. Pengangkatan Balok Pracetak

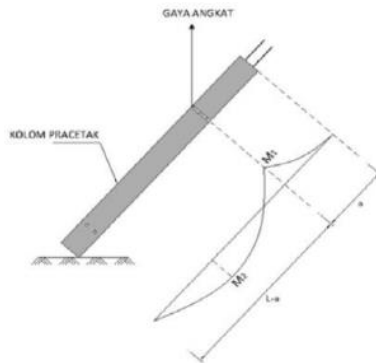
Terdapat dua hal yang harus ditinjau dalam pengangkatan balok pracetak, yaitu kekuatan angkur pengangkatan (*lifting anchor*) dan kekuatan lentur penampang balok pracetak. Karena pada saat pengangkatan, beban yang bekerja adalah berat sendiri balok yang ditumpu oleh angkur pengangkatan sehingga terjadi momen pada tengah bentang dan pada tumpuan. Pengangkatan balok pracetak dapat dilihat seperti pada Gambar 2.13.



Gambar 2.13 Pengangkatan Balok Pracetak
 (Brosur Beta Concrete Plant & Lifting Equipment, 2018)

c. Pengangkatan Kolom Pracetak

Kondisi yang perlu diperhatikan saat proses pengangkatan kolom pracetak adalah ketika kolom tersebut berada dalam posisi miring, karena menimbulkan momen pada bentang kolom seperti yang diilustrasikan pada Gambar 2.14.



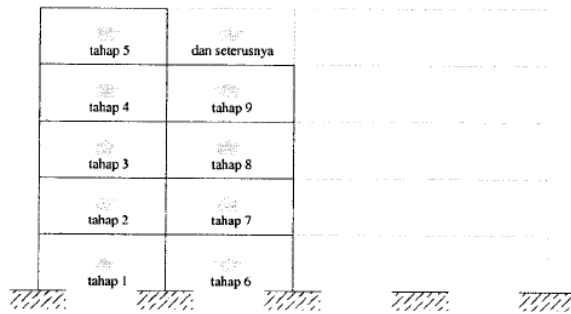
Gambar 2.14 Pengangkatan Kolom Pracetak
(PCI Design Handbook, 2004)

2.8.2. Metode *Erection* Beton Pracetak

Erection merupakan proses penyatuan komponen beton pracetak menjadi satu kesatuan bangunan yang utuh, metode yang dapat digunakan dibedakan menjadi dua, yaitu metode vertikal dan metode horizontal (Ervianto, 2006).

a. Metode Vertikal

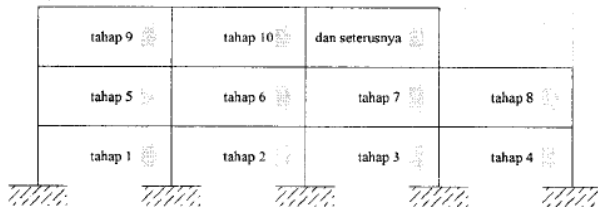
Erection dengan metode vertikal adalah kegiatan penyatuan komponen beton pracetak yang dilaksanakan pada arah vertikal struktur bangunan yang mempunyai kolom menerus dari lantai dasar hingga lantai paling atas, yang dengan cara demikian maka sambungan-sambungan pada lantai di atasnya harus dapat segera bekerja secara efisien. Metode ini biasa diterapkan pada komponen beton pracetak yang berbentuk panel/dinding (*tilt-up construction*) dimana sambungan-sambungannya harus segera dapat berfungsi secara efektif. *Erection* dengan metode vertikal dijelaskan pada Gambar 2.15.



Gambar 2.15 Metode *Erection* Arah Vertikal
(Ervianto, 2006)

b. Metode Horizontal

Penyatuan komponen beton pracetak dengan metode horizontal adalah proses *erection* yang pelaksanaannya tiap satu lantai (arah horizontal bangunan). Metode ini digunakan untuk struktur bangunan yang terdiri dari komponen kolom *precast* dengan sambungan pada tempat-tempat tertentu. Sambungan pada metode ini tidak harus segera dapat berfungsi sehingga tersedia waktu yang cukup untuk pengerasan beton. Sambungan yang cocok untuk metode ini adalah *in-situ concrete joint*. *Erection* dengan metode horizontal dijelaskan pada Gambar 2.16.



Gambar 2.16 Metode *Erection* Arah Horizontal
(Ervianto, 2006)

2.9. Basement

Basement adalah suatu ruang atau lantai pada gedung yang terletak di bawah permukaan tanah. Pada umumnya, *basement* seringkali dimanfaatkan sebagai area parkir atau ruang utilitas pada gedung-gedung tinggi.

Dinding pada *basement* berfungsi sebagai dinding penahan tanah atau biasa disebut *retaining wall*. Maka, dinding *basement* harus dirancang agar dapat menahan beban akibat tekanan tanah dan tekanan air. Menurut Gue dan Tan (1998), ada beberapa tipe dinding penahan tanah yang umum digunakan pada *basement*, yaitu:

2.9.1 Sheet Pile Wall

Sheet pile wall biasa digunakan sebagai dinding penahan tanah sementara seperti yang diilustrasikan pada Gambar 2.17. Penggunaan *sheet pile* pada konstruksi *basement* pada umumnya dipengaruhi oleh beberapa faktor, di antaranya adalah:

a. Kondisi Tanah dan Kemudahan Pemasangan *Pile*

Kondisi tanah harus memungkinkan agar *sheet pile* dapat dipasang dengan mudah, yaitu pada tanah yang mempunyai nilai N-SPT di bawah 50. Sedangkan untuk pemilihan jenis *sheet pile* yang akan digunakan bergantung pada kekuatan lentur dan kekuatan untuk menahan *driving* yang diperlukan.

b. Kedalaman Galian

Sheet pile cocok digunakan untuk galian yang dangkal dan untuk konstruksi yang bersifat sementara karena kekakuan *sheet pile* lebih rendah dibandingkan jenis dinding penahan tanah lainnya seperti *diaphragm wall*, *contiguous bored pile*, dan *secant pile*.

c. Kadar Air

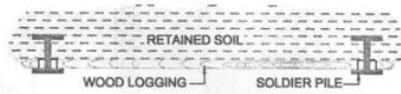
Sheet pile cocok digunakan untuk jenis tanah yang memiliki kadar air rendah karena rembesan yang sering terjadi.



Gambar 2.17 *Sheet Pile Wall*
(Gue & Tan, 1998)

2.9.2 *Soldier Pile Wall*

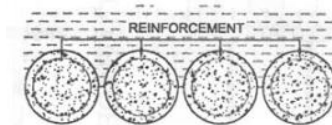
Soldier pile wall memiliki dua komponen utama, yaitu *soldier pile* (komponen vertikal) dan *lagging* (komponen horizontal). *Soldier pile* berfungsi sebagai tumpuan utama untuk menahan tanah dan *lagging* berfungsi sebagai tumpuan sekunder untuk mempertahankan bentuk tanah seperti yang dapat dilihat pada Gambar 2.18.



Gambar 2.18 *Soldier Pile Wall*
(Gue & Tan, 1998)

2.9.3 *Contiguous Bored Pile Wall*

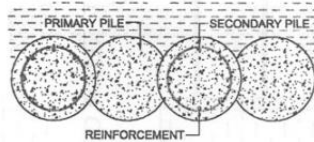
Contiguous bored pile wall dapat berfungsi sebagai dinding penahan tanah yang bersifat sementara maupun permanen seperti yang dapat dilihat pada Gambar 2.19. Dinding penahan tanah jenis ini biasa digunakan pada tanah yang bersifat keras (*stiff*) dan memiliki kadar air yang rendah. Keuntungan penggunaan dinding penahan tanah jenis ini ialah harganya yang relatif murah dan pengerjaannya yang relatif cepat.



Gambar 2.19 *Contiguous Bored Pile Wall*
(Gue & Tan, 1998)

2.9.4 *Secant Pile Wall*

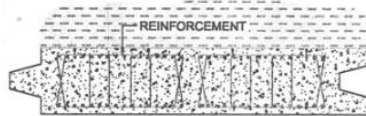
Pada dasarnya *secant pile wall* memiliki fungsi yang sama dengan *contiguous bored pile wall*. Namun dinding penahan tanah jenis ini memiliki keunggulan dibandingkan *contiguous bored pile*, karena dapat digunakan pada jenis tanah yang berkadar air tinggi karena bentuk *secant pile wall* lebih rapat dibandingkan *contiguous bored pile* sehingga dapat mencegah air untuk menembus. *Secant pile wall* dapat dilihat pada Gambar 2.20.



Gambar 2.20 *Secant Pile Wall*
(Gue & Tan, 1998)

2.9.5 *Diaphragm Wall*

Diaphragm wall merupakan dinding penahan tanah yang bersifat permanen dan yang paling efektif digunakan untuk tanah dengan kadar air tinggi. Selain itu, pemasangannya juga menimbulkan gangguan suara yang minim dan tidak menyebabkan gangguan getaran yang berlebihan. *Diaphragm wall* diilustrasikan pada Gambar 2.21.



Gambar 2.21 *Diaphragm Wall*
(Gue & Tan, 1998)

2.10. Pondasi

Pondasi adalah struktur bangunan bagian bawah yang berhubungan langsung dengan tanah dan berfungsi sebagai penahan gaya beban di atasnya. Pondasi dibuat menjadi satu

kesatuan dasar bangunan yang kuat yang terdapat di bawah konstruksi. Pondasi dapat didefinisikan sebagai bagian paling bawah dari suatu konstruksi yang kuat dan stabil. Dalam perencanaan sebuah struktur, dapat digunakan beberapa macam tipe pondasi. Untuk memilih pondasi yang memadai perlu dipertimbangkan beberapa hal yaitu keadaan tanah, batasan-batasan konstruksi di atasnya (*superstructure*), batasan-batasan dari sekelilingnya, serta waktu dan biaya pekerjaan (Sosrodarsono & Nakazawa, 2000). Pondasi dapat dibedakan menjadi dua, yaitu pondasi dangkal (*shallow foundation*) dan pondasi dalam (*deep foundation*).

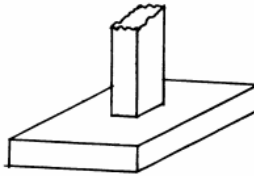
2.10.1. Pondasi Dangkal

Pondasi dangkal disebut juga pondasi langsung, pondasi ini digunakan apabila lapisan tanah pada dasar pondasi yang mampu mendukung beban yang dilimpahkan berada relatif dekat dengan permukaan tanah. Syarat pondasi dangkal adalah:

- $D / B \leq 1$
 - Lapisan tanah keras berada di dekat permukaan tanah
- Ada beberapa macam pondasi dangkal, yaitu:

a. Pondasi Telapak (*Isolated Footing*)

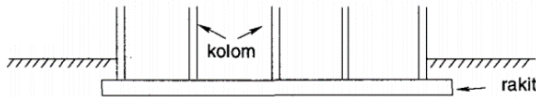
Pondasi yang berdiri sendiri dalam mendukung kolom atau pondasi yang mendukung bangunan secara langsung pada tanah bilamana terdapat lapisan tanah yang cukup tebal dengan kualitas baik yang mampu mendukung bangunan itu pada permukaan tanah atau sedikit di bawah permukaan tanah seperti yang dapat dilihat pada Gambar 2.22. Sistem kerja pondasi ini menerapkan sistem tanam sehingga pondasi telapak ini menahan kolom yang tertanam di dalamnya agar tidak masuk dalam tanah



Gambar 2.22 Pondasi Telapak
(Gunawan, 1991)

b. Pondasi Rakit (*Raft Foundation*)

Pondasi yang digunakan untuk mendukung bangunan yang terletak pada tanah lunak atau digunakan bila susunan antar kolom jaraknya sedemikian dekat di semua arahnya, sehingga bila menggunakan pondasi telapak, sisi-sisinya berhimpit satu sama lainnya. Ilustrasi pondasi rakit dapat dilihat pada Gambar 2.23.



Gambar 2.23 Pondasi Rakit
(Hardiyatmo, 1996)

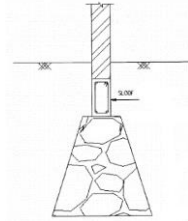
c. Pondasi Rollag Bata

Pondasi rollag bata merupakan pondasi sederhana yang fungsinya bukan menyalurkan beban bangunan, melainkan untuk menyeimbangkan posisi lantai agar tidak terjadi amblas pada ujung lantai. Pondasi ini biasanya digunakan untuk membuat teras rumah, fungsinya hamper sama dengan sloof gantung namun rollag bata tidak sekuat sloof gantung dan tidak semahal sloof gantung.

d. Pondasi Batu Kali

Pondasi batu kali merupakan pondasi penahan dinding yang digunakan pada bangunan sederhana seperti yang diilustrasikan pada Gambar 2.24. Pondasi

ini terdiri dari batu kali dan perekat yang berupa campuran pasir dan semen. Biasanya campuran agregat untuk merekatkan batu kali ini menggunakan perbandingan 1:3 karena batu kali akan selalu menerima rembesan air yang berasal dari tanah.



Gambar 2.24 Pondasi Batu Kali
(Pamungkas & Harianti, 2013)

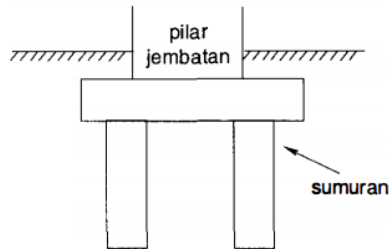
2.10.2. Pondasi Dalam

Pondasi dalam adalah pondasi yang meneruskan beban bangunan ke tanah keras atau batu yang terletak jauh dari permukaan. Syarat pondasi dalam adalah:

- $D / B \geq 4$
 - Lapisan tanah keras berada jauh dari permukaan tanah
- Ada beberapa macam pondasi dalam, yaitu:

a. Pondasi Sumuran (*Pier Foundation*)

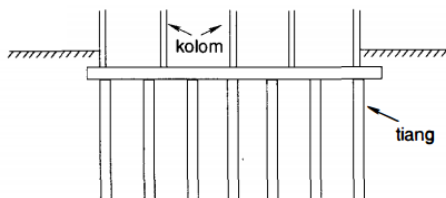
Pondasi sumuran merupakan pondasi peralihan antara pondasi dangkal dan pondasi tiang, digunakan bila tanah dasar yang kuat terletak pada kedalaman yang relatif dalam, dimana pondasi sumuran nilai $D/B \leq 4$. Ilustrasi pondasi sumuran dapat dilihat pada Gambar 2.25.



Gambar 2.25 Pondasi Sumuran
(Hardiyatmo, 1996)

b. Pondasi Tiang (*Pile Foundation*)

Pondasi tiang digunakan bila tanah pondasi pada kedalaman yang normal tidak mampu mendukung bebannya dan tanah kerasnya terletak pada kedalaman yang sangat dalam. Pondasi tiang pada umumnya berdiameter lebih kecil dan lebih panjang dibanding dengan pondasi sumuran. Ilustrasi pondasi tiang dapat dilihat pada Gambar 2.26.



Gambar 2.26 Pondasi Tiang
(Hardiyatmo, 1996)

“Halaman ini sengaja dikosongkan...”

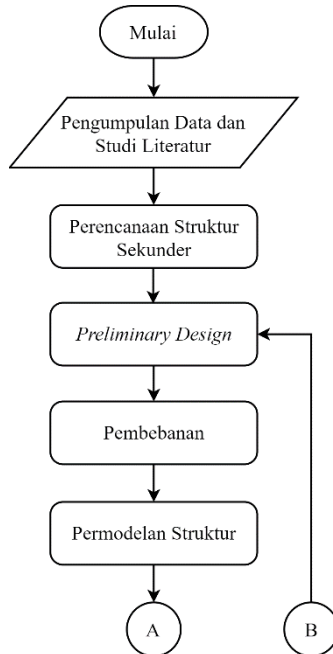
BAB III METODOLOGI

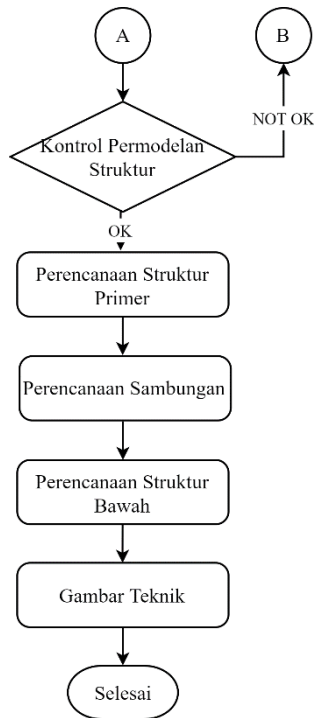
3.1. Umum

Perencanaan gedung Fakultas Ekonomi dan Bisnis Universitas Muhammadiyah Prof. Dr. Hamka (UHAMKA) menggunakan metode beton pracetak tentunya harus memiliki susunan pengerjaan sesuai dengan urutan kegiatan yang akan dilakukan. Urutan pelaksanaan dimulai dari pengumpulan data hingga gambar teknik pada bagian akhirnya.

3.2. Bagan Alir Perencanaan

Lingkup pekerjaan yang akan dilaksanakan dalam penyelesaian tugas akhir ini akan dijelaskan sesuai bagan alir pada Gambar 3.1.





Gambar 3.1 Bagan Alir Penyelesaian Tugas Akhir

3.3. Pengumpulan Data

3.3.1. Data Awal

a. Data Umum Bangunan

Nama Gedung : Gedung Fakultas Ekonomi dan Bisnis Universitas Muhammadiyah Prof. Dr. Hamka (UHAMKA)

Lokasi : Jl. Raya Bogor Km.23 No.99, Ciracas, Kota Jakarta Timur, Daerah Khusus

Ibukota Jakarta
 Fungsi : Gedung Perkantoran dan Fasilitas Pendidikan
 Jumlah Lantai : 9 lantai dengan *basement*
 Tinggi Bangunan : 37,72 meter
 Total Luas Area : 407,6 m²
 Struktur Bangunan : Struktur beton bertulang

b. Data Material

Kekuatan Tekan Beton (f'_c) : 30 MPa
 Tegangan Leleh Baja (f_y) : 400 MPa
 Data Tanah : (Lampiran)

3.3.2. Data Modifikasi

a. Data Umum Bangunan

Nama Gedung : Gedung Fakultas Ekonomi dan Bisnis Universitas Muhammadiyah Prof. Dr. Hamka (UHAMKA)
 Lokasi : Jl. Raya Bogor Km.23 No.99, Ciracas, Kota Jakarta Timur, Daerah Khusus Ibukota Jakarta
 Fungsi : Gedung Perkantoran dan Fasilitas Pendidikan
 Jumlah Lantai : 15 lantai dengan *basement*
 Tinggi Bangunan : 60,00 meter
 Total Luas Area : 407,6 m²
 Struktur Bangunan : Struktur beton pracetak

b. Data Material

Kekuatan Tekan Beton (f'_c) : 35, 40, dan 45 MPa
 Tegangan Leleh Baja (f_y) : 420 MPa

3.4. Peraturan dan Pedoman

Dalam modifikasi perencanaan struktur Gedung Fakultas Ekonomi dan Bisnis Universitas Muhammadiyah Prof. Dr. Hamka (UHAMKA), digunakan beberapa pedoman atau peraturan yang berlaku, di antaranya adalah:

1. SNI 2847:2019 tentang Persyaratan Beton Struktural untuk Bangunan Gedung
2. SNI 1727:2013 tentang Beban Minimum untuk Perencanaan Bangunan Gedung dan Struktur Lain
3. SNI 1726:2019 tentang Tata Cara Perencanaan Ketahanan Gempa untuk Struktur Gedung dan Non Gedung
4. PPIUG 1983
5. *PCI Design Handbook Precast and Prestressed Concrete 6th Edition*

3.5. Perencanaan Struktur Sekunder

3.5.1. Perencanaan Balok Anak

Pelat sebagai elemen yang paling awal menerima beban kemudian akan mendistribusikan beban ke balok anak. Beban yang diterima balok anak akan dihitung sebagai beban ekuivalen trapesium.

Dari beban yang dipikul oleh balok anak tersebut akan digunakan untuk menghitung gaya dalam. Gaya dalam tersebut akan digunakan untuk menghitung gaya dalam. Gaya dalam tersebut digunakan untuk perhitungan penulangan lentur dan geser. Penentuan dimensi awal balok anak sama dengan balok induk yaitu mengacu pada SNI 2847:2019 pasal 9.3.1. Sementara untuk penulangan balok anak sama dengan penulangan balok induk yang akan dibahas lebih detail pada sub bab selanjutnya.

3.5.2. Perencanaan Tangga

Perencanaan tangga dimulai dengan menghitung lebar dan tinggi injakan pada tanggam dengan syarat sebagai berikut:

$$60 \text{ cm} \leq 2t + i \leq 65 \text{ cm} \quad (3-13)$$

dimana:

t = tinggi injakan

i = lebar injakan

α = sudut kemiringan tangga ($25^\circ \leq \alpha \leq 40^\circ$)

Untuk penulangan tangga, perhitungan penulangan pelat bordes dan pelat dasar tangga dilakukan sama dengan perencanaan tulangan pelat dengan anggapan tumpuan sederhana (sendi dan rol). Perencanaan tebal tangga ditentukan sesuai ketentuan dalam perhitungan dimensi awal pelat.

3.5.3. Perencanaan dan Kontrol *Hollow Core Slab*

Pelat pracetak seperti *hollow core slab* biasanya didesain menggunakan tumpuan sederhana dan didesain menggunakan sistem pelat satu arah. Penulangan dalam bentuk tendon *post tension* diletakkan di bawah elemen pracetak untuk menahan momen positif yang terjadi. Penulangan pelat pada bagian atas biasanya digunakan untuk menahan retak lentur pada saat pemasangan dan penyusutan akibat perubahan temperatur.

3.5.3.1. Kontrol Kapasitas *Hollow Core Slab*

Berdasarkan *PCI Manual for the Design of Hollow Core Slab* tahun 1998, untuk pelat yang menerima beban seragam, tabel kapasitas beban yang terlampir pada katalog produsen sudah mempertimbangkan beberapa persyaratan yang harus dipenuhi oleh *hollow core slab* antara lain yaitu kontrol tegangan akibat pengaruh kabel prategang, defleksi, kekuatan lentur, dan kekuatan geser. Sehingga untuk perencanaan *hollow core slab* pada tugas akhir ini mengacu pada tabel kapasitas beban dari katalog *Hollow Core Slab* PT. Beton Elemenindo Perkasa.

Untuk mengetahui apakah *Hollow Core Slab* mampu menahan beban yang diterima, maka persamaan berikut harus terpenuhi:

$$Q_n \geq Q_u \quad (3-1)$$

dimana:

Q_n = kapasitas *Hollow Core Slab* (kg/m^2)

Q_u = beban ultimate yang diterima pelat (kg/m^2)

3.5.3.2. Pengangkatan *Hollow Core Slab*

Pemasangan pelat pracetak harus diperhatikan bahwa pelat akan mengalami pengangkatan sehingga perlu perencanaan terhadap tulangan angkat untuk pelat dengan tujuan untuk menghindari tegangan yang disebabkan oleh fleksibilitas dari truk pengangkatan dalam proses transportasi. Kondisi yang demikian menyebabkan terjadinya momen-momen pada elemen pracetak seperti pada Gambar 3.2 dan Gambar 3.3. Pada proses pengangkatan dapat menggunakan bantuan balok angkat yang memiliki kegunaan untuk menyeimbangkan elemen pracetak pada saat pengangkatan. Jenis titik angkat pada pelat tersebut dijelaskan berikut ini:

a. Empat Titik Angkat

Maksimum momen pendekatan:

$$+M_x = -M_x = 0,0107 w a^2 b \quad (3-2)$$

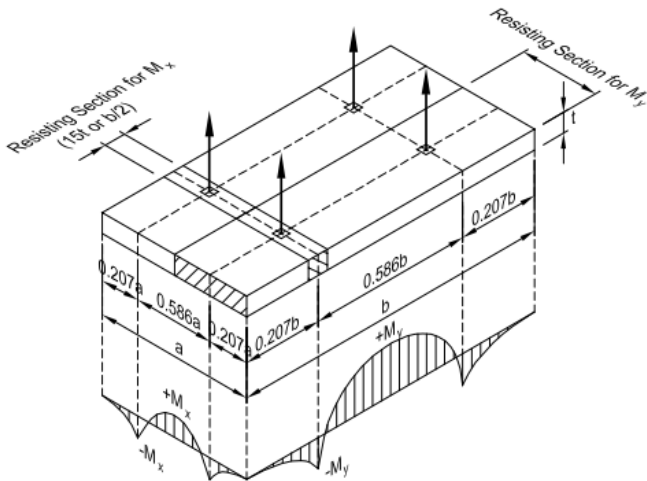
$$+M_y = -M_y = 0,0107 w a b^2 \quad (3-3)$$

dimana:

W = berat per luasan area

M_x ditahan oleh penampang dengan lebar terkecil dan $15t$ atau $b/4$

M_y ditahan oleh penampang dengan lebar $a/2$



Gambar 3.2 Posisi Titik Angkat Pelat (4 Titik Angkat)
(PCI Design Handbook, 2004)

b. Delapan Titik Angkat

Maksimum momen pendekatan:

$$+M_x = -M_x = 0,0054 w a^2 b \quad (3-4)$$

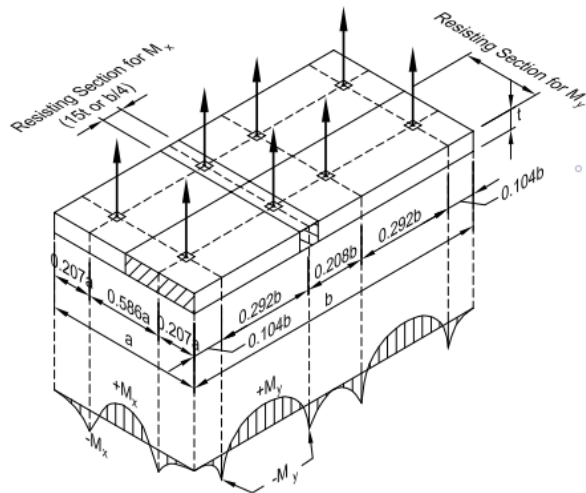
$$+M_y = -M_y = 0,0054 w a b^2 \quad (3-5)$$

dimana:

W = berat per luasan area

M_x ditahan oleh penampang dengan lebar terkecil dan $15t$
atau $b/4$

M_y ditahan oleh penampang dengan lebar $a/2$



Gambar 3.3 Posisi Titik Angkat Pelat (8 Titik Angkat)
(PCI Design Handbook, 2004)

3.6. Preliminary Design

3.6.1. Perencanaan Dimensi *Hollow Core Slab*

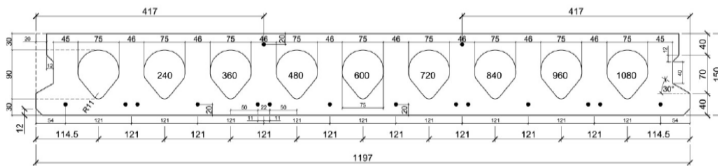
Hollow Core Slab yang digunakan pada perencanaan tugas akhir ini menggunakan *Hollow Core Slab* hasil produksi PT. Beton Elemindo Perkasa yang memiliki data dan penampang seperti pada Gambar 3.4 dan Gambar 3.5.



Type	Area (cm ²)	Self Load (Kg/m ²)	Rongga
HCS 150	1.117,18	247	35,80%

Gambar 3.4 Data Penampang *Hollow Core Slab* yang Digunakan
(Brosur PT. Beton Elemenindo Perkasa)

PENAMPANG TEBAL 150 mm



Gambar 3.5 Detail Penampang *Hollow Core Slab* yang Digunakan
(Brosur PT. Beton Elemenindo Perkasa)

3.6.2. Perencanaan Dimensi Balok

Untuk menentukan ukuran tinggi balok, baik balok anak maupun balok induk direncanakan dimensi tinggi balok awal berdasarkan SNI 2847:2019 pasal 9.3.1 pada tabel 9.3.1.1. Lebar balok ditentukan $2/3$ dari tinggi balok (h_{\min}). Peraturan mengenai tinggi minimum balok dijelaskan pada Tabel 3.1.

Tabel 3.1 Tinggi Minimum Balok

Kondisi Perletakan	Minimum h
Perletakan sederhana	$l/16$
Menerus satu sisi	$l/18,5$
Menerus dua sisi	$l/21$
Kantilever	$l/8$

(SNI 2847:2019)

dimana:

h_{\min} = tinggi balok

L = panjang balok

3.6.3. Perencanaan Dimensi Kolom

Ukuran kolom ditentukan berdasarkan beban tekan aksial yang dipikul berdasarkan SNI 2847:2019 pasal 10.3.1 dengan rumus:

$$A_{perlu} = \frac{W}{\Phi f'_c} \quad (3-6)$$

dimana:

- A = Luas penampang kolom yang dibutuhkan
- W = Total beban yang menumpu kolom
- Φ = faktor reduksi = 0,5

3.6.4. Perencanaan Dimensi Dinding Geser

Berdasarkan peraturan SNI 2847:2019 pasal 11.3.1.1, tebal dinding minimum untuk tipe dinding tumpu adalah diambil yang terbesar dari:

- a. 100 mm
- b. 1/25 nilai terkecil dari panjang dan tinggi tidak tertumpu

3.7. Pembebanan

Dalam analisa perhitungan desain suatu struktur, perlu ada gambaran yang jelas mengenai perilaku dan besar beban yang bekerja pada struktur tersebut. Berikut akan dijelaskan lebih lanjut mengenai beban-beban dan kombinasi pembebanan yang digunakan berdasarkan SNI 1727:2013.

3.7.1. Beban Mati

Beban mati adalah berat seluruh bahan konstruksi bangunan gedung yang terpasang, termasuk dinding, lantai, atap, plafon, tangga, dinding partisi tetap, finishing, kulit bangunan gedung, dan komponen arsitektural dan struktural lainnya serta peralatan layan terpasang lain termasuk berat keran. Jenis-jenis dan besarnya beban mati yang akan digunakan dijelaskan pada Tabel 3.2.

Tabel 3.2 Jenis dan Besar Beban Mati

Jenis Beban	Besar Beban
Beton bertulang	2400 kg/m ³
Aspal	2200 kg/m ³
Plafon	7 kg/m ²
Penggantung plafon	11 kg/m ²
Keramik	24 kg/m ²
Spesi per cm tebal	21 kg/m ²
<i>Ducting dan plumbing</i>	30 kg/m ²
Dinding bata ringan 60x20x10	100 kg/m ²

(PPIUG 1983)

3.7.2. Beban Hidup

Beban hidup adalah beban yang diakibatkan oleh pengguna dan penghuni bangunan gedung atau struktur lain yang tidak termasuk beban konstruksi dan beban lingkungan, seperti beban angin, beban hujan, beban gempa, beban banjir, atau beban mati.

Semua beban hidup mempunyai karakteristik dapat bergerak sehingga untuk menentukan secara pasti nilai beban hidup yang bekerja sangat sulit karena fluktuasi beban hidup yang bervariasi. Oleh karena itu, digunakan peraturan SNI 1727:2013 pada Tabel 4-1 sebagai acuan untuk menentukan beban hidup di Gedung Fakultas Ekonomi dan Bisnis Universitas Muhammadiyah Prof. Dr. Hamka (UHAMKA).

3.7.3. Beban Gempa

Menurut SNI 1726:2019, terdapat 2 metode analisa gempa dinamik, yaitu analisis respon spektrum dan analisis respon dinamik riwayat gempa (*time history*). Pada tugas akhir ini digunakan analisis gempa dengan menggunakan respon spektrum. Berikut merupakan tahapan perhitungan analisa respon spektrum untuk mendapatkan nilai gaya gempa lateral yang timbul di semua tingkat.

3.7.3.1. Menentukan Kelas Situs

SNI 1726:2019 pasal 5.3 mengatur tata cara untuk menentukan klasifikasi situs. Salah satu cara yang dapat dilakukan yaitu dengan menentukan nilai N berdasarkan data hasil SPT. Adapun definisi parameter kelas situs yang menggunakan data SPT dapat dilihat pada SNI 1726:2019 pasal 5.4.2 persamaan (2) yang dijelaskan pada Tabel 3.3.

Tabel 3.3 Klasifikasi Situs

Kelas Situs	\bar{v}_s (m/detik)	\bar{N} atau \bar{N}_{ch}	\bar{s}_u (kPa)
SA (batuan keras)	>1500	N/A	N/A
SB (batuan)	750 sampai 1500	N/A	N/A
SC (tanah keras, sangat padat dan batuan lunak)	350 sampai 750	>50	≥ 100
SD (tanah sedang)	175 sampai 350	15 sampai 50	50 sampai 100
SE (tanah lunak)	<175	<15	<50
	Atau setiap profil tanah yang mengandung lebih dari 3 m tanah dengan karakteristik sebagai berikut: 1. Indeks plastisitas, $PI > 20$ 2. Kadar air, $w \geq 40\%$ 3. Kuat geser nirlalir, $\bar{s}_u < 25$ kPa		
SF (tanah khusus, yang membutuhkan investigasi geoteknik spesifik dan analisis respons spesifik-situs yang mengikuti 0)	Setiap profil lapisan tanah yang memiliki salah satu atau lebih dari karakteristik berikut: - Rawan dan berpotensi gagal atau runtuh akibat beban gempa seperti mudah likuifaksi,		

	lempung sangat sensitif, tanah tersementasi lemah - Lempung sangat organik dan/atau gembut (ketebalan $H > 3$ m)
--	---

(SNI 1726:2019, Tabel 5)

3.7.3.2. Menentukan Kategori Risiko Bangunan dan Faktor Keutamaan Gempa

Sesuai Tabel 1 SNI 1726:2019, untuk berbagai resiko struktur bangunan gedung dan non gedung, pengaruh gempa rencana terhadapnya harus dikalikan dengan suatu faktor keutamaan I_e menurut Tabel 4 SNI 1726:2019. Faktor keutamaan gempa bergantung pada kategori resiko bangunan mengikuti Tabel 3.4 dan Tabel 3.5.

Tabel 3.4 Kategori Risiko Bangunan

Jenis Pemanfaatan	Kategori Risiko
Gedung dan non gedung yang ditunjukkan sebagai fasilitas yang penting, termasuk, tetapi tidak dibatasi untuk: <ul style="list-style-type: none"> - Bangunan-bangunan monumental - Gedung sekolah dan fasilitas pendidikan - Rumah sakit dan fasilitas kesehatan lainnya yang memiliki fasilitas bedah dan unit gawat darurat - Tempat perlindungan terhadap gempa bumi, angin badai, dan tempat perlindungan darurat lainnya - Fasilitas kesiapan darurat, komunikasi, pusat operasi dan fasilitas lainnya untuk tanggap darurat 	IV

<ul style="list-style-type: none"> - Pusat pembangkit energi dan fasilitas publik lainnya yang dibutuhkan pada saat keadaan darurat - Struktur tambahan (termasuk menara telekomunikasi, tangka penyimpanan bahan bakar, menara pendingin, struktur stasiun listrik, tangki air pemadam kebakaran atau struktur rumah atau struktur pendukung air atau material atau peralatan pemadam kebakaran) yang disyaratkan untuk beroperasi pada saat keadaan darurat <p>Gedung dan non gedung yang dibutuhkan untuk mempertahankan fungsi struktur bangunan lain yang masuk ke dalam kategori risiko IV.</p>	
---	--

(SNI 1726:2019, Tabel 3)

Tabel 3.5 Faktor Keutamaan Gempa (I_e)

Kategori Risiko	Faktor Keutamaan Gempa, I_e
I atau II	1,0
III	1,25
IV	1,50

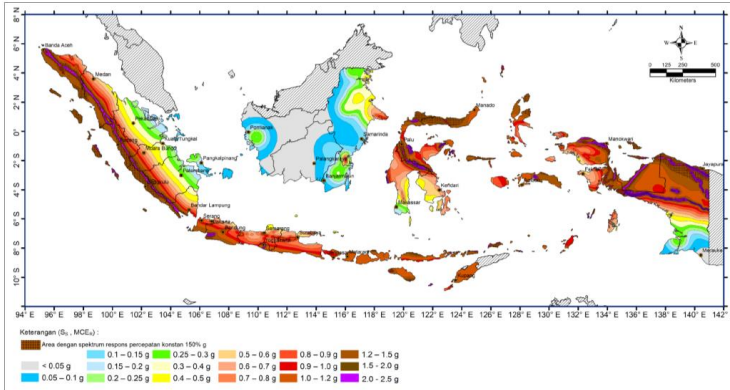
(SNI 1726:2019, Tabel 4)

Gedung Fakultas Ekonomi dan Bisnis Universitas Muhammadiyah Prof. Dr. Hamka (UHAMKA) merupakan gedung fasilitas pendidikan sehingga termasuk ke dalam kategori IV dan faktor keutamaan gempanya (I_e) sebesar 1,50.

3.7.3.3. Menentukan Nilai S_s dan S_1

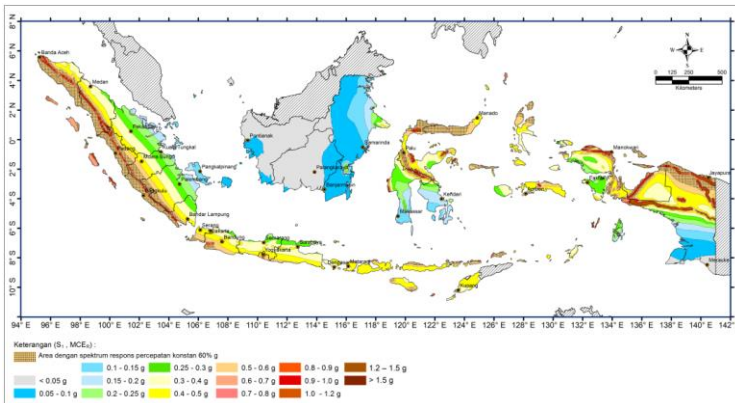
S_s adalah parameter respons spektral percepatan gempa MCE_R terpetakan untuk perioda pendek redaman 5 persen (SNI

1726:2019). Nilai S_s diperoleh dari letak bangunan sesuai dengan peta zona gempa Indonesia pada Gambar 3.6.



Gambar 3.6 S_s , Gempa maksimum yang dipertimbangkan risiko tertarget (MCE_R) (SNI 1726:2019, Gambar 15)

S_1 adalah parameter respons spektral percepatan gempa MCE_R terpetakan untuk periode 1,0 detik redaman 5 persen (SNI 1726:2019). Nilai S_1 diperoleh dari letak bangunan sesuai dengan peta zona gempa Indonesia pada Gambar 3.7.



Gambar 3.7 S_1 , Gempa maksimum yang dipertimbangkan risiko tertarget (MCE_R) (SNI 1726:2019, Gambar 16)

3.7.3.4. Menentukan Faktor Amplifikasi Getaran

Untuk menentukan respons spektral percepatan gempa MCE_R di permukaan tanah, diperlukan faktor amplifikasi seismik pada perioda 0,2 detik dan perioda 1 detik. Faktor amplifikasi meliputi faktor amplifikasi getaran terkait percepatan pada getaran perioda pendek (F_a) dan faktor amplifikasi getaran terkait percepatan pada getaran perioda 1 detik (F_v). Faktor amplifikasi getaran terkait percepatan pada getaran perioda pendek (F_a) bergantung pada nilai situs terdahulu dan nilai S_s , sementara faktor amplifikasi getaran terkait percepatan pada getaran perioda 1 detik (F_v) bergantung pada kelas situs terdahulu dan nilai S_1 . Nilai F_a dan F_v ditentukan oleh Tabel 3.6 dan Tabel 3.7.

Tabel 3.6 Koefisien situs, F_a

Kelas Situs	Parameter respon spektral percepatan gempa maksimum yang dipertimbangkan risiko-tertarget (MCE_R) terpetakan pada periode pendek, $T = 0,2$ detik, S_s					
	$S_s \leq 0,25$	$S_s = 0,5$	$S_s = 0,75$	$S_s = 1,0$	$S_s = 1,25$	$S_s \geq 1,5$
SA	0,8	0,8	0,8	0,8	0,8	0,8
SB	1,0	0,9	0,9	0,9	0,9	0,9
SC	1,3	1,3	1,2	1,2	1,2	1,2
SD	1,6	1,4	1,2	1,0	1,0	1,0
SE	2,4	1,7	1,3	0,9	0,9	0,8
SF	SS^a					

(SNI 1726:2019, Tabel 6)

Tabel 3.7 Koefisien situs, F_v

Kelas Situs	Parameter respon spektral percepatan gempa maksimum yang dipertimbangkan risiko-tertarget (MCE_R) terpetakan pada periode 1 detik, S_1					
	$S_1 \leq 0,1$	$S_1 = 0,2$	$S_1 = 0,3$	$S_1 = 0,4$	$S_1 = 0,5$	$S_1 \geq 0,6$
SA	0,8	0,8	0,8	0,8	0,8	0,8
SB	0,8	0,8	0,8	0,8	0,8	0,8
SC	1,5	1,5	1,5	1,5	1,5	1,4
SD	2,4	2,2	2,0	1,9	1,8	1,7
SE	4,2	3,3	2,8	2,4	2,2	2,0
SF	SS ^a					

(SNI 1726:2019, Tabel 7)

3.7.3.5. Menentukan S_{MS} dan S_{M1}

Berdasarkan SNI 1726:2019 pasal 6.2, parameter spektrum respons percepatan pada perioda pendek (S_{MS}) dan perioda 1 detik (S_{M1}) yang disesuaikan dengan pengaruh klasifikasi situs, harus ditentukan dari persamaan berikut:

$$S_{MS} = F_a S_s \quad (3-7)$$

$$S_{M1} = F_v S_1 \quad (3-8)$$

3.7.3.6. Menghitung Nilai S_{D1} dan S_{DS}

Berdasarkan SNI 1726:2019 pasal 6.3, parameter percepatan spektral desain untuk perioda pendek (S_{DS}) dan pada perioda 1 detik (S_{D1}) harus ditentukan melalui persamaan berikut ini:

$$S_{DS} = \frac{2}{3} S_{MS} \quad (3-9)$$

$$S_{D1} = \frac{2}{3} S_{M1} \quad (3-10)$$

3.7.3.7. Menentukan Kategori Desain Seismik (K_{DS})

Dari nilai S_{DS} , S_{D1} dan kategori risiko gedung akan didapatkan dua kategori desain seismik. Nilai yang diambil adalah yang paling besar dari kedua K_{DS} tersebut. Nilai tersebut didapatkan harus dari nilai dalam Tabel 3.8 dan Tabel 3.9 berikut ini:

Tabel 3.8 Kategori Desain Seismik berdasarkan Parameter Respons Percepatan Periode Pendek, S_{DS}

Nilai S_{DS}	Kategori Risiko	
	I atau II atau III	IV
$S_{DS} < 0,167$	A	A
$0,167 \leq S_{DS} < 0,33$	B	C
$0,33 \leq S_{DS} < 0,50$	C	D
$0,50 \leq S_{DS}$	D	D

(SNI 1726:2019, Tabel 8)

Tabel 3.9 Kategori Desain Seismik berdasarkan Parameter Respons Percepatan Periode 1 Detik, S_{D1}

Nilai S_{D1}	Kategori Risiko	
	I atau II atau III	IV
$S_{D1} < 0,067$	A	A
$0,067 \leq S_{D1} < 0,133$	B	C
$0,133 \leq S_{D1} < 0,20$	C	D
$0,20 \leq S_{D1}$	D	D

(SNI 1726:2019, Tabel 9)

Sistem rangka pemikul momen (SRPM) adalah sistem rangka ruang dimana komponen-komponen struktur balok, kolom, dan sambungan menahan gaya-gaya yang bekerja melalui aksi lentur, geser, dan aksial. SRPM dapat dikelompokkan sebagai berikut:

- a. Sistem Rangka Pemikul Momen Biasa (SRPMB); Suatu sistem rangka yang memenuhi ketentuan-ketentuan SNI beton pasal 1-20 dan 22, serta Pasal 21.1.2 dan 21.2. Sistem rangka ini pada dasarnya memiliki tingkat daktilitas terbatas dan hanya cocok digunakan untuk bangunan yang dikenakan maksimal KDS B.
- b. Sistem Rangka Pemikul Momen Menengah (SRPMM); Suatu sistem rangka yang selain memenuhi ketentuan-ketentuan untuk rangka pemikul momen biasa juga memenuhi ketentuan detailing pasal 21.1.2 dan 21.1.8 serta 21.3. Sistem ini pada dasarnya memiliki tingkat daktilitas sedang dan dapat digunakan untuk bangunan yang dikenakan maksimum KDS C.
- c. Sistem Rangka Pemikul Momen Khusus (SRPMK); Suatu sistem rangka yang selain memenuhi ketentuan-ketentuan untuk rangka pemikul momen biasa juga memenuhi ketentuan-ketentuan Pasal 21.1.2 hingga 21.1.8, Pasal 21.5 hingga 21.8, serta Pasal 21.11 hingga 21.13. Sistem ini memiliki tingkat daktilitas penuh dan harus digunakan untuk bangunan yang dikenakan KDS D, E atau F.

Sistem struktur yang dipilih harus sesuai dengan batasan dan memperhatikan koefisien dalam jenis sistem struktur sesuai dengan SNI 1726:2019 Pasal 7.2.2.

3.7.3.8. Menghitung Koefisien Respon Seismik

Koefisien respons seismik (C_s) harus ditentukan sesuai dengan ketentuan yang ditetapkan pada SNI 1726:2019 pasal 7.8.1.1:

$$C_s = \frac{S_{DS}}{\left(\frac{R}{I_e}\right)} \quad (3-11)$$

dimana:

S_{DS} = parameter percepatan spektrum respons desain dalam rentang periode pendek

R = faktor modifikasi respons yang ditentukan oleh sistem penahan gempa yang dipilih

I_e = faktor keutamaan gempa yang ditentukan kategori risiko

Nilai C_s yang dihitung \leq dari:

$$C_s = \frac{S_{DS}}{T\left(\frac{R}{I_e}\right)} \quad (3-12)$$

Dan $C_s \geq$ dari:

$$C_s = 0,044 S_{DS} I_e \geq 0,01 \quad (3-13)$$

Untuk struktur yang berlokasi di daerah dimana S_1 sama dengan atau lebih besar dari 0,6g, maka C_s harus tidak kurang dari:

$$C_s = \frac{0,5 S_1}{\left(\frac{R}{I_e}\right)} \quad (3-14)$$

dimana:

S_{D1} = parameter percepatan spektrum respons desain pada periode 1 detik

T = periode fundamental struktur (detik)

S_1 = parameter percepatan spektrum respons maksimum

3.7.3.9. Menghitung Berat Seismik Efektif

Berat seismik efektif struktur, harus menyertakan seluruh beban mati dan beban lainnya, yaitu:

- Daerah yang digunakan untuk penyimpanan: minimum sebesar 25% beban hidup lantai (beban lantai di garasi publik dan struktur parkir terbuka, serta beban penyimpanan yang tidak melebihi 5 persen dari berat seismik efektif pada suatu lantai tidak perlu disertakan);
- Jika ketentuan untuk partisi diisyaratkan dalam desain beban lantai, diambil yang terbesar di antara berat partisi aktual atau berat daerah lantai minimum sebesar 0,46 kN/m²;

- Berat opsional total dari peralatan yang permanen;
- Berat lansekap dan beban lainnya pada taman atap dan luasan sejenis lainnya.

3.7.3.10. Menghitung Distribusi Gaya Vertikal

Gaya gempa lateral (F_x), dalam kN, yang timbul di semua tingkat harus ditentukan dari persamaan:

$$F_x = C_{vx} V \quad (3-15)$$

dan

$$C_{vx} = \frac{W_x h_x^k}{\sum_{i=1}^n W_i h_i^k} \quad (3-16)$$

dimana:

C_{vx} = faktor distribusi vertikal

V = gaya lateral desain total atau geser di dasar struktur (kN)

W_i dan W_x = bagian berat seismik efektif total struktur pada tingkat i atau x (kN)

h_i dan h_x = tinggi dari dasar sampai tingkat i atau x (m)

k = eksponen yang terkait dengan perioda struktur berikut ini: struktur dengan

perioda 0,5 atau kurang, $k = 1$; struktur dengan perioda 2,5 atau lebih, $k = 2$; struktur dengan perioda 0,5 – 2,5, $k = 2$, atau interpolasi linear antara 1 dan 2.

3.7.4. Kombinasi Pembebanan

Dalam perencanaan pembebanan digunakan kombinasi pembebanan sesuai dengan SNI 1727:2013 pasal 2.3.2, sebagai berikut:

- $U = 1,4D$
- $U = 1,2D + 1,6L$
- $U = 1,2D + 1,0L \pm 1,0E$
- $U = 1,0D + 1,0L$
- $U = 0,9D \pm 1,0E$

dimana:

- U = beban ultimate
- D = beban mati
- L = beban hidup
- E = beban gempa

3.8. Permodelan dan Analisa Struktur

3.8.1. Penggunaan Analisa Struktur

Analisa struktur utama menggunakan program bantu analisa struktur ETABS untuk mendapatkan reaksi dan gaya dalam yang terjadi pada masing-masing elemen struktur. Namun demikian, tetap diperlukan kontrol dalam permodelan struktur agar mendekati keadaan di lapangan.

3.8.2. Perhitungan Gaya Dalam

Untuk memperoleh gaya dalam pada analisa struktur menggunakan program bantu ETABS, diperlukan *input* data berupa:

- a. Bentuk dan koordinat gedung
- b. Spesifikasi kekuatan material beton yang digunakan
- c. Pembebanan struktur
- d. Kombinasi pembebanan
- e. Respons spektrum gempa sesuai wilayah didirikannya gedung

3.8.3. Kontrol Permodelan Struktur

Permodelan yang dibuat harus memenuhi beberapa kriteria di bawah agar gaya gempa yang terjadi pada permodelan dapat digunakan saat perencanaan. Di antaranya adalah kontrol partisipasi massa, kontrol periode fundamental struktur, kontrol gaya skala dinamis, kontrol *drift*, kontrol sistem ganda, dan kontrol pengaruh p-delta.

Pada Gedung Fakultas Ekonomi dan Bisnis Universitas Muhammadiyah Prof. Dr. Hamka, terdapat potensi adanya ketidakberaturan struktur baik secara horizontal maupun

vertikal. Namun, karena permodelan yang dilakukan menggunakan analisis linear dinamik yaitu analisis spektrum respons ragam, tidak perlu dilakukan peninjauan terhadap ketidakberaturan struktur. Peninjauan tersebut dilakukan jika permodelan yang dilakukan menggunakan analisis statik ekuivalen.

3.8.3.1. Kontrol Partisipasi Massa

Berdasarkan SNI 1726:2019 pasal 7.9.1, nilai partisipasi massa harus sekurang-kurangnya mencapai 90% dari massa aktual struktur. Analisis harus dilakukan untuk menentukan ragam getar alami suatu struktur. Analisis harus menyertakan jumlah ragam yang cukup untuk mendapatkan partisipasi massa ragam terkombinasi paling sedikit 90% dari massa aktual masing-masing arah horizontal ortogonal dari respons yang ditinjau oleh model.

3.8.3.2. Kontrol Periode Fundamental Struktur (SNI 1726:2019 pasal 7.8.2)

Periode fundamental struktur (T) dalam arah yang ditinjau harus diperoleh menggunakan properti struktur dan karakteristik deformasi elemen penahan dalam analisis yang teruji. Periode fundamental struktur (T) tidak boleh melebihi hasil perkalian koefisien untuk batasan atas pada periode yang dihitung (C_u) dari Tabel 3.10 dan periode fundamental pendekatan (T_a) yang ditentukan sesuai dengan pasal 7.8.2.1. Sebagai alternatif dalam melakukan analisis untuk menentukan periode fundamental struktur (T) diijinkan secara langsung menggunakan periode bangunan pendekatan (T_a) yang dihitung sesuai dengan pasal 7.8.2.1.

$$T_a = C_t \times h n^x \quad (3-17)$$

dimana:

$h n$ = Ketinggian struktur (m)

C_t = Koefisien yang ditentukan dari Tabel 3.11

x = Koefisien yang ditentukan dari Tabel 3.11

Tabel 3.10 Koefisien C_u

Parameter percepatan respons spektral desain pada 1 detik, SDI	Koefisien C_u
$\geq 0,4$	1,4
0,3	1,4
0,2	1,5
0,15	1,6
$\leq 0,1$	1,7

(SNI 1726:2019, Tabel 17)

Tabel 3.11 Koefisien C_t dan x

Tipe Struktur	C_t	x
Rangka Baja Pemikul Momen	0,0724	0,8
Rangka Beton Pemikul Momen	0,0466	0,9
Rangka Baja dengan Bresing Eksentris	0,0731	0,75
Rangka Baja dengan Bresing Terkekang Terhadap Tekuk	0,0731	0,75
Semua Sistem Struktur Lainnya	0,0488	0,75

(SNI 1726:2019, Tabel 18)

3.8.3.3. Kontrol Skala Gaya Dinamis

Sesuai dengan SNI 1726:2019 pasal 7.9.1.4.1, gaya dinamis $>$ gaya statis. Bila perioda fundamental struktur (T) yang dihitung melebihi nilai $C_u \times T_a$, maka $C_u \times T_a$ harus digunakan sebagai pengganti T dalam arah itu.

Kombinasi respons untuk geser dasar ragam (V_t) kurang dari 100% dari geser dasar yang dihitung (V) melalui metode statik ekuivalen, maka gaya harus dikalikan dengan V/V_t .

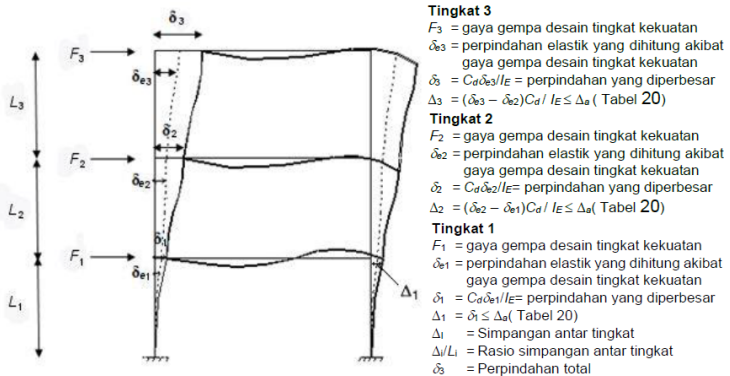
3.8.3.4. Kontrol Simpangan Bangunan (*Drift*) (SNI 1726:2019 pasal 7.8.6)

Penentuan simpangan antar lantai tingkat desain harus dihitung sebagai perbedaan defleksi pada pusat massa di tingkat teratas dan terbawah yang ditinjau. Apabila pusat massa terletak tidak segaris dalam arah vertikal, diizinkan untuk menghitung defleksi di dasar tingkat berdasarkan proyeksi vertikal dari pusat massa tingkat di atasnya. Jika desain tegangan ijin digunakan, defleksi harus dihitung menggunakan gaya gempa dengan tingkat kekuatan yang ditetapkan tanpa reduksi untuk desain tegangan ijin. Penentuan simpangan izin pada struktur dijelaskan pada Tabel 3.12 dan Gambar 3.8.

Tabel 3.12 Simpang Ijin Struktur

Struktur	Kategori Risiko		
	I atau II	III	IV
Struktur, selain dari struktur dinding geser batu bata, 4 tingkat atau kurang dengan dinding interior, partisi, langit-langit dan sistem dinding eksterior yang telah didesain untuk mengakomodasi simpangan antar tingkat	$0,025h_{xx}^c$	$0,020h_{xx}$	$0,015h_{xx}$
Struktur dinding geser kantilever batu bata ^d	$0,010h_{xx}$	$0,010h_{xx}$	$0,010h_{xx}$
Struktur dinding geser batu bata lainnya	$0,007h_{xx}$	$0,007h_{xx}$	$0,007h_{xx}$
Semua struktur lainnya	$0,020h_{xx}$	$0,015h_{xx}$	$0,010h_{xx}$

(SNI 1726:2012, Tabel 16)



Gambar 3.8 Penentuan Simpangan Tiap Lantai (SNI 1726:2019 Gambar 10)

3.8.3.5. Kontrol Sistem Ganda (SNI 1726:2019 pasal 7.2.5.1)

Untuk sistem ganda, rangka pemikul momen harus memikul paling sedikit 25% gaya seismik desain. Tahanan gaya seismik total harus disediakan oleh kombinasi rangka pemikul momen dan dinding geser atau rangka bresing, dengan distribusi yang proporsional terhadap kekakuannya.

3.8.3.6. Kontrol Pengaruh P-Delta (SNI 1726:2019 pasal 7.9.1.6)

Pada struktur gedung umumnya, khususnya bangunan tinggi, pengaruh P-Delta dapat mungkin terjadi khususnya untuk kolom langsing terhadap pembebanan gravitasi, termasuk beban mati maupun beban hidup. Pengaruhnya dapat menyebabkan kolom tersebut semakin lentur terhadap pembebanan lateral. Sehingga efek P-Delta tidak dapat diabaikan dalam perencanaan dan desain struktur.

Pengaruh P-Delta pada geser tingkat dan momen, gaya dan momen elemen struktur yang dihasilkan, dan simpangan antar tingkat yang diakibatkannya tidak perlu diperhitungkan bila koefisien stabilitas (θ) seperti yang ditentukan oleh persamaan berikut sama dengan atau kurang dari 0,10:

$$\theta = \frac{P_x \Delta I_e}{V_x h_{sx} C_d} \quad (3-18)$$

Dimana:

P_x : beban desain vertikal total pada dan di atas tingkat-x (kN)

Δ : simpangan antar tingkat desain akibat gaya seismik (mm)

I_e : faktor keutamaan gempa

V_x : gaya geser seismik yang bekerja antara tingkat x dan x-1 (kN)

h_{sx} : tinggi tingkat di bawah tingkat x (mm)

C_d : faktor pembesaran defleksi

Koefisien stabilitas tidak boleh melebihi persamaan berikut

$$\theta_{max} = \frac{0,5}{\beta C_d} \quad (3-19)$$

Dimana β adalah rasio kebutuhan geser terhadap kapasitas geser. Rasio ini diizinkan secara konservatif diambil sebesar 1,0.

Jika $0,10 < \theta \leq \theta_{max}$, gaya komponen struktur harus dikalikan oleh faktor peningkatan yaitu sebesar $1,0/(1 - \theta)$. Jika $\theta \geq \theta_{max}$, struktur berpotensi tidak stabil dan harus didesain ulang.

3.9. Perencanaan Struktur Primer

3.9.1. Penulangan Balok

Perencanaan penulangan balok untuk struktur primer dan sekunder mengacu pada SNI 2847:2019 pasal 22.2.2.

3.9.1.1. Perencanaan Tulangan Lentur pada Balok

Berikut tahapan perencanaan dalam perencanaan dalam penulangan lentur pada balok induk:

1. Penentuan data-data yang akan digunakan, yakni d (tinggi efektif beton), f_y (kuat leleh tulangan baja), f'_c (kuat tekan beton), dan M_u (momen *ultimate*)
2. Menentukan nilai β_1 , sesuai dengan SNI 2847:2019 pasal 22.2.2.4.3 yaitu:
 - a. Untuk $17 \leq f'_c \leq 28$ maka $\beta_1 = 0,85$
 - b. Untuk $28 < f'_c < 55$ maka $\beta_1 = 0,85 - \frac{0,05(f'_c - 28)}{7}$
 - c. Untuk $f'_c \geq 55$ maka $\beta_1 = 0,65$
3. Menentukan batasan tulangan dengan menggunakan rasio tulangan yang telah disyaratkan sebagai berikut:

$$\rho_{max} \leq 0,025 \quad (3-20)$$

SNI 2847:2019 (Pasal 18.6.3.1)

$$\rho_{min} \geq \frac{0,25\sqrt{f'_c}}{f_y} \quad (3-21)$$

SNI 2847:2019 (Pasal 9.6.1.2)

$$\rho_{min} \geq \frac{1,4}{f_y} \quad (3-22)$$

SNI 2847:2019 (Pasal 9.6.1.2)

4. Menentukan nilai m

$$m = \frac{f_y}{0,85 f'_c} \quad (3-23)$$

5. Menentukan nilai faktor penahan lentur (R_n)

$$R_n = \frac{M_n}{\phi b d^2} \quad (3-24)$$

$$\phi = 0,9$$

6. Perhitungan rasio tulangan yang digunakan dalam desain

$$\rho = \frac{1}{m} \left(1 - \sqrt{1 - \frac{2 m R_n}{f_y}} \right) \quad (3-25)$$

dengan syarat, $\rho < \rho_{pakai} < \rho_{max}$

7. Menghitung luas tulangan (A_s perlu) berdasarkan ρ yang telah didapat dari perhitungan sebelumnya

$$A_s = \rho b d \quad (3-26)$$

8. Menghitung jumlah tulangan yang dibutuhkan berdasarkan A_s perlu

$$n = \frac{A_s \text{ perlu}}{\frac{1}{4} \pi \phi^2} \quad (3-27)$$

9. Menghitung jarak tulangan yang dibutuhkan (s)

$$s = \frac{b - n \cdot D - 2 \cdot d - 2\phi S}{n - 1} \quad (3-28)$$

3.9.1.2. Penulangan Geser Balok

1. Penulangan Geser Balok pada Daerah Tumpuan

Untuk pemasangan tulangan geser pada daerah sendi plastis (sepanjang $2h$ dari muka kolom), dilakukan analisis perhitungan sebagai berikut:

- a. Menghitung momen ujung pada tiap tumpuan

$$a = \frac{A_s \cdot f_y}{0,85 f'c \cdot b \cdot e} \quad (3-29)$$

$$M_{pr} = A_s (1,25 f_y) \left(d - \frac{a}{2} \right) \quad (3-30)$$

- b. Menghitung gaya geser total

$$V_e = \frac{M_{pr+} + M_{pr-}}{L_n} \quad (3-31)$$

Dengan asumsi bahwa beton tidak menahan gaya geser, sehingga

$$V_c = 0$$

$$V_n = V_e \text{ maksimum}$$

- c. Perhitungan tulangan geser yang diperlukan

$$V_s = \frac{V_n}{\phi} \quad (3-32)$$

$$V_{s_{max}} = \frac{2}{3} b w \cdot d \cdot \sqrt{f'c} \quad (3-33)$$

$$\text{Cek } V_s < V_{s_{max}}$$

2. Penulangan Geser Balok pada Daerah Lapangan

Untuk pemasangan tulangan geser di luar sendi plastis (di luar $2h$), terdapat analisis perhitungan sebagai berikut:

$$V_u \text{ lapangan} = V_n - (2h) \quad (3-34)$$

$$\phi V_s \text{ min} = 0,75 \times \frac{1}{3} \times b_w \times d \quad (3-35)$$

$$\phi V_c = 0,75 \times \frac{1}{6} \times \sqrt{f'_c} \times b_w \times d \quad (3-36)$$

Cek kondisi:

$$V_u \leq 0,5\phi V_c \quad (3-37)$$

$$0,5\phi V_c \leq V_u \leq \phi V_c \quad (3-38)$$

$$\phi V_c \leq V_u \leq \phi(V_c + V_{s\text{min}}) \quad (3-39)$$

$$A_v = n \times \frac{1}{4} \times \pi \times d^2 \quad (3-40)$$

$$A_v \text{ min} = \frac{b \times s}{a \times f_y} \quad (3-41)$$

Dengan syarat jarak sengkang maksimum:

$$S \text{ max} \leq d/2$$

3.9.1.3. Penulangan Torsi Balok

- Pengaruh adanya torsi harus diperhitungkan berdasarkan kondisi berikut:

$$T_u \geq \phi T_{th} \quad (3-42)$$

$$T_u \leq \frac{\phi \sqrt{f'_c}}{12} \times \left(\frac{A_c p^2}{P_c p^2} \right) \quad (3-43)$$

SNI 2847:2019 (Pasal 22.7.4.1)

- Perencanaan penampang terhadap torsi:

$$\phi T_n \geq T_u \quad (3-44)$$

SNI 2847:2019 (Pasal R22.7.6)

- Tulangan sengkang untuk puntir:

$$T_n = \frac{2 A_0 A_t f_y}{s} \times \cot \theta \quad (3-45)$$

SNI 2847:2019 (Pasal 22.7.6.1 persamaan 22.7.6.1a)

$$T_n = \frac{2 A_0 A_t f_y}{p_h} x \cot \theta \quad (3-46)$$

SNI 2847:2019 (Pasal 22.7.6.1 persamaan 22.7.6.1b)

Dari kedua harga T_n di atas, digunakan nilai T_n yang memiliki harga terkecil.

Keterangan:

T_u = Momen torsi terfaktor

T_n = Kuat momen torsi

T_c = Kuat torsi nominal beton

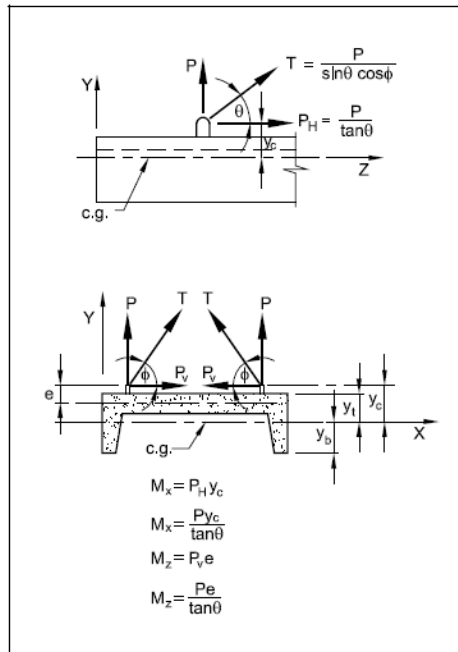
T_s = Kuat torsi nominal geser (senggang)

A_0 = Luas yang dibatasi oleh lintasan aliran geser (mm^2)

3.9.1.4. Pengangkatan Balok Pracetak

Kondisi pertama adalah saat pengangkatan balok pracetak untuk dipasang pada tumpuannya. Pada kondisi ini beban-beban yang bekerja adalah beban dari berat sendiri balok pracetak yang ditumpu oleh angkur pengangkatan yang menyebabkan terjadinya momen pada tengah bentang dan pada tumpuan sehingga perlu perencanaan terhadap tulangan angkat pada balok. Ada dua hal yang harus ditinjau dalam kondisi ini, yaitu kekuatan angkur pengangkatan dan kekuatan lentur penampang balok pracetak.

Pada saat pengangkatan balok pracetak, balok harus didesain sedemikian rupa agar tidak terjadi kerusakan. Titik pengangkatan dan kekuatan tulangan angkat harus menjamin keamanan elemen balok dari kerusakan. Titik pengangkatan balok dapat dilihat pada Gambar 3.9 dan faktor perbesaran beban pengangkatan dapat dilihat pada Tabel 3.13.



Gambar 3.9 Momen pada Balok Pracetak Saat Pengangkatan (PCI Design Handbook, 2004)

Tabel 3.13 Angka Pengali Beban Statis Ekuivalen untuk Menghitung Gaya Pengangkatan dan Gaya Dinamis

Pengangkatan dari bekisting	1,7
Pengangkatan ke tempat penyimpanan	1,2
Transportasi	1,5
Pemasangan	1,2

(PCI Design Handbook, 2004)

3.9.2. Penulangan Kolom

Penulangan kolom dilakukan untuk menahan adanya momen lentur, geser, dan torsi yang disyaratkan sesuai SNI 2847:2019 pasal 22.4, 22.5, dan 22.7.

3.9.2.1. Penulangan Lentur Kolom

Setelah didapatkan gaya aksial dan momen yang bekerja pada kolom melalui hasil dari analisa struktur menggunakan ETABS, kemudian digunakan *software* analisa kolom dengan spColumn yang akan menghasilkan beberapa tulangan lentur yang digunakan beserta jaraknya. Penulangan kolom akibat beban aksial tekan harus sesuai dengan SNI 2847:2019 pasal 22.4

3.9.2.2. Penulangan Geser Kolom

Penulangan geser kolom dihitung berdasarkan persyaratan di SNI 2847:2019 pasal 22.5 mengenai geser.

3.9.2.3. Penulangan Torsi Kolom

Penulangan torsi kolom dihitung berdasarkan persyaratan di SNI 2847:2019 pasal 22.7 mengenai torsi.

3.9.2.4. Persyaratan *Strong Column Weak Beam*

Sesuai filosofi desain kapasitas, maka SNI 2847:2019 pasal 18.7.3 mensyaratkan bahwa:

$$\Sigma Mn_c \geq 1,2 \Sigma Mn_b \quad (3-47)$$

Dimana ΣMn_c adalah momen kapasitas kolom dan ΣMn_b merupakan momen kapasitas balok. Untuk Mn_c didapatkan dari gaya aksial terfaktor yang menghasilkan kuat lentur terendah, sesuai dengan arah gempa yang ditinjau guna mengontrol syarat *strong column weak beam*. Setelah didapatkan jumlah tulangan kolom yang diperlukan, selanjutnya adalah mengontrol kapasitas kolom tersebut agar memenuhi persyaratan *strong column weak beam*.

3.9.2.5. Pengangkatan Kolom Pracetak

Pemasangan kolom harus diperhatikan bahwa kolom akan mengalami proses pengangkatan sehingga perlu perencanaan terhadap tulangan angkat kolom dengan tujuan untuk menghindari tegangan yang disebabkan oleh fleksibilitas dari truk saat proses transportasi. Perencanaan titik

pengangkatan pada kolom sama halnya dengan perencanaan titik angkat pada balok pracetak, mengacu pada *PCI Design Handbook, Precast and Prestressed Concrete 6th Edition*.

3.9.3. Perencanaan dan Penulangan Dinding Geser

3.9.3.1. Kuat Aksial Rencana

Perhitungan kuat aksial rencana dinding geser atau *shear wall* didasarkan pada SNI 2847:2019 pasal 11.5.3.1.

$$P_u \leq \phi P_n \quad (3-48)$$

$$P_u \leq \phi 0,55 f'_c A_g \left[1 - \left(\frac{k l_c}{32h} \right)^2 \right] \quad (3-49)$$

3.9.3.2. Gaya Geser Dinding

Perhitungan gaya geser untuk dalam bidang dinding atau *in-plane shear* didasarkan pada SNI 2847:2019 pasal 11.5.4.3.

$$V_u \leq \phi V_n \quad (3-50)$$

$$V_u \leq \phi 0,83 \sqrt{f'_c} h d \quad (3-51)$$

Dimana:

h = tebal dinding

d = 0,8 l_w

3.9.3.3. Kuat Geser Beton

Perhitungan kuat geser beton didasarkan pada SNI 2847:2019 pasal 11.5.4.6.

$$V_c = 0,27 \lambda \sqrt{f'_c} h d + \frac{N_u d}{4 l_w} \quad (3-52)$$

atau

$$V_c = \left[0,05 \lambda \sqrt{f'_c} + \frac{l_w \left(0,1 \lambda \sqrt{f'_c} + 0,2 \frac{N_u d}{4 l_w} \right)}{\frac{M_u}{V_u} - \frac{l_w}{2}} \right] \quad (3-53)$$

Dari kedua persamaan V_c di atas, diambil V_c yang memiliki nilai terkecil.

Dimana:

l_w = panjang keseluruhan dinding

N_u = positif untuk gaya tekan dan negatif untuk gaya tarik

$\frac{M_u}{V_u} - \frac{l_w}{2}$ apabila bernilai negatif, maka persamaan V_c kedua tidak dapat digunakan

3.9.3.4. Penulangan Geser Vertikal

Perhitungan penulangan geser vertikal didasarkan pada SNI 2847:2019 pasal 11.6.1. Apabila dalam bidang dinding atau *in-plane* $V_u \leq 0,5 \phi V_c$, maka nilai minimum ρ_l dan ρ_t harus mengacu pada SNI 2847:2019 pasal 11.6.1 yang disajikan dalam Tabel 3.14 dibawah ini dan pasal 11.6.2.

Tabel 3.14 Penulangan Minimum untuk Dinding Dalam Bidang
 $V_u \leq 0,5 \phi V_c$

Wall Type	Type of Nonprestressed Reinforcement	Bar / Wire Size	f_y (MPa)	Minimum Longitudinal (ρ)	Minimum Transverse (ρ)
Cast-in-place	Deformed bars	\leq No. 16	≥ 420	0.0012	0.0020
			< 420	0.0015	0.0025
		$>$ No. 16	Any	0.0015	0.0025
	Welded-wire reinforcement	\leq MW20 0 or MD20 0	Any	0.0012	0.0020

(SNI 2847:2019)

Akan tetapi, apabila nilai $V_u \geq 0,5 \phi V_c$, maka persamaan yang berlaku ialah sebagai berikut:

$$\rho_t \geq 0,0025 + 0,5 \left(2,5 - \frac{h_w}{l_w} \right) (\rho_t - 0,0025) \quad (3-54)$$

(SNI 2847:2019 pasal 11.6.2)

Dimana:

Rasio tulangan geser vertikal terhadap luas beton bruto penampang horizontal, ρ_l , tidak boleh kurang dari yang lebih besar dari persamaan pada SNI 2847:2019 pasal 11.6.2 dan 0,0025. Nilai ρ_l yang dihitung tidak perlu lebih besar dari ρ_t yang terdapat pada Tabel 3.14.

3.9.3.5. Penulangan Geser Horizontal

Apabila $V_u > \phi V_c$, maka tulangan geser horizontal harus disediakan untuk memenuhi persamaan berikut:

$$V_u \leq \phi V_n \quad (3-55)$$

$$V_n = V_c + V_s \quad (3-56)$$

(SNI 2847:2019 pasal 11.5.4.4)

dimana:

$$V_s = \frac{A_v f_{yt} d}{s} \quad (3-57)$$

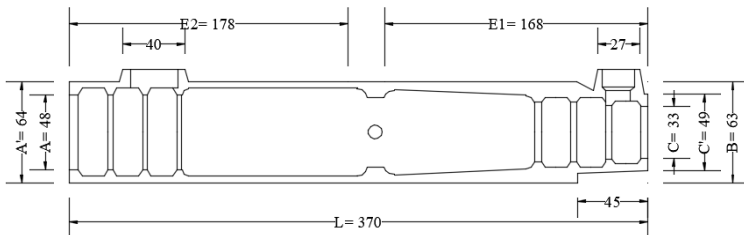
(SNI 2847:2019 pasal 11.5.4.8)

3.10. Perencanaan Sambungan

Pada tugas akhir ini direncanakan sambungan antar tulangan dengan menggunakan sambungan mekanis (*mechanical splices*) yaitu dengan menggunakan produk dari Peikko Group seperti pada Gambar 3.10 dan NMB Splice Sleeve seperti pada Gambar 3.11. Berdasarkan SNI 2847:2019 pasal 25.5.7 dikatakan bahwa untuk memastikan kekuatan yang cukup pada sambungan sehingga kelelahan dapat terjadi pada tulangnya, maka sambungan mekanis harus direncanakan memiliki nilai 1,25 dari f_y tulangan.



Gambar 3.10 Peikko Coupler
(Brosur Modix Rebar Couplers, 2016)



Gambar 3.11 NMB Splice Sleeve
(Brosur NMB Splice Sleeve, 2017)

Berdasarkan SNI 2847:2019 pasal 18.2.7.1, sambungan mekanis diklasifikasikan menjadi 2 tipe, yaitu:

- a. Tipe 1
Sambungan mekanis yang memenuhi pasal 25.5.7, yaitu memiliki kekuatan leleh $1.25 f_y$ tulangan yang digunakan.
- b. Tipe 2
Sambungan mekanis memenuhi persyaratan tipe 1 dan harus memiliki kekuatan Tarik yang minimal sama dengan kekuatan tarik spesifikasi batang tulangan yang disambung.

Sambungan mekanis dengan tipe 1 hanya dapat digunakan di luar daerah sendi plastis seperti pada. Sementara tipe 2 dapat digunakan dimana pun sesuai dengan perencanaan.

Sambungan antar komponen pracetak tidak hanya berfungsi sebagai penyalur beban tetapi juga harus mampu secara efektif mengintegrasikan komponen-komponen tersebut sehingga struktur secara keseluruhan dapat berperilaku monolit. Berdasarkan SNI 2847:2019 pasal 18.9.2.1 sambungan daktail pada elemen pracetak yang tahan gempa harus memenuhi persyaratan berikut:

$$V_n \geq 2 V_e \quad (3-58)$$

dimana:

V_n = kekuatan geser nominal

V_e = kekuatan geser aktual

Sedangkan menurut SNI 2847:2019 pasal 18.9.2.2, *strong connection* pada elemen pracetak yang tahan gempa harus memenuhi persyaratan berikut:

$$\phi S_n \geq 1,4 S_e \quad (3-59)$$

dimana:

S_n = kekuatan lentur, geser atau aksial momen sambungan

S_e = gaya lentur, gaya geser, dan gaya aksial pada sambungan yang terkait dengan pembentukan kuat rencana di lokasi leleh yang diharapkan.

3.10.1. Sambungan *Base Plate* – Kolom atau Kolom – Kolom

Untuk sambungan kolom-kolom, harus memenuhi persyaratan berikut:

$$\phi M_n \geq 0,4 M_{pr} \quad (3-60)$$

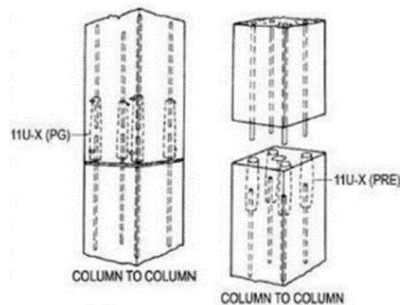
dimana:

M_n = kekuatan lentur nominal pada penampang

M_{pr} = kekuatan lentur mungkin komponen struktur dengan atau tanpa beban aksial

Setelah dilakukan pemancangan dan pembuatan *pile cap*, maka tulangan kolom dipasang bersamaan dengan pengecoran

pile cap. Pada penyambungan antar kolom dengan dimensi berbeda pada dasarnya sama seperti pada proses penyambungan antar kolom dengan dimensi sama. Akan tetapi, pada tulangan panjang penyaluran pada kondisi ini lebih dilakukan penyesuaian terhadap lubang kolom yang berada di atasnya. Untuk metode penyambungannya di sini penulis menggunakan referensi dari produk *coupler sleeve* dari NMB Splice Sleeve dan SS Mortar *grouting injection*. Maka dari itu, sambungan pada kolom-kolom ini tetap diklasifikasikan dalam kategori sambungan basah (*wet connection*). Berikut adalah ilustrasi mengenai proses penyambungan antar kolom dengan menggunakan *coupler sleeve* dan *inject grouting* yang dapat dilihat pada Gambar 3.12.



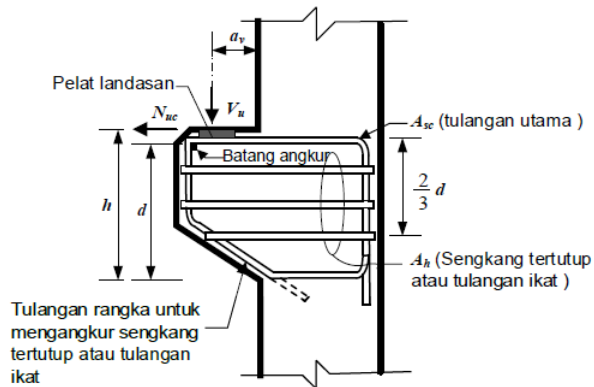
Gambar 3.12 Pemasangan Sambungan Kolom
(Brosur NMB Splice Sleeve, 2017)

3.10.2. Sambungan Balok – Kolom

Sambungan balok dengan kolom memanfaatkan panjang penyaluran pada tulangan balok. Tulangan balok nantinya akan diteruskan atau dikaitkan ke dalam kolom. Panjang penyaluran bagian bawah akan menerima tekan dan panjang penyaluran bagian atas akan menerima tarik. Maka perhitungan panjang penyaluran dihitung dalam dua kondisi yaitu tekan dan tarik. Pada sambungan balok – kolom terdapat dua kondisi yaitu sambungan *single-sided connection* dan *double-sided*

connection. Dalam perencanaan sambungan ini akan digunakan produk sambungan dari Peikko Group yaitu dengan menggunakan Modix Rebar Couplers.

Pada perancangan sambungan balok dan kolom ini menggunakan konsol pendek. Balok induk diletakkan pada konsol pendek pada kolom kemudian dirangkai menjadi satu kesatuan. Perencanaan konsol berdasarkan SNI 2847:2019 pasal 16.5 mengenai ketentuan khusus untuk konsol pendek seperti yang dijelaskan pada Gambar 3.13.

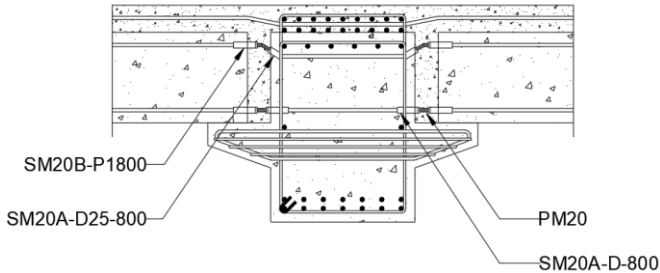


Gambar 3.13 Parameter Geometri Konsol Pendek
(SNI 2847:2019)

3.10.3. Sambungan Balok Induk – Balok Anak

Balok anak diletakkan menumpu pada tepi balok induk dengan ketentuan panjang landasan adalah sedikitnya $1/180$ kali bentang bersih komponen pelat pracetak, tetapi tidak boleh kurang dari 75 mm. Demikian dengan sambungan pada balok induk ke tangga. Untuk membuat integritas struktur, maka tulangan utama balok anak baik yang tulangan atas maupun bawah dibuat menerus atau dengan kait standar yang pendetailannya sesuai dengan aturan SNI 2847:2019 pasal 8.11.3. Dalam perancangan sambungan balok induk dengan

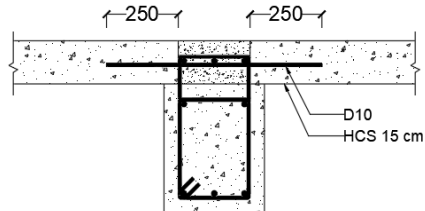
balok anak digunakan konsol pada balok induk. Tulangan positif dan negatif menggunakan Modix Coupler yang diproduksi oleh Peikko Group dengan kontrol kemampuan tarik 1,25ft. Ilustrasi sambungan antar balok dapat dilihat pada Gambar 3.14.



Gambar 3.14 Sambungan Balok Induk dengan Balok Anak (Penulis, 2020)

3.10.4. Sambungan Balok – Pelat

Untuk mendapatkan sambungan yang memiliki sifat kaku, monolit, dan terintegrasi, gaya dari pelat harus tersalurkan pada balok dengan baik. Hal ini dapat dilakukan dengan memasang *shear connector* pada *Hollow Core Slab* dengan bentang lebih dari 3 meter. *Shear Connector* berupa tulangan D10 yang dipasang pada lubang joint seperti yang diilustrasikan pada Gambar 3.15.



Gambar 3.15 Sambungan Balok dengan Pelat Lantai (Penulis, 2020)

3.11. Perencanaan *Basement*

Dinding pada *basement* harus dirancang agar kokoh dan kuat, mengingat fungsinya sebagai *retaining wall* yaitu menahan beban tekanan tanah dan air. Ketebalan dinding beton untuk *basement* berkisar antara 15 – 17,5 cm, bergantung pada kedalaman *basement* itu sendiri.

Struktur *basement* direncanakan menggunakan material beton bertulang dengan cor di lokasi. Adapun persyaratan yang lain sebagai berikut:

- **Penulangan Dinding *Basement***
Penulangan dinding *basement* dihitung sesuai dengan peraturan dalam SNI 2847:2019 pasal 11.5.
- **Kontrol Ketebalan Dinding *Basement***
Ketebalan dinding *basement* dikontrol sesuai dengan yang telah diatur dalam SNI 2847:2019 pasal 11.3.1.1.
- **Pelat Lantai *Basement***
Elevasi air tanah diasumsikan pada kondisi yang paling berbahaya, yaitu sama dengan permukaan tanah. Penulangan pelat lantai *basement* dihitung sesuai dengan yang telah diatur dalam SNI 2847:2019 pasal 8.7.

3.12. Perencanaan Pondasi

Dalam suatu bangunan, beban yang diterima oleh struktur atas akan disalurkan ke tanah melalui struktur bawah, yaitu pondasi. Pada tugas akhir ini, penulis merencanakan menggunakan pondasi dalam yaitu pondasi tiang pancang dengan beton pracetak. Perhitungan daya dukung tanah vertikal menggunakan formula dari Luciano Decourt.

3.13.1. Daya Dukung Tiang Pancang Vertikal

Formula daya dukung tiang pancang vertikal yang diberikan oleh Luciano Decourt ialah:

$$Q_L = Q_P + Q_S \quad (3-61)$$

$$q_p = N_P + K \quad (3-62)$$

$$Q_S = q_s A_s \quad (3-63)$$

$$Q_S = \left(\frac{N_s}{3} + 1 \right) A_s \quad (3-64)$$

3.13.2. Perhitungan Jumlah Tiang Pancang

Banyaknya kebutuhan tiang pancang yang akan digunakan pada perencanaan gedung ini berdasarkan pada rumusan berikut:

$$n = \frac{\sum P_u}{P_{ijin}} \quad (3-65)$$

$$S \geq \frac{1,57 (D)_{min} - 2D}{m + n - 2} \quad (3-66)$$

3.13.2.1. Efisiensi Tiang Pancang

Daya dukung tiang pancang yang bekerja dalam grup merupakan daya dukung satu tiang pancang dikalikan dengan nilai efisiensi yang dihitung menggunakan rumus:

$$\eta = 1 - \theta \frac{(n-1)m + (m-1)n}{90 m n} \quad (3-67)$$

dimana:

$$\theta = \arctg \left(\frac{D}{S} \right) \quad (3-68)$$

$$P_{max} = \frac{\sum P_u}{n} + \frac{My X_{max}}{\sum x^2} + \frac{Mx Y_{max}}{\sum y^2} \quad (3-69)$$

$$P_{ult} = \text{efisiensi tiang} \times P_{u \text{ 1 tiang berdiri}} \quad (3-70)$$

3.13.2.2. Kontrol Kekuatan Tiang Pancang

$$P_{ult} \geq P_{perlu} \quad (3-71)$$

$$P_{ult} = P_{max} \quad (3-72)$$

3.13.2.3. Kontrol Geser Ponds pada Poer

Pada saat merencanakan ketebalan poer, ada syarat yang harus terpenuhi, yaitu kekuatan geser nominal harus lebih besar

dari kekuatan geser pons yang terjadi. Perhitungan kuat geser didasarkan pada SNI 2847:2019 pasal 22.6.5.2 yang disajikan pada Tabel 3.15.

Tabel 3.15 Nilai V_c untuk *Two-Way Shear*

V_c	
Yang terkecil dari	$0,33 \lambda \sqrt{f'_c}$
	$0,17 \left(1 + \frac{2}{\beta}\right) \lambda \sqrt{f'_c}$
	$0,083 \left(2 + \frac{\alpha_s d}{b_0}\right) \lambda \sqrt{f'_c}$

(SNI 2847:2019)

Dimana:

β = rasio sisi panjang terhadap sisi pendek pada kolom

b_0 = *critical perimeter* pada poer
 $= 2 (b_{\text{kolom}} + d) + 2 (h_{\text{kolom}} + d)$

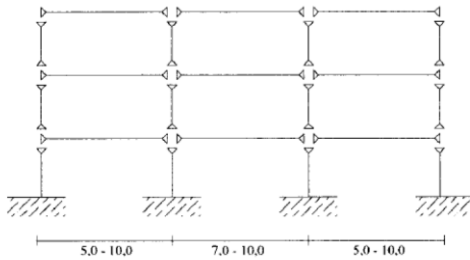
α_s = 40 (untuk kolom interior)
 = 30 (untuk kolom tepi)
 = 20 (untuk kolom pojok)

Ketebalan dan ukuran poer dikatakan memenuhi syarat terhadap geser apabila:

$$P_u < \phi V_c \quad (3-74)$$

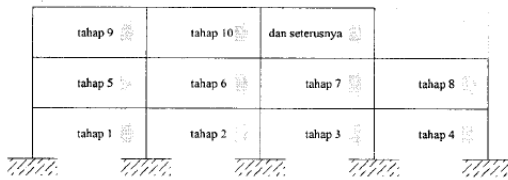
3.14. Metode Pelaksanaan Konstruksi Gedung

Sistem struktur yang digunakan pada gedung ini adalah sistem struktur rangka dengan kolom sambungan, dimana terdapat sambungan antar kolom pada setiap lantai seperti yang diilustrasikan pada Gambar 3.16. Sistem struktur ini sesuai untuk bangunan gedung dengan ketinggian antara 10 meter sampai dengan 60 meter.



Gambar 3.16 Sistem Struktur Rangka dengan Kolom Sambungan Setiap Lantai

Sedangkan untuk metode pelaksanaan yang digunakan pada gedung ini adalah metode horizontal, dimana instalasi dan penyatuan elemen pracetak dilaksanakan tiap satu lantai kemudian dilanjutkan ke lantai berikutnya seperti yang dapat dilihat pada Gambar 3.16.



Gambar 3.16 Metode Ereksi Horizontal

Langkah-langkah atau proses pelaksanaan konstruksi gedung pracetak adalah sebagai berikut:

1. Pekerjaan Galian Tanah

Penggalian tanah dilakukan terlebih dahulu untuk kemudian dilanjutkan dengan pekerjaan pondasi dan *basement*. Pekerjaan galian dilakukan menggunakan alat berat yaitu *backhoe*.

2. Pekerjaan Pondasi

Pondasi yang digunakan merupakan *spun pile* atau tiang pancang yang sudah terfabrikasi di luar lokasi proyek. Dalam proses pemancangannya digunakan alat

berat *hydraulic hammer*. Setelah tiang pancang terpasang maka akan dilakukan penggalian lagi di sekitar area rencana pile cap. Kemudian dilakukan pengecoran lantai kerja menggunakan *lean concrete* setebal kurang lebih 10-15 cm, pemasangan bekisting, penulangan pile cap, dan dilanjutkan dengan pengecoran pile cap secara *in-situ*.

3. Penulangan dan Pengecoran *Basement*

Pekerjaan pemasangan bekisting dan penulangan *basement* dapat dilakukan ketika pekerjaan pondasi telah diselesaikan. Setelah pemasangan bekisting dan penulangan kemudian dilanjutkan pengecoran baik dinding maupun lantai *basement* secara *in-situ*.

4. Instalasi Kolom Pracetak

Kolom yang sudah terfabrikasi di pabrik dipindahkan terlebih dahulu pada lokasi proyek menggunakan sarana angkut seperti truk tunggal, tandem, atau temple kemudian diletakkan pada *stock yard* atau tempat penyimpanan yang berada di lokasi proyek menggunakan *tower crane*.

Pada proses ereksi atau pengangkatan kolom pracetak juga menggunakan *tower crane*. Setelah kolom diletakkan pada posisinya selanjutnya dilakukan pemasangan sambungan antar kolom menggunakan NMD Splice Sleeve lalu dilakukan *grouting* agar sambungan menjadi monolit.

5. Instalasi Balok Induk Pracetak

Sama seperti kolom, balok induk juga melalui proses fabrikasi dan pemindahan ke lokasi proyek. Balok yang terfabrikasi merupakan komponen *half beam*. Kemudian balok induk diangkat menggunakan *tower crane* dan ditempatkan pada konsol yang terdapat pada kolom kemudian tulangan balok induk dilewatkan ke tulangan kolom.

6. Instalasi Balok Anak Pracetak

Proses ini sama dengan instalasi balok induk, tetapi balok anak ditempatkan pada konsol yang berada pada balok induk dan tulangan balok anak dilewatkan ke tulangan balok induk.

7. Instalasi *Hollow Core Slab*

Sama seperti kolom dan balok, pelat yang merupakan *hollow core slab* adalah komponen precast yang terfabrikasi di pabrik yang kemudian dipindahkan ke lokasi proyek. Pelat kemudian diangkat dan diletakkan menumpu pada balok. Setelah pelat terinstal, dilakukan pekerjaan penulangan pada balok induk dan balok anak bagian atas. Kemudian dilakukan pengecoran pada balok dan bagian sambungan antara balok dengan pelat sehingga balok telah menjadi komponen *full beam* dan antara balok dengan pelat memiliki sambungan yang monolit.

8. Penulangan dan Pengecoran Tangga dan Dinding Geser

Selagi proses instalasi komponen pracetak dilakukan, pekerjaan komponen *cast in-situ* juga dapat dilakukan. Proses pengerjaan komponen *cast in-situ* yang terdiri dari tangga dan dinding geser dimulai dari pemasangan bekisting, pekerjaan penulangan, dan pengecoran. Setelah beton sudah mengeras, bekisting dapat dilepaskan.

3.15. Gambar Teknik

Gambar hasil perencanaan dan perhitungan menggunakan program bantu AutoCAD. Hasil gambar teknik akan dilampirkan pada lampiran tugas akhir.

“Halaman ini sengaja dikosongkan...”

BAB IV PEMBAHASAN

4.1. Perencanaan Struktur Sekunder

4.1.1. Umum

Struktur gedung dibagi menjadi dua, yaitu struktur utama atau struktur primer dan struktur sekunder. Struktur sekunder tidak menahan beban secara keseluruhan, namun tetap mengalami tegangan akibat pembebanan yang bekerja secara langsung pada bagian tersebut maupun perubahan bentuk dari struktur primer. Bagian dari struktur sekunder antara lain meliputi tangga, pelat, dan balok anak. Pada subbab ini akan dibahas mengenai perencanaan struktur sekunder.

4.1.2. Perencanaan Tangga

Pada tugas akhir ini, terdapat 2 jenis tangga yaitu tangga dengan ketinggian 4 meter dan tangga dengan ketinggian 3,2 meter untuk lantai *basement*. Berikut adalah contoh perhitungan untuk tangga tipe I dengan ketinggian 4 meter dengan denah dan data perencanaan yang diilustrasikan pada Gambar 4.1 dan 4.2.

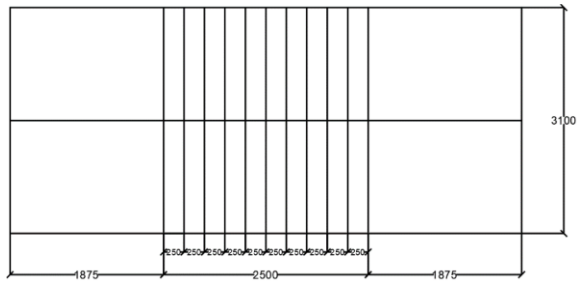
4.1.2.1. Data Perencanaan

- Tinggi Lantai : 400 cm
- Tinggi Injakan (t) : 20 cm
- Lebar Injakan (i) : 25 cm
- Lebar Tangga : 137,5 cm
- Tebal Pelat Tangga : 15 cm
- Jumlah Tanjakan : 20 buah
- Jumlah Injakan : $20 - 1 = 19$ buah
- Elevasi Bordes : 200 cm
- Tebal Pelat Bordes : 12 cm
- Lebar Bordes : 187,5 cm
- Panjang Bordes : 275 cm

- Panjang Horizontal Tangga : 250 cm
- Kemiringan Tangga : $\text{arc tan } \alpha \frac{200}{250} = 38,66^\circ$

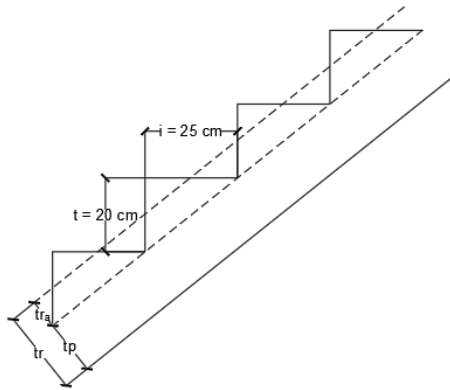
Cek Syarat:

- $25^\circ \leq \alpha \leq 40^\circ$
 $25^\circ \leq 38,66^\circ \leq 40^\circ$ (OK)
- $60 \leq (2t + i) \leq 65$
 $60 \leq 65 \leq 65$ (OK)



Gambar 4.1 Denah Tangga

- Tebal Pelat Anak Tangga Rata-Rata:
 $\frac{i}{2} \times \sin \alpha = 7,81 \text{ cm}$
- Tebal Pelat Rata-Rata:
 $\text{Tr} = 15 + 7,81 \approx 23 \text{ cm}$



Gambar 4.2 Ilustrasi Tebal Pelat Tangga

4.1.2.2. Pembebanan Pelat Tangga dan Bordes

a. Pembebanan Pelat Tangga

- Beban Mati

Pelat tangga	: $\frac{0,23 \times 2400 \times 1}{\cos 38,66^\circ} = 706,9 \text{ kg/m}$
Tegel 1 cm	: $2400 \times 0,001 = 24 \text{ kg/m}$
Spesi 2 cm	: $2100 \times 0,002 = 42 \text{ kg/m}$
Sandaran	: 50 kg/m
Tegel + Spesi Vertikal	: $\frac{(21+42) \times 1 \times 4}{2,5} = 105,6 \text{ kg/m}$
q_D	: $928,5 \text{ kg/m}$
- Beban Hidup

q_L	: 479 kg/m
-------	----------------------
- Beban Ultimate

q_{ul}	: $1,2 q_D + 1,6 q_L = 1880,61 \text{ kg/m}$
----------	--

b. Pembebanan Bordes

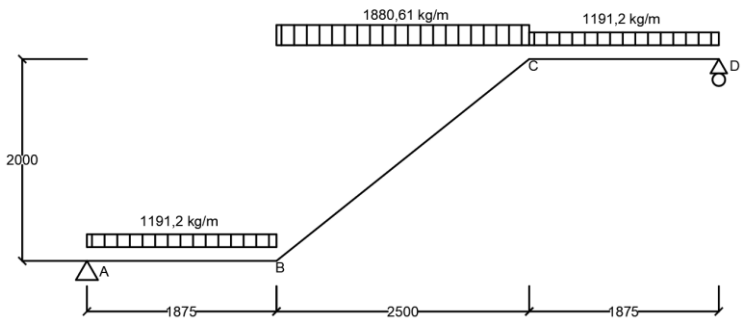
- Beban Mati

Pelat bordes	: $0,12 \times 2400 \times 1 = 288 \text{ kg/m}$
Tegel 1 cm	: $2400 \times 0,001 = 24 \text{ kg/m}$
Spesi 2 cm	: $2100 \times 0,002 = 42 \text{ kg/m}$

- q_D : 354 kg/m
- Beban Hidup
- q_L : 479 kg/m
- Beban Ultimate
- q_{U2} : $1,2 q_D + 1,6 q_D = 1191,2 \text{ kg/m}$

4.1.2.3. Perhitungan Gaya pada Tangga

Pada proses analisa struktur tangga, perhitungan menggunakan mekanika teknik statis dengan permisalan sendi-rol, dengan pembebanan tangga dan output gaya dalam seperti pada Gambar 4.3.



Gambar 4.3 Pemodelan Tangga

4.1.2.3.1. Perhitungan Reaksi

- $\Sigma M_a = 0$
 $R_d \cdot 6,25 - q_{U2} \cdot 0,5 \cdot 1,875^2 - q_{U1} \cdot 2,5 \cdot (2,5/2 + 1,875) - q_{U2} \cdot 1,875 \cdot (1,875/2 + 2,5 + 1,875) = 0$
 $R_d = 4425,857 \text{ kg}$
- $\Sigma M_d = 0$
 $R_a \cdot 6,25 - q_{U2} \cdot 0,5 \cdot 1,875^2 - q_{U1} \cdot 2,5 \cdot (2,5/2 + 1,875) - q_{U2} \cdot 1,875 \cdot (1,875/2 + 2,5 + 1,875) = 0$
 $R_a = 4425,857 \text{ kg}$
- Cek $\Sigma V = 0$
 $R_a + R_d - q_{U1} \cdot 2,5 - 2 \cdot q_{U2} \cdot 1,875 = 0 \text{ (OK)}$

4.1.2.3.2. Perhitungan Gaya Dalam

- Gaya Normal
 - Pada Bordes AB

$$N = 0 \text{ kg}$$
 - Pada Tangga BC

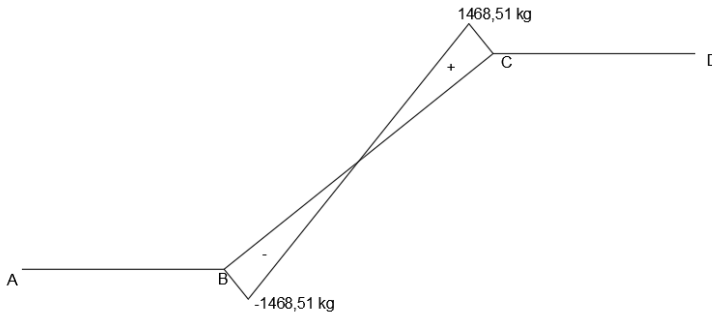
$$N_x = (-R_a + q_{U2} \cdot 1,875 + q_{U1} \cdot x) \sin \alpha$$

$$x = 0 \rightarrow N_{b \text{ kanan}} = -1468,51 \text{ kg}$$

$$x = 2,5 \rightarrow N_{c \text{ kiri}} = 1468,51 \text{ kg}$$
 - Pada Bordes CD

$$N = 0 \text{ kg}$$

Sehingga, didapatkan diagram gaya normal seperti pada Gambar 4.4.



Gambar 4.4 Bidang N pada Tangga

- Gaya Lintang
 - Pada Bordes AB

$$D_x = R_a - (q_{U2} \cdot x)$$

$$x = 0 \rightarrow D_a = 4584,26 \text{ kg}$$

$$x = 1,875 \rightarrow D_{b \text{ kiri}} = 2350,76 \text{ kg}$$
 - Pada Tangga BC

$$D_x = (R_a - q_{U2} \cdot 1,875 - q_{U1} \cdot x) \cos \alpha$$

$$x = 0 \rightarrow D_{b \text{ kanan}} = 1835,63 \text{ kg}$$

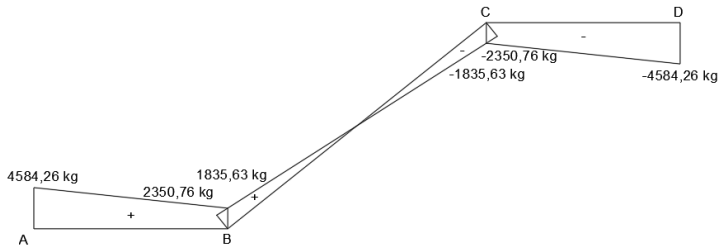
$$x = 2,5 \rightarrow D_{c \text{ kiri}} = -1835,63 \text{ kg}$$
 - Pada Bordes CD

$$D_x = -R_d + (q_{U2} \cdot x)$$

$$x = 0 \rightarrow D_d = -4584,26 \text{ kg}$$

$$x = 1,875 \rightarrow D_c \text{ kanan} = 2350,76 \text{ kg}$$

Sehingga, didapatkan diagram gaya lintang seperti pada Gambar 4.5.



Gambar 4.5 Bidang D pada Tangga

- Gaya Momen
 - Pada Bordes AB
 - $M_x = R_a \cdot x - (\frac{1}{2} q_{U2} \cdot x^2)$
 - $x = 0 \rightarrow M_a = 0 \text{ kgm}$
 - $x = 1,875 \rightarrow M_{b \text{ kiri}} = 6501,58 \text{ kgm}$
 - Pada Tangga BC
 - $M_x = R_a (1,875 + x) - (q_{U2} \cdot 1,875 \cdot (1,875/2 + x)) - (\frac{1}{2} q_{U1} \cdot x^2)$
 - $x = 0 \rightarrow M_{b \text{ kanan}} = 6501,58 \text{ kgm}$
 - $x = 2,5 \rightarrow M_{c \text{ kiri}} = 6501,58 \text{ kgm}$
 - Pada Bordes CD
 - $M_x = R_d \cdot x - (\frac{1}{2} q_{U2} \cdot x^2)$
 - $x = 0 \rightarrow M_d = 0 \text{ kgm}$
 - $x = 1,875 \rightarrow M_{c \text{ kanan}} = 6501,58 \text{ kgm}$

Pada tangga, momen maksimum terjadi pada saat:

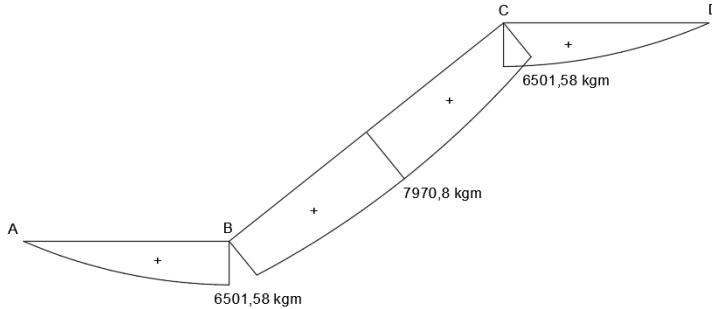
$D = 0$ (Pada Tangga BC)

$$0 = (R_a - q_{U2} \cdot 1,875 - q_{U1} \cdot x) \cos \alpha$$

$$x = 1,25 \text{ m}$$

$$M_{\max} = Ra (1,875 + x) - (q_{U2} \cdot 1,875 \cdot (1,875/2 + x)) - (1/2 q_{U1} \cdot x^2) = 7970,8 \text{ kgm.}$$

Sehingga, didapatkan diagram momen seperti pada Gambar 4.6.



Gambar 4.6 Bidang M pada Tangga

4.1.2.4 Perhitungan Penulangan

4.1.2.4.1 Penulangan Pelat Tangga

- Data Perencanaan

- f_c' : 35 Mpa
- f_y : 420 Mpa
- Tulangan (D) : D16
- dx : $t_{\text{tangga}} - \text{cover} - (D/2)$
: $150 - 20 - (16/2)$
: 122 mm
- ρ_{\min} : 0,0035
- ρ_{\max} : 0,025
- m : $\frac{f_y}{0,85 f_c'} = \frac{420}{0,85 \cdot 35} = 14,118$

- Penulangan Lentur

$$\begin{aligned} Mu &= 7970,8 \text{ kgm} = 78193544,9 \text{ Nmm} \\ Mn &= \frac{Mu}{\phi} = \frac{78193544,9}{0,9} = 86881716,56 \text{ Nmm} \\ Rn &= \frac{Mn}{bd^2} = \frac{86881716,56}{1000 \cdot 122^2} = 5,837 \end{aligned}$$

$$\begin{aligned}\rho &= \frac{1}{m} \left(1 - \sqrt{1 - \frac{2 \times m \times Rn}{fy}} \right) \\ &= \frac{1}{14,118} \left(1 - \sqrt{1 - \frac{2 \times 14,118 \times 5,837}{420}} \right) \\ &= 0,0156 \text{ (dipakai)}\end{aligned}$$

$$\begin{aligned}\text{As perlu} &= \rho \times b \times d \\ &= 0,0156 \times 1000 \times 122 \\ &= 1905,71 \text{ mm}^2\end{aligned}$$

$$\begin{aligned}\text{As D16} &= \frac{1}{4} \pi D^2 \\ &= \frac{1}{4} \pi 16^2 \\ &= 201,06 \text{ mm}^2\end{aligned}$$

$$\begin{aligned}n \text{ perlu} &= \frac{\text{As perlu}}{\text{As D16}} \\ &= \frac{1905,71}{201,06} \\ &\approx 10 \text{ buah}\end{aligned}$$

$$S = \frac{1000}{10} = 100 \text{ mm}$$

Sehingga digunakan Tulangan Lentur D16-100mm

$$\begin{aligned}\text{As pakai} &= n \text{ pakai} \times \text{As D16} \\ &= 10 \times 201,06 \\ &= 2010,6 \text{ mm}^2\end{aligned}$$

$$\begin{aligned}\text{As Tulangan Bagi} &= 20\% \times \text{As pakai} \\ &= 20\% \times 2010,6 \\ &= 402,12 \text{ mm}^2\end{aligned}$$

$$\begin{aligned}\text{As D10} &= \frac{1}{4} \pi D^2 \\ &= \frac{1}{4} \pi 10^2 \\ &= 78,54 \text{ mm}^2\end{aligned}$$

$$\begin{aligned}n \text{ perlu} &= \frac{\text{As Tulangan Bagi}}{\text{As D10}} \\ &= \frac{402,12}{78,54} \\ &\approx 6 \text{ buah}\end{aligned}$$

$$S = \frac{1000}{6} = 166,67 \text{ mm}$$

Sehingga digunakan Tulangan Bagi D10-150mm

- Penulangan Susut

$$\rho_{\min} = 0,002$$

$$\begin{aligned} \text{As perlu} &= \rho \times b \times d \\ &= 0,002 \times 1000 \times 122 \\ &= 244 \text{ mm}^2 \end{aligned}$$

$$\begin{aligned} \text{As D10} &= \frac{1}{4} \pi D^2 \\ &= \frac{1}{4} \pi 10^2 \\ &= 78,54 \text{ mm}^2 \end{aligned}$$

$$\begin{aligned} n \text{ perlu} &= \frac{\text{As perlu}}{\text{As D10}} \\ &= \frac{244}{78,54} \\ &\approx 4 \text{ buah} \end{aligned}$$

$$S = \frac{1000}{4} = 250 \text{ mm}$$

Sehingga digunakan Tulangan Susust D10-250mm

4.1.2.4.2 Penulangan Pelat Bordes

- Data Perencanaan

- f_c' : 35 Mpa
- f_y : 420 Mpa
- Tulangan (D) : D16
- dx : $t_{\text{tangga}} - \text{cover} - (D/2)$
: $120 - 20 - (16/2)$
: 92 mm
- ρ_{\min} : 0,0035
- ρ_{\max} : 0,025
- m : $\frac{f_y}{0,85 f_c'} = \frac{420}{0,85 \cdot 35} = 14,118$

- Penulangan Lentur

$$M_u = 6501,58 \text{ kgm} = 63780463,76 \text{ Nmm}$$

$$M_n = \frac{M_u}{\phi} = \frac{63780463,76}{0,9} = 70867181,95 \text{ Nmm}$$

$$R_n = \frac{M_n}{bd^2} = \frac{70867181,95}{1000 \cdot 92^2} = 8,37$$

$$\rho = \frac{1}{m} \left(1 - \sqrt{1 - \frac{2 \times m \times R_n}{f_y}} \right)$$

$$\begin{aligned}
 &= \frac{1}{14,118} \left(1 - \sqrt{1 - \frac{2 \times 14,118 \times 8,37}{420}} \right) \\
 &= 0,024 \text{ (dipakai)} \\
 \text{As perlu} &= \rho \times b \times d \\
 &= 0,024 \times 1000 \times 92 \\
 &= 2208,15 \text{ mm}^2 \\
 \text{As D16} &= \frac{1}{4} \pi D^2 \\
 &= \frac{1}{4} \pi 16^2 \\
 &= 201,06 \text{ mm}^2 \\
 n \text{ perlu} &= \frac{\text{As perlu}}{\text{As D16}} \\
 &= \frac{2208,15}{201,06} \\
 &\approx 11 \text{ buah} \\
 S &= \frac{1000}{11} = 90 \text{ mm}
 \end{aligned}$$

Sehingga digunakan Tulangan Lentur D16-90mm

$$\begin{aligned}
 \text{As pakai} &= n \text{ pakai} \times \text{As D16} \\
 &= 11 \times 201,06 \\
 &= 2211,68 \text{ mm}^2 \\
 \text{As Tulangan Bagi} &= 20\% \times \text{As pakai} \\
 &= 20\% \times 2211,68 \\
 &= 442,34 \text{ mm}^2 \\
 \text{As D10} &= \frac{1}{4} \pi D^2 \\
 &= \frac{1}{4} \pi 10^2 \\
 &= 78,54 \text{ mm}^2 \\
 n \text{ perlu} &= \frac{\text{As Tulangan Bagi}}{\text{As D10}} \\
 &= \frac{442,34}{78,54} \\
 &\approx 6 \text{ buah} \\
 S &= \frac{1000}{6} = 166,67 \text{ mm}
 \end{aligned}$$

Sehingga digunakan Tulangan Bagi D10-150mm

- Penulangan Susut

$$\begin{aligned}
 \rho_{\min} &= 0,002 \\
 \text{As perlu} &= \rho \times b \times d \\
 &= 0,002 \times 1000 \times 92 \\
 &= 184 \text{ mm}^2 \\
 \text{As D10} &= \frac{1}{4} \pi D^2 \\
 &= \frac{1}{4} \pi 10^2 \\
 &= 78,54 \text{ mm}^2 \\
 n \text{ perlu} &= \frac{\text{As perlu}}{\text{As D10}} \\
 &= \frac{184}{78,54} \\
 &\approx 3 \text{ buah} \\
 S &= \frac{1000}{3} = 333,33 \text{ mm}
 \end{aligned}$$

Sehingga digunakan Tulangan Susust D10-300mm

Rekapitulasi hasil perhitungan penulangan tangga disajikan pada Tabel 4.1 berikut.

Tabel 4.1 Rekapitulasi Penulangan Tangga

Jenis Tangga		Tulangan		
		Lentur	Bagi	Susut
Tipe I (4 m)	Pelat Tangga	D16-100	D10-150	D10-250
	Pelat Bordes	D16-90	D10-150	D10-300
Tipe II (3.2 m)	Pelat Tangga	D16-100	D10-150	D10-250
	Pelat Bordes	D16-90	D10-150	D10-300

4.1.3. Perencanaan Balok Bordes

4.1.3.1. Perencanaan Dimensi Balok Bordes

$$h = \frac{1}{16} L = \frac{1}{16} (310) = 19,37 \text{ cm} \approx 30 \text{ cm}$$

$$b = \frac{2}{3} h = \frac{2}{3} (30) = 20 \text{ cm}$$

Sehingga balok bordes direncanakan dengan dimensi 20/30 cm.

4.1.3.2. Pembebanan Balok Bordes

- Beban Mati

q_D bordes	: $354 \times 1,875 = 663,75 \text{ kg/m}$
Berat balok	: $0,2 \times 0,3 \times 2400 = 144 \text{ kg/m}$
q_D	: $807,75 \text{ kg/m}$
- Beban Hidup	
q_L	: $479 \times 1,875 = 898,125 \text{ kg/m}$
- Beban Ultimate	
q_u	: $1,2 q_D + 1,6 q_L = 2406,3 \text{ kg/m}$

4.1.3.3. Data Perencanaan Balok Bordes

f'_c	: 35 MPa
f_y	: 420 MPa
Tul. Lentur	: 16 mm
Tul. Geser	: 10 mm
ρ_{\min}	: 0,0035
ρ_{\max}	: 0,025
<i>clear cover</i>	: 40 mm
d	: $300 - 40 - 10 - \frac{1}{2}(16) = 242 \text{ mm}$
m	: $\frac{f_y}{0,85 f'_c} = \frac{420}{0,85 \cdot 35} = 14,118$

4.1.3.4. Penulangan Lentur

- Tulangan Tumpuan

$$\begin{aligned}
 Mu &= \frac{1}{12} q_u L^2 \\
 &= \frac{1}{12} 2406,3 (3,1)^2 \\
 &= 1927,0453 \text{ kgm} \\
 &= 19270453 \text{ Nmm} \\
 Mn &= \frac{Mu}{\phi} = \frac{19270453}{0,9} = 21411613,89 \text{ Nmm} \\
 Rn &= \frac{Mn}{bd^2} = \frac{21411613,89}{200 \cdot 242^2} = 1,82 \\
 \rho &= \frac{1}{m} \left(1 - \sqrt{1 - \frac{2 \times m \times Rn}{f_y}} \right) \\
 &= \frac{1}{14,118} \left(1 - \sqrt{1 - \frac{2 \times 14,118 \times 1,82}{420}} \right)
 \end{aligned}$$

$$\begin{aligned}
 &= 0,0045 > \rho_{\min} \\
 \rho_{\text{pakai}} &= 0,0045 \\
 \text{As perlu} &= \rho \times b \times d \\
 &= 0,0045 \times 300 \times 242 \\
 &= 170,44 \text{ mm}^2 \\
 \text{As D16} &= \frac{1}{4} \pi D^2 \\
 &= \frac{1}{4} \pi 16^2 \\
 &= 201,06 \text{ mm}^2 \\
 \text{n perlu} &= \frac{\text{As perlu}}{\text{As D16}} \\
 &= \frac{170,44}{201,06} \\
 &\approx 2 \text{ buah}
 \end{aligned}$$

Sehingga digunakan tulangan lentur di bagian tumpuan 2D16.

- Tulangan Lapangan

$$\begin{aligned}
 \text{Mu} &= 0,5 \text{ Mu}_{\text{tumpuan}} \\
 &= 963,5226 \text{ kgm} \\
 &= 9635226 \text{ Nmm} \\
 \text{Mn} &= \frac{\text{Mu}}{\phi} = \frac{9635226}{0,9} = 10705806,94 \text{ Nmm} \\
 \text{Rn} &= \frac{\text{Mn}}{bd^2} = \frac{10705806,94}{200 \cdot 242^2} = 0,91 \\
 \rho &= \frac{1}{m} \left(1 - \sqrt{1 - \frac{2 \times m \times \text{Rn}}{fy}} \right) \\
 &= \frac{1}{14,118} \left(1 - \sqrt{1 - \frac{2 \times 14,118 \times 0,91}{420}} \right) \\
 &= 0,0022 < \rho_{\min} \\
 \rho_{\text{pakai}} &= 0,0035 \\
 \text{As perlu} &= \rho \times b \times d \\
 &= 0,0035 \times 300 \times 242 \\
 &= 170,44 \text{ mm}^2 \\
 \text{As D16} &= \frac{1}{4} \pi D^2 \\
 &= \frac{1}{4} \pi 16^2 \\
 &= 201,06 \text{ mm}^2
 \end{aligned}$$

$$\begin{aligned}
 n \text{ perlu} &= \frac{As \text{ perlu}}{As \text{ D16}} \\
 &= \frac{170,44}{201,06} \\
 &\approx 2 \text{ buah}
 \end{aligned}$$

Sehingga digunakan tulangan lentur di bagian lapangan 2D16.

4.1.3.5. Penulangan Geser

$$\begin{aligned}
 V_u &= \frac{1}{2} q_u L \\
 &= \frac{1}{2} \times 2406,3 \times 3,1 \times 10 \\
 &= 37297,65 \text{ N}
 \end{aligned}$$

$$\begin{aligned}
 V_c &= 0,17 \sqrt{f'c} b d \\
 &= 0,17 \sqrt{35} (200)(242) \\
 &= 48677,5 \text{ N}
 \end{aligned}$$

$$\begin{aligned}
 \phi V_c &= 0,75 \times 48677,5 \\
 &= 36508,13 \text{ N}
 \end{aligned}$$

$$\begin{aligned}
 0,5\phi V_c &= 0,5 \times 0,75 \times 48677,5 \\
 &= 14603,25 \text{ N}
 \end{aligned}$$

Karena $0,5\phi V_c < V_u < V_c$, maka digunakan tulangan geser minimum.

$$\begin{aligned}
 V_n &= \frac{Vu}{\phi} \\
 &= \frac{37297,65}{0,75} \\
 &= 49730,2 \text{ N}
 \end{aligned}$$

$$\begin{aligned}
 V_s &= V_n \\
 &= 49730,2 \text{ N}
 \end{aligned}$$

$$\begin{aligned}
 A_v &= 2 \times \frac{1}{4} \pi 10^2 \\
 &= 157,08 \text{ mm}^2
 \end{aligned}$$

$$\begin{aligned}
 s &= \frac{Av \times fy \times d}{Vs} \\
 &= \frac{157,08 \times 420 \times 242}{49730,2} \\
 &= 321,043 \text{ mm}
 \end{aligned}$$

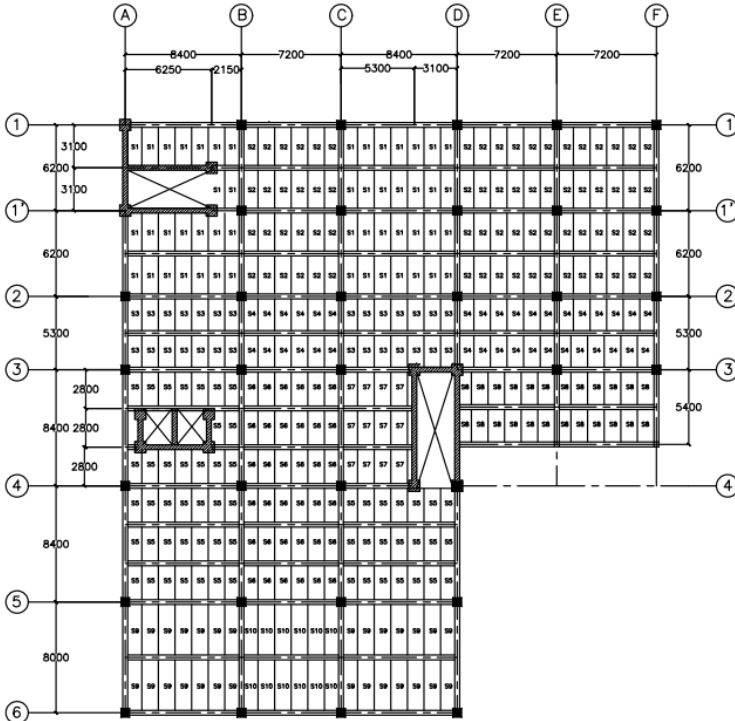
Sehingga digunakan tulangan geser 2D10 – 300 mm.

4.1.4. Perencanaan Hollow Core Slab

4.1.4.1. Perencanaan Dimensi Pelat

Pelat akan direncanakan berdasarkan denah pada Gambar 4.7. Tebal pelat minimum pelat yang akan direncanakan memiliki beberapa dimensi, yaitu sebagai berikut:

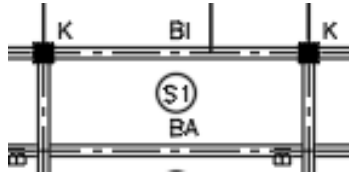
- S1: 8,4 m x 3,1 m
- S2: 7,2 m x 3,1 m
- S3: 8,4 m x 2,65 m
- S4: 7,2 m x 2,65 m
- S5: 8,4 m x 2,8 m
- S6: 7,2 m x 2,8 m
- S7: 5,3 m x 2,8 m
- S8: 7,2 m x 2,7 m
- S9: 8,4 m x 4,0 m
- S10: 7,2 m x 4,0 m



Gambar 4.7 Variasi Jenis Pelat Lantai

Hollow core slab yang digunakan pada tugas akhir ini menggunakan *hollow core slab* yang diproduksi oleh PT. Beton Elemenindo Perkasa dengan perencanaan tebal minimum sebagai berikut:

a. Contoh Perhitungan Tebal Minimum Pelat Satu Arah



Gambar 4.8 Denah Pelat Tipe S1 8,4 m x 3,1 m

Pelat Tipe 1 (S1) memiliki dimensi sebesar 8,4 m x 3,1 m, dengan L_n dan S_n sebagai berikut:

$$L_n = 840 - \frac{1}{2} (80 + 80) = 760 \text{ cm}$$

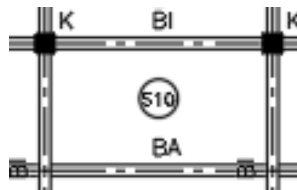
$$S_n = 310 - \frac{1}{2} (60 + 40) = 260 \text{ cm}$$

$$\beta = \frac{L_n}{S_n} = \frac{760}{260} = 2,92 > 2 \rightarrow \text{Pelat 1 arah}$$

Berdasarkan SNI 2847:2019 persyaratan tebal minimum untuk elemen struktur pelat massif satu arah dengan kedua ujung menerus adalah

$$h_{\min} = \frac{L}{28} = \frac{840}{28} = 11,07 \text{ cm} \approx 15 \text{ cm}$$

b. Contoh Perhitungan Tebal Minimum Pelat Dua Arah



Gambar 4.9 Denah Pelat Tipe S10 7,2 m x 4 m

Direncanakan $h_f = 15 \text{ cm}$

$$L_n = 720 - \frac{1}{2} (80 + 80) = 640 \text{ cm}$$

$$S_n = 400 - \frac{1}{2} (60 + 40) = 350 \text{ cm}$$

$$\beta = \frac{Ln}{Sn} = \frac{640}{350} = 1,83 < 2 \rightarrow \text{Pelat 2 arah}$$

Dengan asumsi dimensi balok induk di sisi kanan dan kiri adalah sebesar 80/120, balok induk di sisi atas adalah sebesar 60/90, dan balok anak di sisi bawah adalah sebesar 40/65.

- Balok Induk Kanan-Kiri

Perhitungan lebar efektif:

- $be = bw + 2 \times (hw - hf) = 80 + 2 \times (120 - 15) = 290 \text{ cm}$

- $be = bw + 8 \times hf = 80 + 8 \times 15 = 200 \text{ cm}$

- $be = \frac{1}{4} \times L = \frac{1}{4} \times 640 = 160 \text{ cm}$

- $be \text{ pakai} = be \text{ terkecil} = 160 \text{ cm}$

$$k = \frac{1 + \left(\frac{be}{bw} - 1\right) \left(\frac{hf}{hw}\right) \left[4 - 6 \left(\frac{hf}{hw}\right) + 4 \left(\frac{hf}{hw}\right)^2 + \left(\frac{be}{bw} - 1\right) \left(\frac{hf}{hw}\right)^3\right]}{1 + \left(\frac{be}{bw} - 1\right) \left(\frac{hf}{hw}\right)}$$

$$k = \frac{1 + \left(\frac{160}{80} - 1\right) \left(\frac{15}{120}\right) \left[4 - 6 \left(\frac{15}{120}\right) + 4 \left(\frac{15}{120}\right)^2 + \left(\frac{160}{80} - 1\right) \left(\frac{15}{120}\right)^3\right]}{1 + \left(\frac{160}{80} - 1\right) \left(\frac{15}{120}\right)}$$

$$k = 1,26$$

$$I_{balok} = \frac{1}{12} k \times b \times h^3 = \frac{1}{12} 1,34 \times 80 \times 120^3 = 14482500 \text{ cm}^4$$

$$I_{pelat} = \frac{1}{12} bs \times t^3 = \frac{1}{12} 310 \times 15^3 = 112500 \text{ cm}^4$$

$$\alpha_m = \frac{I_{balok}}{I_{pelat}} = \frac{14482500}{112500} = 128,73$$

- Balok Induk Atas

Perhitungan lebar efektif:

- $be = bw + 2 \times (hw - hf) = 60 + 2 \times (90 - 15) = 210 \text{ cm}$

- $be = bw + 8 \times hf = 60 + 8 \times 15 = 180 \text{ cm}$

- $be = \frac{1}{4} \times L = \frac{1}{4} \times 350 = 87,5 \text{ cm}$

- $be \text{ pakai} = be \text{ terkecil} = 87,5 \text{ cm}$

$$k = \frac{1 + \left(\frac{be}{bw} - 1\right) \left(\frac{hf}{hw}\right) \left[4 - 6 \left(\frac{hf}{hw}\right) + 4 \left(\frac{hf}{hw}\right)^2 + \left(\frac{be}{bw} - 1\right) \left(\frac{hf}{hw}\right)^3 \right]}{1 + \left(\frac{be}{bw} - 1\right) \left(\frac{hf}{hw}\right)}$$

$$k = \frac{1 + \left(\frac{87,5}{60} - 1\right) \left(\frac{15}{90}\right) \left[4 - 6 \left(\frac{15}{90}\right) + 4 \left(\frac{15}{90}\right)^2 + \left(\frac{87,5}{60} - 1\right) \left(\frac{15}{90}\right)^3 \right]}{1 + \left(\frac{87,5}{60} - 1\right) \left(\frac{15}{90}\right)}$$

$$k = 1,15$$

$$I_{balok} = \frac{1}{12} k x b x h^3 = \frac{1}{12} 1,15 x 60 x 90^3 = 4191645,67 \text{ cm}^4$$

$$I_{pelat} = \frac{1}{12} b s x t^3 = \frac{1}{12} 720 x 15^3 = 202500 \text{ cm}^4$$

$$\alpha_m = \frac{I_{balok}}{I_{pelat}} = \frac{4191645,67}{202500} = 20,70$$

- Balok Anak Bawah

Perhitungan lebar efektif:

- $be = bw + 2 x (hw - hf) = 40 + 2 x (65 - 15) = 140 \text{ cm}$
- $be = bw + 8 x hf = 40 + 8 x 15 = 160 \text{ cm}$
- $be = \frac{1}{4} x L = \frac{1}{4} x 350 = 87,5 \text{ cm}$
- $be \text{ pakai} = be \text{ terkecil} = 87,5 \text{ cm}$

$$k = \frac{1 + \left(\frac{be}{bw} - 1\right) \left(\frac{hf}{hw}\right) \left[4 - 6 \left(\frac{hf}{hw}\right) + 4 \left(\frac{hf}{hw}\right)^2 + \left(\frac{be}{bw} - 1\right) \left(\frac{hf}{hw}\right)^3 \right]}{1 + \left(\frac{be}{bw} - 1\right) \left(\frac{hf}{hw}\right)}$$

$$k = \frac{1 + \left(\frac{87,5}{40} - 1\right) \left(\frac{15}{65}\right) \left[4 - 6 \left(\frac{15}{65}\right) + 4 \left(\frac{15}{65}\right)^2 + \left(\frac{87,5}{40} - 1\right) \left(\frac{15}{65}\right)^3 \right]}{1 + \left(\frac{87,5}{40} - 1\right) \left(\frac{15}{65}\right)}$$

$$k = 1,40$$

$$I_{balok} = \frac{1}{12} k x b x h^3 = \frac{1}{12} 1,40 x 40 x 65^3 = 1278304,34 \text{ cm}^4$$

$$I_{pelat} = \frac{1}{12} b s x t^3 = \frac{1}{12} 720 x 15^3 = 202500 \text{ cm}^4$$

$$\alpha_m = \frac{I_{balok}}{I_{pelat}} = \frac{1278304,34}{202500} = 6,31$$

Maka, α_m rata-rata adalah:

$$\alpha_m = \frac{128,73+128,73+20,70+6,31}{4} = 71,12$$

$$h_{min} = \frac{\ln(0,8 + \frac{fy}{1400})}{36+9\beta} = \frac{640(0,8 + \frac{420}{1400})}{36+9 \times 1,83} = 13,42 \text{ cm} > hf = 15 \text{ cm (OK)}$$

Rekapitulasi hasil perhitungan dimensi *hollow core slab* dengan berbagai bentang dapat dilihat pada Tabel 4.2.

Tabel 4.2 Rekapitulasi Perhitungan Dimensi *Hollow Core Slab*

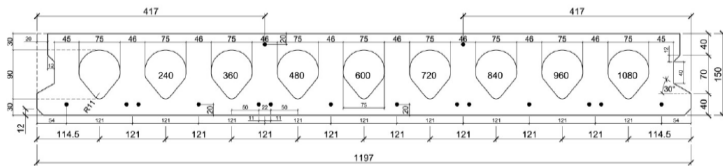
Tipe Pelat	Dimensi				β	Tipe Arah	t min (cm)	t rencana (cm)
	p	l	Ln	Sn				
S1	840	310	760	260	2.92	1	11.07	15
S2	720	310	640	260	2.46	1	11.07	15
S3	840	265	760	215	3.53	1	9.46	15
S4	720	265	640	215	2.98	1	9.46	15
S5	840	280	780	230	3.39	1	10.00	15
S6	720	280	660	230	2.87	1	10.00	15
S7	530	280	470	222.5	2.11	1	10.00	15
S8	720	270	640	220	2.91	1	9.64	15
S9	840	400	760	350	2.17	1	14.29	15
S10	720	400	640	350	1.83	2	13.42	15

4.1.4.2. Data Perencanaan *Hollow Core Slab*

Dalam tugas akhir ini, struktur Gedung Fakultas Ekonomi dan Bisnis Universitas Muhammadiyah Prof. Dr. Hamka dimodifikasi menggunakan pelat pracetak *hollow core slab* dengan bentang 3,1 meter, 2,65 meter, 2,8 meter, 2,7 meter, dan 4 meter. Berikut merupakan data perencanaan yang digunakan berdasarkan hasil perencanaan dimensi pada subbab sebelumnya dan penampang pelat seperti pada Gambar 4.10.

- Tebal *Hollow Core Slab* : 15 cm
- Mutu Beton (f'c) : 45 MPa
- Jumlah Wire : 12 buah ($\phi = 5$ mm)
- Luas Penampang : 1117,18 cm²
- Berat Sendiri : 247 kg/m²
- Rongga : 35,80%

PENAMPANG TEBAL 150 mm



Gambar 4.10 Penampang *Hollow Core Slab* Tebal 150 mm

4.1.4.3. Kontrol Kapasitas *Hollow Core Slab*

Perencanaan *hollow core slab* pada tugas akhir ini mengacu pada tabel kapasitas beban dari katalog *Hollow Core Slab* PT. Beton Elemenindo Perkasa. Kapasitas beban untuk pelat tipe 150.05.12 dengan bentang 4 meter adalah sebesar 905 kg/m². Kapasitas pelat dengan bentang 4 meter dijadikan acuan pula untuk beban-beban yang terjadi pada bentang 3,1 meter, 2,65 meter, 2,8 meter, dan 2,7 meter.

- Pelat Atap
Beban Mati Tambahan (DL):

- Utilitas	= 30 kg/m ²
- Plafon	= 11 kg/m ²
- Penggantung plafon	= 7 kg/m ²
- Spesi (1 cm)	= 21 kg/m ²
- Total	= 69 kg/m ²
Beban Hidup Atap (LL)	= 96 kg/m ²
Beban Ultimate (Qu)	= 1,2 DL + 1,6 LL
	= 1,2 x 69 + 1,6 x 96
	= 236,4 kg/m ²

$Q_n > Q_u$

905 kg/m² > 236,4 kg/m² (OK)

- Pelat Lantai 2 – 15

Beban Mati Tambahan (DL):

- Utilitas	= 30 kg/m ²
- Plafon	= 11 kg/m ²
- Penggantung plafon	= 7 kg/m ²
- Spesi (1 cm)	= 21 kg/m ²
- Total	= 69 kg/m ²
Beban Hidup Lantai Sekolah (LL)	= 192 kg/m ²
Beban Ultimate (Qu)	= 1,2 DL + 1,6 LL
	= 1,2 x 69 + 1,6 x 192
	= 390 kg/m ²

Kapasitas HCS > Qu

905 kg/m² > 390 kg/m² (OK)

- Pelat Lantai 1

Beban Mati Tambahan (DL):

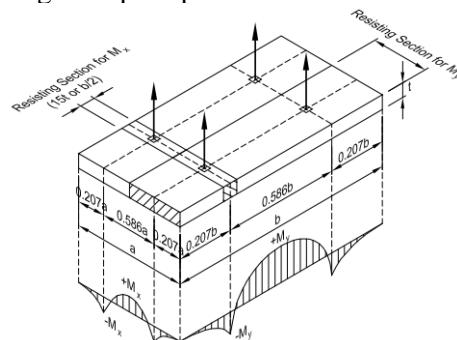
- Utilitas	= 30 kg/m ²
- Plafon	= 11 kg/m ²
- Penggantung plafon	= 7 kg/m ²
- Spesi (1 cm)	= 21 kg/m ²
- Total	= 69 kg/m ²
Beban Hidup Koridor (LL)	= 479 kg/m ²
Beban Ultimate (Qu)	= 1,2 DL + 1,6 LL

$$\begin{aligned}
 &= 1,2 \times 69 + 1,6 \times 479 \\
 &= 849,2 \text{ kg/m}^2
 \end{aligned}$$

$$\begin{aligned}
 Q_n &> Q_u \\
 905 \text{ kg/m}^2 &> 849,2 \text{ kg/m}^2 \text{ (OK)}
 \end{aligned}$$

4.1.4.4. Pengangkatan *Hollow Core Slab*

Pengangkatan pelat pracetak dilaksanakan menggunakan empat titik angkat seperti pada ilustrasi Gambar 4.11.



Gambar 4.11 Pengangkatan Pelat Pracetak
(PCI Design Handbook, 2004)

Dengan panjang HCS 3,1 meter, maka contoh perhitungan pengangkatan pelat pracetak tersebut adalah sebagai berikut:

$$\begin{aligned}
 a &= 1,197 \text{ m} \\
 b &= 3,1 \text{ m} \\
 I_{\text{pelat}} &= 21613,33 \text{ cm}^4 \\
 S_x &= 2881,78 \text{ cm}^3 \\
 W &= 247 \text{ kg/m}^2 \\
 f_{\text{kub}} &= 450 \text{ kg/cm}^2 \\
 f_c &= 0,83 \times f_{\text{kub}} = 0,83 \times 450 = 373,5 \text{ kg/cm}^2 \\
 f_{\text{t ijin}} &= 0,5 \times \sqrt{f_c} = 0,5 \times \sqrt{373,5} = 9,66 \text{ kg/cm}^2
 \end{aligned}$$

Jarak titik angkat:

$$0,027 b = 0,027 \times 3,1 = 0,08 \text{ m}$$

Tegangan tarik yang terjadi:

$$\begin{aligned}
 +M_y &= 0,0054 w a^2 b \\
 &= 0,0054 \times 247 \times 1,197^2 \times 3,1 \\
 &= 5,924 \text{ kgm} \\
 &= 592,4 \text{ kgcm}
 \end{aligned}$$

$$f_t = M_y/S_x = 592,4 / 2881,78 = 0,206 \text{ kg/cm}^2$$

f_t ijin > f_t

$$9,66 \text{ kg/cm}^2 > 0,205 \text{ kg/cm}^2 \text{ (OK)}$$

Rekapitulasi perhitungan pengangkatan pelat pracetak untuk variasi bentang lainnya disajikan dalam Tabel 4.3 berikut.

Tabel 4.3 Rekapitulasi Perhitungan Pengangkatan Pelat

Bentang	Titik Angkat (m)	M_y (kgcm)	F_t (kg/cm ²)	F_t ijin (kg/cm ²)	Cek
3.10	0.084	592.44	0.206	9.66	OK
2.65	0.072	506.44	0.176	9.66	OK
2.80	0.076	535.10	0.186	9.66	OK
2.70	0.073	515.99	0.179	9.66	OK
4.00	0.108	764.43	0.265	9.66	OK

4.1.5. Perencanaan Pelat Basement

Pada perencanaan ini, pelat basement direncanakan menggunakan metode cor *in-situ*. Sehingga dalam perencanaan ini tidak akan direncanakan tulangan akibat pengangkatan dan kondisi sebelum komposit.

Pelat basement direncanakan dengan data perencanaan sebagai berikut:

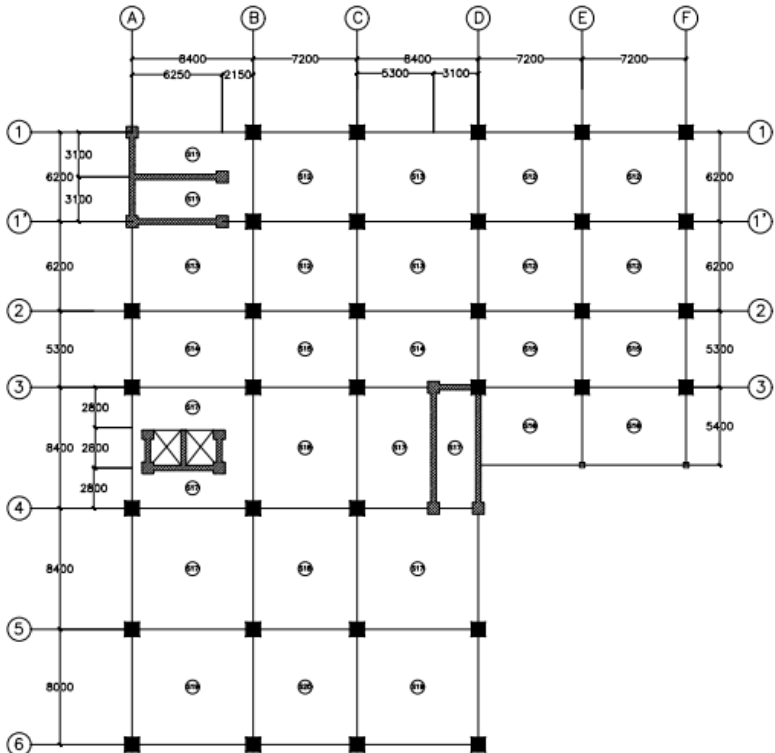
Tebal pelat	: 35 cm
F'_c	: 35 MPa
F_y	: 420 MPa
Tebal cover	: 70 mm

Diameter tulangan (+) : 13 mm

Diameter tulangan (-) : 16 mm

Pelat basement akan direncanakan berdasarkan denah pada Gambar 4.12 dan berbagai jenis bentang sebagai berikut:

- S11: 8,4 m x 3,1 m
- S12: 7,2 m x 6,2 m
- S13: 8,4 m x 6,2 m
- S14: 8,4 m x 5,3 m
- S15: 7,2 m x 5,3 m
- S16: 7,2 m x 5,4 m
- S17: 5,3 m x 8,4 m
- S18: 7,2 m x 8,4 m
- S19: 8,4 m x 8,0 m
- S20: 7,2 m x 8,0 m



Gambar 4.12 Denah Pelat Basement

4.1.5.1. Pembebanan Pelat Basement

Pelat direncanakan menerima beban mati (DL) dan beban hidup (LL) berdasarkan PPIUG 1983 dan SNI 1726:2013 sesuai dengan fungsinya yaitu lantai parkir.

Pada perencanaan pelat basement terdapat 2 kondisi maksimum yang terjadi, yaitu pada saat musim kemarau dan musim hujan. Pada musim kemarau, diasumsikan muka air berada di bawah pelat basement sehingga gaya maksimal yang terjadi pada pelat adalah akibat beban kendaraan. Sedangkan pada musim hujan, diasumsikan muka air berada pada permukaan tanah dan tidak ada kendaraan sehingga gaya maksimal yang terjadi adalah akibat beban *uplift*.

- Kondisi Musim Kemarau

Beban Mati (q_D)

$$\text{Pelat Lantai} = 2400 \times 0,35 = 840 \text{ kg/m}^2$$

$$\text{Spesi (1 cm)} = 21 \text{ kg/m}^2$$

Beban Hidup (q_L)

$$\text{Lantai Parkir} = 500 \text{ kg/m}^2$$

Beban Ultimate (q_U)

$$1,2 q_D + 1,6 q_L = 1833,2 \text{ kg/m}^2$$

- Kondisi Musim Hujan

Beban *Uplift*

$$q = 3,2 \text{ m} \times 1000 = 3200 \text{ kg/m}^2$$

4.1.5.2. Perhitungan Tulangan Pelat Basement

Pada perhitungan pelat, pelat satu arah dan pelat dua arah memiliki perhitungan momen yang berbeda. Perhitungan momen ultimate pada pelat satu arah akan menggunakan perhitungan momen pada perletakan sederhana. Sedangkan untuk pelat dua arah, momen akan dihitung berdasarkan PBI 1971 Tabel 13.3.1. Contoh perhitungan momen pada pelat dua arah S12 pada pelat basement adalah sebagai berikut:

- Perhitungan penulangan positif:

$$q_{\text{pakai}} = 1833,2 \text{ kg/m}$$

$$\begin{aligned}
 X_x (+) &= 28 \\
 X_y (+) &= 20 \\
 M_{ux} &= 0,001 \cdot q \cdot l_x^2 \cdot X_x \\
 &= 6082,118 \text{ kgm} \\
 M_{uy} &= 0,001 \cdot q \cdot l_x^2 \cdot X_y \\
 &= 5321,853 \text{ kgm}
 \end{aligned}$$

- Perhitungan penulangan negatif:

$$\begin{aligned}
 q_{\text{pakai}} &= 3200 \text{ kg/m} \\
 X_x (+) &= 28 \\
 X_x (-) &= 64 \\
 X_y (+) &= 20 \\
 X_y (-) &= 56 \\
 M_{ux} &= 0,001 \cdot q \cdot l_x^2 \cdot X_x \\
 &= 10616,83 \text{ kgm} \\
 M_{uy} &= 0,001 \cdot q \cdot l_x^2 \cdot X_y \\
 &= 9298,73 \text{ kgm}
 \end{aligned}$$

Rekapitulasi perhitungan momen untuk masing-masing jenis pelat dapat dilihat pada Tabel 4.4.

Tabel 4.4 Rekapitulasi Momen pada Pelat Basement

Tipe Pelat	Momen Positif (Kgm)		Momen Negatif (Kgm)	
	Arah X	Arah Y	Arah X	Arah Y
S11	16168.82	0.00	28224.00	0.00
S12	6082.12	5321.85	10616.83	9289.73
S13	9442.59	7372.98	16482.82	12870.14
S14	10218.70	7372.98	17837.57	12870.14
S15	6937.42	5416.89	12109.82	9455.62
S16	6937.42	5416.89	12109.82	9455.62
S17	4068.07	2935.19	7101.15	5123.62
S18	6082.12	5321.85	10616.83	9289.73
S19	7631.68	6984.93	13321.73	12192.77
S20	6082.12	5321.85	10616.83	9289.73

Setelah didapatkan momen yang terjadi pada pelat, selanjutnya dapat dilakukan perhitungan penulangan pada pelat. Contoh perhitungan akan dilakukan pada pelat S12.

- Penulangan Arah X Positif

$$M_u = 6082,12 \text{ kgm}$$

$$D \text{ tulangan} = 13 \text{ mm}$$

$$\phi = 0,90$$

$$R_n = \frac{M_u}{\phi b d^2} \\ = \frac{6082,12 \times 10^4}{0,9 (1000) 273,5^2} \\ = 0,90 \text{ MPa}$$

$$m = \frac{f_y}{0,85 f'c} \\ = \frac{420}{0,85 (35)} \\ = 14,12$$

$$\rho_{\text{perlu}} = \frac{1}{m} \left(1 - \sqrt{1 - \frac{2mR_n}{f_y}} \right) \\ = \frac{1}{14,12} \left(1 - \sqrt{1 - \frac{2 \times 14,12 \times 0,73}{420}} \right) \\ = 0,0022$$

$$\rho_{\text{min}} = 0,0018 \frac{420}{f_y} \\ = 0,0018$$

$$\rho_{\text{pakai}} = 0,0022$$

$$A_{S_{\text{perlu}}} = \rho_{\text{pakai}} \times b \times d \\ = 0,0022 \times 1000 \times 273,5 \\ = 596,34 \text{ mm}^2$$

$$S_{\text{max 1}} = 3h \\ = 1050 \text{ mm}$$

$$S_{\text{max 2}} = 450 \text{ mm}$$

$$S_{\text{pakai}} = 1000 \times \frac{A_{S_{\text{tulangan}}}}{A_{S_{\text{perlu}}}} \\ = 200 \text{ mm}$$

Kontrol Regangan:

$$a = \frac{As f_y}{0,85 f'c b}$$

$$= 7,37 \text{ mm}$$

$$c = \frac{a}{\beta_1}$$

$$= 9,64 \text{ mm}$$

$$\varepsilon_t = 0,003 \frac{d-c}{d}$$

$$= 0,136 > 0,005 \text{ (OK)}$$

∴ Maka, digunakan tulangan arah X D13–200 mm

- Penulangan Arah Y Positif

$$M_u = 5321,85 \text{ kgm}$$

$$D \text{ tulangan} = 13 \text{ mm}$$

$$\phi = 0,90$$

$$R_n = \frac{M_u}{\phi b d^2}$$

$$= \frac{5321,85 \times 10^4}{0,9 (1000) 260,5^2}$$

$$= 0,87 \text{ MPa}$$

$$m = \frac{f_y}{0,85 f'c}$$

$$= 14,12$$

$$\rho_{\text{perlu}} = \frac{1}{m} \left(1 - \sqrt{1 - \frac{2mR_n}{f_y}} \right)$$

$$= \frac{1}{14,12} \left(1 - \sqrt{1 - \frac{2 \times 14,12 \times 0,87}{420}} \right)$$

$$= 0,0021$$

$$\rho_{\text{min}} = 0,0018 \frac{420}{f_y}$$

$$= 0,0018$$

$$\rho_{\text{pakai}} = 0,0021$$

$$A_{S_{\text{perlu}}} = \rho_{\text{pakai}} \times b \times d$$

$$= 0,0021 \times 1000 \times 260,5$$

$$= 547,57 \text{ mm}^2$$

$$S_{\text{max } 1} = 3h$$

$$= 1050 \text{ mm}$$

$$\begin{aligned}
 S_{\max 2} &= 450 \text{ mm} \\
 S_{\text{pakai}} &= 1000 \times \frac{As \text{ tulangan}}{As \text{ perlu}} \\
 &= 225 \text{ mm}
 \end{aligned}$$

Kontrol Regangan:

$$\begin{aligned}
 a &= \frac{As f_y}{0,85 f'c b} \\
 &= 6,76 \text{ mm} \\
 c &= \frac{a}{\beta_1} \\
 &= 8,85 \text{ mm} \\
 \epsilon_t &= 0,003 \frac{d-c}{d} \\
 &= 0,142 > 0,005 \text{ (OK)}
 \end{aligned}$$

∴ Maka, digunakan tulangan arah Y D13–225 mm

- Penulangan Arah X Negatif

$$M_u = 10616,83 \text{ kgm}$$

$$D \text{ tulangan} = 16 \text{ mm}$$

$$\phi = 0,90$$

$$\begin{aligned}
 R_n &= \frac{M_u}{\phi b d^2} \\
 &= \frac{10616,32 \times 10^4}{0,9 (1000) 272^2} \\
 &= 1,59 \text{ MPa}
 \end{aligned}$$

$$\begin{aligned}
 m &= \frac{f_y}{0,85 f'c} \\
 &= \frac{420}{0,85 (35)} \\
 &= 14,12
 \end{aligned}$$

$$\begin{aligned}
 \rho_{\text{perlu}} &= \frac{1}{m} \left(1 - \sqrt{1 - \frac{2mR_n}{f_y}} \right) \\
 &= \frac{1}{14,12} \left(1 - \sqrt{1 - \frac{2 \times 14,12 \times 1,59}{420}} \right) \\
 &= 0,0038
 \end{aligned}$$

$$\begin{aligned}
 \rho_{\text{min}} &= 0,0018 \frac{420}{f_y} \\
 &= 0,0018
 \end{aligned}$$

$$\begin{aligned}
 \rho_{\text{pakai}} &= 0,004 \\
 A_{S\text{perlu}} &= \rho_{\text{pakai}} \times b \times d \\
 &= 0,0038 \times 1000 \times 272 \\
 &= 1058,02 \text{ mm}^2 \\
 S_{\text{max } 1} &= 3h \\
 &= 1050 \text{ mm} \\
 S_{\text{max } 2} &= 450 \text{ mm} \\
 S_{\text{pakai}} &= 1000 \times \frac{A_{S\text{tulangan}}}{A_{S\text{perlu}}} \\
 &= 175 \text{ mm}
 \end{aligned}$$

Kontrol Regangan:

$$\begin{aligned}
 a &= \frac{A_s f_y}{0,85 f'_c b} \\
 &= 13,06 \text{ mm} \\
 c &= \frac{a}{\beta_1} \\
 &= 17,1 \text{ mm} \\
 \epsilon_t &= 0,003 \frac{d-c}{d} \\
 &= 0,075 > 0,005 \text{ (OK)}
 \end{aligned}$$

∴ Maka, digunakan tulangan arah X D16–175 mm

- Penulangan Arah Y Negatif

$$\begin{aligned}
 M_u &= 9289,73 \text{ kgm} \\
 D \text{ tulangan} &= 16 \text{ mm} \\
 \phi &= 0,90 \\
 R_n &= \frac{M_u}{\phi b d^2} \\
 &= \frac{9289,73 \times 10^4}{0,9 (1000) 256^2} \\
 &= 1,58 \text{ MPa} \\
 m &= \frac{f_y}{0,85 f'_c} \\
 &= \frac{420}{0,85 (35)} \\
 &= 14,12
 \end{aligned}$$

$$\begin{aligned}
 \rho_{\text{perlu}} &= \frac{1}{m} \left(1 - \sqrt{1 - \frac{2mRn}{fy}} \right) \\
 &= \frac{1}{14,12} \left(1 - \sqrt{1 - \frac{2 \times 14,12 \times 1,58}{420}} \right) \\
 &= 0,0038 \\
 \rho_{\text{min}} &= 0,0018 \frac{420}{fy} \\
 &= 0,0018 \\
 \rho_{\text{pakai}} &= 0,0038 \\
 A_{S_{\text{perlu}}} &= \rho_{\text{pakai}} \times b \times d \\
 &= 0,0038 \times 1000 \times 256 \\
 &= 983,33 \text{ mm}^2 \\
 S_{\text{max 1}} &= 3h \\
 &= 1050 \text{ mm} \\
 S_{\text{max 2}} &= 450 \text{ mm} \\
 S_{\text{pakai}} &= 1000 \times \frac{A_{S \text{ tulangan}}}{A_{S \text{ perlu}}} \\
 &= 200 \text{ mm}
 \end{aligned}$$

Kontrol Regangan:

$$\begin{aligned}
 a &= \frac{As fy}{0,85 f'c b} \\
 &= 12,15 \text{ mm} \\
 c &= \frac{a}{\beta_1} \\
 &= 15,89 \text{ mm} \\
 \epsilon_t &= 0,003 \frac{d-c}{d} \\
 &= 0,075 > 0,005 \text{ (OK)}
 \end{aligned}$$

∴ Maka, digunakan tulangan arah Y D16–200 mm

4.1.5.3. Rekapitulasi Tulangan Pelat Basement

Rekapitulasi penulangan untuk pelat basement disajikan dalam Tabel 4.5.

Tabel 4.5 Rekapitulasi Penulangan Pelat Basement

Tipe Pelat	Tulangan Positif	Tulangan Negatif
------------	------------------	------------------

	Arah X	Arah Y	Arah X	Arah Y
S11	D13-75	D13-275	D16-50	D13-275
S12	D13-200	D13-225	D16-175	D16-200
S13	D13-125	D13-150	D16-100	D16-125
S14	D13-125	D13-150	D16-100	D16-125
S15	D13-175	D13-225	D16-150	D16-200
S16	D13-175	D13-225	D16-150	D16-200
S17	D13-250	D13-275	D16-275	D16-350
S18	D13-200	D13-225	D16-175	D16-200
S19	D13-175	D13-175	D16-150	D16-150
S20	D13-200	D13-225	D16-175	D16-200

4.1.6. Perencanaan Balok Anak

Pada perencanaan balok anak, beban yang diterima oleh balok anak berupa beban persegi biasa. Hal ini dikarenakan pelat pracetak hanya menumpu pada dua titik, titik tumpu pertama ada pada balok induk dan titik tumpu kedua berada pada balok anak.

4.1.6.1. Perencanaan Dimensi Balok Anak

Dimensi balok anak direncanakan dengan perletakan kedua ujung menerus dan mutu baja 420 Mpa, berikut merupakan salah satu contoh perhitungan dimensi balok anak dengan bentang 8,4 meter:

- Balok Anak (BA 1) dengan $L = 8,4$ meter

$$h_{\min} = \frac{l}{21} = \frac{8,4}{21} = 0,40 \text{ m}$$

$$b = \frac{2}{3}h = \frac{2}{3} \times 0,4 = 0,27 \text{ m}$$

Sehingga, direncanakan balok anak BA 1 dengan dimensi 40/65.

Rekapitulasi hasil perhitungan dimensi balok anak dengan berbagai bentang dapat dilihat pada Tabel 4.6.

Tabel 4.6 Rekapitulasi Perhitungan Dimensi Balok Anak

Tipe Balok	Bentang (m)	h min (m)	b min (m)	Dimensi Balok (cm)	
				h	b
BA 1	8.4	0.40	0.27	65	40
BA 2	7.2	0.34	0.23	65	40
BA 3	5.3	0.25	0.17	60	35

4.1.6.2. Data Perencanaan Balok Anak

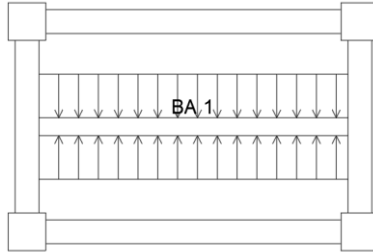
Dalam perencanaan balok anak, ada beberapa kondisi yang harus ditinjau untuk perhitungan tulangan. Kondisi tersebut antara lain yaitu kondisi setelah komposit, sebelum komposit, dan saat pengangkatan. Pengangkatan direncanakan dilakukan pada hari ketujuh dengan nilai kekuatan beton sebesar 25 MPa. Contoh perhitungan yang ditunjukkan dalam subbab ini adalah untuk balok anak tipe 1.

- Dimensi Komposit : 30x50 cm
- Dimensi *Half Beam* : 30x35 cm
- *Overtopping* : 15 cm
- $F'c$ setelah komposit : 35 MPa
- $F'c$ sebelum komposit : 30 MPa
- $F'c$ saat pengangkatan : 25 MPa
- F_y : 420 MPa
- L : 8,4 m
- $L_{pracetak}$: 7,34 m
- Tulangan Longitudinal : 19 mm
- Tulangan Transversal : 10 mm
- *Clear Cover* : 50 mm

4.1.6.3. Pembebanan Balok Anak

Beban yang bekerja pada balok anak adalah berat sendiri balok anak tersebut dan semua beban merata pada pelat. Distribusi beban pada balok pendukung sedemikian rupa

sehingga dianggap sebagai beban persegi panjang pada bentang balok anak dikarenakan pelat yang menumpu pada balok anak adalah pelat satu arah. Beban berbentuk persegi panjang pada balok anak digambarkan pada Gambar 4.13.



Gambar 4.13 Distribusi Beban Pelat pada Balok Anak

- Sebelum Komposit
 - Beban Mati

Berat Sendiri Balok	= 2400 x 0,4 x 0,50	= 480 kg/m
Berat <i>Overtopping</i>	= 2400 x 0,4 x 0,15	= 144 kg/m
Berat Pelat	= 247 x 4	= 988 kg/m
q_D		= 1612 kg/m
 - Beban Hidup

q_L		= 100 kg/m
-------	--	------------
 - Kombinasi Beban

q_{U1}	= 1,4 q_D	= 2256,6 kg/m
q_{U2}	= 1,2 q_D + 1,6 q_L	= 2094,4 kg/m
$q_{u \text{ pakai}}$	= 2256,6 kg/m	
- Setelah Komposit
 - Beban Mati

Berat Sendiri Balok	= 2400 x 0,4 x 0,65	= 624 kg/m
Plafon	= 11 x 4	= 44 kg/m
Penggantung	= 7 x 4	= 28 kg/m
Ducting	= 30 x 4	= 120 kg/m
Keramik	= 24 x 4	= 96 kg/m
Spesi (1 cm)	= 21 x 4	= 84 kg/m

- q_D = 1984 kg/m
 - Beban Hidup
 - q_L = 479 kg/m
 - Kombinasi Beban
 - q_U = $1,2 \times 1984 + 1,6 \times 479$
= 5446 kg/m
- Saat Pengangkatan
 - Beban Mati
 - Berat Sendiri Balok = $2400 \times 0,3 \times 0,50$ = 480 kg/m
 - Kombinasi Beban
 - q_U = $1,4 \times 480$ = 672 kg/m

4.1.6.4. Perhitungan Tulangan Balok Anak

- Setelah Komposit
 - β_1 = $0,85 - 0,05 \frac{f'c-28}{7} = 0,85 - 0,05 \frac{35-28}{7}$
= 0,80
 - ρ_{min1} = $0,25 \frac{\sqrt{f'c}}{420}$
= $0,25 \frac{\sqrt{35}}{420}$
= 0,0035
 - ρ_{min2} = $\frac{1,4}{\frac{fy}{420}}$
= $\frac{1,4}{420}$
= 0,0033
 - m = $\frac{fy}{0,85 f'c}$
= $\frac{420}{0,85 (35)}$
= 14,12
 - d = $h_{balok} - clear\ cover - \emptyset_{sengakang} - 0,5D_{tulangan}$
= $650 - 50 - 10 - 0,5(19)$
= 580,5 mm
 - L_{n1} = $8,4 - 2 \times (0,5 \times 0,3) = 8,1$ m

$$Ln_2 = 7,2 - 2 \times (0,5 \times 0,3) = 6,9 \text{ m}$$

$$Ln = \frac{Ln_1 + Ln_2}{2} = \frac{8,1 + 6,9}{2} = 7,5 \text{ m}$$

$$\begin{aligned} M_{tumpuan} &= \frac{1}{10} \times q_u \times Ln^2 \\ &= \frac{1}{10} \times 5446 \times 7,5^2 \\ &= 29824,49 \text{ kgm} \end{aligned}$$

$$\begin{aligned} M_{lapangan} &= \frac{1}{14} \times q_u \times Ln^2 \\ &= \frac{1}{14} \times 5446 \times 7,5^2 \\ &= 21303,20 \text{ kgm} \end{aligned}$$

$$\begin{aligned} V &= 1,15 \times \frac{q_u \times Ln}{2} \\ &= 1,15 \times \frac{5446 \times 7,5}{2} \\ &= 23174,43 \text{ kg} \end{aligned}$$

- Tulangan Negatif Tumpuan

$$\phi = 0,90$$

$$\begin{aligned} R_n &= \frac{Mu}{\phi b d^2} \\ &= \frac{29824,49 \times 10^4}{0,9 \times 400 \times 580,5^2} \\ &= 2,68 \text{ N/mm}^2 \end{aligned}$$

$$\begin{aligned} \rho_{perlu} &= \frac{1}{m} \left(1 - \sqrt{1 - \frac{2mR_n}{f_y}} \right) \\ &= \frac{1}{14,12} \left(1 - \sqrt{1 - \frac{2 \times 14,12 \times 2,68}{420}} \right) \\ &= 0,0061 \end{aligned}$$

$$\rho_{pakai} = 0,0061 > \rho_{min}$$

$$\begin{aligned} A_{S_{perlu}} &= \rho_{pakai} \times b \times d \\ &= 0,0061 \times 400 \times 580,5 \\ &= 1420,53 \text{ mm}^2 \end{aligned}$$

$$n_{pakai} = \frac{A_{S_{perlu}}}{A_{S_{tulangan}}}$$

$$\begin{aligned}
&= \frac{1420,53}{0,25 \pi (19)^2} \\
&= 6 \text{ buah} \\
S_{\min 1} &= D_{\text{tulangan}} \\
&= 19 \text{ mm} \\
S_{\min 2} &= 25 \text{ mm} \\
S_{\text{pakai}} &= \frac{b - n_{\text{pakai}} D_{\text{tulangan}} - 2 \text{ clear cover} - 2\phi_{\text{senggang}}}{n_{\text{pakai}} - 1} \\
&= \frac{400 - 6(19) - 2(50) - 2(10)}{6 - 1} \\
&= 33 \text{ mm} \\
S_{\text{pakai}} &> S_{\min} \text{ (OK)}
\end{aligned}$$

Kontrol Regangan:

$$\begin{aligned}
a &= \frac{As f_y}{0,85 f' c b} \\
&= 60,04 \text{ mm} \\
c &= \frac{a}{\beta_1} \\
&= \frac{60,04}{0,80} \\
&= 75,05 \text{ mm} \\
\varepsilon_t &= 0,003 \frac{d-c}{d} \\
&= 0,020 > 0,005 \text{ (OK)}
\end{aligned}$$

∴ Maka, digunakan tulangan negatif tumpuan 6D19

- Tulangan Positif Tumpuan

$$\begin{aligned}
M_u &= 0,5 M_{u \text{ negatif tumpuan}} \\
&= 0,5 \times 29824,49 \\
&= 14912,24 \text{ kgm} \\
\phi &= 0,90 \\
R_n &= \frac{M_u}{\phi b d^2} \\
&= \frac{14912,24 \times 10^4}{0,9 \times 400 \times 580,5^2} \\
&= 1,23 \text{ N/mm}^2
\end{aligned}$$

$$\begin{aligned}
\rho_{\text{perlu}} &= \frac{1}{m} \left(1 - \sqrt{1 - \frac{2mRn}{fy}} \right) \\
&= \frac{1}{14,12} \left(1 - \sqrt{1 - \frac{2 \times 14,12 \times 1,23}{420}} \right) \\
&= 0,0029 < \rho_{\text{min}} \\
\rho_{\text{pakai}} &= 0,0035 \\
A_{S\text{perlu}} &= \rho_{\text{pakai}} \times b \times d \\
&= 0,0035 \times 400 \times 580,5 \\
&= 817,69 \text{ mm}^2 \\
n_{\text{pakai}} &= \frac{A_{S\text{perlu}}}{A_{S\text{tulangan}}} \\
&= \frac{817,69}{0,25 \pi (19)^2} \\
&= 3 \text{ buah} \\
S_{\text{min 1}} &= D_{\text{tulangan}} \\
&= 19 \text{ mm} \\
S_{\text{min 2}} &= 25 \text{ mm} \\
S_{\text{pakai}} &= \frac{b - n_{\text{pakai}} D_{\text{tulangan}} - 2 \text{ clear cover} - 2\phi_{\text{sengkanj}}}{n_{\text{pakai}} - 1} \\
&= \frac{400 - 3(19) - 2(50) - 2(10)}{3 - 1} \\
&= 112 \text{ mm} \\
S_{\text{pakai}} &> S_{\text{min}} \text{ (OK)}
\end{aligned}$$

Kontrol Regangan:

$$\begin{aligned}
a &= \frac{As fy}{0,85 f'c b} \\
&= 30,02 \text{ mm} \\
c &= \frac{a}{\beta_1} \\
&= \frac{30,02}{0,80} \\
&= 37,53 \text{ mm} \\
\epsilon_t &= 0,003 \frac{d-c}{d} \\
&= 0,043 > 0,005 \text{ (OK)}
\end{aligned}$$

∴ Maka, digunakan tulangan positif tumpuan 3D19

- Tulangan Positif Lapangan

$$\phi = 0,90$$

$$\begin{aligned} R_n &= \frac{Mu}{\phi b d^2} \\ &= \frac{21303,20 \times 10^4}{0,9 \times 300 \times 430,5^2} \\ &= 1,76 \text{ N/mm}^2 \end{aligned}$$

$$\begin{aligned} \rho_{\text{perlu}} &= \frac{1}{m} \left(1 - \sqrt{1 - \frac{2mR_n}{f_y}} \right) \\ &= \frac{1}{14,12} \left(1 - \sqrt{1 - \frac{2 \times 14,12 \times 1,76}{420}} \right) \\ &= 0,0043 \end{aligned}$$

$$\rho_{\text{pakai}} = 0,0043 > \rho_{\text{min}}$$

$$\begin{aligned} A_{S_{\text{perlu}}} &= \rho_{\text{pakai}} \times b \times d \\ &= 0,0043 \times 400 \times 580,5 \\ &= 1001,33 \text{ mm}^2 \end{aligned}$$

$$\begin{aligned} n_{\text{pakai}} &= \frac{A_{S_{\text{perlu}}}}{A_{S_{\text{tulangan}}}} \\ &= \frac{1001,33}{0,25 \pi (19)^2} \\ &= 4 \text{ buah} \end{aligned}$$

$$\begin{aligned} S_{\text{min 1}} &= D_{\text{tulangan}} \\ &= 19 \text{ mm} \end{aligned}$$

$$S_{\text{min 2}} = 25 \text{ mm}$$

$$\begin{aligned} S_{\text{pakai}} &= \frac{b - n_{\text{pakai}} D_{\text{tulangan}} - 2 \text{ clear cover} - 2\phi_{\text{senggang}}}{n_{\text{pakai}} - 1} \\ &= \frac{400 - 4(19) - 2(50) - 2(10)}{4 - 1} \\ &= 68 \text{ mm} \end{aligned}$$

$$S_{\text{pakai}} > S_{\text{min}} \text{ (OK)}$$

Kontrol Regangan:

$$\begin{aligned} a &= \frac{As f_y}{0,85 f' c b} \\ &= 40,03 \text{ mm} \end{aligned}$$

$$c = \frac{a}{\beta_1}$$

$$\begin{aligned}
 &= \frac{40,03}{0,80} \\
 &= 50,03 \text{ mm} \\
 \varepsilon_t &= 0,003 \frac{d-c}{d} \\
 &= 0,032 > 0,005 \text{ (OK)}
 \end{aligned}$$

∴ Maka, digunakan tulangan positif lapangan 4D19

- Tulangan Negatif Lapangan

$$\begin{aligned}
 M_u &= 0,5 M_u \text{ positif lapangan} \\
 &= 0,5 \times 21303,20 \\
 &= 10651,60 \text{ kgm}
 \end{aligned}$$

$$\phi = 0,90$$

$$\begin{aligned}
 R_n &= \frac{M_u}{\phi b d^2} \\
 &= \frac{10651 \times 10^4}{0,9 \times 400 \times 530,5^2} \\
 &= 0,89 \text{ N/mm}^2
 \end{aligned}$$

$$\begin{aligned}
 \rho_{\text{perlu}} &= \frac{1}{m} \left(1 - \sqrt{1 - \frac{2mR_n}{f_y}} \right) \\
 &= \frac{1}{14,12} \left(1 - \sqrt{1 - \frac{2 \times 14,12 \times 0,89}{420}} \right) \\
 &= 0,0021 < \rho_{\text{min}}
 \end{aligned}$$

$$\rho_{\text{pakai}} = 0,0035$$

$$\begin{aligned}
 A_{S_{\text{perlu}}} &= \rho_{\text{pakai}} \times b \times d \\
 &= 0,0035 \times 400 \times 580,5 \\
 &= 817,69 \text{ mm}^2
 \end{aligned}$$

$$\begin{aligned}
 n_{\text{pakai}} &= \frac{A_{S_{\text{perlu}}}}{A_{S_{\text{tulangan}}}} \\
 &= \frac{817,69}{0,25 \pi (19)^2} \\
 &= 3 \text{ buah}
 \end{aligned}$$

$$\begin{aligned}
 S_{\text{min 1}} &= D_{\text{tulangan}} \\
 &= 19 \text{ mm}
 \end{aligned}$$

$$S_{\text{min 2}} = 25 \text{ mm}$$

$$\begin{aligned}
 S_{pakai} &= \frac{b - n_{pakai} D_{tulangan} - 2 \text{ clear cover} - 2\phi_{senggang}}{n_{pakai} - 1} \\
 &= \frac{400 - 3(19) - 2(50) - 2(10)}{3 - 1} \\
 &= 112 \text{ mm} \\
 S_{pakai} &> S_{min} \text{ (OK)}
 \end{aligned}$$

Kontrol Regangan:

$$\begin{aligned}
 a &= \frac{As f_y}{0,85 f'_c b} \\
 &= 30,02 \text{ mm} \\
 c &= \frac{a}{\beta_1} \\
 &= \frac{30,02}{0,80} \\
 &= 37,53 \text{ mm} \\
 \epsilon_t &= 0,003 \frac{d-c}{d} \\
 &= 0,043 > 0,005 \text{ (OK)}
 \end{aligned}$$

∴ Maka, digunakan tulangan negatif lapangan 4D19

- Tulangan Geser

$$\begin{aligned}
 V_u &= 231744,32 \text{ N} \\
 V_c &= 0,17 \sqrt{f'_c} b d \\
 &= 233531,33 \text{ N} \\
 \phi V_c &= 175148,5 \text{ N} \\
 0,5\phi V_c &= 87574,25 \text{ N} \\
 V_{s \text{ min}} &= 0,062 \sqrt{f'_c} b d \\
 &= 85857,11 \text{ N} \\
 \phi(V_c + V_{s \text{ min}}) &= 64392,83 \text{ N}
 \end{aligned}$$

Syarat:

Kondisi 1:

$$V_u \leq 0,5\phi V_c \rightarrow \text{tidak memenuhi}$$

Kondisi 2:

$$0,5\phi V_c \leq V_u \leq \phi V_c \rightarrow \text{tidak memenuhi}$$

Kondisi 3:

$$\phi V_c \leq V_u \leq \phi(V_c + V_{s \min}) \rightarrow \text{memenuhi}$$

Oleh karena kondisi 3 persyaratan tulangan geser terpenuhi, maka diperlukan tulangan geser dalam perencanaan balok anak ini.

$$\begin{aligned} S_{\max 1} &= \frac{d}{2} \\ &= \frac{580,5}{2} \\ &= 290,25 \text{ mm} \\ S_{\max 2} &= 600 \text{ mm} \\ S_{\text{pakai}} &= 275 \text{ mm} \\ d_{\text{senggang}} &= 10 \text{ mm} \\ f_{y \text{ senggang}} &= 280 \text{ MPa} \\ n_{\text{senggang}} &= 2 \text{ kaki} \\ A_{V_{\min 1}} &= 0,062 \sqrt{f'c} \frac{bs}{f_y} \\ &= 96,07 \text{ mm}^2 \\ A_{V_{\min 2}} &= 0,35 \frac{bs}{f_y} \\ &= 91,66 \text{ mm}^2 \\ A_{V_{\text{pakai}}} &= 2 \times 0,25 \pi d_{\text{senggang}}^2 \\ &= 2 \times 0,25 \pi 10^2 \\ &= 157,08 \text{ mm}^2 > A_{V_{\min}} \text{ (OK)} \\ V_{s \text{ pakai}} &= \frac{A_v f_y d}{S_{\text{pakai}}} \\ &= \frac{157,08 \times 280 \times 580,5}{275} \\ &= 139263,95 \text{ N} > V_{s \min} \text{ (OK)} \end{aligned}$$

∴ Maka, digunakan tulangan geser $\phi 10-275 \text{ mm}$.

- Sebelum Komposit

$$\begin{aligned} \beta_1 &= 0,85 - 0,05 \frac{f'c - 28}{7} = 0,85 - 0,05 \frac{30 - 28}{7} \\ &= 0,84 \\ \rho_{\min 1} &= 0,25 \frac{\sqrt{f'c}}{420} \\ &= 0,25 \frac{\sqrt{30}}{420} \end{aligned}$$

$$\begin{aligned} \rho_{\min 2} &= 0,0033 \\ &= \frac{1,4}{f_y} \\ &= \frac{1,4}{420} \\ &= 0,0033 \\ m &= \frac{f_y}{0,85 f'c} \\ &= \frac{420}{0,85 (30)} \\ &= 16,47 \end{aligned}$$

$$\begin{aligned} d &= h_{\text{balok}} - \text{clear cover} - \varnothing_{\text{senggang}} - 0,5D_{\text{tulangan}} \\ &= 500 - 50 - 10 - 0,5(19) \\ &= 430,5 \text{ mm} \end{aligned}$$

Momen yang terjadi pada balok anak pada kondisi sebelum komposit dihitung dengan anggapan bahwa tumpuan pada balok anak merupakan tumpuan sederhana. Sehingga, momen pada daerah tumpuan dianggap tidak ada.

$$\begin{aligned} M_{\text{tumpuan}} &= 0 \text{ kgm} \\ M_{\text{lapangan}} &= \frac{1}{8} \times q_u \times L^2 \\ &= \frac{1}{8} \times 2256,8 \times 7,34^2 \\ &= 15198,31 \text{ kgm} \\ M_{\text{lapangan pakai}} &= 15198,31 \text{ kgm} \\ V_u &= \frac{q_u \times L}{2} \\ &= \frac{2256,8 \times 7,34}{2} \\ &= 8282,46 \text{ kg} \end{aligned}$$

- Tulangan Negatif Tumpuan

$$\begin{aligned} \rho_{\text{pakai}} &= \rho_{\min} \\ &= 0,0033 \\ A_{S_{\text{perlu}}} &= \rho_{\text{pakai}} \times b \times d \\ &= 0,0033 \times 400 \times 430,5 \\ &= 574 \text{ mm}^2 \\ n_{\text{pakai}} &= \frac{A_{S_{\text{perlu}}}}{A_{S_{\text{tulangan}}}} \end{aligned}$$

$$\begin{aligned}
 &= \frac{574}{0,25 \pi (19)^2} \\
 &= 3 \text{ buah} \\
 S_{\min 1} &= D_{\text{tulangan}} \\
 &= 19 \text{ mm} \\
 S_{\min 2} &= 25 \text{ mm} \\
 S_{\text{pakai}} &= \frac{b - n_{\text{pakai}} D_{\text{tulangan}} - 2 \text{ clear cover} - 2\phi_{\text{senggang}}}{n_{\text{pakai}} - 1} \\
 &= \frac{400 - 3(19) - 2(50) - 2(10)}{3 - 1} \\
 &= 112 \text{ mm} \\
 S_{\text{pakai}} &> S_{\min} \text{ (OK)}
 \end{aligned}$$

∴ Maka, digunakan tulangan negatif tumpuan 3D19

- Tulangan Positif Tumpuan

$$\begin{aligned}
 \rho_{\text{pakai}} &= \rho_{\min} \\
 &= 0,0033 \\
 A_{S_{\text{perlu}}} &= \rho_{\text{pakai}} \times b \times d \\
 &= 0,0033 \times 400 \times 430,5 \\
 &= 574 \text{ mm}^2 \\
 n_{\text{pakai}} &= \frac{A_{S_{\text{perlu}}}}{A_{S_{\text{tulangan}}}} \\
 &= \frac{574}{0,25 \pi (19)^2} \\
 &= 3 \text{ buah} \\
 S_{\min 1} &= D_{\text{tulangan}} \\
 &= 19 \text{ mm} \\
 S_{\min 2} &= 25 \text{ mm} \\
 S_{\text{pakai}} &= \frac{b - n_{\text{pakai}} D_{\text{tulangan}} - 2 \text{ clear cover} - 2\phi_{\text{senggang}}}{n_{\text{pakai}} - 1} \\
 &= \frac{400 - 3(19) - 2(50) - 2(10)}{3 - 1} \\
 &= 112 \text{ mm} \\
 S_{\text{pakai}} &> S_{\min} \text{ (OK)}
 \end{aligned}$$

∴ Maka, digunakan tulangan positif tumpuan 3D19

- Tulangan Positif Lapangan

$$\begin{aligned}
 \phi &= 0,90 \\
 R_n &= \frac{M_u}{\phi b d^2} \\
 &= \frac{15198,31 \times 10^4}{0,9 \times 400 \times 430,5^2} \\
 &= 2,28 \text{ N/mm}^2 \\
 \rho_{\text{perlu}} &= \frac{1}{m} \left(1 - \sqrt{1 - \frac{2mR_n}{f_y}} \right) \\
 &= \frac{1}{16,47} \left(1 - \sqrt{1 - \frac{2 \times 16,47 \times 2,28}{420}} \right) \\
 &= 0,0057 \\
 \rho_{\text{pakai}} &= 0,0057 > \rho_{\text{min}} \\
 A_{S_{\text{perlu}}} &= \rho_{\text{pakai}} \times b \times d \\
 &= 0,0057 \times 400 \times 430,5 \\
 &= 979,88 \text{ mm}^2 \\
 n_{\text{pakai}} &= \frac{A_{S_{\text{perlu}}}}{A_{S_{\text{tulangan}}}} \\
 &= \frac{979,88}{0,25 \pi (19)^2} \\
 &= 4 \text{ buah} \\
 S_{\text{min 1}} &= D_{\text{tulangan}} \\
 &= 19 \text{ mm} \\
 S_{\text{min 2}} &= 25 \text{ mm} \\
 S_{\text{pakai}} &= \frac{b - n_{\text{pakai}} D_{\text{tulangan}} - 2 \text{ clear cover} - 2\phi_{\text{senggang}}}{n_{\text{pakai}} - 1} \\
 &= \frac{400 - 4(19) - 2(50) - 2(10)}{4 - 1} \\
 &= 68 \text{ mm} \\
 S_{\text{pakai}} &> S_{\text{min}} \text{ (OK)}
 \end{aligned}$$

Kontrol Regangan:

$$\begin{aligned}
 a &= \frac{A_s f_y}{0,85 f' c b} \\
 &= 46,70 \text{ mm} \\
 c &= \frac{a}{\beta_1}
 \end{aligned}$$

$$\begin{aligned}
 &= \frac{46,70}{0,84} \\
 &= 55,88 \text{ mm} \\
 \varepsilon_t &= 0,003 \frac{d-c}{d} \\
 &= 0,020 > 0,005 \text{ (OK)}
 \end{aligned}$$

∴ Maka, digunakan tulangan positif lapangan 4D19

- Tulangan Negatif Lapangan

$$\begin{aligned}
 M_u &= 0,5 M_u \text{ positif lapangan} \\
 &= 0,5 \times 15198,31 \\
 &= 7599,15 \text{ kgm}
 \end{aligned}$$

$$\phi = 0,90$$

$$\begin{aligned}
 R_n &= \frac{M_u}{\phi b d^2} \\
 &= \frac{7599,15 \times 10^4}{0,9 \times 400 \times 430,5^2} \\
 &= 1,14 \text{ N/mm}^2
 \end{aligned}$$

$$\begin{aligned}
 \rho_{\text{perlu}} &= \frac{1}{m} \left(1 - \sqrt{1 - \frac{2mR_n}{f_y}} \right) \\
 &= \frac{1}{16,47} \left(1 - \sqrt{1 - \frac{2 \times 16,47 \times 1,14}{420}} \right) \\
 &= 0,0027
 \end{aligned}$$

$$\rho_{\text{pakai}} = 0,0027 < \rho_{\text{min}}$$

$$\begin{aligned}
 A_{S_{\text{perlu}}} &= \rho_{\text{min}} \times b \times d \\
 &= 0,0027 \times 400 \times 430,5 \\
 &= 574 \text{ mm}^2
 \end{aligned}$$

$$\begin{aligned}
 n_{\text{pakai}} &= \frac{A_{S_{\text{perlu}}}}{A_{S_{\text{tulangan}}}} \\
 &= \frac{574}{0,25 \pi (19)^2} \\
 &= 3 \text{ buah}
 \end{aligned}$$

$$\begin{aligned}
 S_{\text{min 1}} &= D_{\text{tulangan}} \\
 &= 19 \text{ mm}
 \end{aligned}$$

$$S_{\text{min 2}} = 25 \text{ mm}$$

$$\begin{aligned}
 S_{\text{pakai}} &= \frac{b - n_{\text{pakai}} D_{\text{tulangan}} - 2 \text{ clear cover} - 2\phi_{\text{senggang}}}{n_{\text{pakai}} - 1} \\
 &= \frac{400 - 3(19) - 2(50) - 2(10)}{3 - 1} \\
 &= 112 \text{ mm} \\
 S_{\text{pakai}} &> S_{\text{min}} \text{ (OK)}
 \end{aligned}$$

Kontrol Regangan:

$$\begin{aligned}
 a &= \frac{A_s f_y}{0,85 f'_c b} \\
 &= 35,02 \text{ mm} \\
 c &= \frac{a}{\beta_1} \\
 &= \frac{35,02}{0,84} \\
 &= 41,91 \text{ mm} \\
 \epsilon_t &= 0,003 \frac{d-c}{d} \\
 &= 0,027 > 0,005 \text{ (OK)}
 \end{aligned}$$

∴ Maka, digunakan tulangan negatif lapangan 3D19

- Tulangan Geser

$$\begin{aligned}
 V_u &= 82824,6 \text{ N} \\
 V_c &= 0,17 \sqrt{f'_c} b d \\
 &= 160340,40 \text{ N} \\
 \phi V_c &= 120255,22 \text{ N} \\
 0,5\phi V_c &= 60127,61 \text{ N} \\
 V_{s \text{ min}} &= 0,062 \sqrt{f'_c} b d \\
 &= 58948,64 \text{ N}
 \end{aligned}$$

Syarat:

Kondisi 1:

$$V_u \leq 0,5\phi V_c \rightarrow \text{tidak memenuhi}$$

Kondisi 2:

$$0,5\phi V_c \leq V_u \leq \phi V_c \rightarrow \text{memenuhi}$$

Oleh karena kondisi 2 persyaratan tulangan geser terpenuhi, maka diperlukan tulangan geser minimum pada kondisi balok sebelum komposit.

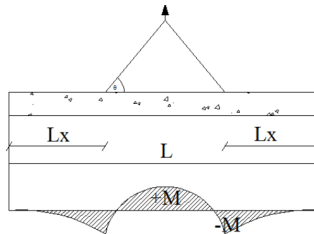
$$\begin{aligned}
 s &= \frac{Avfyd}{V_{s\min}} \\
 &= \frac{157,08 \times 420 \times 430,5}{58948,64} \\
 &= 481,8 \text{ mm} \\
 s_{\text{pakai}} &= 350 \text{ mm}
 \end{aligned}$$

∴ Maka, digunakan tulangan geser $\phi 10-350 \text{ mm}$.

- Saat Pengangkatan

$$\begin{aligned}
 d &= h_{\text{balok}} - \text{clear cover} - \phi_{\text{senggang}} - 0,5D_{\text{tulangan}} \\
 &= 400 - 50 - 10 - 0,5(19) \\
 &= 430,5 \text{ mm}
 \end{aligned}$$

Pada saat pengangkatan direncanakan 2 titik angkat dengan lokasi titik pengangkatan berada pada daerah tumpuan seperti pada Gambar 4.14.



Gambar 4.14 Titik Angkat Balok Anak

$$\begin{aligned}
 +M &= \frac{WL^2}{8} \left(1 - 4X + \frac{4Y_c}{L \tan \theta} \right) \\
 -M &= \frac{WX^2L^2}{8} \\
 y_t &= \frac{h}{2} \\
 &= \frac{50}{2} \\
 &= 25 \text{ cm}
 \end{aligned}$$

$$\begin{aligned}
 I_{\text{balok}} &= \frac{1}{12}bh^3 \\
 &= \frac{1}{12}40(50)^3 \\
 &= 416666,7 \text{ cm}^4
 \end{aligned}$$

$$\begin{aligned}
 y_c &= y_t + 5 \\
 &= 25 + 5 \\
 &= 30 \text{ cm}
 \end{aligned}$$

Balok direncanakan diangkat dengan sudut 45°

$$\theta = 45^\circ$$

$$L = 7,34 \text{ m}$$

$$\begin{aligned}
 X &= \frac{1 + \frac{4y_c}{L \tan \theta}}{2 \left(1 + \sqrt{1 + \frac{y_t}{y_b} \left(1 + \frac{4y_c}{L \tan \theta} \right)} \right)} \\
 &= 0,235 \text{ m}
 \end{aligned}$$

$$\begin{aligned}
 LX &= 7,34 (0,235) \\
 &= 1,73 \text{ m}
 \end{aligned}$$

$$W = 672 \text{ kg/m}$$

$$+M = 1003,44 \text{ kgm}$$

$$-M = 1003,44 \text{ kgm}$$

- Tulangan Negatif Tumpuan

$$\begin{aligned}
 \rho_{\text{min1}} &= 0,25 \frac{\sqrt{f'c}}{420} \\
 &= 0,25 \frac{\sqrt{25}}{420} \\
 &= 0,0030
 \end{aligned}$$

$$\begin{aligned}
 \rho_{\text{min2}} &= \frac{1,4}{fy} \\
 &= \frac{1,4}{420} \\
 &= 0,0033
 \end{aligned}$$

$$\begin{aligned}
 \rho_{\text{pakai}} &= \rho_{\text{min}} \\
 &= 0,0033
 \end{aligned}$$

$$\begin{aligned}
 A_{\text{Sperlu}} &= \rho_{\text{pakai}} \times b \times d \\
 &= 0,0033 \times 400 \times 430,5 \\
 &= 574 \text{ mm}^2
 \end{aligned}$$

$$\begin{aligned}
 n_{\text{pakai}} &= \frac{A_{\text{perlu}}}{A_{\text{tulangan}}} \\
 &= \frac{574}{0,25 \pi (19)^2} \\
 &= 3 \text{ buah} \\
 S_{\text{min 1}} &= D_{\text{tulangan}} \\
 &= 19 \text{ mm} \\
 S_{\text{min 2}} &= 25 \text{ mm} \\
 S_{\text{pakai}} &= \frac{b - n_{\text{pakai}} D_{\text{tulangan}} - 2 \text{ clear cover} - 2\phi_{\text{sengkang}}}{n_{\text{pakai}} - 1} \\
 &= \frac{400 - 3(19) - 2(50) - 2(10)}{3 - 1} \\
 &= 112 \text{ mm} \\
 S_{\text{pakai}} &> S_{\text{min}} \text{ (OK)}
 \end{aligned}$$

∴ Maka, digunakan tulangan negatif lapangan 3D19

- Tulangan Positif Tumpuan

$$\begin{aligned}
 \rho_{\text{pakai}} &= \rho_{\text{min}} \\
 &= 0,0033 \\
 A_{\text{perlu}} &= \rho_{\text{pakai}} \times b \times d \\
 &= 0,0033 \times 400 \times 430,5 \\
 &= 574 \text{ mm}^2 \\
 n_{\text{pakai}} &= \frac{A_{\text{perlu}}}{A_{\text{tulangan}}} \\
 &= \frac{574}{0,25 \pi (19)^2} \\
 &= 3 \text{ buah} \\
 S_{\text{min 1}} &= D_{\text{tulangan}} \\
 &= 19 \text{ mm} \\
 S_{\text{min 2}} &= 25 \text{ mm} \\
 S_{\text{pakai}} &= \frac{b - n_{\text{pakai}} D_{\text{tulangan}} - 2 \text{ clear cover} - 2\phi_{\text{sengkang}}}{n_{\text{pakai}} - 1} \\
 &= \frac{400 - 3(19) - 2(50) - 2(10)}{3 - 1} \\
 &= 112 \text{ mm} \\
 S_{\text{pakai}} &> S_{\text{min}} \text{ (OK)}
 \end{aligned}$$

∴ Maka, digunakan tulangan negatif lapangan 3D19

- Tulangan Positif Lapangan

Oleh karena pada saat pengangkatan momen yang terjadi sangat kecil, maka untuk menentukan luasan tulangan yang diperlukan dapat langsung menggunakan nilai ρ_{\min} .

$$\begin{aligned} \rho_{\text{pakai}} &= \rho_{\min} \\ &= 0,0033 \\ A_{\text{Sperlu}} &= \rho_{\text{pakai}} \times b \times d \\ &= 0,0033 \times 400 \times 430,5 \\ &= 574 \text{ mm}^2 \\ n_{\text{pakai}} &= \frac{A_{\text{Sperlu}}}{A_{\text{Stulangan}}} \\ &= \frac{574}{0,25 \pi (19)^2} \\ &= 3 \text{ buah} \\ S_{\min 1} &= D_{\text{tulangan}} \\ &= 19 \text{ mm} \\ S_{\min 2} &= 25 \text{ mm} \\ S_{\text{pakai}} &= \frac{b - n_{\text{pakai}} D_{\text{tulangan}} - 2 \text{ clear cover} - 2\phi_{\text{senggang}}}{n_{\text{pakai}} - 1} \\ &= \frac{400 - 3(19) - 2(50) - 2(10)}{3 - 1} \\ &= 112 \text{ mm} \\ S_{\text{pakai}} &> S_{\min} \text{ (OK)} \end{aligned}$$

∴ Maka, digunakan tulangan negatif lapangan 3D19

- Tulangan Negatif Lapangan

$$\begin{aligned} \rho_{\text{pakai}} &= \rho_{\min} \\ &= 0,0033 \\ A_{\text{Sperlu}} &= \rho_{\text{pakai}} \times b \times d \\ &= 0,0033 \times 400 \times 430,5 \\ &= 574 \text{ mm}^2 \\ n_{\text{pakai}} &= \frac{A_{\text{Sperlu}}}{A_{\text{Stulangan}}} \\ &= \frac{574}{0,25 \pi (19)^2} \\ &= 3 \text{ buah} \end{aligned}$$

$$\begin{aligned}
 S_{\min 1} &= D_{\text{tulangan}} \\
 &= 19 \text{ mm} \\
 S_{\min 2} &= 25 \text{ mm} \\
 S_{\text{pakai}} &= \frac{b - n_{\text{pakai}} D_{\text{tulangan}} - 2 \text{ clear cover} - 2\phi_{\text{sengkang}}}{n_{\text{pakai}} - 1} \\
 &= \frac{400 - 3(19) - 2(50) - 2(10)}{3 - 1} \\
 &= 112 \text{ mm} \\
 S_{\text{pakai}} &> S_{\min} \text{ (OK)}
 \end{aligned}$$

∴ Maka, digunakan tulangan negatif lapangan 3D19

4.1.6.5. Pengangkatan Balok Anak

Sebelum melakukan instalasi balok anak, balok anak terlebih dahulu mengalami proses pengangkatan menuju titik lokasi pemasangan. Oleh karena itu, diperlukan perencanaan tulangan angkat untuk balok anak. Untuk pengangkatan balok anak pada tugas akhir ini direncanakan menggunakan dua titik angkat tanpa bantuan *spreader beam*.

- Perhitungan Tulangan Angkat
 - Faktor Kejut (K) = 1,2
 - DL = $h_{\text{pracetak}} \times b_{\text{pracetak}} \times L \times \gamma_{\text{beton}}$

$$= 0,5 \times 0,4 \times 7,34 \times 2400$$

$$= 3523 \text{ kg}$$
 - q = K x 1,4DL

$$= 1,2 \times 1,4(3523)$$

$$= 5918,98 \text{ kg}$$
 - Gaya Angkat (Tu):

$$Tu = \frac{q}{2 \cos(45)}$$

$$= \frac{5918,98}{2 \cos(45)}$$

$$= 4185,35 \text{ kg}$$

$$= 41,85 \text{ kN}$$

- Kontrol Tegangan

$$\sigma_{\text{balok}} < \sigma_{\text{ijin}}$$

$$\sigma_{\text{ijin}} = \frac{0.7 \sqrt{f'_c}}{SF}$$

$$= \frac{0.7 \sqrt{25}}{1.5}$$

$$= 2,33 \text{ MPa}$$

$$Z = \frac{1}{6} b (h_{\text{pracetak}})^2$$

$$= \frac{1}{6} 40 (50)^2$$

$$= 16666,67 \text{ cm}^3$$

$$\sigma_{\text{balok}} = \frac{M_u}{Z}$$

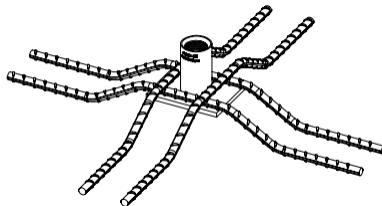
$$= \frac{1003,44 \times 10^4}{16666,67 \times 10^3}$$

$$= 0,6 \text{ MPa}$$

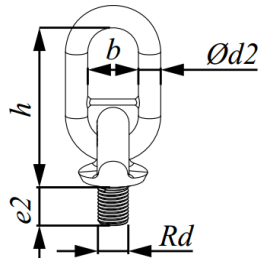
$$\sigma_{\text{balok}} < \sigma_{\text{ijin}} \text{ (OK)}$$

- Pemilihan Profil Tulangan Angkat

Tulangan angkat yang digunakan adalah jenis Jenka Lifting System dari Peikko Group seperti pada Gambar 4.15 dan Gambar 4.16. Tipe yang digunakan adalah Jenka PSA Short Insert dengan kait JL. Disetiap titik angkat, profil ini dapat mengangkat beban sebesar 5 – 125 kN dengan sudut 0° - 45°. Untuk BA 1, profil tulangan angkat yang digunakan adalah tipe JRd/JM 36.



Gambar 4.15 Jenka PSA Short Inserts



Gambar 4.16 Kait JL

4.1.6.6. Rekapitulasi Tulangan Balok Anak

Berikut merupakan rekapitulasi tulangan balok anak yang disajikan dalam Tabel 4.7.

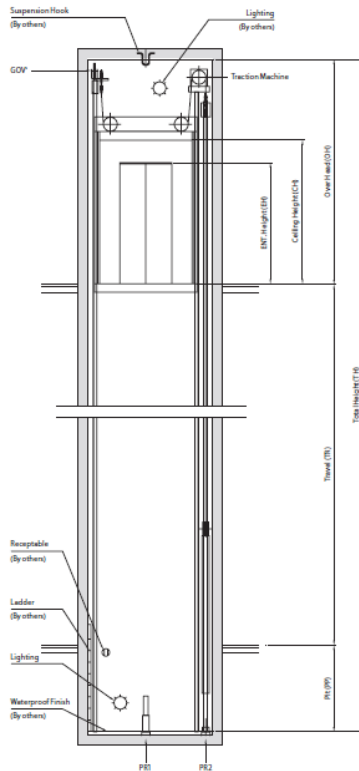
Tabel 4.7 Rekapitulasi Tulangan Balok Anak

BA 1		BA 2		BA 3	
Tumpuan	Lapangan	Tumpuan	Lapangan	Tumpuan	Lapangan
400mm x 650 mm		400mm x 650 mm		350mm x 600 mm	
8.4 m		7.2 m		5.3 m	
50 mm		50 mm		50 mm	
6D19	3D19	5D19	3D19	3D19	3D19
3D19	3D19	2D19	3D19	2D19	2D19
3D19	4D19	3D19	4D19	3D19	3D19
2D-275 mm		2D-275 mm		2D-300 mm	
41.85		41.06		23.80	
JRd/JM36		JRd/JM36		JRd/JM 24	

4.1.7. Perencanaan Lift

Perencanaan lift meliputi pemilihan jenis lift yang akan digunakan pada bangunan. Pada perencanaan ini digunakan lift yang diproduksi Hyundai Elevator dengan tipe YZER-R MRL seperti pada Gambar 4.17, dengan spesifikasi sebagai berikut:

- Tipe Lift : *Machine Room-Less* (MRL) EN81-1
- Model : *2 panel side open*
- Kapasitas : 900 kg
- Kecepatan : 1,5 m/detik
- Lebar Pintu : 1 meter
- Car Size : 1100x2100 mm
- Car Height : 2500 mm
- Hoistway Size : 1700 x 2400 mm
- Overhead : 4000 mm
- Pit Depth : 1300 mm
- Beban PR₁ : 9600 kg
- Beban PR₂ : 7600 kg



Gambar 4.17 Potongan Ruang Lift

4.2. Preliminary Design

Preliminary design merupakan proses perencanaan awal yang akan digunakan untuk merencanakan dimensi struktur gedung. Perencanaan awal dilakukan menurut peraturan yang ada. *Preliminary design* dilakukan terhadap komponen struktur primer antara lain balok induk, kolom, dan dinding geser.

4.2.1. Perencanaan Dimensi Balok Induk

Dimensi balok induk direncanakan dengan dua tumpuan sederhana dan mutu baja 420 Mpa, berikut merupakan salah

satu contoh perhitungan dimensi balok induk dengan bentang 8,4 meter:

- Balok Induk (BI 1) dengan $L = 8,4$ meter

$$h_{\min} = \frac{l}{16} = \frac{8.4}{21} = 0,53 \text{ m} \approx 0,90 \text{ m}$$

$$b = \frac{2}{3}h = \frac{2}{3} \times 0,53 = 0,35 \text{ m} \approx 0,60 \text{ m}$$

Dalam perencanaan beton pracetak, diutamakan dimensi elemen yang tipikal. Sehingga, balok induk direncanakan dengan dimensi 35/55 cm.

Rekapitulasi hasil perhitungan dimensi balok induk dengan berbagai bentang dapat dilihat pada Tabel 4.8.

Tabel 4.8 Rekapitulasi Perhitungan Dimensi Balok Induk

Balok Induk					
Tipe Balok	Bentang (m)	h min (m)	b min (m)	Dimensi Balok (cm)	
				h	b
BI 1	8.4	0.53	0.35	90	60
BI 2	7.2	0.45	0.30	90	60
BI 3	6.25	0.39	0.26	120	80
BI 4	5.3	0.33	0.22	120	80
BI 5	5.4	0.34	0.23	120	80
BI 6	8.4	0.53	0.35	120	80
BI 7	8	0.50	0.33	120	80

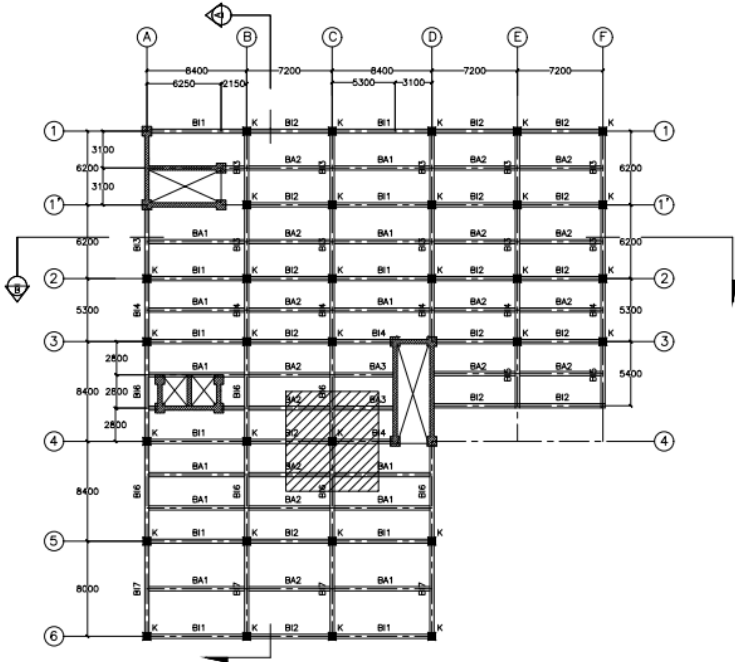
4.2.2. Perencanaan Dimensi Kolom

Kolom yang direncanakan harus mampu memikul beban aksial terfaktor yang bekerja pada semua lantai. Pada Gambar 4.18 terlihat kolom yang akan direncanakan akan memiliki luasan pelat dengan bentang $7,8 \times 8,4$ m dari masing-masing seperempat luasan pelat yang menumpu.

Direncanakan kolom dengan data-data sebagai berikut:

- Tebal pelat = 15 cm

- Tinggi lantai 1-15 = 400 cm
- Tinggi lantai *basement* = 320 cm



Gambar 4.18 Luas Pembebanan Kolom

Pembebanan pada kolom didasarkan sesuai dengan ketentuan SNI 1727:2013 untuk beban hidup dan PPIUG 1983 untuk beban mati, yang diberikan pada setiap lantai perencanaan pembebanan. Pada perencanaan ini, direncanakan 4 jenis kolom, yaitu K1 untuk lantai 12 sampai 15, K2 untuk lantai 8 sampai 11, K3 untuk lantai 4 sampai 7, K4 untuk lantai 1 sampai lantai 3, dan K5 untuk lantai basement.

Menurut SNI 1727:2013 pasal 4.7, beban hidup diijinkan untuk direduksi dengan syarat komponen struktur memenuhi syarat berikut:

- $K_{LL}A_T \min = 37,16 \text{ m}^2$
- $A_T = 7,8 \times 8,4 = 65,52 \text{ m}^2$
- $K_{LL} = 4$
- $K_{LL}A_T = 262,08 \text{ m}^2 > K_{LL}A_T \min \text{ (OK)}$

Berikut adalah contoh perhitungan reduksi beban hidup pada pelat:

- Reduksi beban hidup pelat lantai atap:
 - $L_0 = 96 \text{ kg/m}^2$
 - $0,4L_0 = 38,4 \text{ kg/m}^2$
 - $R_1 = 0,6 \text{ (untuk } A_T \geq 55,74 \text{ m}^2)$
 - $R_2 = 1 \text{ (untuk atap datar)}$
 - $L_r = L_0 \times R_1 \times R_2$
 - $= 96 \times 0,6 \times 1$
 - $= 57,60 \text{ kg/m}^2 > 0,4L_0 \text{ (OK)}$
- Reduksi beban hidup pelat lantai sekolah:
 - $L_0 = 192 \text{ kg/m}^2$
 - $0,4L_0 = 76,8 \text{ kg/m}^2$
 - $L = L_0 + \left(0,25 + \frac{4,57}{\sqrt{K_{LL}A_T}}\right)$
 - $= 192 + \left(0,25 + \frac{4,57}{\sqrt{262,08}}\right)$
 - $= 102,2 \text{ kg/m}^2 > 0,4L_0 \text{ (OK)}$
- Reduksi beban hidup pelat lantai koridor lantai 1:
 - $L_0 = 479 \text{ kg/m}^2$
 - $0,4L_0 = 191,6 \text{ kg/m}^2$
 - $L = L_0 + \left(0,25 + \frac{4,57}{\sqrt{K_{LL}A_T}}\right)$
 - $= 479 + \left(0,25 + \frac{4,57}{\sqrt{262,08}}\right)$
 - $= 254,97 \text{ kg/m}^2 > 0,4L_0 \text{ (OK)}$

Pembebanan kolom yang ditinjau untuk perencanaan dimensi kolom dijelaskan pada Tabel 4.9.

Tabel 4.9 Rekapitulasi Pembebanan Kolom

Pelat Atap

Beban Mati	Berat Sendiri	b (m)	L (m)	t (m)	Berat (kg)
Pelat Atap (15 cm)	247	7.8	8.4		16183.44
Spesi (1 cm)	21	7.8	8.4		1375.92
Plafon	11	7.8	8.4		720.72
Penggantung	7	7.8	8.4		458.64
Ducting dan Plumbing	30	7.8	8.4		1965.60
BI 2	2400	0.6	3.6	0.9	4665.60
BI 3	2400	0.8	4.2	1.2	9676.80
BI 1	2400	0.6	4.2	0.9	5443.20
BI 1	2400	0.6	4.2	0.9	5443.20
BA 2	2400	0.4	1.8	0.65	1123.20
BA 3	2400	0.35	1.33	0.6	667.80
BA 2	2400	0.4	1.8	0.65	1123.20
BA 1	2400	0.4	2.1	0.65	1310.40
W_{D1} =					50157.72
Beban Hidup	Berat Sendiri	b (m)	L (m)	t (m)	Berat (kg)
Lantai atap	57.60	7.8	8.4		3773.95
Air Hujan	20	7.8	8.4		1310.40
W_{L1} =					5084.35
Pelat Lt. 2 - 15					
Beban Mati	Berat Sendiri	b (m)	L (m)	t (m)	Berat (kg)
Pelat Lantai (15 cm)	247	7.8	8.4		16183.44
Plafon	11	7.8	8.4		720.72
Penggantung	7	7.8	8.4		458.64
Ducting dan Plumbing	30	7.8	8.4		1965.60
Keramik	24	7.8	8.4		1572.48
Spesi (1 cm)	21	7.8	8.4		1375.92
Dinding Bata Ringan	100	19.8		4	7920.00
BI 2	2400	0.6	3.6	0.9	4665.60
BI 3	2400	0.8	4.2	1.2	9676.80
BI 1	2400	0.6	4.2	0.9	5443.20
BI 1	2400	0.6	4.2	0.9	5443.20
BA 2	2400	0.4	1.8	0.65	1123.20
BA 3	2400	0.35	1.33	0.6	667.80

BA 2	2400	0.4	1.8	0.65	1123.20
BA 1	2400	0.4	2.1	0.65	1310.40
W_{D2} =					59650.20
Beban Hidup	Berat Sendiri	b (m)	L (m)	t (m)	Berat (kg)
Lantai Sekolah	102.20	7.8	8.4		6696.15
W_{L2} =					6696.15
Pelat Lt. 1					
Beban Mati	Berat Sendiri	b (m)	L (m)	t (m)	Berat (kg)
Pelat Lantai (15 cm)	247	7.8	8.4		16183.44
Plafon	11	7.8	8.4		720.72
Penggantung	7	7.8	8.4		458.64
Ducting dan Plumbing	30	7.8	8.4		1965.60
Keramik	24	7.8	8.4		1572.48
Spesi (1 cm)	21	7.8	8.4		1375.92
Dinding Bata Ringan	100	19.8		4	7920.00
BI 2	2400	0.6	3.6	0.9	4665.60
BI 3	2400	0.8	4.2	1.2	9676.80
BI 1	2400	0.6	4.2	0.9	5443.20
BI 1	2400	0.6	4.2	0.9	5443.20
BA 2	2400	0.4	1.8	0.65	1123.20
BA 3	2400	0.35	1.33	0.6	667.80
BA 2	2400	0.4	1.8	0.65	1123.20
BA 1	2400	0.4	2.1	0.65	1310.40
W_{D3} =					59650.20
Beban Hidup	Berat Sendiri	b (m)	L (m)	t (m)	Berat (kg)
Koridor Lantai 1	254.97	7.8	8.4		16705.51
W_{L3} =					16705.51
Pelat Basement					
Beban Mati	Berat Sendiri	b (m)	L (m)	t (m)	Berat (kg)
Pelat Lantai (40 cm)	2400	7.8	8.4	0.4	62899.20
Spesi (1 cm)	21	7.8	8.4		1375.92
W_{D4} =					64275.12
Beban Hidup	Berat Sendiri	b (m)	L (m)	t (m)	Berat (kg)

Lantai Parkir	500.00	7.8	8.4		32760.00
$W_{L4} =$					32760.00

Berdasarkan pembebanan di atas, berikut adalah contoh perhitungan kolom K1 yang menahan pelat atap dan pelat lantai 12 sampai 15 dengan asumsi dimensi 95 x 95 cm ($A_{rencana} = 9025 \text{ cm}^2$)

- $W_{DL} = W_{D1} + 3W_{D2} + \text{Beban Sendiri}$
 $= 50157,72 + 3 \times 59650,20 + 4 \times 8664$
 $= 263764,32 \text{ kg}$
- $W_{LL} = W_{L1} + 3W_{L2}$
 $= 5084,35 + 3 \times 6696,15$
 $= 25172,81 \text{ kg}$
- $W = 1,2W_{DL} + 1,6W_{LL} = 356793,69 \text{ kg}$
- $f'c = 40 \text{ MPa}$
- $A = W / \phi f'c$
 $= 356793,69 / (0,5 \times 400)$
 $= 1783,97 \text{ cm}^2 < A_{rencana} = 9025 \text{ cm}^2 \text{ (OK)}$

Rekapitulasi perencanaan dimensi kolom disajikan pada Tabel 4.10.

Tabel 4.10 Rekapitulasi Dimensi Kolom

Tipe Kolom	Dimensi		Beban (kg)			Luas Penampang Kolom		
	h	b	W _{DL}	W _{LL}	W _{TOTAL}	A perlu	A pakai	Check
K1	95	95	263764.32	25172.81	356793.69	1783.97	9025	OK
K2	100	100	540765.12	51957.43	1088843.72	3660.25	10000	OK
K3	105	105	353992.80	78742.04	1639622.35	2753.89	11025	OK
K4	110	110	567791.40	98830.51	2479100.84	4197.39	12100	OK
K5	110	110	701009.52	148296.01	3557585.88	5392.43	12100	OK

4.2.3. Perencanaan Dimensi Dinding Geser

Perencanaan tebal dinding geser mengacu pada SNI 2847:2019 pasal 11.3.3.1 dimana tebal dinding minimum untuk tipe dinding tumpu adalah diambil yang terbesar dari 100 mm dan 1/25 nilai terkecil dari panjang dan tinggi tidak tertumpu

Dalam tugas akhir ini dinding geser direncanakan dengan ketebalan sebagai berikut:

- Panjang bentang dinding = 8,4 m
- Tinggi lantai 1 – 15 = 4 m (menentukan)
- $T_{\min 1}$ = $400 / 25 = 16$ cm
- $T_{\min 2}$ = 10 cm

Sehingga direncanakan dinding geser dengan ketebalan sebesar 35 cm, dimana ketebalan tersebut telah memenuhi syarat minimum ketebalan dinding geser.

4.3. Permodelan dan Analisa Struktur

4.3.1. Umum

Dalam perencanaan struktur gedung, perlu adanya perhitungan terkait pembebanan gravitasi dan pembebanan gempa. Hal ini bertujuan agar elemen-elemen struktur mampu memikul beban-beban yang telah diperhitungkan sebelumnya sehingga dapat diperoleh struktur gedung yang kokoh. Pembebanan gravitasi mengacu pada SNI 1727:2013, PPIUG 1983 (Beban Mati Tambahan), dan pembebanan gempa yang mengacu pada SNI 1726:2019.

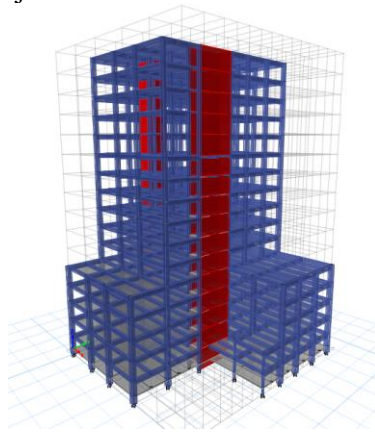
4.3.2. Permodelan Struktur

Permodelan Struktur Gedung Fakultas Ekonomi dan Bisnis Universitas Muhammadiyah Prof. Dr. Hamka dengan tinggi total 60 meter yang terdiri dari 15 lantai, 1 lantai atap, dan 1 lantai *basement* ini menggunakan program bantu ETABS 2016 seperti pada Gambar 4.19. Permodelan struktur ini berguna dalam menganalisis beban gempa yang terjadi pada struktur. Pada permodelan struktur, balok dan kolom struktur direncanakan sebagai *frame*, pelat sebagai *shell*, dan dinding geser sebagai *pier*.

Berdasarkan SNI 2847:2019 pasal 6.6.3.1.1 momen inersia dan luas penampang yang diizinkan untuk analisis

elastis pada level beban terfaktor, dengan komponen struktur tekan untuk kolom diambil sebesar 0,7 I_g dan dinding retak 0,35 I_g . Sedangkan untuk komponen struktur lentur, digunakan balok sebesar 0,35 I_g dan pelat sebesar 0,25 I_g .

Setelah dilakukan permodelan struktur dan dilakukan input pembebanan, maka selanjutnya permodelan dapat dilakukan proses *running*. Pengambilan *output* gaya dalam untuk masing-masing elemen struktur diperoleh dari *beam forces*, *column forces*, dan *pier forces* untuk dilakukan analisis kontrol lebih lanjut.



Gambar 4.19 Permodelan Struktur Menggunakan Etabs 2016

4.3.3. Pembebanan Gravitasi

Pembebanan gravitasi berupa beban mati dan beban hidup yang bekerja pada gedung. Berikut merupakan beban mati dan beban hidup yang digunakan dalam perhitungan pembebanan:

Beban Mati Tambahan dan Berat Sendiri:

- Berat sendiri beton bertulang : 2400 kg/m³
- Berat *Hollow Core Slab* : 247 kg/m²
- Spesi atau finishing (1 cm) : 21 kg/m²

- Keramik : 24 kg/m²
- Dinding bata ringan : 100 kg/m²
- Plafon : 11 kg/m²
- Penggantung Plafon : 7 kg/m²
- Ducting dan Plumbing : 30 kg/m²

Beban Hidup:

- Beban Hujan : 20 kg/m²
- Lantai Atap : 96 kg/m²
- Lantai Sekolah : 192 kg/m²
- Lantai Koridor : 479 kg/m²

Rekapitulasi pembebanan gravitasi yang bekerja pada struktur disajikan pada Tabel 4.11.

Tabel 4.11 Rekapitulasi Pembebanan Gravitasi

Keterangan	n Lantai	W _D	W _L
		kg	kg
Atap	1	816,312.00	96,048.00
Lt. 6 - 15	10	9,207,980.75	1,491,693.60
Lt. 3 - 5	3	4,305,939.83	704,910.96
Lt. 2	1	1,494,439.68	242,435.28
Lt. 1	1	1,524,362.88	623,449.04
Basement	1	1,315,094.27	670,282.50
Kolom		4,612,492.80	
<i>Shear wall</i>		2,495,136.00	

Berdasarkan hasil rekapitulasi tersebut diperoleh pembebanan gravitasi dengan kombinasi 1D + 1L sebesar 29.600.577,57 kg.

Pembebanan yang dimasukkan ke dalam program bantu ETABS 2016 harus mendekati perhitungan pembebanan total

yang telah dihitung manual dengan nilai toleransi sebesar 5%. Output pembebanan gravitasi yang telah diperoleh dari program bantu ETABS 2016 dapat dilihat pada Gambar 4.20.

Load Case/Combo	FX kN	FY kN	FZ kN
1D + 1L	0	0	281474,2994

Gambar 4.20 Hasil *Output* Pembebanan ETABS 2016

Perhitungan manual diperoleh sebesar 29.600.577,57 kg. Sedangkan *output* yang diperoleh dari ETABS 2016 sebesar sebesar 281.474,29 kN atau setara dengan 28.625.936,25 kg. Sehingga terdapat selisih beban sebesar 974.641,32 kg atau sebesar **3,40%**. Selisih tersebut kurang dari batas toleransi selisih sebesar 5%. Sehingga pembebanan gravitasi pada ETABS 2016 dapat digunakan dalam perhitungan beban gempa.

4.3.4. Pembebanan Gempa Dinamis

Pembebanan gempa yang digunakan pada tugas akhir ini mengacu pada SNI 1726:2019.

4.3.4.1. Faktor Keutamaan Gempa

Faktor keutamaan gempa ditentukan dari jenis pemanfaatan gedung sesuai dengan SNI 1726:2019 Tabel 4. Untuk gedung fasilitas pendidikan termasuk kategori IV dengan faktor keutamaan gempa (I_e) sebesar 1,5.

4.3.4.2. Kelas Situs

Penentuan kelas situs berdasarkan SNI 1726:2019 Tabel 5, klasifikasi jenis tanah yang menggunakan persamaan sebagai berikut:

$$N \text{ rerata} = \frac{\sum_{i=1}^n di}{\sum_{i=1}^n \frac{di}{Ni}}$$

dengan:

N_i = nilai NSPT pada lapis ke- i tanpa koreksi

d_i = tebal lapis ke- i

Hasil perhitungan N rerata pada tanah disajikan pada Tabel 4.12.

Tabel 4.12 Hasil Perhitungan N Rerata

No.	d_i	N_i	d_i/N_i
1	2	13	0.15
2	2	8	0.25
3	2	14	0.14
4	2	8	0.25
5	2	7	0.29
6	2	8	0.25
7	2	9	0.22
8	2	8	0.25
9	2	9	0.22
10	2	8	0.25
11	2	10	0.20
12	2	49	0.04
13	2	61	0.03
14	2	63	0.03
15	2	69	0.03
Total	30		2.61

N rerata = $\frac{30}{2,61} = 11,49 < 15$, tanah lunak (SE)

4.3.4.3. Parameter Respons Spektral

Data percepatan respons spektral didapatkan dari *website* <http://petagempa.pusjatan.pu.go.id/>. Untuk lokasi Jakarta Timur dengan kelas situs SE didapatkan data sebagai berikut:

PGA	: 0,302
S _s	: 0,601
S ₁	: 0,243
S _{DS}	: 0,900
S _{D1}	: 0,735
T ₀	: 0,163
T _s	: 0,816

4.3.4.4. Kategori Desain Seismik

Penentuan kategori desain seismik mengacu pada SNI 1726:2019 Tabel 8 dan Tabel 9. Untuk nilai $S_{DS} \geq 0,5$, $S_{D1} \geq 0,2$ dan kategori resiko bangunan IV, maka dapat diperoleh kategori desain seismik D. Kategori desain seismik tersebut akan digunakan dalam menentukan batasan sistem dan tinggi struktur, untuk sistem penahan gaya seismik tipe sistem ganda dengan rangka pemikul momen khusus dengan dinding geser bertulang khusus.

4.3.4.5. Respons Spektrum Desain

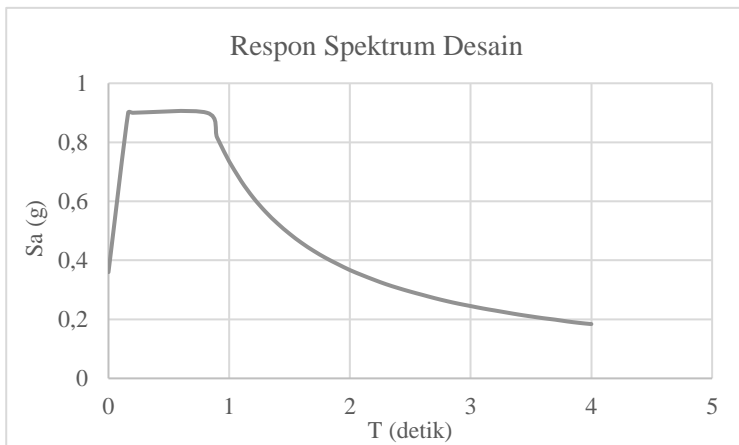
Data respon spektrum desain juga didapatkan dari *website* <http://petagempa.pusjatan.pu.go.id/>. Untuk lokasi Jakarta Timur dengan kelas situs SE didapatkan data seperti pada Tabel 4.13.

Tabel 4.13 Respon Spektrum Desain

Variabel	T (detik)	Sa (g)	Variabel	T (detik)	Sa (g)
As	0	0.36	Ts+1.5	2.3	0.319
T0	0.163	0.9	Ts+1.6	2.4	0.306
SDS	0.2	0.9	Ts+1.7	2.5	0.294
Ts	0.816	0.9	Ts+1.8	2.6	0.283
Ts+0.1	0.9	0.816	Ts+1.9	2.7	0.272
Ts+0.2	1	0.735	Ts+2	2.8	0.262

SD1	1	0.735	Ts+2.1	2.9	0.253
Ts+0.3	1.1	0.668	Ts+2.2	3	0.245
Ts+0.4	1.2	0.612	Ts+2.3	3.1	0.237
Ts+0.5	1.3	0.565	Ts+2.4	3.2	0.23
Ts+0.6	1.4	0.525	Ts+2.5	3.3	0.223
Ts+0.7	1.5	0.49	Ts+2.6	3.4	0.216
Ts+0.8	1.6	0.459	Ts+2.7	3.5	0.21
Ts+0.9	1.7	0.432	Ts+2.8	3.6	0.204
Ts+1	1.8	0.408	Ts+2.9	3.7	0.199
Ts+1.1	1.9	0.387	Ts+3	3.8	0.193
Ts+1.2	2	0.367	Ts+3.1	3.9	0.188
Ts+1.3	2.1	0.35	Ts+3.2	4	0.184
Ts+1.4	2.2	0.334			

Berdasarkan data tersebut maka, didapatkan grafik respon spektrum seperti pada Gambar 4.21.



Gambar 4.21 Grafik Respon Spektrum Desain

4.3.5. Kontrol Waktu Getar Alami Fundamental

Waktu getar atau periode alami fundamental struktur merupakan waktu yang dibutuhkan struktur untuk menempuh satu siklus gerakan yang nilainya dipengaruhi oleh fungsi massa dan kekakuan. Nilai perioda desain akan digunakan untuk mendapatkan beban gempa rencana. Penentuan periode didasarkan pada peraturan SNI 1726:2019 pasal 7.8.2.1 dimana untuk sistem struktur dengan tipe sistem ganda merupakan kategori sistem struktur lainnya pada Tabel 18, maka diperoleh periode fundamental pendekatan sebagai berikut:

$$\begin{aligned} T_a &= C_t \times h_n^x \\ &= 0,0488 \times h_n^{0,75} \end{aligned}$$

dengan ketinggian struktur 60 meter, maka diperoleh:

$$\begin{aligned} T_a &= 0,0488 \times 60^{0,75} \\ &= 1,052 \text{ s} \end{aligned}$$

Setelah dilakukan perhitungan periode fundamental pendekatan, selanjutnya dilakukan perhitungan waktu getar alami fundamental dengan nilai C_u diperoleh berdasarkan SNI 1726:2019 Tabel 17. Untuk $S_{D1} \geq 0,4$ maka nilai C_u diperoleh sebesar 1,4. Maka, waktu getar alami fundamental untuk struktur didapatkan sebesar:

$$\begin{aligned} T &= C_u \times T_a \\ &= 1,4 \times 1,052 \\ &= 1,473 \end{aligned}$$

Dengan menggunakan ETABS 2016, didapatkan nilai periode berdasarkan *mode* untuk masing-masing arah yang disajikan pada Tabel 4.14.

Tabel 4.14 Periode Fundamental Struktur

Case	Mode	Period
Modal	1	1.447
Modal	2	1.262
Modal	3	1.058

Modal	4	0.434
Modal	5	0.375
Modal	6	0.328
Modal	7	0.228
Modal	8	0.188
Modal	9	0.172
Modal	10	0.144
Modal	11	0.097
Modal	12	0.096

$$T_x = 1,262 \text{ (mode 2)}$$

$$T_y = 1,477 \text{ (mode 1)}$$

Karena nilai periode T_x dan T_y kurang dari nilai batas atas periode, maka periode struktur menjadi seperti berikut:

$$T_x = 1,262$$

$$T_y = 1,477$$

4.3.6. Kontrol Gaya Geser Dasar (*Base Shear*)

Pada kontrol gaya geser dasar atau *base shear* perlu diketahui terlebih dahulu nilai koefisien respons seismik atau C_s , dimana nilai C_s dapat dihitung sebagai berikut:

$$\begin{aligned} C_s &= \frac{S_{DS} \times I_e}{R} \\ &= \frac{0,9 \times 1,5}{8} \\ &= 0,193 \end{aligned}$$

$$\begin{aligned} C_{sx} \max &= \frac{S_{DS} \times I_e}{T_x \times R} \\ &= \frac{0,9 \times 1,5}{1,262 \times 8} \\ &= 0,153 \end{aligned}$$

$$\begin{aligned} C_{sx} \min_1 &= 0,044 \times S_{DS} \times I_e \\ &= 0,044 \times 0,9 \times 1,5 \\ &= 0,059 \end{aligned}$$

$$\begin{aligned} C_{sy} \max &= \frac{S_{DS} \times I_e}{T_y \times R} \\ &= \frac{0,9 \times 1,5}{1,447 \times 8} \\ &= 0,133 \end{aligned}$$

$$\begin{aligned} C_{sy} \min_1 &= 0,044 \times S_{DS} \times I_e \\ &= 0,044 \times 0,9 \times 1,5 \end{aligned}$$

$$\begin{aligned}
 C_{sx} \min_2 &= \frac{S_{D1} \times I_e}{T_x \times R} & &= 0,059 \\
 &= \frac{0,9 \times 1,5}{1,262 \times 8} \\
 &= 0,125 \\
 C_{sx} \min_3 &= 0,025 \\
 C_{sy} \min_2 &= \frac{S_{D1} \times I_e}{T_y \times R} \\
 &= \frac{0,9 \times 1,5}{1,447 \times 8} \\
 &= 0,109 \\
 C_{sy} \min_3 &= 0,025
 \end{aligned}$$

Dikarenakan nilai C_s lebih besar daripada C_{sx} max dan C_{sy} max, maka nilai C_{sx} dan C_{sy} yang digunakan adalah batas maksimalnya yaitu C_{sx} sebesar 0,153 dan C_{sy} sebesar 0,133. Kemudian perlu diketahui pula nilai berat seismik bangunan dengan kombinasi beban mati dan beban hidup dengan reduksi 0,3 menggunakan program bantu ETABS 2016 dengan hasil perhitungan yang disajikan pada Tabel 4.15.

Tabel 4.15 Berat Efektif Struktur

Story	Ux (kg)	Uy (kg)
Roof	984987.76	984987.76
Story15	1298648.37	1298648.37
Story14	1298648.37	1298648.37
Story13	1298648.37	1298648.37
Story12	1305027.72	1305027.72
Story11	1314398.53	1314398.53
Story10	1314398.53	1314398.53
Story9	1314398.53	1314398.53
Story8	1321258.43	1321258.43
Story7	1331109.79	1331109.79
Story6	1331109.79	1331109.79
Story5	1901079.18	1901079.18
Story4	1976361.56	1976361.56
Story3	1992892.61	1992892.61

Story2	2051998.32	2051998.32
Story1	2139546.98	2139546.98
Total	24174512.84	24174512.84

Berdasarkan tabel di atas, maka perhitungan *base shear* adalah sebagai berikut:

$$\begin{aligned} V_x &= C_{sx} \times W \\ &= 0,153 \times (24174512,84 \times 0,00981) \\ &= 36230,162 \text{ kN} \end{aligned}$$

$$\begin{aligned} V_y &= C_{sy} \times W \\ &= 0,133 \times (24174512,84 \times 0,00981) \\ &= 31598,110 \text{ kN} \end{aligned}$$

Kedua nilai V_x dan V_y tersebut perlu dibandingkan dengan nilai gaya geser ragam atau V_t yang didapatkan menggunakan program bantu ETABS 2016 yang tersaji pada Tabel 4.16.

Tabel 4.16 Gaya Geser Dinamik

Kombinasi	Fx	Fy
Ex	18832.147	6825.477
Ey	6717.295	19262.702

Berdasarkan nilai gaya geser ragam dinamik di atas, selanjutnya dibandingkan dengan nilai gaya geser hitung statis. Apabila gaya geser ragam dinamik di bawah 100%, maka perlu dilakukan penyesuaian pada permodelan gempa ETABS dengan mengalikan faktor skala pada gaya seismiknya. Analisa perbandingan antara gaya geser statis dan dinamis disajikan pada Tabel 4.17.

Tabel 4.17 Rekapitulasi Gaya Geser Statik (V) dan Dinamik (Vi)

	X	Y
--	---	---

W (kN)	237,079.447	237,079.447
Cs	0.153	0.133
V (kN)	36,230.162	31,598.110
Vi (kN)	18,832.147	19,262.702
Vi/V	52%	61%
Cek	NOT OK	NOT OK

Karena V_i/V kurang dari 100% maka perlu dilakukan perhitungan faktor skala untuk koreksi gaya seismik pada ETABS.

$$\begin{aligned} \text{Scale Factor X} &= \frac{36230,162}{18832,147} \\ &= 1,924 \end{aligned}$$

$$\begin{aligned} \text{Scale Factor Y} &= \frac{31598,110}{19262,702} \\ &= 1,640 \end{aligned}$$

Nilai *scale factor* di atas kemudian diinput pada *scale factor* untuk *Respon Spectra* dan *Load Case Response* pada ETABS kemudian dilakukan *running* kembali sehingga didapatkan gaya geser dinamik yang baru seperti pada Tabel 4.18.

Tabel 4.18 Gaya Geser Dinamik Baru

Kombinasi	F _x	F _y
Ex	36213.449	11781.109
Ey	12391.759	31617.236

Selanjutnya seperti langkah yang sebelumnya, dianalisa kembali perbandingan nilai antara gaya geser dinamik dan gaya geser statik dengan hasil yang disajikan pada Tabel 4.19.

Tabel 4.19 Rekapitulasi Gaya Geser Statik (V) dan Dinamik (Vi) dengan Koreksi *Scale Factor*

	X	Y

W (kN)	237,079.447	237,079.447
Cs	0.153	0.133
V (kN)	36,230.162	31,598.110
Vi (kN)	36,243.449	31,617.236
Vi/V	100%	100%
Cek	OK	OK

Berdasarkan tabel di atas, disimpulkan bahwa perbandingan antara gaya geser statik dan gaya geser dinamik sudah memenuhi 100% sehingga perhitungan gaya gempa desain dapat digunakan.

4.3.7. Kontrol Partisipasi Massa

Sesuai dengan SNI 1726:2019 pasal 7.9.1, perhitungan respons dinamik struktur harus didasarkan pada partisipasi massa paling kecil sebesar 90%. Hasil partisipasi massa pada struktur diperoleh menggunakan program bantu ETABS 2016 yang disajikan pada Tabel 4.20.

Tabel 4.20 Modal Partisipasi Massa Ragam

Case	Mode	Period	Sum UX	Sum UY
Modal	1	1.447	0.5791	0.0016
Modal	2	1.262	0.5914	0.4286
Modal	3	1.058	0.6015	0.6088
Modal	4	0.434	0.7398	0.6094
Modal	5	0.375	0.7774	0.6799
Modal	6	0.328	0.7914	0.7931
Modal	7	0.228	0.833	0.7953
Modal	8	0.188	0.8551	0.8245
Modal	9	0.172	0.8617	0.8632
Modal	10	0.144	0.884	0.8658

Modal	11	0.097	0.9475	0.8677
Modal	12	0.096	0.9475	0.9437

Berdasarkan tabel di atas, diketahui bahwa penjumlahan respon keduabelas ragam menghasilkan partisipasi massa ragam sebesar lebih dari 90% sehingga struktur telah memenuhi persyaratan partisipasi massa.

4.3.8. Kontrol Simpangan (*Drift*)

Gaya gempa desain yang telah direncanakan sebelumnya, akan mempengaruhi kinerja batas layan struktur gedung yang ditentukan oleh simpangan antar lantai. Hal tersebut perlu dipertimbangkan untuk menjaga kenyamanan pengguna gedung, membatasi peretakan beton yang berlebih, dan mencegah kerusakan non struktural.

Nilai simpangan diperoleh menggunakan program bantu ETABS yang selanjutnya akan dikontrol simpangan ijinnya sesuai dengan SNI 1726:2019 pasal 7.12.1.

Untuk penentuan *story drift* digunakan persamaan sebagai berikut:

$$\delta_x = \frac{C_d \times S_{XE}}{I}$$

dimana:

δ_x = defleksi pada lantai ke-x

C_d = faktor pembesaran defleksi = 5,5

I = faktor keutamaan gedung = 1,5

Untuk perhitungan *story drift* ijin, perhitungan mengacu pada SNI 1726:2019 Tabel 20. Untuk struktur dengan sistem ganda yang termasuk semua struktur lainnya pada tabel tersebut dengan kategori resiko bangunan IV, digunakan batas simpangan ijin dengan persamaan sebagai berikut:

$$\Delta \text{ ijin} = 0,01 \times h_{sx} = 0,01 \times 4,0 \text{ m} = 0,40 \text{ m}$$

Rekapitulasi perhitungan simpangan tiap lantai dapat dilihat pada Tabel 4.21 dan Tabel 4.22

Tabel 4.21 Tabel Simpangan dengan Gempa Arah X

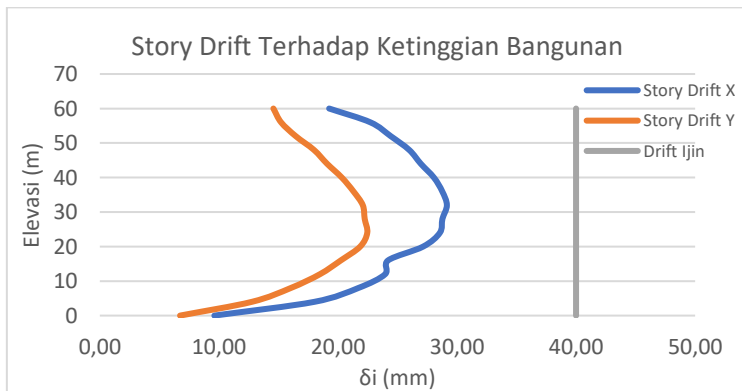
Lantai	h (m)	Δ_{izin} (mm)	Drift (mm)	δ_i (mm)	Cek
Roof	4	40	5.253	19.26	OK
Story15	4	40	6.198	22.73	OK
Story14	4	40	6.663	24.43	OK
Story13	4	40	7.087	25.99	OK
Story12	4	40	7.352	26.96	OK
Story11	4	40	7.652	28.06	OK
Story10	4	40	7.843	28.76	OK
Story9	4	40	7.95	29.15	OK
Story8	4	40	7.847	28.77	OK
Story7	4	40	7.789	28.56	OK
Story6	4	40	7.406	27.16	OK
Story5	4	40	6.603	24.21	OK
Story4	4	40	6.535	23.96	OK
Story3	4	40	5.922	21.71	OK
Story2	4	40	4.918	18.03	OK
Story1	4	40	2.623	9.62	OK

Tabel 4.22 Tabel Simpangan dengan Gempa Arah Y

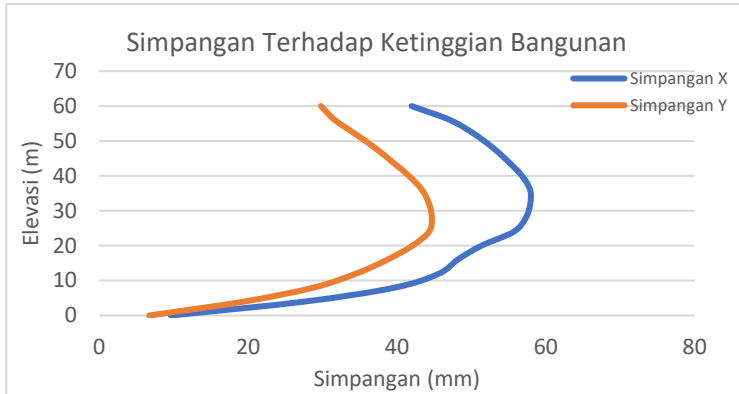
Lantai	h (m)	Δ_{izin} (mm)	Drift (mm)	δ_i (mm)	Cek
Roof	4	40	3.976	14.58	OK
Story15	4	40	4.152	15.22	OK
Story14	4	40	4.487	16.45	OK
Story13	4	40	4.906	17.99	OK
Story12	4	40	5.205	19.09	OK

Story11	4	40	5.543	20.32	OK
Story10	4	40	5.809	21.30	OK
Story9	4	40	6.023	22.08	OK
Story8	4	40	6.067	22.25	OK
Story7	4	40	6.126	22.46	OK
Story6	4	40	5.964	21.87	OK
Story5	4	40	5.521	20.24	OK
Story4	4	40	5.042	18.49	OK
Story3	4	40	4.375	16.04	OK
Story2	4	40	3.485	12.78	OK
Story1	4	40	1.837	6.74	OK

Berdasarkan kedua tabel di atas, dapat disimpulkan bahwa struktur sudah memenuhi syarat simpangan ijin. Simpangan antar lantai terhadap ketinggian bangunan akan diilustrasikan pada Gambar 4.22 dan Gambar 4.23



Gambar 4.22 Grafik *Story Drift* Arah X dan Y



Gambar 4.23 Grafik Simpangan Arah X dan Y

4.3.9. Kontrol *Dual System*

Persyaratan sistem ganda mengacu pada SNI 1726:2019 pasal 7.2.5.1. Sistem ganda dengan rangka pemikul momen harus memikul paling sedikit 25% dari gaya gempa desain. Tahanan gaya gempa total harus disediakan oleh rangka pemikul momen dan dinding geser. *Joint reaction* yang diperoleh menggunakan program bantu ETABS 2016 disajikan pada Tabe; 4.23.

Tabel 4.23 Reaksi Perletakan untuk Gempa X dan Y

Elemen	Gempa Arah X		Gempa Arah Y	
	Fx (kgf)	%	Fy (kgf)	%
SRPM	12529.08	33.43%	9987.47	27.93%
<i>Shear Wall</i>	24954.08	66.57%	25774.64	72.07%
Total	37483.15	100.00%	35762.11	100.00%

Berdasarkan perolehan hasil tersebut, dapat disimpulkan bahwa presentase total untuk SRPM memiliki nilai sebesar lebih dari 25%, sehingga layout dan konfigurasi struktur gedung telah memenuhi persyaratan *dual system*.

4.3.10. Kontrol Pengaruh P-Delta

Untuk menghitung ada atau tidaknya pengaruh P-Delta, perlu diketahui nilai koefisien stabilitas (θ). Jika:

- $0,1 > \theta \rightarrow$ tidak ada pengaruh P-Delta
- $0,1 < \theta < \theta_{\max} \rightarrow$ ada pengaruh P-Delta
- $\theta \geq \theta_{\max} \rightarrow$ struktur tidak stabil dan perlu desain ulang

Berikut adalah contoh perhitungan pengaruh P-Delta pada lantai atap:

1. Arah X

$$P_x = 8414,9 \text{ kN}$$

$$\Delta_x = 19,26 \text{ mm}$$

$$I_e = 1,5$$

$$V_x = 3915,9 \text{ kN}$$

$$h_{sx} = 4000 \text{ mm}$$

$$C_d = 5,5$$

$$\theta_{\max} = \frac{0,5}{\beta C_d}$$

$$= 0,09$$

$$\theta = \frac{P_x \Delta I_e}{V_x h_{sx} C_d}$$

$$= 0,0028$$

Karena $\theta < 0,1$ maka tidak ada pengaruh P-Delta

2. Arah Y

$$P_y = 8414,9 \text{ kN}$$

$$\Delta_y = 14,58 \text{ mm}$$

$$I_e = 1,5$$

$$V_y = 3400,2 \text{ kN}$$

$$h_{sx} = 4000 \text{ mm}$$

$$C_d = 5,5$$

$$\theta_{\max} = \frac{0,5}{\beta C_d}$$

$$= 0,09$$

$$\theta = \frac{P_x \Delta I_e}{V_x h_{sx} C_d}$$

$$= 0,0025$$

Karena $\theta < 0,1$ maka tidak ada pengaruh P-Delta

Rekapitulasi perhitungan pengaruh P-Delta untuk setiap lantai akan disajikan dalam Tabel 4.24 dan Tabel 4.25.

Tabel 4.24 Pengaruh P-Delta pada Arah X

Lantai	Arah X							
	Px kN	Δ mm	Ie	Vx kN	hsx mm	Cd	θ	Pengaruh P-Delta
Atap	8414.9	19.26	1.5	3915.9	4000	5.5	0.0028	Tidak Ada
15	22182.1	22.73	1.5	8341.5	4000	5.5	0.0041	Tidak Ada
14	35949.4	24.43	1.5	12022.0	4000	5.5	0.0050	Tidak Ada
13	49716.6	25.99	1.5	15060.9	4000	5.5	0.0058	Tidak Ada
12	63454.5	26.96	1.5	17616.1	4000	5.5	0.0066	Tidak Ada
11	77376.2	28.06	1.5	19832.6	4000	5.5	0.0075	Tidak Ada
10	91297.9	28.76	1.5	21795.3	4000	5.5	0.0082	Tidak Ada
9	105219.6	29.15	1.5	23574.7	4000	5.5	0.0089	Tidak Ada
8	119112.0	28.77	1.5	25220.4	4000	5.5	0.0093	Tidak Ada
7	133197.6	28.56	1.5	26751.8	4000	5.5	0.0097	Tidak Ada
6	147283.1	27.16	1.5	28148.0	4000	5.5	0.0097	Tidak Ada
5	166935.3	24.21	1.5	30034.9	4000	5.5	0.0092	Tidak Ada
4	187787.2	23.96	1.5	31878.7	4000	5.5	0.0096	Tidak Ada
3	208963.2	21.71	1.5	33434.4	4000	5.5	0.0093	Tidak Ada
2	230762.7	18.03	1.5	34548.0	4000	5.5	0.0082	Tidak Ada
1	256657.7	9.62	1.5	35349.6	4000	5.5	0.0048	Tidak Ada

Tabel 4.25 Pengaruh P-Delta pada Arah Y

Arah Y								
Lantai	Px	Δ	Ie	Vy	hsx	Cd	θ	Pengaruh P-Delta
	kN	mm		kN	mm			
Atap	8414.9	14.58	1.5	3400.2	4000	5.5	0.0025	Tidak Ada
15	22182.1	15.22	1.5	7229.1	4000	5.5	0.0032	Tidak Ada
14	35949.4	16.45	1.5	10393.1	4000	5.5	0.0039	Tidak Ada
13	49716.6	17.99	1.5	12993.1	4000	5.5	0.0047	Tidak Ada
12	63454.5	19.09	1.5	15189.6	4000	5.5	0.0054	Tidak Ada
11	77376.2	20.32	1.5	17137.6	4000	5.5	0.0063	Tidak Ada
10	91297.9	21.30	1.5	18912.6	4000	5.5	0.0070	Tidak Ada
9	105219.6	22.08	1.5	20544.5	4000	5.5	0.0077	Tidak Ada
8	119112.0	22.25	1.5	22035.9	4000	5.5	0.0082	Tidak Ada
7	133197.6	22.46	1.5	23391.1	4000	5.5	0.0087	Tidak Ada
6	147283.1	21.87	1.5	24607.1	4000	5.5	0.0089	Tidak Ada
5	166935.3	20.24	1.5	26177.8	4000	5.5	0.0088	Tidak Ada
4	187787.2	18.49	1.5	27726.1	4000	5.5	0.0085	Tidak Ada
3	208963.2	16.04	1.5	29015.3	4000	5.5	0.0079	Tidak Ada
2	230762.7	12.78	1.5	29967.9	4000	5.5	0.0067	Tidak Ada
1	256657.7	6.74	1.5	30764.4	4000	5.5	0.0038	Tidak Ada

4.3.11. Hasil Analisa Struktur

Analisa dan permodelan struktur yang telah dilakukan menghasilkan gaya-gaya dalam yang selanjutnya akan digunakan pada perencanaan struktur primer seperti balok, kolom, dan dinding geser. Hasil analisa struktur ini didapatkan menggunakan program bantu ETABS 2016. Gaya-gaya dalam tersebut akan disajikan pada Tabel 4.26, Tabel 4.27, dan Tabel 4.28 berikut.

Tabel 4.26 Hasil Gaya Dalam Balok

Tipe Balok	Tumpuan		Lapangan		Vu (+) (kN)	Vu (-) (kN)	Tu (+) (kN-m)	Tu (-) (kN-m)
	Mu (+) (kN-m)	Mu (-) (kN-m)	Mu (+) (kN-m)	Mu (-) (kN-m)				
BI 1	574.877	-785.041	180.993	-18.228	297.897	-296.319	147.077	-131.897
BI 2	764.335	-945.693	204.113	-72.854	383.344	-399.364	63.847	-82.465
BI 3	2250.245	-2822.353	676.994	-636.547	1059.532	-921.123	596.775	-723.621
BI 4	2213.223	-2794.329	436.629	-328.267	1237.944	-993.574	471.392	-412.856
BI 5	280.123	-629.456	360.437	-254.623	355.858	-204.019	467.278	-434.605
BI 6	1548.356	-1830.141	788.197	-891.424	1210.400	-1282.381	1045.640	-917.063
BI 7	1144.988	-1567.139	466.985	-133.084	482.985	-595.961	439.681	-435.805

Tabel 4.27 Hasil Gaya Dalam Kolom

K1	Lantai 15 - 12					
	P	Vux	Vuy	T	Muy	Mux
Kombinasi Beban	(kN)	(kN)	(kN)	(kN- m)	(kN-m)	(kN-m)
1D + 1L	1979.63	234.14	207.94	5.28	370.53	417.14
1,2D + 1,6L	2470.01	296.23	261.90	6.60	467.44	527.90
1,4D	2440.88	274.37	247.82	6.44	438.93	488.32
1,2D + 1L ± 1Ex	2751.93	1071.32	580.95	67.41	1127.99	2083.08
1,2D + 1L ± 1Ey	3003.10	573.70	895.95	95.22	1739.05	1068.81
0,9D ± 1Ex	2120.47	1002.37	541.50	66.08	1067.22	1947.85
0,9D ± 1Ey	2273.92	486.88	884.12	93.94	1719.77	922.98
K2	Lantai 8 - 11					
	P	Vux	Vuy	T	Muy	Mux
Kombinasi Beban	(kN)	(kN)	(kN)	(kN- m)	(kN-m)	(kN-m)
1D + 1L	4116.26	193.04	166.34	3.94	325.07	379.01
1,2D + 1,6L	5144.90	244.70	210.46	4.91	411.32	480.46
1,4D	5043.94	224.59	194.88	4.88	380.78	440.84
1,2D + 1L ± 1Ex	6067.09	1248.07	729.92	89.42	1458.90	2486.04
1,2D + 1L ± 1Ey	6393.69	609.25	1135.54	139.14	2247.59	1214.01
0,9D ± 1Ex	5201.16	1182.24	702.94	88.06	1399.44	2355.02
0,9D ± 1Ey	4879.66	543.42	1127.72	137.84	2230.18	1082.99
K3	Lantai 4 - 7					
	P	Vux	Vuy	T	Muy	Mux
Kombinasi Beban	(kN)	(kN)	(kN)	(kN- m)	(kN-m)	(kN-m)
1D + 1L	6418.02	156.45	246.31	4.60	370.38	306.02
1,2D + 1,6L	8027.27	198.66	311.78	5.75	469.09	388.64
1,4D	7845.44	180.78	288.14	5.64	432.31	353.46
1,2D + 1L ± 1Ex	11115.72	1309.95	814.84	109.82	1609.59	2595.34
1,2D + 1L ± 1Ey	9973.76	627.24	1252.94	175.30	2464.95	1237.33
0,9D ± 1Ex	9651.29	1248.97	787.10	108.15	1555.00	2476.13
0,9D ± 1Ey	8484.67	566.25	1245.26	173.63	2450.68	1118.12
K4	Lantai 1 - 3					

Kombinasi Beban	P	Vux	Vuy	T	Muy	Mux
	(kN)	(kN)	(kN)	(kN-m)	(kN-m)	(kN-m)
1D + 1L	4116.26	193.04	166.34	3.94	325.07	379.01
1,2D + 1,6L	5144.90	244.70	210.46	4.91	411.32	480.46
1,4D	5043.94	224.59	194.88	4.88	380.78	440.84
1,2D + 1L ± 1Ex	6067.09	1248.07	729.92	89.42	1458.90	2486.04
1,2D + 1L ± 1Ey	6393.69	609.25	1135.54	139.14	2247.59	1214.01
0,9D ± 1Ex	5201.16	1182.24	702.94	88.06	1399.44	2355.02
0,9D ± 1Ey	4879.66	543.42	1127.72	137.84	2230.18	1082.99
K5	Lantai Basement					
Kombinasi Beban	P	Vux	Vuy	T	Muy	Mux
	(kN)	(kN)	(kN)	(kN-m)	(kN-m)	(kN-m)
1D + 1L	10636.64	127.52	140.45	5.76	166.85	161.08
1,2D + 1,6L	13467.99	173.79	188.35	7.17	223.66	217.31
1,4D	12427.21	105.88	127.29	7.17	151.56	141.46
1,2D + 1L ± 1Ex	18339.66	614.33	372.92	58.92	925.92	1708.42
1,2D + 1L ± 1Ey	15087.31	314.10	478.90	76.80	1267.84	984.55
0,9D ± 1Ex	15902.84	599.28	376.21	58.25	917.50	1701.72
0,9D ± 1Ey	11995.67	283.06	467.18	74.62	1262.66	977.84

Tabel 4.28 Hasil Gaya Dalam Dinding Geser

SW 1						
Kombinasi Beban	P	Vux	Vuy	T	Muy	Mux
	(kN)	(kN)	(kN)	(kN-m)	(kN-m)	(kN-m)
1D + 1L	25267.7	-296.2	268.2	-638.6	-1042.8	2648.6
1,2D + 1,6L	24550.7	-293.2	278.5	-616.6	-1280.1	3164.1
1,4D	19856.3	-236.2	222.0	-499.4	-986.2	2450.5
1,2D + 1L ± 1Ex	2664.1	12090.5	5540.4	18664.6	40592.1	98332.1
1,2D + 1L ± 1Ey	49596.1	-12647.4	-5019.8	-19845.9	-42862.5	-92674.4
0,9D ± 1Ex	11811.8	6805.6	7177.9	17102.0	59926.7	47203.9
0,9D ± 1Ey	35120.2	-7362.5	-6657.3	-18283.3	-62197.1	-41546.1

SW 2						
Kombinasi Beban	P	Vux	Vuy	T	Muy	Mux
	(kN)	(kN)	(kN)	(kN-m)	(kN-m)	(kN-m)
1D + 1L	33742.3	-206.4	-171.1	-634.1	-443.6	-2244.2
1,2D + 1,6L	33535.1	-215.6	-182.6	-636.5	-521.4	-2419.0
1,4D	26984.8	-171.6	-144.7	-511.0	-405.1	-1912.6
1,2D + 1L ± 1Ex	16111.6	6860.6	4882.3	20519.9	45545.8	43002.4
1,2D + 1L ± 1Ey	47498.7	-7262.8	-5220.5	-21723.1	-46482.8	-47468.9
0,9D ± 1Ex	26521.7	13412.0	1443.9	6939.0	16368.5	106341.4
0,9D ± 1Ey	37088.6	-13814.3	-1782.2	-8142.2	-17305.5	-110807.8
SW 3						
Kombinasi Beban	P	Vux	Vuy	T	Muy	Mux
	(kN)	(kN)	(kN)	(kN-m)	(kN-m)	(kN-m)
1D + 1L	23402.8	-32.8	-54.4	4.0	82.6	789.3
1,2D + 1,6L	23040.0	-49.5	-63.0	-3.7	96.1	1136.8
1,4D	18579.1	-36.8	-49.1	-1.6	74.8	851.4
1,2D + 1L ± 1Ex	19040.6	9204.5	2496.9	15801.5	4837.3	72468.1
1,2D + 1L ± 1Ey	24804.1	-9287.4	-2610.6	-15803.6	-4664.1	-70539.7
0,9D ± 1Ex	15822.8	3114.3	4948.6	6123.8	11470.1	24305.0
0,9D ± 1Ey	28021.9	-3197.2	-5062.4	-6125.8	-11296.9	-22376.6

4.4. Perencanaan Struktur Primer

4.4.1. Umum

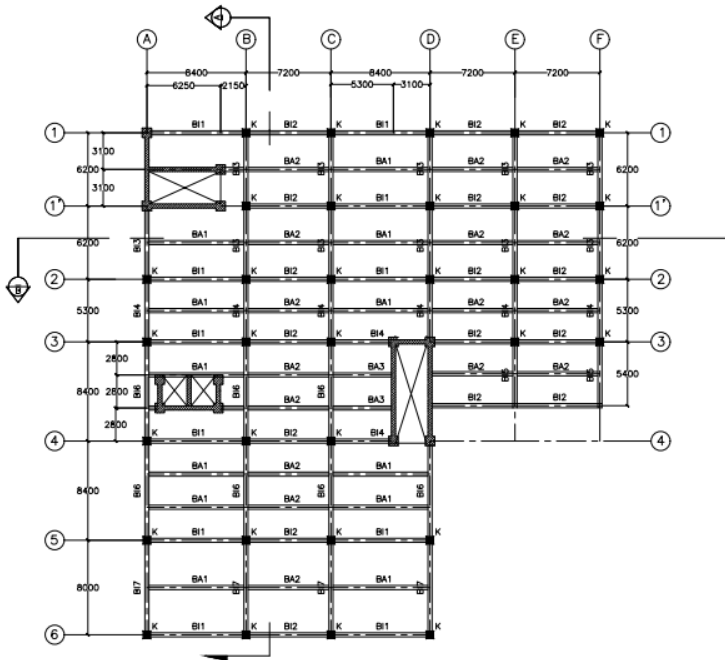
Struktur primer atau struktur utama merupakan struktur yang menahan seluruh kombinasi beban yang berasal dari beban gravitasi maupun beban lateral seperti beban gempa. Komponen struktur primer yang akan dibahas pada tugas akhir ini adalah balok induk, kolom, dan dinding geser. Berikut merupakan perhitungan dalam perencanaan kebutuhan tulangan untuk masing-masing komponen struktur primer tersebut.

4.4.2. Perencanaan Balok Induk

Pada tugas akhir ini akan direncanakan beberapa jenis dimensi balok induk dengan bentang yang berbeda-beda berdasarkan denah pada Gambar 4.24, di antaranya adalah:

- BI 1 dengan dimensi 60/90 dan bentang 8,4 meter
- BI 2 dengan dimensi 60/90 dan bentang 7,2 meter
- BI 3 dengan dimensi 80/120 dan bentang 6,2 meter
- BI 4 dengan dimensi 80/120 dan bentang 5,3 meter
- BI 5 dengan dimensi 80/120 dan bentang 5,4 meter
- BI 6 dengan dimensi 80/120 dan bentang 8,4 meter
- BI 7 dengan dimensi 80/120 dan bentang 8 meter

Sama dengan perencanaan penulangan balok anak, perencanaan balok induk juga ditinjau dalam 3 kondisi yaitu kondisi setelah komposit, sebelum komposit, dan saat pengangkatan. Pada contoh perhitungan berikut akan direncanakan balok induk 1 (BI 1).



Gambar 4.24 Denah Balok Induk

4.4.2.1. Data Perencanaan Balok Induk

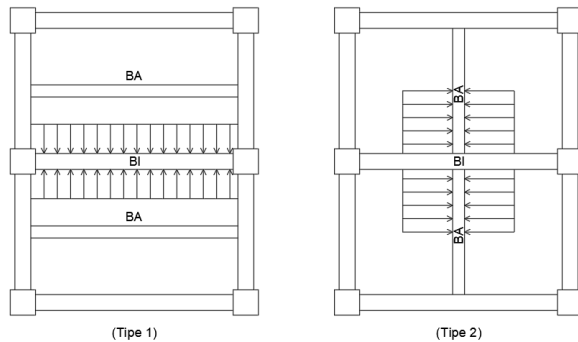
Balok Induk 1 yang akan direncanakan memiliki data perencanaan sebagai berikut:

- Dimensi Komposit : 60x90 cm
- Dimensi *Half Beam* : 60x75 cm
- *Overtopping* : 15 cm
- $F'c$ setelah komposit : 35 MPa
- $F'c$ sebelum komposit : 30 MPa
- $F'c$ saat pengangkatan : 25 MPa
- f_y : 420 MPa
- L : 8,4 m
- $L_{pracetak}$: 6,988 m

- Tulangan Longitudinal : 25 mm
- Tulangan Transversal : 13 mm
- *Clear Cover* : 50 mm

4.4.2.2. Pembebanan Balok Induk

Beban yang bekerja pada balok induk terdiri dari berat sendiri balok tersebut, beban merata dan berat sendiri pelat, serta berat sendiri balok anak yang menumpu pada balok induk. Pada tugas akhir ini, tidak semua balok induk menerima beban dari balok anak, seperti pada BI 1 dan BI 2. Tipe-tipe pendistribusian beban akan diilustrasikan pada Gambar 4.25.



Gambar 4.25 Tipe Pendistribusian Beban pada Balok Induk

- Sebelum Komposit
 - Beban Mati
 - Berat Sendiri Balok = $2400 \times 0,6 \times 0,75 = 1080 \text{ kg/m}$
 - Berat *Overtopping* = $2400 \times 0,6 \times 0,15 = 216 \text{ kg/m}$
 - Berat Pelat = $274 \times 4,2 = 1037,4 \text{ kg/m}$
 - $q_D = 2333,4 \text{ kg/m}$
 - Kombinasi Beban
 - $q_U = 1,4 \times 2333,4 = 3266,8 \text{ kg/m}$
- Saat Pengangkatan
 - Beban Mati

$$\text{Berat Sendiri Balok} = 2400 \times 0,6 \times 0,75 = 1080 \text{ kg/m}$$

- Kombinasi Beban

$$q_u = 1,4 \times 1080 = 1512 \text{ kg/m}$$

4.4.2.3. Perhitungan Tulangan Balok Induk

- Setelah Komposit

$$\beta_1 = 0,85 - 0,05 \frac{f'c - 28}{7} = 0,85 - 0,05 \frac{35 - 28}{7}$$

$$= 0,80$$

$$\rho_{\min 1} = 0,25 \frac{\sqrt{f'c}}{420}$$

$$= 0,25 \frac{\sqrt{35}}{420}$$

$$= 0,0035$$

$$\rho_{\min 2} = \frac{1,4}{f_y}$$

$$= \frac{1,4}{420}$$

$$= 0,0033$$

$$m = \frac{f_y}{0,85 f'c}$$

$$= \frac{420}{0,85 (35)}$$

$$= 14,12$$

$$d = h_{\text{balok}} - \text{clear cover} - D_{\text{senggang}} - 0,5D_{\text{tulangan}}$$

$$= 900 - 50 - 13 - 0,5(25)$$

$$= 824,5 \text{ mm}$$

$$d' = \text{clear cover} + D_{\text{senggang}} + 0,5D_{\text{tulangan}}$$

$$= 50 + 13 + 0,5(25)$$

$$= 75,5 \text{ mm}$$

$$M_{\text{tumpuan} -} = 78504,08 \text{ kgm (hasil ETABS)}$$

$$M_{\text{tumpuan} +} = 57487,69 \text{ kgm (hasil ETABS)}$$

$$M_{\text{lapangan} +} = 18099,28 \text{ kgm (hasil ETABS)}$$

$$M_{\text{lapangan} -} = 1822,75 \text{ kgm (hasil ETABS)}$$

$$V_u = 29789,6 \text{ kg (hasil ETABS)}$$

- Tulangan Negatif Tumpuan

$$\begin{aligned}
 \phi &= 0,90 \\
 Rn &= \frac{Mu}{\phi b d^2} \\
 &= \frac{78504,08 \times 10^4}{0,9 \times 600 \times 824,5^2} \\
 &= 2,14 \text{ N/mm}^2 \\
 \rho_{\text{perlu}} &= \frac{1}{m} \left(1 - \sqrt{1 - \frac{2mRn}{fy}} \right) \\
 &= \frac{1}{14,12} \left(1 - \sqrt{1 - \frac{2 \times 14,12 \times 2,14}{420}} \right) \\
 &= 0,0052 \\
 \rho_{\text{pakai}} &= 0,0052 > \rho_{\text{min}} \\
 A_{S\text{perlu}} &= \rho_{\text{pakai}} \times b \times d \\
 &= 0,0052 \times 600 \times 824,5 \\
 &= 2616,58 \text{ mm}^2 \\
 n_{\text{pakai}} &= \frac{A_{S\text{perlu}}}{A_{S\text{tulangan}}} \\
 &= \frac{2616,58}{0,25 \pi (25)^2} \\
 &= 6 \text{ buah} \\
 S_{\text{min 1}} &= D_{\text{tulangan}} \\
 &= 25 \text{ mm} \\
 S_{\text{min 2}} &= 25 \text{ mm} \\
 S_{\text{pakai}} &= \frac{b - n_{\text{pakai}} D_{\text{tulangan}} - 2 \text{ clear cover} - 2\phi_{\text{senggang}}}{n_{\text{pakai}} - 1} \\
 &= \frac{600 - 6(25) - 2(50) - 2(13)}{6 - 1} \\
 &= 65 \text{ mm} \\
 S_{\text{pakai}} &> S_{\text{min}} \text{ (OK)}
 \end{aligned}$$

∴ Maka, digunakan tulangan negatif tumpuan 6D25

- Tulangan Positif Tumpuan

$$\begin{aligned}
 \phi &= 0,90 \\
 Rn &= \frac{Mu}{\phi b d^2} \\
 &= \frac{57487,69 \times 10^4}{0,9 \times 600 \times 824,5^2}
 \end{aligned}$$

$$\begin{aligned}
 &= 1,57 \text{ N/mm}^2 \\
 \rho_{\text{perlu}} &= \frac{1}{m} \left(1 - \sqrt{1 - \frac{2mRn}{fy}} \right) \\
 &= \frac{1}{14,12} \left(1 - \sqrt{1 - \frac{2 \times 14,12 \times 1,57}{420}} \right) \\
 &= 0,0038 \\
 \rho_{\text{pakai}} &= 0,0038 > \rho_{\text{min}} \\
 A_{s\text{perlu}} &= \rho_{\text{pakai}} \times b \times d \\
 &= 0,0038 \times 600 \times 824,5 \\
 &= 1895,84 \text{ mm}^2 \\
 n_{\text{pakai}} &= \frac{A_{s\text{perlu}}}{A_{s\text{tulangan}}} \\
 &= \frac{1895,84}{0,25 \pi (25)^2} \\
 &= 4 \text{ buah} \\
 S_{\text{min 1}} &= D_{\text{tulangan}} \\
 &= 25 \text{ mm} \\
 S_{\text{min 2}} &= 25 \text{ mm} \\
 S_{\text{pakai}} &= \frac{b - n_{\text{pakai}} D_{\text{tulangan}} - 2 \text{ clear cover} - 2\phi_{\text{senggang}}}{n_{\text{pakai}} - 1} \\
 &= \frac{600 - 4(25) - 2(50) - 2(13)}{4 - 1} \\
 &= 125 \text{ mm} \\
 S_{\text{pakai}} &> S_{\text{min}} \text{ (OK)}
 \end{aligned}$$

∴ Maka, digunakan tulangan positif tumpuan 4D25

- Kontrol Tulangan Rangkap Tumpuan Negatif

$$\begin{aligned}
 \rho &= \frac{As}{bd} \\
 &= \frac{6 \times 490,87}{600 \times 824,5} \\
 &= 0,0059 \\
 \rho' &= \frac{As'}{bd} \\
 &= \frac{4 \times 490,87}{600 \times 824,5} \\
 &= 0,0039
 \end{aligned}$$

$$\begin{aligned}\rho - \rho' &= 0,0059 - 0,0039 \\ &= 0,0020\end{aligned}$$

$$\begin{aligned}\rho_{cy} &= \frac{0,85 f'_c d'}{d f_y} \beta_1 \left(\frac{600}{600 - f_y} \right) \\ &= \frac{0,85 \times 35 \times 75,5}{824,5 \times 420} 0,8 \left(\frac{600}{600 - 420} \right) \\ &= 0,017\end{aligned}$$

$\rho - \rho' \leq \rho_{cy} \rightarrow$ tulangan tekan belum leleh

$$f'_s = 600 \left(\frac{c - d'}{c} \right)$$

$$A_s f_y = 0,85 f'_c ab + A'_s (f'_s - 0,85 f'_c)$$

$$a = \frac{A_s f_y - A'_s (f'_s - 0,85 f'_c)}{0,85 f'_c b}$$

$$\beta_1 c = \frac{A_s f_y - A'_s (f'_s - 0,85 f'_c)}{0,85 f'_c b}$$

Kedua persamaan di atas diselesaikan dan diperoleh nilai:

$$c_1 = 83,14$$

$$c_2 = -74,92$$

$$c_{\text{pakai}} = 83,14$$

$$\begin{aligned}a &= \beta_1 c \\ &= 0,8 \times 83,14 \\ &= 66,51\end{aligned}$$

$$\begin{aligned}f'_s &= 600 \left(\frac{c - d'}{c} \right) \\ &= 600 \left(\frac{83,14 - 75,5}{83,14} \right) \\ &= 55,11\end{aligned}$$

$$\begin{aligned}M_n &= (A_s f_y - A'_s f'_s) \left(d - \frac{a}{2} \right) + A'_s f'_s (d - d') \\ &= (2945,24 \times 420 - 1963,49 \times 420) \left(824,5 - \frac{66,51}{2} \right) + \\ &\quad 1963,49 \times 420 (824,5 - 75,5) \\ &= 97420,021 \text{ kgm}\end{aligned}$$

$$\begin{aligned}\phi M_n &= 0,9 (97420,021) \\ &= 87678,02 \text{ kgm}\end{aligned}$$

$$\phi M_n \geq M_u = 78504,08 \text{ (OK)}$$

Kontrol Regangan:

$$\begin{aligned}\varepsilon_t &= 0,003 \frac{d-c}{d} \\ &= 0,026 > 0,005 \text{ (OK)}\end{aligned}$$

- Kontrol Tulangan Rangkap Tumpuan Positif

$$\begin{aligned}\rho &= \frac{A_s}{bd} \\ &= \frac{4 \times 490,87}{600 \times 824,5} \\ &= 0,0039\end{aligned}$$

$$\begin{aligned}\rho' &= \frac{A_s'}{bd} \\ &= \frac{6 \times 490,87}{600 \times 824,5} \\ &= 0,0059\end{aligned}$$

$$\begin{aligned}\rho - \rho' &= 0,0039 - 0,0059 \\ &= -0,0020\end{aligned}$$

$$\begin{aligned}\rho_{cy} &= \frac{0,85 f'_c d'}{d f_y} \beta_1 \left(\frac{600}{600 - f_y} \right) \\ &= \frac{0,85 \times 35 \times 75,5}{824,5 \times 420} 0,8 \left(\frac{600}{600 - 420} \right) \\ &= 0,017\end{aligned}$$

$\rho - \rho' \leq \rho_{cy} \rightarrow$ tulangan tekan belum leleh

$$f'_s = 600 \left(\frac{c-d'}{c} \right)$$

$$A_s f_y = 0,85 f'_c a b + A'_s (f'_s - 0,85 f'_c)$$

$$a = \frac{A_s f_y - A'_s (f'_s - 0,85 f'_c)}{0,85 f'_c b}$$

$$\beta_1 c = \frac{A_s f_y - A'_s (f'_s - 0,85 f'_c)}{0,85 f'_c b}$$

Kedua persamaan di atas diselesaikan dan diperoleh nilai:

$$c_1 = 71,26$$

$$c_2 = -131,12$$

$$c_{\text{pakai}} = 71,26$$

$$a = \beta_1 c$$

$$= 0,8 \times 71,26$$

$$= 57$$

$$\begin{aligned} f_s &= 600 \left(\frac{c-d'}{c} \right) \\ &= 600 \left(\frac{71,26 - 75,5}{71,26} \right) \\ &= -35,73 \end{aligned}$$

$$\begin{aligned} M_n &= (A_s f_y - A'_s f'_y) \left(d - \frac{a}{2} \right) + A'_s f'_y (d - d') \\ &= (1963,49 \times 420 - 2945,24 \times 420) \left(824,5 - \frac{66,51}{2} \right) + \\ &\quad 2945,24 \times 420 (824,5 - 75,5) \\ &= 66138,02 \text{ kgm} \end{aligned}$$

$$\begin{aligned} \phi M_n &= 0,9 (66138,02) \\ &= 59524,22 \text{ kgm} \end{aligned}$$

$$\phi M_n \geq M_u = 57487,69 \text{ (OK)}$$

Kontrol Regangan:

$$\begin{aligned} \epsilon_t &= 0,003 \frac{d-c}{d} \\ &= 0,031 > 0,005 \text{ (OK)} \end{aligned}$$

- Tulangan Positif Lapangan

$$\phi = 0,90$$

$$\begin{aligned} R_n &= \frac{M_u}{\phi b d^2} \\ &= \frac{19626,02 \times 10^4}{0,9 \times 600 \times 824,5^2} \\ &= 0,53 \text{ N/mm}^2 \end{aligned}$$

$$\begin{aligned} \rho_{\text{perlu}} &= \frac{1}{m} \left(1 - \sqrt{1 - \frac{2mR_n}{f_y}} \right) \\ &= \frac{1}{14,12} \left(1 - \sqrt{1 - \frac{2 \times 14,12 \times 0,53}{420}} \right) \\ &= 0,0013 < \rho_{\text{min}} \end{aligned}$$

$$\rho_{\text{pakai}} = \rho_{\text{min}} = 0,0035$$

$$\begin{aligned} A_{S_{\text{perlu}}} &= \rho_{\text{pakai}} \times b \times d \\ &= 0,0035 \times 600 \times 824,5 \\ &= 1742,07 \text{ mm}^2 \end{aligned}$$

$$n_{\text{pakai}} = \frac{A_{S_{\text{perlu}}}}{A_{S_{\text{tulangan}}}}$$

$$\begin{aligned}
 &= \frac{1742,07}{0,25 \pi (25)^2} \\
 &= 4 \text{ buah} \\
 S_{\min 1} &= D_{\text{tulangan}} \\
 &= 25 \text{ mm} \\
 S_{\min 2} &= 25 \text{ mm} \\
 S_{\text{pakai}} &= \frac{b - n_{\text{pakai}} D_{\text{tulangan}} - 2 \text{ clear cover} - 2\phi_{\text{senggang}}}{n_{\text{pakai}} - 1} \\
 &= \frac{600 - 4(25) - 2(50) - 2(13)}{4 - 1} \\
 &= 125 \text{ mm} \\
 S_{\text{pakai}} &> S_{\min} \text{ (OK)}
 \end{aligned}$$

∴ Maka, digunakan tulangan positif lapangan 4D25

- Tulangan Negatif Lapangan

$$\begin{aligned}
 \phi &= 0,90 \\
 R_n &= \frac{Mu}{\phi b d^2} \\
 &= \frac{19626,02 \times 10^4}{0,9 \times 600 \times 824,5^2} \\
 &= 0,53 \text{ N/mm}^2 \\
 \rho_{\text{perlu}} &= \frac{1}{m} \left(1 - \sqrt{1 - \frac{2mR_n}{fy}} \right) \\
 &= \frac{1}{14,12} \left(1 - \sqrt{1 - \frac{2 \times 14,12 \times 0,53}{420}} \right) \\
 &= 0,0013 < \rho_{\min} \\
 \rho_{\text{pakai}} &= \rho_{\min} = 0,0035 \\
 A_{S_{\text{perlu}}} &= \rho_{\text{pakai}} \times b \times d \\
 &= 0,0035 \times 600 \times 824,5 \\
 &= 1742,07 \text{ mm}^2 \\
 n_{\text{pakai}} &= \frac{A_{S_{\text{perlu}}}}{A_{S_{\text{tulangan}}}} \\
 &= \frac{1742,07}{0,25 \pi (25)^2} \\
 &= 4 \text{ buah} \\
 S_{\min 1} &= D_{\text{tulangan}}
 \end{aligned}$$

$$\begin{aligned}
 &= 25 \text{ mm} \\
 S_{\min 2} &= 25 \text{ mm} \\
 S_{\text{pakai}} &= \frac{b - n_{\text{pakai}} D_{\text{tulangan}} - 2 \text{ clear cover} - 2\phi_{\text{senggang}}}{n_{\text{pakai}} - 1} \\
 &= \frac{600 - 4(25) - 2(50) - 2(13)}{4 - 1} \\
 &= 125 \text{ mm} \\
 S_{\text{pakai}} &> S_{\min} \text{ (OK)}
 \end{aligned}$$

∴ Maka, digunakan tulangan positif negatif 4D25

- Kontrol Tulangan Rangkap Lapangan Positif

$$\begin{aligned}
 \rho &= \frac{A_s}{bd} \\
 &= \frac{4 \times 490,87}{600 \times 824,5} \\
 &= 0,0039
 \end{aligned}$$

$$\begin{aligned}
 \rho' &= \frac{A_s'}{bd} \\
 &= \frac{4 \times 490,87}{600 \times 824,5} \\
 &= 0,0039
 \end{aligned}$$

$$\begin{aligned}
 \rho - \rho' &= 0,0039 - 0,0039 \\
 &= 0
 \end{aligned}$$

$$\begin{aligned}
 \rho_{cy} &= \frac{0,85 f'_c d'}{d f_y} \beta_1 \left(\frac{600}{600 - f_y} \right) \\
 &= \frac{0,85 \times 35 \times 75,5}{824,5 \times 420} 0,8 \left(\frac{600}{600 - 420} \right) \\
 &= 0,017
 \end{aligned}$$

$$\rho - \rho' \leq \rho_{cy} \rightarrow \text{tulangan tekan belum leleh}$$

$$f'_s = 600 \left(\frac{c - d'}{c} \right)$$

$$A_s f_y = 0,85 f'_c a b + A'_s (f'_s - 0,85 f'_c)$$

$$a = \frac{A_s f_y - A'_s (f'_s - 0,85 f'_c)}{0,85 f'_c b}$$

$$\beta_1 c = \frac{A_s f_y - A'_s (f'_s - 0,85 f'_c)}{0,85 f'_c b}$$

Kedua persamaan di atas diselesaikan dan diperoleh nilai:

$$c_1 = 69,26$$

$$c_2 = -89,92$$

$$c_{\text{pakai}} = 69,26$$

$$\begin{aligned} a &= \beta_1 c \\ &= 0,8 \times 69,26 \\ &= 49,20 \end{aligned}$$

$$\begin{aligned} f'_s &= 600 \left(\frac{c-d'}{c} \right) \\ &= 600 \left(\frac{69,26 - 75,5}{69,26} \right) \\ &= -54 \end{aligned}$$

$$\begin{aligned} M_n &= (A_s f_y - A'_s f'_y) \left(d - \frac{a}{2} \right) + A'_s f'_y (d - d') \\ &= (1963,49 \times 420 - 1963,49 \times 420) \left(824,5 - \frac{49,20}{2} \right) + \\ &\quad 1963,49 \times 420 (824,5 - 75,5) \\ &= 66215,80 \text{ kgm} \end{aligned}$$

$$\begin{aligned} \phi M_n &= 0,9 (66215,80) \\ &= 59594,22 \text{ kgm} \end{aligned}$$

$$\phi M_n \geq M_u = 19626,02 \text{ (OK)}$$

Kontrol Regangan:

$$\begin{aligned} \epsilon_t &= 0,003 \frac{d-c}{d} \\ &= 0,033 > 0,005 \text{ (OK)} \end{aligned}$$

- Kontrol Tulangan Rangkap Lapangan Negatif

$$\begin{aligned} \rho &= \frac{A_s}{bd} \\ &= \frac{4 \times 490,87}{600 \times 824,5} \\ &= 0,0039 \end{aligned}$$

$$\begin{aligned} \rho' &= \frac{A_s'}{bd} \\ &= \frac{4 \times 490,87}{600 \times 824,5} \\ &= 0,0039 \end{aligned}$$

$$\begin{aligned} \rho - \rho' &= 0,0039 - 0,0039 \\ &= 0 \end{aligned}$$

$$\rho_{cy} = \frac{0,85 f'_c d'}{d f_y} \beta_1 \left(\frac{600}{600 - f_y} \right)$$

$$= \frac{0,85 \times 35 \times 75,5}{824,5 \times 420} 0,8 \left(\frac{600}{600-420} \right)$$

$$= 0,017$$

$\rho - \rho' \leq \rho_{cy} \rightarrow$ tulangan tekan belum leleh

$$f_s^* = 600 \left(\frac{c-d'}{c} \right)$$

$$A_s f_y = 0,85 f_c' a b + A_s' (f_s' - 0,85 f_c')$$

$$a = \frac{A_s f_y - A_s' (f_s' - 0,85 f_c')}{0,85 f_c' b}$$

$$\beta_1 c = \frac{A_s f_y - A_s' (f_s' - 0,85 f_c')}{0,85 f_c' b}$$

Kedua persamaan di atas diselesaikan dan diperoleh nilai:

$$c_1 = 69,26$$

$$c_2 = -89,92$$

$$c_{\text{pakai}} = 69,26$$

$$a = \beta_1 c$$

$$= 0,8 \times 69,26$$

$$= 49,20$$

$$f_s^* = 600 \left(\frac{c-d'}{c} \right)$$

$$= 600 \left(\frac{69,26 - 75,5}{69,26} \right)$$

$$= -54$$

$$M_n = (A_s f_y - A_s' f_y') \left(d - \frac{a}{2} \right) + A_s' f_y' (d - d')$$

$$= (1963,49 \times 420 - 1963,49 \times 420) \left(824,5 - \frac{49,20}{2} \right) +$$

$$1963,49 \times 420 (824,5 - 75,5)$$

$$= 66215,80 \text{ kgm}$$

$$\phi M_n = 0,9 (66215,80)$$

$$= 59594,22 \text{ kgm}$$

$$\phi M_n \geq M_u = 19626,02 \text{ (OK)}$$

Kontrol Regangan:

$$\epsilon_t = 0,003 \frac{d-c}{d}$$

$$= 0,033 > 0,005 \text{ (OK)}$$

- Kontrol Balok T Lapangan

$$b_{e1} = \frac{l}{4}$$

$$= \frac{8400}{4}$$

$$= 2100 \text{ mm}$$

$$b_{e2} = b_w + 2(8h_f)$$

$$= 600 + 2(8 \times 150)$$

$$= 3000 \text{ mm}$$

$$b_{e3} = \text{total transverse span}$$

$$= 3400 \text{ mm}$$

$$b_{e_{\text{pakai}}} = 2100 \text{ mm}$$

$$a = \frac{A_s f_y}{0,85 f'_c b}$$

$$= 13,20 \text{ mm}$$

$$t_f = 150 \text{ mm}$$

a $\leq t_f \rightarrow$ balok tidak bekerja sebagai balok T

$$M_n = A_s f_y \left(d - \frac{a}{2} \right)$$

$$= 4 \times 490,87 \times 420 \left(824,5 - \frac{13,20}{2} \right)$$

$$= 67449,60 \text{ kgm}$$

$$\phi M_n = 0,9 (67449,60)$$

$$= 60704,62 \text{ kgm}$$

$$\phi M_n \geq M_u = 19626,02 \text{ kgm (OK)}$$

Kontrol Regangan:

$$c = \frac{a}{\beta_1}$$

$$= \frac{13,20}{0,8}$$

$$= 16,50$$

$$\epsilon_t = 0,003 \frac{d-c}{d}$$

$$= 0,146 > 0,005 \text{ (OK)}$$

- Kontrol Balok T Tumpuan

$$b_{e1} = \frac{l}{4}$$

$$\begin{aligned}
&= \frac{8400}{4} \\
&= 2100 \text{ mm} \\
b_{e2} &= b_w + 2(8h_f) \\
&= 600 + 2(8 \times 150) \\
&= 3000 \text{ mm} \\
b_{e3} &= \text{total transverse span} \\
&= 3400 \text{ mm} \\
b_{\text{pakai}} &= 2100 \text{ mm} \\
a &= \frac{A_s f_y}{0,85 f'_c b} \\
&= 13,20 \text{ mm} \\
t_f &= 150 \text{ mm} \\
a &\leq t_f \rightarrow \text{balok tidak bekerja sebagai balok T} \\
M_n &= A_s f_y \left(d - \frac{a}{2} \right) \\
&= 4 \times 490,87 \times 420 \left(824,5 - \frac{13,20}{2} \right) \\
&= 67449,60 \text{ kgm} \\
\phi M_n &= 0,9 (67449,60) \\
&= 60704,62 \text{ kgm} \\
\phi M_n &\geq M_u = 57487,69 \text{ kgm (OK)} \\
\text{Kontrol Regangan:} \\
c &= \frac{a}{\beta_1} \\
&= \frac{13,20}{0,8} \\
&= 16,50 \\
\varepsilon_t &= 0,003 \frac{d-c}{d} \\
&= 0,146 > 0,005 \text{ (OK)}
\end{aligned}$$

- Tulangan Geser

Berdasarkan SNI 2847:2019 pasal 18.6.5.1, dalam perencanaan tulangan geser perlu ditinjau gaya-gaya maksimum akibat adanya tulangan yang terpasang pada muka-muka balok atau pada daerah tumpuan (M_{pr}). Nilai

dari gaya-gaya maksimum didapatkan melalui persamaan berikut:

$$M_{pr} = 1.25 A_s f_y \left(d - \frac{a}{2} \right)$$

$$a = \frac{1.25 A_s f_y}{0.85 f'_c b}$$

Sehingga didapatkan nilai M_{pr} pada balok induk seperti yang disajikan pada Tabel 4.29.

Tabel 4.29 Rekapitulasi Perhitungan M_{pr} Balok Induk

Lokasi		As (mm ²)	a (mm)	M _{pr} (kNm)
Tumpuan	Kiri	-	2945.24	1207.91
	Kanan	+	1963.50	820.16
	Kiri	+	1963.50	820.16
	Kanan	-	2945.24	1207.91

$$M_{pr1} = 1207,91 \text{ kNm}$$

$$M_{pr2} = 820,16 \text{ kNm}$$

$$L_n = 7,3 \text{ m}$$

$$W_u = 48,08 \text{ kN/m}$$

$$V_{e1,2} = \frac{M_{pr1} + M_{pr2}}{L_n} \pm \frac{W_u \times L_n}{2}$$

$$= \frac{1207,91 + 820,16}{7,3} \pm \frac{48,08 \times 7,3}{2}$$

$$V_{e1} = 453,314 \text{ kN}$$

$$V_{e2} = 102,322 \text{ kN}$$

$$V_{e \text{ pakai}} = 453,314 \text{ kN}$$

Berdasarkan SNI 2847:2019 pasal 18.6.2.5, tulangan transversal harus diproporsikan untuk menahan geser dengan mengasumsikan $V_c = 0$ apabila kedua persyaratan berikut terpenuhi:

$$1. \quad M_{pr} = \frac{M_{pr1} + M_{pr2}}{L_n} \geq 0,5 V_{e \text{ pakai}}$$

$$M_{pr} = \frac{1207,91 + 820,16}{7,3} \geq 0,5 \times 453,314$$

$$M_{pr} = 277,818 \text{ kNm} \geq 266,657 \text{ kNm}$$

$$2. P_u \leq \frac{1}{20} A_g f'_c$$

Karena nilai P_u pada balok sangat kecil, maka syarat kedua dapat diabaikan, sedangkan karena syarat 1 terpenuhi maka nilai V_c beton dapat diabaikan.

$$V_e = 453314 \text{ N}$$

$$V_c = 0,17\sqrt{f'_c} b d$$

$$= 497536,4 \text{ N}$$

$$\phi V_c = 373152,3 \text{ N}$$

$$0,5\phi V_c = 186576,15 \text{ N}$$

$$V_{s \text{ min}} = 0,017\sqrt{f'_c} b d$$

$$= 182917,8 \text{ N}$$

$$\phi(V_c + V_{s \text{ min}}) = 510340,6 \text{ N}$$

$$V'_s = 0,35\sqrt{f'_c} b d$$

$$= 975561,5 \text{ N}$$

$$\phi V'_s = 731671,2 \text{ N}$$

$$\phi(V_c + V'_s) = 1104823,5 \text{ N}$$

Syarat:

Kondisi 1

$$V_u \leq 0,5\phi V_c \rightarrow \text{tidak memenuhi}$$

Kondisi 2:

$$0,5\phi V_c \leq V_u \leq \phi V_c \rightarrow \text{tidak memenuhi}$$

Kondisi 3:

$$\phi V_c \leq V_u \leq \phi(V_c + V_{s \text{ min}}) \rightarrow \text{memenuhi}$$

Oleh karena kondisi 3 persyaratan tulangan geser terpenuhi, maka diperlukan tulangan geser dalam perencanaan balok induk ini.

$$S_{\text{max } 1} = \frac{d}{2} = \frac{824,5}{2}$$

$$= 412,25 \text{ mm}$$

$$S_{\text{max } 2} = 6 D_{\text{longitudinal}}$$

$$= 150 \text{ mm}$$

$$\begin{aligned}
S_{\max 3} &= 600 \text{ mm} \\
S_{\max \text{ pakai}} &= 150 \text{ mm} \\
D_{\text{senggang}} &= 13 \text{ mm} \\
f_{y \text{ senggang}} &= 420 \text{ MPa} \\
n_{\text{senggang}} &= 2 \text{ kaki} \\
A_{V_{\min 1}} &= 0,062 \sqrt{f'c} \frac{bs}{f_y} \\
&= 78,59 \text{ mm}^2 \\
A_{V_{\min 2}} &= 0,35 \frac{bs}{f_y} \\
&= 75 \text{ mm}^2 \\
A_{V_{\text{pakai}}} &= 2 \times 0,25 \pi d_{\text{senggang}}^2 \\
&= 2 \times 0,25 \pi 13^2 \\
&= 265,5 \text{ mm}^2 > A_{V_{\min}} \text{ (OK)} \\
V_u &= 453314 \text{ N} \\
V_{s \text{ perlu}} &= V_u / \phi \\
&= 604419,2 \text{ N} \\
s &= \frac{A_v f_y d}{V_{s \text{ perlu}}} \\
&= \frac{265,5 \times 420 \times 824,5}{604419,2} \\
&= 152 \text{ mm} \\
S_{\text{pakai}} &= 150 \leq s_{\max} \text{ (OK)}
\end{aligned}$$

∴ Maka, digunakan tulangan geser tumpuan D13–150 mm sepanjang daerah plastis ($l_o = 2050 \text{ mm}$) dengan sengkang pertama dipasang 50 mm dari tumpuan.

$$\begin{aligned}
V_u \text{ lapangan} &= V_u - W_u \times l_o \\
&= 453314 - 48080 \times 2,05 \\
&= 354747,9 \text{ N} \\
V_c &= 0,17 \sqrt{f'c} b d \\
&= 497536,4 \text{ N} \\
\phi V_c &= 373152,3 \text{ N} \\
0,5 \phi V_c &= 186576,15 \text{ N}
\end{aligned}$$

$$\begin{aligned} V_{s \min} &= 0,017\sqrt{f'_c} b d \\ &= 182917,8 \text{ N} \end{aligned}$$

$$\phi(V_c + V_{s \min}) = 510340,6 \text{ N}$$

Syarat:

Kondisi 1

$$V_u \leq 0,5\phi V_c \rightarrow \text{tidak memenuhi}$$

Kondisi 2:

$$0,5\phi V_c \leq V_u \leq \phi V_c \rightarrow \text{memenuhi}$$

Oleh karena kondisi 2 persyaratan tulangan geser terpenuhi, maka digunakan tulangan geser minimum pada perencanaan balok induk ini.

$$\begin{aligned} s &= \frac{A_v f_y d}{V_{s \min}} \\ &= \frac{265,5 \times 420 \times 824,5}{182917,8} \\ &= 502 \text{ mm} \end{aligned}$$

$$s_{\text{pakai}} = 300 \text{ mm}$$

∴ Maka, digunakan tulangan geser lapangan D13–300 mm di luar daerah plastis.

- Tulangan Torsi

$$T_u = 147,07 \text{ kNm (Hasil ETABS)}$$

$$V_u = 297,89 \text{ kN (Hasil ETABS)}$$

$$\begin{aligned} A_{cp} &= 600 \times 900 \\ &= 540000 \text{ mm}^2 \end{aligned}$$

$$\begin{aligned} P_{cp} &= 2(600 + 900) \\ &= 3000 \text{ mm} \end{aligned}$$

Perencanaan tulangan torsi berdasarkan SNI 2847:2019 pasal 22.7.4.1 yaitu pengaruh torsi dapat diabaikan jika momen torsi terfaktor T_u kurang dari ϕT_{cr} dengan perhitungan sebagai berikut:

$$T_u \leq \phi T_{cr}$$

$$T_{cr} = 0,33\lambda\sqrt{f'_c} \left(\frac{A_{cp}^2}{P_{cp}} \right)$$

$$\begin{aligned}
&= 0,33(1)\sqrt{35} \left(\frac{540000^2}{3000} \right) \\
&= 189,76 \text{ kNm} \\
\phi T_{cr} &= 0,75 (189,76) \\
&= 142,32 \text{ kNm} \\
\phi T_{cr} &\leq T_u = 147,07 \text{ kNm} \rightarrow \text{perlu tulangan torsi} \\
x_1 &= b - 2 \text{ clear cover} - D_{\text{senggang}} \\
&= 600 - 2(50) - 13 \\
&= 487 \text{ mm} \\
y_1 &= h - 2 \text{ clear cover} - D_{\text{senggang}} \\
&= 900 - 2(50) - 13 \\
&= 787 \text{ mm} \\
A_{oh} &= x_1 y_1 \\
&= 487 \times 787 \\
&= 383269 \text{ mm}^2 \\
A_o &= 0,85 A_{oh} \\
&= 325778,65 \text{ mm}^2 \\
P_h &= 2(x_1 + y_1) \\
&= 2(487 + 787) \\
&= 2548 \text{ mm} \\
\theta &= 45^\circ \\
\cot \theta &= 1
\end{aligned}$$

Cek Penampang Balok:

$$\begin{aligned}
\sqrt{\left(\frac{V_u}{bd}\right)^2 + \left(\frac{T_u P_h}{1,7 A_{oh}^2}\right)^2} &\leq \phi \left(\frac{V_c}{bd} + 0,66\sqrt{f'_c}\right) \\
\sqrt{\left(\frac{297,89 \times 10^3}{600(824,5)}\right)^2 + \left(\frac{147,07 \times 10^6 \times 2548}{1,7(383269)^2}\right)^2} &= 1,62 \\
0,75 \left(\frac{497536,4}{600(824,5)} + 0,66\sqrt{35}\right) &= 3,68
\end{aligned}$$

$1,62 \leq 3,68 \rightarrow$ penampang cukup menahan torsi

Tulangan Geser:

$$\begin{aligned}
T_n &= \frac{T_u}{\phi} \\
&= 196,1 \text{ kNm}
\end{aligned}$$

$$\begin{aligned} \frac{A_t}{s} &= \frac{T_n}{2A_o f_{yt} \cot \theta} \\ &= \frac{196,1 \times 10^6}{2 \times 383269 \times 420 \times 1} \\ &= 0,716 \text{ mm}^2/\text{mm}/\text{one leg} \\ V_s &= V_n - V_c \\ &= 397195,47 - 497536,4 \\ &= -100340,9 \rightarrow \text{tidak perlu sengkang untuk torsi} \end{aligned}$$

Tulangan Longitudinal:

$$\begin{aligned} A_l &= \frac{A_t}{s} P_h \frac{f_{yt}}{f_y} \cot^2 \theta \\ &= 1825,92 \text{ mm}^2 \\ A_{l \text{ min}} &= \frac{0,42 \sqrt{f'_c A_{cp}}}{f_y} - \frac{A_t}{s} P_h \frac{f_{yt}}{f_y} \\ &= 1368,75 \text{ mm}^2 \\ A_{l \text{ min}} &\leq A_l \text{ (OK)} \\ \frac{A_t}{s} \text{ min} &= 0,175 \frac{b}{f_{yt}} \\ &= 0,25 \text{ mm}^2/\text{mm}/\text{one leg} \\ \frac{A_t}{s} \text{ min} &\leq \frac{A_t}{s} \text{ (OK)} \end{aligned}$$

Tulangan longitudinal untuk torsi dibagi menjadi 4 bagian, 25% didistribusikan ke atas, 25% didistribusikan ke bawah, dan 50% didistribusikan merata ke kiri dan ke kanan. Hasil dari kebutuhan luas tulangan longitudinal torsi akan digabung dengan kebutuhan luas tulangan lentur yang dihitung sebelumnya dan akan disajikan pada Tabel 4.30.

Tabel 4.30 Rekapitulasi Penambahan Tulangan Torsi

Keterangan		As lentur	As Torsi	As butuh total	As Tersedia	As perlu	Tambahan Tulangan
Tulangan Lapangan	Atas	1742.1	456.5	2198.6	1963.5	235.1	1
	Samping	0.0	913.0	913.0	0.0	913.0	2
	Bawah	1742.1	456.5	2198.6	1963.5	235.1	1
Tulangan Tumpuan	Atas	2616.6	456.5	3073.1	2945.2	127.8	1
	Samping	0.0	913.0	913.0	0.0	913.0	2
	Bawah	1895.8	456.5	2352.3	1963.5	388.8	1

- Sebelum Komposit

$$\beta_1 = 0,85 - 0,05 \frac{f'c-28}{7} = 0,85 - 0,05 \frac{35-28}{7} = 0,83$$

$$\rho_{\min 1} = 0,25 \frac{\sqrt{f'c}}{420} = 0,25 \frac{\sqrt{30}}{420} = 0,0033$$

$$\rho_{\min 2} = \frac{1,4}{f_y} = \frac{1,4}{420} = 0,0033$$

$$m = \frac{f_y}{0,85 f'c} = \frac{420}{0,85 (30)} = 16,47$$

$$d = h_{\text{balok}} - \text{clear cover} - D_{\text{senggang}} - 0,5D_{\text{tulangan}} = 750 - 50 - 13 - 0,5(25) = 674,5 \text{ mm}$$

Momen yang terjadi pada balok induk sebelum komposit dihitung dengan anggapan bahwa tumpuan pada balok induk merupakan tumpuan sederhana, sehingga momen pada tumpuan dianggap tidak ada.

$$M_{\text{tumpuan}} = 0 \text{ kgm}$$

$$M_{\text{lapangan}} = \frac{1}{8} q_u l^2$$

$$\begin{aligned}
 &= \frac{1}{8} (3266,8)6,988^2 \\
 &= 19940,36 \text{ kgm} \\
 V_u &= \frac{1}{2} q_u l \\
 &= \frac{1}{2} (3266,8)6,988 \\
 &= 11414,06 \text{ kg}
 \end{aligned}$$

- Tulangan Negatif Tumpuan

$$\begin{aligned}
 \rho_{\text{pakai}} &= \rho_{\text{min}} \\
 &= 0,0033 \\
 A_{S\text{perlu}} &= \rho_{\text{pakai}} \times b \times d \\
 &= 0,0033 \times 600 \times 674,5 \\
 &= 1349 \text{ mm}^2 \\
 n_{\text{pakai}} &= \frac{A_{S\text{perlu}}}{A_{Stulangan}} \\
 &= \frac{1349}{0,25 \pi (25)^2} \\
 &= 3 \text{ buah} \\
 S_{\text{min } 1} &= D_{\text{tulangan}} \\
 &= 25 \text{ mm} \\
 S_{\text{min } 2} &= 25 \text{ mm} \\
 S_{\text{pakai}} &= \frac{b - n_{\text{pakai}} D_{\text{tulangan}} - 2 \text{ clear cover} - 2\phi_{\text{senggang}}}{n_{\text{pakai}} - 1} \\
 &= \frac{600 - 3(25) - 2(50) - 2(13)}{3 - 1} \\
 &= 200 \text{ mm} \\
 S_{\text{pakai}} &> S_{\text{min}} \text{ (OK)}
 \end{aligned}$$

∴ Maka, digunakan tulangan negatif tumpuan 3D25

- Tulangan Positif Tumpuan

$$\begin{aligned}
 \rho_{\text{pakai}} &= \rho_{\text{min}} \\
 &= 0,0033 \\
 A_{S\text{perlu}} &= \rho_{\text{pakai}} \times b \times d \\
 &= 0,0033 \times 600 \times 674,5 \\
 &= 1349 \text{ mm}^2
 \end{aligned}$$

$$\begin{aligned}
 n_{\text{pakai}} &= \frac{A_{s\text{perlu}}}{A_{s\text{tulangan}}} \\
 &= \frac{1349}{0,25 \pi (25)^2} \\
 &= 3 \text{ buah} \\
 s_{\text{min } 1} &= D_{\text{tulangan}} \\
 &= 25 \text{ mm} \\
 s_{\text{min } 2} &= 25 \text{ mm} \\
 s_{\text{pakai}} &= \frac{b - n_{\text{pakai}} D_{\text{tulangan}} - 2 \text{ clear cover} - 2\phi_{\text{sengkang}}}{n_{\text{pakai}} - 1} \\
 &= \frac{600 - 3(25) - 2(50) - 2(13)}{3 - 1} \\
 &= 200 \text{ mm} \\
 s_{\text{pakai}} &> s_{\text{min}} \text{ (OK)}
 \end{aligned}$$

∴ Maka, digunakan tulangan positif tumpuan 3D25

- Tulangan Positif Lapangan

$$\begin{aligned}
 \phi &= 0,90 \\
 R_n &= \frac{Mu}{\phi b d^2} \\
 &= \frac{19940,36 \times 10^4}{0,9 \times 600 \times 674,5^2} \\
 &= 0,81 \text{ N/mm}^2 \\
 \rho_{\text{perlu}} &= \frac{1}{m} \left(1 - \sqrt{1 - \frac{2mR_n}{fy}} \right) \\
 &= \frac{1}{16,47} \left(1 - \sqrt{1 - \frac{2 \times 16,47 \times 0,81}{420}} \right) \\
 &= 0,0019 < \rho_{\text{min}} \\
 \rho_{\text{pakai}} &= 0,0033 \\
 A_{s\text{perlu}} &= \rho_{\text{pakai}} \times b \times d \\
 &= 0,0033 \times 600 \times 674,5 \\
 &= 1349 \text{ mm}^2 \\
 n_{\text{pakai}} &= \frac{A_{s\text{perlu}}}{A_{s\text{tulangan}}} \\
 &= \frac{1349}{0,25 \pi (25)^2} \\
 &= 3 \text{ buah}
 \end{aligned}$$

$$\begin{aligned}
 S_{\min 1} &= D_{\text{tulangan}} \\
 &= 25 \text{ mm} \\
 S_{\min 2} &= 25 \text{ mm} \\
 S_{\text{pakai}} &= \frac{b - n_{\text{pakai}} D_{\text{tulangan}} - 2 \text{ clear cover} - 2\phi_{\text{senggang}}}{n_{\text{pakai}} - 1} \\
 &= \frac{600 - 3(25) - 2(50) - 2(13)}{3 - 1} \\
 &= 200 \text{ mm} \\
 S_{\text{pakai}} &> S_{\min} \text{ (OK)}
 \end{aligned}$$

Kontrol Regangan:

$$\begin{aligned}
 a &= \frac{A_s f_y}{0,85 f'_c b} \\
 &= 34,65 \text{ mm} \\
 c &= \frac{a}{\beta_1} \\
 &= \frac{34,65}{0,80} \\
 &= 43,31 \text{ mm} \\
 \epsilon_t &= 0,003 \frac{d-c}{a} \\
 &= 0,044 > 0,005 \text{ (OK)}
 \end{aligned}$$

∴ Maka, digunakan tulangan positif lapangan 3D25

- Tulangan Negatif Lapangan

$$\begin{aligned}
 M_u &= 0,5 M_u \text{ positif lapangan} \\
 &= 9970,18 \\
 \phi &= 0,90 \\
 R_n &= \frac{M_u}{\phi b d^2} \\
 &= \frac{9970,18 \times 10^4}{0,9 \times 600 \times 674,5^2} \\
 &= 0,41 \text{ N/mm}^2 \\
 \rho_{\text{perlu}} &= \frac{1}{m} \left(1 - \sqrt{1 - \frac{2mR_n}{f_y}} \right) \\
 &= \frac{1}{16,47} \left(1 - \sqrt{1 - \frac{2 \times 16,47 \times 0,41}{420}} \right) \\
 &= 0,00097 < \rho_{\min}
 \end{aligned}$$

$$\begin{aligned}
 \rho_{\text{pakai}} &= 0,0033 \\
 A_{\text{Spertu}} &= \rho_{\text{pakai}} \times b \times d \\
 &= 0,0033 \times 600 \times 674,5 \\
 &= 1349 \text{ mm}^2 \\
 n_{\text{pakai}} &= \frac{A_{\text{Spertu}}}{A_{\text{Stulangan}}} \\
 &= \frac{1349}{0,25 \pi (25)^2} \\
 &= 3 \text{ buah} \\
 S_{\text{min 1}} &= D_{\text{tulangan}} \\
 &= 25 \text{ mm} \\
 S_{\text{min 2}} &= 25 \text{ mm} \\
 S_{\text{pakai}} &= \frac{b - n_{\text{pakai}} D_{\text{tulangan}} - 2 \text{ clear cover} - 2\emptyset_{\text{senggang}}}{n_{\text{pakai}} - 1} \\
 &= \frac{600 - 3(25) - 2(50) - 2(13)}{3 - 1} \\
 &= 200 \text{ mm} \\
 S_{\text{pakai}} &> S_{\text{min}} \text{ (OK)}
 \end{aligned}$$

Kontrol Regangan:

$$\begin{aligned}
 a &= \frac{A_s f_y}{0,85 f' c b} \\
 &= 34,65 \text{ mm} \\
 c &= \frac{a}{\beta_1} \\
 &= \frac{34,65}{0,80} \\
 &= 43,31 \text{ mm} \\
 \epsilon_t &= 0,003 \frac{d-c}{d} \\
 &= 0,044 > 0,005 \text{ (OK)}
 \end{aligned}$$

∴ Maka, digunakan tulangan negatif lapangan 3D25

- Tulangan Geser

$$\begin{aligned}
 V_u &= 114140,6 \text{ N} \\
 V_c &= 0,17 \sqrt{f' c} b d \\
 &= 376827,6 \text{ N} \\
 \phi V_c &= 282620,7 \text{ N}
 \end{aligned}$$

$$\begin{aligned}
 0,5\phi V_c &= 141310,4 \text{ N} \\
 V_{s \text{ min}} &= 0,017\sqrt{f'_c} b d \\
 &= 138539,6 \text{ N} \\
 \phi(V_c + V_{s \text{ min}}) &= 386526,41 \text{ N}
 \end{aligned}$$

Syarat:

Kondisi 1

$$V_u \leq 0,5\phi V_c \rightarrow \text{memenuhi}$$

Oleh karena kondisi 1 persyaratan tulangan geser terpenuhi, maka digunakan tulangan geser minimum pada perencanaan balok induk ini.

$$\begin{aligned}
 s &= \frac{Av f_y d}{V_{s \text{ min}}} \\
 &= \frac{265,5 \times 420 \times 674,5}{149639} \\
 &= 502 \text{ mm}
 \end{aligned}$$

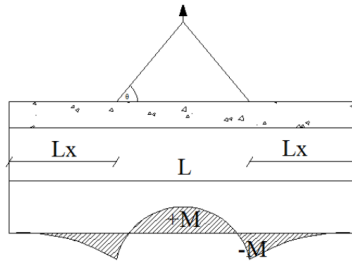
$$s_{\text{pakai}} = 300 \text{ mm}$$

∴ Maka, digunakan tulangan geser tumpuan D13–150 mm dan tulangan geser lapangan D13–300 mm.

- Saat Pengangkatan

$$\begin{aligned}
 d &= h_{\text{balok}} - \text{clear cover} - D_{\text{senggang}} - 0,5D_{\text{tulangan}} \\
 &= 750 - 50 - 13 - 0,5(25) \\
 &= 674,5 \text{ mm}
 \end{aligned}$$

Pada saat pengangkatan direncanakan 2 titik angkat dengan lokasi titik pengangkatan berada pada daerah tumpuan. Rencana pengangkatan balok induk diilustrasikan pada Gambar 4.26.



Gambar 4.26 Titik Angkat Balok Anak

$$+M = \frac{WL^2}{8} \left(1 - 4X + \frac{4Y_c}{L \tan \theta} \right)$$

$$-M = \frac{WX^2L^2}{8}$$

$$y_t = \frac{h}{2}$$

$$= \frac{75}{2}$$

$$= 37,5 \text{ cm}$$

$$I_{\text{balok}} = \frac{1}{12} bh^3$$

$$= \frac{1}{12} 60(75)^3$$

$$= 2109375 \text{ cm}^4$$

$$y_c = y_t + 5$$

$$= 37,5 + 5$$

$$= 42,5 \text{ cm}$$

Balok direncanakan diangkat dengan sudut 45°

$$\theta = 45^\circ$$

$$L = 6,988 \text{ m}$$

$$X = \frac{1 + \frac{4y_c}{L \tan \theta}}{2 \left(1 + \sqrt{1 + \frac{y_t}{y_b} \left(1 + \frac{4y_c}{L \tan \theta} \right)} \right)}$$

$$= 0,248 \text{ m}$$

$$LX = 6,988 (0,248)$$

$$= 1,75 \text{ m}$$

$$W = 1512 \text{ kg/m}$$

$$+M = 2286,66 \text{ kgm}$$

$$-M = 2286,66 \text{ kgm}$$

- Tulangan Negatif Tumpuan

Karena pada saat pengangkatan momen yang terjadi sangat kecil, maka untuk menentukan luasan tulangan yang diperlukan dapat langsung menggunakan nilai ρ_{\min} .

$$\rho_{\text{pakai}} = \rho_{\min} = 0,0033$$

$$\begin{aligned} A_{S\text{perlu}} &= \rho_{\text{pakai}} \times b \times d \\ &= 0,0033 \times 600 \times 674,5 \\ &= 1349 \text{ mm}^2 \end{aligned}$$

$$\begin{aligned} n_{\text{pakai}} &= \frac{A_{S\text{perlu}}}{A_{Stulangan}} \\ &= \frac{1349}{0,25 \pi (25)^2} \\ &= 3 \text{ buah} \end{aligned}$$

$$\begin{aligned} S_{\min 1} &= D_{\text{tulangan}} \\ &= 25 \text{ mm} \end{aligned}$$

$$S_{\min 2} = 25 \text{ mm}$$

$$\begin{aligned} S_{\text{pakai}} &= \frac{b - n_{\text{pakai}} D_{\text{tulangan}} - 2 \text{ clear cover} - 2\phi_{\text{senggang}}}{n_{\text{pakai}} - 1} \\ &= \frac{600 - 3(25) - 2(50) - 2(13)}{3 - 1} \\ &= 200 \text{ mm} \end{aligned}$$

$$S_{\text{pakai}} > S_{\min} \text{ (OK)}$$

∴ Maka, digunakan tulangan negatif tumpuan 3D25

- Tulangan Positif Tumpuan

$$\rho_{\text{pakai}} = \rho_{\min} = 0,0033$$

$$\begin{aligned} A_{S\text{perlu}} &= \rho_{\text{pakai}} \times b \times d \\ &= 0,0033 \times 600 \times 674,5 \\ &= 1349 \text{ mm}^2 \end{aligned}$$

$$n_{\text{pakai}} = \frac{A_{S\text{perlu}}}{A_{Stulangan}}$$

$$\begin{aligned}
 &= \frac{1349}{0,25 \pi (25)^2} \\
 &= 3 \text{ buah} \\
 S_{\min 1} &= D_{\text{tulangan}} \\
 &= 25 \text{ mm} \\
 S_{\min 2} &= 25 \text{ mm} \\
 S_{\text{pakai}} &= \frac{b - n_{\text{pakai}} D_{\text{tulangan}} - 2 \text{ clear cover} - 2\phi_{\text{senggang}}}{n_{\text{pakai}} - 1} \\
 &= \frac{600 - 3(25) - 2(50) - 2(13)}{3 - 1} \\
 &= 200 \text{ mm} \\
 S_{\text{pakai}} &> S_{\min} \text{ (OK)}
 \end{aligned}$$

∴ Maka, digunakan tulangan positif tumpuan 3D25

- Tulangan Positif Lapangan

Karena pada saat pengangkatan momen yang terjadi sangat kecil, maka untuk menentukan luasan tulangan yang di[erlukan dapat langsung menggunakan nilai ρ_{\min} .

$$\begin{aligned}
 \rho_{\text{pakai}} &= \rho_{\min} \\
 &= 0,0033 \\
 A_{\text{Sperlu}} &= \rho_{\text{pakai}} \times b \times d \\
 &= 0,0033 \times 600 \times 674,5 \\
 &= 1349 \text{ mm}^2 \\
 n_{\text{pakai}} &= \frac{A_{\text{Sperlu}}}{A_{\text{Stulangan}}} \\
 &= \frac{1349}{0,25 \pi (25)^2} \\
 &= 3 \text{ buah} \\
 S_{\min 1} &= D_{\text{tulangan}} \\
 &= 25 \text{ mm} \\
 S_{\min 2} &= 25 \text{ mm} \\
 S_{\text{pakai}} &= \frac{b - n_{\text{pakai}} D_{\text{tulangan}} - 2 \text{ clear cover} - 2\phi_{\text{senggang}}}{n_{\text{pakai}} - 1} \\
 &= \frac{600 - 3(25) - 2(50) - 2(13)}{3 - 1} \\
 &= 200 \text{ mm} \\
 S_{\text{pakai}} &> S_{\min} \text{ (OK)}
 \end{aligned}$$

∴ Maka, digunakan tulangan positif lapangan 3D25

- Tulangan Negatif Lapangan

$$\begin{aligned} \rho_{\text{pakai}} &= \rho_{\text{min}} \\ &= 0,0033 \\ A_{S\text{perlu}} &= \rho_{\text{pakai}} \times b \times d \\ &= 0,0033 \times 600 \times 674,5 \\ &= 1349 \text{ mm}^2 \\ n_{\text{pakai}} &= \frac{A_{S\text{perlu}}}{A_{Stulangan}} \\ &= \frac{1349}{0,25 \pi (25)^2} \\ &= 3 \text{ buah} \\ S_{\text{min 1}} &= D_{\text{tulangan}} \\ &= 25 \text{ mm} \\ S_{\text{min 2}} &= 25 \text{ mm} \\ S_{\text{pakai}} &= \frac{b - n_{\text{pakai}} D_{\text{tulangan}} - 2 \text{ clear cover} - 2\phi_{\text{sengkang}}}{n_{\text{pakai}} - 1} \\ &= \frac{600 - 3(25) - 2(50) - 2(13)}{3 - 1} \\ &= 200 \text{ mm} \\ S_{\text{pakai}} &> S_{\text{min}} \text{ (OK)} \end{aligned}$$

∴ Maka, digunakan tulangan negatif lapangan 3D25

4.4.2.4. Pengangkatan Balok Induk

Sebelum melakukan instalasi balok induk, balok induk terlebih dahulu mengalami proses pengangkatan menuju titik lokasi pemasangan. Oleh karena itu, diperlukan perencanaan tulangan angkat untuk balok induk. Untuk pengangkatan balok induk pada tugas akhir ini direncanakan menggunakan dua titik angkat tanpa bantuan *spreader beam*.

- Perhitungan Tulangan Angkat

$$\begin{aligned} \text{Faktor Kejut (K)} &= 1,2 \\ DL &= h_{\text{pracetak}} \times b_{\text{pracetak}} \times L \times \gamma_{\text{beton}} \\ &= 0,75 \times 0,6 \times 6,988 \times 2400 \end{aligned}$$

$$\begin{aligned}
 q &= 7547,04 \text{ kg} \\
 &= K \times 1,4DL \\
 &= 1,2 \times 1,4(7547,04) \\
 &= 12679,03 \text{ kg}
 \end{aligned}$$

Gaya Angkat (Tu):

$$\begin{aligned}
 Tu &= \frac{q}{2 \cos(45)} \\
 &= \frac{12679,03}{2 \cos(45)} \\
 &= 8965,43 \text{ kg} \\
 &= 89,65 \text{ kN}
 \end{aligned}$$

- Kontrol Tegangan

$$\sigma_{\text{balok}} < \sigma_{\text{ijin}}$$

$$\begin{aligned}
 \sigma_{\text{ijin}} &= \frac{0,7 \sqrt{f'_c}}{\frac{SF}{1,5}} \\
 &= \frac{0,7 \sqrt{25}}{1,5} \\
 &= 2,33 \text{ MPa}
 \end{aligned}$$

$$\begin{aligned}
 Z &= \frac{1}{6} b (h_{\text{pracetak}})^2 \\
 &= \frac{1}{6} 60 (75)^2 \\
 &= 56250 \text{ cm}^3
 \end{aligned}$$

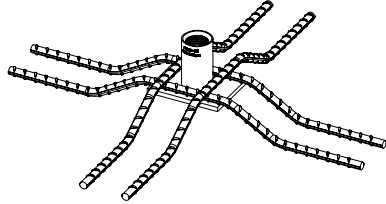
$$\begin{aligned}
 \sigma_{\text{balok}} &= \frac{M_u}{Z} \\
 &= \frac{2309,718 \times 10^4}{56250 \times 10^3} \\
 &= 0,41 \text{ MPa}
 \end{aligned}$$

$$\sigma_{\text{balok}} < \sigma_{\text{ijin}} \text{ (OK)}$$

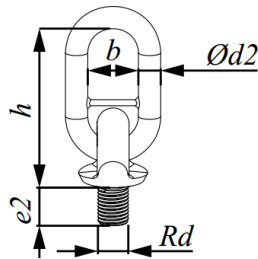
- Pemilihan Profil Tulangan Angkat

Tulangan angkat yang digunakan adalah jenis Jenka Lifting System dari Peikko Group. Tipe yang digunakan adalah Jenka PSA Short Insert dengan kait JL seperti pada Gambar 4.27 dan Gambar 4.28. Disetiap titik angkat, profil ini dapat mengangkat beban sebesar 5 – 125 kN dengan

sudut $0^\circ - 45^\circ$. Untuk BA 1, profil tulangan angkat yang digunakan adalah tipe JRd/JM 52.



Gambar 4.27 Jenka PSA Short Inserts



Gambar 4.28 Kait JL

4.4.2.5. Rekapitulasi Tulangan Balok Induk

Rekapitulasi perencanaan tulangan balok induk akan disajikan dalam Tabel 4.31 berikut.

Tabel 4.31 Rekapitulasi Tulangan Balok Induk

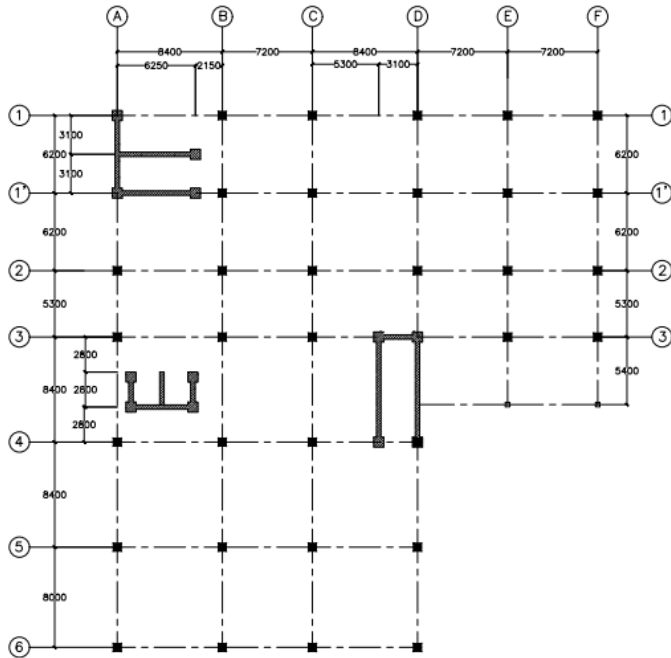
Tipe Balok	BI 1		BI 2		BI 3	
Tulangan	Tumpuan	Lapangan	Tumpuan	Lapangan	Tumpuan	Lapangan
Dimensi	600 mm x 900 mm		600 mm x 900 mm		800 mm x 1200 mm	
Bentang	8.4 m		7.2 m		6.2 m	
Decking	50 mm		50 mm		50 mm	
Atas	7D25	5D25	8D25	5D25	18D25	10D25
Tengah	2D25	2D25	2D25	2D25	6D25	6D25
Bawah	5D25	5D25	6D25	4D25	14D25	12D25
Sengkang	2D13-150 mm	2D13-300 mm	2D13-100 mm	2D13-325 mm	2D13-50 mm	2D13-100 mm
Tu (kN)	89.65		76.18		118.26	
Tipe JRd/M	JRd/JM 52		JRd/JM 52		JRd/JM 52	
Tipe Balok	BI 4		BI 5		BI 6	
Tulangan	Tumpuan	Lapangan	Tumpuan	Lapangan	Tumpuan	Lapangan
Dimensi	800 mm x 1200 mm		800 mm x 1200 mm		800 mm x 1200 mm	
Bentang	5.3 m		5.4 m		8.4 m	
Decking	50 mm		50 mm		50 mm	
Atas	17D25	9D25	9D25	9D25	14D25	12D25
Tengah	5D25	5D25	5D25	5D25	10D25	10D25
Bawah	14D25	11D25	9D25	11D25	13D25	15D25
Sengkang	2D13-50 mm	2D13-100 mm	2D13-75 mm	2D13-350 mm	2D13-50 mm	2D13-250 mm
Tu (kN)	96.71		99.10		170.95	
Tipe JRd/M	JRd/JM 52		JRd/JM 52		JRd/JM 52	
Tipe Balok	BI 7					
Tulangan	Tumpuan	Lapangan				
Dimensi	800 mm x 1200 mm					
Bentang	8 m					
Decking	50 mm					
Atas	10D25	9D25				
Tengah	4D25	4D25				
Bawah	9D25	11D25				
Sengkang	2D13-75 mm	2D13-475 mm				
Tu (kN)	161.37					
Tipe JRd/M	JRd/JM 52					

4.4.3. Perencanaan Kolom

Kolom adalah struktur primer pada suatu gedung yang berfungsi sebagai pemikul seluruh beban struktur seperti struktur sekunder dan balok induk untuk kemudian diteruskan pada pondasi. Pada tugas akhir ini akan direncanakan kolom berdasarkan denah pada Gambar 4.29 yang terbagi menjadi 5 tipe, di antaranya adalah:

- K1 dengan dimensi 95x95 cm dan tinggi 4 meter
- K2 dengan dimensi 100x100 cm dan tinggi 4 meter
- K3 dengan dimensi 105x105 cm dan tinggi 4 meter

- K4 dengan dimensi 110x110 cm dan tinggi 4 meter
- K5 dengan dimensi 110x110 cm dan tinggi 3,2 meter



Gambar 4.29 Denah Kolom

Pada subbab ini akan diberikan contoh perhitungan untuk K5.

4.4.3.1. Data Perencanaan Kolom

Data perencanaan untuk kolom tipe K1 adalah sebagai berikut:

- Dimensi Kolom : 110x110 cm
- f'_c : 40 MPa
- f_y : 420 MPa

- Tinggi Lantai : 3,2 m
- Tulangan Longitudinal : 32 mm
- Tulangan Transversal : 16 mm
- *Clear Cover* : 50 mm

Data lain yang didapatkan dari program bantu ETABS 2016 untuk perhitungan kolom K5 adalah sebagai berikut:

- P_u : 18339,66 kN
- V_{ux} : 614,33 kN
- V_{uy} : 478,90 kN
- M_{ux} : 1708,42 kNm
- M_{uy} : 1267,84 kNm
- T_u : 76,80 kNm

4.4.3.2. Perhitungan Tulangan Kolom

- Kontrol Dimensi Kolom

Berdasarkan SNI 2847:2019 pasal 18.7.2.1, jika komponen struktur SRPMK menahan gaya tekan aksial terfaktor akibat sembarang kombinasi memiliki nilai lebih dari $\frac{A_g f'_c}{10}$, maka elemen struktur ini harus memenuhi 2 syarat yang terdapat pada pasal tersebut.

$$\begin{aligned}
 P_u &\geq \frac{A_g f'_c}{10} \\
 18339,66 \text{ kN} &\geq \frac{1100 \times 1100 \times 40}{10} \\
 18339,66 \text{ kN} &\geq 4940 \text{ kN}
 \end{aligned}$$

Maka, kolom harus memenuhi kedua syarat berikut:

Syarat 1:

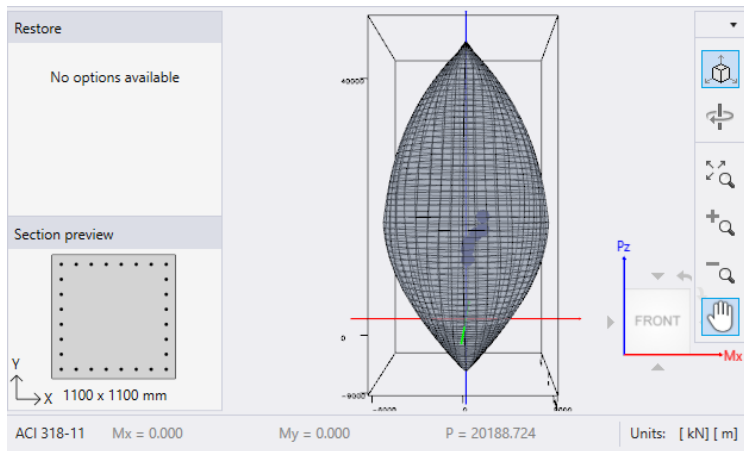
$$\begin{aligned}
 \text{Dimensi penampang terpendek} &\geq 300 \text{ mm} \\
 1100 \text{ mm} &\geq 300 \text{ mm (OK)}
 \end{aligned}$$

Syarat 2:

$$\begin{aligned}
 \text{Rasio dimensi penampang} &\geq 0,4 \\
 \frac{1100}{1100} = 1 &\geq 0,4 \text{ (OK)}
 \end{aligned}$$

- Penulangan Longitudinal Kolom

Perencanaan tulangan longitudinal kolom dilakukan dengan meng-*input* beban-beban aksial dan momen yang terjadi pada kolom akibat setiap kombinasi pada program bantu spColumn beserta dimensi kolom dan desain konfigurasi tulangnya. Kemudian melalui diagram interaksi yang dihasilkan program tersebut dapat dievaluasi apakah desain kolom dapat mengakomodir beban-beban yang terjadi. Diagram interaksi untuk K5 dapat dilihat pada Gambar 4.30 dimana koordinat setiap kombinasi pembebanan berada di dalam area kapasitas kolom, sehingga desain dapat digunakan.



Gambar 4.30 Diagram Interaksi Beban Aksial dan Momen pada K5

Jumlah tulangan yang digunakan untuk K5 adalah 28D32. Kemudian dari program bantu spColumn juga didapatkan pula momen nominal masing-masing pada sumbu x dan y sebagai berikut:

Sumbu x:	Sumbu y:
$\phi M_{nx} \geq M_{ux}$	$\phi M_{ny} \geq M_{uy}$
$0,9(7218,923) \geq 1708,42$	$0,9(7218,923) \geq 1267,84$

$$6497,03 \geq 1708,42 \text{ (OK)} \quad 6497,03 \geq 1267,84 \text{ (OK)}$$

- Kontrol Rasio Tulangan Longitudinal Kolom

Berdasarkan SNI 2847:2019 pasal 18.7.4.1, luas tulangan longitudinal (A_{st}) tidak boleh kurang dari $0,01A_g$ atau lebih dari $0,06A_g$.

$$\begin{aligned} A_{st} &= n \times A_s \\ &= 56 \times 0,25\pi(32)^2 \\ &= 45047,87 \text{ mm}^2 \end{aligned}$$

$$\begin{aligned} A_g &= 1100 \times 1100 \\ &= 1210000 \text{ mm}^2 \end{aligned}$$

$$0,01A_g = 12100 \text{ mm}^2$$

$$0,06A_g = 72600 \text{ mm}^2$$

$$0,01A_g \leq A_{st} \leq 0,06A_g \text{ (OK)}$$

- Integritas Struktur

Berdasarkan SNI 2847:2019 pasal 16.2.4.3, kolom pracetak harus mempunyai kekuatan nominal dalam kondisi tarik sebesar:

$$A_s f_y \geq 1,4A_g$$

$$9.457.953 \text{ N} \geq 1.694.000 \text{ N (OK)}$$

- Kontrol Kapasitas Beban Aksial Kolom Terhadap Beban Aksial Terfaktor

Berdasarkan SNI 2847:2019 pasal 22.4.2.2, kapasitas beban aksial kolom tidak boleh kurang dari beban aksial terfaktor dari hasil analisa struktur

$$P_n \leq P_{n \text{ max}}$$

$$P_u \leq \phi 0,8 P_o$$

$$\phi = 0,65$$

$$P_o = 0,85 f'c (A_g - A_{st}) + f_y A_{st}$$

$$= 49832309,35 \text{ N}$$

$$= 49832,31 \text{ kN}$$

$$P_u \leq 0,65 (0,8) (49832,31)$$

$$18339,66 \text{ kN} \leq 25912,8 \text{ kN (OK)}$$

- Persyaratan *Strong Column Weak Beam*

Sesuai dengan filosofi desain kapasitas, SNI 2847:2019 pasal 18.7.3.2 mensyaratkan bahwa:

$$\Sigma M_{nc} \geq 1,2 \Sigma M_{nb}$$

M_{nc} merupakan nilai momen kapasitas kolom yang didapatkan dari program bantu spColumn, sedangkan M_{nb} merupakan nilai momen kapasitas balok yang telah dihitung pada subbab 4.4.2.3 sesuai dengan tulangan terpasang yang ada pada balok induk.

Pada K5, posisi kritis kolom terjadi ketika kolom menahan BI 2 dan BI 4 di sumbu x. Sedangkan pada sumbu y kolom menahan BI 3 dan BI 4. Persyaratan *strong column weak beam* harus dipenuhi pada kedua sumbu, baik sumbu x dan sumbu y.

1. Sumbu x

$$M_{ncx} = 6497,03 \text{ kNm}$$

$$M_{n \text{ BI } 2} = 1139,89 \text{ kNm}$$

$$M_{n \text{ BI } 4} = 1990,07 \text{ kNm}$$

$$\Sigma M_{nc} \geq 1,2 \Sigma M_{nb}$$

$$2 (6497,03) \geq 1,2 (1139,89 + 1990,07)$$

$$12994,06 \text{ kNm} \geq 3755,95 \text{ kNm (OK)}$$

2. Sumbu y

$$M_{ncy} = 6497,03 \text{ kNm}$$

$$M_{n \text{ BI } 3} = 1965,96 \text{ kNm}$$

$$M_{n \text{ BI } 4} = 1990,07 \text{ kNm}$$

$$\Sigma M_{nc} \geq 1,2 \Sigma M_{nb}$$

$$2 (6497,03) \geq 1,2 (1965,96 + 1990,07)$$

$$12994,06 \text{ kNm} \geq 4745,24 \text{ kNm (OK)}$$

- Kontrol Gaya Tekan Terhadap Gaya Geser Desain

Gaya geser desain (V_e) didapatkan dari program bantu spColumn dengan menggunakan $f_s = 1,25 f_y$.

1. Sumbu x

$$f_s = 525 \text{ MPa}$$

$$\begin{aligned}
 L_u &= 3,2 - 1,2 = 2 \text{ m} \\
 M_{prx} &= 6390,261 \text{ kNm} \\
 V_{ex} &= \frac{2M_{prx}}{L_u} \\
 &= \frac{2(6390,261)}{2} \\
 &= 6390,261 \text{ kN} \\
 V_{ex} &\geq V_{ux} = 614,33 \text{ kN (OK)}
 \end{aligned}$$

2. Sumbu y

$$\begin{aligned}
 f_s &= 525 \text{ MPa} \\
 L_u &= 3,2 - 1,2 = 2 \text{ m} \\
 M_{pry} &= 6390,261 \text{ kNm} \\
 V_{ey} &= \frac{2M_{pry}}{L_u} \\
 &= \frac{2(6390,261)}{2} \\
 &= 6390,261 \text{ kN} \\
 V_{ey} &\geq V_{uy} = 478,90 \text{ kN (OK)}
 \end{aligned}$$

- Tulangan Geser

Berdasarkan SNI 2847:2019 pasal 18.7.5.1, tulangan transversal harus disediakan sepanjang l_0 dari muka *joint* dengan nilai l_0 yang terbesar dari:

$$\begin{aligned}
 l_{o1} &= \text{dimensi kolom} \\
 &= 1100 \text{ mm}
 \end{aligned}$$

$$\begin{aligned}
 l_{o2} &= \frac{1}{6} L_u \\
 &= 333,3 \text{ mm}
 \end{aligned}$$

$$l_{o \text{ pakai}} = 1100 \text{ mm}$$

Kemudian berdasarkan SNI 2847:2019 pasal 18.7.5.3, spasi yang digunakan untuk tulangan geser tidak boleh melebihi dari nilai-nilai berikut ini:

$$\begin{aligned}
 s_{\max 1} &= \frac{1}{4} \text{ dimensi kolom} \\
 &= \frac{1}{4} (1100) \\
 &= 275 \text{ mm}
 \end{aligned}$$

$$s_{\max 2} = 6D_{\text{longitudinal}}$$

$$\begin{aligned}
 &= 6 (32) \\
 &= 132 \text{ mm} \\
 100 &\leq s_{\max 3} \leq 150 \text{ mm} \\
 s_{\text{pakai}} &= 50 \text{ mm}
 \end{aligned}$$

Jumlah minimum untuk tulangan transversal ditentukan berdasarkan SNI 2847:2019 pasal 18.7.5.4 sebagai berikut:

$$\begin{aligned}
 b_{c 1} &= \text{jarak terjauh antar tulangan longitudinal} \\
 &= 1100 - 2(50) - 2(16) - 32 \\
 &= 936 \text{ mm} \\
 b_{c 2} &= b_{c 1} \\
 &= 936 \text{ mm} \\
 A_{ch} &= b_{c 1} \times b_{c 2} \\
 &= 876096 \text{ mm}^2 \\
 0,3A_g f'_c &= 0,3 (1210000) (40) (10^{-3}) \\
 &= 14520 \text{ kN} \\
 0,3A_g f'_c &\leq P_u = 18339,66 \rightarrow \text{memerlukan syarat } A_{sh \text{ min } 3} \\
 k_f &= \frac{f'_c}{175} + 0,6 \geq 1 \\
 &= \frac{40}{175} + 0,6 \geq 1 \\
 &= 0,83 \leq 1 \\
 &= 1 \\
 k_n &= \frac{n_l}{n_l - 2} \\
 &= \frac{56}{56 - 2} \\
 &= 1,04 \\
 A_{sh \text{ min } 1} &= 0,3 \left(\frac{A_g}{A_{ch}} - 1 \right) \frac{f'_c}{f_{yt}} s b_c \\
 &= 509,62 \text{ mm}^2 \\
 A_{sh \text{ min } 2} &= 0,09 \frac{f'_c}{f_{yt}} s b_c \\
 &= 401,14 \text{ mm}^2 \\
 A_{sh \text{ min } 3} &= 0,2 k_f k_n \frac{P_u}{f_{yt} A_{ch}} \\
 &= 0,01 \text{ mm}^2 \\
 A_{sh \text{ min pakai}} &= 509,62 \text{ mm}^2
 \end{aligned}$$

$$\begin{aligned}
 A_{sh \text{ tulangan}} &= 0,25\pi(16)^2 \\
 &= 201,06 \text{ mm}^2 \\
 n_{\min} &= \frac{A_{sh \text{ min}}}{A_{sh \text{ tulangan}}} \\
 &= \frac{509,62}{201,06} \\
 &= 3 \text{ buah} \\
 n_{\text{pakai}} &= 4 \text{ buah} \geq n_{\min} \text{ (OK)}
 \end{aligned}$$

Kontrol Kapasitas Geser Desain Kolom:

Kapasitas geser beton (V_c) dapat diasumsikan sama dengan nol jika kedua syarat berikut terpenuhi:

Syarat 1: $V_u < 0,5V_e$

$$\begin{aligned}
 0,5V_e &= 0,5(6390,261) \\
 &= 3195,13 \text{ kN} \\
 V_u &= 614,33 \text{ kN} \\
 V_u &< 0,5V_e \rightarrow \text{terpenuhi}
 \end{aligned}$$

Syarat 2: $P_u < \frac{A_g f'_c}{20}$

$$\begin{aligned}
 \frac{A_g f'_c}{20} &= \frac{1210000(40)(10^{-3})}{20} \\
 &= 2420 \text{ kN}
 \end{aligned}$$

$$P_u = 18339,66 \text{ kN}$$

$$P_u > \frac{A_g f'_c}{20} \rightarrow \text{tidak terpenuhi}$$

Maka, V_c harus diperhitungkan

$$\begin{aligned}
 V_c &= 0,17 \left(1 + \frac{P_u}{14A_g} \right) \lambda \sqrt{f'_c} b_w d \\
 &= 2507,44 \text{ kN} \\
 V_s &= \frac{A_v f_y d}{s} \\
 &= \frac{4(201,06)(420)(1017,5)}{50} \\
 &= 6877,28 \text{ kN} \\
 V_n &= \phi(V_c + V_s) \\
 &= 0,75 (2507,44 + 6877,28) \\
 &= 7038,54 \text{ kN}
 \end{aligned}$$

$$V_n > V_e = 6390,261 \text{ kN (OK)}$$

∴ Maka, digunakan tulangan geser 4D16–50 mm sepanjang daerah plastis ($l_o = 1100 \text{ mm}$).

Untuk spasi tulangan transversal di luar sendi plastis dipasang berdasarkan SNI 2847:2019 pasal 18.10.7.4, yaitu sebesar:

$$\begin{aligned} S_{\max 1} &= 6D_{\text{longitudinal}} \\ &= 192 \text{ mm} \end{aligned}$$

$$S_{\max 2} = 150 \text{ mm}$$

$$S_{\text{pakai}} = 150 \text{ mm}$$

∴ Maka, digunakan tulangan geser 8=4D16–150 mm di luar daerah plastis.

- Tulangan Torsi

$$T_u = 76,79 \text{ kNm}$$

$$P_u = 18339,66 \text{ kN}$$

$$\begin{aligned} A_{cp} &= 1100 \times 1100 \\ &= 1210000 \text{ mm}^2 \end{aligned}$$

$$\begin{aligned} P_{cp} &= 2(1100 + 1100) \\ &= 4400 \text{ mm} \end{aligned}$$

Berdasarkan SNI 2847:2019 pasal 22.7.4.1, pengaruh torsi dapat diabaikan jika momen terfaktor orsi dapat diabaikan jika momen terfaktor T_u kurang dari persamaan berikut:

$$T_u \leq \phi T_{cr}$$

$$\begin{aligned} T_{cr} &= 0,33\lambda\sqrt{f'_c} \left(\frac{A_{cp}^2}{P_{cp}} \right) \sqrt{1 + \frac{P_u}{0,33A_g\lambda\sqrt{f'_c}}} \\ &= 0,33(1)\sqrt{40} \left(\frac{121 \times 10^4}{4400} \right) \sqrt{1 + \frac{18339,66}{0,33(121 \times 10^4)(1)\sqrt{40}}} \\ &= 697 \text{ kNm} \end{aligned}$$

$$\phi T_{cr} = 0,75 (697)$$

$$= 522,75 \text{ kNm}$$

$$\phi T_{cr} \geq T_u = 76,79 \text{ kNm} \rightarrow \text{torsi tidak perlu diperhitungkan}$$

4.4.3.3. Pengangkatan Kolom

- Perhitungan Tulangan Angkat

$$DL = 9292,8 \text{ kg}$$

$$K = 1,2$$

$$q = 11151,36 \text{ kg}$$

$$T_u = \frac{q}{\cos 45}$$

$$= \frac{11151,36}{\cos 45}$$

$$= 15770,4 \text{ kg}$$

$$T_{u \text{ atas}} = \frac{T_u}{2}$$

$$= \frac{15770,4}{2}$$

$$= 7885,2 \text{ kg}$$

$$= 78,85 \text{ kN}$$

$$T_{u \text{ bawah}} = \frac{T_u}{4}$$

$$= \frac{15770,4}{4}$$

$$= 3942,6 \text{ kg}$$

$$= 39,43 \text{ kN}$$

- Kontrol Tegangan

$$M_{\max 1} = -0,0054 \text{ w l}^2$$

$$= -0,0054 (3484,8) (3,2)^2$$

$$= -192,70 \text{ kgm}$$

$$M_{\max 2} = 0,0034 \text{ w l}^2$$

$$= 0,0034 (3484,8) (3,2)^2$$

$$= 121,33 \text{ kgm}$$

$$P_{u \text{ max}} = 0,96 \text{ w l}$$

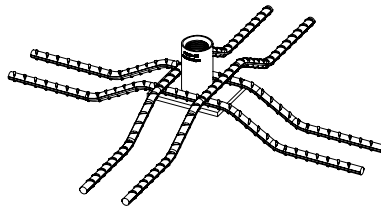
$$= 0,96 (3484,8) (3,2)$$

$$= 107,705 \text{ kg}$$

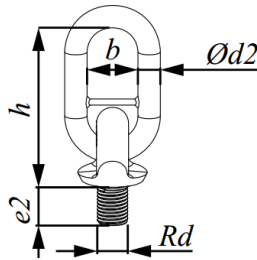
$$\sigma_{ijin} = \frac{0,7 \sqrt{f'_c}}{SF}$$

$$\begin{aligned}
 &= \frac{0,7\sqrt{25}}{1,5} \\
 &= 2,33 \text{ MPa} \\
 \sigma_{\text{kolom}} &= \frac{M_u}{Z} \\
 &= \frac{192,70}{\frac{1}{6}(1,1)(3,2)^2} \\
 &= 0,103 \text{ MPa} \\
 \sigma_{\text{kolom}} &< \sigma_{\text{ijin}} \text{ (OK)}
 \end{aligned}$$

Tulangan angkat yang digunakan adalah jenis Jenka Lifting System dari Peikko Group. Tipe yang digunakan adalah Jenka PSA Short Insert dengan kait JL seperti pada Gambar 4.31 dan Gambar 4.32. Di setiap titik angkat, profil ini dapat mengangkat beban sebesar 5 – 125 kN dengan sudut 0° - 45°. Untuk K5, profil tulangan angkat yang digunakan adalah tipe JRd/JM 42 untuk bagian atas dan JRd/JM 30 untuk bagian bawah.



Gambar 4.31 Jenka PSA Short Inserts



Gambar 4.32 Kait JL

4.4.3.4. Rekapitulasi Tulangan Kolom

Rekapitulasi perencanaan tulangan kolom akan disajikan dalam Tabel 4.32 berikut.

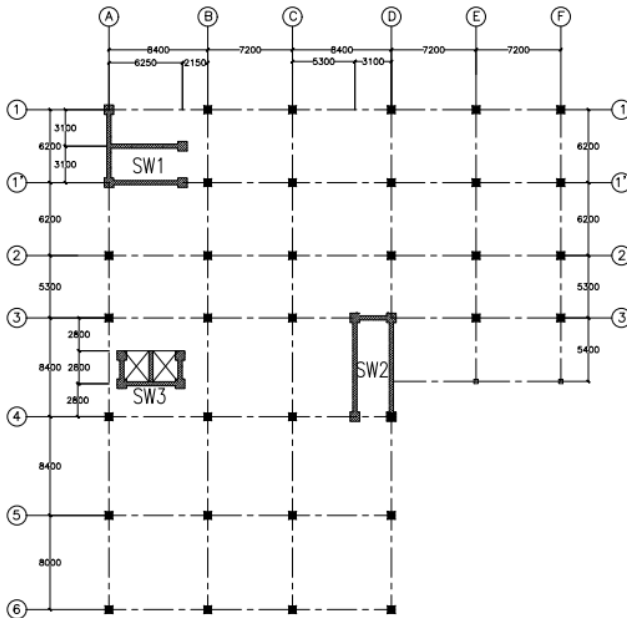
Tabel 4.32 Rekapitulasi Tulangan Kolom

Tipe	K1		K2	
	Tumpuan	Lapangan	Tumpuan	Lapangan
Penampang	95x95 cm		100x100 cm	
Tulangan	28 D32		28 D32	
Senggang	4D16-75mm	4D16-150mm	4D16-75mm	4D16-150mm
Tu (kN)	73.52		81.46	
	36.76		40.73	
Tipe JL	JRd/JM 42		JRd/JM 52	
	JRd/JM 30		JRd/JM 36	
Tipe	K3		K4	
	Tumpuan	Lapangan	Tumpuan	Lapangan
Penampang	105x105 cm		110x110 cm	
Tulangan	28 D32		28 D32	
Senggang	4D16-75mm	4D16-150mm	4D16-75mm	4D16-150mm
Tu (kN)	89.81		98.57	
Tipe JL	JRd/JM 52		JRd/JM 52	
	JRd/JM 36		JRd/JM 36	

Tipe	K5	
Kondisi	Tumpuan	Lapangan
Penampang	110x110 cm	
Tulangan	28 D32	
Sengkang	4D16-50mm	4D16-150mm
Tu (kN)	78.85	
	39.43	
Tipe JL	JRd/JM 42	
	JRd/JM 30	

4.4.4. Perencanaan Dinding Geser (*Shear Wall*)

Pada tugas akhir ini, terdapat 3 jenis dinding geser dengan bentuk dan dimensi yang berbeda-beda. Dalam perencanaannya, satu dinding geser ditinjau dalam dua sumbu, yaitu sumbu x dan sumbu y. Denah dan bentuk dari masing-masing dinding geser dalam tugas akhir ini dijelaskan pada Gambar 4.33. Pada subbab ini akan dicontohkan perhitungan dinding geser SW1 dengan bentuk yang diilustrasikan pada Gambar 4.34.



Gambar 4.33 Denah Dinding Geser

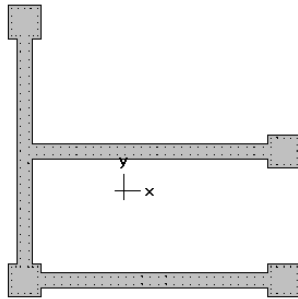
4.4.4.1. Data Perencanaan Dinding Geser

Data perencanaan untuk dinding geser SW1 adalah sebagai berikut:

- Tebal Dinding : 35 cm
- Lebar Dinding : 625 cm
- Panjang Dinding : 620 cm
- Tinggi Dinding : 4 m
- f'_c : 45 MPa
- f_y : 420 MPa
- $D_{longitudinal}$: 32 mm
- $D_{transversal}$: 16 mm
- *Clear Cover* : 50 mm
- d : 268 mm

Data lain yang didapatkan dari program bantu ETABS 2016 untuk perhitungan dinding geser SW1 adalah sebagai berikut:

- P_u : 49596,1 kN
- V_{ux} : 12647,4 kN
- V_{uy} : 6745,17 kN
- M_{ux} : 98332,14 kNm
- M_{uy} : 62197,1 kNm



Gambar 4.34 Dinding Geser SW1

4.4.4.2. Perhitungan Tulangan Dinding Geser

- Kontrol Dimensi Penampang Terhadap Gaya Geser
Berdasarkan SNI 2847:2019 pasal 18.10.4.4, nilai V_n tidak boleh diambil lebih besar dari $0,83A_{cw}\sqrt{f'_c}$.

Kontrol Arah X:

$$\begin{aligned}
 A_{cw} &= 350(6250)(2) \\
 &= 4375000 \text{ mm}^2 \\
 V_{nx \text{ max}} &= 0,83A_{cw}\sqrt{f'_c} \\
 &= 0,83(4375000)\sqrt{45} \\
 &= 24359,166 \text{ kN} \\
 V_{nx} &= \frac{V_{ux}}{\phi} \\
 &= \frac{12647,4}{0,75} \\
 &= 16863,25 \text{ kN}
 \end{aligned}$$

$$V_{nx} < V_{nx \text{ max}} \text{ (OK)}$$

Kontrol Arah Y:

$$A_{cwy} = 350(6200) \\ = 2170000 \text{ mm}^2$$

$$V_{ny \text{ max}} = 0,83A_{cwy}\sqrt{f'_c} \\ = 0,83(2170000)\sqrt{45} \\ = 12082,15 \text{ kN}$$

$$V_{ny} = \frac{V_{uy}}{\phi} \\ = \frac{6745,17}{0,75} \\ = 8993,55 \text{ kN}$$

$$V_{ny} < V_{ny \text{ max}} \text{ (OK)}$$

- Jumlah Lapis Tulangan

Berdasarkan SNI 2847:2019 pasal 18.10.2.2 dan pasal 11.7.2.3, pada sebuah dinding paling sedikit digunakan 2 lapis tulangan jika memenuhi kedua syarat berikut:

1. $V_u > 0,17A_{cv}\sqrt{f'_c}$

Kontrol Arah X:

$$A_{cvx} = 4375000$$

$$V_{ux} > 0,17A_{cv}\sqrt{f'_c}$$

$$12647,4 \text{ kN} > 0,17(4375000)\sqrt{45}$$

$$12647,4 \text{ kN} > 4989,23 \text{ kN} \rightarrow 2 \text{ lapis tulangan}$$

Kontrol Arah Y:

$$A_{cwy} = 2170000$$

$$V_{uy} > 0,17A_{cv}\sqrt{f'_c}$$

$$6745,17 \text{ kN} > 0,17(2170000)\sqrt{45}$$

$$6745,17 \text{ kN} > 45,18 \text{ kN} \rightarrow 2 \text{ lapis tulangan}$$

2. $h > 250 \text{ mm}$

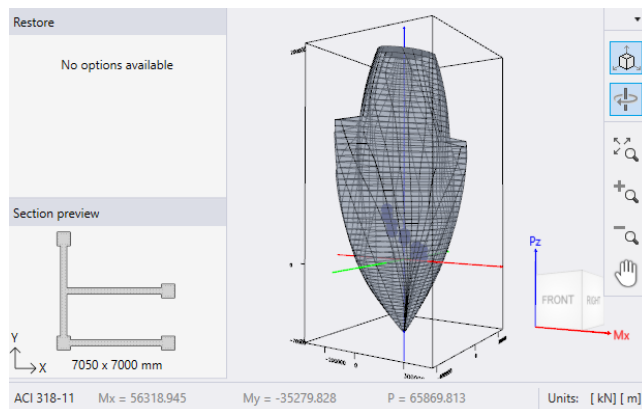
$$h = 350 \text{ mm}$$

$$h > 250 \text{ mm} \rightarrow 2 \text{ lapis tulangan}$$

Karena kedua syarat tersebut terpenuhi, maka SW1 direncanakan menggunakan 2 lapis tulangan.

- Tulangan Longitudinal

Perencanaan tulangan longitudinal dinding geser dilakukan seperti perencanaan tulangan longitudinal pada kolom. Beban-beban aksial dan momen yang terjadi pada dinding geser akibat setiap kombinasi di-*input* pada program bantu spColumn beserta dimensi dinding geser dan desain konfigurasi tulangannya. Kemudian melalui diagram interaksi yang dihasilkan program tersebut dapat dievaluasi apakah desain tersebut dapat mengakomodir beban-beban yang terjadi. Diagram interaksi untuk SW1 dapat dilihat pada Gambar 4.35 dimana koordinat setiap kombinasi pembebanan berada di dalam area kapasitas dinding geser, sehingga desain dapat digunakan.



Gambar 4.35 Diagram Interaksi Beban Aksial dan Momen pada SW1

Tulangan longitudinal yang digunakan untuk SW1 baik pada arah x maupun arah y adalah D32–200mm. Kemudian dari program bantu spColumn juga didapatkan pula momen nominal masing-masing pada sumbu x dan y sebagai berikut:

Kontrol Arah X:

$$\begin{aligned}\phi M_{nx} &\geq M_{ux} \\ 0,9(227266,73) &\geq 98332,14 \text{ kN} \\ 170450,05 \text{ kN} &\geq 98332,14 \text{ kN (OK)}\end{aligned}$$

Kontrol Arah Y:

$$\begin{aligned}\phi M_{ny} &\geq M_{uy} \\ 0,9(285195,59) &\geq 62197,1 \text{ kN} \\ 213896,69 \text{ kN} &\geq 62197,1 \text{ kN (OK)}\end{aligned}$$

- Tulangan Geser

Berdasarkan SNI 2847:2019 pasal 18.10.4.1, kuat geser pada *shear wall* harus memenuhi persamaan:

$$V_u < \phi A_{cv} (\alpha_c \lambda \sqrt{f'_c} + \rho_t f_y)$$

Tulangan Geser Arah X:

$$\begin{aligned}\frac{h_w}{l_w} &= \frac{3850}{625} \\ &= 0,62\end{aligned}$$

$$\frac{h_w}{l_w} < 1,5$$

$$\alpha_c = 0,25$$

$$D_{\text{senggang}} = 16 \text{ mm}$$

$$\begin{aligned}A_v &= 2\pi(16^2) \\ &= 402,124 \text{ mm}^2\end{aligned}$$

$$s = 250 \text{ mm}$$

$$\begin{aligned}\rho_t &= \frac{A_v}{sd} \\ &= \frac{402,124}{250(268)} \\ &= 0,006\end{aligned}$$

$$\rho_{t \text{ min}} = 0,0025$$

$$\rho_{t \text{ pakai}} = 0,006$$

$$\begin{aligned}V_{ux} &< \phi A_{cv} (\alpha_c \lambda \sqrt{f'_c} + \rho_t f_y) \\ &< 0,75(4375000)(0,17(1) \sqrt{45} + 0,006 \times 420)\end{aligned}$$

$$12647,4 \text{ kN} < 13774,12 \text{ kN (OK)}$$

Tulangan Geser Arah Y:

$$\begin{aligned} \frac{h_w}{l_w} &= \frac{3850}{620} \\ &= 0.62 \\ \frac{h_w}{l_w} &< 1.5 \\ \alpha_c &= 0.25 \\ D_{\text{senggang}} &= 16 \text{ mm} \\ A_v &= 2\pi(16^2) \\ &= 402,124 \text{ mm}^2 \\ s &= 250 \text{ mm} \\ \rho_t &= \frac{A_v}{sd} \\ &= \frac{402,124}{250(268)} \\ &= 0,006 \\ \rho_{t \text{ min}} &= 0,0025 \\ \rho_{t \text{ pakai}} &= 0,006 \\ V_{ux} &< \phi A_{cv} (\alpha_c \lambda \sqrt{f'_c} + \rho_t f_y) \\ &< 0,75(2170000)(0,17(1) \sqrt{45} + 0,006 \times 420) \\ 6745,17 \text{ kN} &< 6831,96 \text{ kN (OK)} \end{aligned}$$

Sehingga, digunakan tulangan transversal 2D16–250 mm untuk dinding geser bagian arah x maupun arah y.

- **Kontrol Spasi Tulangan**

Kontrol spasi pada tulangan longitudinal maupun transversal harus tidak boleh melebihi syarat-syarat pada pasal berikut:

4.1. SNI 2847:2019 pasal 18.10.2.1

$$S_{\text{transversal}} = 250 \text{ mm} < 450 \text{ mm (OK)}$$

$$S_{\text{longitudinal}} = 200 \text{ mm} < 450 \text{ mm (OK)}$$

4.2. SNI 2847:2019 pasal 11.7.3.1

$$\begin{aligned} S_t \text{ horizontal} &< 3h \\ &< 3(350) \\ &< 1050 \text{ mm} \end{aligned}$$

$$S_t \text{ horizontal} < 450 \text{ mm}$$

$$\begin{aligned}
 \text{St horizontal} &< \frac{l_w}{5} \\
 &< \frac{6250}{5} \\
 &< 1250 \text{ mm} \\
 \text{St horizontal} &= 200 \text{ mm (OK)} \\
 \text{4.3. SNI 2847:2019 pasal 11.7.2.1} \\
 \text{St vertikal} &< 3h \\
 &< 3(350) \\
 &< 1050 \text{ mm} \\
 \text{St vertikal} &< 450 \text{ mm} \\
 \text{St vertikal} &< \frac{l_w}{5} \\
 &< \frac{6200}{5} \\
 &< 1240 \text{ mm} \\
 \text{St vertikal} &= 200 \text{ mm (OK)}
 \end{aligned}$$

- Kontrol Komponen Batas

Komponen batas berdasarkan pendekatan perpindahan akan diperlukan dalam perencanaan dinding geser apabila kedua syarat berdasarkan SNI 2847:2019 pasal 18.10.6.2 dan 18.10.6.3 berikut terpenuhi:

Arah X:

$$\delta_u = 29,15 \text{ mm}$$

$$\begin{aligned}
 \frac{\delta_u}{h_w} &= \frac{29,15}{3850} \\
 &= 0,008
 \end{aligned}$$

$$\frac{\delta_u}{h_w}^{\text{min}} = 0,005$$

$$\frac{\delta_u}{h_w}^{\text{pakai}} = 0,008$$

$$c_x = \frac{l_w}{600 \left(\frac{1,5 \delta_u}{h_w} \right)}$$

$$\begin{aligned}
 c_x &= \frac{6250}{600(1,5 \times 0,008)} \\
 &= 917,2 \text{ mm}
 \end{aligned}$$

$$c_x \text{ spCol.} = 4648 \text{ mm} \geq c_x \rightarrow \text{syarat 1 terpenuhi}$$

$$\begin{aligned}
 0,2 f'_c &= 9 \text{ MPa} \\
 \frac{M_{ux}}{W} + \frac{P_u}{A_c} &= \frac{98332,14 \times 10^6}{10992451613} + \frac{49596,1 \times 10^3}{437500000} \\
 &= 9,06 > 0,2 f'_c \rightarrow \text{syarat 2 terpenuhi}
 \end{aligned}$$

Arah Y:

$$\begin{aligned}
 \delta_u &= 22,46 \text{ mm} \\
 \frac{\delta_u}{h_w} &= \frac{22,46}{3850} \\
 &= 0,006
 \end{aligned}$$

$$\frac{\delta_u}{h_w}_{\text{min}} = 0,005$$

$$\frac{\delta_u}{h_w}_{\text{pakai}} = 0,006$$

$$c_y = \frac{l_w}{600 \left(\frac{1,5 \delta_u}{h_w} \right)} = \frac{l_w}{6200}$$

$$\begin{aligned}
 c_y &= \frac{l_w}{600(1,5 \times 0,006)} \\
 &= 1190,4 \text{ mm}
 \end{aligned}$$

$$c_{y \text{ spCol.}} = 1682 \text{ mm} \geq c_y \rightarrow \text{syarat 1 terpenuhi}$$

$$0,2 f'_c = 9 \text{ MPa}$$

$$\begin{aligned}
 \frac{M_{uy}}{W} + \frac{P_u}{A_c} &= \frac{62197,1 \times 10^6}{15739840000} + \frac{49596,1 \times 10^3}{217000000} \\
 &= 4,18 < 0,2 f'_c \rightarrow \text{syarat 2 tidak terpenuhi}
 \end{aligned}$$

Sehingga dapat disimpulkan bahwa diperlukan elemen batas baik pada arah x maupun arah y. Elemen batas direncanakan sesuai dengan perhitungan berikut:

Arah X:

$$\begin{aligned}
 c - 0,1 l_w &= 4648 - 0,1(6250) \\
 &= 4012 \text{ mm}
 \end{aligned}$$

$$\begin{aligned}
 \frac{c}{2} &= \frac{4648}{2} \\
 &= 2324 \text{ mm}
 \end{aligned}$$

$$c_{\text{pakai}} = 4100 \text{ mm}$$

$$\begin{aligned}
 b_{\text{cx}} &= \text{jarak pembatas} - \text{cover} \\
 &= 4100 - 50 \\
 &= 4050 \text{ mm}
 \end{aligned}$$

$$\begin{aligned}
b_{cy} &= h_w - 2 \text{ clear cover} \\
&= 350 - 2 \times 50 \\
&= 250 \text{ mm} \\
A_{ch} &= b_{cx} \times b_{cy} \\
&= 4050 \times 250 \\
&= 1012500 \text{ mm}^2 \\
A_g &= 1435000 \text{ mm}^2 \\
A_{sh}/b_{c1} &= 0,3 \left(\frac{A_g}{A_{ch}} - 1 \right) \frac{f'_c}{f_{yt}} \\
&= 0,3 \left(\frac{1435000}{1012500} - 1 \right) \frac{45}{420} \\
&= 0,013 \\
A_{sh}/b_{c2} &= 0,09 \frac{f'_c}{f_{yt}} \\
&= 0,09 \frac{45}{420} \\
&= 0,010 \\
A_{sh}/b_c &= 0,013 \\
D_{tulangan} &= 16 \text{ mm} \\
n_x &= 4 \\
A_{shx} &= 4(0,25) \pi(16^2) \\
&= 804,25 \text{ mm}^2 \\
s_x &= \frac{A_{sh}}{0,013 \times b_{cx}} \\
&= 75 \text{ mm} \\
n_y &= 7 \\
A_{shy} &= 7(0,25) \pi(16^2) \\
&= 1407,43 \text{ mm}^2 \\
s_y &= \frac{A_{sh}}{0,013 \times b_{cy}} \\
&= 350 \text{ mm} \\
\text{Arah y:} \\
c - 0,1 l_w &= 1682 - 0,1(6200) \\
&= 1062 \text{ mm} \\
\frac{c}{2} &= \frac{1682}{2} \\
&= 841 \text{ mm}
\end{aligned}$$

$$\begin{aligned}
c_{\text{pakai}} &= 1100 \text{ mm} \\
b_{cx} &= h_w - 2 \text{ clear cover} \\
&= 350 - 2 \times 50 \\
&= 250 \text{ mm} \\
b_{cy} &= \text{jarak pembatas} - \text{cover} \\
&= 1100 - 50 \\
&= 1050 \text{ mm} \\
A_{ch} &= b_{cx} \times b_{cy} \\
&= 250 \times 1050 \\
&= 262500 \text{ mm}^2 \\
A_g &= 385000 \text{ mm}^2 \\
A_{sh}/b_{c1} &= 0,3 \left(\frac{A_g}{A_{ch}} - 1 \right) \frac{f'_c}{f_{yt}} \\
&= 0,3 \left(\frac{385000}{262500} - 1 \right) \frac{45}{420} \\
&= 0,015 \\
A_{sh}/b_{c2} &= 0,09 \frac{f'_c}{f_{yt}} \\
&= 0,09 \frac{45}{420} \\
&= 0,010 \\
A_{sh}/b_c &= 0,015 \\
D_{\text{tulangan}} &= 16 \text{ mm} \\
n_x &= 4 \\
A_{shx} &= 4(0,25) \pi(16^2) \\
&= 804,25 \text{ mm}^2 \\
S_x &= \frac{A_{sh}}{0,015 \times b_{cx}} \\
&= 200 \text{ mm} \\
n_y &= 4 \\
A_{shy} &= 4(0,25) \pi(16^2) \\
&= 804,25 \text{ mm}^2 \\
S_y &= \frac{A_{sh}}{0,015 \times b_{cy}} \\
&= 50 \text{ mm}
\end{aligned}$$

4.4.4.3. Rekapitulasi Tulangan Dinding Geser

Rekapitulasi perencanaan tulangan dinding geser akan disajikan dalam Tabel 4.33 dan Tabel 4.34 berikut.

Tabel 4.33 Rekapitulasi Penulangan Dinding Geser

Tipe Dinding Geser	SW 1		SW 2		SW 3	
	Arah X	Arah Y	Arah X	Arah Y	Arah X	Arah Y
Longitudinal	D32-200mm	D32-200mm	D32-200mm	D32-200mm	D32-100mm	D32-100mm
Transversal	2D16-250mm	2D16-250mm	2D16-75mm	2D16-75mm	2D16-100mm	2D16-100mm

Tabel 4.34 Rekapitulasi Perencanaan Daerah Komponen Batas Dinding Geser

Komponen Batas	SW 1		SW 2		SW 3	
	Arah X	Arah Y	Arah X	Arah Y	Arah X	Arah Y
c (mm)	4100	1100	900	Tanpa	300	Tanpa
Tul. x	4D16-75mm	4D16-200mm	4D16-50mm	Komponen Batas	5D16-150mm	Komponen Batas
Trans y	7D16-350mm	4D16-50mm	2D16-100mm		2D16-75mm	

4.5. Perencanaan Sambungan

4.5.1. Umum

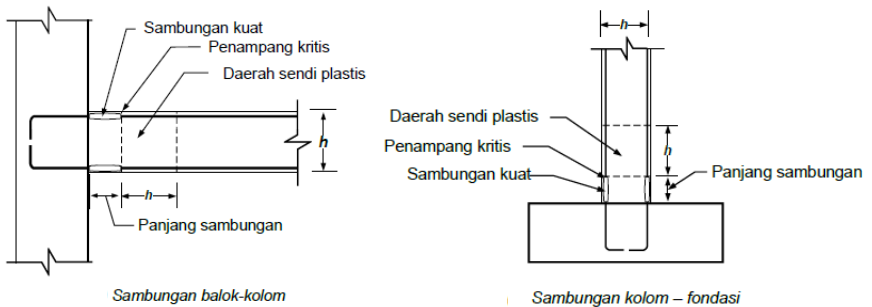
Perencanaan sambungan merupakan salah satu bagian penting dalam perencanaan konstruksi pracetak karena sambungan berfungsi sebagai penyalur gaya-gaya yang dipikul oleh satu elemen struktur ke elemen struktur yang lainnya seperti pelat, balok, kolom, dan pondasi. Selain itu, desain sambungan juga direncanakan agar struktur gedung secara keseluruhan menjadi stabil.

Pada tugas akhir ini, gedung direncanakan menggunakan sambungan mekanis untuk menyambung antar tulangannya. Pada daerah *joint*, diberikan tulangan yang dihitung berdasarkan panjang penyaluran. Selain itu juga dilakukan perhitungan geser friksi yaitu geser pada beton yang berbeda umurnya antara beton pracetak dengan beton *topping*. Dalam pelaksanaan biasanya digunakan *shear connector* yang berfungsi untuk menahan gaya geser.

Sambungan antar elemen beton pracetak harus direncanakan agar mempunyai kekuatan, kekakuan, serta dapat

mengakomodir kebutuhan daktilitas sesuai dengan peraturan yang berlaku. Baik sambungan cor *in-situ* maupun sambungan *grouting* sudah banyak dipergunakan untuk alternatif pemecahan masalah dalam mendesain konstruksi pracetak yang setara dengan konstruksi cor *in-situ*.

Perencanaan sambungan yang digunakan pada tugas akhir ini mengacu pada peraturan detail sambungan yang disyaratkan pada SNI 2847:2019 pasal 18.9 yang diilustrasikan pada Gambar 4.36 berikut.



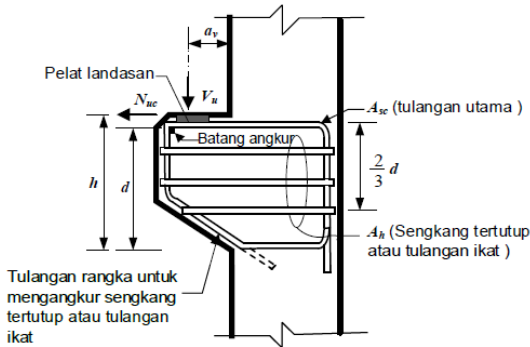
Gambar 4.36 Detail Sambungan

Pada tugas akhir ini, sambungan antar balok dan sambungan balok – kolom direncanakan menggunakan produk dari Peikko Group sedangkan untuk sambungan antar kolom menggunakan produk dari NMB Splice Sleeve. Untuk menahan beban balok dan gaya geser friksi akan digunakan konsol pendek baik pada kolom maupun balok induk.

4.5.2. Perencanaan Konsol pada Elemen Pracetak

Untuk sambungan antara balok induk dengan kolom maupun balok induk dengan balok anak, direncanakan menggunakan konsol pendek. Balok induk akan diletakkan pada konsol yang berada di kolom yang kemudian dirangkai menjadi satu kesatuan. Hal tersebut juga berlaku pada sambungan antara balok induk dan balok anak dimana konsol

pendek berada pada balok induk. Perencanaan konsol pendek mengacu pada SNI 2847:2019 pasal 16.5. Bentuk dari konsol pendek yang akan direncanakan akan diilustrasikan pada Gambar 4.37.



Gambar 4.37 Detail Konsol Pendek

4.5.2.1. Data Perencanaan

Data perencanaan konsol pendek pada kolom yang akan menahan balok induk berdimensi 60/90 adalah sebagai berikut:

- f'_c : 45 MPa
- f_y : 420 MPa
- Tul. Longitudinal : 16 mm
- Tul. Transversal : 13 mm
- *Clear cover* : 50 mm
- b : 600 mm
- h : 300 mm
- d : $h - \text{clear cover} - 0,5D$
: 242 mm
- a_v : 150 mm

Data-data lain yang diperlukan dalam perhitungan tulangan konsol pendek adalah:

- V_u : 399,36 kN
- N_u : 78,87 kN

4.5.2.2. Perhitungan Tulangan Konsol Pendek

- Luas Pelat Landasan

$$V_u = \phi 0,85 f'_c A_1$$

$$\begin{aligned} A_1 &= \frac{V_u}{\phi 0,85 f'_c} \\ &= \frac{399,36 \times 10^3}{0,75(0,85)(45)} \\ &= 13921,19 \text{ mm}^2 \end{aligned}$$

∴ Maka, digunakan pelat landasan dengan ukuran 600x175 dan tebal 15 mm.

- Luas Tulangan Geser Friksi

Berdasarkan SNI 2847:2019 pasal 16.5.2.4, untuk beton normal, kuat geser (V_n) tidak boleh diambil melebihi nilai-nilai berikut:

1. $V_{n \max 1} \leq 0,2 f'_c b d$
 $\leq 0,2 \times 45 \times 600 \times 242$
 $\leq 1306,8 \text{ kN}$
2. $V_{n \max 2} \leq (3,3 + 0,08 f'_c) b d$
 $\leq (3,3 + 0,08 \times 45) 600 \times 242$
 $\leq 1001,9 \text{ kN}$
3. $V_{n \max 3} \leq 11 b d$
 $\leq 11 \times 600 \times 300$
 $\leq 1597,2 \text{ kN}$

Cek V_n :

$$\begin{aligned} V_n &= \frac{V_u}{\phi} \\ &= \frac{399,36}{0,75} \\ &= 532,49 \text{ kN} \leq V_{n \max} \text{ (OK)} \end{aligned}$$

- Luas Tulangan Lentur

Perhitungan penulangan lentur didasarkan pada SNI 2847:2019 pasal 16.3.5.2.

$$M_u = V_u \times a_v + N_u (h - d)$$

$$\begin{aligned}
 &= 399,36(10^3)(150) + 78,87(10^3)(300 - 242) \\
 &= 64,65 \times 10^6 \text{ Nmm} \\
 &= 64,65 \text{ kNm} \\
 A_f &= \frac{M_u}{\phi f_y j d} \\
 &= \frac{64,65 \times 10^6}{0,75(420)(0,85)(242)} \\
 &= 996,01 \text{ mm}^2 \\
 A_n &= \frac{N_u}{\phi f_y} \\
 &= \frac{78,87 \times 10^3}{0,75(420)} \\
 &= 253,56 \text{ mm}^2 \\
 A_{vf} &= \frac{V_n}{f_y \times \mu} \\
 &= \frac{532,49 \times 10^3}{420 \times 1,4} \\
 &= 905,59 \text{ mm}^2
 \end{aligned}$$

- Pemilihan Tulangan

$$\begin{aligned}
 A_{sc1} &= A_f + A_n \\
 &= 996,01 + 253,56 \\
 &= 1249,58 \text{ mm}^2 \\
 A_{sc2} &= \frac{2}{3} A_{vf} + A_n \\
 &= \frac{2}{3} 905,59 + 253,56 \\
 &= 857,29 \\
 A_{sc3} &= 0,04 \frac{f'_c}{f_y} b d \\
 &= 0,04 \frac{45}{420} 600 (242) \\
 &= 622,29 \text{ mm}^2 \\
 A_{sc \text{ pakai}} &= 1249,58 \text{ mm}^2 \\
 n &= \frac{A_{sc \text{ pakai}}}{0,25\pi 16^2} \\
 &= \frac{1249,58}{201,06} \\
 &= 7 \text{ buah}
 \end{aligned}$$

$$\begin{aligned}
 A_h &= 0,5(A_{sc} - A_n) \\
 &= 0,5(1249,58 - 253,56) \\
 &= 498,01 \text{ mm}^2 \\
 n &= \frac{A_h}{\frac{0,25\pi 13^2}{498,01}} \\
 &= \frac{498,01}{132,73} \\
 &= 4 \text{ buah}
 \end{aligned}$$

Tulangan dipasang sepanjang $\frac{2}{3}d = 161,3 \text{ mm}$.

4.5.2.3. Rekapitulasi Perencanaan Konsol Pendek

Pada subbab di atas telah dilakukan perencanaan konsol pendek pada kolom yang akan menahan balok induk. Selain itu, konsol pendek juga diperlukan pada balok induk yang akan menahan balok anak. Perhitungan konsol pendek pada balok induk dilakukan dengan cara yang sama seperti konsol pendek pada kolom. Rekapitulasi perencanaan konsol pendek akan disajikan pada Tabel 4.35 berikut.

Tabel 4.35 Rekapitulasi Perencanaan Konsol Pendek

Sambungan	Vu (kN)	Nu (kN)	Dimensi (mm)		Asc (mm ²)	n	Ah (mm ²)	n
			b	h				
K - BI 60/90	399	80	600	300	1250	7	498	4
K - BI 80/120	356	71	800	400	1173	6	473	4
BI - BA 35/60	127	25	350	250	480	3	200	2
BI - BA 40/65	232	46	400	250	876	5	364	3
SW - Tangga	37	8	3100	200	658	5	236	3

4.5.3. Perencanaan Sambungan Balok – Kolom

Balok dengan kolom disambungkan dengan memanfaatkan panjang penyaluran pada tulangan balok.

Tulangan balok akan diteruskan atau dikaitkan ke dalam kolom. Pada sambungan balok – kolom terdapat 2 tipe sambungan, yaitu *single-sided connection* dan *double-sided connection*.

Perencanaan sambungan balok – kolom pada tugas akhir ini menggunakan produk dari Peikko Group yaitu Modix Rebar Coupler. Sambungan Modix Rebar Coupler tersebut didesain untuk sambungan elemen pracetak yang tahan terhadap gaya tarik maupun tekan. Namun karena baik tulangan atas maupun tulangan bawah pada balok dapat menerima tarik maupun tekan sesuai dengan kombinasi beban yang terjadi, maka seluruh tulangan diasumsikan mengalami kondisi tarik dimana kebutuhan panjang penyaluran akan lebih besar.

Kekuatan leleh pada Modix Rebar Coupler adalah sebesar 550 MPa dimana kuat leleh tersebut lebih besar dari kekuatan leleh pada baja tulangan yang sebesar 420 MPa sehingga sambungan tersebut dapat digunakan.

4.5.3.1. Data Perencanaan

Data perencanaan untuk sambungan antara balok dengan kolom adalah sebagai berikut:

- f'_c = 35 MPa
- f_y = 420 MPa
- $d_{b\text{ B11}}$ = 25 mm
- $d_{b\text{ B16}}$ = 25 mm

4.5.3.2. Perhitungan *Single-Sided Connection*

Pada subbab ini akan dicontohkan perhitungan sambungan *single-sided connection* antara B11 dengan K1. Panjang penyaluran dihitung berdasarkan SNI 2847:2019 pasal 25.3.4.1.

$$\begin{aligned}
 l_{dh1} &= \frac{0,24f_y\psi_e\psi_c\psi_r}{\lambda\sqrt{f'_c}} d_b \\
 &= \frac{0,24(420)}{\sqrt{35}} (25)
 \end{aligned}$$

$$\begin{aligned}
 &= 425,96 \text{ mm} \\
 l_{dh2} &= 8d_b \\
 &= 8(25) \\
 &= 200 \text{ mm} \\
 l_{dh3} &= 150 \text{ mm} \\
 l_{dh \text{ pakai}} &= 450 \text{ mm}
 \end{aligned}$$

Maka digunakan l_{dh} sebesar 450 mm dengan kait minimum panjang penyaluran yang masuk ke dalam kolom dengan panjang kait standar 90° sebesar $12d_b$ atau sama dengan 300 mm.

Sambungan pada tulangan antara BI1 dengan K1 untuk *single-sided connection* menggunakan Modix Coupler dengan tipe SM25A-P12-750(450)-PM25-SM25B-P-2100.

4.5.3.3. Perhitungan *Double-Sided Connection*

Pada subbab ini akan dicontohkan perhitungan sambungan *double-sided connection* antara BI6 – K1 – BI6. Panjang penyaluran dihitung berdasarkan SNI 2847:2019 pasal 25.3.4.1.

$$\begin{aligned}
 l_{dh1} &= \frac{0,24f_y\psi_e\psi_c\psi_r}{\lambda\sqrt{f'_c}} d_b \\
 &= \frac{0,24(420)}{\sqrt{35}} (25) \\
 &= 425,96 \text{ mm} \\
 l_{dh2} &= 8d_b \\
 &= 8(25) \\
 &= 200 \text{ mm} \\
 l_{dh3} &= 150 \text{ mm} \\
 l_{dh \text{ pakai}} &= 450 \text{ mm}
 \end{aligned}$$

Maka digunakan l_{dh} sebesar 450 mm dengan kait minimum panjang penyaluran yang masuk ke dalam kolom dengan panjang kait standar 90° sebesar $12d_b$ atau sama dengan 300 mm.

Sambungan pada tulangan antara BI6 dengan K1 untuk *double-sided connection* menggunakan Modix Coupler dengan tipe SM25B-P-2100-PM25-SM25A-D-950-PM25-SM25B-P-2100.

4.5.3.4. Rekapitulasi Sambungan Balok – Kolom

Rekapitulasi perencanaan sambungan antara balok dengan kolom akan disajikan pada Tabel 4.36 untuk *single-sided connection* dan Tabel 4.37 untuk *double-sided connection*.

Tabel 4.36 Rekapitulasi *Single-Sided Connection* Balok – Kolom

Tipe Kolom	Tipe Sambungan	Sambungan
K1, K2, K3, K4, K5	BI 1	SM25A-P12-750(450)-PM25-SM25B-P-2100
	BI 2	SM25B-P-1800-PM25-SM25A-P12-750(450)
	BI 3	SM25B-P-1550-PM25-SM25A-P12-750(450)
	BI 7	SM25A-P12-750(450)-PM25-SM25B-P-2000

Tabel 4.37 Rekapitulasi *Double-Sided Connection* Balok – Kolom

Tipe Kolom	Tipe Sambungan	Sambungan
K1	BI 1 - BI 2	SM25B-P-2100-PM25-SM25A-D-950-PM25-SM25B-P-1800
	BI 2 - BI 2	SM25B-P-1800-PM25-SM25A-D-950-PM25-SM25B-P-1800
	BI 3 - BI 3	SM25B-P-1550-PM25-SM25A-D-950-PM25-SM25B-P-1550

	BI 4 - BI 3	SM25B-P-1325-PM25-SM25A-D-950-PM25-SM25B-P-1550
	BI 5 - BI 4	SM25B-P-1350-PM25-SM25A-D-950-PM25-SM25B-P-1325
	BI 6 - BI 4	SM25B-P-2100-PM25-SM25A-D-950-PM25-SM25B-P-1325
	BI 6 - BI 6	SM25B-P-2100-PM25-SM25A-D-950-PM25-SM25B-P-2100
	BI 6 - BI 7	SM25B-P-1325-PM25-SM25A-D-950-PM25-SM25B-P-2000
K2	BI 1 - BI 2	SM25B-P-2100-PM25-SM25A-D-1000-PM25-SM25B-P-1800
	BI 2 - BI 2	SM25B-P-1800-PM25-SM25A-D-1000-PM25-SM25B-P-1800
	BI 3 - BI 3	SM25B-P-1550-PM25-SM25A-D-1000-PM25-SM25B-P-1550
	BI 4 - BI 3	SM25B-P-1325-PM25-SM25A-D-1000-PM25-SM25B-P-1550
	BI 5 - BI 4	SM25B-P-1350-PM25-SM25A-D-1000-PM25-SM25B-P-1325
	BI 6 - BI 4	SM25B-P-2100-PM25-SM25A-D-1000-PM25-SM25B-P-1325
	BI 6 - BI 6	SM25B-P-2100-PM25-SM25A-D-1000-PM25-SM25B-P-2100
	BI 6 - BI 7	SM25B-P-1325-PM25-SM25A-D-1000-PM25-SM25B-P-2000
K3	BI 1 - BI 2	SM25B-P-2100-PM25-SM25A-D-1050-PM25-SM25B-P-1800
	BI 2 - BI 2	SM25B-P-1800-PM25-SM25A-D-1050-PM25-SM25B-P-1800
	BI 3 - BI 3	SM25B-P-1550-PM25-SM25A-D-1050-PM25-SM25B-P-1550
	BI 4 - BI 3	SM25B-P-1325-PM25-SM25A-D-1050-PM25-SM25B-P-1550
	BI 5 - BI 4	SM25B-P-1350-PM25-SM25A-D-1050-PM25-SM25B-P-1325

	BI 6 - BI 4	SM25B-P-2100-PM25-SM25A-D-1050-PM25-SM25B-P-1325
	BI 6 - BI 6	SM25B-P-2100-PM25-SM25A-D-1050-PM25-SM25B-P-2100
	BI 6 - BI 7	SM25B-P-1325-PM25-SM25A-D-1050-PM25-SM25B-P-2000
K4 & K5	BI 1 - BI 2	SM25B-P-2100-PM25-SM25A-D-1100-PM25-SM25B-P-1800
	BI 2 - BI 2	SM25B-P-1800-PM25-SM25A-D-1100-PM25-SM25B-P-1800
	BI 3 - BI 3	SM25B-P-1550-PM25-SM25A-D-1100-PM25-SM25B-P-1550
	BI 4 - BI 3	SM25B-P-1325-PM25-SM25A-D-1100-PM25-SM25B-P-1550
	BI 5 - BI 4	SM25B-P-1350-PM25-SM25A-D-1100-PM25-SM25B-P-1325
	BI 6 - BI 4	SM25B-P-2100-PM25-SM25A-D-1100-PM25-SM25B-P-1325
	BI 6 - BI 6	SM25B-P-2100-PM25-SM25A-D-1100-PM25-SM25B-P-2100
	BI 6 - BI 7	SM25B-P-1325-PM25-SM25A-D-1100-PM25-SM25B-P-2000

4.5.4. Perencanaan Sambungan Balok Anak – Balok Induk

Pada perencanaan sambungan ini, panjang penyaluran tulangan atas didesain untuk menerima tarik sedangkan panjang penyaluran tulangan bawah didesain untuk menerima tekan. Sama seperti perencanaan sambungan pada balok – kolom, pada sambungan ini juga digunakan Modix Rebar Coupler dimana SM adalah sambungan standar, PM adalah sambungan untuk menyamakan posisi tulangan yang tidak bertemu, dan RM adalah sambungan untuk menyambungkan tulangan dengan diameter berbeda.

4.5.4.1. Data Perencanaan

Data perencanaan untuk sambungan antara balok dengan kolom adalah sebagai berikut:

- $f'_c = 35 \text{ MPa}$
- $f_y = 420 \text{ MPa}$
- $d_{b \text{ BA}} = 19 \text{ mm}$

4.5.4.2. Perhitungan *Single-Sided Connection*

Pada subbab ini akan dicontohkan perhitungan sambungan *single-sided connection* antara BI3 dengan BA1.

- Panjang Penyaluran Tulangan Tarik

Berdasarkan SNI 2847:2019 pasal 25.3.4.1, panjang penyaluran untuk tulangan tarik adalah sebagai berikut:

$$\begin{aligned} l_{dh1} &= \frac{0,24 f_y \psi_e \psi_c \psi_r}{\lambda \sqrt{f'_c}} d_b \\ &= \frac{0,24(420)}{\sqrt{35}} (19) \\ &= 323,73 \text{ mm} \end{aligned}$$

$$\begin{aligned} l_{dh2} &= 8d_b \\ &= 8(19) \\ &= 152 \text{ mm} \end{aligned}$$

$$l_{dh3} = 150 \text{ mm}$$

$$l_{dh \text{ pakai}} = 330 \text{ mm}$$

Maka digunakan l_{dh} sebesar 330 mm dengan kait minimum panjang penyaluran yang masuk ke dalam balok induk dengan panjang kait standar 90° sebesar $12d_b$ atau sama dengan 228 mm.

Panjang penyaluran pada tulangan tarik antara balok anak dan balok induk merupakan sambungan konvensional tanpa menggunakan Modix Rebar Coupler.

- Panjang Penyaluran Tulangan Tekan

Berdasarkan SNI 2847:2019 pasal 25.4.9.2, panjang penyaluran untuk tulangan tekan adalah sebagai berikut:

$$\begin{aligned}
 l_{dc1} &= \frac{0,24 f_y \psi_r}{\lambda \sqrt{f'_c}} d_b \\
 &= \frac{0,24(420)}{\sqrt{35}} (19) \\
 &= 323,73 \text{ mm} \\
 l_{dc2} &= 8d_b \\
 &= 8(19) \\
 &= 152 \text{ mm} \\
 l_{dc3} &= 0,043 f_y \psi_r d_b \\
 &= 0,043 (420) (19) \\
 &= 343,14 \text{ mm} \\
 l_{dc \text{ pakai}} &= 350 \text{ mm}
 \end{aligned}$$

Sambungan pada tulangan antara BI3 dengan BA1 untuk *single-sided connection* menggunakan Modix Coupler bertipe SM20A-L-350-PM8400-SM20B-P-2100.

4.5.4.3. Perhitungan *Double-Sided Connection*

Pada subbab ini akan dicontohkan perhitungan sambungan *double-sided connection* antara BA1 – BI3 – BA2.

- Panjang Penyaluran Tulangan Tarik

Berdasarkan SNI 2847:2019 pasal 25.3.4.1, panjang penyaluran untuk tulangan tarik adalah sebagai berikut:

$$\begin{aligned}
 l_{dh1} &= \frac{0,24 f_y \psi_e \psi_c \psi_r}{\lambda \sqrt{f'_c}} d_b \\
 &= \frac{0,24(420)}{\sqrt{35}} (19) \\
 &= 323,73 \text{ mm} \\
 l_{dh2} &= 8d_b \\
 &= 8(19) \\
 &= 152 \text{ mm} \\
 l_{dh3} &= 150 \text{ mm} \\
 l_{dh \text{ pakai}} &= 330 \text{ mm}
 \end{aligned}$$

Maka digunakan l_{dh} sebesar 330 mm dengan kait minimum panjang penyaluran yang masuk ke dalam balok

induk dengan panjang kait standar 90° sebesar $12d_b$ atau sama dengan 228 mm.

Panjang penyaluran pada tulangan tarik antara balok anak dan balok induk merupakan sambungan konvensional tanpa menggunakan Modix Rebar Coupler.

- Panjang Penyaluran Tulangan Tekan

Berdasarkan SNI 2847:2019 pasal 25.4.9.2, panjang penyaluran untuk tulangan tekan adalah sebagai berikut:

$$\begin{aligned} l_{dc1} &= \frac{0,24 f_y \psi_r}{\lambda \sqrt{f'_c}} d_b \\ &= \frac{0,24(420)}{\sqrt{35}} (19) \\ &= 323,73 \text{ mm} \end{aligned}$$

$$\begin{aligned} l_{dc2} &= 8d_b \\ &= 8(19) \\ &= 152 \text{ mm} \end{aligned}$$

$$\begin{aligned} l_{dc3} &= 0,043 f_y \psi_r d_b \\ &= 0,043 (420) (19) \\ &= 343,14 \text{ mm} \end{aligned}$$

$$l_{dc \text{ pakai}} = 350 \text{ mm}$$

Sambungan pada tulangan antara BA1 – BI3 – BA2 untuk *double-sided connection* menggunakan Modix Coupler dengan tipe SM20B-P-1800-PM20-SM20A-D26-800(100-(45)-100-(45))-PM20-SM20B-P-1800.

4.5.4.4. Rekapitulasi Sambungan Balok Induk – Balok Anak

Rekapitulasi perencanaan sambungan antara balok induk dengan balok anak akan disajikan pada Tabel 4.38 untuk *single-sided connection* dan Tabel 4.39 untuk *double-sided connection*.

Tabel 4.38 Rekapitulasi *Single-Sided Connection* Balok Induk – Balok Anak

Tipe Sambungan	Sambungan
BA 1	SM20A-L15-350(50-30)-PM20-SM20B-P-2100
	SM20A-L-350-PM20-SM20B-P-2100
BA 2	SM20B-P-1800-PM20-SM20A-L15-350(50-30)
	SM20B-P-1800-PM20-SM20A-L-350

Tabel 4.39 Rekapitulasi *Double-Sided Connection* Balok Induk – Balok Anak

Tipe Sambungan	Sambungan
BA1 - BA2	SM20B-P-2100-PM20-SM20A-D25-800-(50-30)-50(30))-PM20-SM20B-P-1800
	SM20B-P-2100-PM20-SM20A-D-800-PM20-SM20B-P-1800
BA2 - BA2	SM20B-P-1800-PM20-SM20A-D25-800-(50-30)-50(30))-PM20-SM20B-P-1800
	SM20B-P-1800-PM20-SM20A-D-800-PM20-SM20B-P-1800
BA2 - BA3	SM20B-P-1800-PM20-SM20A-D25-800-(50-30)-50(30))-PM20-SM20B-P-1325
	SM20B-P-1800-PM20-SM20A-D26-600(250-45)-100-(-45))-PM20-SM20B-P-1325

4.5.5. Perencanaan Sambungan Balok – Plat

Berdasarkan SNI 2847:2019 pasal 22.5.9.1, panjang transfer tulangan prategang (l_{tr}) diasumsikan $50d_b$ untuk strand.

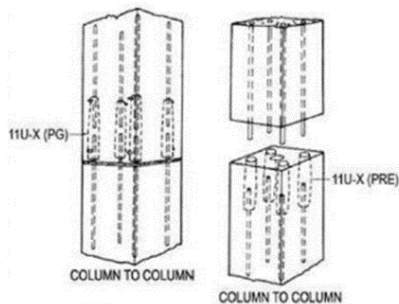
Pada subbab 4.1.4.2 dalam perencanaan *hollow core slab*, diketahui strand pada pelat berdiameter 5 mm.

$$\begin{aligned}
 l_{tr} &= 50d_b \\
 &= 50(5) \\
 &= 250 \text{ mm}
 \end{aligned}$$

Maka digunakan l_{tr} sebesar 250 mm.

4.5.6. Perencanaan Sambungan Kolom – Kolom

Pada tugas akhir ini, sambungan antara kolom menggunakan produk NMB Splice Sleeve. Pada sambungan jenis ini, tidak perlu dilakukan perhitungan panjang penyaluran karena tulangan antar kolom disambung menggunakan *coupler* menerus. Sambungan antar kolom diilustrasikan pada Gambar 4.38 berikut:



Gambar 4.38 Sambungan Antar Kolom

Pada penyambungannya, dilakukan proses *grouting* pada pertemuan tulangan antar kolom menggunakan mortar dengan tipe *non-shrinkage* agar tidak terjadi kegagalan dan susut pada beton.

Pada perencanaan kolom, diameter yang digunakan pada setiap jenis kolom adalah 32 mm sehingga, dipilih *splice sleeve* dengan tipe 10U-X dengan tegangan leleh sebesar 586 MPa. Kemudian digunakan *grouting non-shrinkage* SS Mortar Tipe 2 dengan kekuatan minimum sebesar 65,5 MPa.

Berdasarkan SNI 2847:2019 pasal 18.9.2.2, sambungan antar kolom harus memenuhi persamaan $\phi M_n > 0,4 M_{pr}$ dengan perhitungan sebagai berikut:

1. K1 950 x 950

$$0,4 M_{pr} = 0,4 (6556,97) \\ = 2622,79 \text{ kN}$$

$$\phi M_{nx} = 4457,143 \text{ kN} > 0,4 M_{pr} \text{ (OK)}$$

$$\phi M_{ny} = 4503,276 \text{ kN} > 0,4 M_{pr} \text{ (OK)}$$

2. K2 1000 x 1000
 $0,4 M_{pr} = 0,4 (7676,12)$
 $= 3070,448 \text{ kN}$
 $\phi M_{nx} = 5659,948 \text{ kN} > 0,4 M_{pr} \text{ (OK)}$
 $\phi M_{ny} = 5819,801 \text{ kN} > 0,4 M_{pr} \text{ (OK)}$
3. K3 1050 x 1050
 $0,4 M_{pr} = 0,4 (8472,98)$
 $= 3389,192 \text{ kN}$
 $\phi M_{nx} = 6603,108 \text{ kN} > 0,4 M_{pr} \text{ (OK)}$
 $\phi M_{ny} = 5964,448 \text{ kN} > 0,4 M_{pr} \text{ (OK)}$
4. K4 1100 x 1100
 $0,4 M_{pr} = 0,4 (10198,64)$
 $= 4079,456 \text{ kN}$
 $\phi M_{nx} = 6612,389 \text{ kN} > 0,4 M_{pr} \text{ (OK)}$
 $\phi M_{ny} = 5671,358 \text{ kN} > 0,4 M_{pr} \text{ (OK)}$
5. K5 1100 x 1100
 $0,4 M_{pr} = 0,4 (10198,64)$
 $= 4079,456 \text{ kN}$
 $\phi M_{nx} = 6181,366 \text{ kN} > 0,4 M_{pr} \text{ (OK)}$
 $\phi M_{ny} = 4587,272 \text{ kN} > 0,4 M_{pr} \text{ (OK)}$

4.6. Metode Pelaksanaan

4.6.1. Umum

Metode pelaksanaan merupakan salah satu faktor penting yang berkaitan dengan perencanaan konstruksi menggunakan elemen pracetak. Sebelum hasil perencanaan direalisasikan di lapangan perlu dipertimbangkan terlebih dahulu apakah pengerjaan dari hasil tersebut dapat diwujudkan. Pada subbab ini akan diuraikan mengenai komponen dan material pendukung yang akan digunakan dalam pelaksanaan khususnya beton pracetak.

4.6.2. Transportasi Elemen Beton Pracetak

Sistem transportasi untuk elemen pracetak meliputi:

1. Pemindahan beton pracetak di area pabrik yang dilaksanakan setelah 7 hari ketika beton terfabrikasi atau ketika beton mencapai kurang lebih 65% dari kuat rencana.
2. Pemindahan dari pabrik ke tempat penampungan di proyek yang dilaksanakan 28 hari ketika beton terfabrikasi atau ketika beton sudah mencapai 100% dari kuat rencana.
3. Pemindahan dari tempat penampungan di area proyek ke titik rencana.

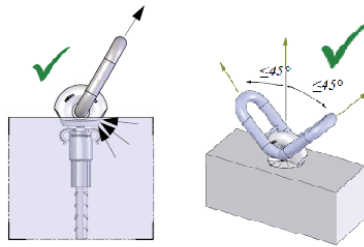
Tahap pemindahan elemen pracetak dari area pabrik ke lokasi proyek memerlukan sarana angkut seperti truk tunggal, tandem, atau temple. Truk yang digunakan pada umumnya berukuran 2,4 m x 16 m atau 1,4 m x 18 m dengan kapasitas angkut kurang lebih 50 ton.

4.6.3. Metode *Erection*

Erection merupakan proses penyusunan elemen-elemen pracetak menjadi satu kesatuan. Metode yang digunakan untuk menyusun elemen-elemen tersebut pada tugas akhir ini direncanakan menggunakan metode horizontal dimana proses *erection* akan dilakukan setiap satu lantai.

4.6.4. Pengangkatan Elemen Pracetak

Pengangkatan elemen pracetak menggunakan Jenka Lifting System dari Peikko Group. Tipe tulangan angkat yang digunakan adalah Jenka PSA Short Insert dengan kait JL seperti pada Gambar 4.39. Di setiap titik angkat, profil ini dapat mengangkat beban sebesar 5 – 125 kN dengan sudut $0^\circ - 45^\circ$.



Gambar 4.39 Tulangan Angkat Jenka Lifting System

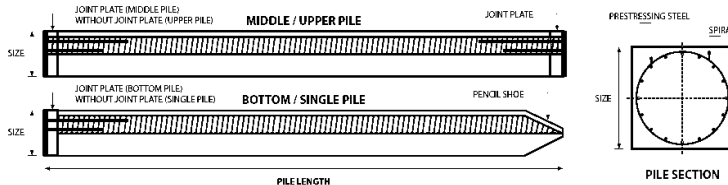
4.7. Perencanaan Struktur Bawah

4.7.1. Umum

Perencanaan struktur bawah meliputi perencanaan pondasi, perencanaan dinding penahan tanah pada *basement*, dan perencanaan sloof.

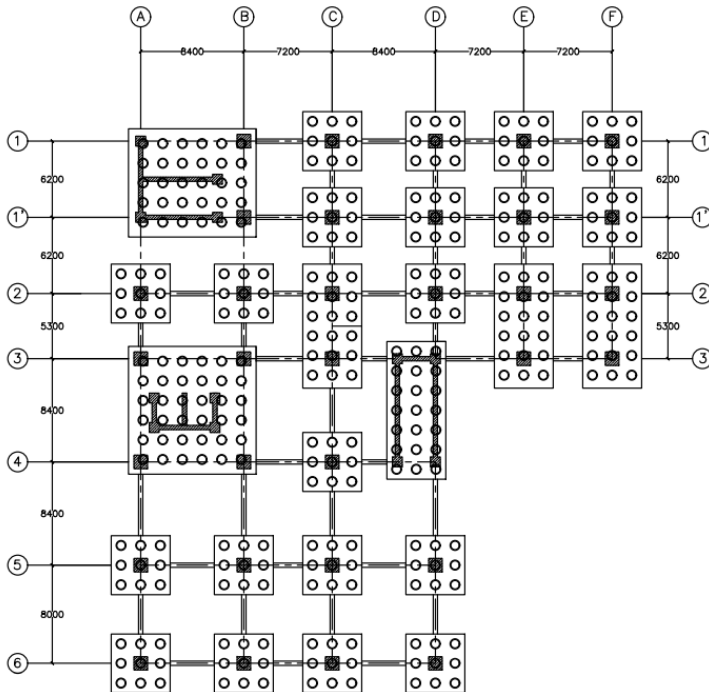
4.7.2. Perencanaan Pondasi Tiang Pancang

Pondasi merupakan komponen struktur yang berfungsi sebagai pendukung struktur atas dengan meneruskan beban-beban ke dalam tanah. Pada tugas akhir ini, gedung direncanakan menggunakan pondasi tiang pancang dengan jenis *prestressed concrete spun pile* dari PT WIKA Beton seperti pada Gambar 4.40. Perencanaan pondasi tiang pancang pada subbab ini meliputi perencanaan jumlah tiang pancang yang dibutuhkan pada poer atau *pile cap*.



Gambar 4.40 Penampang *Prestressed Concrete Spun Pile* PT WIKA Beton

Pondasi akan direncanakan sesuai dengan denah pada Gambar 4.41 berikut.



Gambar 4.41 Denah Pondasi

4.7.2.1. Pembebanan Pondasi Tiang Pancang

Beban struktur yang bekerja pada pondasi dianalisa berdasarkan SNI 1726:2010 yang mensyaratkan kombinasi beban untuk metode tegangan ijin. Kombinasi pembebanan yang bekerja pada tiang pancang adalah sebagai berikut:

1. D
2. D + L
3. D + 0,75L
4. D + 0,7E

5. $D + 0,75L + 0,75(0,7E)$

6. $0,6D + 0,7E$

Berdasarkan kombinasi pembebanan di atas, didapatkan output *joint reactions* menggunakan program bantu ETABS 2016 yang kemudian akan digunakan dalam perhitungan selanjutnya. Beban-beban yang bekerja pada setiap pondasi disajikan pada Tabel 4.40, Tabel 4.41, Tabel 4.42, Tabel 4.43, dan Tabel 4.44.

Tabel 4.40 Pembebanan Pondasi Tipe 1

Kombinasi	HX (kN)	HY (kN)	P (kN)	MX (kNm)	MY (kNm)
Dead	26.34	3.77	7323.89	17.02	22.81
1D + 1L	39.28	3.30	10118.31	21.22	33.19
1D + 0,75L	36.50	3.78	9722.47	20.71	31.61
0,6D + 0,7Ex	325.21	91.87	8081.60	205.71	1038.99
0,6D - 0,7Ex	359.01	85.59	2160.31	228.72	1071.25
0,6D + 0,7Ey	109.08	223.66	7404.37	564.93	365.90
0,6D - 0,7Ey	142.88	217.37	2837.55	587.94	398.16
1D + 0,7Ex	313.95	93.97	11495.58	198.04	1028.24
1D - 0,7Ex	370.27	83.49	5574.28	236.39	1082.00
1D + 0,7Ey	97.81	225.76	10818.34	557.26	355.15
1D - 0,7Ey	154.14	215.28	6251.52	595.61	408.91
1D + 0,75L + 0,75(0,7Ex)	228.42	71.79	10755.41	143.74	764.46
1D + 0,75L - 0,75(0,7Ex)	284.75	61.31	6314.44	182.09	818.22
1D + 0,75L + 0,75(0,7Ey)	66.32	170.63	10247.49	413.15	259.64
1D + 0,75L - 0,75(0,7Ey)	122.65	160.15	6822.37	451.50	313.40

Tabel 4.41 Pembebanan Pondasi Tipe 2

Kombinasi	HX (kN)	HY (kN)	P (kN)	MX (kNm)	MY (kNm)
-----------	---------	---------	--------	----------	----------

Dead	27.96	13.89	13095.43	1154.57	39.25
1D + 1L	38.82	20.25	18116.80	2106.39	54.43
1D + 0,75L	36.81	19.06	17432.65	1993.27	52.25
0,6D + 0,7Ex	601.68	155.32	12355.62	5206.88	1719.34
0,6D - 0,7Ex	638.62	173.92	6100.63	7191.60	1774.16
0,6D + 0,7Ey	187.42	403.84	11192.05	1685.07	556.98
0,6D - 0,7Ey	224.35	422.45	7264.20	299.65	611.80
1D + 0,7Ex	589.37	149.11	18507.70	4545.30	1701.07
1D - 0,7Ex	650.93	180.13	12252.71	7853.17	1792.43
1D + 0,7Ey	175.11	397.64	17344.13	2346.65	538.70
1D - 0,7Ey	236.66	428.65	13416.28	961.22	630.07
1D + 0,75L + 0,75(0,7Ex)	434.34	107.96	17725.83	2995.49	1264.38
1D + 0,75L - 0,75(0,7Ex)	495.89	138.97	13034.58	6303.36	1355.75
1D + 0,75L + 0,75(0,7Ey)	123.64	294.35	16853.15	2173.47	392.61
1D + 0,75L - 0,75(0,7Ey)	185.19	325.37	13907.26	1134.40	483.98

Tabel 4.42 Pembebanan Pondasi Tipe 3

Kombinasi	HX (kN)	HY (kN)	P (kN)	MX (kNm)	MY (kNm)
Dead	107.61	16.14	33451.73	3383.67	10595.59
1D + 1L	181.73	7.33	43524.30	9125.36	13973.97
1D + 0,75L	165.50	10.70	42207.52	8144.42	13465.93
0,6D + 0,7Ex	2954.18	1369.38	74077.65	39603.35	15043.91
0,6D - 0,7Ex	2884.11	1356.89	28169.02	45845.28	713.70
0,6D + 0,7Ey	1068.59	1963.53	53842.21	21020.34	18107.24
0,6D - 0,7Ey	998.52	1951.04	7933.57	27262.28	3777.04
1D + 0,7Ex	2977.54	1373.54	89380.53	37522.70	19820.64
1D - 0,7Ex	2860.75	1352.73	12866.14	47925.93	4063.03

1D + 0,7Ey	1091.95	1967.69	69145.08	18939.70	22883.97
1D - 0,7Ey	975.16	1946.88	7369.30	29342.92	999.70
1D + 0,75L + 0,75(0,7Ex)	2247.75	1032.76	76599.70	26841.62	17850.94
1D + 0,75L - 0,75(0,7Ex)	2130.96	1011.94	85.31	37244.85	6032.73
1D + 0,75L + 0,75(0,7Ey)	833.56	1478.37	61423.11	12904.37	20148.44
1D + 0,75L - 0,75(0,7Ey)	716.77	1457.56	15091.28	23307.59	3735.23

Tabel 4.43 Pembebanan Pondasi Tipe 4

Kombinasi	HX (kN)	HY (kN)	P (kN)	MX (kNm)	MY (kNm)
Dead	110.18	166.95	24932.28	312.51	894.70
1D + 1L	151.01	215.91	31533.75	440.96	1255.89
1D + 0,75L	144.50	209.47	30617.96	435.36	1181.81
0,6D + 0,7Ex	1033.06	1511.99	51446.48	13285.55	2218.93
0,6D - 0,7Ex	1083.05	1435.93	18001.75	12783.28	1067.45
0,6D + 0,7Ey	380.97	2796.28	52817.08	2703.28	1137.38
0,6D - 0,7Ey	430.97	2720.22	19372.35	2201.01	14.10
1D + 0,7Ex	1016.39	1537.34	62594.72	13452.98	2602.75
1D - 0,7Ex	1099.71	1410.58	6853.50	12615.86	683.62
1D + 0,7Ey	364.31	2821.63	63965.33	2870.70	1521.20
1D - 0,7Ey	447.63	2694.87	8224.11	2033.58	397.93
1D + 0,75L + 0,75(0,7Ex)	751.88	1168.85	53913.70	10194.37	2191.96
1D + 0,75L - 0,75(0,7Ex)	835.20	1042.09	1827.53	9357.25	272.83
1D + 0,75L + 0,75(0,7Ey)	262.82	2132.07	54941.65	2257.66	1380.79
1D + 0,75L - 0,75(0,7Ey)	346.14	2005.30	799.57	1420.55	538.34

Tabel 4.44 Pembebanan Pondasi Tipe 5

Kombinasi	HX (kN)	HY (kN)	P (kN)	MX (kNm)	MY (kNm)
-----------	---------	---------	--------	----------	----------

Dead	198.69	212.13	24058.57	2381.04	126.07
1D + 1L	270.98	287.97	30202.56	4852.72	146.44
1D + 0,75L	260.17	274.67	29394.05	4533.69	145.05
0,6D + 0,7Ex	3560.53	1631.73	68916.69	20495.52	2323.32
0,6D - 0,7Ex	3423.88	1772.59	36554.48	24787.45	2154.27
0,6D + 0,7Ey	2209.29	2128.63	60920.02	30194.88	1113.91
0,6D - 0,7Ey	2072.63	2269.48	28557.82	34486.81	944.86
1D + 0,7Ex	3155.32	1584.78	71704.09	19064.88	2379.67
1D - 0,7Ex	3378.32	1819.54	25767.08	26218.10	2097.92
1D + 0,7Ey	2254.84	2081.68	71707.42	28764.23	1170.26
1D - 0,7Ey	2027.08	2316.43	17770.42	35917.45	888.51
1D + 0,75L + 0,75(0,7Ex)	2733.03	1159.24	66520.19	13404.51	1819.97
1D + 0,75L - 0,75(0,7Ex)	2505.27	1394.00	12583.19	20557.72	1538.22
1D + 0,75L + 0,75(0,7Ey)	1719.60	1531.91	60522.69	20679.02	912.91
1D + 0,75L - 0,75(0,7Ey)	1491.84	1766.67	6585.69	27832.24	631.16

4.7.2.2. Data Perencanaan Pondasi Tiang Pancang

Data perencanaan untuk tiang pancang yang digunakan adalah sebagai berikut:

- Diameter : 800 mm
- Tebal : 120 mm
- Kelas : A1
- Luas Penampang : 2563,54 cm²
- Berat : 641 kg/m
- *Bending Moment Crack* : 40 ton.m
- *Bending Moment Break* : 60 ton.m
- *Allowable Compression* : 415 ton
- f_c : 52 MPa

4.7.2.3. Daya Dukung Pondasi Tiang Pancang Berdasarkan Nilai SPT

Daya dukung pada pondasi tiang pancang ditentukan oleh daya dukung perlawanan tanah pada ujung tiang pondasi (Q_p) dan daya dukung tanah dari lekatan lateral tanah (Q_s) sehingga daya dukung total dari tanah dapat dihitung dengan persamaan berikut:

$$Q_u = Q_p + Q_s$$

Selain ditinjau berdasarkan kekuatan tanah dimana tiang tersebut ditanam, daya dukung tiang juga ditinjau berdasarkan kekuatan dari material tiang tersebut. Dari kedua nilai daya dukung tersebut, nilai yang lebih kritis akan digunakan sebagai acuan untuk kontrol perencanaan tiang pancang.

Selain itu, perhitungan daya dukung tiang pancang ditinjau pula dalam dua keadaan, yaitu daya dukung tiang pancang tunggal dan daya dukung tiang pancang yang bekerja sebagai *group*.

Untuk menghitung daya dukung tiang pancang, data nilai SPT yang didapatkan di lapangan tidak dapat langsung digunakan untuk perencanaan. Nilai tersebut harus dikoreksi terlebih dahulu. Metode pengoreksian nilai SPT menggunakan teori dari Terzaghi Bazaara 1960, dengan perhitungan sebagai berikut.

1. Koreksi Terhadap Muka Air Tanah

Untuk tanah berpasir halus, pasir berlanau, dan pasir berlempung, yang berada di bawah muka air tanah dan hanya bila $N > 15$ maka akan dikoreksi sebesar:

a. $N_1 = 15 + \frac{1}{2}(N - 15)$

b. $N_1 = 0,6 N$

Dari kedua nilai koreksi tersebut kemudian dipilih N_1 yang terkecil.

2. Koreksi Terhadap *Overburden Pressure* dari Tanah

Nilai N_1 dikoreksi lagi akibat pengaruh tekanan tanah vertikal pada kedalaman tersebut dengan rumus sebagai berikut:

$$N_2 = \frac{4N_1}{1+0,4P_o} \quad \text{untuk } P_o \leq 7,5 \text{ ton/m}^2$$

$$N_2 = \frac{4N_1}{3,25+0,1P_o} \quad \text{untuk } P_o > 7,5 \text{ ton/m}^2$$

Nilai N_2 yang didapatkan diambil tidak lebih dari $2N_1$.

3. Perhitungan Daya Dukung Satu Tiang Pancang

Perhitungan daya dukung untuk satu tiang pancang didapatkan dengan rumus sebagai berikut:

$$P_{ult} = C_n \times A_{ujung} + \sum C_{li} A_{si}$$

dimana:

C_{li} = hambatan geser selimut tiang

= $\frac{N_i}{2}$ untuk tanah lempung atau lanau

= $\frac{N_i}{5}$ untuk tanah berpasir

A_{si} = Luas selimut tiang

C_n = $40\bar{N}$

\bar{N} = Nilai rerata N_i sepanjang $4D$ di bawah ujung tiang sampai $8D$ di atas ujung tiang.

Daya dukung ijin dari satu tiang pancang merupakan daya dukung tiang dibagi dengan suatu faktor keamanan. Pada perencanaan ini diambil faktor keamanan sebesar 3 untuk perencanaan jangka panjang.

$$P_{ijin} = \frac{P_{ult}}{3}$$

Hasil perhitungan daya dukung tiang pancang untuk setiap kedalaman 1 meter pada lokasi pembangunan Gedung Fakultas Ekonomi dan Bisnis UHAMKA disajikan pada Tabel 4.45.

Tabel 4.45 Daya Dukung Tiang Pancang

Kedalaman (m)	N	C_n ujung	$\sum C_{li} \cdot A_{si}$ (ton)	P_{ult} (ton)	P_{ijin} (t)
2	13.00	876.11	16.34	456.72	152.24

3	10.50	843.69	45.87	469.95	156.65
4	8.00	787.25	69.12	464.83	154.94
5	11.00	737.07	92.99	463.48	154.49
6	14.00	692.16	122.22	470.14	156.71
7	11.00	656.12	148.33	478.13	159.38
8	8.00	626.50	166.08	480.99	160.33
9	7.50	602.39	179.19	481.98	160.66
10	7.00	544.98	190.47	464.41	154.80
11	7.50	502.18	200.92	453.34	151.11
12	8.00	474.04	211.32	449.59	149.86
13	8.50	427.07	221.80	436.47	145.49
14	9.00	372.85	232.61	420.02	140.01
15	8.50	341.62	243.25	414.97	138.32
16	8.00	327.95	253.13	417.97	139.32
17	8.50	322.10	262.85	424.75	141.58
18	9.00	323.15	273.00	435.43	145.14
19	8.50	345.55	283.00	456.69	152.23
20	8.00	399.44	292.29	493.07	164.36
21	9.00	520.60	301.72	563.40	187.80
22	10.00	653.57	312.10	640.62	213.54
23	29.50	788.04	318.05	714.16	238.05
24	49.00	923.97	327.96	792.40	264.13
25	55.00	1063.23	345.35	879.79	293.26
26	61.00	1205.69	368.84	974.88	324.96
27	62.00	1350.05	393.26	1071.86	357.29
28	63.00	1496.27	417.59	1169.70	389.90
29	66.00	1639.90	442.23	1266.53	422.18
30	69.00	1781.04	467.53	1362.78	454.26

Pada perencanaan tugas akhir ini, digunakan tiang pancang sepanjang 24 m menggunakan 2 segmen tiang pancang 12 m yang disambung. Sehingga daya dukung yang digunakan berada pada kedalaman 30 m dengan nilai 454,26 ton sedangkan daya dukung tiang pancang berdasarkan brosur adalah sebesar 415 ton.

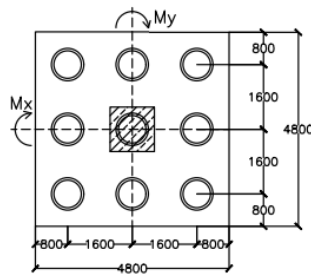
4.7.2.4. Konfigurasi Tiang Pancang

Terdapat lima tipe susunan tiang pancang yang akan direncanakan pada tugas akhir ini. Jumlah tiang pancang direncanakan jaraknya sesuai dengan yang diijinkan. Tebal poer yang direncanakan untuk satu grup tiang pancang adalah sebesar 1,5 meter. Jarak dalam konfigurasi satu grup tiang pancang dibatasi dengan perhitungan berikut:

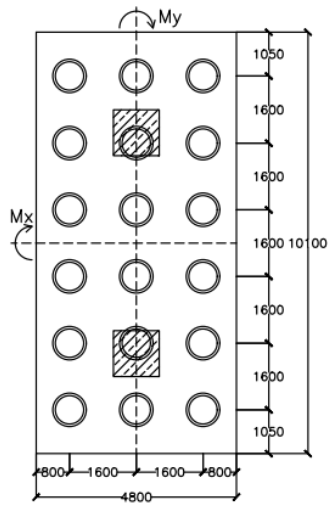
$$\begin{aligned} \text{Jarak antar tiang} &\geq 2D \\ &\geq 1600 \text{ mm} \end{aligned}$$

$$\begin{aligned} \text{Jarak tepi tiang} &\geq D \\ &\geq 800 \text{ mm} \end{aligned}$$

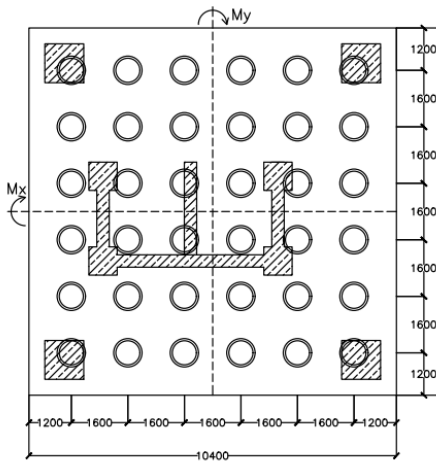
Kelima tipe konfigurasi tiang pancang ditunjukkan pada Gambar 4.42, Gambar 4.43, Gambar 4.44, Gambar 4.45, dan Gambar 4.46



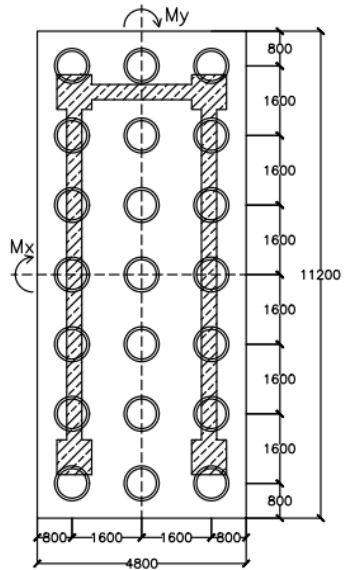
Gambar 4.42 Konfigurasi Tiang Pancang Tipe 1



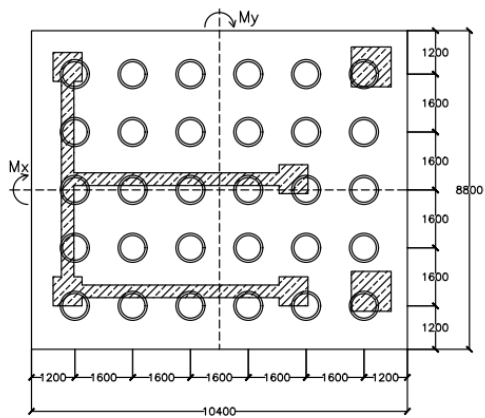
Gambar 4.43 Konfigurasi Tiang Pancang Tipe 2



Gambar 4.44 Konfigurasi Tiang Pancang Tipe 3



Gambar 4.45 Konfigurasi Tiang Pancang Tipe 4



Gambar 4.46 Konfigurasi Tiang Pancang Tipe 5

4.7.2.5. Kontrol Kekuatan Satu Tiang Pancang

Beban maksimum yang bekerja pada satu tiang dalam kelompok dihitung berdasarkan gaya aksial dan momen yang bekerja pada tiang. Momen pada tiang dapat menyebabkan gaya tekan atau tarik, namun yang diperhitungkan hanya gaya tekan karena gaya tarik dianggap lebih kecil dari beban gravitasi struktur. Pada subbab ini akan dicontohkan perhitungan beban maksimum yang terjadi pada pondasi tipe satu dengan kombinasi beban 1D + 0,7Ex dimana kombinasi tersebut menghasilkan beban aksial yang paling besar.

$$\begin{aligned}
 P_{ijin} &= 415 \text{ ton} \\
 P &= 1149,6 \text{ ton} \\
 n &= 9 \text{ tiang} \\
 M_x &= M_x + (H_y \times t_{poer}) \\
 &= 19,804 + (9,397 \times 1,5) \\
 &= 33,89 \text{ ton.m} \\
 M_y &= M_y + (H_x \times t_{poer}) \\
 &= 108,2 + (31,39 \times 1,5) \\
 &= 149,92 \text{ ton.m} \\
 x_{max} &= 1,6 \text{ m} \\
 y_{max} &= 1,6 \text{ m} \\
 P &= \frac{P}{n} \pm \frac{M_y x_{max}}{\sum x^2} \pm \frac{M_x y_{max}}{\sum y^2} \\
 P_{(++)} &= \frac{1149,6}{9} + \frac{149,92(1,6)}{1,6^2} + \frac{33,89(1,6)}{1,6^2} \\
 &= 146,88 \text{ ton} \leq P_{ijin} \text{ (OK)} \\
 P_{(+)} &= \frac{1149,6}{9} + \frac{149,92(1,6)}{1,6^2} - \frac{33,89(1,6)}{1,6^2} \\
 &= 115,64 \text{ ton} \leq P_{ijin} \text{ (OK)} \\
 P_{(-)} &= \frac{1149,6}{9} - \frac{149,92(1,6)}{1,6^2} + \frac{33,89(1,6)}{1,6^2} \\
 &= 139,81 \text{ ton} \leq P_{ijin} \text{ (OK)} \\
 P_{(--)} &= \frac{1149,6}{9} - \frac{149,92(1,6)}{1,6^2} - \frac{33,89(1,6)}{1,6^2} \\
 &= 108,58 \text{ ton} \leq P_{ijin} \text{ (OK)}
 \end{aligned}$$

Rekapitulasi perhitungan kekuatan tiang pancang akan ditunjukkan pada Tabel 4.46, Tabel 4.47, Tabel 4.48. Tabel 4.49, dan Tabel 4.50.

Tabel 4.46 Daya Dukung 1 Tiang Pondasi Tipe 1

Kombinasi	$P_{\max (+ +)}$ (ton)	$P_{\max (+ -)}$ (ton)	$P_{\max (- +)}$ (ton)	$P_{\max (- -)}$ (ton)	P_{ijin} (ton)	Kontrol
Dead	82.26	80.96	81.79	80.49	415.00	OK
1D + 1L	113.66	111.74	113.11	111.19	415.00	OK
1D + 0,75L	109.20	107.40	108.65	106.85	415.00	OK
0,6D + 0,7Ex	109.28	77.47	102.12	70.31	415.00	OK
0,6D - 0,7Ex	44.49	10.95	37.05	3.52	415.00	OK
0,6D + 0,7Ey	97.17	86.13	78.41	67.38	415.00	OK
0,6D - 0,7Ey	47.43	34.67	28.39	15.63	415.00	OK
1D + 0,7Ex	146.88	115.64	139.81	108.58	415.00	OK
1D - 0,7Ex	82.76	48.65	75.23	41.11	415.00	OK
1D + 0,7Ey	134.76	124.31	116.10	105.64	415.00	OK
1D - 0,7Ey	85.70	72.36	66.56	53.23	415.00	OK
1D + 0,75L + 0,75(0,7Ex)	133.66	110.59	128.42	105.35	415.00	OK
1D + 0,75L - 0,75(0,7Ex)	85.99	60.04	80.28	54.33	415.00	OK
1D + 0,75L + 0,75(0,7Ey)	124.57	117.09	110.63	103.15	415.00	OK
1D + 0,75L - 0,75(0,7Ey)	88.19	77.83	73.78	63.42	415.00	OK

Tabel 4.47 Daya Dukung 1 Tiang Pondasi Tipe 2

Kombinasi	$P_{\max (+ +)}$ (ton)	$P_{\max (+ -)}$ (ton)	$P_{\max (- +)}$ (ton)	$P_{\max (- -)}$ (ton)	P_{ijin} (ton)	Kontrol
Dead	77.50	76.65	68.85	68.01	415.00	OK
1D + 1L	109.09	107.92	93.38	92.21	415.00	OK
1D + 0,75L	104.84	103.72	89.97	88.86	415.00	OK
0,6D + 0,7Ex	102.30	74.99	62.30	34.99	415.00	OK
0,6D - 0,7Ex	75.52	47.06	20.72	-7.74	415.00	OK
0,6D + 0,7Ey	74.97	66.24	58.12	49.39	415.00	OK
0,6D - 0,7Ey	48.73	38.85	41.86	31.99	415.00	OK
1D + 0,7Ex	133.82	106.89	98.75	71.82	415.00	OK
1D - 0,7Ex	112.36	83.51	52.63	23.78	415.00	OK
1D + 0,7Ey	111.35	103.00	89.71	81.36	415.00	OK

1D - 0,7Ey	85.56	75.30	73.77	63.51	415.00	OK
1D + 0,75L + 0,75(0,7Ex)	120.06	100.11	96.85	76.89	415.00	OK
1D + 0,75L - 0,75(0,7Ex)	107.29	85.42	59.41	37.54	415.00	OK
1D + 0,75L + 0,75(0,7Ey)	106.25	100.23	87.03	81.00	415.00	OK
1D + 0,75L - 0,75(0,7Ey)	87.19	79.26	75.27	67.33	415.00	OK

Tabel 4.48 Daya Dukung 1 Tiang Pondasi Tipe 3

Kombinasi	$P_{\max (+ +)}$ (ton)	$P_{\max (+ -)}$ (ton)	$P_{\max (- +)}$ (ton)	$P_{\max (- -)}$ (ton)	P_{ijin} (ton)	Kontrol
Dead	120.59	78.57	107.28	65.26	415.00	OK
1D + 1L	166.57	110.92	130.88	75.23	415.00	OK
1D + 0,75L	159.97	106.40	128.09	74.52	415.00	OK
0,6D + 0,7Ex	325.17	249.10	162.45	86.37	415.00	OK
0,6D - 0,7Ex	181.61	161.92	-5.43	-25.11	415.00	OK
0,6D + 0,7Ey	234.87	157.87	141.25	64.26	415.00	OK
0,6D - 0,7Ey	91.30	70.70	-26.62	-47.23	415.00	OK
1D + 0,7Ex	373.03	278.15	218.40	123.53	415.00	OK
1D - 0,7Ex	149.62	116.99	-45.51	-78.15	415.00	OK
1D + 0,7Ey	282.72	186.93	197.21	101.42	415.00	OK
1D - 0,7Ey	88.29	78.67	-37.73	-47.35	415.00	OK
1D + 0,75L + 0,75(0,7Ex)	309.68	226.78	198.78	115.88	415.00	OK
1D + 0,75L - 0,75(0,7Ex)	93.97	57.92	-57.45	-93.50	415.00	OK
1D + 0,75L + 0,75(0,7Ey)	241.95	158.36	182.88	99.29	415.00	OK
1D + 0,75L - 0,75(0,7Ey)	101.11	82.32	1.52	-17.27	415.00	OK

Tabel 4.49 Daya Dukung 1 Tiang Pondasi Tipe 4

Kombinasi	$P_{\max (+ +)}$ (ton)	$P_{\max (+ -)}$ (ton)	$P_{\max (- +)}$ (ton)	$P_{\max (- -)}$ (ton)	P_{ijin} (ton)	Kontrol
Dead	125.11	115.65	121.80	112.34	415.00	OK
1D + 1L	159.03	145.79	154.53	141.29	415.00	OK
1D + 0,75L	154.25	141.76	149.84	137.35	415.00	OK
0,6D + 0,7Ex	307.55	273.90	216.07	182.42	415.00	OK
0,6D - 0,7Ex	141.67	117.63	53.81	29.78	415.00	OK

0,6D + 0,7Ey	279.42	264.17	238.85	223.60	415.00	OK
0,6D - 0,7Ey	113.67	107.77	76.73	70.83	415.00	OK
1D + 0,7Ex	362.84	325.99	270.15	233.30	415.00	OK
1D - 0,7Ex	86.38	65.54	-0.27	-21.10	415.00	OK
1D + 0,7Ey	334.72	316.26	292.94	274.48	415.00	OK
1D - 0,7Ey	61.80	52.26	26.07	16.52	415.00	OK
1D + 0,75L + 0,75(0,7Ex)	306.69	277.05	236.42	206.78	415.00	OK
1D + 0,75L - 0,75(0,7Ex)	47.63	34.01	-16.60	-30.22	415.00	OK
1D + 0,75L + 0,75(0,7Ey)	285.60	269.75	253.51	237.66	415.00	OK
1D + 0,75L - 0,75(0,7Ey)	21.55	12.11	-4.49	-13.94	415.00	OK

Tabel 4.50 Daya Dukung 1 Tiang Pondasi Tipe 5

Kombinasi	P _{max} (++) (ton)	P _{max} (+-) (ton)	P _{max} (-+) (ton)	P _{max} (--) (ton)	P _{ijin} (ton)	Kontrol
Dead	87.93	85.96	74.43	72.47	415.00	OK
1D + 1L	115.17	112.61	88.74	86.18	415.00	OK
1D + 0,75L	111.58	109.11	86.86	84.38	415.00	OK
0,6D + 0,7Ex	274.34	269.34	190.11	154.62	415.00	OK
0,6D - 0,7Ex	207.34	173.59	70.11	36.36	415.00	OK
0,6D + 0,7Ey	267.11	276.29	129.85	109.35	415.00	OK
0,6D - 0,7Ey	199.30	180.54	9.85	-8.92	415.00	OK
1D + 0,7Ex	405.20	412.28	201.87	168.94	415.00	OK
1D - 0,7Ex	174.85	141.67	30.11	-3.06	415.00	OK
1D + 0,7Ey	409.20	408.02	169.85	148.77	415.00	OK
1D - 0,7Ey	166.81	148.62	-30.15	-48.34	415.00	OK
1D + 0,75L + 0,75(0,7Ex)	273.30	245.89	197.58	170.17	415.00	OK
1D + 0,75L - 0,75(0,7Ex)	110.83	86.31	-2.42	-26.94	415.00	OK
1D + 0,75L + 0,75(0,7Ey)	267.27	251.10	152.38	136.22	415.00	OK
1D + 0,75L - 0,75(0,7Ey)	104.80	91.52	-47.61	-60.89	415.00	OK

4.7.2.6. Kontrol Kekuatan Tiang Pancang dalam *Group*

Perhitungan daya dukung tiang pancang dalam *group* diperlukan faktor koreksi dengan koefisien efisiensi

berdasarkan *Seileer-Keeney Formula*. Pada subbab ini akan dicontohkan perhitungan daya dukung tiang pancang *group* pada pondasi tipe satu dengan kombinasi beban 1D + 0,7Ex dimana kombinasi tersebut menghasilkan beban aksial yang paling besar.

$$\begin{aligned}
 m &= 3 \\
 n &= 3 \\
 s &= 1,6 \\
 P &= 1149,6 \text{ ton} \\
 P_{ijin} &= 415 \text{ ton} \\
 \eta &= \left(1 - \frac{36s(m+1-2)}{(75s^2-7)(m+n-1)}\right) + \frac{0,3}{m+n} \\
 &= 0,80 \\
 Q &= m \times n \times P_{ijin} \times \eta \\
 &= 3 \times 3 \times 415 \times 0,8 \\
 &= 2991,43 \text{ ton} > P \text{ (OK)}
 \end{aligned}$$

Berdasarkan perhitungan di atas, didapatkan rekapitulasi perhitungan kekuatan tiang pancang dalam *group* yang akan ditunjukkan pada Tabel 4.51, Tabel 4.52, Tabel 4.53, Tabel 4.54, dan Tabel 4.55.

Tabel 4.51 Daya Dukung Tiang Pancang *Group* Tipe 1

Kombinasi	P (ton)	η	n	P_{ijin} (ton)	Q_i (ton)	Kontrol
Dead	732.39	0.80	9	415.00	2991.43	OK
1D + 1L	1011.83	0.80	9	415.00	2991.43	OK
1D + 0,75L	972.25	0.80	9	415.00	2991.43	OK
0,6D + 0,7Ex	808.16	0.80	9	415.00	2991.43	OK
0,6D - 0,7Ex	216.03	0.80	9	415.00	2991.43	OK
0,6D + 0,7Ey	740.44	0.80	9	415.00	2991.43	OK
0,6D - 0,7Ey	283.75	0.80	9	415.00	2991.43	OK
1D + 0,7Ex	1149.56	0.80	9	415.00	2991.43	OK
1D - 0,7Ex	557.43	0.80	9	415.00	2991.43	OK
1D + 0,7Ey	1081.83	0.80	9	415.00	2991.43	OK
1D - 0,7Ey	625.15	0.80	9	415.00	2991.43	OK

1D + 0,75L + 0,75(0,7Ex)	1075.54	0.80	9	415.00	2991.43	OK
1D + 0,75L - 0,75(0,7Ex)	631.44	0.80	9	415.00	2991.43	OK
1D + 0,75L + 0,75(0,7Ey)	1024.75	0.80	9	415.00	2991.43	OK
1D + 0,75L - 0,75(0,7Ey)	682.24	0.80	9	415.00	2991.43	OK

Tabel 4.52 Daya Dukung Tiang Pancang *Group* Tipe 2

Kombinasi	P (ton)	η	n	P _{ijin} (ton)	Q ₁ (ton)	Kontrol
Dead	1309.54	0.76	18	415.00	5683.93	OK
1D + 1L	1811.68	0.76	18	415.00	5683.93	OK
1D + 0,75L	1743.27	0.76	18	415.00	5683.93	OK
0,6D + 0,7Ex	1235.56	0.76	18	415.00	5683.93	OK
0,6D - 0,7Ex	610.06	0.76	18	415.00	5683.93	OK
0,6D + 0,7Ey	1119.20	0.76	18	415.00	5683.93	OK
0,6D - 0,7Ey	726.42	0.76	18	415.00	5683.93	OK
1D + 0,7Ex	1850.77	0.76	18	415.00	5683.93	OK
1D - 0,7Ex	1225.27	0.76	18	415.00	5683.93	OK
1D + 0,7Ey	1734.41	0.76	18	415.00	5683.93	OK
1D - 0,7Ey	1341.63	0.76	18	415.00	5683.93	OK
1D + 0,75L + 0,75(0,7Ex)	1772.58	0.76	18	415.00	5683.93	OK
1D + 0,75L - 0,75(0,7Ex)	1303.46	0.76	18	415.00	5683.93	OK
1D + 0,75L + 0,75(0,7Ey)	1685.31	0.76	18	415.00	5683.93	OK
1D + 0,75L - 0,75(0,7Ey)	1390.73	0.76	18	415.00	5683.93	OK

Tabel 4.53 Daya Dukung Tiang Pancang *Group* Tipe 3

Kombinasi	P (ton)	η	n	P _{ijin} (ton)	Q ₁ (ton)	Kontrol
Dead	3345.17	0.74	36	415.00	11084.78	OK
1D + 1L	4352.43	0.74	36	415.00	11084.78	OK
1D + 0,75L	4220.75	0.74	36	415.00	11084.78	OK
0,6D + 0,7Ex	7407.77	0.74	36	415.00	11084.78	OK
0,6D - 0,7Ex	2816.90	0.74	36	415.00	11084.78	OK
0,6D + 0,7Ey	5384.22	0.74	36	415.00	11084.78	OK

0,6D - 0,7Ey	793.36	0.74	36	415.00	11084.78	OK
1D + 0,7Ex	8938.05	0.74	36	415.00	11084.78	OK
1D - 0,7Ex	1286.61	0.74	36	415.00	11084.78	OK
1D + 0,7Ey	6914.51	0.74	36	415.00	11084.78	OK
1D - 0,7Ey	736.93	0.74	36	415.00	11084.78	OK
1D + 0,75L + 0,75(0,7Ex)	7659.97	0.74	36	415.00	11084.78	OK
1D + 0,75L - 0,75(0,7Ex)	8.53	0.74	36	415.00	11084.78	OK
1D + 0,75L + 0,75(0,7Ey)	6142.31	0.74	36	415.00	11084.78	OK
1D + 0,75L - 0,75(0,7Ey)	1509.13	0.74	36	415.00	11084.78	OK

Tabel 4.54 Daya Dukung Tiang Pancang *Group* Tipe 4

Kombinasi	P (ton)	η	n	P_{ijin} (ton)	Q_i (ton)	Kontrol
Dead	2493.23	0.75	21	415.00	6564.51	OK
1D + 1L	3153.37	0.75	21	415.00	6564.51	OK
1D + 0,75L	3061.80	0.75	21	415.00	6564.51	OK
0,6D + 0,7Ex	5144.65	0.75	21	415.00	6564.51	OK
0,6D - 0,7Ex	1800.17	0.75	21	415.00	6564.51	OK
0,6D + 0,7Ey	5281.71	0.75	21	415.00	6564.51	OK
0,6D - 0,7Ey	1937.23	0.75	21	415.00	6564.51	OK
1D + 0,7Ex	6259.47	0.75	21	415.00	6564.51	OK
1D - 0,7Ex	685.35	0.75	21	415.00	6564.51	OK
1D + 0,7Ey	6396.53	0.75	21	415.00	6564.51	OK
1D - 0,7Ey	822.41	0.75	21	415.00	6564.51	OK
1D + 0,75L + 0,75(0,7Ex)	5391.37	0.75	21	415.00	6564.51	OK
1D + 0,75L - 0,75(0,7Ex)	182.75	0.75	21	415.00	6564.51	OK
1D + 0,75L + 0,75(0,7Ey)	5494.16	0.75	21	415.00	6564.51	OK
1D + 0,75L - 0,75(0,7Ey)	79.96	0.75	21	415.00	6564.51	OK

Tabel 4.55 Daya Dukung Tiang Pancang *Group* Tipe 5

Kombinasi	P (ton)	η	n	P_{ijin} (ton)	Q_i (ton)	Kontrol
Dead	2405.86	0.75	30	415.00	9300.85	2405.86

1D + 1L	3020.26	0.75	30	415.00	9300.85	3020.26
1D + 0,75L	2939.40	0.75	30	415.00	9300.85	2939.40
0,6D + 0,7Ex	6891.67	0.75	30	415.00	9300.85	6891.67
0,6D - 0,7Ex	3655.45	0.75	30	415.00	9300.85	3655.45
0,6D + 0,7Ey	6092.00	0.75	30	415.00	9300.85	6092.00
0,6D - 0,7Ey	2855.78	0.75	30	415.00	9300.85	2855.78
1D + 0,7Ex	7170.41	0.75	30	415.00	9300.85	7170.41
1D - 0,7Ex	2576.71	0.75	30	415.00	9300.85	2576.71
1D + 0,7Ey	7170.74	0.75	30	415.00	9300.85	7170.74
1D - 0,7Ey	1777.04	0.75	30	415.00	9300.85	1777.04
1D + 0,75L + 0,75(0,7Ex)	6652.02	0.75	30	415.00	9300.85	6652.02
1D + 0,75L - 0,75(0,7Ex)	1258.32	0.75	30	415.00	9300.85	1258.32
1D + 0,75L + 0,75(0,7Ey)	6052.27	0.75	30	415.00	9300.85	6052.27
1D + 0,75L - 0,75(0,7Ey)	658.57	0.75	30	415.00	9300.85	658.57

4.7.2.7. Kontrol Kekuatan Tiang Pancang terhadap Gaya Lateral

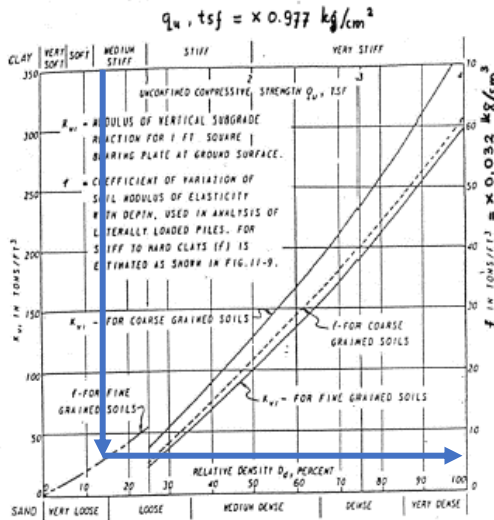
Gaya lateral yang bekerja pada tiang dapat menyebabkan terjadinya defleksi dan momen. Oleh karena itu perlu dilakukan kontrol terhadap defleksi dan momen yang terjadi pada tiang. Pada subbab ini, akan dicontohkan perhitungan kontrol gaya lateral pada pondasi tipe 1 dengan kombinasi beban 1D - 0,7Ex dimana kombinasi tersebut menghasilkan gaya lateral paling besar.

1. Kontrol Defleksi

$$\begin{aligned}
 n &= 9 \text{ tiang} \\
 H_{\max} &= 370,273 \text{ kN} \\
 P &= \frac{H_{\max}}{n} \\
 &= \frac{370,273}{9} \\
 &= 41,14 \text{ kN} \\
 C_u &= 0,23 \text{ kg/cm}^2 \\
 Q_u &= 2C_u \\
 &= 0,46 \text{ kg/cm}^2
 \end{aligned}$$

$$= 0,47 \text{ t/ft}^2$$

Berdasarkan nilai $Q_u = 0,47 \text{ t/ft}^2$ didapatkan nilai f dari grafik *immediate settlement of isolate footing* pada Gambar 4.47.



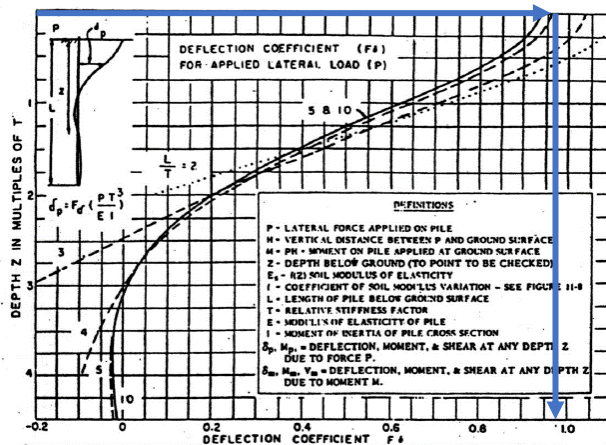
Gambar 4.47 Grafik *Immediate Settlement of Isolate Footing*

Dari grafik di atas, didapatkan nilai f sebesar 5 t/ft^2 .

$$\begin{aligned}
 f &= 5 \text{ t/ft}^2 \\
 &= 0,16 \text{ kg/cm}^2 \\
 E &= 4700 \sqrt{f/c} \\
 &= 4700 \sqrt{52} \\
 &= 338921,82 \text{ kg/cm}^2 \\
 I &= 1527869,6 \text{ cm}^4 \\
 T &= \left(\frac{EI}{f} \right)^{\frac{1}{5}} \\
 &= \left(\frac{338921,82 \times 1527869,6}{0,16} \right)^{\frac{1}{5}} \\
 &= 317,7 \text{ cm}
 \end{aligned}$$

$$\begin{aligned}
 L &= 24 \text{ m} \\
 &= 2400 \text{ cm} \\
 L/T &= 7,55
 \end{aligned}$$

Berdasarkan nilai $z = 0$ m pada pangkal tiang pancang dan $L/T = 7,55$ dan didapatkan nilai koefisien defleksi dari grafik *influence value for laterally loaded pile* pada Gambar 4.48.



Gambar 4.48 Grafik *Influence Value for Laterally Loaded Pile*

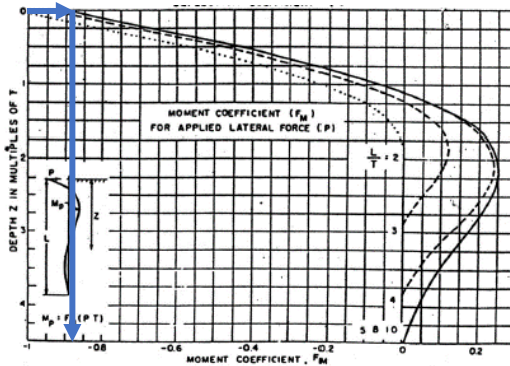
Dari grafik di atas, didapatkan nilai koefisien defleksi sebesar 0,97 sehingga nilai defleksi pada tiang pancang dapat dihitung dengan persamaan berikut:

$$\begin{aligned}
 F\delta &= 0,97 \\
 \delta &= F\delta \left(\frac{PT^3}{EI} \right) \\
 &= 0,97 \left(\frac{4114 \times 317,7^3}{338921,82 \times 1527869,6} \right) \\
 &= 0,247 \text{ cm} < 2,5 \text{ cm (OK)}
 \end{aligned}$$

2. Kontrol Momen

Berdasarkan nilai $z = 0$ m pada pangkal tiang pancang dan $L/T = 7,55$ dan didapatkan nilai koefisien momen dari

grafik *influence value for laterally loaded pile* pada Gambar 4.49.



Gambar 4.49 Grafik *Influence Value for Laterally Loaded Pile*

Dari grafik di atas, didapatkan nilai koefisien momen sebesar 0,88 sehingga momen pada tiang pancang dapat dihitung dengan persamaan berikut:

$$\begin{aligned}
 F_m &= 0,88 \\
 M_{crack} &= 40 \text{ ton.m} \\
 M &= F_m (PT) \\
 &= 0,88 (4,14 \times 3,177) \\
 &= 11,5 \text{ ton.m} < M_{crack} \text{ (OK)}
 \end{aligned}$$

Berdasarkan perhitungan di atas, didapatkan rekapitulasi perhitungan kekuatan tiang pancang terhadap gaya lateral yang akan disajikan pada Tabel 4.56, Tabel 4.57, Tabel 4.58, Tabel 4.59, dan Tabel 4.60.

Tabel 4.56 Kontrol Gaya Lateral Pondasi Tipe 1

Kombinasi	H_{max} (kN)	$H_{max 1}$ tiang (kN)	δ	Kontrol	M_{max} (ton.m)	Kontrol
Dead	26.34	2.93	0.02	OK	0.82	OK
1D + 1L	39.28	4.36	0.03	OK	1.22	OK
1D + 0,75L	36.50	4.06	0.02	OK	1.13	OK

0,6D + 0,7Ex	325.21	36.13	0.22	OK	10.10	OK
0,6D - 0,7Ex	359.01	39.89	0.24	OK	11.15	OK
0,6D + 0,7Ey	223.66	24.85	0.15	OK	6.95	OK
0,6D - 0,7Ey	217.37	24.15	0.15	OK	6.75	OK
1D + 0,7Ex	313.95	34.88	0.21	OK	9.75	OK
1D - 0,7Ex	370.27	41.14	0.25	OK	11.50	OK
1D + 0,7Ey	225.76	25.08	0.15	OK	7.01	OK
1D - 0,7Ey	215.28	23.92	0.14	OK	6.69	OK
1D + 0,75L + 0,75(0,7Ex)	228.42	25.38	0.15	OK	7.10	OK
1D + 0,75L - 0,75(0,7Ex)	284.75	31.64	0.19	OK	8.85	OK
1D + 0,75L + 0,75(0,7Ey)	170.63	18.96	0.11	OK	5.30	OK
1D + 0,75L - 0,75(0,7Ey)	160.15	17.79	0.11	OK	4.97	OK

Tabel 4.57 Kontrol Gaya Lateral Pondasi Tipe 2

Kombinasi	H_{\max} (kN)	$H_{\max 1}$ tiang (kN)	δ	Kontrol	M_{\max} (ton.m)	Kontrol
Dead	27.96	1.55	0.01	OK	0.43	OK
1D + 1L	38.82	2.16	0.01	OK	0.60	OK
1D + 0,75L	36.81	2.05	0.01	OK	0.57	OK
0,6D + 0,7Ex	601.68	33.43	0.20	OK	9.35	OK
0,6D - 0,7Ex	638.62	35.48	0.21	OK	9.92	OK
0,6D + 0,7Ey	403.84	22.44	0.13	OK	6.27	OK
0,6D - 0,7Ey	422.45	23.47	0.14	OK	6.56	OK
1D + 0,7Ex	589.37	32.74	0.20	OK	9.15	OK
1D - 0,7Ex	650.93	36.16	0.22	OK	10.11	OK
1D + 0,7Ey	397.64	22.09	0.13	OK	6.18	OK
1D - 0,7Ey	428.65	23.81	0.14	OK	6.66	OK
1D + 0,75L + 0,75(0,7Ex)	434.34	24.13	0.14	OK	6.75	OK
1D + 0,75L - 0,75(0,7Ex)	495.89	27.55	0.17	OK	7.70	OK
1D + 0,75L + 0,75(0,7Ey)	294.35	16.35	0.10	OK	4.57	OK
1D + 0,75L - 0,75(0,7Ey)	325.37	18.08	0.11	OK	5.05	OK

Tabel 4.58 Kontrol Gaya Lateral Pondasi Tipe 3

Kombinasi	H_{\max} (kN)	$H_{\max 1}$ tiang (kN)	δ	Kontrol	M_{\max} (ton.m)	Kontrol
Dead	107.61	2.99	0.02	OK	0.84	OK
1D + 1L	181.73	5.05	0.03	OK	1.41	OK
1D + 0,75L	165.50	4.60	0.03	OK	1.29	OK
0,6D + 0,7Ex	2954.18	82.06	0.49	OK	22.94	OK
0,6D - 0,7Ex	2884.11	80.11	0.48	OK	22.40	OK
0,6D + 0,7Ey	1963.53	54.54	0.33	OK	15.25	OK
0,6D - 0,7Ey	1951.04	54.20	0.33	OK	15.15	OK
1D + 0,7Ex	2977.54	82.71	0.50	OK	23.12	OK
1D - 0,7Ex	2860.75	79.47	0.48	OK	22.22	OK
1D + 0,7Ey	1967.69	54.66	0.33	OK	15.28	OK
1D - 0,7Ey	1946.88	54.08	0.32	OK	15.12	OK
1D + 0,75L + 0,75(0,7Ex)	2247.75	62.44	0.38	OK	17.46	OK
1D + 0,75L - 0,75(0,7Ex)	2130.96	59.19	0.36	OK	16.55	OK
1D + 0,75L + 0,75(0,7Ey)	1478.37	41.07	0.25	OK	11.48	OK
1D + 0,75L - 0,75(0,7Ey)	1457.56	40.49	0.24	OK	11.32	OK

Tabel 4.59 Kontrol Gaya Lateral Pondasi Tipe 4

Kombinasi	H_{\max} (kN)	$H_{\max 1}$ tiang (kN)	δ	Kontrol	M_{\max} (ton.m)	Kontrol
Dead	166.95	7.95	0.05	OK	2.22	OK
1D + 1L	215.91	10.28	0.06	OK	2.87	OK
1D + 0,75L	209.47	9.97	0.06	OK	2.79	OK
0,6D + 0,7Ex	1511.99	72.00	0.43	OK	20.13	OK
0,6D - 0,7Ex	1435.93	68.38	0.41	OK	19.12	OK
0,6D + 0,7Ey	2796.28	133.16	0.80	OK	37.23	OK
0,6D - 0,7Ey	2720.22	129.53	0.78	OK	36.21	OK
1D + 0,7Ex	1537.34	73.21	0.44	OK	20.47	OK
1D - 0,7Ex	1410.58	67.17	0.40	OK	18.78	OK
1D + 0,7Ey	2821.63	134.36	0.81	OK	37.56	OK
1D - 0,7Ey	2694.87	128.33	0.77	OK	35.88	OK
1D + 0,75L + 0,75(0,7Ex)	1168.85	55.66	0.33	OK	15.56	OK

1D + 0,75L - 0,75(0,7Ex)	1042.09	49.62	0.30	OK	13.87	OK
1D + 0,75L + 0,75(0,7Ey)	2132.07	101.53	0.61	OK	28.38	OK
1D + 0,75L - 0,75(0,7Ey)	2005.30	95.49	0.57	OK	26.70	OK

Tabel 4.60 Kontrol Gaya Lateral Pondasi Tipe 5

Kombinasi	H _{max} (kN)	H _{max 1} tiang (kN)	δ	Kontrol	M _{max} (ton.m)	Kontrol
Dead	212.13	7.07	0.04	OK	1.98	OK
1D + 1L	287.97	9.60	0.06	OK	2.68	OK
1D + 0,75L	274.67	9.16	0.05	OK	2.56	OK
0,6D + 0,7Ex	3560.53	118.68	0.71	OK	33.18	OK
0,6D - 0,7Ex	3423.88	114.13	0.69	OK	31.91	OK
0,6D + 0,7Ey	2209.29	73.64	0.44	OK	20.59	OK
0,6D - 0,7Ey	2269.48	75.65	0.45	OK	21.15	OK
1D + 0,7Ex	3155.32	105.18	0.63	OK	29.40	OK
1D - 0,7Ex	3378.32	112.61	0.68	OK	31.48	OK
1D + 0,7Ey	2254.84	75.16	0.45	OK	21.01	OK
1D - 0,7Ey	2316.43	77.21	0.46	OK	21.59	OK
1D + 0,75L + 0,75(0,7Ex)	2733.03	91.10	0.55	OK	25.47	OK
1D + 0,75L - 0,75(0,7Ex)	2505.27	83.51	0.50	OK	23.35	OK
1D + 0,75L + 0,75(0,7Ey)	1719.60	57.32	0.34	OK	16.03	OK
1D + 0,75L - 0,75(0,7Ey)	1766.67	58.89	0.35	OK	16.46	OK

4.7.3. Perencanaan Poer

Poer direncanakan terhadap gaya geser ponds pada penampang kritis dan penulangan akibat momen lentur. Pada subbab ini akan dicontohkan perencanaan poer dari pondasi tipe 1.

4.7.3.1. Data Perencanaan Poer

Poer pada tipe pondasi 1 akan direncanakan berdasarkan data perencanaan sebagai berikut:

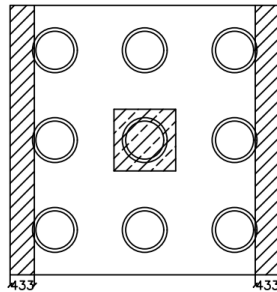
B_{kolom}	: 1100 mm
H_{kolom}	: 1100 mm
P_u	: 1522,54 ton
D_{pile}	: 800 mm
P_{max}	: 205,64 ton
n	: 9 tiang
B_{poer}	: 4800 mm
L_{poer}	: 4800 mm
t_{poer}	: 1500 mm
f'_c	: 45 MPa
f_y	: 420 MPa
$D_{tulangan}$: 25 mm
<i>Clear cover</i>	: 70 mm
λ	: 1 untuk beton normal
α_s	: 40 untuk kolom interior
dx	: $1500 - 70 - 0,5(25)$: 1417,5 mm
dy	: $1500 - 70 - 25 - 0,5(25)$: 1392,5 mm

4.7.3.2. Kontrol Geser Poer

Dalam perencanaan kontrol geser poer, poer akan ditinjau kekuatannya terhadap 3 jenis geser. Diantaranya adalah geser pons satu arah, geser pons dua arah akibat kolom, dan geser pons dua arah akibat tiang pancang.

1. Geser Pons Satu Arah

Geser pons satu arah direncanakan pada bidang kritis yang berada pada jarak $d = 1417,5$ mm dari muka kolom. Bidang geser pons satu arah pada pondasi tipe 1 digambarkan pada Gambar 4.50.

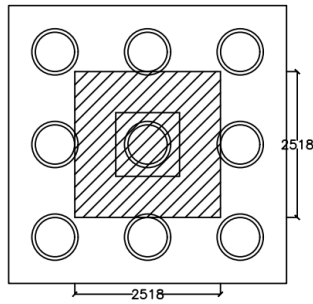


Gambar 4.50 Bidang Kritis Geser Pons Satu Arah Pondasi Tipe 1

$$\begin{aligned}
 V_u &= 2,4 \times 1,5 \times 4,8 \times 0,433 \\
 &= 7,482 \text{ ton} \\
 \phi V_c &= 0,75 \sqrt{f'_c} b d \\
 &= 0,75 \sqrt{45} (4800) (1417,5) \\
 &= 34231964,67 \text{ N} \\
 &= 3425,2 \text{ ton} \\
 \phi V_c &> V_u \text{ (OK)}
 \end{aligned}$$

2. Geser Pons Dua Arah Akibat Kolom

Geser pons dua arah direncanakan pada bidang kritis yang berada pada jarak $d/2 = 708,75$ mm dari muka kolom. Bidang geser pons dua arah pada pondasi tipe 1 digambarkan pada Gambar 4.51.



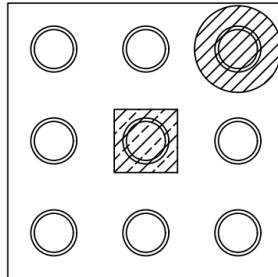
Gambar 4.51 Bidang Kritis Geser Pons Dua Arah Akibat Kolom Pondasi Tipe 1

$$\begin{aligned}
 b_o &= 10070 \text{ mm} \\
 a_1 &= 2518 \text{ mm} \\
 b_1 &= 2518 \text{ mm} \\
 P_u &= 1522,4 \text{ ton} \\
 W_u &= 2,4 \times 4,8 \times 4,8 \times 1,5 \\
 &= 82,94 \text{ ton} \\
 P_{u \text{ punch}} &= 1545,35 \text{ ton} \\
 V_{c1} &= 0,17 \left(1 + \frac{2}{\beta}\right) \lambda \sqrt{f'_c} b_o d \\
 &= 0,17 \left(1 + \frac{2}{1}\right) 1 \sqrt{45} (10070) (1417,5) \\
 &= 48834750,26 \text{ N} \\
 V_{c2} &= 0,083 \left(\frac{\alpha_s d}{b_o} + 2\right) \lambda \sqrt{f'_c} b_o d \\
 &= 0,083 \left(\frac{40(1417,5)}{10070} + 2\right) 1 \sqrt{45} (10070) (1417,5) \\
 &= 60644968,25 \text{ N} \\
 V_{c3} &= 0,333 \lambda \sqrt{f'_c} b_o d \\
 &= 0,333 (1) \sqrt{45} (10070) (1417,5) \\
 &= 31886219,29 \text{ N} \\
 V_{c \text{ pakai}} &= 31886219,29 \text{ N} \\
 \phi V_c &= 23914664,47 \text{ N} \\
 \phi V_c &> P_{u \text{ punch}} \text{ (OK)}
 \end{aligned}$$

$$\begin{aligned}
 \tau_u &= \frac{P_u}{U \times d} \\
 &= \frac{1545,35}{10070 \times 1417,5} \\
 &= 1,083 \text{ MPa} \\
 \tau_c &= 0,333 \lambda \sqrt{f'_c} \\
 &= 0,333 (1) \sqrt{45} \\
 &= 2,236 \text{ MPa} \\
 \tau_c &> \tau_u \text{ (OK)}
 \end{aligned}$$

3. Geser Ponds Dua Arah Akibat Tiang Pancang

Geser ponds dua arah direncanakan pada bidang kritis yang berada pada jarak $d/2 = 708,75$ mm dari muka tiang. Bidang geser ponds dua arah pada pondasi tipe 1 digambarkan pada Gambar 4.52.



Gambar 4.52 Bidang Kritis Geser Ponds Dua Arah Akibat Tiang Pancang Pondasi Tipe 1

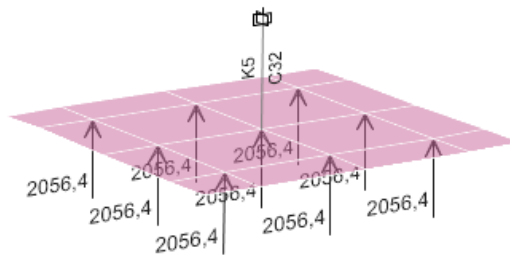
$$\begin{aligned}
 b_o &= 4739,878 \text{ mm} \\
 P_{\max} &= 205,64 \text{ ton} \\
 P_u &= 205,64 \text{ ton} \\
 V_{c1} &= \left(1 + \frac{2}{\beta}\right) \lambda \sqrt{f'_c} b_o d \\
 &= \left(1 + \frac{2}{1}\right) 1 \sqrt{45} (4739,878) (1417,5) \\
 &= 135212780 \text{ N}
 \end{aligned}$$

$$\begin{aligned}
V_{c2} &= 0,083 \left(\frac{\alpha_s d}{b_o} + 2 \right) \lambda \sqrt{f'_c} b_o d \\
&= 0,083 \left(\frac{40(1417,5)}{10070} + 2 \right) 1 \sqrt{45} (4739,8) (1417,5) \\
&= 52231509,65 \text{ N} \\
V_{c3} &= 0,333 \lambda \sqrt{f'_c} b_o d \\
&= 0,333 (1) \sqrt{45} (4739,878) (1417,5) \\
&= 15008618,6 \text{ N} \\
V_{c \text{ pakai}} &= 15008618,6 \text{ N} \\
\phi V_c &= 11256463,95 \text{ N} \\
\phi V_c &> P_u \text{ (OK)} \\
\tau_u &= \frac{P_u}{U \times d} \\
&= \frac{205,64}{4739,8 \times 1417,5} \\
&= 0,31 \text{ MPa} \\
\tau_c &= 0,333 \lambda \sqrt{f'_c} \\
&= 0,333 (1) \sqrt{45} \\
&= 2,236 \text{ MPa} \\
\tau_c &> \tau_u \text{ (OK)}
\end{aligned}$$

Berdasarkan perhitungan di atas, dapat disimpulkan bahwa tebal poer sebesar 1500 mm dapat digunakan.

4.7.3.3. Perencanaan Penulangan Poer

Untuk penulangan lentur, poer dianalisa sebagai pelat (*shell thick*) dengan perletakan jepit pada kolom. Sedangkan beban yang bekerja adalah beban terpusat pada setiap titik tiang pancang, beban *uplift*, dan berat sendiri poer. Perhitungan gaya dalam pada poer menggunakan program bantu ETABS 2016. Pada subbab ini akan dicontohkan perhitungan penulangan untuk poer pada pondasi tipe 1. Permodelan poer pada ETABS 2016 ditunjukkan pada Gambar 4.53.



Gambar 4.53 Permodelan Poer Pondasi Tipe 1 pada ETABS 2016

$$\begin{aligned}
 q_D &= 2,4 \times t_{\text{poer}} \\
 &= 2,4 \times 1,5 \\
 &= 3,6 \text{ ton/m}^2 \\
 q_{\text{uplift}} &= 10 \times h \\
 &= 10 \times 6 \\
 &= 60 \text{ ton/m}^2 \\
 P_{\text{max}} &= 2056,4 \text{ ton}
 \end{aligned}$$

Berdasarkan pembebanan di atas, didapatkan output nilai M_u dari program bantu ETABS 2016. Output M_u dan P_{max} yang terjadi pada setiap tipe pondasi akan ditunjukkan pada Tabel 4.61.

Tabel 4.61 P_{max} dan Output Momen pada Poer

Tipe Pondasi	P_{max} tiang pancang (kN)	M_{ux} (kN.m)		M_{uy} (kN.m)	
		+	-	+	-
1	2056.40	4,491.15	492.46	4,491.15	492.46
2	1842.26	4,767.08	594.68	4,238.07	1,187.42
3	904.09	1,316.15	1,238.92	1,335.84	614.83
4	5725.05	2,930.51	3,093.27	5,296.40	3,958.14
5	5673.84	12,546.85	14,913.78	9,959.24	6,408.28

Penulangan poer untuk masing-masing arah pada pondasi tipe 1 dihitung sebagai berikut:

1. Penulangan Arah X Positif (Atas)

$$M_u = 4491,15 \text{ kNm}$$

$$D_{\text{tulangan}} = 25 \text{ mm}$$

$$\phi = 0,90$$

$$\begin{aligned} R_n &= \frac{M_u}{\phi b d^2} \\ &= \frac{4491,15 \times 10^3}{0,9 (1000) 1417,5^2} \\ &= 0,52 \text{ MPa} \end{aligned}$$

$$\begin{aligned} m &= \frac{f_y}{0,85 f'c} \\ &= \frac{420}{0,85 (45)} \\ &= 10,98 \end{aligned}$$

$$\begin{aligned} \rho_{\text{perlu}} &= \frac{1}{m} \left(1 - \sqrt{1 - \frac{2mR_n}{f_y}} \right) \\ &= \frac{1}{10,98} \left(1 - \sqrt{1 - \frac{2 \times 10,98 \times 0,52}{420}} \right) \\ &= 0,0012 \end{aligned}$$

$$\begin{aligned} \rho_{\text{min1}} &= 0,25 \frac{\sqrt{f'c}}{f_y} \\ &= 0,00399 \end{aligned}$$

$$\begin{aligned} \rho_{\text{min2}} &= \frac{1,4}{f_y} \\ &= 0,00333 \end{aligned}$$

$$\rho_{\text{min pakai}} = 0,00399$$

$$\rho_{\text{pakai}} = 0,00399$$

$$\begin{aligned} A_{S_{\text{perlu}}} &= \rho_{\text{pakai}} \times b \times d \\ &= 0,00399 \times 1000 \times 1417,5 \\ &= 5660,05 \text{ mm}^2 \end{aligned}$$

$$\begin{aligned} S_{\text{max 1}} &= 3h \\ &= 4500 \text{ mm} \end{aligned}$$

$$S_{\text{max 2}} = 450 \text{ mm}$$

$$\begin{aligned} S_{\text{hasil}} &= 1000 \times \frac{A_{S_{\text{tulangan}}}}{A_{S_{\text{perlu}}}} \\ &= 86,72 \text{ mm} \end{aligned}$$

$$S_{\text{pakai}} = 75 \text{ mm}$$

∴ Maka, digunakan tulangan atas arah X D25–75 mm.

2. Penulangan Arah X Negatif (Bawah)

$$M_u = 492,46 \text{ kNm}$$

$$D_{\text{tulangan}} = 25 \text{ mm}$$

$$\phi = 0,90$$

$$\begin{aligned} R_n &= \frac{M_u}{\phi b d^2} \\ &= \frac{492,46 \times 10^3}{0,9 (1000) 1417,5^2} \\ &= 0,056 \text{ MPa} \end{aligned}$$

$$\begin{aligned} m &= \frac{f_y}{0,85 f'c} \\ &= \frac{420}{0,85 (45)} \\ &= 10,98 \end{aligned}$$

$$\begin{aligned} \rho_{\text{perlu}} &= \frac{1}{m} \left(1 - \sqrt{1 - \frac{2mR_n}{f_y}} \right) \\ &= \frac{1}{10,98} \left(1 - \sqrt{1 - \frac{2 \times 10,98 \times 0,056}{420}} \right) \\ &= 0,0012 \end{aligned}$$

$$\begin{aligned} \rho_{\text{min1}} &= 0,25 \frac{\sqrt{f'c}}{f_y} \\ &= 0,00399 \end{aligned}$$

$$\begin{aligned} \rho_{\text{min2}} &= \frac{1,4}{f_y} \\ &= 0,00333 \end{aligned}$$

$$\rho_{\text{min pakai}} = 0,00399$$

$$\rho_{\text{pakai}} = 0,00399$$

$$\begin{aligned} A_{S_{\text{perlu}}} &= \rho_{\text{pakai}} \times b \times d \\ &= 0,00399 \times 1000 \times 1417,5 \\ &= 5660,05 \text{ mm}^2 \end{aligned}$$

$$\begin{aligned} S_{\text{max 1}} &= 3h \\ &= 4500 \text{ mm} \end{aligned}$$

$$S_{\text{max 2}} = 450 \text{ mm}$$

$$\begin{aligned} S_{\text{shasil}} &= 1000 \times \frac{A_s \text{ tulangan}}{A_s \text{ perlu}} \\ &= 86,72 \text{ mm} \end{aligned}$$

$$S_{\text{pakai}} = 75 \text{ mm}$$

∴ Maka, digunakan tulangan bawah arah X D25–75 mm.

3. Penulangan Arah Y Positif (Atas)

$$M_u = 4491,15 \text{ kNm}$$

$$D_{\text{tulangan}} = 25 \text{ mm}$$

$$\phi = 0,90$$

$$\begin{aligned} R_n &= \frac{M_u}{\phi b d^2} \\ &= \frac{4491,15 \times 10^3}{0,9 (1000) 1417,5^2} \\ &= 0,52 \text{ MPa} \end{aligned}$$

$$\begin{aligned} m &= \frac{f_y}{0,85 f'c} \\ &= \frac{420}{0,85 (45)} \\ &= 10,98 \end{aligned}$$

$$\begin{aligned} \rho_{\text{perlu}} &= \frac{1}{m} \left(1 - \sqrt{1 - \frac{2mR_n}{f_y}} \right) \\ &= \frac{1}{10,98} \left(1 - \sqrt{1 - \frac{2 \times 10,98 \times 0,52}{420}} \right) \\ &= 0,0012 \end{aligned}$$

$$\begin{aligned} \rho_{\text{min1}} &= 0,25 \frac{\sqrt{f'c}}{f_y} \\ &= 0,00399 \end{aligned}$$

$$\begin{aligned} \rho_{\text{min2}} &= \frac{1,4}{f_y} \\ &= 0,00333 \end{aligned}$$

$$\rho_{\text{min pakai}} = 0,00399$$

$$\rho_{\text{pakai}} = 0,00399$$

$$\begin{aligned} A_{S_{\text{perlu}}} &= \rho_{\text{pakai}} \times b \times d \\ &= 0,00399 \times 1000 \times 1417,5 \end{aligned}$$

$$\begin{aligned}
 &= 5660,05 \text{ mm}^2 \\
 S_{\text{max 1}} &= 3h \\
 &= 4500 \text{ mm} \\
 S_{\text{max 2}} &= 450 \text{ mm} \\
 S_{\text{hasil}} &= 1000 \times \frac{As \text{ tulangan}}{As \text{ perlu}} \\
 &= 86,72 \text{ mm} \\
 S_{\text{pakai}} &= 75 \text{ mm}
 \end{aligned}$$

∴ Maka, digunakan tulangan atas arah Y D25–75 mm.

4. Penulangan Arah Y Negatif (Bawah)

$$M_u = 492,46 \text{ kNm}$$

$$D_{\text{tulangan}} = 25 \text{ mm}$$

$$\phi = 0,90$$

$$\begin{aligned}
 R_n &= \frac{Mu}{\phi b d^2} \\
 &= \frac{492,46 \times 10^3}{0,9 (1000) 1417,5^2} \\
 &= 0,056 \text{ MPa}
 \end{aligned}$$

$$\begin{aligned}
 m &= \frac{fy}{0,85 f'c} \\
 &= \frac{420}{0,85 (45)} \\
 &= 10,98
 \end{aligned}$$

$$\begin{aligned}
 \rho_{\text{perlu}} &= \frac{1}{m} \left(1 - \sqrt{1 - \frac{2mR_n}{fy}} \right) \\
 &= \frac{1}{10,98} \left(1 - \sqrt{1 - \frac{2 \times 10,98 \times 0,056}{420}} \right) \\
 &= 0,0012
 \end{aligned}$$

$$\begin{aligned}
 \rho_{\text{min1}} &= 0,25 \frac{\sqrt{f'c}}{fy} \\
 &= 0,00399
 \end{aligned}$$

$$\begin{aligned}
 \rho_{\text{min2}} &= \frac{1,4}{fy} \\
 &= 0,00333
 \end{aligned}$$

$$\rho_{\text{min pakai}} = 0,00399$$

$$\begin{aligned} \rho_{\text{pakai}} &= 0,00399 \\ A_{\text{Sperlu}} &= \rho_{\text{pakai}} \times b \times d \\ &= 0,00399 \times 1000 \times 1417,5 \\ &= 5660,05 \text{ mm}^2 \\ S_{\text{max 1}} &= 3h \\ &= 4500 \text{ mm} \\ S_{\text{max 2}} &= 450 \text{ mm} \\ S_{\text{hasil}} &= 1000 \times \frac{A_{\text{S tulangan}}}{A_{\text{S perlu}}} \\ &= 86,72 \text{ mm} \\ S_{\text{pakai}} &= 75 \text{ mm} \end{aligned}$$

∴ Maka, digunakan tulangan bawah arah Y D25–75 mm.

Berdasarkan perhitungan penulangan poer di atas, didapatkan rekapitulasi perhitungan penulangan poer yang disajikan pada Tabel 4.62 berikut.

Tabel 4.62 Rekapitulasi Penulangan Poer

Tipe Pondasi	Tulangan Positif		Tulangan Negatif	
	Arah X	Arah Y	Arah X	Arah Y
1	D25 – 75mm	D25 – 75mm	D25 – 75mm	D25 – 75mm
2	D25 – 75mm	D25 – 75mm	D25 – 75mm	D25 – 75mm
3	D25 – 75mm	D25 – 75mm	D25 – 75mm	D25 – 75mm
4	D25 – 75mm	D25 – 75mm	D25 – 75mm	D25 – 75mm
5	D25 – 75mm	D25 – 75mm	D25 – 75mm	D25 – 75mm

4.7.4. Perencanaan Dinding Penahan Tanah

Dinding penahan tanah direncanakan berdasarkan gaya horizontal yang bekerja pada konstruksi penahan dengan massa tanah yang ditahan. Data perencanaan untuk dinding penahan tanah adalah sebagai berikut:

$$\begin{aligned} h &: 3,2 \text{ m} \\ t &: 35 \text{ mm} \\ f'_c &: 40 \text{ MPa} \end{aligned}$$

f_y	: 420 MPa
<i>clear cover</i>	: 70 mm
$D_{tulangan}$: 16 mm
dz	: 272 mm
dx	: 256 mm

Pada perencanaan ini, dinding penahan tanah direncanakan dengan kondisi muka air tertinggi dan juga *surcharge load* akibat kendaraan sebesar $0,8 \text{ t/m}^2$.

γ_{sat}	: $1,71 \text{ t/m}^3$
γ_{air}	: 1 t/m^3
γ'	: $0,71 \text{ t/m}^3$
ϕ	: $6,3^\circ$
c'	: $0,23 \text{ t/m}^2$

4.7.4.1. Tekanan Aktif Tanah

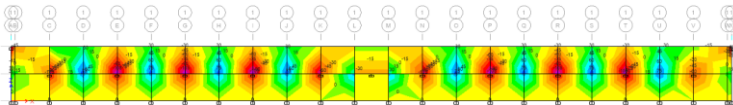
Pada perencanaan ini hanya akan diperhitungkan tekanan aktif tanah, karena pada struktur *basement* tidak terdapat tanah pasif yang menahan dinding *basement*.

$$\begin{aligned}
 K_a &= \tan^2 \left(45 - \frac{\phi}{2} \right) \\
 &= \tan^2 \left(45 - \frac{6,3}{2} \right) \\
 &= 0,80 \\
 \sigma_{v'(0)} &= q + \gamma' h \\
 &= 0,8 + 0,71 \times 0 \\
 &= 0,8 \text{ t/m}^2 \\
 \sigma_{h'(0)} &= \sigma_{v'(0)} \times K_a - (2c' \sqrt{K_a}) \\
 &= 0,8 \times 0,8 - (2 \times 0,23 \sqrt{0,8}) \\
 &= 0,23 \text{ t/m}^2 \\
 \sigma_{h_{air}(0)} &= \gamma_{air} h \\
 &= 1 \times 0 \\
 &= 0 \text{ t/m}^2 \\
 \sigma_{h_{total}(0)} &= \sigma_{h'(0)} + \sigma_{h_{air}(0)} \\
 &= 0,8 \text{ t/m}^2 \\
 \sigma_{v'(3,2)} &= q + \gamma' h
 \end{aligned}$$

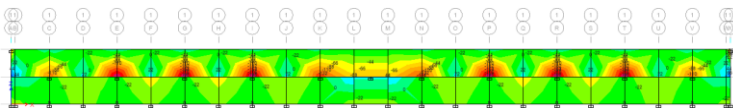
$$\begin{aligned}
 &= 0,8 + 0,71 \times 3,2 \\
 &= 3,07 \text{ t/m}^2 \\
 \sigma'_{(3,2)} &= \sigma'_{(3,2)} \times K_a - (2c' \sqrt{K_a}) \\
 &= 3,07 \times 0,8 - (2 \times 0,23 \sqrt{0,8}) \\
 &= 2,05 \text{ t/m}^2 \\
 \sigma_{\text{air}}(3,2) &= \gamma_{\text{air}} h \\
 &= 1 \times 3,2 \\
 &= 3,2 \text{ t/m}^2 \\
 \sigma_{\text{total}}(3,2) &= \sigma'_{(3,2)} + \sigma_{\text{air}}(3,2) \\
 &= 5,25 \text{ t/m}^2
 \end{aligned}$$

Beban yang terjadi pada dinding penahan tanah merupakan beban merata trapesium sebesar $0,8 \text{ t/m}^2$ pada titik paling atas dinding dan sebesar $5,25 \text{ t/m}^2$ pada titik paling bawah dinding. Pembebanan tersebut kemudian diinput dalam permodelan dinding *basement* menggunakan program bantu ETABS 2016.

Pada perencanaan ini, dinding penahan tanah akan direncanakan menggunakan angkur dengan jarak antar angkur 2 meter pada sepanjang permukaan dinding sebagai penahan lateral dan penyumbang gaya pasif untuk menjaga agar dinding *basement* tetap stabil. Angkur akan dimodelkan sebagai perletakan jepit pada muka dinding *basement*. Hasil permodelan dinding *basement* yang didapatkan dari program bantu ETABS 2016 ditunjukkan pada Gambar 4.54 dan Gambar 4.55.



Gambar 4.54 Output M11 pada Dinding *Basement*



Gambar 4.55 Output M22 pada Dinding *Basement*

$$\begin{aligned}
 M_{x+} &= 85,743 \text{ kNm} \\
 M_{x-} &= 118,897 \text{ kNm} \\
 M_{y+} &= 81,492 \text{ kNm} \\
 M_{y-} &= 204,684 \text{ kNm}
 \end{aligned}$$

4.7.4.2. Penulangan Dinding Basement

1. Penulangan Tulangan Positif Arah X

$$M_u = 85,743 \text{ kNm}$$

$$D_{\text{tulangan}} = 16 \text{ mm}$$

$$\phi = 0,90$$

$$\begin{aligned}
 R_n &= \frac{M_u}{\phi b d^2} \\
 &= \frac{85,743 \times 10^3}{0,9 (1000) 272^2} \\
 &= 1,29 \text{ MPa}
 \end{aligned}$$

$$\begin{aligned}
 m &= \frac{f_y}{0,85 f'c} \\
 &= \frac{420}{0,85 (40)} \\
 &= 12,35
 \end{aligned}$$

$$\begin{aligned}
 \rho_{\text{perlu}} &= \frac{1}{m} \left(1 - \sqrt{1 - \frac{2mR_n}{f_y}} \right) \\
 &= \frac{1}{12,35} \left(1 - \sqrt{1 - \frac{2 \times 12,35 \times 1,29}{420}} \right) \\
 &= 0,00313
 \end{aligned}$$

$$\begin{aligned}
 \rho_{\text{min}} &= 0,0018 \frac{420}{f_y} \\
 &= 0,0018
 \end{aligned}$$

$$\rho_{\text{pakai}} = 0,00313$$

$$\begin{aligned}
 A_{S\text{perlu}} &= \rho_{\text{pakai}} \times b \times d \\
 &= 0,00313 \times 1000 \times 272 \\
 &= 850,36 \text{ mm}^2
 \end{aligned}$$

$$\begin{aligned}
 S_{\text{max 1}} &= 3h \\
 &= 1050 \text{ mm}
 \end{aligned}$$

$$S_{\text{max 2}} = 450 \text{ mm}$$

$$\begin{aligned} S_{\text{shasil}} &= 1000 \times \frac{A_s \text{ tulangan}}{A_s \text{ perlu}} \\ &= 263,44 \text{ mm} \end{aligned}$$

$$S_{\text{pakai}} = 225 \text{ mm}$$

∴ Maka, digunakan tulangan positif arah X D16–225 mm.

2. Penulangan Tulangan Positif Arah Y

$$M_u = 82,492 \text{ kNm}$$

$$D_{\text{tulangan}} = 16 \text{ mm}$$

$$\phi = 0,90$$

$$\begin{aligned} R_n &= \frac{M_u}{\phi b d^2} \\ &= \frac{81,492 \times 10^3}{0,9 (1000) 256^2} \\ &= 1,38 \text{ MPa} \end{aligned}$$

$$\begin{aligned} m &= \frac{f_y}{0,85 f'c} \\ &= \frac{420}{0,85 (40)} \\ &= 12,35 \end{aligned}$$

$$\begin{aligned} \rho_{\text{perlu}} &= \frac{1}{m} \left(1 - \sqrt{1 - \frac{2mR_n}{f_y}} \right) \\ &= \frac{1}{12,35} \left(1 - \sqrt{1 - \frac{2 \times 12,35 \times 1,38}{420}} \right) \\ &= 0,00336 \end{aligned}$$

$$\begin{aligned} \rho_{\text{min}} &= 0,0018 \frac{420}{f_y} \\ &= 0,0018 \end{aligned}$$

$$\rho_{\text{pakai}} = 0,00336$$

$$\begin{aligned} A_{S_{\text{perlu}}} &= \rho_{\text{pakai}} \times b \times d \\ &= 0,00336 \times 1000 \times 256 \\ &= 859,98 \text{ mm}^2 \end{aligned}$$

$$\begin{aligned} S_{\text{max 1}} &= 3h \\ &= 1050 \text{ mm} \end{aligned}$$

$$S_{\text{max 2}} = 450 \text{ mm}$$

$$\begin{aligned} S_{\text{shasil}} &= 1000 \times \frac{As_{\text{tulangan}}}{As_{\text{perlu}}} \\ &= 233,79 \text{ mm} \end{aligned}$$

$$S_{\text{pakai}} = 225 \text{ mm}$$

∴ Maka, digunakan tulangan positif arah Y D16–225 mm.

3. Penulangan Tulangan Negatif Arah X

$$M_u = 118,897 \text{ kNm}$$

$$D_{\text{tulangan}} = 16 \text{ mm}$$

$$\phi = 0,90$$

$$\begin{aligned} R_n &= \frac{M_u}{\phi b d^2} \\ &= \frac{118,897 \times 10^3}{0,9 (1000) 272^2} \\ &= 1,79 \text{ MPa} \end{aligned}$$

$$\begin{aligned} m &= \frac{f_y}{0,85 f'c} \\ &= \frac{420}{0,85 (40)} \\ &= 12,35 \end{aligned}$$

$$\begin{aligned} \rho_{\text{perlu}} &= \frac{1}{m} \left(1 - \sqrt{1 - \frac{2mR_n}{f_y}} \right) \\ &= \frac{1}{12,35} \left(1 - \sqrt{1 - \frac{2 \times 12,35 \times 1,79}{420}} \right) \\ &= 0,00436 \end{aligned}$$

$$\begin{aligned} \rho_{\text{min}} &= 0,0018 \frac{420}{f_y} \\ &= 0,0018 \end{aligned}$$

$$\rho_{\text{pakai}} = 0,00436$$

$$\begin{aligned} AS_{\text{perlu}} &= \rho_{\text{pakai}} \times b \times d \\ &= 0,00436 \times 1000 \times 272 \\ &= 1188,48 \text{ mm}^2 \end{aligned}$$

$$\begin{aligned} S_{\text{max 1}} &= 3h \\ &= 1050 \text{ mm} \end{aligned}$$

$$S_{\text{max 2}} = 450 \text{ mm}$$

$$\begin{aligned} S_{\text{shasil}} &= 1000 \times \frac{A_s \text{ tulangan}}{A_s \text{ perlu}} \\ &= 169,17 \text{ mm} \end{aligned}$$

$$S_{\text{pakai}} = 150 \text{ mm}$$

∴ Maka, digunakan tulangan negatif arah X D16–150 mm.

4. Penulangan Tulangan Negatif Arah Y

$$M_u = 204,684 \text{ kNm}$$

$$D_{\text{tulangan}} = 16 \text{ mm}$$

$$\phi = 0,90$$

$$\begin{aligned} R_n &= \frac{M_u}{\phi b d^2} \\ &= \frac{204,684 \times 10^3}{0,9 (1000) 256^2} \\ &= 3,47 \text{ MPa} \end{aligned}$$

$$\begin{aligned} m &= \frac{f_y}{0,85 f'c} \\ &= \frac{420}{0,85 (40)} \\ &= 12,35 \end{aligned}$$

$$\begin{aligned} \rho_{\text{perlu}} &= \frac{1}{m} \left(1 - \sqrt{1 - \frac{2mR_n}{f_y}} \right) \\ &= \frac{1}{12,35} \left(1 - \sqrt{1 - \frac{2 \times 12,35 \times 3,47}{420}} \right) \\ &= 0,00873 \end{aligned}$$

$$\begin{aligned} \rho_{\text{min}} &= 0,0018 \frac{420}{f_y} \\ &= 0,0018 \end{aligned}$$

$$\rho_{\text{pakai}} = 0,00873$$

$$\begin{aligned} A_{S_{\text{perlu}}} &= \rho_{\text{pakai}} \times b \times d \\ &= 0,00873 \times 1000 \times 256 \\ &= 2235,81 \text{ mm}^2 \end{aligned}$$

$$\begin{aligned} S_{\text{max 1}} &= 3h \\ &= 1050 \text{ mm} \end{aligned}$$

$$S_{\text{max 2}} = 450 \text{ mm}$$

$$\begin{aligned}
 S_{\text{hasil}} &= 1000 \times \frac{As_{\text{tulangan}}}{As_{\text{perlu}}} \\
 &= 89,93 \text{ mm} \\
 S_{\text{pakai}} &= 75 \text{ mm}
 \end{aligned}$$

∴ Maka, digunakan tulangan negatif arah Y D16–75 mm.

4.7.5. Perencanaan Sloof

Struktur sloof berfungsi untuk membuat penurunan secara bersamaan pada pondasi atau sebagai pengaku yang menghubungkan antara satu pondasi dengan pondasi lainnya. Beban-beban yang ditumpukan ke sloof yaitu berat sloof sendiri, beban aksial tekan atau tarik yang diambil 10% dari beban aksial kolom.

Sloof akan direncanakan dengan data perencanaan sebagai berikut:

$$\begin{aligned}
 b &: 600 \text{ mm} \\
 h &: 900 \text{ mm} \\
 f'_c &: 45 \text{ MPa} \\
 f_y &: 420 \text{ MPa} \\
 \text{clear cover} &: 70 \text{ mm} \\
 D_{\text{lentur}} &: 32 \text{ mm} \\
 D_{\text{transversal}} &: 16 \text{ mm} \\
 d &: 900 - 70 - 16 - 0,5(32) \\
 &: 798 \text{ mm}
 \end{aligned}$$

Penulangan sloof didasarkan atas kondisi pembebanan dimana beban yang diterima adalah beban aksial dan lentur sehingga perilakunya diasumsikan seperti kolom. Dalam perencanaan ini akan digunakan program bantu spColumn untuk mengetahui diagram interaksi pada sloof.

Pembebanan pada sloof ditinjau atas dua kondisi, yaitu beban akibat kendaraan pada basement dan akibat uplift.

- Akibat Kendaraan
 $q_D = 2400 \text{ kg/m}^2$

- $q_L = 500 \text{ kg/m}^2$
- Akibat Uplift
 $q_{\text{uplift}} = 3200 \text{ kg/m}^2$

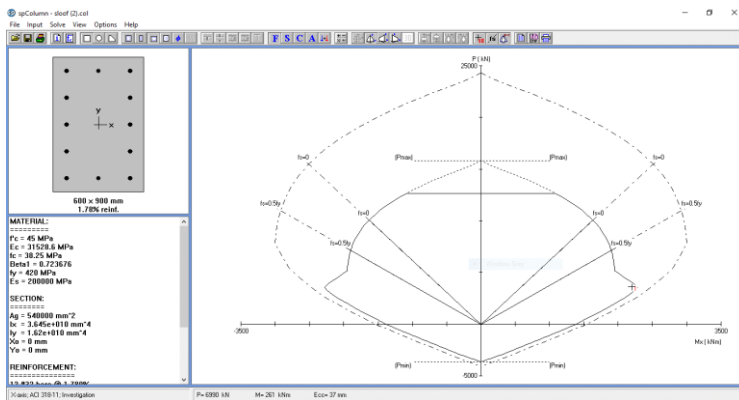
Beban-besan tersebut kemudian dimodelkan pada program bantu ETABS 2016 dengan kombinasi pembebanan sebagai berikut:

$$\begin{aligned} q_{U1} &= 1,4q_D \\ q_{U2} &= 1,2q_D + 1,6q_D \\ q_{U1} &= q_{\text{uplift}} - q_D \end{aligned}$$

Sehingga didapatkan output gaya-gaya yang bekerja pada sloof sebesar:

$$\begin{aligned} M_u &= 392,53 \text{ kNm} \\ V_u &= 336,6357 \text{ kN} \\ P_u &= 36177,538 \text{ kN} \\ P &= 10\% P_u \\ &= 3617,8 \text{ kN} \end{aligned}$$

Tulangan sloof direncanakan menggunakan 12D32. Diagram interaksi yang terjadi pada sloof dari hasil analisa menggunakan program bantu spColumn ditunjukkan pada Gambar 4.56.



Gambar 4.56 Diagram Interaksi Sloof

$$\begin{aligned}
 M_u &= 392,53 \text{ kNm} \\
 M_n &= 2523,7 \text{ kNm} \\
 \phi M_n &= 2271,3 \text{ kNm} \\
 \phi M_n &> M_u \text{ (OK)}
 \end{aligned}$$

Tulangan geser pada sloof akan direncanakan seperti perencanaan tulangan geser pada balok.

$$\begin{aligned}
 V_u &= 336635,7 \text{ N} \\
 V_c &= 0,17\sqrt{f'c} \text{ bd} \\
 &= 546020,96 \text{ N} \\
 \phi V_c &= 409515,73 \text{ N} \\
 0,5\phi V_c &= 204757,86 \text{ N} \\
 V_{s \text{ min}} &= 0,017\sqrt{f'c} \text{ bd} \\
 &= 200743,00 \text{ N} \\
 \phi(V_c + V_{s \text{ min}}) &= 560072,97 \text{ N}
 \end{aligned}$$

Syarat:

Kondisi 1

$$V_u \leq 0,5\phi V_c \rightarrow \text{tidak memenuhi}$$

Kondisi 2:

$$0,5\phi V_c \leq V_u \leq \phi V_c \rightarrow \text{memenuhi}$$

Oleh karena kondisi 2 persyaratan tulangan geser terpenuhi, maka diperlukan tulangan geser minimum pada sloof.

$$\begin{aligned}
 S_{\text{pakai}} &= 300 \text{ mm} \\
 D_{\text{senggang}} &= 16 \text{ mm} \\
 f_{y \text{ senggang}} &= 420 \text{ MPa} \\
 n_{\text{senggang}} &= 2 \text{ kaki} \\
 A_{V_{\text{min } 1}} &= 0,062 \sqrt{f'c} \frac{bs}{f_y} \\
 &= 178,25 \text{ mm}^2 \\
 A_{V_{\text{min } 2}} &= 0,35 \frac{bs}{f_y} \\
 &= 150 \text{ mm}^2 \\
 A_{V_{\text{pakai}}} &= 2 \times 0,25 \pi d_{\text{senggang}}^2 \\
 &= 2 \times 0,25 \pi 16^2
 \end{aligned}$$

$$= 402,13 \text{ mm}^2 > A_{v_{\min}} \text{ (OK)}$$

∴ Maka, digunakan tulangan geser pada sloof sebesar 2D16–300 mm.

4.7.6. Perencanaan Tusuk Konde

Pada perencanaan tulangan tusuk konde digunakan rasio tulangan minimum, yaitu sebesar 2% dari diameter dalam tiang pancang. Tiang pancang yang digunakan dalam perencanaan tugas akhir ini merupakan tiang pancang berdiameter 800 mm dengan ketebalan dinding 120 mm.

Diameter tulangan

$$\text{Diameter dalam} = 800 - 2 \times 120 = 560 \text{ mm}$$

$$\begin{aligned} A_s \text{ perlu} &= \rho \times \frac{1}{4}\pi d^2 \\ &= 0,02 \times \frac{1}{4}\pi (560)^2 \\ &= 4926 \text{ mm}^2 \end{aligned}$$

$$n \text{ tulangan} = \frac{4926}{\frac{1}{4}\pi 32^2} = 6$$

Sehingga, digunakan tulangan tusuk konde 6 D32.

“Halaman ini sengaja dikosongkan...”

BAB V PENUTUP

5.1. Rangkuman Perencanaan

Berdasarkan hasil analisa perhitungan struktur yang telah direncanakan pada bab sebelumnya, maka dapat disimpulkan beberapa hasil perencanaan sesuai dengan perumusan masalah sebagai berikut:

1. Sesuai dengan perhitungan yang mengacu pada SNI 2847:2019, diperoleh dimensi untuk struktur sekunder, primer, dan struktur bawah yang akan ditunjukkan pada Tabel 5.1, Tabel 5.2, dan Tabel 5.3.

Tabel 5.1 Rekapitulasi Dimensi Struktur Sekunder

Struktur Sekunder				
Elemen	Tipe	Kondisi	Dimensi	Satuan
Pelat	Lantai	Pracetak	15	cm
	Atap	Pracetak	15	cm
	Basement	Cast in-situ	35	cm
Balok Anak	BA 1	Komposit	40/65	cm
		Pracetak	40/50	cm
	BA 2	Komposit	40/65	cm
		Pracetak	40/50	cm
	BA 3	Komposit	35/60	cm
		Pracetak	35/45	cm
Tangga	Pelat Tangga	Cast in-situ	15	cm
	Pelat Bordes		12	cm
	Balok Bordes		20/30	cm

Tabel 5.2 Rekapitulasi Dimensi Struktur Primer

Struktur Primer				
Elemen	Tipe	Kondisi	Dimensi	Satuan
	BI 1	Komposit	60/90	cm

Balok Induk	BI 2	Pracetak	60/75	cm	
		Komposit	60/90	cm	
	BI 3	Pracetak	60/75	cm	
		Komposit	80/120	cm	
	BI 4	Pracetak	80/105	cm	
		Komposit	80/120	cm	
	BI 5	Pracetak	80/105	cm	
		Komposit	80/120	cm	
	BI 6	Pracetak	80/105	cm	
		Komposit	80/120	cm	
	BI 7	Pracetak	80/105	cm	
		Komposit	80/120	cm	
	Kolom	K1	Pracetak	95 x 95	cm
		K2	Pracetak	100 x 100	cm
K3		Pracetak	105 x 105	cm	
K4		Pracetak	110 x 110	cm	
K5		Pracetak	110 x 110	cm	
Dinding Geser	SW 1	Cast in-situ	35	cm	
	SW 2	Cast in-situ	35	cm	
	SW 3	Cast in-situ	35	cm	

Tabel 5.3 Rekapitulasi Dimensi Struktur Bawah

Struktur Bawah				
Elemen	Tipe	Kondisi	Dimensi	Satuan
Spun Pile	Tipikal	Diameter	80	cm
		Kedalaman	24	m
Pile Cap	Type 1	Cast in-situ	4,8 x 4,8 x 1,5	m
	Type 2	Cast in-situ	4,8 x 10,1 x 1,5	m
	Type 3	Cast in-situ	10,4 x 10,4 x 1,5	m
	Type 4	Cast in-situ	4,8 x 11,2 x 1,5	m
	Type 5	Cast in-situ	10,4 x 8,8 x 1,5	m
Dinding	Basement	Cast in-situ	35	cm

Sloof	Tipikal	Cast in-situ	60/90	cm
-------	---------	--------------	-------	----

2. Perencanaan pembebanan struktur berdasarkan SNI 1727:2013 untuk beban hidup, PPIUG 1983 untuk beban mati, dan SNI 1726:2019 untuk beban gempa.
3. Dalam proses analisa struktur gedung Fakultas Ekonomi dan Bisnis Universitas Muhammadiyah Prof. Dr. Hamka menggunakan program bantu ETABS 2016. Data respon spektrum diambil dari petagempa.pusjatan.pu.go.id untuk wilayah Jakarta Timur dan permodelan analisa struktur tersebut dikontrol berdasarkan SNI 1726:2019.
4. Sambungan pada elemen balok – kolom dan balok induk – balok anak menggunakan produk sambungan mekanis *Modix Rebar Coupler* dari Peikko Group sedangkan sambungan antar kolom menggunakan produk sambungan mekanis *Coupler Sleeve* dari NMB Splice Sleeve. Pada elemen cast in-situ seperti tangga, dinding geser, pelat *basement* menggunakan sambungan konvensional dengan tulangan menerus.
5. Pondasi yang direncanakan sesuai dengan ketentuan perhitungan tiang pancang dari PT WIKA Beton dengan metode tegangan ijin dan perencanaan pile cap berdasarkan metode tegangan desain.
6. Hasil analisa struktur yang telah direncanakan akan diterjemahkan menjadi gambar teknik menggunakan program bantu AutoCAD dan akan dilampirkan.

5.2. Saran

Berdasarkan analisa saat proses penyusunan tugas akhir ini, terdapat beberapa saran yang dapat disampaikan yaitu:

1. Denah bangunan yang tidak simetris baik secara vertikal maupun horizontal akan menghasilkan gaya torsi yang besar sehingga mempengaruhi kebutuhan dimensi struktur menjadi relatif besar. Maka dalam proses awal

perencanaan sebuah bangunan, perlu dipertimbangkan tata letak denah yang efisien.

2. Perlu adanya analisa lanjutan dari segi biaya dan waktu pelaksanaan konstruksi gedung pracetak sesuai dengan desain yang telah direncanakan.
3. Pada pelaksanaan *erection* dan instalasi sambungan antar elemen pracetak, perlu adanya pengawasan dan perhatian lebih untuk meminimalisir gaya tak terduga yang dapat menyebabkan kegagalan struktur.

DAFTAR PUSTAKA

- Direktorat Jenderal Cipta Karya. (2006). *Pedoman Teknis Rumah dan Bangunan Tahan Gempa*. Jakarta.
- El-Arab, I. M. (2017). Web Shear Strengthening Technique of Deep Precast Prestressed Hollow Core Slabs under Truck Loads. *Journal of Building Construction and Planning Research*, 5, 129-145.
- Elliot, K. S. (2002). *Precast Concrete Structures*. Oxford: British Library Cataloguing.
- Ervianto, W. I. (2006). *Eksplorasi Teknologi dalam Proyek Konstruksi Beton Pracetak & Bekisting*. Yogyakarta: ANDI.
- Gue, S. S., & Tan, Y. (1998). *Design and Construction Considerations for Deep Excavation*. Malaysia: SSP Geotechnics Sdn Bhd.
- Gunawan, R. (1991). *Pengantar Teknik Fondasi* (5th ed.). Yogyakarta: Kanisius.
- Hardiyatmo, H. C. (1996). *Teknik Fondasi 1*. Jakarta: PT Gramedia Pustaka Utama.
- Hogan, L. D., & Farahmandpour, K. (2013). Roof Decks A to Z Part V: Precast, Prestressed Concrete Tees.
- Imran, I., & Hendrik, F. (2014). *Perencanaan Lanjut Struktur Beton Bertulang*. Bandung: ITB.
- Indrayana, A. B. (2013). *Analisis Desain Sambungan Balok - Kolom Sistem Pracetak untuk Ruko Tiga Lantai* (Skripsi tidak dipublikasikan). Surabaya: Institut Teknologi Sepuluh Nopember.

- Juwana, J. S. (2005). *Panduan Sistem Bangunan Tinggi untuk Arsitek dan Praktisi Bangunan*. Erlangga.
- Nawy, E. G. (2005). *Reinforced Concrete: A Fundamental Approach*. New Jersey: Pearson Education, Inc.
- Pamungkas, A., & Harianti, E. (2013). *Desain Pondasi Tahan Gempa*. Yogyakarta: ANDI.
- Paulay, T., & Priestley, M. (1992). *Seismic Design of Reinforced Concrete and Masonry Buildings*. Canada: John Wiley & Sons, Inc.
- PCI Design Handbook. (2004). *Precast and Prestressed Concrete* (6th ed.).
- Schueller, W. (1989). *Struktur Bangunan Bertingkat Tinggi*. Bandung: PT. ERESCO.
- SNI 1726:2019. *Tata Cara Perencanaan Ketahanan Gempa untuk Struktur Gedung dan Non Gedung*.
- SNI 1727:2013. *Beban Minimum untuk Perencanaan Bangunan Gedung dan Struktur Lain*.
- SNI 2847:2019. *Persyaratan Beton Struktural untuk Bangunan Gedung*.
- Sosrodarsono, S., & Nakazawa, K. (2000). *Mekanika Tanah & Teknik Pondasi*. Jakarta: PT Pradnya Paramita.
- Yadav, N. B., & Shah, R. A. (2013). Pre-Cast Technology: An Initial Step to Sustainable Development. *International Journal for Scientific Research & Development*, I(7), 1434-1436.

LAMPIRAN

LOG BOR

Bor No DB-01 (30m)
Location Kampus UHAMKA Fakultas Ekonomi, Pasar Rebo, Jakarta Timur
Date Agustus 2015
Type Wash Boring

GWL	DEPTH (m)	LITHOLOGY	DESCRIPTION	Strength	UDS (m)	SPT (nBlow/15cm)				Graph
						N-1	N-2	N-3	N-Spt	
	0		Clay: Lempung, coklat							
	-1									
	-2									
	-3				UDS-1 (2.50-3.00)	3	6	7	13	
	-4									
	-5				UDS-2 (4.50-5.00)	2	3	5	8	
	-6									
	-7					4	6	8	14	
	-8		Clay: Lempung, lanau, coklat	stiff		2	2	4	8	
	-9									
	-10					2	3	4	7	
	-11									
	-12					2	3	5	8	
	-13									
	-14					2	4	5	9	
	-15									
	-16					2	4	4	8	
	-17									
	-18					2	4	5	9	
	-19									
	-20					2	3	5	8	
	-21									
	-22					3	5	5	10	
	-23									
	-23.50			very stiff-hard						
	-24		Sand: Pasir halus, coklat	hard		7	15	34	49	
	-25.005									
	-26		Claystone: Batu lempung, coklat	hard		21	28	33	61	
	-27									
	-27.50			hard						
	-28		Claystone: Batu lempung, abu-abu	hard		17	26	37	63	
	-29									
	-30.000			hard		19	29	40	69	
	-31									

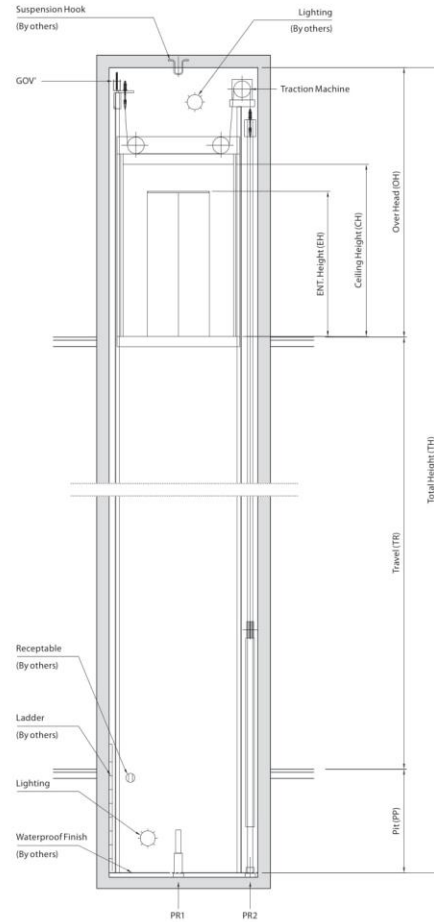
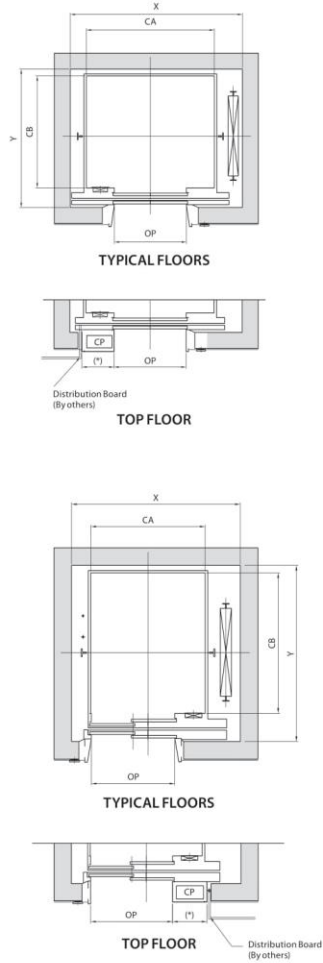
 UDS
 SPT



HOISTWAY PLAN AND SECTION

YZER-R MRL

LAYOUT OF HOISTWAY



- Notes:
1. The lighting of hoistway should be installed less than 500mm from above the ceiling of hoistway and within 500mm above the bottom of the pit. (By others)
 2. Machine room temperature should be maintained below 40°C with ventilating fan and/or air conditioner (if necessary) and humidity below 90%.

STANDARD DIMENSIONS AND REACTIONS

YZER-R MRL

MANUFACTURER STANDARD

Unit: mm

Speed (m/sec)	Capacity		Opening Type	Clear Opening	Car Size (mm)	Hoistway Size (mm)	Control Panel Box (mm)	PIT Reaction (Kg)	
	Persons	Kg						CP	PR1
Center	1.0	6	450	2P-CO	700	1100 x 1100	505	5600	4700
		7	550		800	1100 x 1300		6100	5000
	1.5	8	630		800	1100 x 1400		7000	5700
		9	700		800	1400 x 1100		7400	6000
	1.75	10	800		800	1250 x 1400		7800	6200
		12	900		900	1300 x 1400		8700	6900
Side	1.0	5	400	2P-SO	800	1600 x 1300	505	9600	7600
		6	450		800	1600 x 1400		5300	4500
	7	550	800		1000 x 1100	5600		4700	
	8	630	800		1100 x 1100	6100		5000	
	9	700	800		1100 x 1300	7000		5700	
	10	800	900		1100 x 1400	7400		6000	
	1.5	10	800	900	1200 x 1400	7800	6200		
		12	900	900	1300 x 1400	8700	6900		
	1.75	13	1000	900	1600 x 1400	9600	7600		
		13	1000	1200	2100 x 1100	2700 x 1550	9600	7600	

- Notes:
1. Above dimensions are applied base on standard car size & opening size for other applicable dimensions, please contact us.
 2. If apply the safety gear on counterweight side, please consult with us.
 3. If need to apply safety gear on counterweight, please consult with us.

OVERHEAD & PIT DEPTH

Unit: mm

	Speed (m/s)	Max.Travel (TR)	Overhead (OH)	Pit Depth (PP)
EN81-1	1.0	50,000	CH+1400	1200
	1.5	70,000	CH+1500	1300
	1.75	80,000	CH+1600	1400
EN81-20	1.0	50,000	CH+1700	1200
	1.5	70,000	CH+1800	1300
	1.75	80,000	CH+1900	1400

- Notes:
1. Above dimensions are applied base on standard car size & opening for other applicable dimensions, please contact us.
 2. In case of 1.0m/s with travel is above 25m, Pit depth should be increased 100mm to apply the compensation device.
 3. When non-standard capacities and dimensions are required to meet the local code, Please consult us.



HOLLOW CORE SLAB (HCS)



SPESIFIKASI PRODUK

Lebar	1.200 mm
Panjang	Sesuai Pesanan
Tebal	120 mm, 150 mm, 200 mm, 250 mm
Berat	209 kg/m ² , 247 kg/m ² 260 kg/m ² , 297 kg/m ²
Mutu Beton	K-450
Permukaan Atas	Siap pasang keramik
Permukaan Bawah	Beton Expose
Tulangan	PC Wire ϕ 5 mm dan ϕ 7 mm

Hollow Core Slab (HCS) atau plat beton berongga adalah produk utama dari PT. Beton Elemenindo Perkasa yang berfungsi sebagai plat lantai. HCS diproduksi dengan menggunakan mesin Slipformer dan akan dipotong sesuai dengan pesanan atau cutting list. Dengan menggunakan HCS, pekerjaan konstruksi akan menjadi lebih cepat dan biaya konstruksi akan mengecil dibandingkan pekerjaan secara konvensional. HCS cocok digunakan untuk berbagai jenis bangunan, seperti: rumah tinggal, villa, gedung kantoran, ruko, pabrik, pusat perbelanjaan, tempat parkir, hotel, dan juga apartemen.

KEUNTUNGAN

- Menggunakan sistem prategang yang menghasilkan lendutan yang sangat kecil disebabkan lawan lendut dari gaya prategang itu sendiri.
- "Precompression Effect", memberikan ketahanan terhadap suhu tinggi daripada beton konvensional.
- Rongga di tengah HCS yang membuat berat sendirinya lebih ringan 28%-49% jika dibandingkan lantai konvensional, membuat struktur bangunan dan dimensi pondasi menjadi lebih kecil.
- Dapat mereduksi dimensi balok dan kolom bahkan mengurangi balok dan kolom bila dibandingkan dengan sistem konvensional sehingga menghasilkan ruangan yang lebih luas.
- HCS dapat langsung dipasang keramik.
- Permukaan bawah expose sehingga dapat langsung dijadikan plafond.
- Pekerjaan pembuatan bekisting dapat dihilangkan.
- Pemasangan tidak membutuhkan scaffolding/perancah sehingga lantai bawah dapat digunakan sebagai lantai kerja.

PENGIRIMAN



Pengiriman material ke lokasi



1. Dengan menggunakan HOIST



2. Dengan menggunakan mobil crane



3. Dengan menggunakan tower crane

PELETAKAN

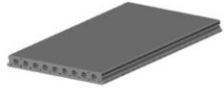


1. Di atas struktur baja



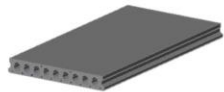
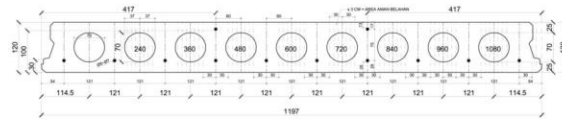
2. Di atas struktur beton

SPESIFIKASI UKURAN DAN TIPE PLAT BETON BERONGGA PRATEGANG PRACETAK (HCS)



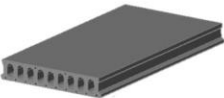
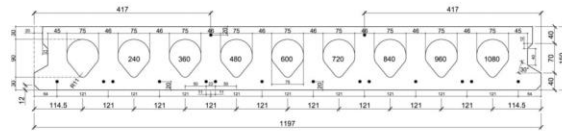
Type	Area (cm ²)	Self Load (Kg/m ²)	Rongga
HCS 120	990,88	209	26%

PENAMPANG TEBAL 120 mm



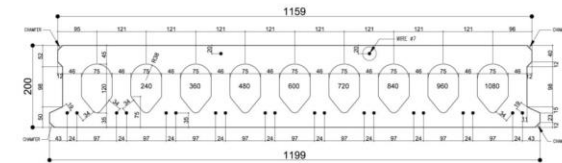
Type	Area (cm ²)	Self Load (Kg/m ²)	Rongga
HCS 150	1.117,18	247	35,80%

PENAMPANG TEBAL 150 mm



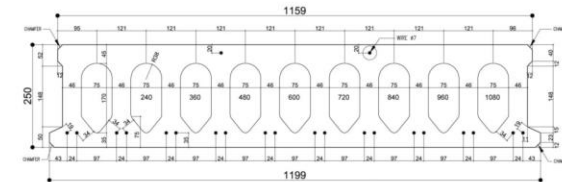
Type	Area (cm ²)	Self Load (Kg/m ²)	Rongga
HCS 200	1.323,68	260	42,60%

PENAMPANG TEBAL 200 mm



Type	Area (cm ²)	Self Load (Kg/m ²)	Rongga
HCS 250	1.530,18	306	46,70%

PENAMPANG TEBAL 250 mm



1. Shear Connector

Untuk HCS dengan bentang lebih dari 3 meter, lubang joint dimasukan besi D10 sebagai tulang share connector.

2. Alternatif HCS Dengan Topping



PERMUKAAN ATAS

Permukaan atas HCS dapat langsung dipasang keramik.



PEMASANGAN BERSIH DARI PERANCAH

Pemasangan bersih dari perancah atau scaffolding, sehingga lantai masih digunakan sebagai lantai kerja.

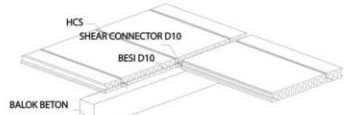


PERMUKAAN BAWAH

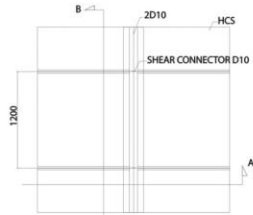
Permukaan pelat bagian bawah expose dan dapat langsung digantungi saluran udara ataupun jalur listrik.

SPESIFIKASI KONSTRUKSI PEMASANGAN PLAT BETON BERONGGA PRATEGANG PRACETAK (HCS)

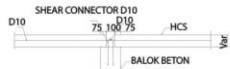
Peletakan HCS Pada Struktur Beton



ISOMETRI



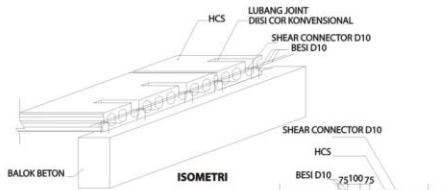
TAMPAK ATAS



POTONGAN A



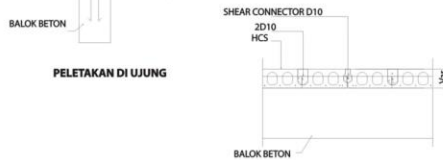
POTONGAN B



ISOMETRI

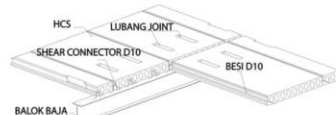


PELETAKAN DI TENGAH

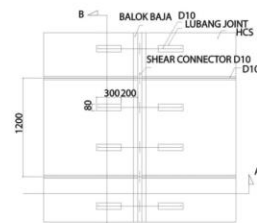


PELETAKAN DI UJUNG

Peletakan HCS Pada Struktur Baja



ISOMETRI



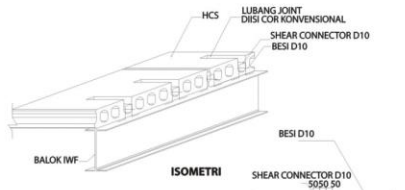
TAMPAK ATAS



POTONGAN A



POTONGAN B



ISOMETRI



PELETAKAN DI TENGAH

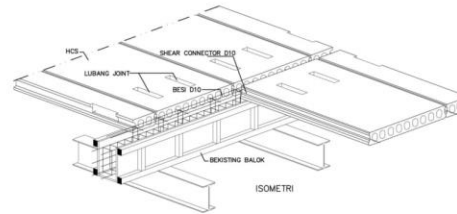


PELETAKAN DI UJUNG

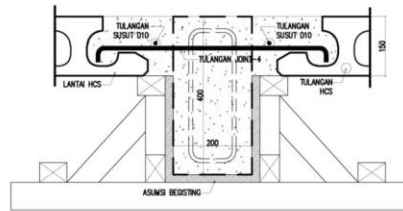
Peletakan HCS Pada Bekisting Beton

Keuntungan peletakan HCS pada bekisting struktur beton adalah:

1. Floor to floor tetap, tidak berkurang oleh tebal HCS.
2. Lantai lebih solid karena dicor bersamaan dengan bekisting struktur.
3. Lebih efisien karena proyek struktur dan lantai bisa selesai bersamaan.



ISOMETRI



Potongan peletakan HCS di tumpuan samping



Peletakan HCS di tumpuan samping



Potongan peletakan HCS di tumpuan utama



Peletakan HCS di tumpuan utama

LOAD CAPACITY OF HCS (kg/m ²) Without Topping																	
TIPE (t.d.n)	DAYA DUKUNG MAXIMAL (kg/m ²) (Netto, setelah dikurangi berat sendiri)																
Bentang (m)	4,00	4,25	4,50	4,75	5,00	5,25	5,50	5,75	6,00	6,25	6,50	6,75	7,00	7,25	7,50	7,75	8,00
120.05.12	590,00	500,00	420,00														
120.05.14	690,00	585,00	500,00	425,00													
120.05.16	790,00	675,00	575,00	495,00													
150.05.12	905,00	775,00	665,00	570,00	490,00	425,00											
150.05.14	1.040,00	895,00	770,00	670,00	580,00	500,00	435,00	375,00									
150.05.16	1.180,00	1.015,00	880,00	765,00	665,00	580,00	510,00	445,00	385,00	340,00							
150.07.12	1.530,00	1.330,00	1.160,00	1.015,00	890,00	785,00	695,00	615,00	545,00	480,00	425,00	380,00					
150.07.14	1.800,00	1.565,00	1.370,00	1.205,00	1.060,00	940,00	835,00	731,66	643,00	569,74	506,49	452,28	405,53	365,01			
200.05.12	1.470,00	1.270,00	1.100,00	960,00	840,00	735,00	645,00	565,00	495,00	435,00	380,00	330,00					
200.05.14	1.670,00	1.445,00	1.255,00	1.100,00	965,00	850,00	745,00	660,00	580,00	515,00	455,00	400,00	350,00				
200.05.16	1.865,00	1.620,00	1.415,00	1.240,00	1.090,00	960,00	850,00	755,00	670,00	595,00	530,00	470,00	415,00	370,00	325,00		
200.07.12	2.370,00	2.065,00	1.810,00	1.595,00	1.415,00	1.255,00	1.120,00	1.000,00	895,00	800,00	720,00	645,00	580,00	520,00	470,00	420,00	375,00
200.07.14	2.755,00	2.410,00	2.120,00	1.870,00	1.660,00	1.480,00	1.325,00	1.185,00	1.065,00	960,00	865,00	780,00	705,00	640,00	580,00	525,00	475,00
200.07.16	3.145,00	2.750,00	2.425,00	2.145,00	1.910,00	1.705,00	1.525,00	1.375,00	1.235,00	1.120,00	1.010,00	915,00	835,00	755,00	690,00	625,00	570,00
250.07.12	3.240,00	2.830,00	2.490,00	2.200,00	1.955,00	1.745,00	1.560,00	1.400,00	1.255,00	1.135,00	1.025,00	925,00	835,00	755,00	685,00	620,00	565,00
250.07.14	3.740,00	3.275,00	2.885,00	2.555,00	2.275,00	2.035,00	1.825,00	1.640,00	1.480,00	1.340,00	1.215,00	1.100,00	1.000,00	910,00	830,00	755,00	690,00
250.07.16	4.245,00	3.720,00	3.285,00	2.915,00	2.595,00	2.325,00	2.090,00	1.885,00	1.705,00	1.545,00	1.405,00	1.275,00	1.165,00	1.065,00	970,00	890,00	815,00

t = tebal pelat (mm); d = diameter PC - WIRE (mm); n = jumlah PC - WIRE

LOAD CAPACITY OF HCS (kg/m ²) With Topping = 50,00 mm + Wire Mesh M5-150																	
TIPE (t.d.n)	DAYA DUKUNG MAXIMAL (kg/m ²) (Netto, setelah dikurangi berat sendiri)																
Bentang (m)	4,00	4,25	4,50	4,75	5,00	5,25	5,50	5,75	6,00	6,25	6,50	6,75	7,00	7,25	7,50	7,75	8,00
120.05.12	831,70	675,40	544,41	433,56	338,92												
120.05.14	999,10	823,68	676,68	522,27	446,05	354,64											
120.05.16	1.166,49	971,96	808,94	670,98	553,18	451,82	363,95										
150.05.12	1.220,89	1.022,24	855,78	714,90	594,61	491,10	401,38	323,11									
150.05.14	1.426,92	1.204,75	1.018,56	861,00	726,47	610,70	510,36	422,81	345,98								
150.05.16	1.632,95	1.387,25	1.181,35	1.007,10	858,33	730,30	619,33	522,52	437,55	362,57							
150.07.12	2.165,03	1.858,57	1.601,76	1.384,42	1.198,86	1.039,17	900,76	780,01	674,03	580,51	497,58	423,69					
150.07.14	2.568,84	2.216,28	1.920,83	1.670,78	1.457,3	1.273,59	1.114,35	975,43	853,50	745,92	650,5	565,50	489,43	421,10	359,49		
200.05.12	1.880,67	1.605,75	1.375,37	1.180,4	1.013,93	870,67	746,51	638,18	543,11	459,22	384,82	318,53					
200.05.14	2.150,64	1.844,89	1.588,68	1.371,84	1.186,71	1.027,39	889,3	768,82	663,09	569,79	487,05	413,33	347,37				
200.05.16	2.420,6	2.084,30	1.081,98	1.563,28	1.359,49	1.184,10	1.032,09	899,47	783,03	680,37	589,29	508,14	435,52	370,29	311,47		
200.07.12	3.112,45	2.696,88	2.348,63	2.053,90	1.802,27	1.585,72	1.398,02	1.234,28	1.090,56	963,75	851,29	751,09	661,43	580,89	508,26	442,55	382,91
200.07.14	3.641,58	3.165,59	2.766,71	2.429,13	2.140,91	1.892,88	1.677,9	1.490,34	1.325,73	1.180,48	1.051,67	936,90	834,21	742,95	658,77	583,51	515,19
200.07.16	4.053,03	3.590,23	3.184,79	2.804,36	2.479,56	2.200,04	1.957,77	1.746,40	1.560,90	1.397,22	1.252,05	1.122,71	1.006,99	903,02	809,28	724,46	647,47
250.07.12	4.087,93	3.557,85	3.113,63	2.737,68	2.416,71	2.140,49	1.901,07	1.692,20	1.508,89	1.347,13	1.203,67	1.075,86	961,49	858,76	766,12	682,30	606,22
250.07.14	4.741,06	4.136,40	3.629,68	3.200,84	2.834,71	2.519,63	2.246,53	2.008,27	1.799,16	1.614,65	1.451,01	1.305,22	1.174,76	1.057,57	951,90	856,29	769,50
250.07.16	5.394,19	4.714,95	4.145,73	3.664,00	3.252,71	2.898,77	2.591,98	2.324,34	2.089,44	1.882,17	1.698,35	1.534,57	1.388,03	1.256,38	1.137,68	1.030,27	932,78

t = tebal pelat (mm); d = diameter PC - WIRE (mm); n = jumlah PC - WIRE

1.2.3 Safe working loads for JENKA Short Inserts

The resistance of the JENKA Lifting System is determined by a design concept that makes reference to the following standards and regulations.

EN1992-1-1:2011
 Machinery directive 2006/42/EC
 VDI/BV-BS6205:2012

The load capacities depend very much on how and in which combination the items will be used. For short JENKA Lifting Inserts, all JENKA Lifting Keys (TLL, JL, JLW) can be used at an angle β of 0–45°.

The safe working load capacities (SWL) are based upon specific dimensions and edge distances as given in the following sections. Before selecting an insert, take note of the design assumptions in this manual. **The minimum compressive strength of the concrete at the moment of load application is 15 MPa.**

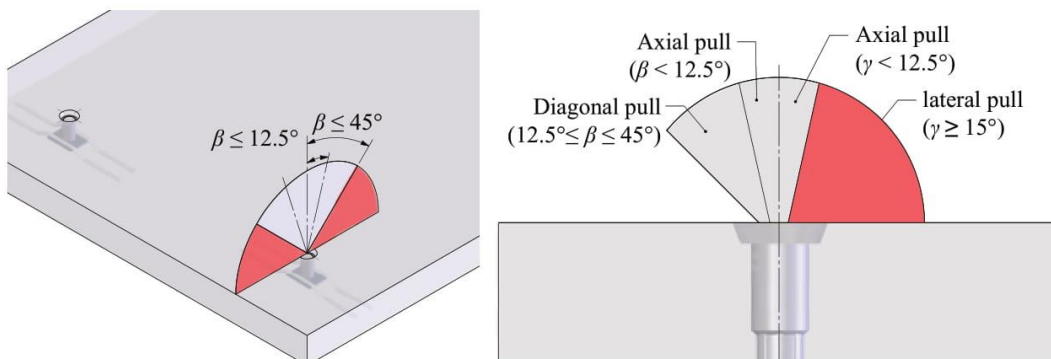


Table 17 shows the safe working load levels of JENKA Short Inserts. Select inserts that are suitable for the planned load directions. Figure 21 illustrates the load directions related to this table.

Table 17. Safe working load (SWL) for JENKA Short Inserts.

Item No. JRd/JM	Load Class	WAS SWL for β 0-45° [kN]	BSA SWL for β 0-45° [kN]	PSA SWL for β 0-45°		
				at 15 MPa [kN]	at 20 MPa [kN]	at 25 MPa [kN]
12	500	5	5	5	5	5
14	800	8	8	8	8	8
16	1200	12	12	10	12	12
18	1600	16	16	14.2	16	16
20	2000	20	20	18.3	20	20
24	2500	25	25	25	25	25
30	4000	40	40	40	40	40
36	6300	63		63	63	63
42	8000	80		80	78	80
52	12500			95	110	125

Figure 21. Load directions for JENKA Short Inserts.



**PLEASE NOTE:**

Diagonal pull between 12.5° and 45° is only permitted with additional reinforcement in accordance with the following section.

1.2.4 Unit geometry and spacing

The use of Peikko Lifting systems requires a specific element geometry. The load capacities given in this section of the manual are based on specific dimensions and edge and axial distances. The safety factors can only be ensured as described if the geometric specifications are complied with. Peikko's engineering service offers customized solutions to make special applications possible.

Before selecting and installing an insert, consider the general information in the previous sections of this manual. The required part geometry specification for JENKA Long Inserts differs from that for short inserts. The two types cannot replace each other or be applied in the same way unless the geometric requirements are complied with.

JENKA Short Inserts are commonly used in thin, flat elements with limited anchorage depth. With this insert type, most of the anchor loads are transferred over the width of the element. In many cases, capacities are limited by the element thickness c due to slab bending during lifting. The minimum element thickness and minimum edge and axial distances for respective insert types are shown in *Table 18*. *Figure 22* visualizes the requirements.

Table 18. Minimum unit geometry for JENKA Short Inserts.

Item No. JRd/JM	WAS			BSA			PSA		
	b [mm]	a [mm]	c [mm]	b [mm]	a [mm]	c [mm]	b [mm]	a [mm]	c [mm]
12	200	95	140	360	180	80	350	180	70
14	200	115	160	420	210	90	350	180	80
16	260	135	190	180	240	100	500	250	85
18	300	155	210	540	270	110	600	300	95
20	350	170	215	600	300	120	600	300	100
24	440	220	270	690	345	135	800	400	115
30	550	275	335	900	450	170	1000	500	140
36	600	300	420				1300	650	160
42	800	400	480				1300	650	175
52							1500	750	215

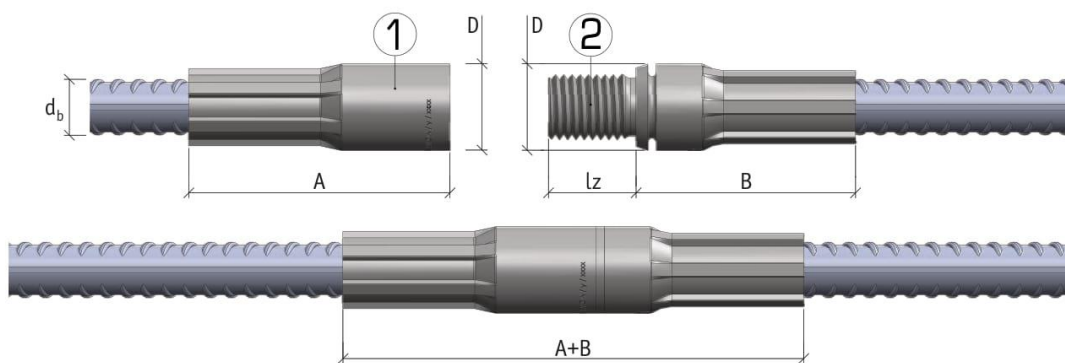
MODIX® SM (Standard Coupler)

- For connecting bars with the same diameter
- At least one bar can be moved axially and rotated

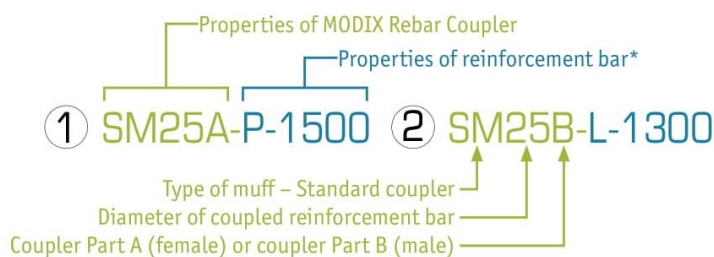


Coupler type	Bar $\varnothing d_b$ [mm]	Coupler $\varnothing D$ [mm]	Length Part A [mm]	Length Part B [mm]	Parts A+B fitted together [mm]	ISO metric thread M	Thread length l_z [mm]	Color of thread protector
SM10	10	17.5	52	46	96	M 12 x 1.75	16.0	Orange
SM12	12	21.0	63	52	113	M 16 x 2	21.2	Yellow
SM14	14	24.0	72	57	127	M 18 x 2.5	24.8	Blue
SM16	16	27.0	80	63	141	M 20 x 2.5	27.5	White
SM20	20	33.0	98	77	173	M 24 x 3	31.6	Gray
SM25	25	41.0	122	98	218	M 30 x 3.5	39.0	Red
SM28	28	47.0	141	111	250	M 36 x 4	46.0	Black
SM32	32	53.0	156	124	278	M 42 x 4.5	53.5	Brown
SM40	40	63.5	163	136	297	M 48 x 5.0	61.7	Green

- Part A and Part B can be ordered separately.



Example of a product code:



*Detailed explanations of the properties of reinforcement bars are described in Annex A

Application

MODIX SM Standard Couplers are used as regular connections for reinforcement bars with the same diameters with full tension and compression capacity.

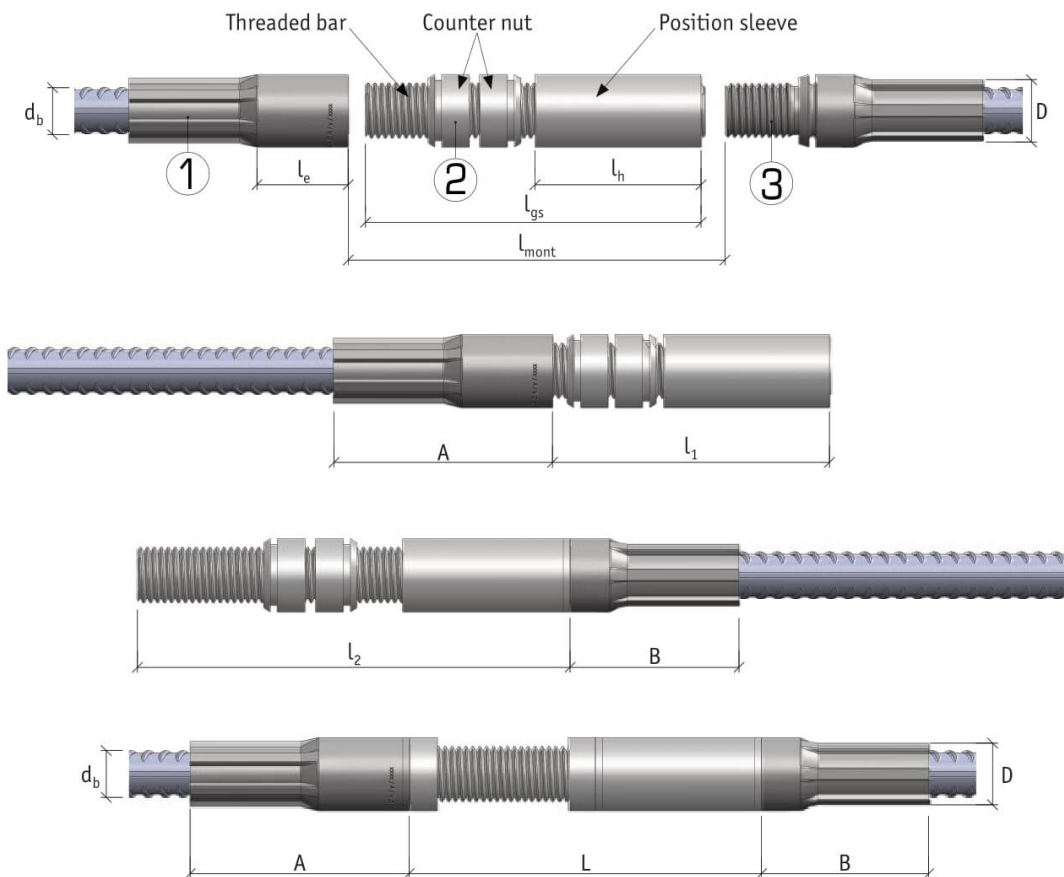


MODIX® PM (Position Coupler)

- For connecting straight or bent bars
- None of the bars can move axially or rotate



Coupler type	Bar Ø d_b [mm]	Coupler Ø D [mm]	Length Part A [mm]	Thread length Part A l_e	Length l_1	Length l_2	Length of position sleeve l_h	Length threaded bar l_{gs}	Max. free spacing l_{mont}	Length L	ISO metric thread M	Color of thread protector
PM10	10	17.5	52	21	58	95	37	79	59	74	M 12 x 1.75	Orange
PM12	12	21.0	63	26	72	119	48	98	73	93	M 16 x 2	Yellow
PM14	14	24.0	72	30	81	135	55	111	82	105	M 18 x 2.5	Blue
PM16	16	27.0	80	33	88	148	61	121	89	115	M 20 x 2.5	White
PM20	20	33.0	98	37	99	167	69	136	100	130	M 24 x 3	Gray
PM25	25	41.0	122	44	117	200	83	161	118	156	M 30 x 3.5	Red
PM28	28	47.0	141	51	136	233	97	187	137	182	M 36 x 4	Black
PM32	32	53.0	156	59	155	267	112	214	156	208	M 42 x 4.5	Brown
PM40	40	63.5	163	65	175	301	127	240	173	234	M 48 x 5.0	Green

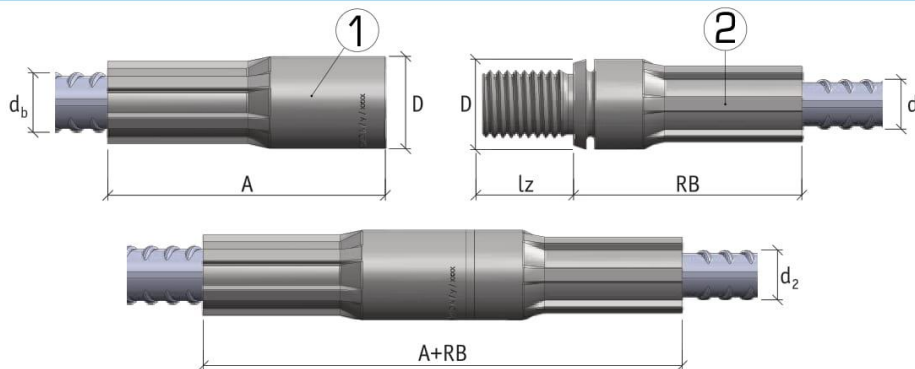


MODIX® RM (Reduction Coupler)

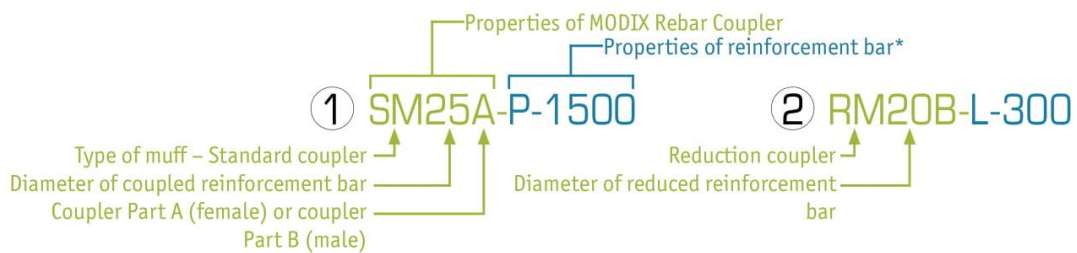
- For connecting bars with different diameters
- At least one bar can be moved axially and rotated



Coupler type	Bar $\varnothing d_b$ [mm]	Reduced bar $\varnothing d_2$ [mm]	Coupler $\varnothing D$ [mm]	Length Part A [mm]	Reduced Part length RB [mm]	Thread length Lz [mm]	Parts A + RB fitted together [mm]	ISO metric thread M	Color of thread protector
RM12/10	12	10	21.0	63	52	21.2	113	M 16 x 2	Yellow
RM14/12	14	12	24.0	72	57	24.8	127	M 18 x 2.5	Blue
RM16/14	16	14	27.0	80	63	27.5	141	M 20 x 2.5	White
RM20/16	20	16	33.0	98	77	31.6	173	M 24 x 3	Gray
RM25/20	25	20	41.0	122	98	39.0	218	M 30 x 3.5	Red
RM28/25	28	25	47.0	141	111	46.0	250	M 36 x 4	Black
RM32/28	32	28	53.0	156	124	53.5	278	M 42 x 4.5	Brown
RM40/32	40	32	63.5	163	136	61.7	297	M 48 x 5.0	Green



Example of a product code:



*Detailed explanations of the properties of reinforcement bars are described in Annex A

Combinations of bar diameters:

Only bars that are one size smaller in diameter can be connected (please refer to the table above, column “Coupler type”). MODIX Part B (male) is commonly used for reduction. If a MODIX Part A part is to be used as reduction, please specify this in the ordering list.

Application

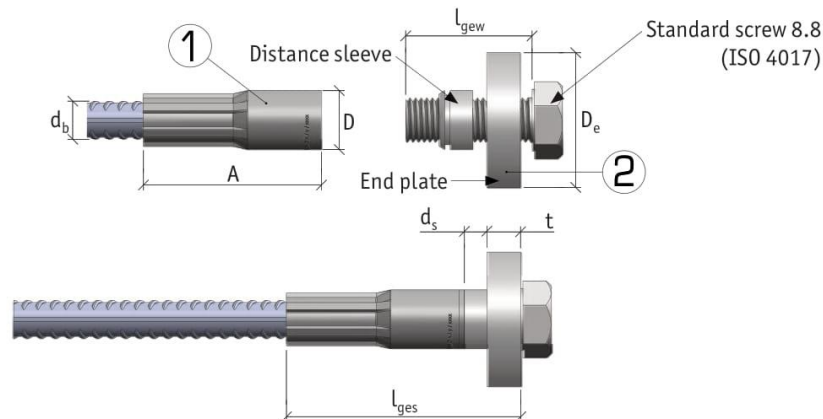
MODIX RM Reduction Couplers are used when the reinforcement bar diameter should be reduced by one size with full tension and compression capacity.

MODIX® EM (End-Anchor Coupler)

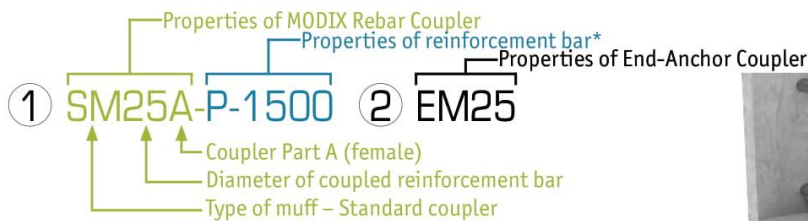
- Alternative to end hooks
- Anchor or plug for reinforcement bar
- No axial movement and rotation of SM A muff required



Coupler type	Bar $\varnothing d_b$ [mm]	Coupler $\varnothing D$ [mm]	Length Part A [mm]	Thread length Part A l_e	Thickness of distance sleeve d_s	Length fitted together l_{ges}	End-Plate $\varnothing D_e$	End-plate thickness t	Thread length of screw l_{gew}	ISO metric thread M	Color of thread protector
EM10	10	17.5	52	21	9	71	40	10.0	40.0	M 12 x 1.75	Orange
EM12	12	21.0	63	26	10	85	48	12.0	45.0	M 16 x 2	Yellow
EM14	14	24.0	72	30	11	97	55	14.0	50.0	M 18 x 2.5	Blue
EM16	16	27.0	80	33	11	106	63	15.0	55.0	M 20 x 2.5	White
EM20	20	33.0	98	37	12	129	80	19.0	60.0	M 24 x 3	Gray
EM25	25	41.0	122	44	14	160	95	24.0	75.0	M 30 x 3.5	Red
EM28	28	47.0	141	51	16	185	110	28.0	90.0	M 36 x 4	Black
EM32	32	53.0	156	59	18	205	130	31.0	100.0	M 42 x 4.5	Brown
EM40	40	63.5	163	65	20	223	150	40.0	120	M 48 x 5.0	Green



Example of a product code:



*Properties of reinforcement bars are described in detail in Annex A.

Design of end-anchor

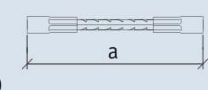
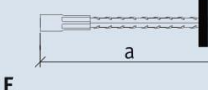
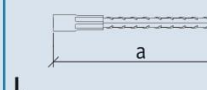
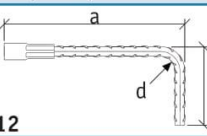
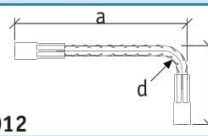
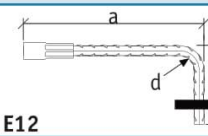
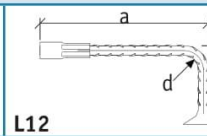
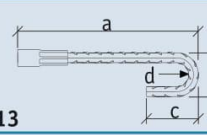
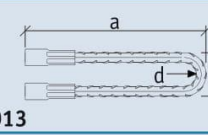
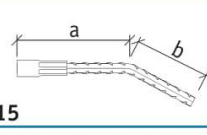
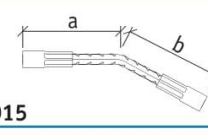
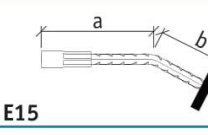
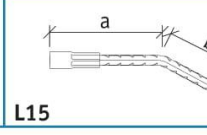
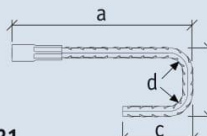
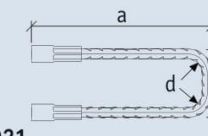
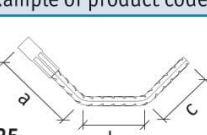
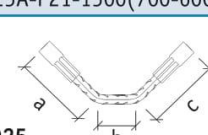
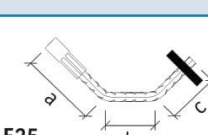
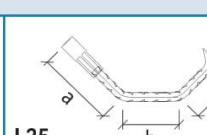
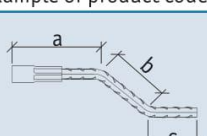
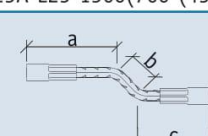
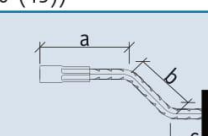
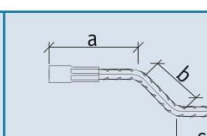
The end-anchor plates are dimensioned to transfer the full strength of the respective bar. The center line and edge spacing result from the proof of the partial area pressure. Supplementary transverse reinforcement should be designed according to EN 1992-1-1 chapter 9.8.4.

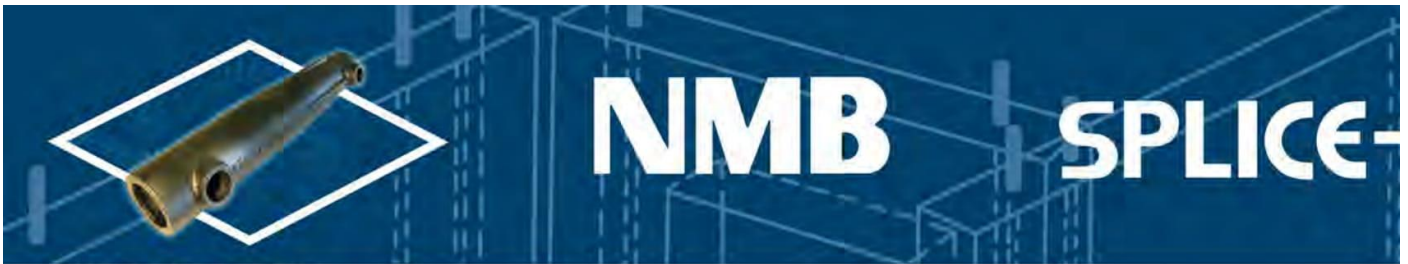
Application

MODIX EM End-Anchor Couplers are used to reduce the anchorage length of the rebar.



Table 3. MODIX rebar Product shape list.

P – Straight end	D – Double sided	E – End plate	L – Headed stud
			
<p>P D E L</p> <p>Total length calculation: $l_e = a$ Example of product code: SM25A-E-1200</p>			
			
<p>P12 D12 E12 L12</p> <p>Total length calculation: $l_e = a + b - \frac{1}{4}d - d_b$ Example of product code: SM25A-P12-1200(500)</p>			
			
<p>P13 D13</p> <p>Total length calculation: $l_e = a + 0.57b + c - 1.57d_b$ or $l_e = 2a + 0.57b - 1.57d_b$ Example of product code: SM25A-D13-SM25A-1200(500-300)</p>			
			
<p>P15 D15 E15 L15</p> <p>Total length calculation: $l_e = a + b$ Example of product code: SM25A-E15-1000(500-(-30))</p>			
			
<p>P21 D21</p> <p>Total length calculation: $l_e = a + b + c - \frac{1}{2}d - 2d_b$ Example of product code: SM25A-P21-1500(700-600)</p>			
			
<p>P25 D25 E25 L25</p> <p>Total length calculation: $l_e = a + b + c$ Example of product code: SM25A-L25-1500(700-(-45)-600-(-45))</p>			
			
<p>P26 D26 E26 L26</p> <p>Total length calculation: $l_e = a + b + c$ Example of product code: SM25A-L26-1500(700-(-45)-600-(-45))</p>			



NMB SPLICE-SLEEVE

Steel Specification: The material properties of the NMB Splice Sleeve® iron castings conform to proprietary specification based on ASTM A536-84. The Models 5U-X and 6U-X satisfy the ASTM A536 Grade 65-45-12 [minimum yield and tensile strength of 65,000 and 45,000 psi respectively], Model 7U-X through Model 14U-X, Model A11W, and Model SNX11 satisfy ASTM A536 [Grade 80-55-06] with a Grade of 85-60-06 [minimum yield and tensile strength of 85,000 and 60,000 psi respectively].

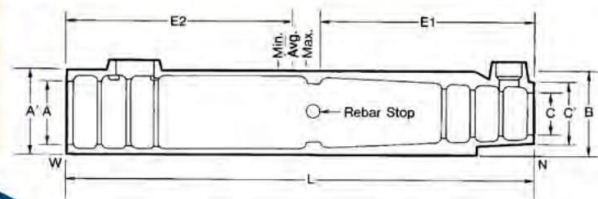
Grout Specification: The grout used in the NMB must be non-metallic, “SS Mortar®”. Minimum grout strength requirements for ASTM A615 Grade 60 rebars:

Type 2 (ACI)*	(100% Fu = 150% Fy = 90 ksi)	9,500 psi
Type 1 & AASHTO	(125% Fy = 75 ksi)	6,500 psi
Yield Strength	(100% Fy = 60 ksi)	4,000 psi

NOTE: to allow for variations in curing, typically cube breaks of 4,000-psi are specified by the EOR for removal of bracing and continued erection.
 *Note that for ASTM A706 Grade 60 rebars, 100% of specified tensile equals 133% of specified yield.

DIMENSIONS OF NMB SPLICE-SLEEVES*											RECOMMENDED REBAR EMBEDMENT LENGTH					
Sleeve No.	Bar Diameter	ASTM Bar Size		Sleeve Length (L) inch (mm)	Narrow End Diameter		Max. Dia. (B) inch (mm)	Wide End Diameter			Factory Dowel (E1) inch (mm)		Field Dowel (E2) inch (mm)			SS Mortar lbs. per Sleeve (kg)
		U.S.	Metric		I.D. (C) inch (mm)	O.D. (C') inch (mm)		I.D. (A) inch (mm)	Total Tolerance inch (mm)	O.D. (A') inch (mm)	Min.	Max.	Min.	Avg.	Max.	
5U-X	0.625	#5	16 MM	9.65 (245)	0.87 (22)	1.50 (38)	1.81 (46)	1.26 (32)	0.63 (16)	1.89 (48)	4.13 (105)	4.33 (110)	4.13 (105)	4.53 (115)	4.92 (125)	1.26 (0.57)
6U-X	0.750	#6	20 MM	11.22 (285)	1.02 (26)	1.65 (42)	1.97 (50)	1.42 (36)	0.67 (17)	2.05 (52)	4.92 (125)	5.12 (130)	4.92 (125)	5.32 (135)	5.71 (145)	1.76 (0.80)
7U-X	0.875	#7	22 MM	12.80 (325)	1.14 (29)	1.77 (45)	2.28 (58)	1.73 (44)	0.86 (22)	2.36 (60)	5.71 (145)	5.91 (150)	5.71 (145)	6.11 (155)	6.50 (165)	2.65 (1.20)
8U-X	1.000	#8	25 MM	14.57 (370)	1.30 (33)	1.93 (49)	2.48 (63)	1.89 (48)	0.89 (23)	2.52 (64)	6.50 (165)	6.69 (170)	6.50 (165)	6.99 (178)	7.48 (190)	3.46 (1.57)
9U-X	1.128	#9	28 MM	16.34 (415)	1.42 (36)	2.06 (52)	2.60 (66)	2.01 (51)	0.89 (23)	2.67 (68)	7.40 (188)	7.56 (192)	7.40 (188)	7.88 (200)	8.35 (212)	3.95 (1.79)
10U-X	1.270	#10	32 MM	17.91 (455)	1.57 (40)	2.28 (58)	2.80 (71)	2.16 (55)	0.89 (23)	2.87 (73)	8.19 (208)	8.35 (212)	8.19 (208)	8.66 (220)	9.13 (232)	4.94 (2.24)
11U-X	1.410	#11	35 MM	19.49 (495)	1.73 (44)	2.40 (61)	3.03 (77)	2.32 (59)	0.91 (23)	3.03 (77)	8.98 (228)	9.13 (232)	8.98 (228)	9.45 (240)	9.92 (252)	6.02 (2.73)
SNX11	1.410	#11	35 MM	19.09 (485)	1.69 (43)	3.03 (77)	3.03 (77)	2.32 (59)	0.91 (23)	3.03 (77)	8.86 (225)	9.25 (235)	8.27 (210)	8.86 (225)	9.45 (240)	6.99 (3.17)
A11W	1.410	#11	35 MM	19.49 (495)	1.73 (44)	3.31 (84)	3.30 (84)	2.60 (66)	1.19 (30)	3.30 (84)	8.86 (225)	9.69 (246)	8.27 (210)	8.96 (228)	9.50 (241)	7.74 (3.52)
14U-X	1.693	#14	40 MM	24.41 (620)	2.01 (51)	2.80 (71)	3.46 (88)	2.60 (66)	0.91 (23)	3.46 (88)	11.42 (290)	11.61 (295)	11.42 (290)	11.91 (303)	12.40 (315)	9.19 (4.17)
18U	2.257	#18	57 MM	36.22 (920)	2.68 (68)	3.66 (93)	4.72 (120)	3.27 (83)	1.01 (26)	4.25 (108)	17.00 (432)	18.11 (460)	17.00 (432)	17.56 (446)	18.11 (460)	25.31 (11.48)

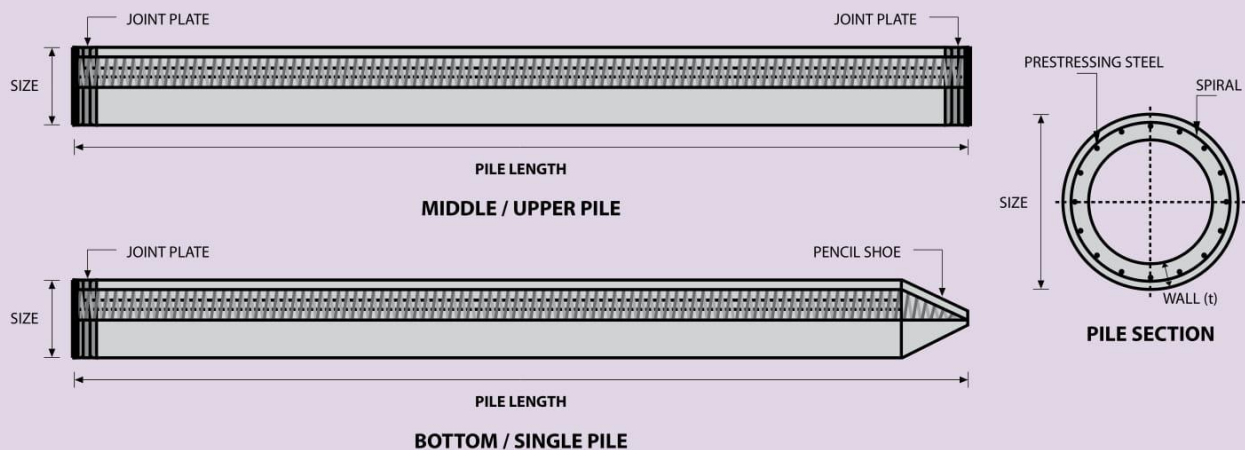
**The minimum embedment length for the bars using a larger size sleeve must follow the requirements for the sleeve size, not the bar size. For example, for a #9 bar with #11U-X sleeve, the embedment length must be based upon 11U-X, i.e. the maximum factory dowel (E1) is 9.13"; the maximum field dowel (E2) is 9.92".



MATERIAL SPECIFICATION

ITEM	REFERENCE	DESCRIPTION	SPECIFICATION
Aggregate	ASTM C 33 / C 33M-11a	Standard Specification for Concrete Aggregates	
Cement	SNI 15 - 2049 - 2004	Portland Cement	Standard Product Type I Special Order : Type II or V
Admixture	ASTM C 494 / C 494M - 99a	Standard Specification for Chemical Admixture for Concrete	Type F : High Range Water Reducing Admixture
Concrete	SNI 03 - 2834 - 1993 SNI 03 - 2493 - 1991	Concrete Mix Design Making and Curing Concrete Sample	
PC Strand	ASTM A 416 / A 416M - 99	Standard Specification for Steel Strand, Uncoated Seven-Wire for Prestressed Concrete	Grade 270 (Low Relaxation Type)
PC Wire	JIS G 3536 - 1999	Uncoated Stress-Relieved Steel Wires and Strands for Prestressed Concrete	SWPD1 (Deformed Wire Type)
PC Bar	JIS G 3137 - 1994	Small Size-Deformed Steel Bars for Prestressed Concrete	Grade D - Class 1 - SBPD 1275/1420
Rebar	SNI 07 - 2052 - 2002	Reinforcement Steel for Concrete	Steel Class : BjTS 40 (Deformed) Steel Class : BjTP 24 (Round)
Spiral Wire	JIS G 3532 - 2000	Low Carbon Steel Wires	SWM-P (Round Type) Cold-reduced steel wire for the reinforcement of concrete and the manufacture of welded fabric.
Joint Plate	JIS G 3101 - 2004	Rolled Steels for General Structure	SS400 (Tensile Strength 400 N/mm ²) Applicable steel product for steel plates and sheets, steel strip in coil, sections, flats and bars.
Welding	ANSI / AWS D1.1 - 900	Structural Welding Code Steel	AWS A5.1/E6013 NIKKO STEEL RB 26 / RD 260, LION 26, or equivalent.

PILE SHAPE & SPECIFICATION | PRESTRESSED CONCRETE SPUN PILES



PRESTRESSED CONCRETE SPUN PILES SPECIFICATION

Concrete Compressive Strength $f_c' = 52 \text{ MPa}$ (Cube 600 kg/cm^2)

Size (mm)	Thickness Wall (t)	Cross Section (cm^2)	Section Inertia (cm^4)	Unit Weight (kg/m)	Class	Bending Moment		Allowable Compression (ton)	Decompression Tension (ton)	Length of Pile** (m)
						Crack* (ton.m)	Break (ton.m)			
300	60	452.39	34,607.78	113	A2	2.50	3.75	72.60	23.11	6 - 12
					A3	3.00	4.50	70.75	29.86	6 - 13
					B	3.50	6.30	67.50	41.96	6 - 14
					C	4.00	8.00	65.40	49.66	6 - 15
350	65	581.98	62,162.74	145	A1	3.50	5.25	93.10	30.74	6 - 13
					A3	4.20	6.30	89.50	37.50	6 - 14
					B	5.00	9.00	86.40	49.93	6 - 15
					C	6.00	12.00	85.00	60.87	6 - 16
400	75	765.76	106,488.95	191	A2	5.50	8.25	121.10	38.62	6 - 14
					A3	6.50	9.75	117.60	45.51	6 - 15
					B	7.50	13.50	114.40	70.27	6 - 16
					C	9.00	18.00	111.50	80.94	6 - 17
450	80	929.91	166,570.38	232	A1	7.50	11.25	149.50	39.28	6 - 14
					A2	8.50	12.75	145.80	53.39	6 - 15
					A3	10.00	15.00	143.80	66.57	6 - 16
					B	11.00	19.80	139.10	78.84	6 - 17
					C	12.50	25.00	134.90	100.45	6 - 18
500	90	1,159.25	255,324.30	290	A1	10.50	15.75	185.30	54.56	6 - 15
					A2	12.50	18.75	181.70	68.49	6 - 16
					A3	14.00	21.00	178.20	88.00	6 - 17
					B	15.00	27.00	174.90	94.13	6 - 18
					C	17.00	34.00	169.00	122.04	6 - 19
600	100	1,570.80	510,508.81	393	A1	17.00	25.50	252.70	70.52	6 - 16
					A2	19.00	28.50	249.00	77.68	6 - 17
					A3	22.00	33.00	243.20	104.94	6 - 18
					B	25.00	45.00	238.30	131.10	6 - 19
					C	29.00	58.00	229.50	163.67	6 - 20
800	120	2,563.54	1,527,869.60	641	A1	40.00	60.00	415.00	119.34	6 - 20
					A2	46.00	69.00	406.10	151.02	6 - 21
					A3	51.00	76.50	399.17	171.18	6 - 22
					B	55.00	99.00	388.61	215.80	6 - 23
					C	65.00	130.00	368.17	290.82	6 - 24
1000***	140	3,782.48	3,589,571.20	946	A1	75.00	112.50	613.52	169.81	6 - 22
					A2	82.00	123.00	601.27	215.16	6 - 23
					A3	93.00	139.50	589.66	258.19	6 - 24
					B	105.00	189.00	575.33	311.26	6 - 24
					C	120.00	240.00	555.23	385.70	6 - 24
1200***	150	4,948.01	6,958,136.85	1,237	A1	120.00	180.00	802.80	221.30	6 - 24
					A2	130.00	195.00	794.50	252.10	6 - 24
					A3	145.00	217.50	778.60	311.00	6 - 24
					B	170.00	306.00	751.90	409.60	6 - 24
					C	200.00	400.00	721.50	522.20	6 - 24

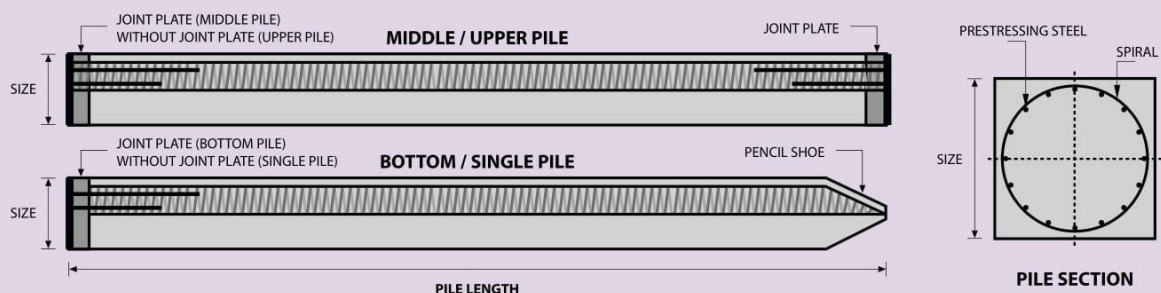
Note : *) Crack Moment Based on JIS A 5335-1987 (Prestressed Spun Concrete Piles)

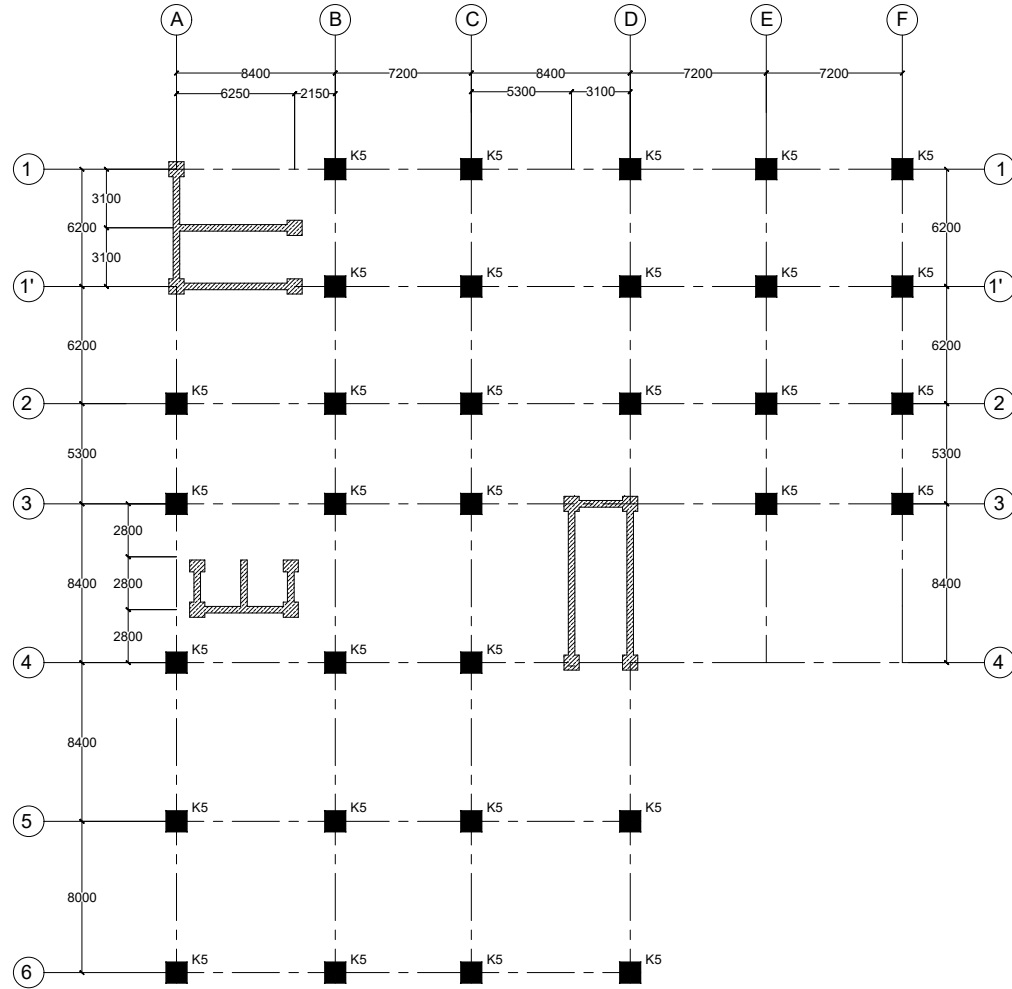
**) Length of pile may exceed usual standard whenever lifted in certain position

***) Type of Shoe for Bottom Pile is Mamira Shoe

Unit Conversion : 1 ton = 9.8060 kN

PILE SHAPE & SPECIFICATION | PRESTRESSED CONCRETE SQUARE PILES





DENAH KOLOM Lt. BASEMENT
SKALA 1 : 400



DEPARTEMEN TEKNIK SIPIL
FAKULTAS TEKNIK SIPIL, PERENCANAAN, DAN KEBUMIHAN
INSTITUT TEKNOLOGI SEPULUH NOPEMBER

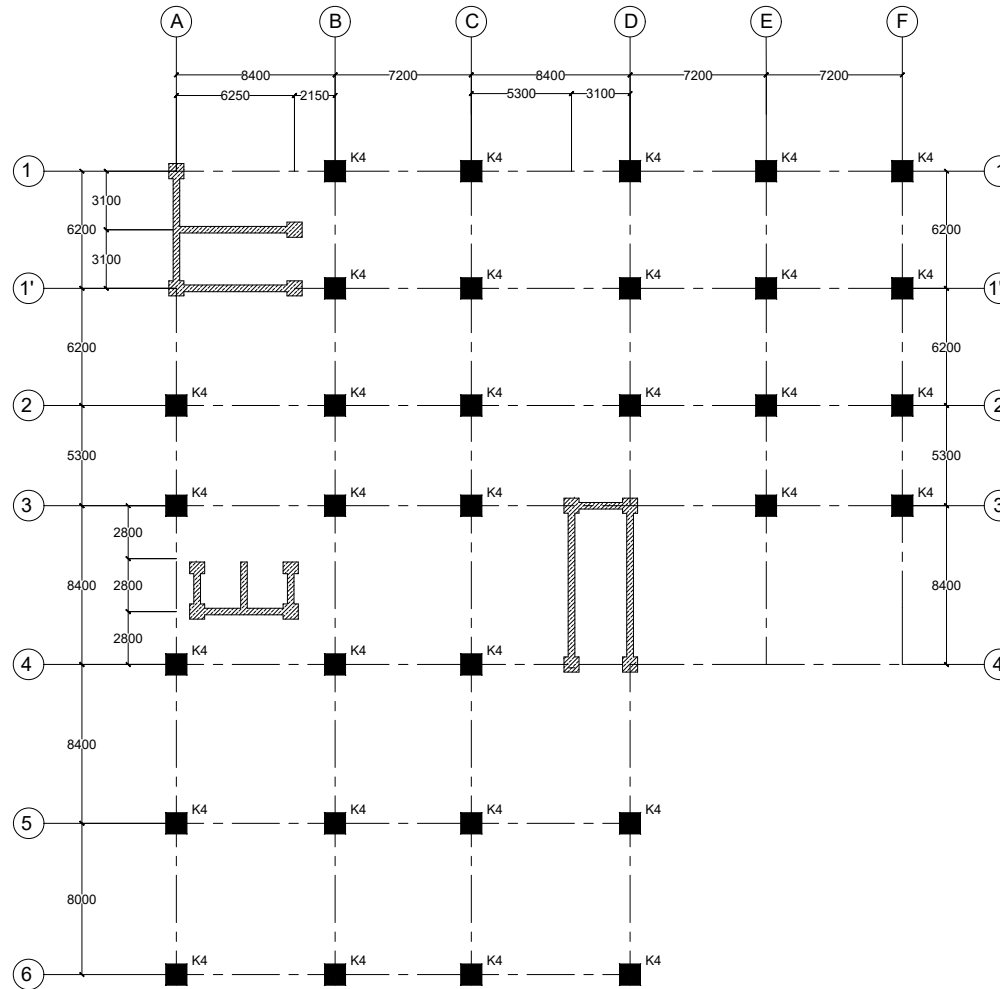
JUDUL TUGAS AKHIR
Modifikasi Perencanaan Struktur Gedung
Fakultas Ekonomi dan Bisnis Universitas
Muhammadiyah Prof. Dr. Hamka Menggunakan
Elemen Pracetak dan Hollow Core Slab

DOSEN PEMBIMBING
Dr. techn. Pujo Aji, ST., MT.
Prof. Dr. Ir. IGP Raka, DEA.

NAMA DAN NRP
MAHASISWA
Ajeng Larasati
0311164000027

JUDUL GAMBAR
Denah Kolom

NO. GAMBAR
01 / 60



DENAH KOLOM Lt. 1 - 3
SKALA 1 : 400



DEPARTEMEN TEKNIK SIPIL
FAKULTAS TEKNIK SIPIL, PERENCANAAN, DAN KEBUMIHAN
INSTITUT TEKNOLOGI SEPULUH NOPEMBER

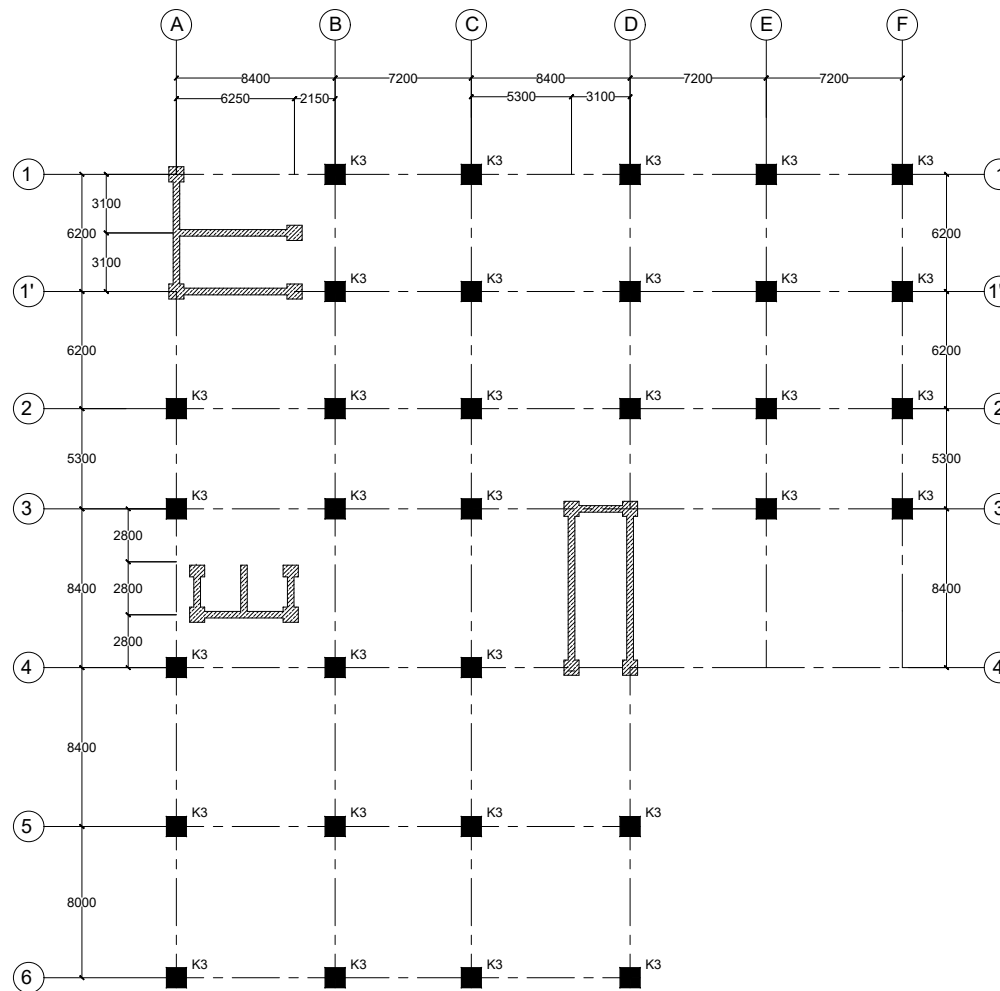
JUDUL TUGAS AKHIR
Modifikasi Perencanaan Struktur Gedung
Fakultas Ekonomi dan Bisnis Universitas
Muhammadiyah Prof. Dr. Hamka Menggunakan
Elemen Pracetak dan Hollow Core Slab

DOSEN PEMBIMBING
Dr. techn. Pujo Aji, ST., MT.
Prof. Dr. Ir. IGP Raka, DEA.

NAMA DAN NRP
MAHASISWA
Ajeng Larasati
0311164000027

JUDUL GAMBAR
Denah Kolom

NO. GAMBAR
02 / 60



DENAH KOLOM Lt. 4 - 5
SKALA 1 : 400



DEPARTEMEN TEKNIK SIPIL
FAKULTAS TEKNIK SIPIL, PERENCANAAN, DAN KEBUMIHAN
INSTITUT TEKNOLOGI SEPULUH NOPEMBER

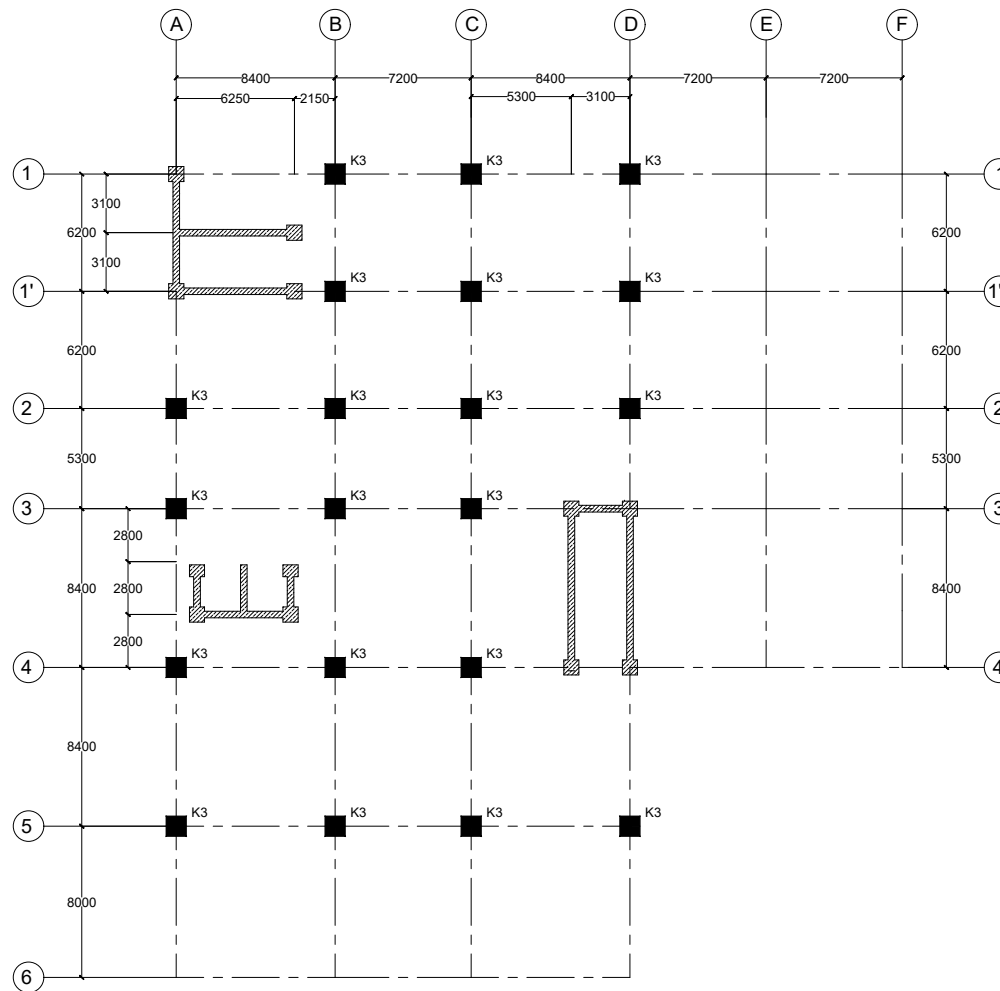
JUDUL TUGAS AKHIR
Modifikasi Perencanaan Struktur Gedung
Fakultas Ekonomi dan Bisnis Universitas
Muhammadiyah Prof. Dr. Hamka Menggunakan
Elemen Pracetak dan Hollow Core Slab

DOSEN PEMBIMBING
Dr. techn. Pujo Aji, ST., MT.
Prof. Dr. Ir. IGP Raka, DEA.

NAMA DAN NRP
MAHASISWA
Ajeng Larasati
0311164000027

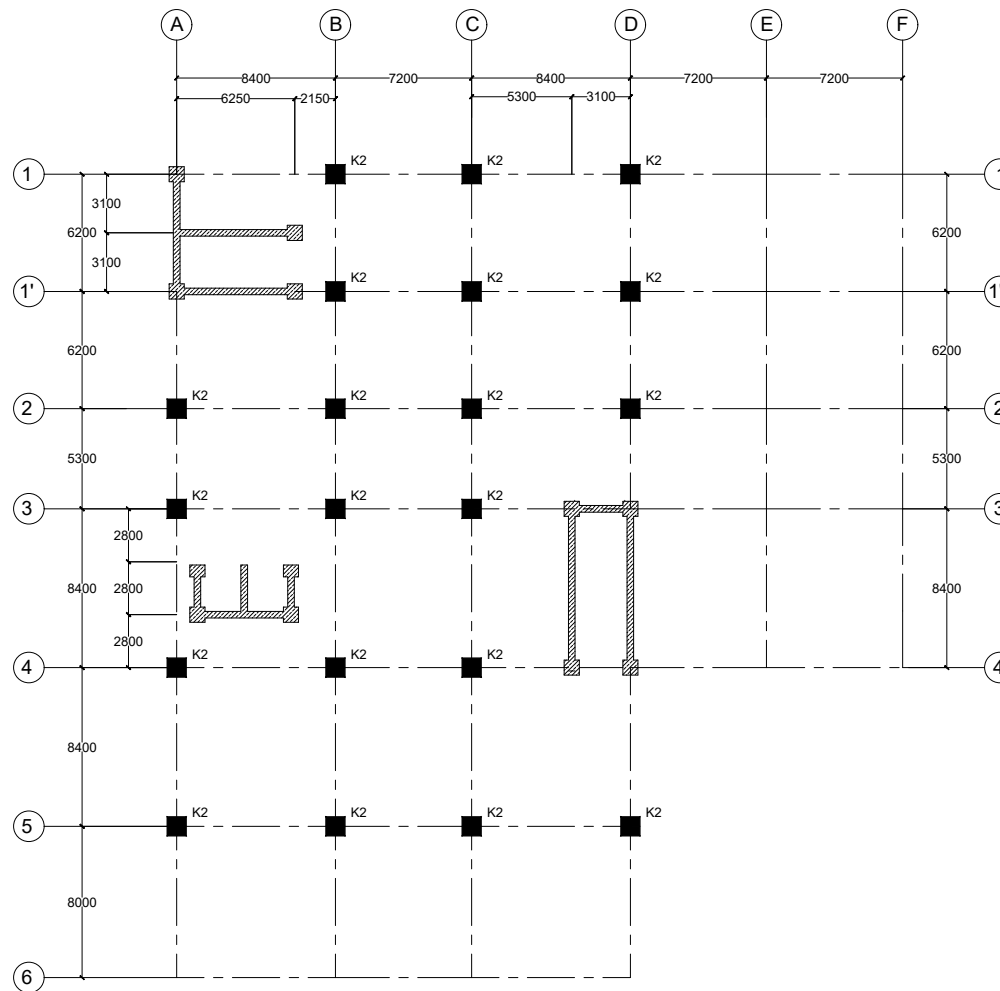
JUDUL GAMBAR
Denah Kolom

NO. GAMBAR
03 / 60



DENAH KOLOM Lt. 6 - 7
 SKALA 1 : 400

	DEPARTEMEN TEKNIK SIPIL <small>FAKULTAS TEKNIK SIPIL, PERENCANAAN, DAN KEBUMIHAN INSTITUT TEKNOLOGI SEPULUH NOPEMBER</small>	JUDUL TUGAS AKHIR	DOSEN PEMBIMBING	NAMA DAN NRP MAHASISWA	JUDUL GAMBAR	NO. GAMBAR
		Modifikasi Perencanaan Struktur Gedung Fakultas Ekonomi dan Bisnis Universitas Muhammadiyah Prof. Dr. Hamka Menggunakan Elemen Pracetak dan Hollow Core Slab	Dr. techn. Pujo Aji, ST., MT. Prof. Dr. Ir. IGP Raka, DEA.	Ajeng Larasati 0311164000027	Denah Kolom	04 / 60



DENAH KOLOM Lt. 8 - 11
 SKALA 1 : 400



DEPARTEMEN TEKNIK SIPIL
 FAKULTAS TEKNIK SIPIL, PERENCANAAN, DAN KEBUMIHAN
 INSTITUT TEKNOLOGI SEPULUH NOPEMBER

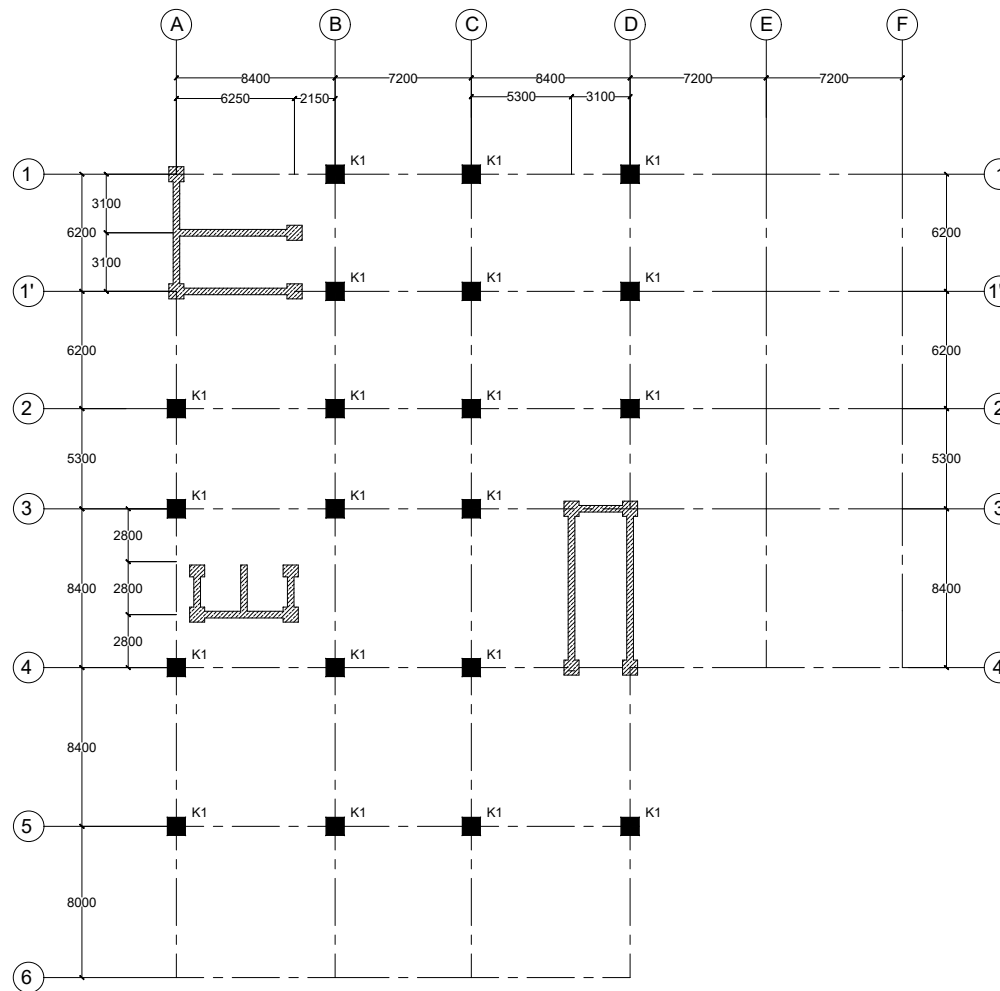
JUDUL TUGAS AKHIR
 Modifikasi Perencanaan Struktur Gedung
 Fakultas Ekonomi dan Bisnis Universitas
 Muhammadiyah Prof. Dr. Hamka Menggunakan
 Elemen Pracetak dan Hollow Core Slab

DOSEN PEMBIMBING
 Dr. techn. Pujo Aji, ST., MT.
 Prof. Dr. Ir. IGP Raka, DEA.

NAMA DAN NRP MAHASISWA
 Ajeng Larasati
 0311164000027

JUDUL GAMBAR
 Denah Kolom

NO. GAMBAR
 05 / 60



DENAH KOLOM Lt. 12 - 15
 SKALA 1 : 400



DEPARTEMEN TEKNIK SIPIL
 FAKULTAS TEKNIK SIPIL, PERENCANAAN, DAN KEBUMIHAN
 INSTITUT TEKNOLOGI SEPULUH NOPEMBER

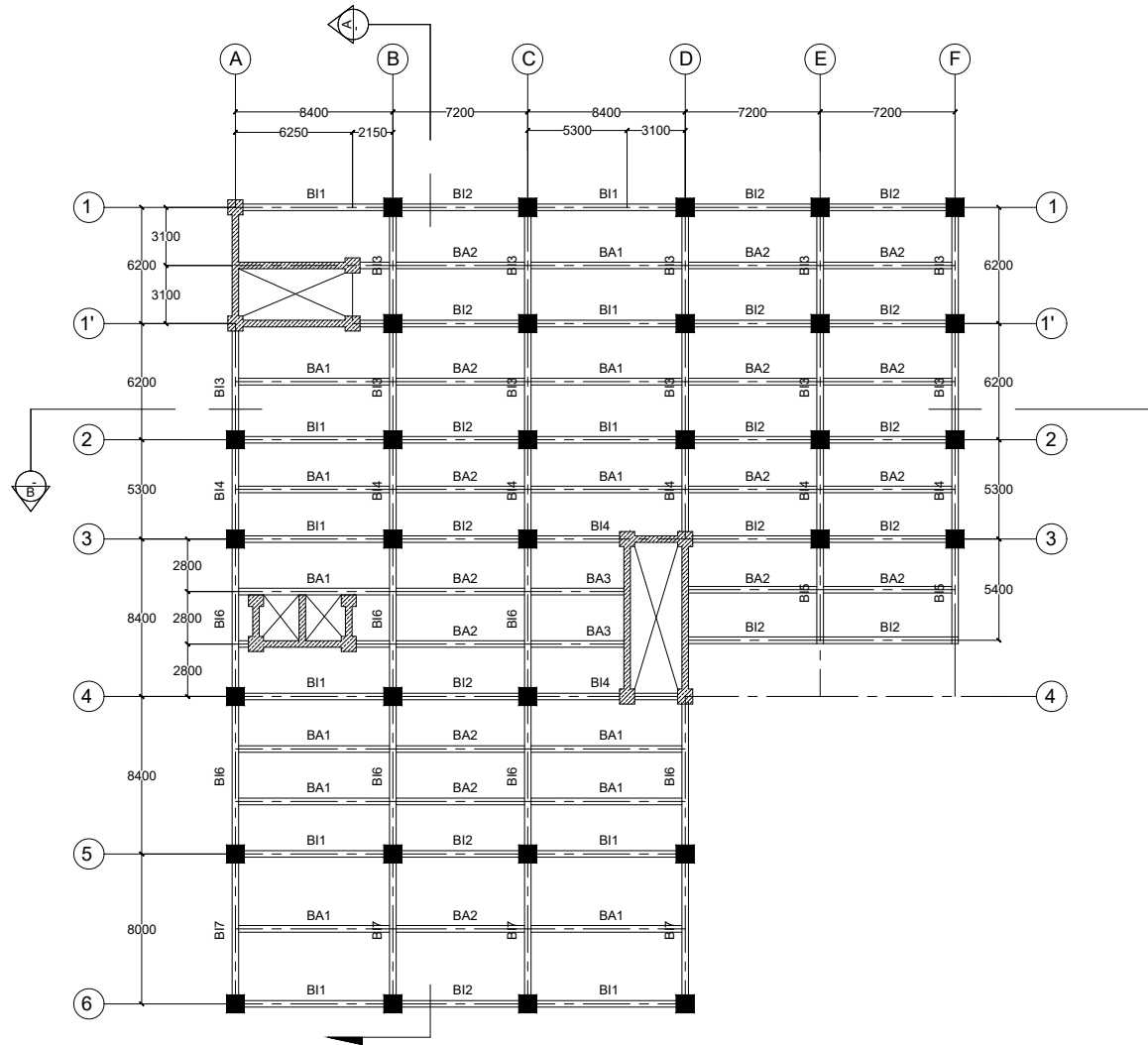
JUDUL TUGAS AKHIR
 Modifikasi Perencanaan Struktur Gedung
 Fakultas Ekonomi dan Bisnis Universitas
 Muhammadiyah Prof. Dr. Hamka Menggunakan
 Elemen Pracetak dan Hollow Core Slab

DOSEN PEMBIMBING
 Dr. techn. Pujo Aji, ST., MT.
 Prof. Dr. Ir. IGP Raka, DEA.

NAMA DAN NRP MAHASISWA
 Ajeng Larasati
 0311164000027

JUDUL GAMBAR
 Denah Kolom

NO. GAMBAR
 06 / 60



DIMENSI BALOK	
TIPE	UKURAN (cm)
BA 1	40/65
BA 2	40/65
BA 3	35/60
BI 1	60/90
BI 2	60/90
BI 3	80/120
BI 4	80/120
BI 5	80/120
BI 6	80/120
BI 7	80/120

 DENAH BALOK Lt. 1
SKALA 1 : 400



DEPARTEMEN TEKNIK SIPIL
FAKULTAS TEKNIK SIPIL, PERENCANAAN, DAN KEBUMIHAN
INSTITUT TEKNOLOGI SEPULUH NOPEMBER

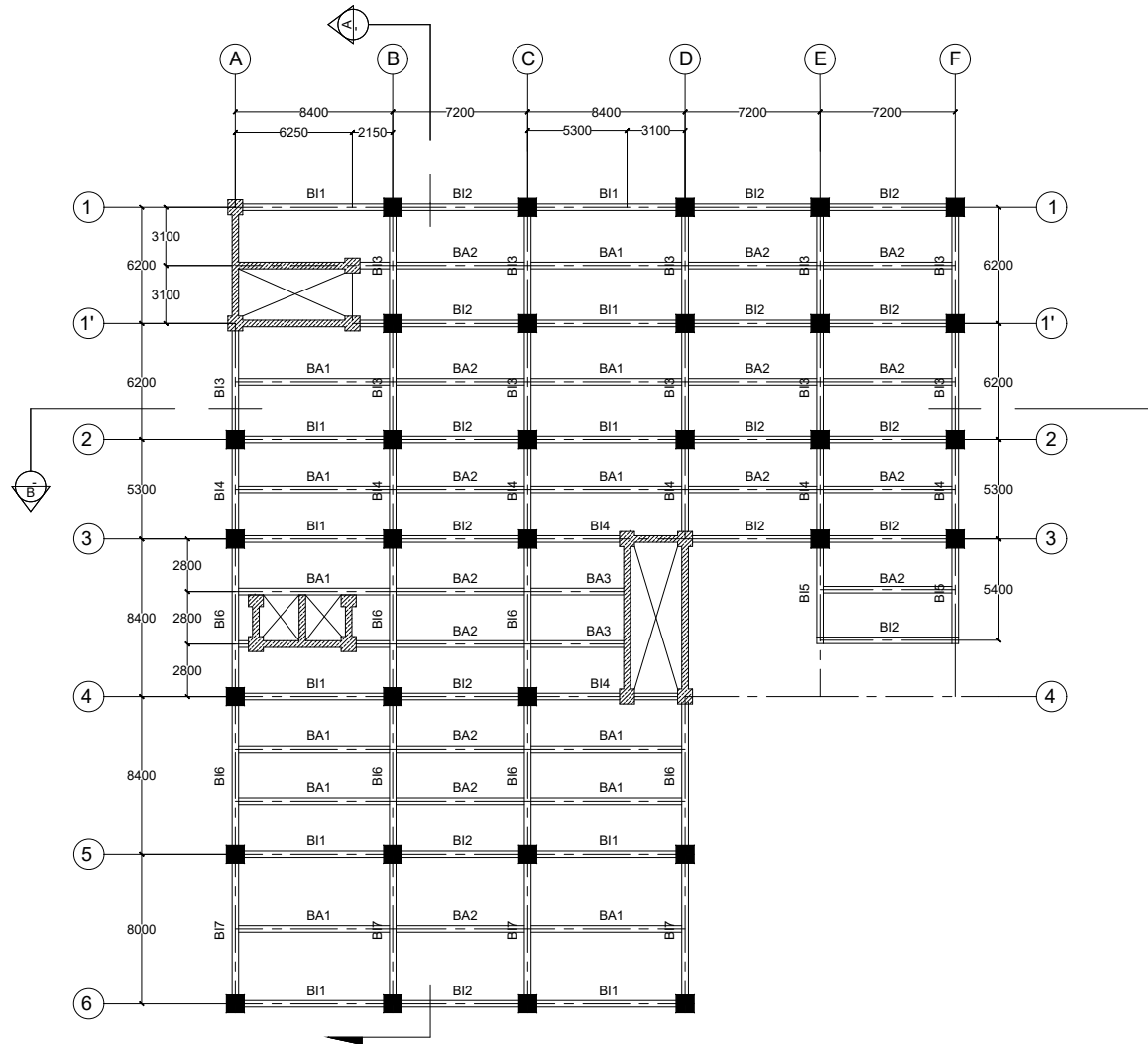
JUDUL TUGAS AKHIR
Modifikasi Perencanaan Struktur Gedung
Fakultas Ekonomi dan Bisnis Universitas
Muhammadiyah Prof. Dr. Hamka Menggunakan
Elemen Pracetak dan Hollow Core Slab

DOSEN PEMBIMBING
Dr. techn. Pujo Aji, ST., MT.
Prof. Dr. Ir. IGP Raka, DEA.

NAMA DAN NRP
MAHASISWA
Ajeng Larasati
0311164000027

JUDUL GAMBAR
Denah Balok

NO. GAMBAR
07 / 60



DIMENSI BALOK	
TIPE	UKURAN (cm)
BA 1	40/65
BA 2	40/65
BA 3	35/60
BI 1	60/90
BI 2	60/90
BI 3	80/120
BI 4	80/120
BI 5	80/120
BI 6	80/120
BI 7	80/120

DENAH BALOK Lt. 2
 SKALA 1 : 400



DEPARTEMEN TEKNIK SIPIL
 FAKULTAS TEKNIK SIPIL, PERENCANAAN, DAN KEBUMIHAN
 INSTITUT TEKNOLOGI SEPULUH NOPEMBER

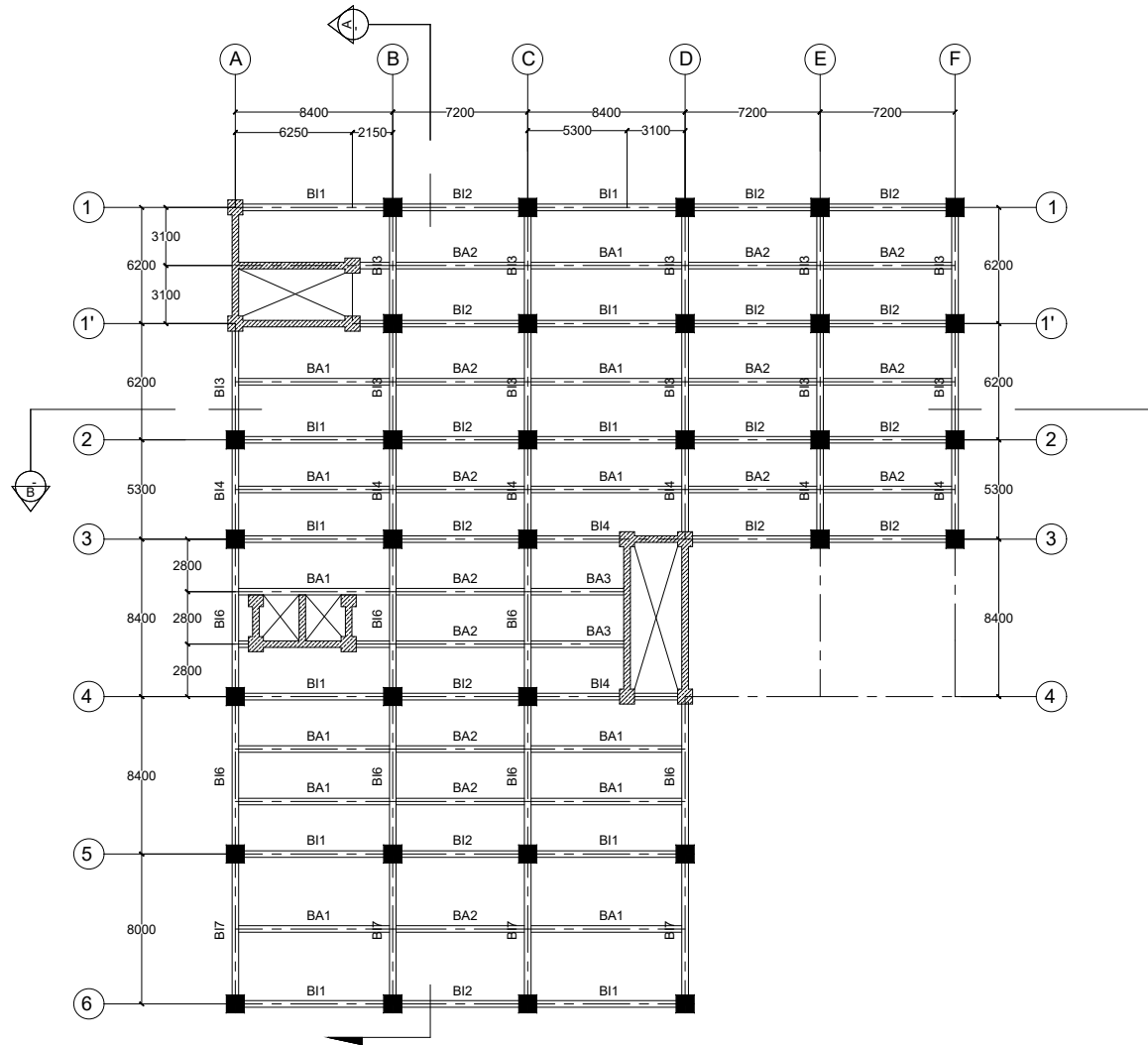
JUDUL TUGAS AKHIR
 Modifikasi Perencanaan Struktur Gedung
 Fakultas Ekonomi dan Bisnis Universitas
 Muhammadiyah Prof. Dr. Hamka Menggunakan
 Elemen Pracetak dan Hollow Core Slab

DOSEN PEMBIMBING
 Dr. techn. Pujo Aji, ST., MT.
 Prof. Dr. Ir. IGP Raka, DEA.

NAMA DAN NRP MAHASISWA
 Ajeng Larasati
 0311164000027

JUDUL GAMBAR
 Denah Balok

NO. GAMBAR
 08 / 60



DIMENSI BALOK	
TIPE	UKURAN (cm)
BA 1	40/65
BA 2	40/65
BA 3	35/60
BI 1	60/90
BI 2	60/90
BI 3	80/120
BI 4	80/120
BI 5	80/120
BI 6	80/120
BI 7	80/120

DENAH BALOK Lt. 3 - 5
 SKALA 1 : 400



DEPARTEMEN TEKNIK SIPIL
 FAKULTAS TEKNIK SIPIL, PERENCANAAN, DAN KEBUMIHAN
 INSTITUT TEKNOLOGI SEPULUH NOPEMBER

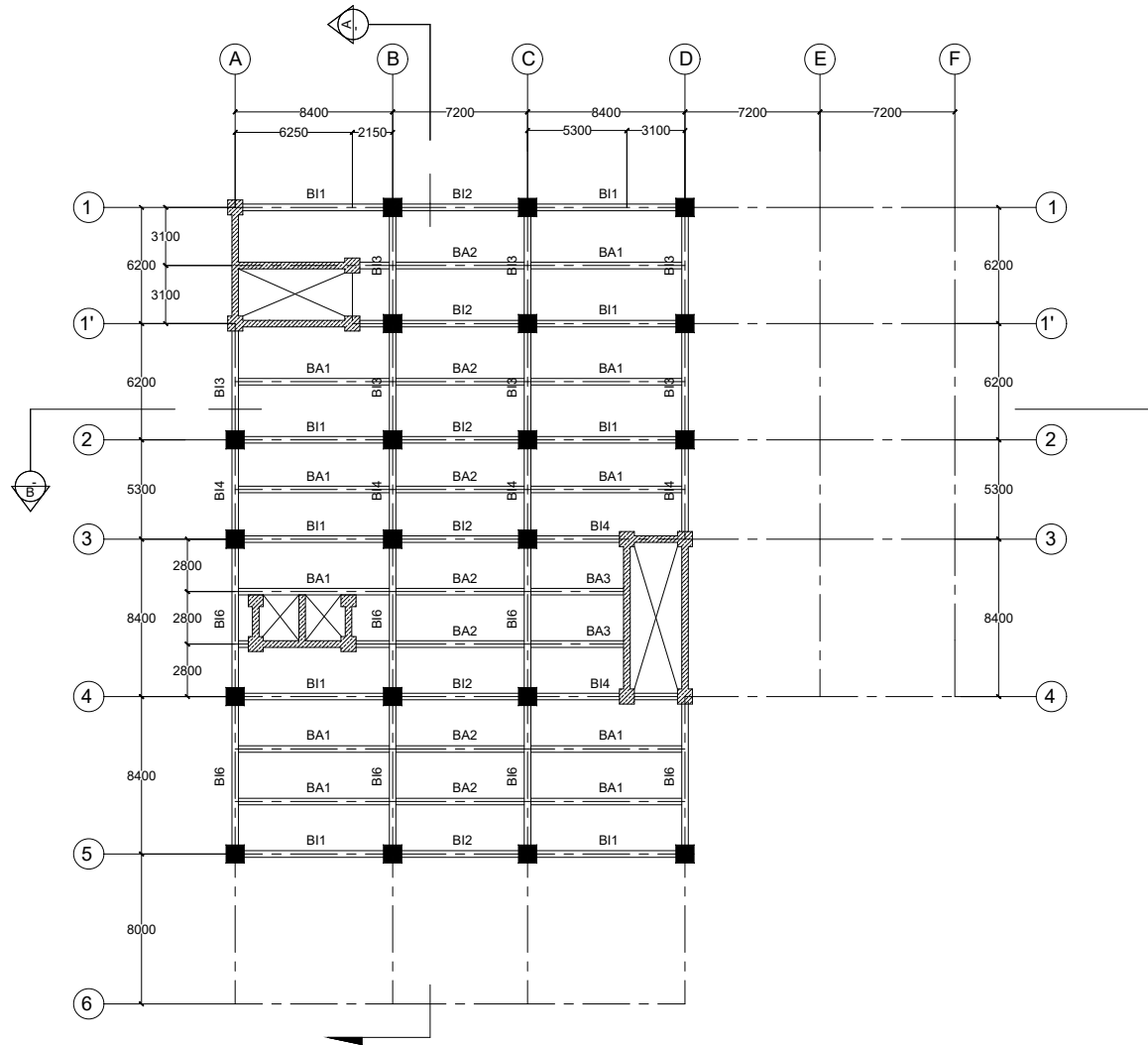
JUDUL TUGAS AKHIR
 Modifikasi Perencanaan Struktur Gedung
 Fakultas Ekonomi dan Bisnis Universitas
 Muhammadiyah Prof. Dr. Hamka Menggunakan
 Elemen Pracetak dan Hollow Core Slab

DOSEN PEMBIMBING
 Dr. techn. Pujo Aji, ST., MT.
 Prof. Dr. Ir. IGP Raka, DEA.

NAMA DAN NRP MAHASISWA
 Ajeng Larasati
 0311164000027

JUDUL GAMBAR
 Denah Balok

NO. GAMBAR
 09 / 60



DIMENSI BALOK	
TIPE	UKURAN (cm)
BA 1	40/65
BA 2	40/65
BA 3	35/60
BI 1	60/90
BI 2	60/90
BI 3	80/120
BI 4	80/120
BI 5	80/120
BI 6	80/120
BI 7	80/120

DENAH BALOK Lt. 6 - 15
 SKALA 1 : 400



DEPARTEMEN TEKNIK SIPIL
 FAKULTAS TEKNIK SIPIL, PERENCANAAN, DAN KEBUMIHAN
 INSTITUT TEKNOLOGI SEPULUH NOPEMBER

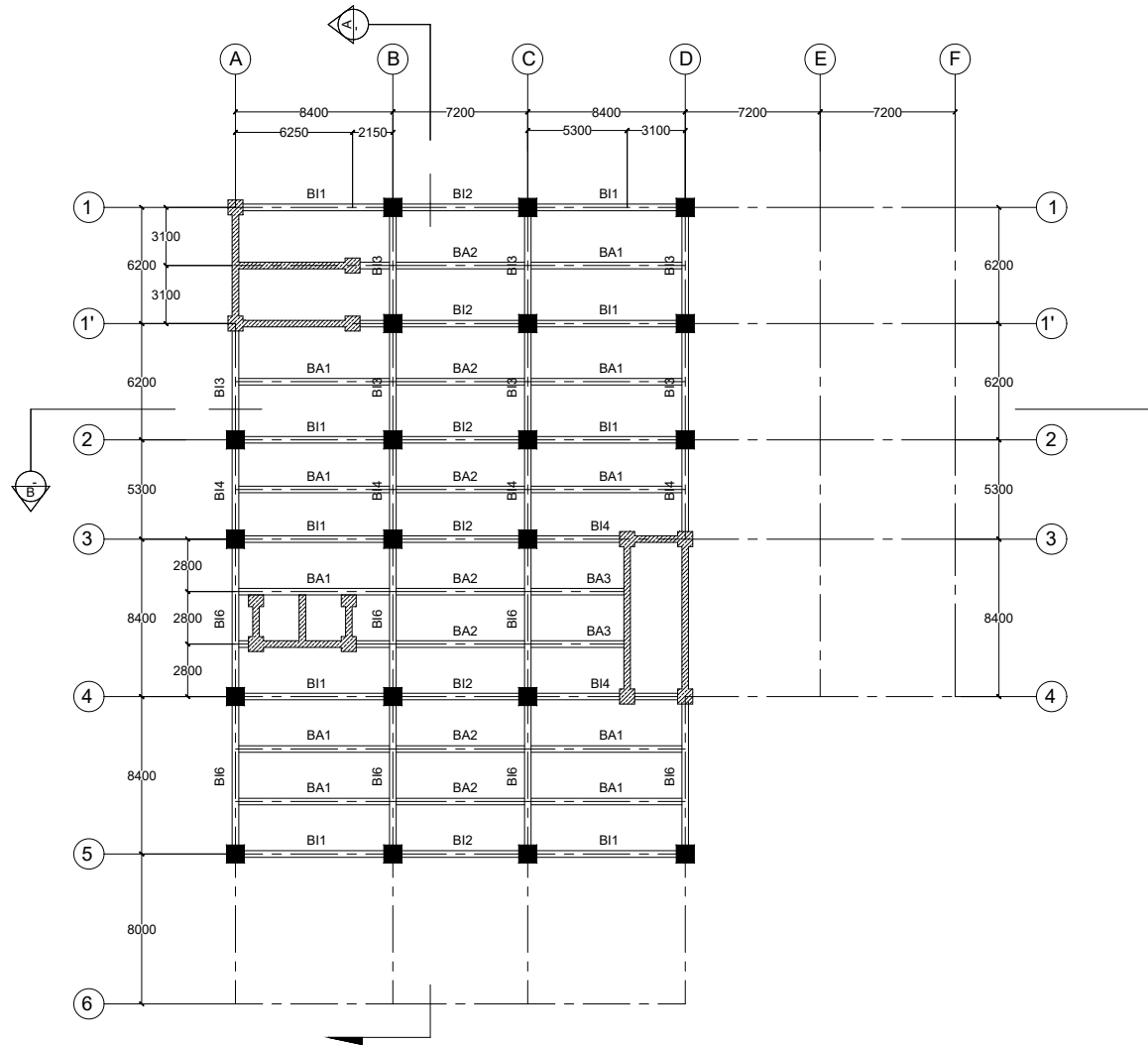
JUDUL TUGAS AKHIR
 Modifikasi Perencanaan Struktur Gedung
 Fakultas Ekonomi dan Bisnis Universitas
 Muhammadiyah Prof. Dr. Hamka Menggunakan
 Elemen Pracetak dan Hollow Core Slab

DOSEN PEMBIMBING
 Dr. techn. Pujo Aji, ST., MT.
 Prof. Dr. Ir. IGP Raka, DEA.

NAMA DAN NRP MAHASISWA
 Ajeng Larasati
 0311164000027

JUDUL GAMBAR
 Denah Balok

NO. GAMBAR
 10 / 60



DIMENSI BALOK	
TIPE	UKURAN (cm)
BA 1	40/65
BA 2	40/65
BA 3	35/60
BI 1	60/90
BI 2	60/90
BI 3	80/120
BI 4	80/120
BI 5	80/120
BI 6	80/120
BI 7	80/120

DENAH BALOK Lt. ATAP
 SKALA 1 : 400



DEPARTEMEN TEKNIK SIPIL
 FAKULTAS TEKNIK SIPIL, PERENCANAAN, DAN KEBUMIHAN
 INSTITUT TEKNOLOGI SEPULUH NOPEMBER

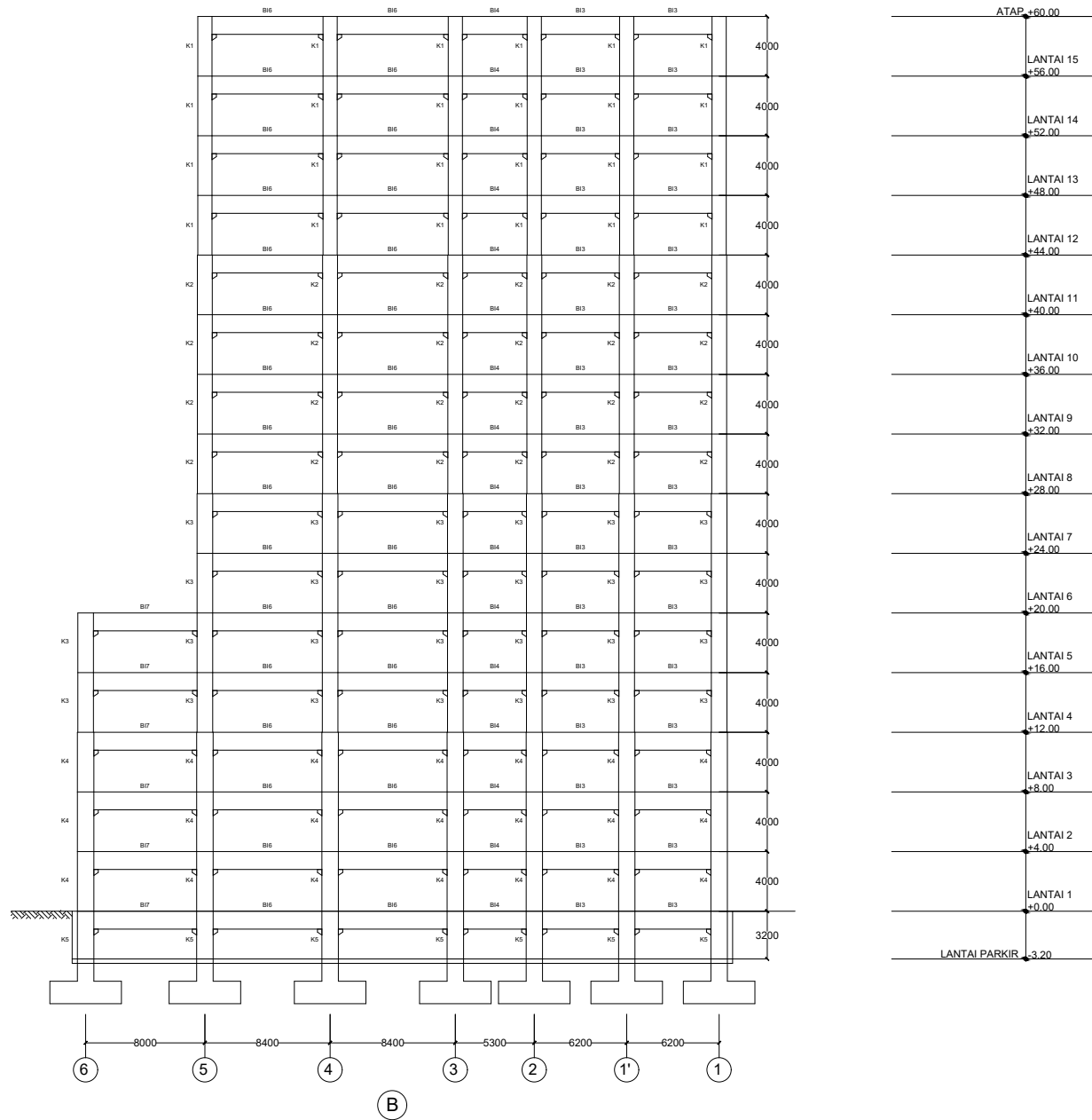
JUDUL TUGAS AKHIR
 Modifikasi Perencanaan Struktur Gedung
 Fakultas Ekonomi dan Bisnis Universitas
 Muhammadiyah Prof. Dr. Hamka Menggunakan
 Elemen Pracetak dan Hollow Core Slab

DOSEN PEMBIMBING
 Dr. techn. Pujo Aji, ST., MT.
 Prof. Dr. Ir. IGP Raka, DEA.

NAMA DAN NRP MAHASISWA
 Ajeng Larasati
 0311164000027

JUDUL GAMBAR
 Denah Balok

NO. GAMBAR
 11 / 60



POTONGAN A - A
SKALA 1 : 450



DEPARTEMEN TEKNIK SIPIL
FAKULTAS TEKNIK SIPIL, PERENCANAAN, DAN KEBUMIHAN
INSTITUT TEKNOLOGI SEPULUH NOPEMBER

JUDUL TUGAS AKHIR

Modifikasi Perencanaan Struktur Gedung
Fakultas Ekonomi dan Bisnis Universitas
Muhammadiyah Prof. Dr. Hamka Menggunakan
Elemen Pracetak dan Hollow Core Slab

DOSEN PEMBIMBING

Dr. techn. Pujo Aji, ST., MT.
Prof. Dr. Ir. IGP Raka, DEA.

NAMA DAN NRP
MAHASISWA

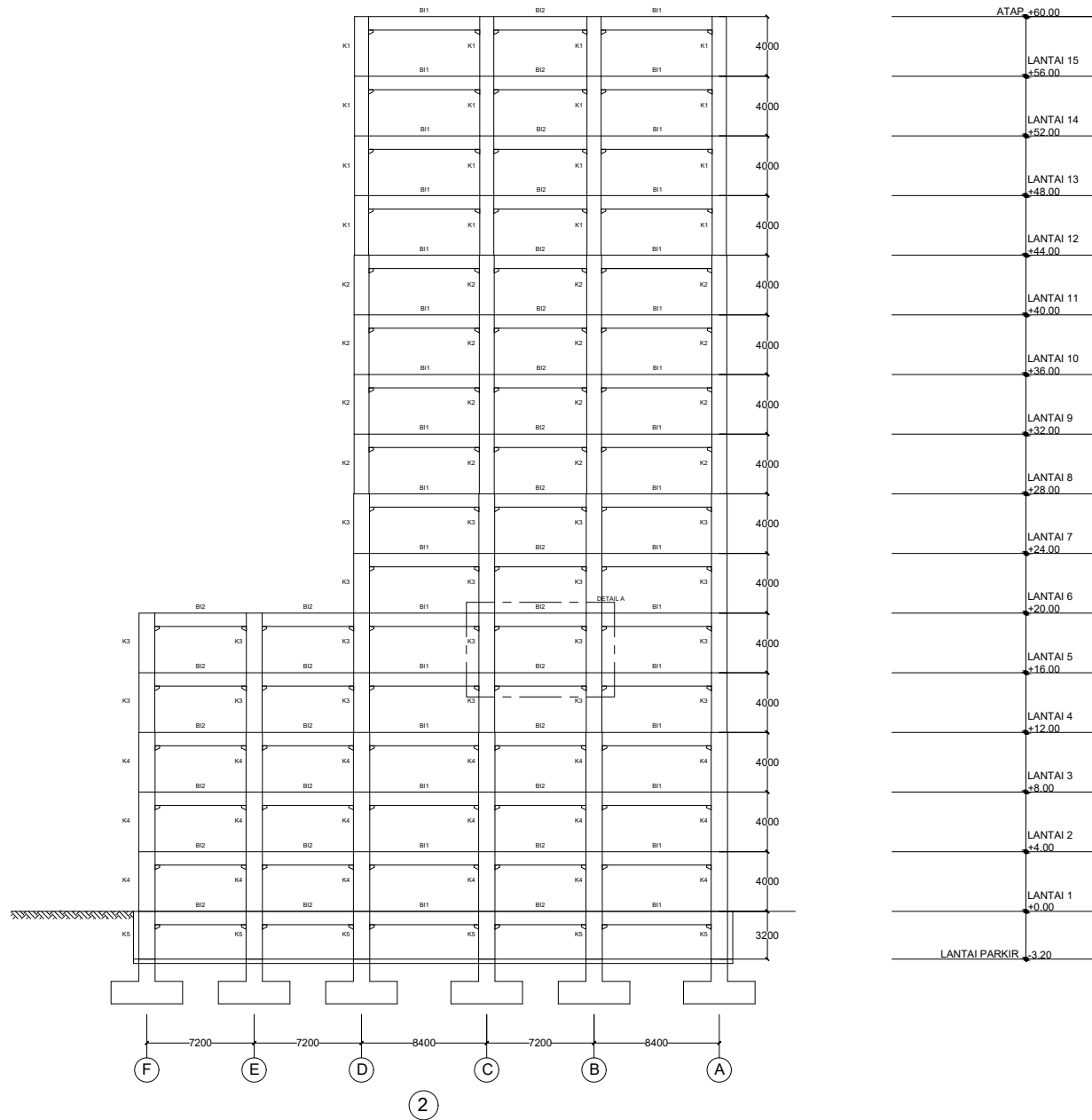
Ajeng Larasati
0311164000027

JUDUL GAMBAR

Potongan Portal A - A

NO. GAMBAR

12 / 60



POTONGAN B - B
SKALA 1 : 450



DEPARTEMEN TEKNIK SIPIL
FAKULTAS TEKNIK SIPIL, PERENCANAAN, DAN KEBUMIHAN
INSTITUT TEKNOLOGI SEPULUH NOPEMBER

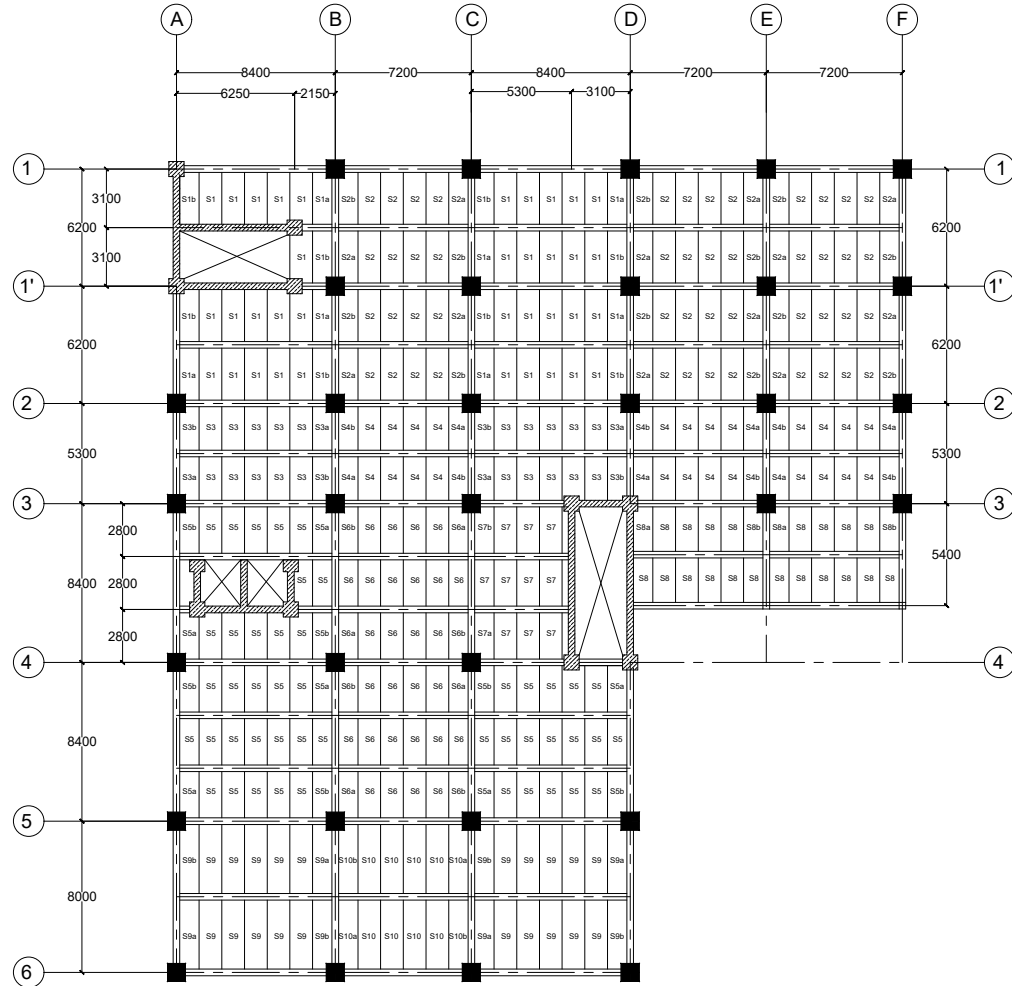
JUDUL TUGAS AKHIR
Modifikasi Perencanaan Struktur Gedung
Fakultas Ekonomi dan Bisnis Universitas
Muhammadiyah Prof. Dr. Hamka Menggunakan
Elemen Pracetak dan Hollow Core Slab

DOSEN PEMBIMBING
Dr. techn. Pujo Aji, ST., MT.
Prof. Dr. Ir. IGP Raka, DEA.

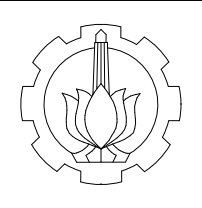
NAMA DAN NRP
MAHASISWA
Ajeng Larasati
0311164000027

JUDUL GAMBAR
Potongan Portal B - B

NO. GAMBAR
13 / 60



DENAH PELAT Lt. 1
 SKALA 1 : 400



DEPARTEMEN TEKNIK SIPIL
 FAKULTAS TEKNIK SIPIL, PERENCANAAN, DAN KEBUMIHAN
 INSTITUT TEKNOLOGI SEPULUH NOPEMBER

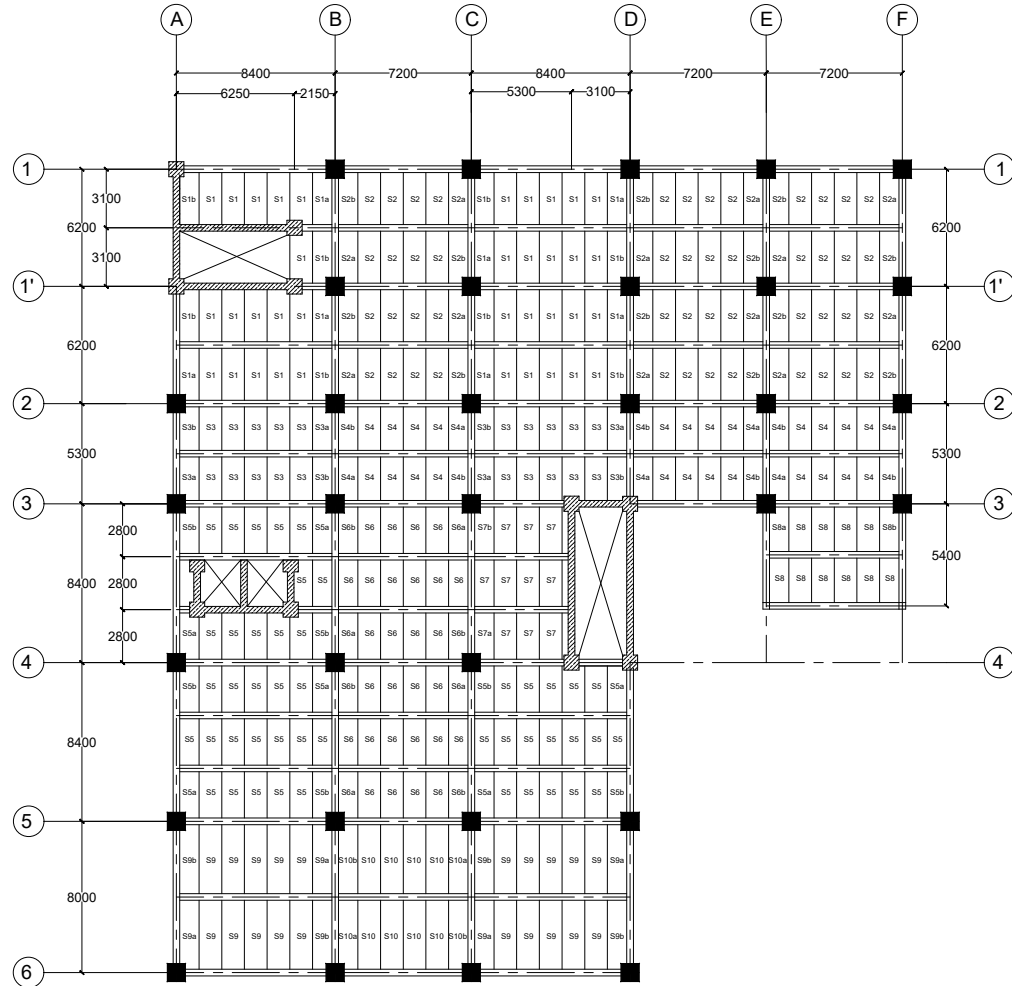
JUDUL TUGAS AKHIR
 Modifikasi Perencanaan Struktur Gedung
 Fakultas Ekonomi dan Bisnis Universitas
 Muhammadiyah Prof. Dr. Hamka Menggunakan
 Elemen Pracetak dan Hollow Core Slab

DOSEN PEMBIMBING
 Dr. techn. Pujo Aji, ST., MT.
 Prof. Dr. Ir. IGP Raka, DEA.

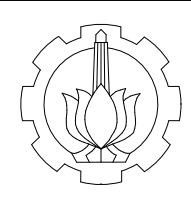
NAMA DAN NRP MAHASISWA
 Ajeng Larasati
 0311164000027

JUDUL GAMBAR
 Denah Pelat

NO. GAMBAR
 14 / 60



DENAH PELAT Lt. 2
 SKALA 1 : 400



DEPARTEMEN TEKNIK SIPIL
 FAKULTAS TEKNIK SIPIL, PERENCANAAN, DAN KEBUMIHAN
 INSTITUT TEKNOLOGI SEPULUH NOPEMBER

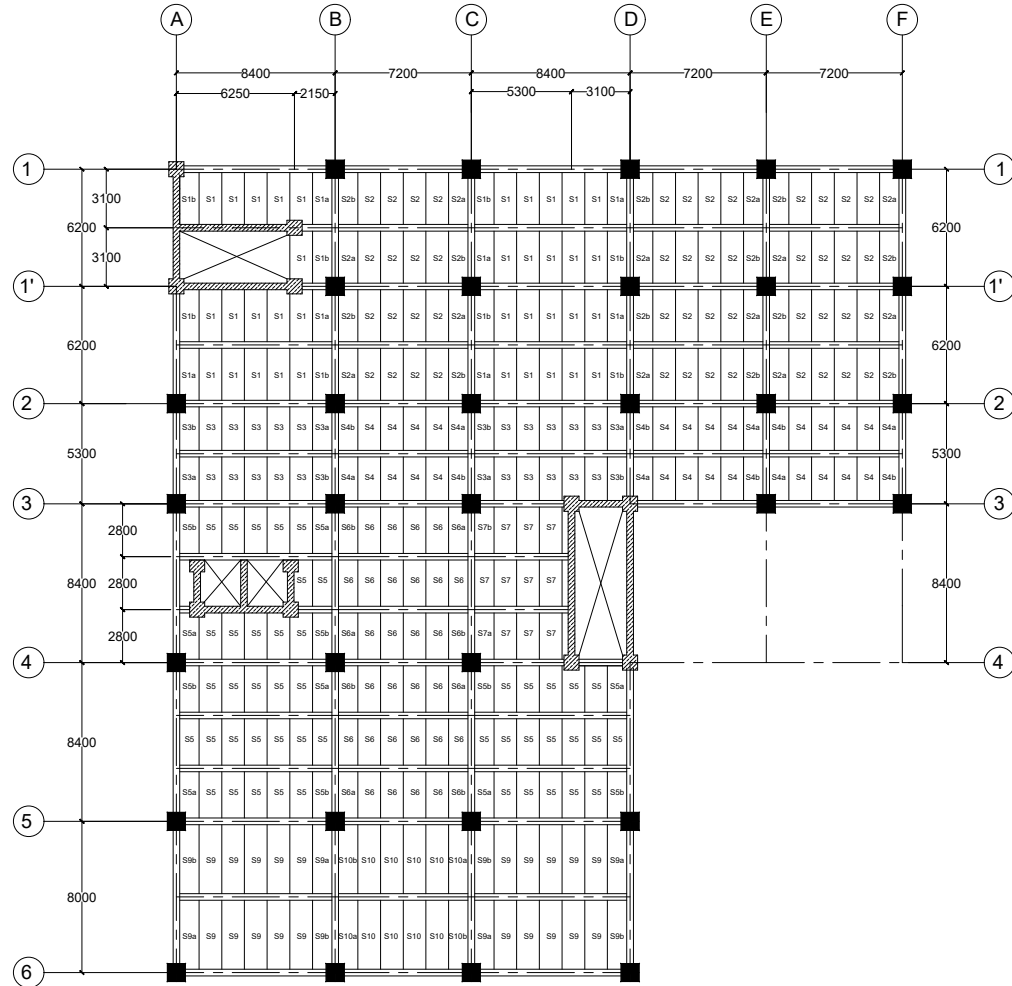
JUDUL TUGAS AKHIR
 Modifikasi Perencanaan Struktur Gedung
 Fakultas Ekonomi dan Bisnis Universitas
 Muhammadiyah Prof. Dr. Hamka Menggunakan
 Elemen Pracetak dan Hollow Core Slab

DOSEN PEMBIMBING
 Dr. techn. Pujo Aji, ST., MT.
 Prof. Dr. Ir. IGP Raka, DEA.

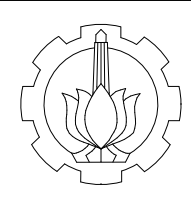
NAMA DAN NRP MAHASISWA
 Ajeng Larasati
 0311164000027

JUDUL GAMBAR
 Denah Pelat

NO. GAMBAR
 15 / 60



DENAH PELAT Lt. 3 - 5
 SKALA 1 : 400



DEPARTEMEN TEKNIK SIPIL
 FAKULTAS TEKNIK SIPIL, PERENCANAAN, DAN KEBUMIHAN
 INSTITUT TEKNOLOGI SEPULUH NOPEMBER

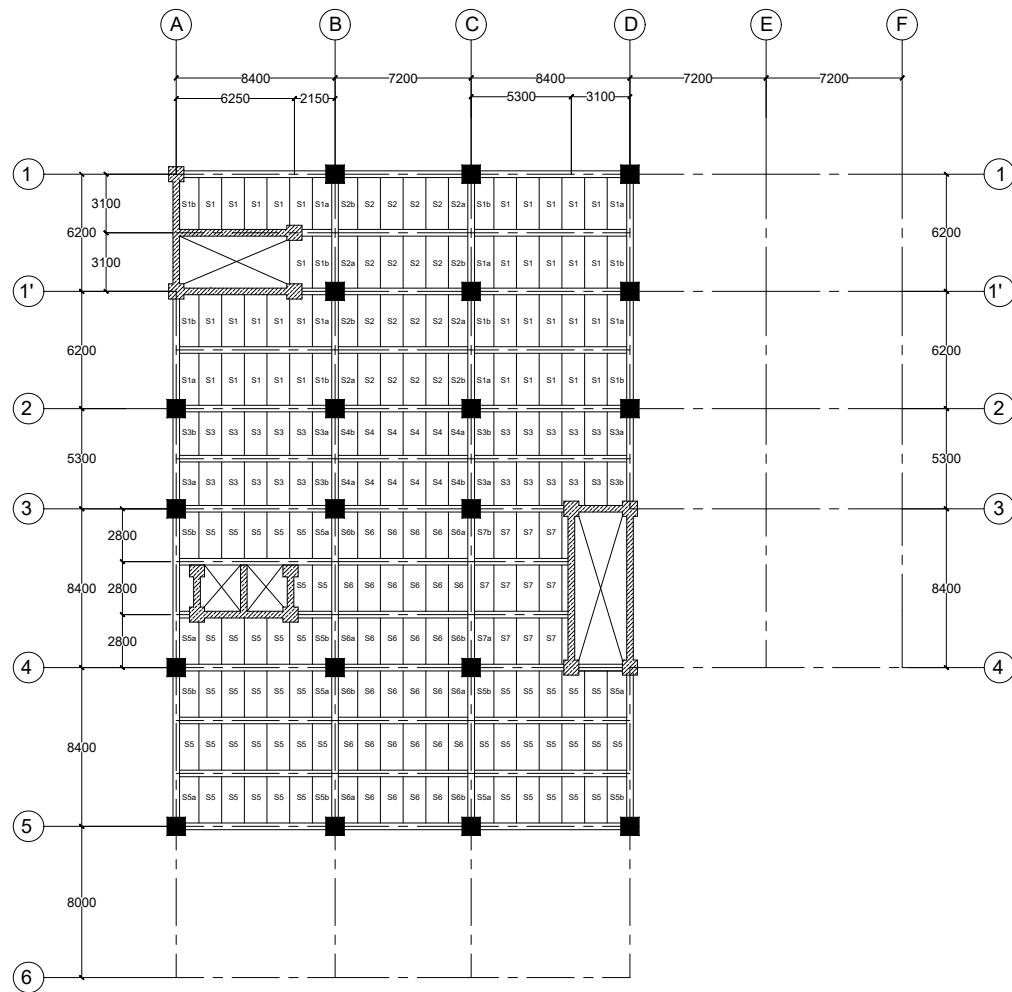
JUDUL TUGAS AKHIR
 Modifikasi Perencanaan Struktur Gedung
 Fakultas Ekonomi dan Bisnis Universitas
 Muhammadiyah Prof. Dr. Hamka Menggunakan
 Elemen Pracetak dan Hollow Core Slab

DOSEN PEMBIMBING
 Dr. techn. Pujo Aji, ST., MT.
 Prof. Dr. Ir. IGP Raka, DEA.

NAMA DAN NRP MAHASISWA
 Ajeng Larasati
 0311164000027

JUDUL GAMBAR
 Denah Pelat

NO. GAMBAR
 16 / 60




DENAH PELAT Lt. 6 - 15
 SKALA 1 : 400



DEPARTEMEN TEKNIK SIPIL
 FAKULTAS TEKNIK SIPIL, PERENCANAAN, DAN KEBUMIHAN
 INSTITUT TEKNOLOGI SEPULUH NOPEMBER

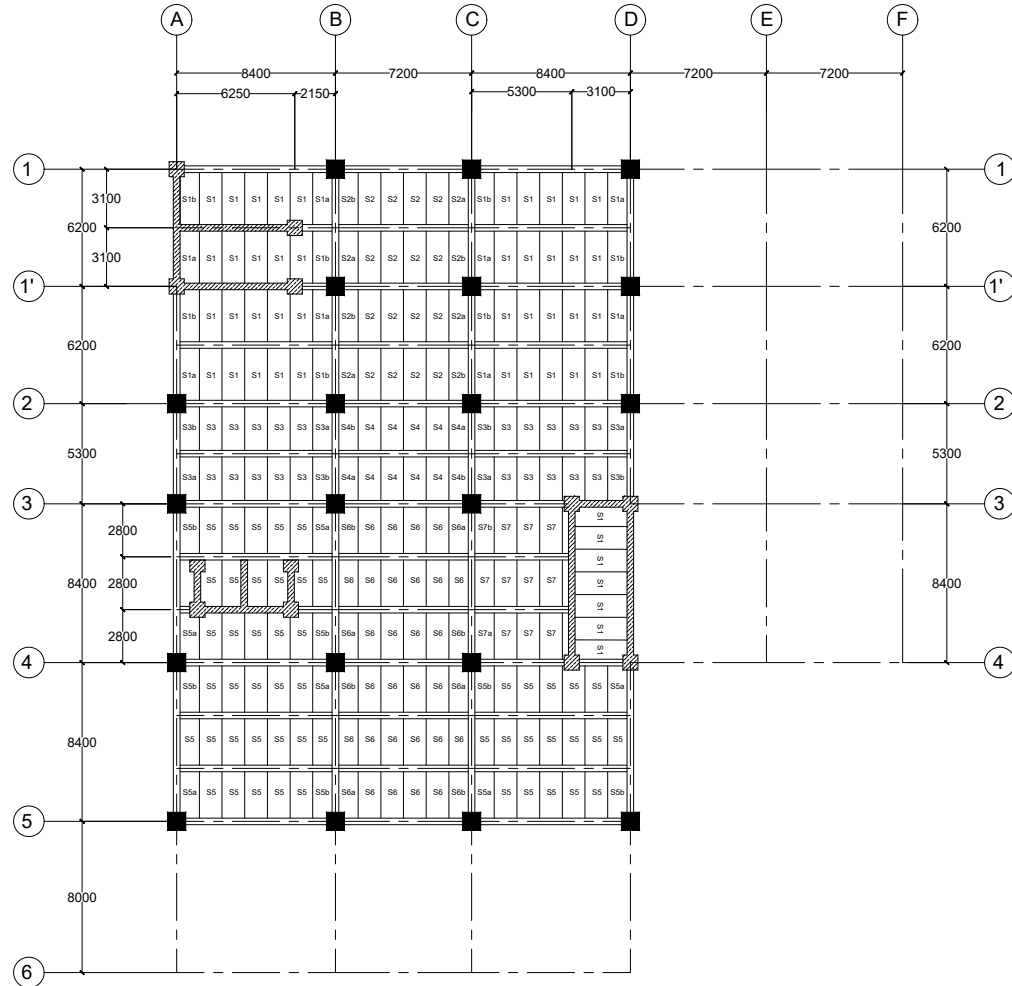
JUDUL TUGAS AKHIR
 Modifikasi Perencanaan Struktur Gedung
 Fakultas Ekonomi dan Bisnis Universitas
 Muhammadiyah Prof. Dr. Hamka Menggunakan
 Elemen Pracetak dan Hollow Core Slab

DOSEN PEMBIMBING
 Dr. techn. Pujo Aji, ST., MT.
 Prof. Dr. Ir. IGP Raka, DEA.

NAMA DAN NRP MAHASISWA
 Ajeng Larasati
 0311164000027

JUDUL GAMBAR
 Denah Pelat

NO. GAMBAR
 17 / 60



DENAH PELAT Lt. ATAP
SKALA 1 : 400



DEPARTEMEN TEKNIK SIPIL
FAKULTAS TEKNIK SIPIL, PERENCANAAN, DAN KEBUMIHAN
INSTITUT TEKNOLOGI SEPULUH NOPEMBER

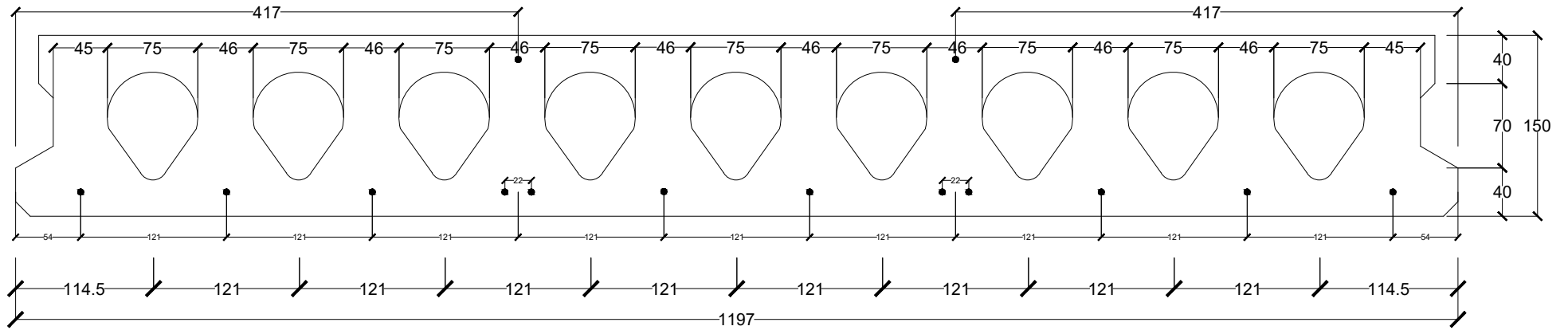
JUDUL TUGAS AKHIR
Modifikasi Perencanaan Struktur Gedung
Fakultas Ekonomi dan Bisnis Universitas
Muhammadiyah Prof. Dr. Hamka Menggunakan
Elemen Pracetak dan Hollow Core Slab

DOSEN PEMBIMBING
Dr. techn. Pujo Aji, ST., MT.
Prof. Dr. Ir. IGP Raka, DEA.

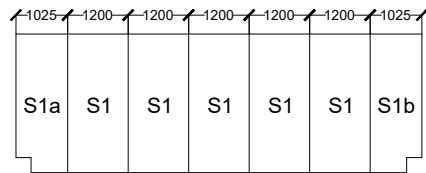
NAMA DAN NRP
MAHASISWA
Ajeng Larasati
0311164000027

JUDUL GAMBAR
Denah Pelat

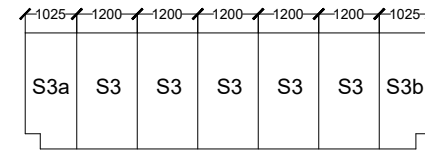
NO. GAMBAR
18 / 60



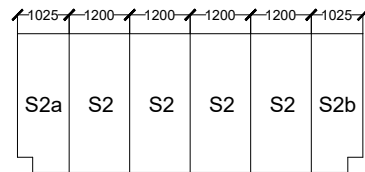
DETAIL SEGMENT HOLLOW CORE SLAB
SKALA 1 : 5



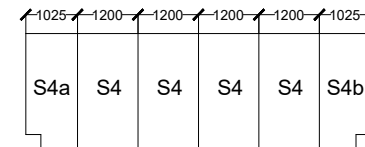
DETAIL PEMASANGAN PELAT S1
SKALA 1 : 150



DETAIL PEMASANGAN PELAT S3
SKALA 1 : 150



DETAIL PEMASANGAN PELAT S2
SKALA 1 : 150



DETAIL PEMASANGAN PELAT S4
SKALA 1 : 150



DEPARTEMEN TEKNIK SIPIL
FAKULTAS TEKNIK SIPIL, PERENCANAAN, DAN KEBUMIHAN
INSTITUT TEKNOLOGI SEPULUH NOPEMBER

JUDUL TUGAS AKHIR

Modifikasi Perencanaan Struktur Gedung
Fakultas Ekonomi dan Bisnis Universitas
Muhammadiyah Prof. Dr. Hamka Menggunakan
Elemen Pracetak dan Hollow Core Slab

DOSEN PEMBIMBING

Dr. techn. Pujo Aji, ST., MT.
Prof. Dr. Ir. IGP Raka, DEA.

NAMA DAN NRP
MAHASISWA

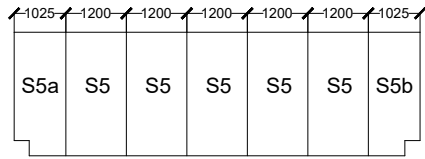
Ajeng Larasati
0311164000027

JUDUL GAMBAR

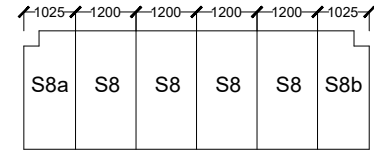
Detail Pelat Pracetak

NO. GAMBAR

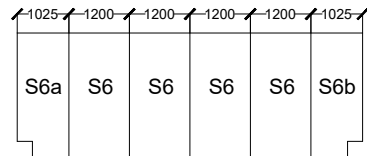
19 / 60



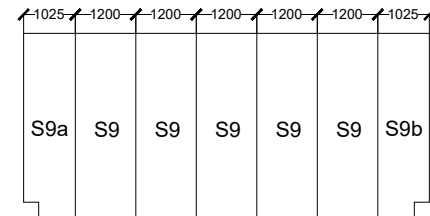
DETAIL PEMASANGAN PELAT S5
SKALA 1 : 150



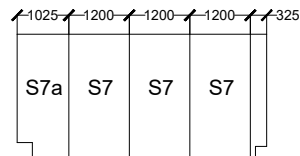
DETAIL PEMASANGAN PELAT S8
SKALA 1 : 150



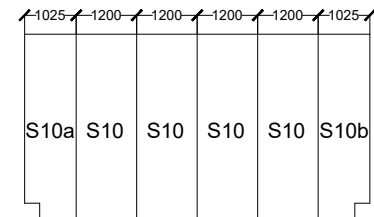
DETAIL PEMASANGAN PELAT S6
SKALA 1 : 150



DETAIL PEMASANGAN PELAT S9
SKALA 1 : 150



DETAIL PEMASANGAN PELAT S7
SKALA 1 : 150



DETAIL PEMASANGAN PELAT S10
SKALA 1 : 150



DEPARTEMEN TEKNIK SIPIL
FAKULTAS TEKNIK SIPIL, PERENCANAAN, DAN KEBUMIHAN
INSTITUT TEKNOLOGI SEPULUH NOPEMBER

JUDUL TUGAS AKHIR

Modifikasi Perencanaan Struktur Gedung
Fakultas Ekonomi dan Bisnis Universitas
Muhammadiyah Prof. Dr. Hamka Menggunakan
Elemen Pracetak dan Hollow Core Slab

DOSEN PEMBIMBING

Dr. techn. Pujo Aji, ST., MT.
Prof. Dr. Ir. IGP Raka, DEA.

NAMA DAN NRP
MAHASISWA

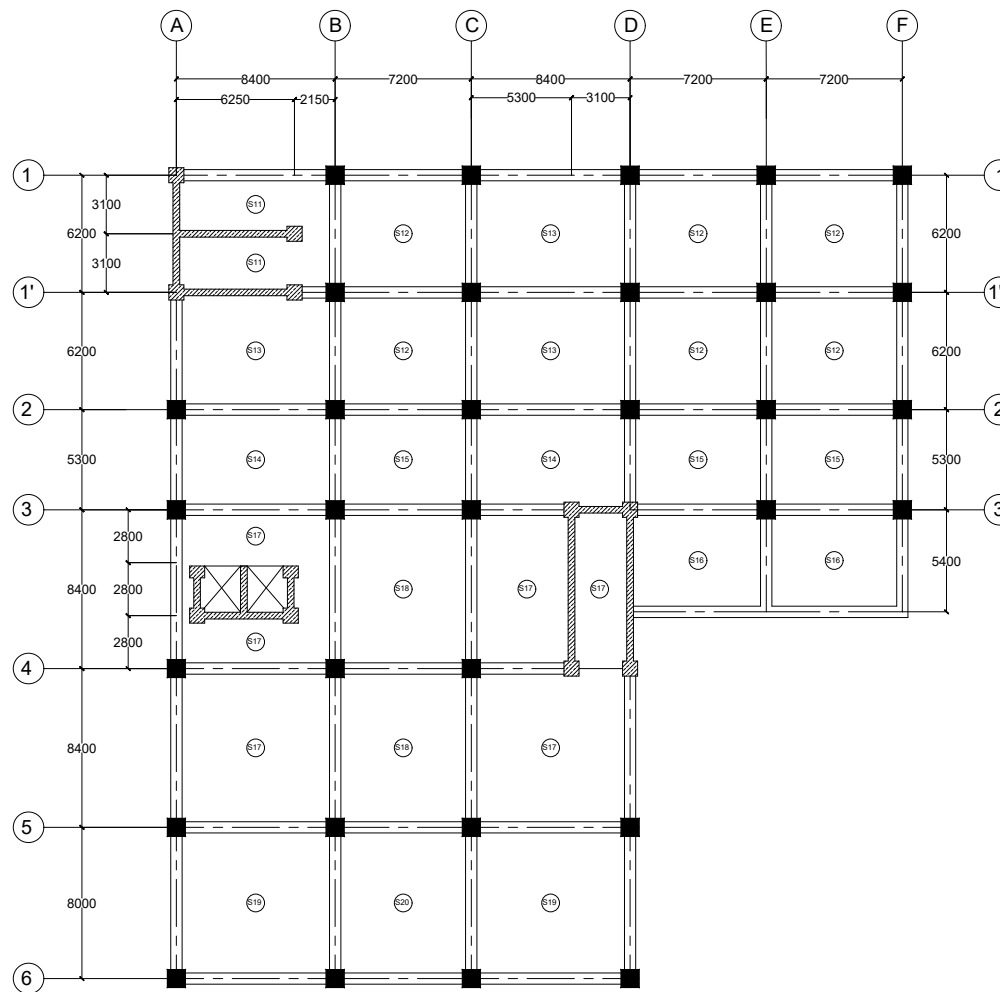
Ajeng Larasati
0311164000027

JUDUL GAMBAR

Detail Pelat Pracetak

NO. GAMBAR

20 / 60




DENAH PELAT Lt. BASEMENT
 SKALA 1 : 400



DEPARTEMEN TEKNIK SIPIL
 FAKULTAS TEKNIK SIPIL, PERENCANAAN, DAN KEBUMIHAN
 INSTITUT TEKNOLOGI SEPULUH NOPEMBER

JUDUL TUGAS AKHIR

Modifikasi Perencanaan Struktur Gedung
 Fakultas Ekonomi dan Bisnis Universitas
 Muhammadiyah Prof. Dr. Hamka Menggunakan
 Elemen Pracetak dan Hollow Core Slab

DOSEN PEMBIMBING

Dr. techn. Pujo Aji, ST., MT.
 Prof. Dr. Ir. IGP Raka, DEA.

**NAMA DAN NRP
 MAHASISWA**

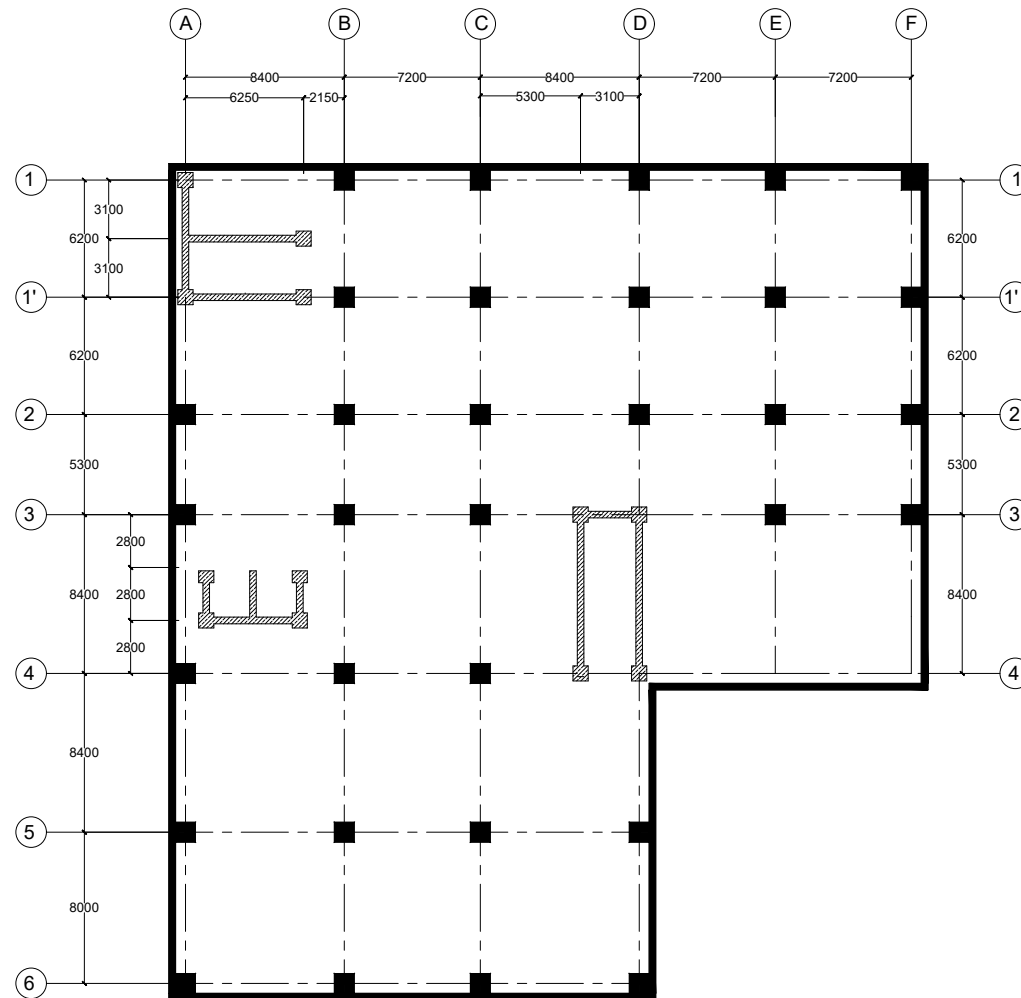
Ajeng Larasati
 0311164000027

JUDUL GAMBAR

Denah Pelat Basement

NO. GAMBAR

21 / 60



DENAH DINDING BASEMENT
SKALA 1 : 400



DEPARTEMEN TEKNIK SIPIL
FAKULTAS TEKNIK SIPIL, PERENCANAAN, DAN KEBUMIHAN
INSTITUT TEKNOLOGI SEPULUH NOPEMBER

JUDUL TUGAS AKHIR

Modifikasi Perencanaan Struktur Gedung
Fakultas Ekonomi dan Bisnis Universitas
Muhammadiyah Prof. Dr. Hamka Menggunakan
Elemen Pracetak dan Hollow Core Slab

DOSEN PEMBIMBING

Dr. techn. Pujo Aji, ST., MT.
Prof. Dr. Ir. IGP Raka, DEA.

NAMA DAN NRP
MAHASISWA

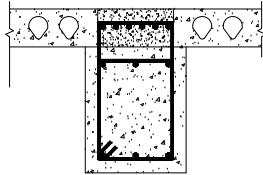
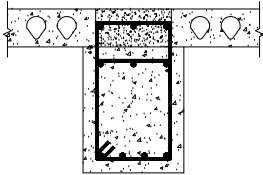
Ajeng Larasati
0311164000027

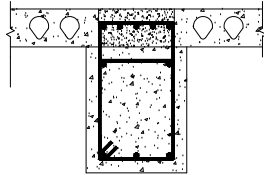
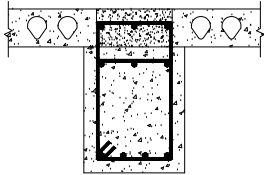
JUDUL GAMBAR

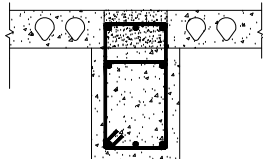
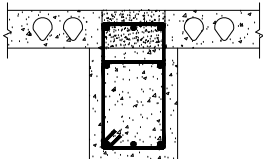
Denah Dinding Basement

NO. GAMBAR

23 / 60

TIPE BALOK	BA 1	
POSISI	TUMPUAN	LAPANGAN
DETAIL BALOK		
DIMENSI	400 × 650 mm	400 × 650 mm
TULANGAN ATAS	6 D19	3 D19
TULANGAN SAMPING	3 D19	3 D19
TULANGAN BAWAH	3 D19	4 D19
SENGKANG	2 D10 - 275 mm	2 D10 - 275 mm

TIPE BALOK	BA 2	
POSISI	TUMPUAN	LAPANGAN
DETAIL BALOK		
DIMENSI	400 × 650 mm	400 × 650 mm
TULANGAN ATAS	5 D19	3 D19
TULANGAN SAMPING	2 D19	3 D19
TULANGAN BAWAH	3 D19	4 D19
SENGKANG	2 D10 - 275 mm	2 D10 - 275 mm

TIPE BALOK	BA 3	
POSISI	TUMPUAN	LAPANGAN
DETAIL BALOK		
DIMENSI	350 × 600 mm	350 × 600 mm
TULANGAN ATAS	3 D19	3 D19
TULANGAN SAMPING	2 D19	2 D19
TULANGAN BAWAH	3 D19	3 D19
SENGKANG	2 D10 - 300 mm	2 D10 - 300 mm

 **DETAIL PENULANGAN BALOK ANAK**
SKALA 1 : 30



DEPARTEMEN TEKNIK SIPIL
FAKULTAS TEKNIK SIPIL, PERENCANAAN, DAN KEBUMIHAN
INSTITUT TEKNOLOGI SEPULUH NOPEMBER

JUDUL TUGAS AKHIR

Modifikasi Perencanaan Struktur Gedung
Fakultas Ekonomi dan Bisnis Universitas
Muhammadiyah Prof. Dr. Hamka Menggunakan
Elemen Pracetak dan Hollow Core Slab

DOSEN PEMBIMBING

Dr. techn. Pujo Aji, ST., MT.
Prof. Dr. Ir. IGP Raka, DEA.

**NAMA DAN NRP
MAHASISWA**

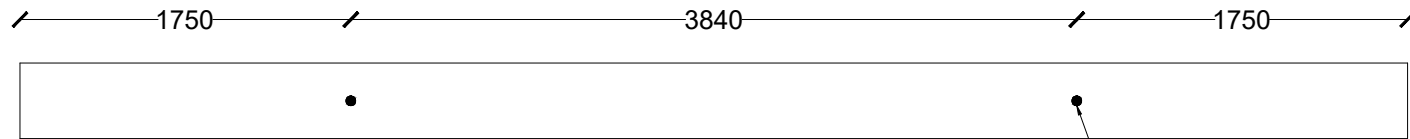
Ajeng Larasati
0311164000027

JUDUL GAMBAR

Detail Penulangan Balok

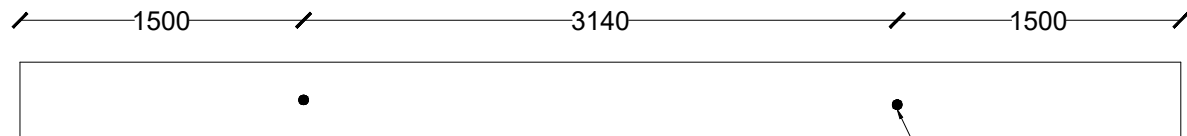
NO. GAMBAR

24 / 60



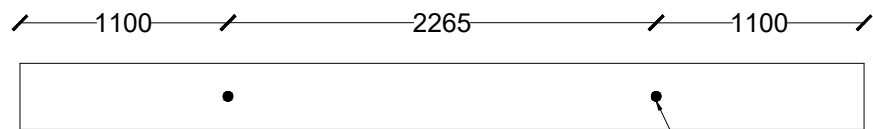
DETAIL TAMPAK ATAS TULANGAN ANGKAT BA 1
SKALA 1 : 40

Tulangan Angkat JRd/JM 36



DETAIL TAMPAK ATAS TULANGAN ANGKAT BA 2
SKALA 1 : 40

Tulangan Angkat JRd/JM 36



DETAIL TAMPAK ATAS TULANGAN ANGKAT BA 3
SKALA 1 : 40

Tulangan Angkat JRd/JM 24



DEPARTEMEN TEKNIK SIPIL
FAKULTAS TEKNIK SIPIL, PERENCANAAN, DAN KEBUMIHAN
INSTITUT TEKNOLOGI SEPULUH NOPEMBER

JUDUL TUGAS AKHIR

Modifikasi Perencanaan Struktur Gedung
Fakultas Ekonomi dan Bisnis Universitas
Muhammadiyah Prof. Dr. Hamka Menggunakan
Elemen Pracetak dan Hollow Core Slab

DOSEN PEMBIMBING

Dr. techn. Pujo Aji, ST., MT.
Prof. Dr. Ir. IGP Raka, DEA.

NAMA DAN NRP
MAHASISWA

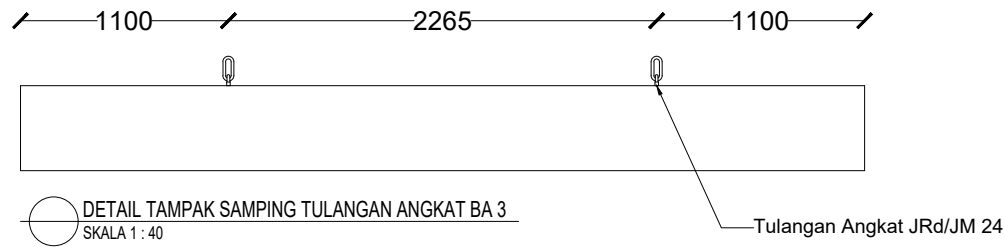
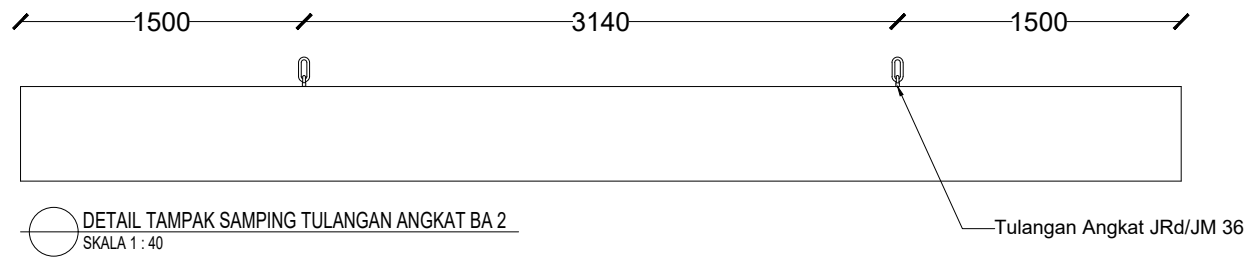
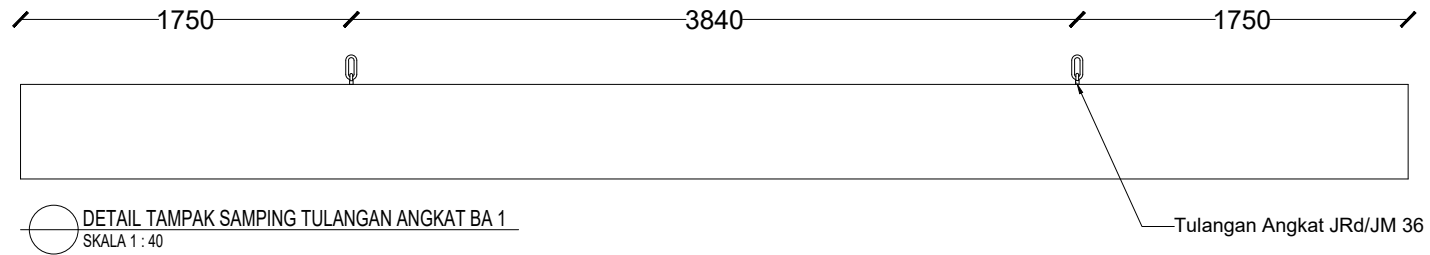
Ajeng Larasati
0311164000027

JUDUL GAMBAR

Detail Penulangan Balok

NO. GAMBAR

25 / 60



DEPARTEMEN TEKNIK SIPIL
FAKULTAS TEKNIK SIPIL, PERENCANAAN, DAN KEBUMIHAN
INSTITUT TEKNOLOGI SEPULUH NOPEMBER

JUDUL TUGAS AKHIR

Modifikasi Perencanaan Struktur Gedung
Fakultas Ekonomi dan Bisnis Universitas
Muhammadiyah Prof. Dr. Hamka Menggunakan
Elemen Pracetak dan Hollow Core Slab

DOSEN PEMBIMBING

Dr. techn. Pujo Aji, ST., MT.
Prof. Dr. Ir. IGP Raka, DEA.

NAMA DAN NRP
MAHASISWA

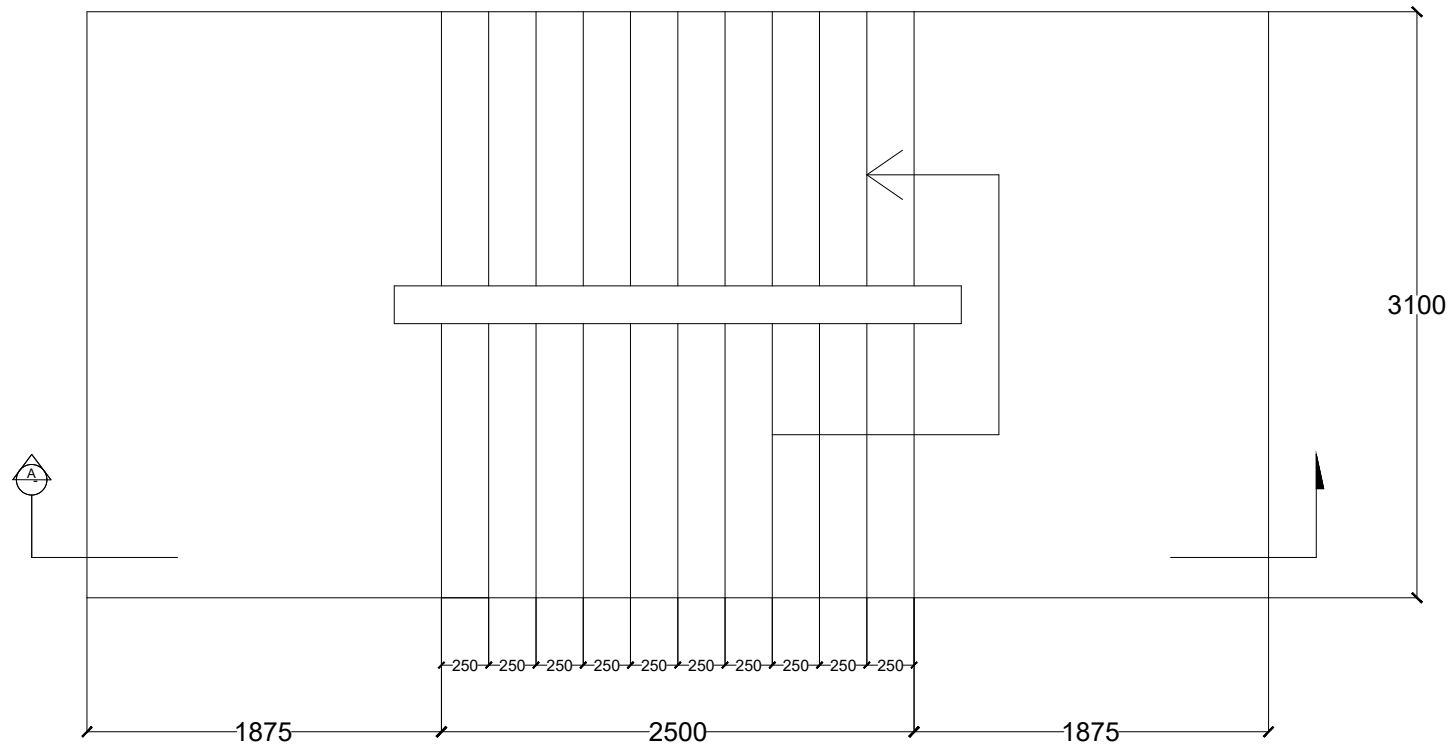
Ajeng Larasati
0311164000027

JUDUL GAMBAR

Detail Penulangan Balok

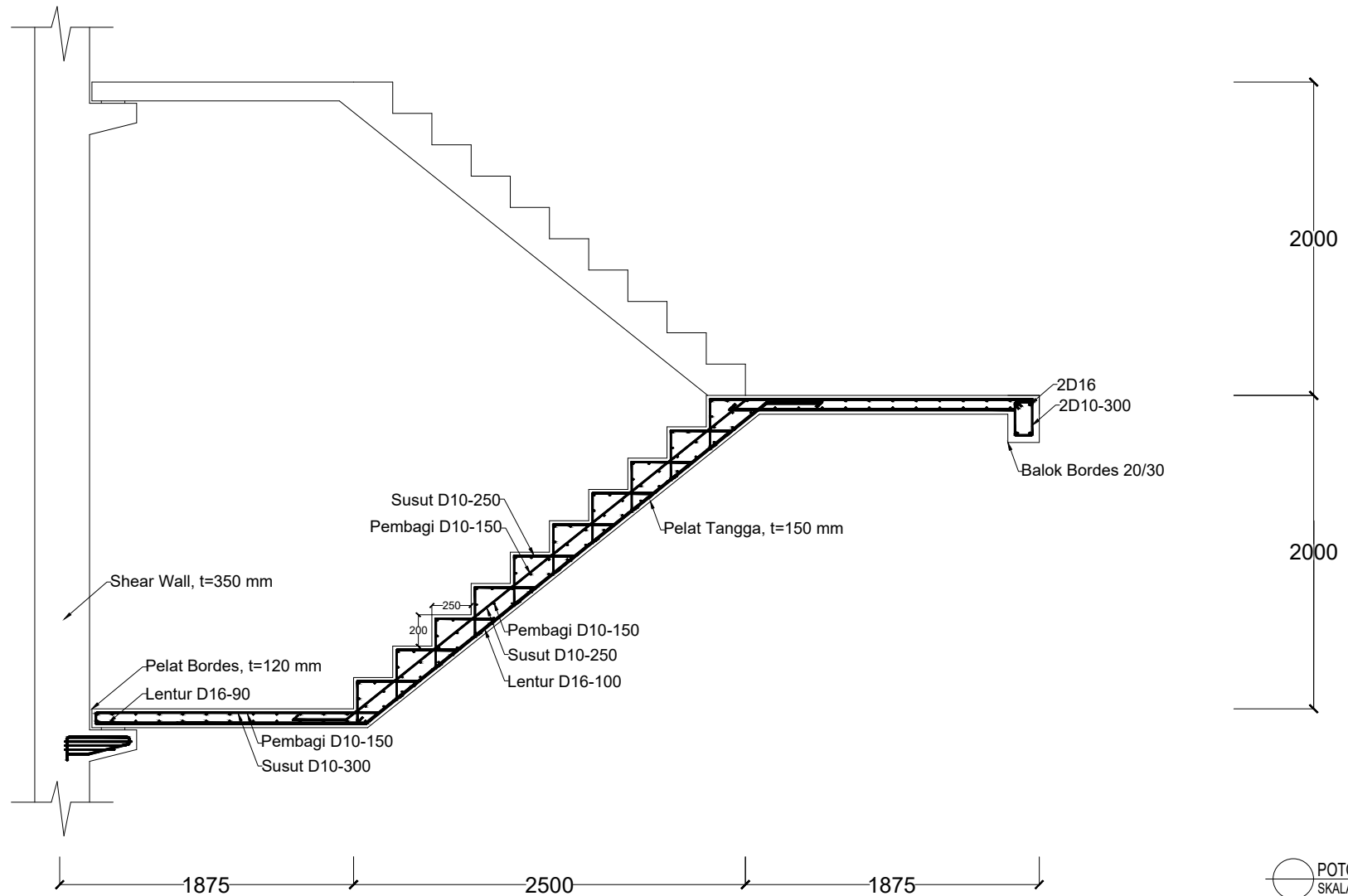
NO. GAMBAR

26 / 60



DENAH TANGGA 1
SKALA 1 : 40

	DEPARTEMEN TEKNIK SIPIL FAKULTAS TEKNIK SIPIL, PERENCANAAN, DAN KEBUMIHAN INSTITUT TEKNOLOGI SEPULUH NOPEMBER	JUDUL TUGAS AKHIR	DOSEN PEMBIMBING	NAMA DAN NRP MAHASISWA	JUDUL GAMBAR	NO. GAMBAR
		Modifikasi Perencanaan Struktur Gedung Fakultas Ekonomi dan Bisnis Universitas Muhammadiyah Prof. Dr. Hamka Menggunakan Elemen Pracetak dan Hollow Core Slab	Dr. techn. Pujo Aji, ST., MT. Prof. Dr. Ir. IGP Raka, DEA.	Ajeng Larasati 0311164000027	Denah Tangga	27 / 60



POTONGAN A-A
SKALA 1 : 40



DEPARTEMEN TEKNIK SIPIL
FAKULTAS TEKNIK SIPIL, PERENCANAAN, DAN KEBUMIHAN
INSTITUT TEKNOLOGI SEPULUH NOPEMBER

JUDUL TUGAS AKHIR

Modifikasi Perencanaan Struktur Gedung
Fakultas Ekonomi dan Bisnis Universitas
Muhammadiyah Prof. Dr. Hamka Menggunakan
Elemen Pracetak dan Hollow Core Slab

DOSEN PEMBIMBING

Dr. techn. Pujo Aji, ST., MT.
Prof. Dr. Ir. IGP Raka, DEA.

NAMA DAN NRP
MAHASISWA

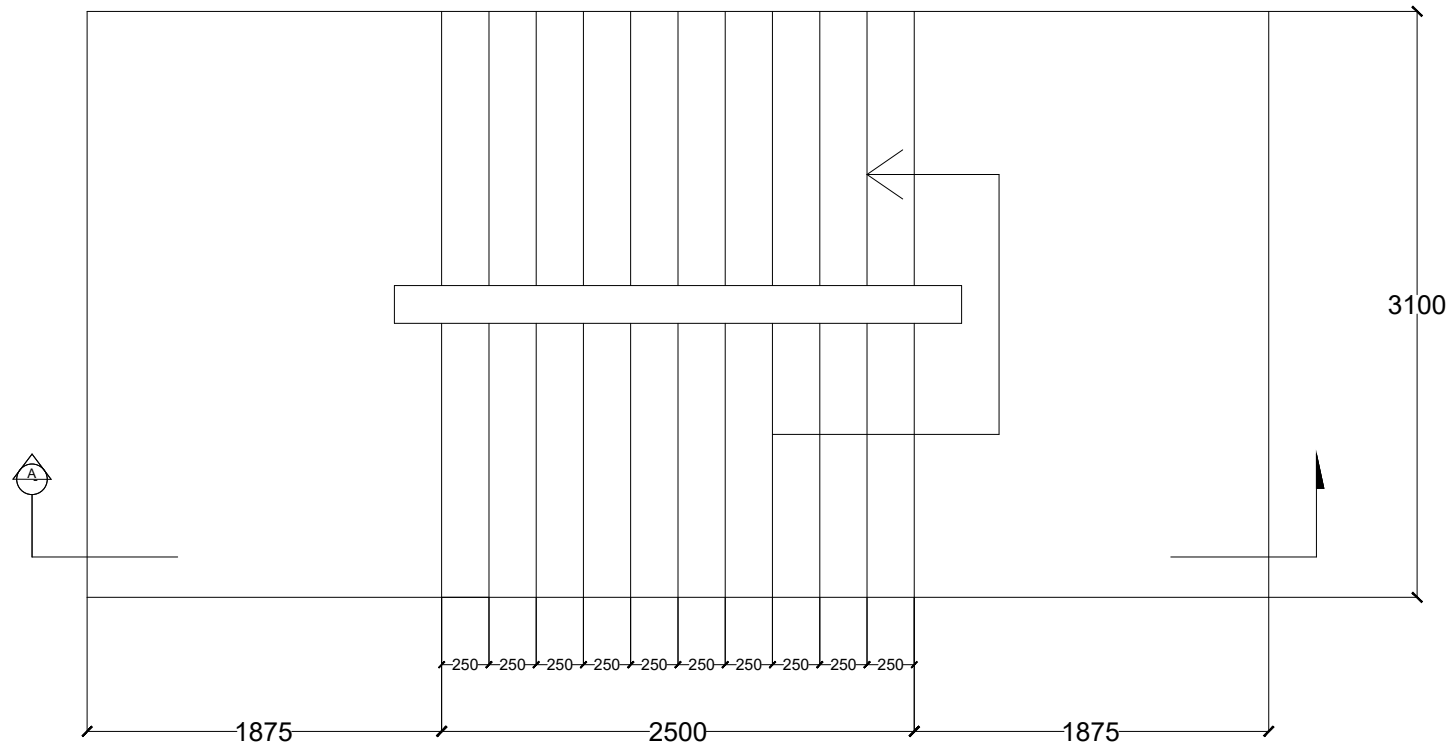
Ajeng Larasati
0311164000027

JUDUL GAMBAR

Detail Penulangan Tangga

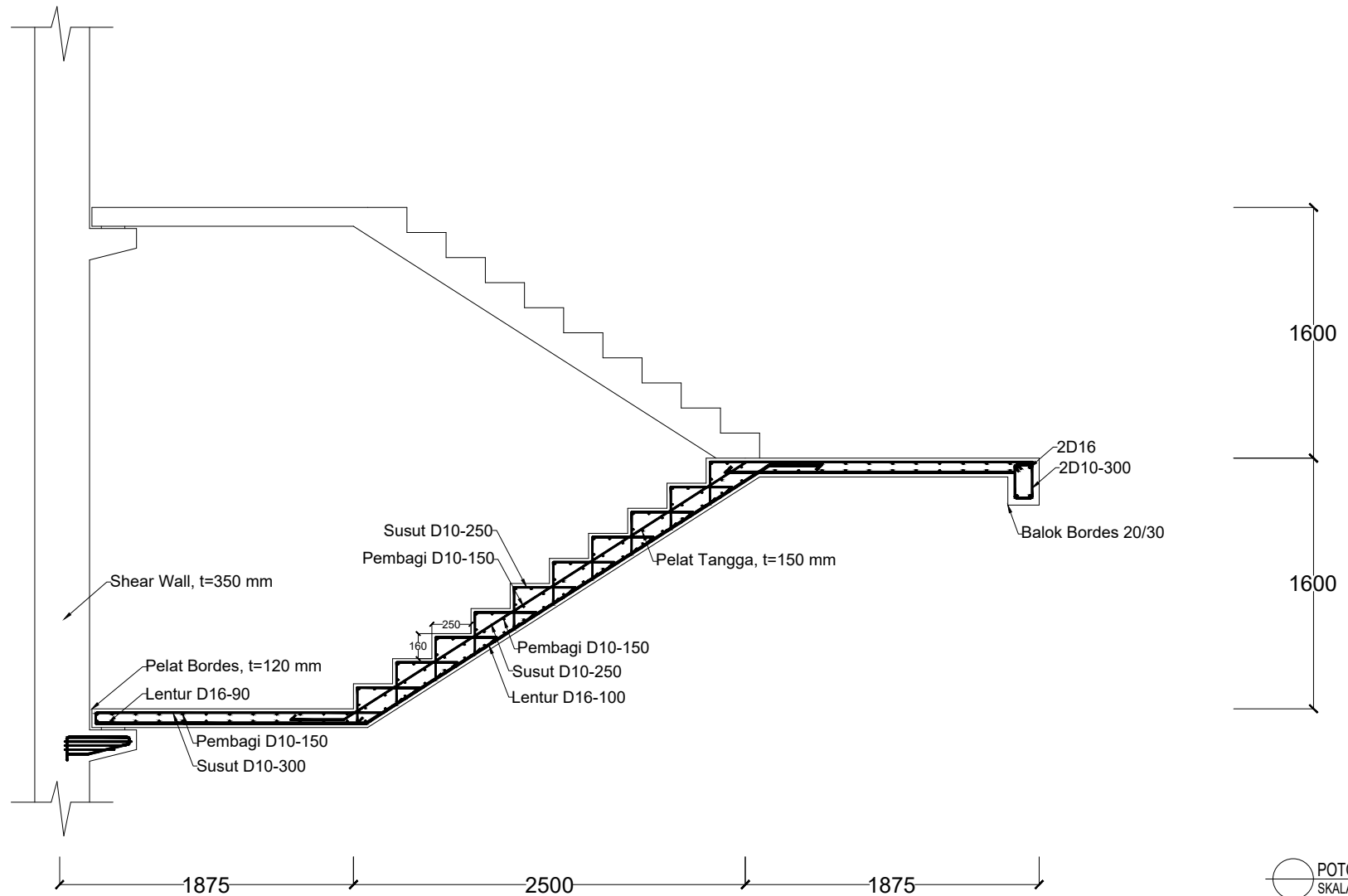
NO. GAMBAR

28 / 60



DENAH TANGGA 2
SKALA 1 : 40

	DEPARTEMEN TEKNIK SIPIL FAKULTAS TEKNIK SIPIL, PERENCANAAN, DAN KEBUMIHAN INSTITUT TEKNOLOGI SEPULUH NOPEMBER	JUDUL TUGAS AKHIR	DOSEN PEMBIMBING	NAMA DAN NRP MAHASISWA	JUDUL GAMBAR	NO. GAMBAR
		Modifikasi Perencanaan Struktur Gedung Fakultas Ekonomi dan Bisnis Universitas Muhammadiyah Prof. Dr. Hamka Menggunakan Elemen Pracetak dan Hollow Core Slab	Dr. techn. Pujo Aji, ST., MT. Prof. Dr. Ir. IGP Raka, DEA.	Ajeng Larasati 0311164000027	Denah Tangga	29 / 60



DEPARTEMEN TEKNIK SIPIL
FAKULTAS TEKNIK SIPIL, PERENCANAAN, DAN KEBUMIHAN
INSTITUT TEKNOLOGI SEPULUH NOPEMBER

JUDUL TUGAS AKHIR
Modifikasi Perencanaan Struktur Gedung
Fakultas Ekonomi dan Bisnis Universitas
Muhammadiyah Prof. Dr. Hamka Menggunakan
Elemen Pracetak dan Hollow Core Slab

DOSEN PEMBIMBING
Dr. techn. Pujo Aji, ST., MT.
Prof. Dr. Ir. IGP Raka, DEA.

NAMA DAN NRP
MAHASISWA
Ajeng Larasati
0311164000027

JUDUL GAMBAR
Detail Penulangan Tangga

NO. GAMBAR
30 / 60

TIPE BALOK	BI 1	
POSISI	TUMPUAN	LAPANGAN
DETAIL BALOK		
DIMENSI	600 × 900 mm	600 × 900 mm
TULANGAN ATAS	7 D25	5 D25
TULANGAN SAMPING	2 D25	2 D25
TULANGAN BAWAH	5 D25	5 D25
SENGKANG	2 D13 - 150 mm	2 D13 - 300 mm

TIPE BALOK	BI 2	
POSISI	TUMPUAN	LAPANGAN
DETAIL BALOK		
DIMENSI	600 × 900 mm	600 × 900 mm
TULANGAN ATAS	8 D25	5 D25
TULANGAN SAMPING	2 D25	2 D25
TULANGAN BAWAH	6 D25	4 D25
SENGKANG	2 D13 - 100 mm	2 D13 - 325mm

TIPE BALOK	BI 3	
POSISI	TUMPUAN	LAPANGAN
DETAIL BALOK		
DIMENSI	800 × 1200 mm	800 × 1200 mm
TULANGAN ATAS	18 D25	10 D25
TULANGAN SAMPING	6 D25	6 D25
TULANGAN BAWAH	14 D25	12 D25
SENGKANG	2 D13 - 50 mm	2 D13 - 100 mm

TIPE BALOK	BI 4	
POSISI	TUMPUAN	LAPANGAN
DETAIL BALOK		
DIMENSI	800 × 1200 mm	800 × 1200 mm
TULANGAN ATAS	17 D25	9 D25
TULANGAN SAMPING	5 D25	5 D25
TULANGAN BAWAH	14 D25	11 D25
SENGKANG	2 D13 - 50 mm	2 D13 - 100 mm

DETAIL PENULANGAN BALOK INDUK
SKALA 1 : 40



DEPARTEMEN TEKNIK SIPIL
FAKULTAS TEKNIK SIPIL, PERENCANAAN, DAN KEBUMIHAN
INSTITUT TEKNOLOGI SEPULUH NOPEMBER

JUDUL TUGAS AKHIR

Modifikasi Perencanaan Struktur Gedung
Fakultas Ekonomi dan Bisnis Universitas
Muhammadiyah Prof. Dr. Hamka Menggunakan
Elemen Pracetak dan Hollow Core Slab

DOSEN PEMBIMBING

Dr. techn. Pujo Aji, ST., MT.
Prof. Dr. Ir. IGP Raka, DEA.

NAMA DAN NRP
MAHASISWA

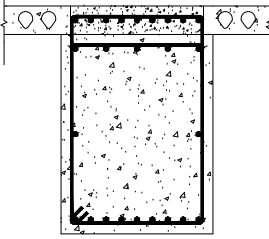
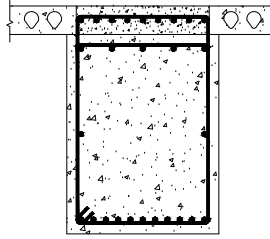
Ajeng Larasati
0311164000027

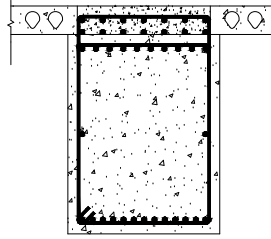
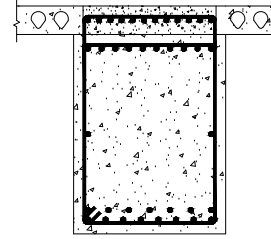
JUDUL GAMBAR

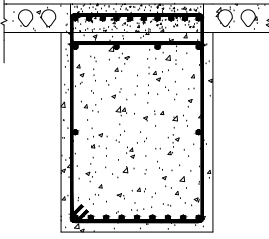
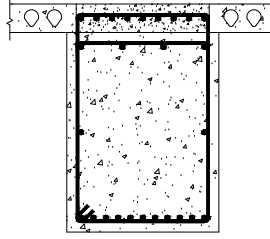
Detail Penulangan Balok

NO. GAMBAR

31 / 60

TIPE BALOK	BI 5	
POSISI	TUMPUAN	LAPANGAN
DETAIL BALOK		
DIMENSI	800 × 1200 mm	800 × 1200 mm
TULANGAN ATAS	9 D25	9 D25
TULANGAN SAMPING	5 D25	5 D25
TULANGAN BAWAH	9 D25	11 D25
SENGKANG	2 D13 - 75 mm	2 D13 - 350 mm

TIPE BALOK	BI 6	
POSISI	TUMPUAN	LAPANGAN
DETAIL BALOK		
DIMENSI	800 × 1200 mm	800 × 1200 mm
TULANGAN ATAS	14 D25	12 D25
TULANGAN SAMPING	10 D25	10 D25
TULANGAN BAWAH	13 D25	15 D25
SENGKANG	2 D13 - 50 mm	2 D13 - 250 mm

TIPE BALOK	BI 7	
POSISI	TUMPUAN	LAPANGAN
DETAIL BALOK		
DIMENSI	800 × 1200 mm	800 × 1200 mm
TULANGAN ATAS	10 D25	9 D25
TULANGAN SAMPING	4 D25	4 D25
TULANGAN BAWAH	9 D25	11 D25
SENGKANG	2 D13 - 75 mm	2 D13 - 475 mm

DETAIL PENULANGAN BALOK INDUK
SKALA 1 : 40



DEPARTEMEN TEKNIK SIPIL
FAKULTAS TEKNIK SIPIL, PERENCANAAN, DAN KEBUMIHAN
INSTITUT TEKNOLOGI SEPULUH NOPEMBER

JUDUL TUGAS AKHIR

Modifikasi Perencanaan Struktur Gedung
Fakultas Ekonomi dan Bisnis Universitas
Muhammadiyah Prof. Dr. Hamka Menggunakan
Elemen Pracetak dan Hollow Core Slab

DOSEN PEMBIMBING

Dr. techn. Pujo Aji, ST., MT.
Prof. Dr. Ir. IGP Raka, DEA.

NAMA DAN NRP
MAHASISWA

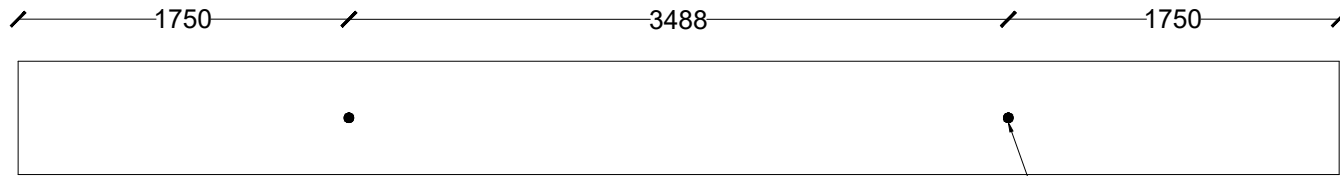
Ajeng Larasati
0311164000027

JUDUL GAMBAR

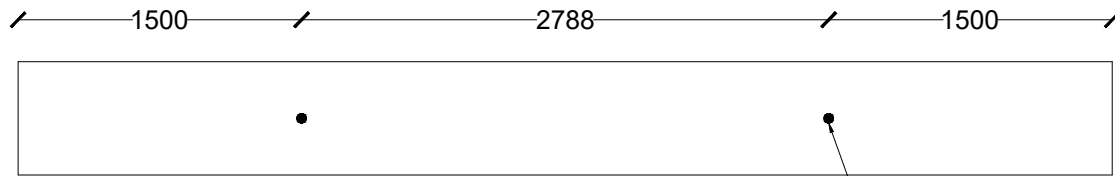
Detail Penulangan Balok

NO. GAMBAR

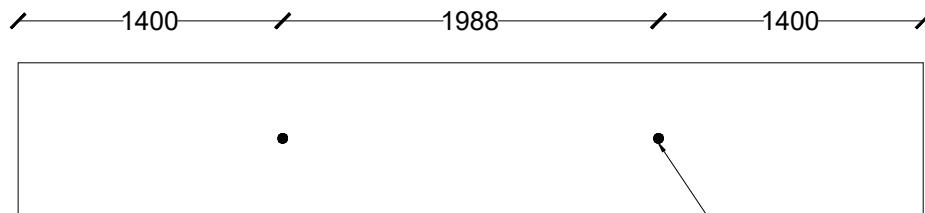
32 / 60



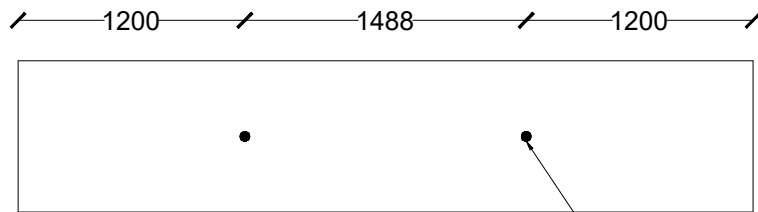
DETAIL TAMPAK ATAS TULANGAN ANGKAT BI 1
SKALA 1 : 40



DETAIL TAMPAK ATAS TULANGAN ANGKAT BI 2
SKALA 1 : 40



DETAIL TAMPAK ATAS TULANGAN ANGKAT BI 3
SKALA 1 : 40



DETAIL TAMPAK ATAS TULANGAN ANGKAT BI 4
SKALA 1 : 40



DEPARTEMEN TEKNIK SIPIL
FAKULTAS TEKNIK SIPIL, PERENCANAAN, DAN KEBUMIHAN
INSTITUT TEKNOLOGI SEPULUH NOPEMBER

JUDUL TUGAS AKHIR

Modifikasi Perencanaan Struktur Gedung
Fakultas Ekonomi dan Bisnis Universitas
Muhammadiyah Prof. Dr. Hamka Menggunakan
Elemen Pracetak dan Hollow Core Slab

DOSEN PEMBIMBING

Dr. techn. Pujo Aji, ST., MT.
Prof. Dr. Ir. IGP Raka, DEA.

NAMA DAN NRP
MAHASISWA

Ajeng Larasati
0311164000027

JUDUL GAMBAR

Detail Penulangan Balok

NO. GAMBAR

33 / 60

1200 1588 1200



Tulangan Angkat JRd/JM 52

DETAIL TAMPAK ATAS TULANGAN ANGKAT BI 5
SKALA 1 : 40

1750 3489 1750



Tulangan Angkat JRd/JM 52

DETAIL TAMPAK ATAS TULANGAN ANGKAT BI 6
SKALA 1 : 40

1750 3088 1750



Tulangan Angkat JRd/JM 52

DETAIL TAMPAK ATAS TULANGAN ANGKAT BI 7
SKALA 1 : 40



DEPARTEMEN TEKNIK SIPIL
FAKULTAS TEKNIK SIPIL, PERENCANAAN, DAN KEBUMIHAN
INSTITUT TEKNOLOGI SEPULUH NOPEMBER

JUDUL TUGAS AKHIR

Modifikasi Perencanaan Struktur Gedung
Fakultas Ekonomi dan Bisnis Universitas
Muhammadiyah Prof. Dr. Hamka Menggunakan
Elemen Pracetak dan Hollow Core Slab

DOSEN PEMBIMBING

Dr. techn. Pujo Aji, ST., MT.
Prof. Dr. Ir. IGP Raka, DEA.

NAMA DAN NRP
MAHASISWA

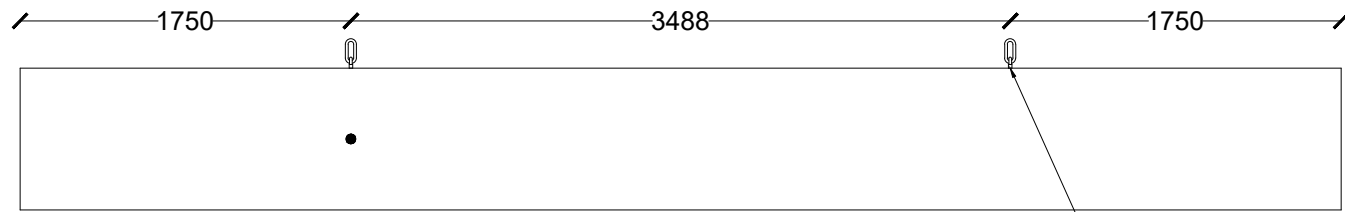
Ajeng Larasati
0311164000027

JUDUL GAMBAR

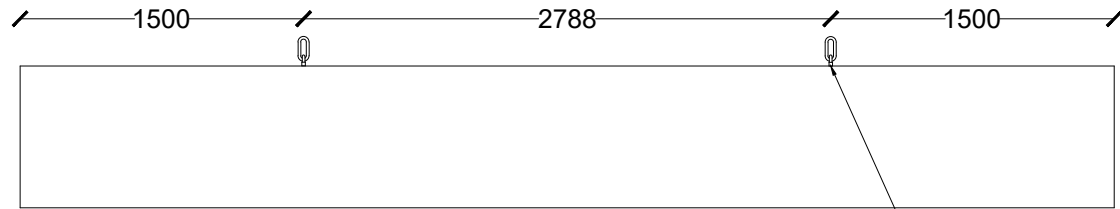
Detail Penulangan Balok

NO. GAMBAR

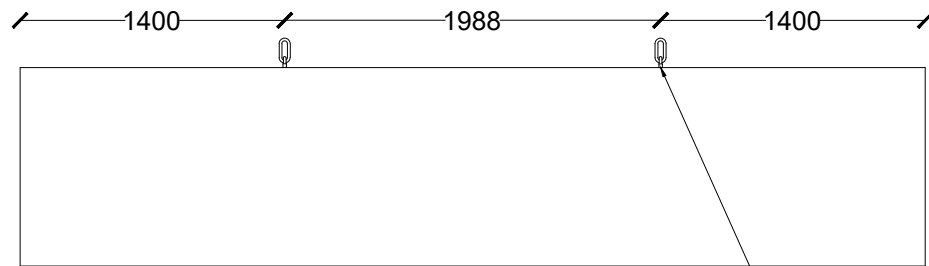
34 / 60



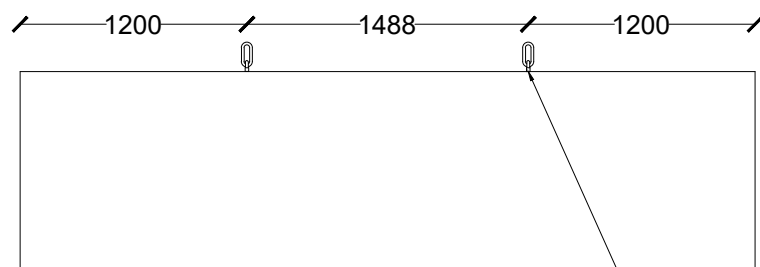
DETAIL TAMPAK SAMPING TULANGAN ANGKAT BI 1
SKALA 1 : 40



DETAIL TAMPAK SAMPING TULANGAN ANGKAT BI 2
SKALA 1 : 40



DETAIL TAMPAK SAMPING TULANGAN ANGKAT BI 3
SKALA 1 : 40



DETAIL TAMPAK SAMPING TULANGAN ANGKAT BI 4
SKALA 1 : 40



DEPARTEMEN TEKNIK SIPIL
FAKULTAS TEKNIK SIPIL, PERENCANAAN, DAN KEBUMIHAN
INSTITUT TEKNOLOGI SEPULUH NOPEMBER

JUDUL TUGAS AKHIR

Modifikasi Perencanaan Struktur Gedung
Fakultas Ekonomi dan Bisnis Universitas
Muhammadiyah Prof. Dr. Hamka Menggunakan
Elemen Pracetak dan Hollow Core Slab

DOSEN PEMBIMBING

Dr. techn. Pujo Aji, ST., MT.
Prof. Dr. Ir. IGP Raka, DEA.

NAMA DAN NRP
MAHASISWA

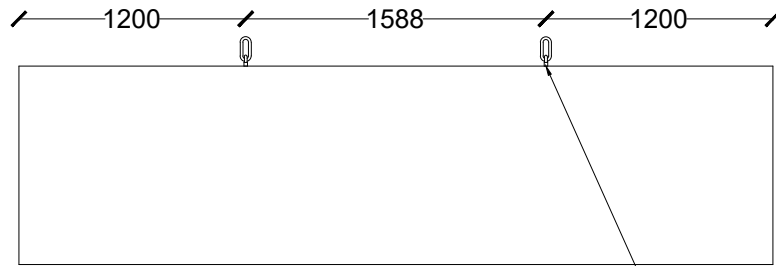
Ajeng Larasati
0311164000027

JUDUL GAMBAR

Detail Penulangan Balok

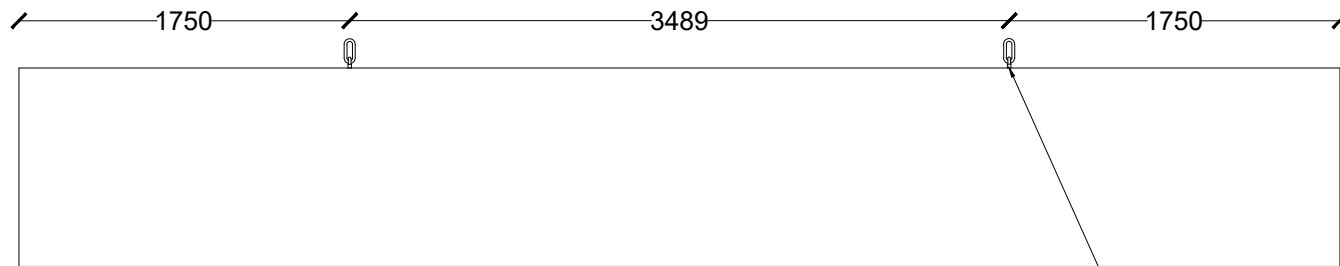
NO. GAMBAR

35 / 60



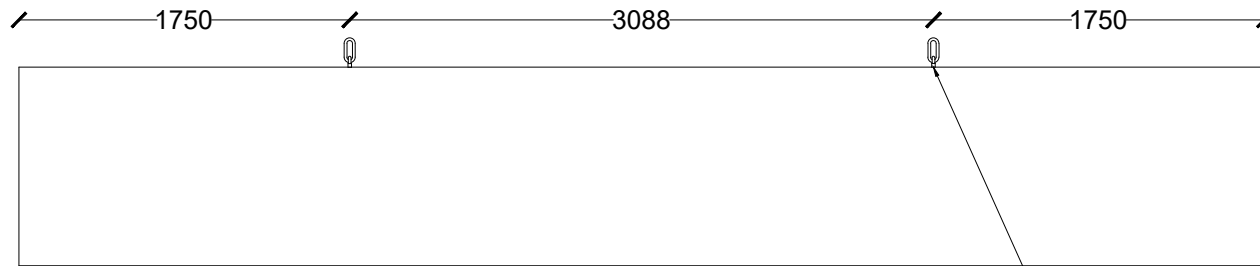
DETAIL TAMPAK SAMPING TULANGAN ANGKAT BI 5
SKALA 1 : 40

Tulangan Angkat JRd/JM 52



DETAIL TAMPAK SAMPING TULANGAN ANGKAT BI 6
SKALA 1 : 40

Tulangan Angkat JRd/JM 52



DETAIL TAMPAK SAMPING TULANGAN ANGKAT BI 7
SKALA 1 : 40

Tulangan Angkat JRd/JM 52



DEPARTEMEN TEKNIK SIPIL
FAKULTAS TEKNIK SIPIL, PERENCANAAN, DAN KEBUMIHAN
INSTITUT TEKNOLOGI SEPULUH NOPEMBER

JUDUL TUGAS AKHIR

Modifikasi Perencanaan Struktur Gedung
Fakultas Ekonomi dan Bisnis Universitas
Muhammadiyah Prof. Dr. Hamka Menggunakan
Elemen Pracetak dan Hollow Core Slab

DOSEN PEMBIMBING

Dr. techn. Pujo Aji, ST., MT.
Prof. Dr. Ir. IGP Raka, DEA.

NAMA DAN NRP
MAHASISWA

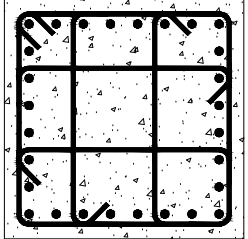
Ajeng Larasati
0311164000027

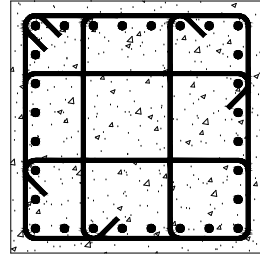
JUDUL GAMBAR

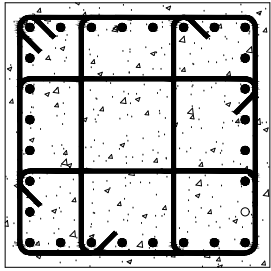
Detail Penulangan Balok

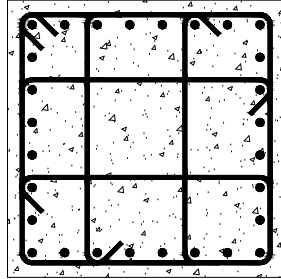
NO. GAMBAR

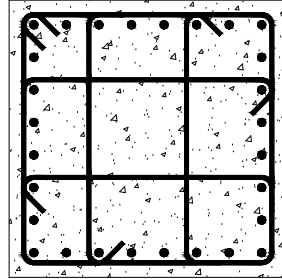
36 / 60

TIPE KOLOM	K1
DETAIL KOLOM	
DIMENSI	950 x 950 mm
TINGGI	4 meter
TULANGAN	28 D32
SENGKANG TUMPUAN	4 D16 - 75 mm
SENGKANG LAPANGAN	4 D16 - 150 mm

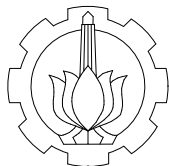
TIPE KOLOM	K2
DETAIL KOLOM	
DIMENSI	1000 x 1000 mm
TINGGI	4 meter
TULANGAN	28 D32
SENGKANG TUMPUAN	4 D16 - 75 mm
SENGKANG LAPANGAN	4 D16 - 150 mm

TIPE KOLOM	K3
DETAIL KOLOM	
DIMENSI	1050 x 1050 mm
TINGGI	4 meter
TULANGAN	28 D32
SENGKANG TUMPUAN	4 D16 - 75 mm
SENGKANG LAPANGAN	4 D16 - 150 mm

TIPE KOLOM	K4
DETAIL KOLOM	
DIMENSI	1100 x 1100 mm
TINGGI	4 meter
TULANGAN	28 D32
SENGKANG TUMPUAN	4 D16 - 75 mm
SENGKANG LAPANGAN	4 D16 - 150 mm

TIPE KOLOM	K5
DETAIL KOLOM	
DIMENSI	1100 x 1100 mm
TINGGI	3,2 meter
TULANGAN	28 D32
SENGKANG TUMPUAN	4 D16 - 50 mm
SENGKANG LAPANGAN	4 D16 - 150 mm

DETAIL PENULANGAN KOLOM
SKALA 1 : 30



DEPARTEMEN TEKNIK SIPIL
FAKULTAS TEKNIK SIPIL, PERENCANAAN, DAN KEBUMIHAN
INSTITUT TEKNOLOGI SEPULUH NOPEMBER

JUDUL TUGAS AKHIR

Modifikasi Perencanaan Struktur Gedung
Fakultas Ekonomi dan Bisnis Universitas
Muhammadiyah Prof. Dr. Hamka Menggunakan
Elemen Pracetak dan Hollow Core Slab

DOSEN PEMBIMBING

Dr. techn. Pujo Aji, ST., MT.
Prof. Dr. Ir. IGP Raka, DEA.

NAMA DAN NRP
MAHASISWA

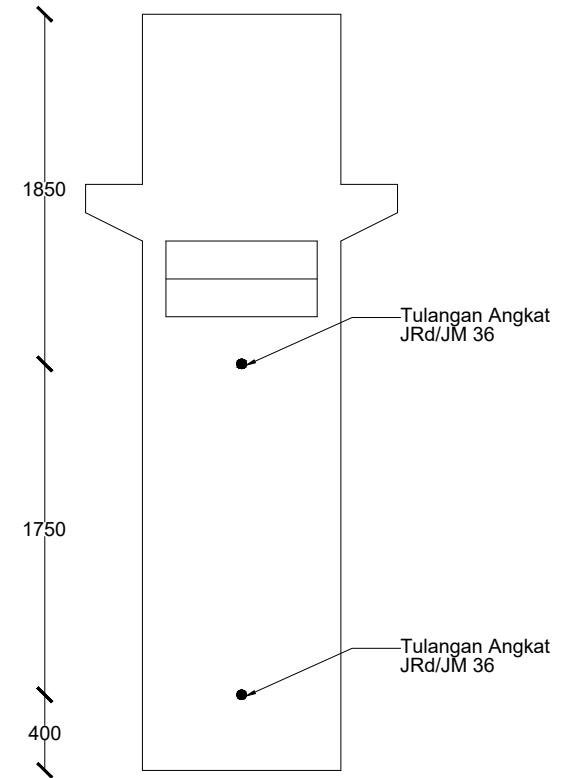
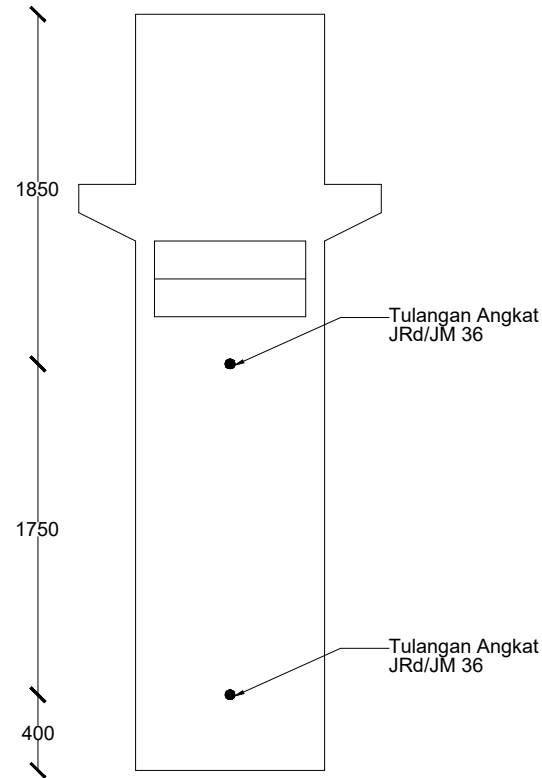
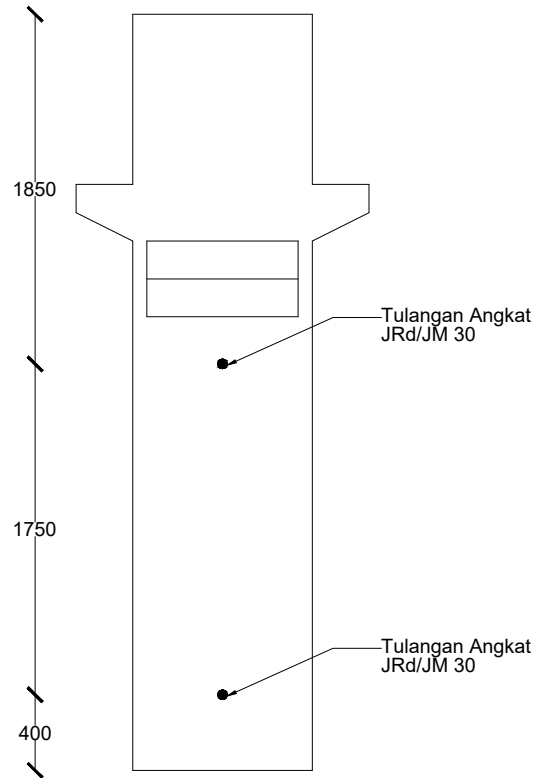
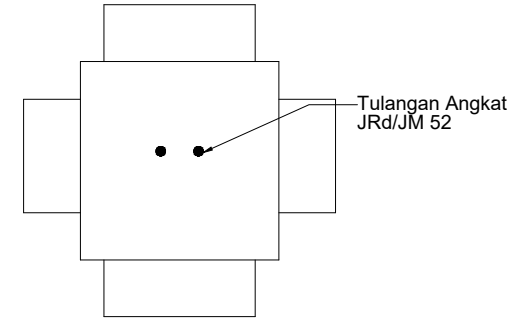
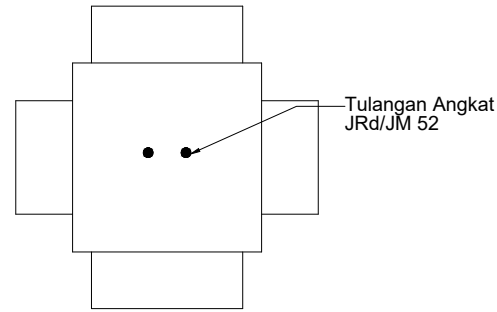
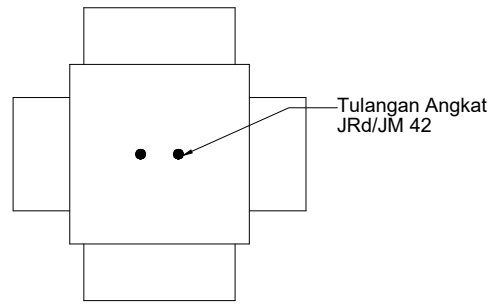
Ajeng Larasati
0311164000027

JUDUL GAMBAR

Detail Penulangan Kolom

NO. GAMBAR

37 / 60



DETAIL TULANGAN ANGKAT K1
SKALA 1 : 40

DETAIL TULANGAN ANGKAT K2
SKALA 1 : 40

DETAIL TULANGAN ANGKAT K3
SKALA 1 : 40



DEPARTEMEN TEKNIK SIPIL
FAKULTAS TEKNIK SIPIL, PERENCANAAN, DAN KEBUMIHAN
INSTITUT TEKNOLOGI SEPULUH NOPEMBER

JUDUL TUGAS AKHIR

Modifikasi Perencanaan Struktur Gedung
Fakultas Ekonomi dan Bisnis Universitas
Muhammadiyah Prof. Dr. Hamka Menggunakan
Elemen Pracetak dan Hollow Core Slab

DOSEN PEMBIMBING

Dr. techn. Pujo Aji, ST., MT.
Prof. Dr. Ir. IGP Raka, DEA.

NAMA DAN NRP
MAHASISWA

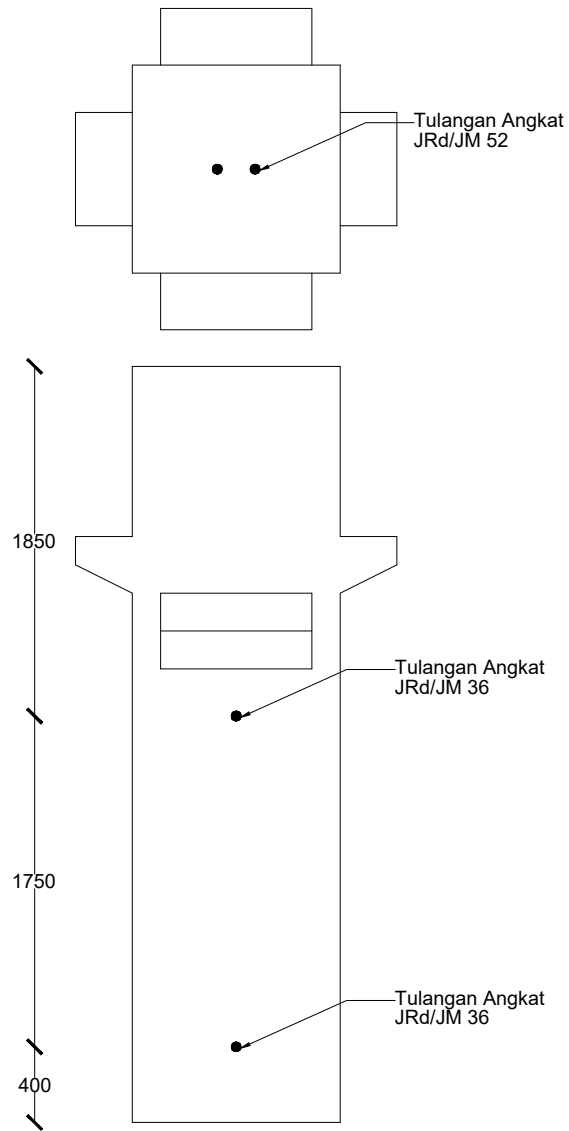
Ajeng Larasati
0311164000027

JUDUL GAMBAR

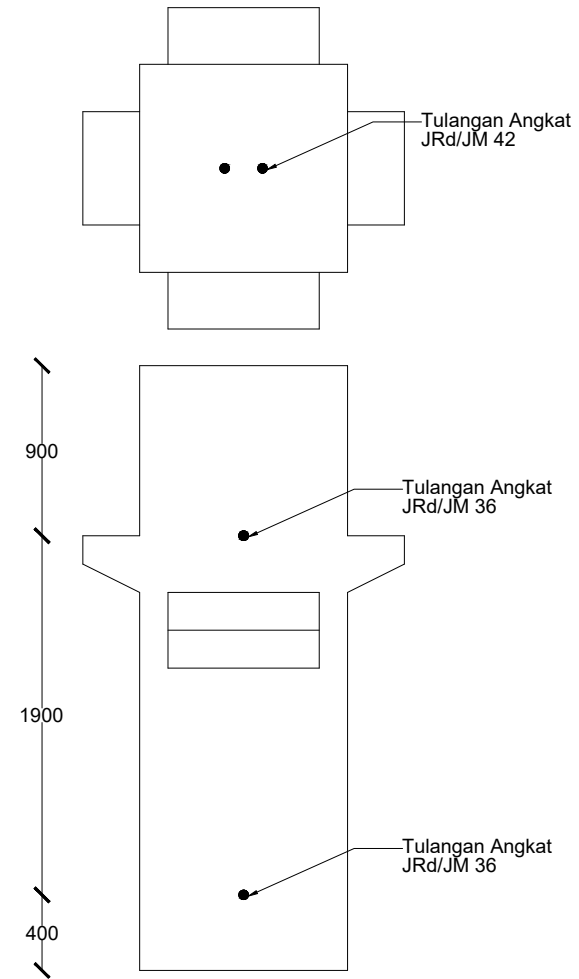
Detail Penulangan Kolom

NO. GAMBAR

38 / 60



DETAIL TULANGAN ANGKAT K4
SKALA 1 : 40



DETAIL TULANGAN ANGKAT K5
SKALA 1 : 40



DEPARTEMEN TEKNIK SIPIL
FAKULTAS TEKNIK SIPIL, PERENCANAAN, DAN KEBUMIHAN
INSTITUT TEKNOLOGI SEPULUH NOPEMBER

JUDUL TUGAS AKHIR

Modifikasi Perencanaan Struktur Gedung
Fakultas Ekonomi dan Bisnis Universitas
Muhammadiyah Prof. Dr. Hamka Menggunakan
Elemen Pracetak dan Hollow Core Slab

DOSEN PEMBIMBING

Dr. techn. Pujo Aji, ST., MT.
Prof. Dr. Ir. IGP Raka, DEA.

NAMA DAN NRP
MAHASISWA

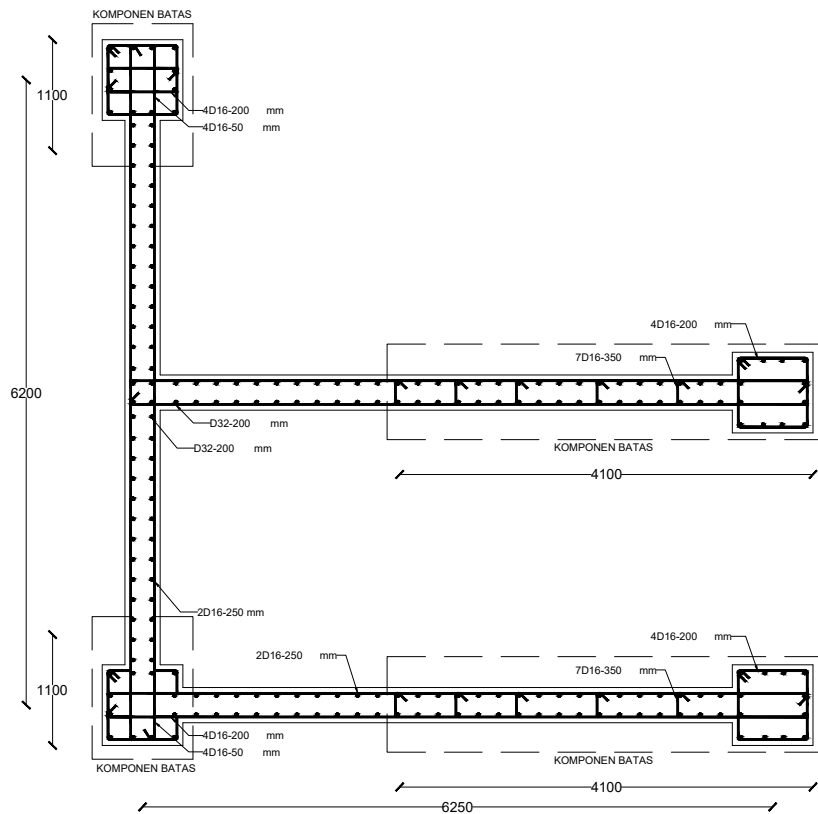
Ajeng Larasati
0311164000027

JUDUL GAMBAR

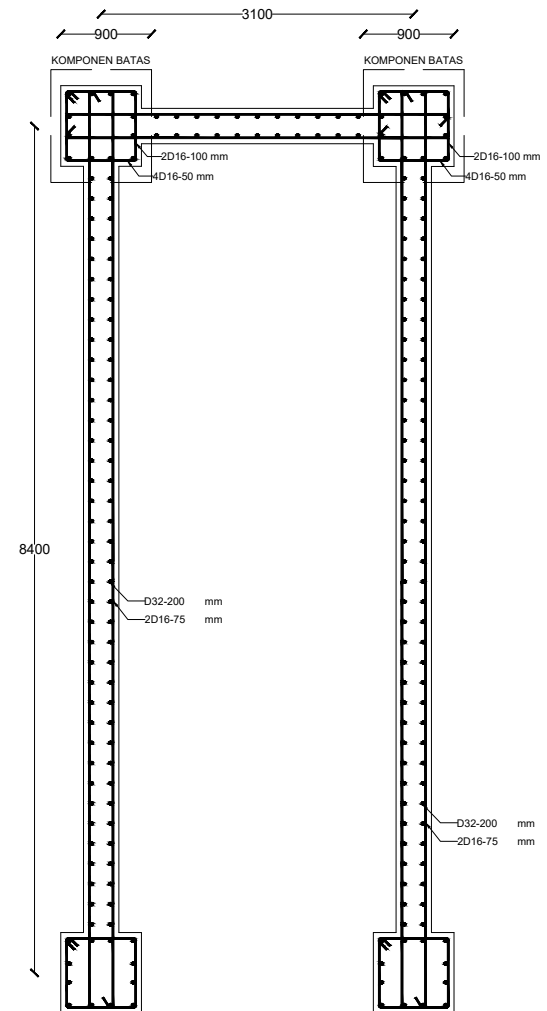
Detail Penulangan Kolom

NO. GAMBAR

39 / 60



DETAIL SHEAR WALL 1
SKALA 1:75



DETAIL SHEAR WALL 2
SKALA 1:75



DEPARTEMEN TEKNIK SIPIL
FAKULTAS TEKNIK SIPIL, PERENCANAAN, DAN KEBUMIHAN
INSTITUT TEKNOLOGI SEPULUH NOPEMBER

JUDUL TUGAS AKHIR

Modifikasi Perencanaan Struktur Gedung
Fakultas Ekonomi dan Bisnis Universitas
Muhammadiyah Prof. Dr. Hamka Menggunakan
Elemen Pracetak dan Hollow Core Slab

DOSEN PEMBIMBING

Dr. techn. Pujo Aji, ST., MT.
Prof. Dr. Ir. IGP Raka, DEA.

NAMA DAN NRP
MAHASISWA

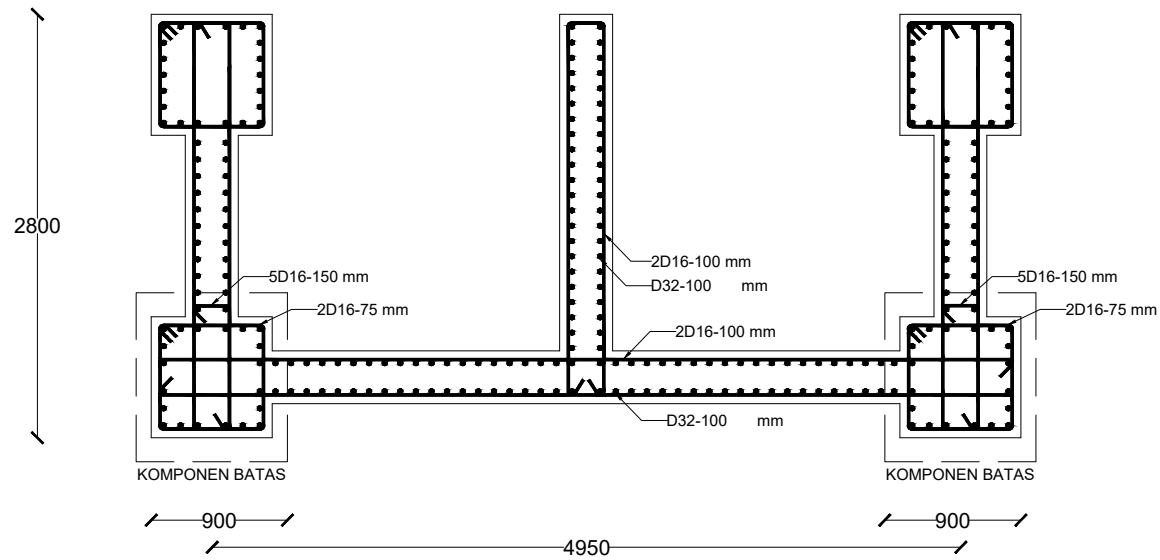
Ajeng Larasati
0311164000027

JUDUL GAMBAR

Detail Penulangan Shear Wall

NO. GAMBAR

40 / 60



DETAIL SHEAR WALL 3
SKALA 1 : 50



DEPARTEMEN TEKNIK SIPIL
FAKULTAS TEKNIK SIPIL, PERENCANAAN, DAN KEBUMIHAN
INSTITUT TEKNOLOGI SEPULUH NOPEMBER

JUDUL TUGAS AKHIR

Modifikasi Perencanaan Struktur Gedung
Fakultas Ekonomi dan Bisnis Universitas
Muhammadiyah Prof. Dr. Hamka Menggunakan
Elemen Pracetak dan Hollow Core Slab

DOSEN PEMBIMBING

Dr. techn. Pujo Aji, ST., MT.
Prof. Dr. Ir. IGP Raka, DEA.

NAMA DAN NRP
MAHASISWA

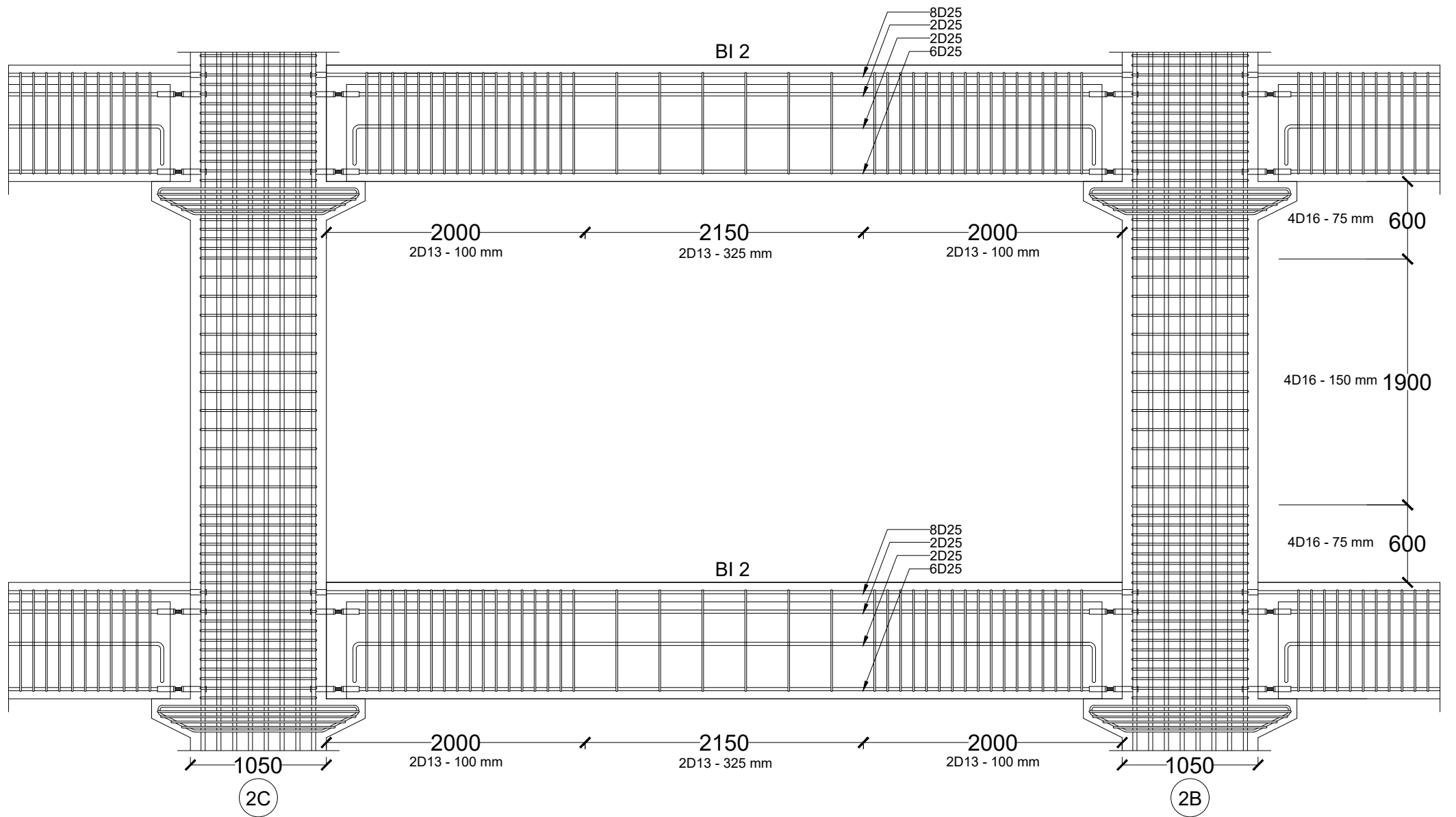
Ajeng Larasati
0311164000027

JUDUL GAMBAR

Detail Penulangan Shear Wall

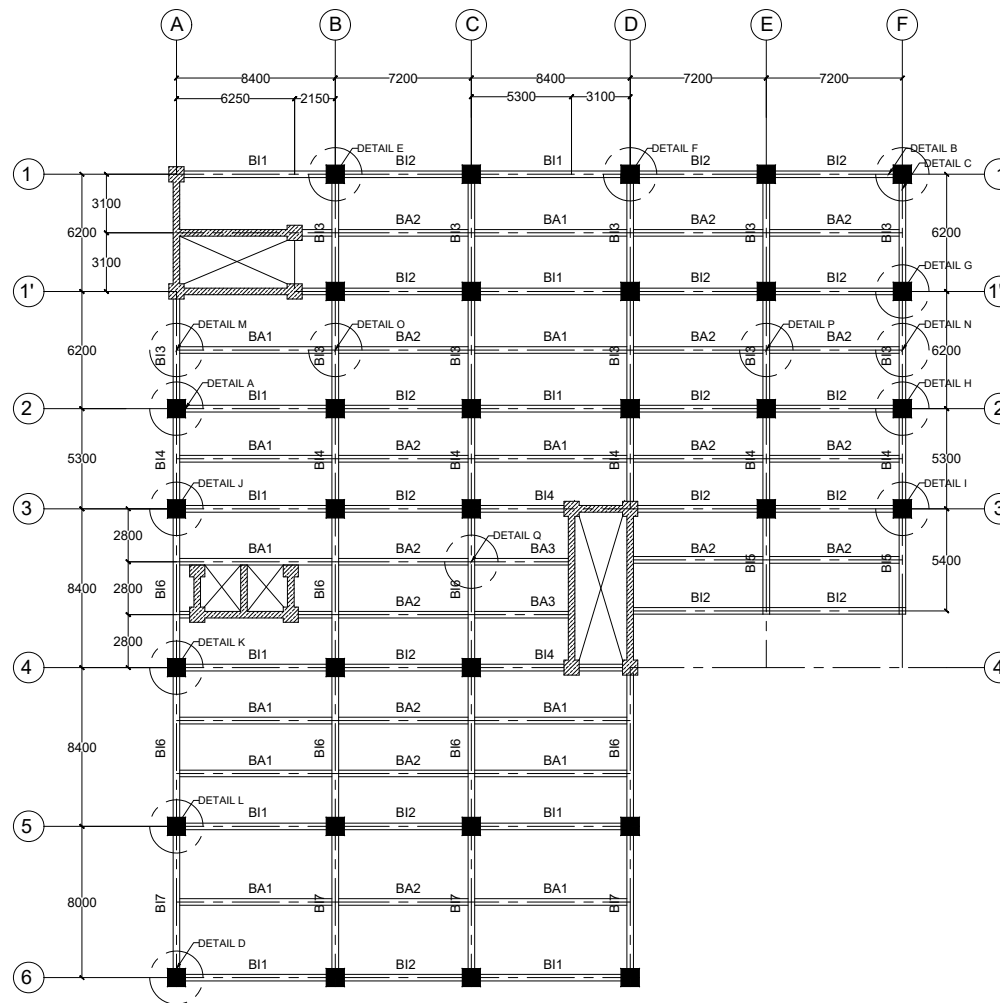
NO. GAMBAR

41 / 60



DETAIL A POTONGAN B-B
SKALA 1 : 40

	DEPARTEMEN TEKNIK SIPIL FAKULTAS TEKNIK SIPIL, PERENCANAAN, DAN KEBUMIHAN INSTITUT TEKNOLOGI SEPULUH NOPEMBER	JUDUL TUGAS AKHIR	DOSEN PEMBIMBING	NAMA DAN NRP MAHASISWA	JUDUL GAMBAR	NO. GAMBAR
		Modifikasi Perencanaan Struktur Gedung Fakultas Ekonomi dan Bisnis Universitas Muhammadiyah Prof. Dr. Hamka Menggunakan Elemen Pracetak dan Hollow Core Slab	Dr. techn. Pujo Aji, ST., MT. Prof. Dr. Ir. IGP Raka, DEA.	Ajeng Larasati 0311164000027	Detail Penulangan Portal	42 / 60



PERENCANAAN SAMBUNGAN LANTAI 1
 SKALA 1 : 400



DEPARTEMEN TEKNIK SIPIL
 FAKULTAS TEKNIK SIPIL, PERENCANAAN, DAN KEBUMIHAN
 INSTITUT TEKNOLOGI SEPULUH NOPEMBER

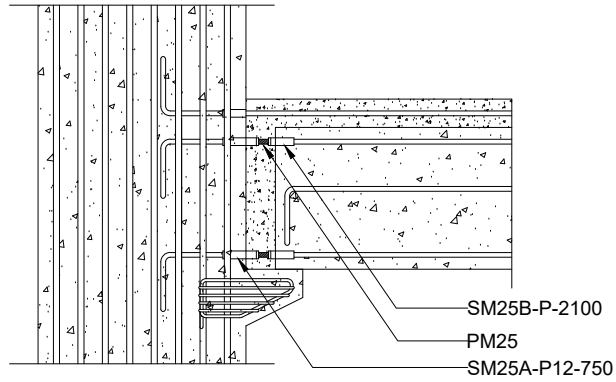
JUDUL TUGAS AKHIR
 Modifikasi Perencanaan Struktur Gedung
 Fakultas Ekonomi dan Bisnis Universitas
 Muhammadiyah Prof. Dr. Hamka Menggunakan
 Elemen Pracetak dan Hollow Core Slab

DOSEN PEMBIMBING
 Dr. techn. Pujo Aji, ST., MT.
 Prof. Dr. Ir. IGP Raka, DEA.

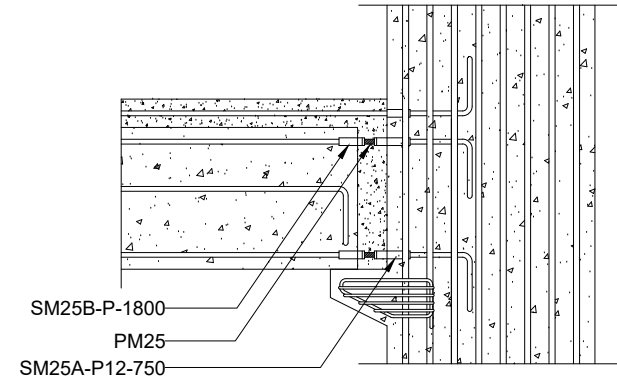
NAMA DAN NRP MAHASISWA
 Ajeng Larasati
 0311164000027

JUDUL GAMBAR
 Denah Perencanaan
 Sambungan

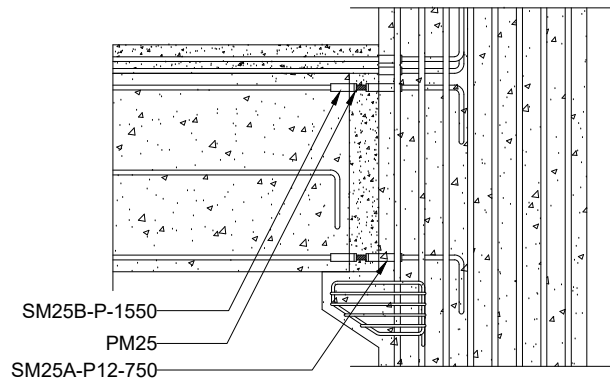
NO. GAMBAR
 43 / 60



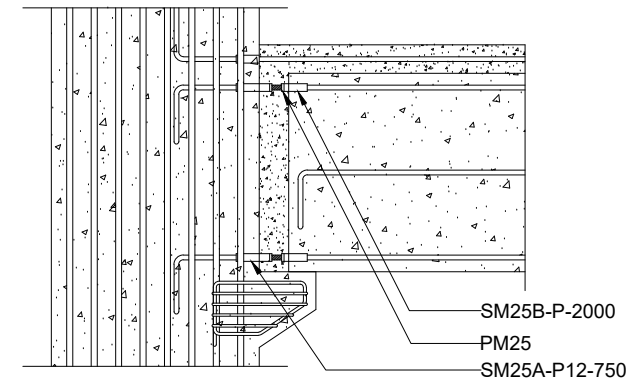
○ **SAMBUNGAN K 1 - BI 1 (DETAIL A)**
SKALA 1 : 40



○ **SAMBUNGAN K 1 - BI 2 (DETAIL B)**
SKALA 1 : 40



○ **SAMBUNGAN K 1 - BI 3 (DETAIL C)**
SKALA 1 : 40



○ **SAMBUNGAN K 1 - BI 7 (DETAIL D)**
SKALA 1 : 40



DEPARTEMEN TEKNIK SIPIL
FAKULTAS TEKNIK SIPIL, PERENCANAAN, DAN KEBUMIHAN
INSTITUT TEKNOLOGI SEPULUH NOPEMBER

JUDUL TUGAS AKHIR

Modifikasi Perencanaan Struktur Gedung
Fakultas Ekonomi dan Bisnis Universitas
Muhammadiyah Prof. Dr. Hamka Menggunakan
Elemen Pracetak dan Hollow Core Slab

DOSEN PEMBIMBING

Dr. techn. Pujo Aji, ST., MT.
Prof. Dr. Ir. IGP Raka, DEA.

**NAMA DAN NRP
MAHASISWA**

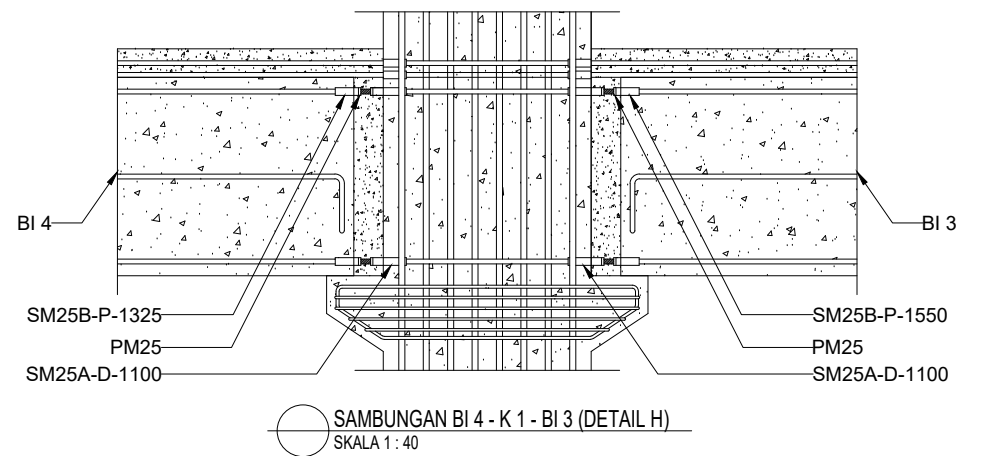
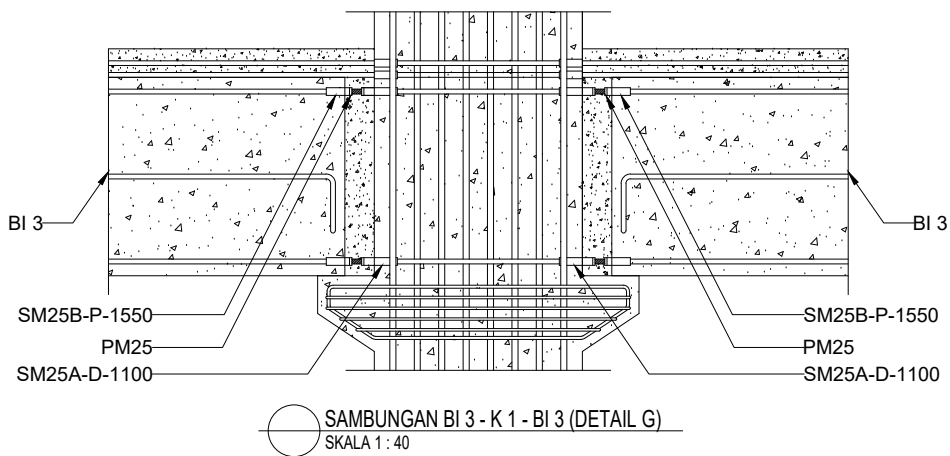
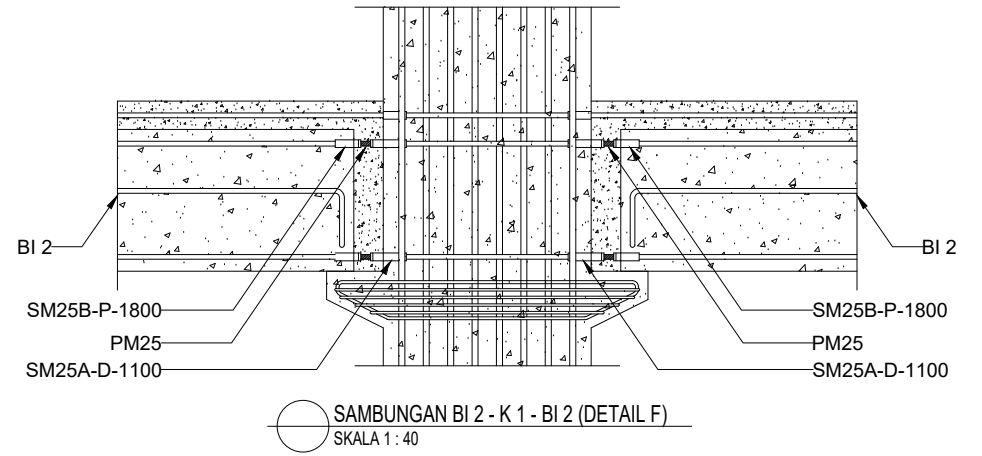
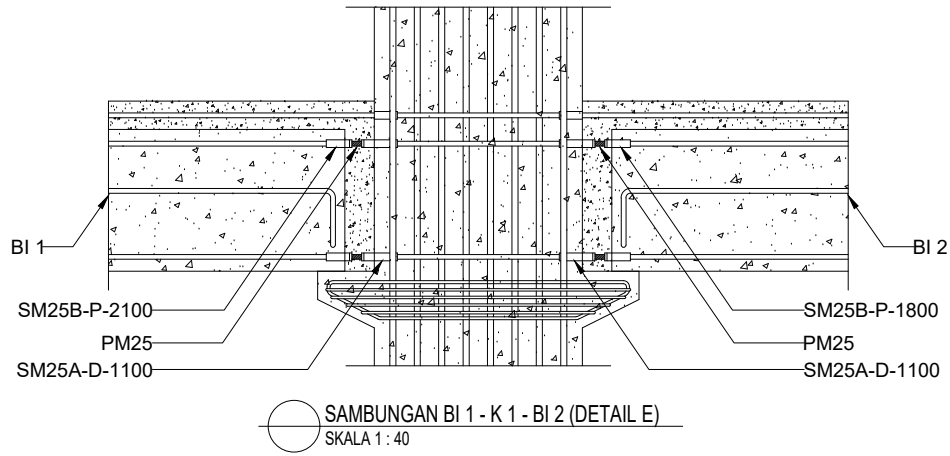
Ajeng Larasati
0311164000027

JUDUL GAMBAR

Detail Sambungan
Balok - Kolom

NO. GAMBAR

44 / 60



DEPARTEMEN TEKNIK SIPIL
FAKULTAS TEKNIK SIPIL, PERENCANAAN, DAN KEBUMIHAN
INSTITUT TEKNOLOGI SEPULUH NOPEMBER

JUDUL TUGAS AKHIR

Modifikasi Perencanaan Struktur Gedung
Fakultas Ekonomi dan Bisnis Universitas
Muhammadiyah Prof. Dr. Hamka Menggunakan
Elemen Pracetak dan Hollow Core Slab

DOSEN PEMBIMBING

Dr. techn. Pujo Aji, ST., MT.
Prof. Dr. Ir. IGP Raka, DEA.

NAMA DAN NRP
MAHASISWA

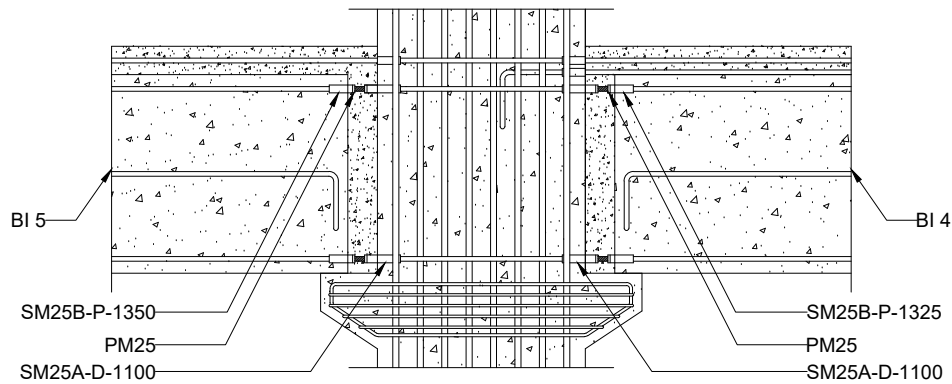
Ajeng Larasati
0311164000027

JUDUL GAMBAR

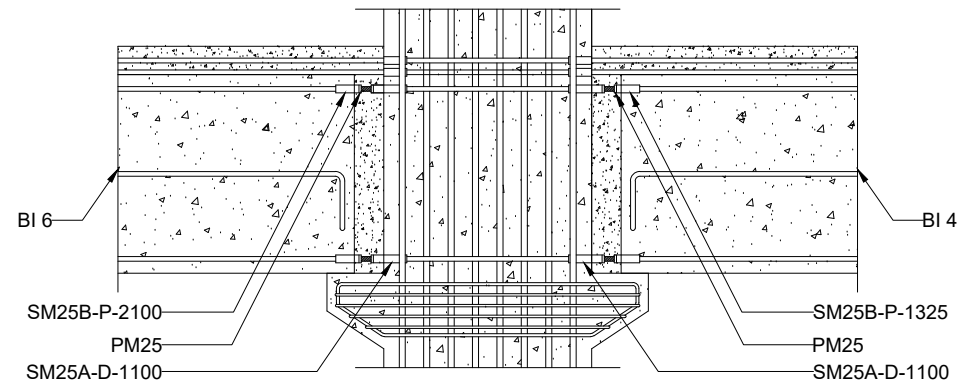
Detail Sambungan
Balok - Kolom

NO. GAMBAR

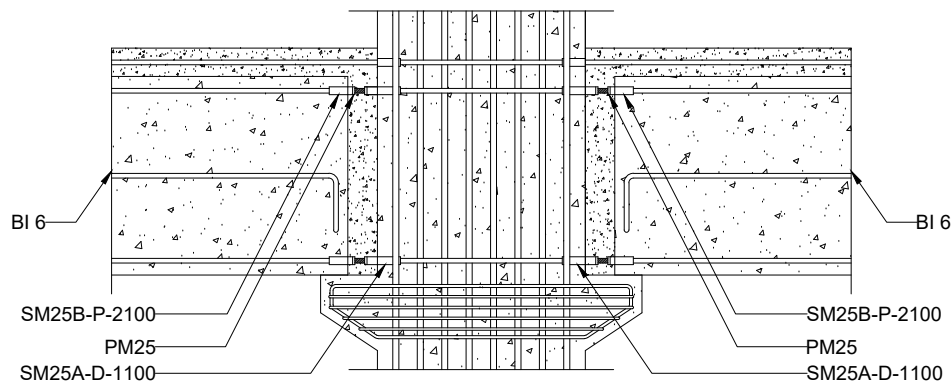
45 / 60



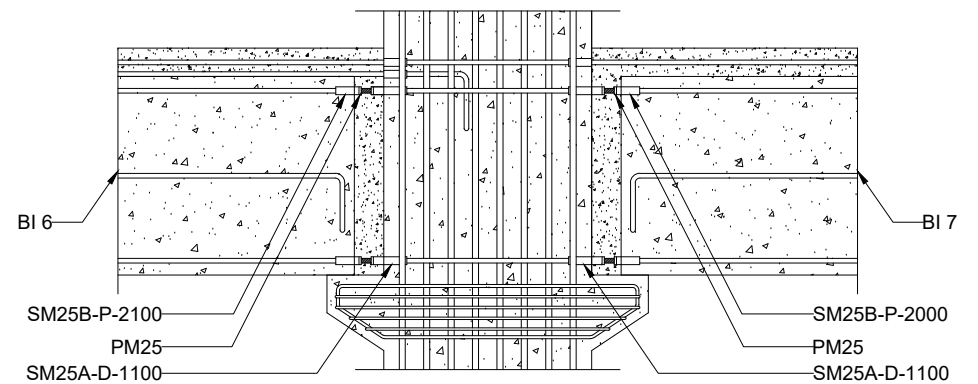
SAMBUNGAN BI 5 - K 1 - BI 4 (DETAIL I)
SKALA 1 : 40



SAMBUNGAN BI 6 - K 1 - BI 4 (DETAIL J)
SKALA 1 : 40



SAMBUNGAN BI 6 - K 1 - BI 6 (DETAIL K)
SKALA 1 : 40



SAMBUNGAN BI 6 - K 1 - BI 7 (DETAIL L)
SKALA 1 : 40



DEPARTEMEN TEKNIK SIPIL
FAKULTAS TEKNIK SIPIL, PERENCANAAN, DAN KEBUMIHAN
INSTITUT TEKNOLOGI SEPULUH NOPEMBER

JUDUL TUGAS AKHIR

Modifikasi Perencanaan Struktur Gedung
Fakultas Ekonomi dan Bisnis Universitas
Muhammadiyah Prof. Dr. Hamka Menggunakan
Elemen Pracetak dan Hollow Core Slab

DOSEN PEMBIMBING

Dr. techn. Pujo Aji, ST., MT.
Prof. Dr. Ir. IGP Raka, DEA.

NAMA DAN NRP
MAHASISWA

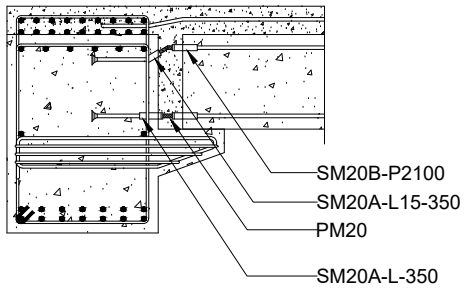
Ajeng Larasati
0311164000027

JUDUL GAMBAR

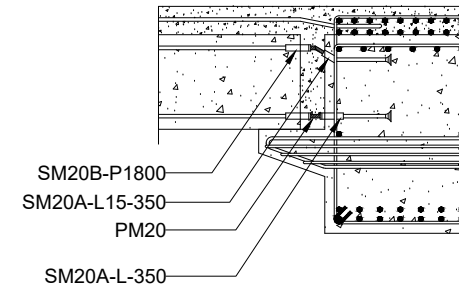
Detail Sambungan
Balok - Kolom

NO. GAMBAR

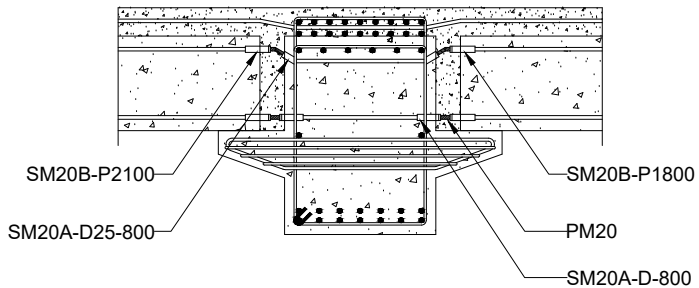
46 / 60



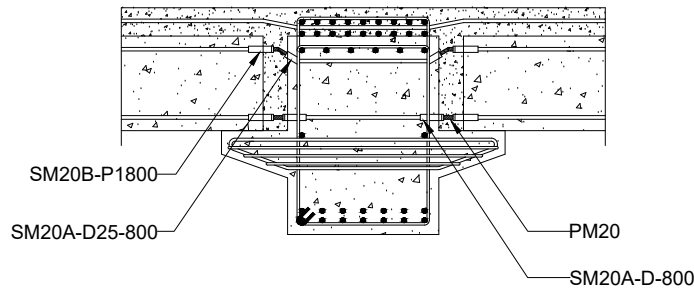
SAMBUNGAN BI 3 - BA 1 (DETAIL M)
SKALA 1 : 40



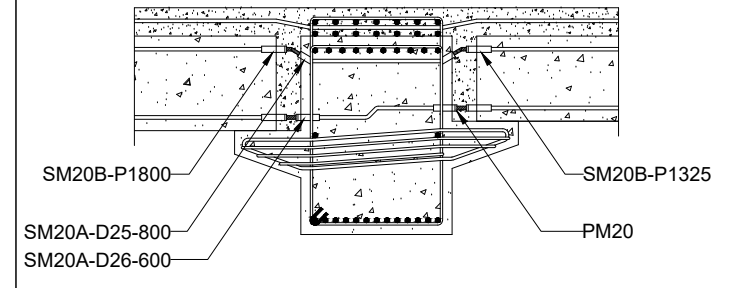
SAMBUNGAN BI 3 - BA 2 (DETAIL N)
SKALA 1 : 40



SAMBUNGAN BA 1 - BI 3 - BA 2 (DETAIL O)
SKALA 1 : 40



SAMBUNGAN BA 2 - BI 3 - BA 2 (DETAIL P)
SKALA 1 : 40



SAMBUNGAN BA 2 - BI 6 - BA 3 (DETAIL Q)
SKALA 1 : 40



DEPARTEMEN TEKNIK SIPIL
FAKULTAS TEKNIK SIPIL, PERENCANAAN, DAN KEBUMIHAN
INSTITUT TEKNOLOGI SEPULUH NOPEMBER

JUDUL TUGAS AKHIR

Modifikasi Perencanaan Struktur Gedung
Fakultas Ekonomi dan Bisnis Universitas
Muhammadiyah Prof. Dr. Hamka Menggunakan
Elemen Pracetak dan Hollow Core Slab

DOSEN PEMBIMBING

Dr. techn. Pujo Aji, ST., MT.
Prof. Dr. Ir. IGP Raka, DEA.

NAMA DAN NRP
MAHASISWA

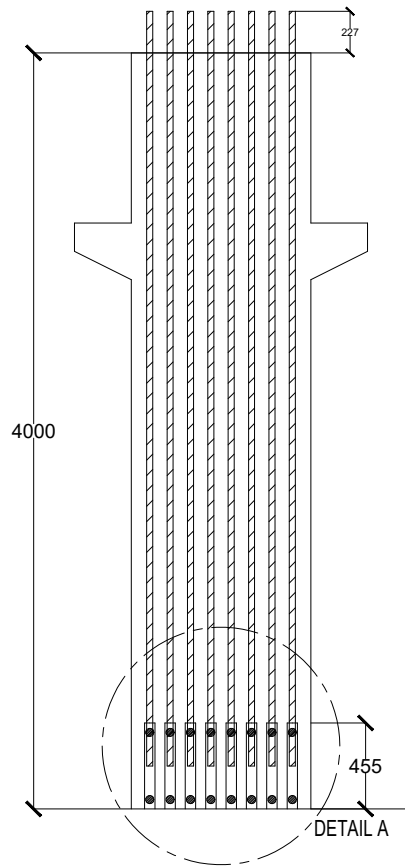
Ajeng Larasati
0311164000027

JUDUL GAMBAR

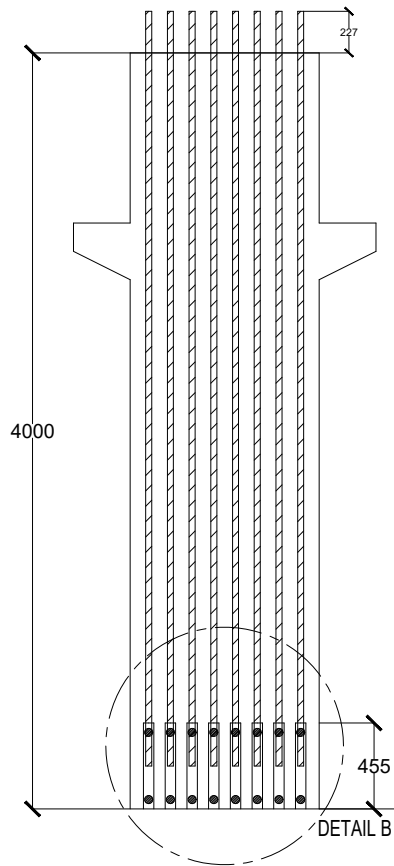
Detail Sambungan
Balok - Balok

NO. GAMBAR

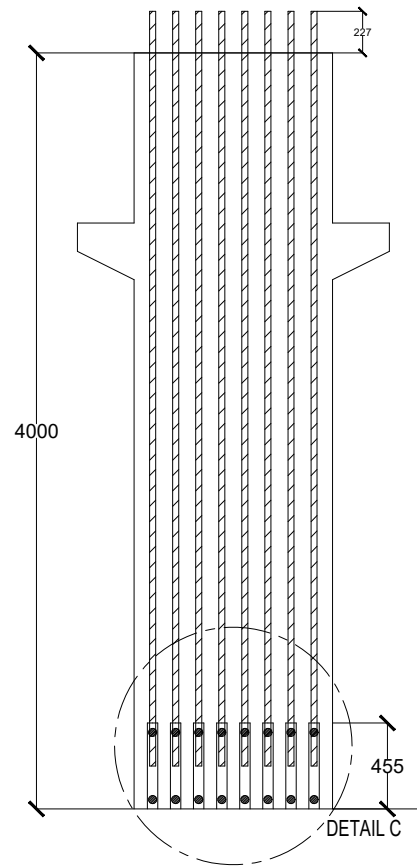
47 / 60



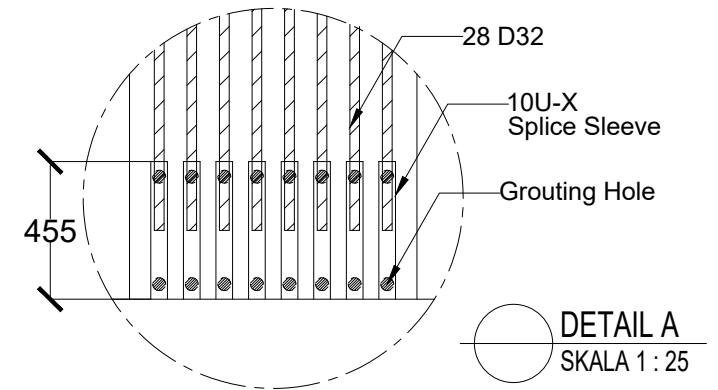
SAMBUNGAN K1
SKALA 1 : 40



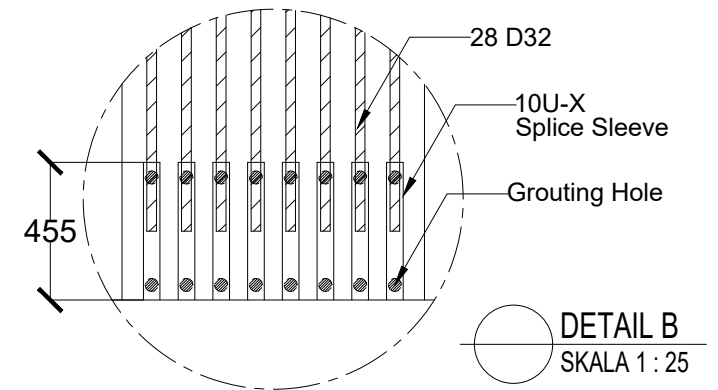
SAMBUNGAN K2
SKALA 1 : 40



SAMBUNGAN K3
SKALA 1 : 40



DETAIL A
SKALA 1 : 25



DETAIL B
SKALA 1 : 25



DEPARTEMEN TEKNIK SIPIL
FAKULTAS TEKNIK SIPIL, PERENCANAAN, DAN KEBUMIHAN
INSTITUT TEKNOLOGI SEPULUH NOPEMBER

JUDUL TUGAS AKHIR

Modifikasi Perencanaan Struktur Gedung
Fakultas Ekonomi dan Bisnis Universitas
Muhammadiyah Prof. Dr. Hamka Menggunakan
Elemen Pracetak dan Hollow Core Slab

DOSEN PEMBIMBING

Dr. techn. Pujo Aji, ST., MT.
Prof. Dr. Ir. IGP Raka, DEA.

NAMA DAN NRP
MAHASISWA

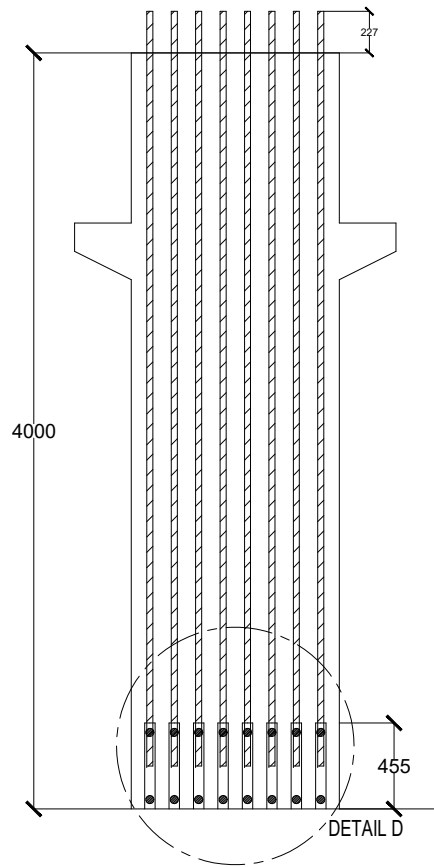
Ajeng Larasati
0311164000027

JUDUL GAMBAR

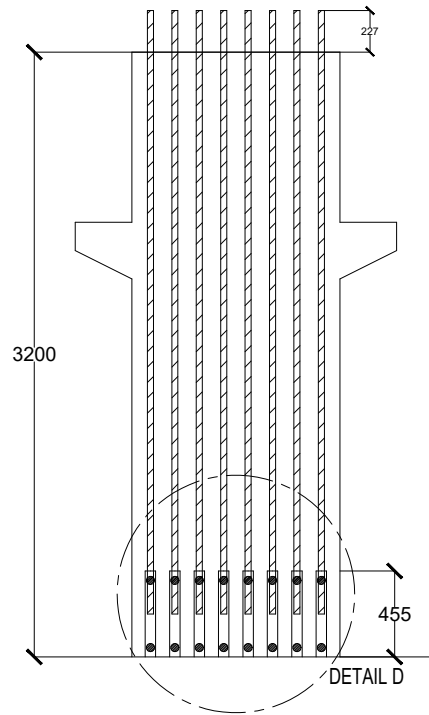
Detail Sambungan
Kolom - Kolom

NO. GAMBAR

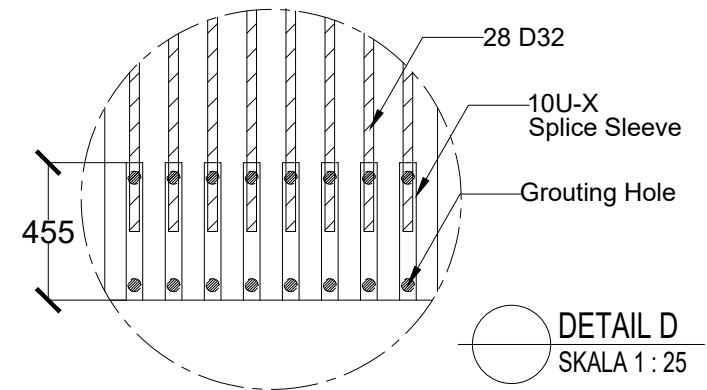
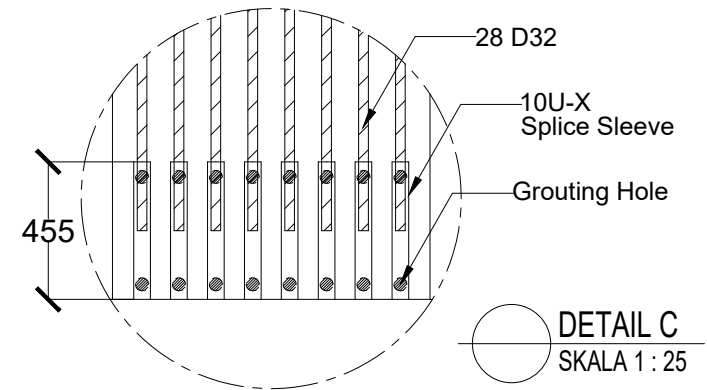
48 / 60



SAMBUNGAN K4
SKALA 1 : 40



SAMBUNGAN K5
SKALA 1 : 40



DEPARTEMEN TEKNIK SIPIL
FAKULTAS TEKNIK SIPIL, PERENCANAAN, DAN KEBUMIHAN
INSTITUT TEKNOLOGI SEPULUH NOPEMBER

JUDUL TUGAS AKHIR

Modifikasi Perencanaan Struktur Gedung
Fakultas Ekonomi dan Bisnis Universitas
Muhammadiyah Prof. Dr. Hamka Menggunakan
Elemen Pracetak dan Hollow Core Slab

DOSEN PEMBIMBING

Dr. techn. Pujo Aji, ST., MT.
Prof. Dr. Ir. IGP Raka, DEA.

NAMA DAN NRP
MAHASISWA

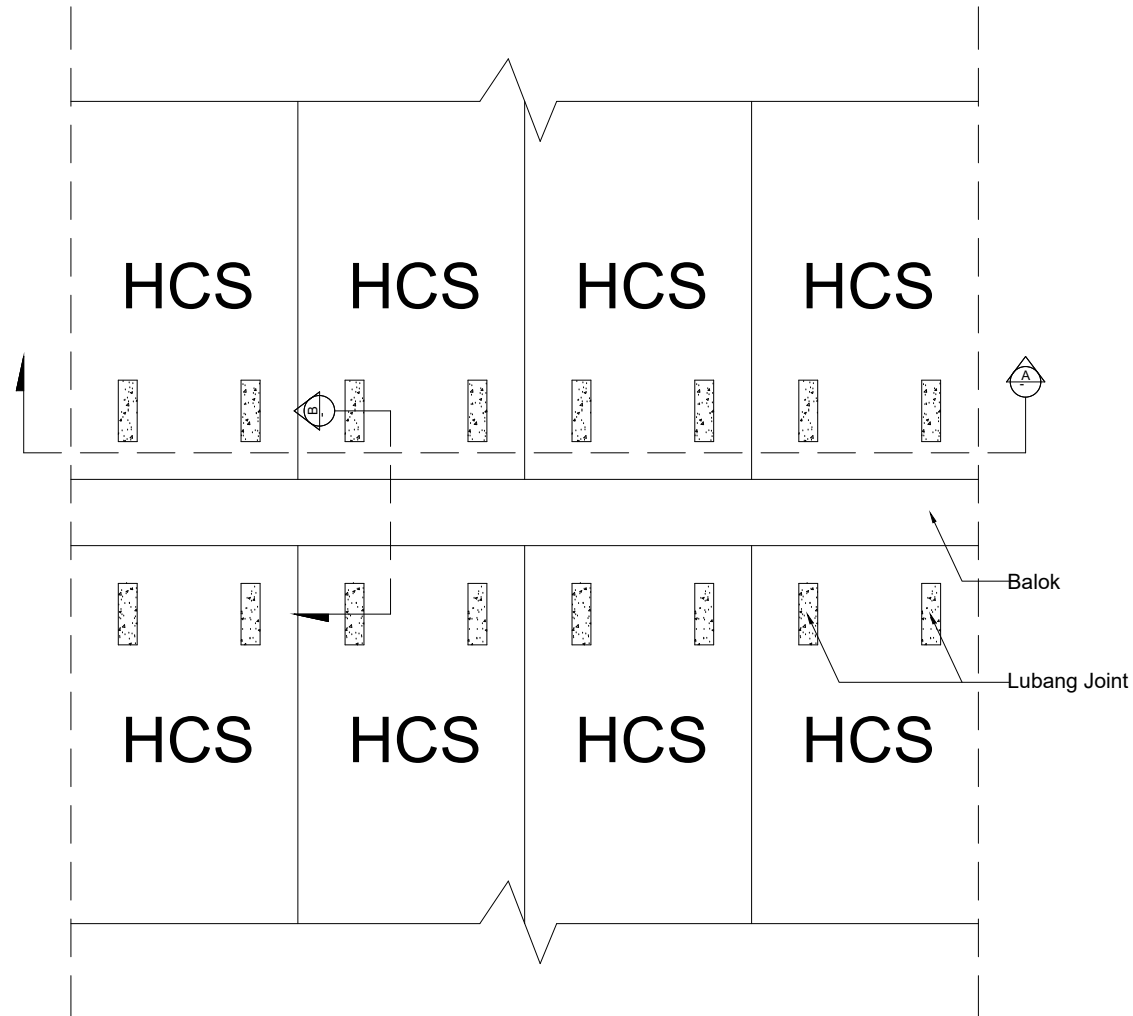
Ajeng Larasati
0311164000027

JUDUL GAMBAR

Detail Sambungan
Kolom - Kolom

NO. GAMBAR

49 / 60



TAMPAK ATAS SAMBUNGAN PELAT
SKALA 1 : 40



DEPARTEMEN TEKNIK SIPIL
FAKULTAS TEKNIK SIPIL, PERENCANAAN, DAN KEBUMIHAN
INSTITUT TEKNOLOGI SEPULUH NOPEMBER

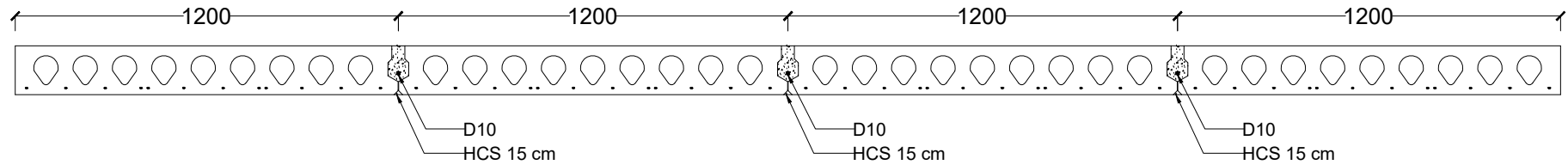
JUDUL TUGAS AKHIR
Modifikasi Perencanaan Struktur Gedung
Fakultas Ekonomi dan Bisnis Universitas
Muhammadiyah Prof. Dr. Hamka Menggunakan
Elemen Pracetak dan Hollow Core Slab

DOSEN PEMBIMBING
Dr. techn. Pujo Aji, ST., MT.
Prof. Dr. Ir. IGP Raka, DEA.

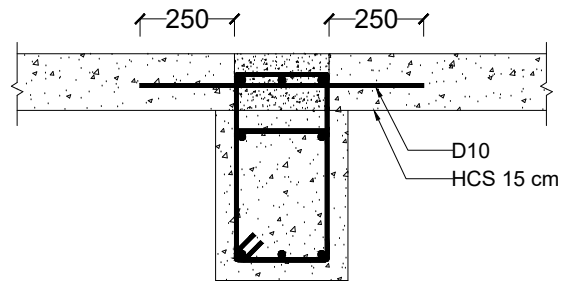
NAMA DAN NRP
MAHASISWA
Ajeng Larasati
0311164000027

JUDUL GAMBAR
Detail Sambungan
Balok Pelat

NO. GAMBAR
50 / 60



POTONGAN A-A
SKALA 1 : 20



POTONGAN B-B
SKALA 1 : 20



DEPARTEMEN TEKNIK SIPIL
FAKULTAS TEKNIK SIPIL, PERENCANAAN, DAN KEBUMIHAN
INSTITUT TEKNOLOGI SEPULUH NOPEMBER

JUDUL TUGAS AKHIR

Modifikasi Perencanaan Struktur Gedung
Fakultas Ekonomi dan Bisnis Universitas
Muhammadiyah Prof. Dr. Hamka Menggunakan
Elemen Pracetak dan Hollow Core Slab

DOSEN PEMBIMBING

Dr. techn. Pujo Aji, ST., MT.
Prof. Dr. Ir. IGP Raka, DEA.

NAMA DAN NRP
MAHASISWA

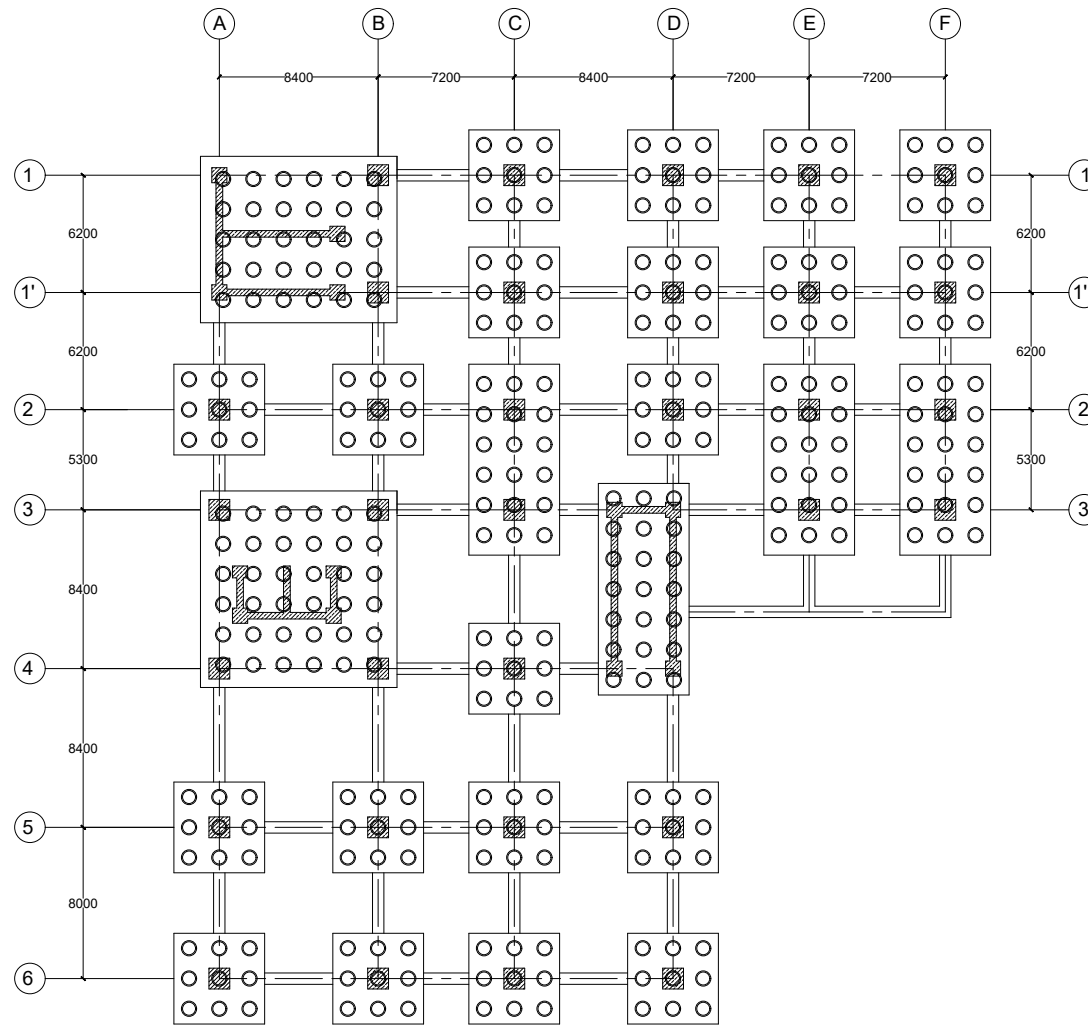
Ajeng Larasati
0311164000027

JUDUL GAMBAR

Detail Sambungan
Balok Pelat

NO. GAMBAR

51 / 60




DENAH PONDASI
 SKALA 1 : 400



DEPARTEMEN TEKNIK SIPIL
 FAKULTAS TEKNIK SIPIL, PERENCANAAN, DAN KEBUMIHAN
 INSTITUT TEKNOLOGI SEPULUH NOPEMBER

JUDUL TUGAS AKHIR

Modifikasi Perencanaan Struktur Gedung
 Fakultas Ekonomi dan Bisnis Universitas
 Muhammadiyah Prof. Dr. Hamka Menggunakan
 Elemen Pracetak dan Hollow Core Slab

DOSEN PEMBIMBING

Dr. techn. Pujo Aji, ST., MT.
 Prof. Dr. Ir. IGP Raka, DEA.

**NAMA DAN NRP
 MAHASISWA**

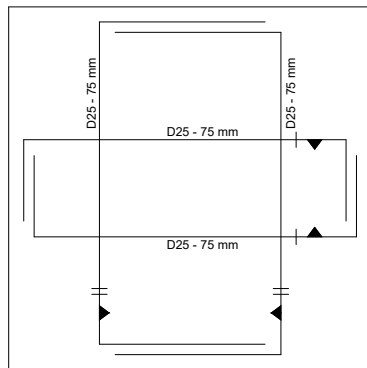
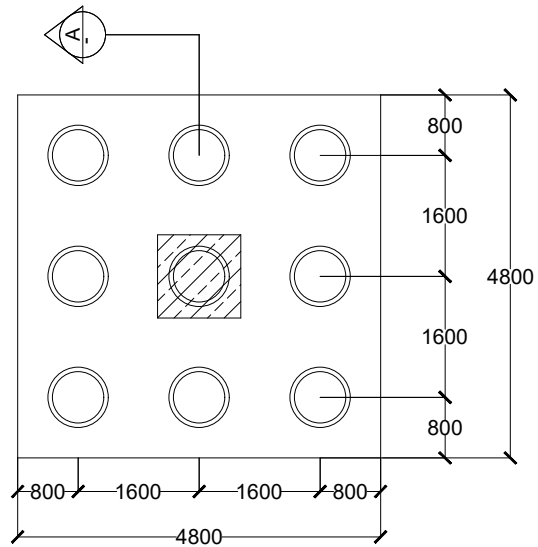
Ajeng Larasati
 0311164000027

JUDUL GAMBAR

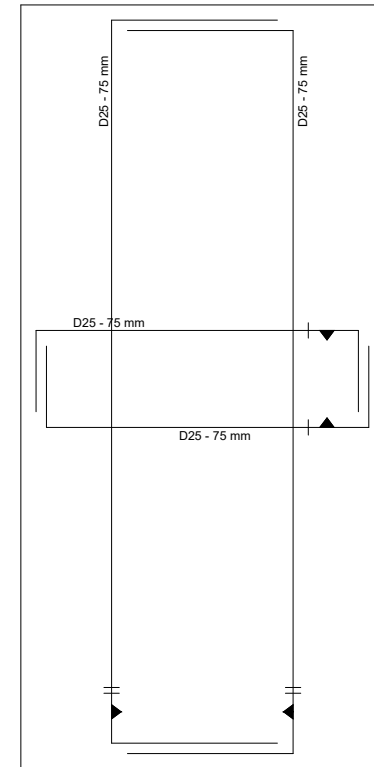
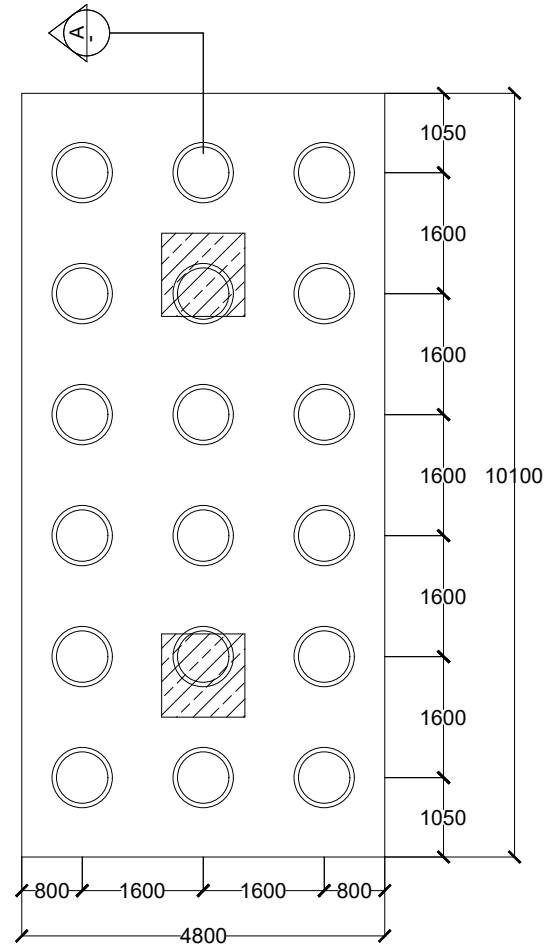
Denah Pondasi

NO. GAMBAR

52 / 60



 **PENULANGAN POER TIPE 1**
SKALA 1 : 100



 **PENULANGAN POER TIPE 2**
SKALA 1 : 100



DEPARTEMEN TEKNIK SIPIL
FAKULTAS TEKNIK SIPIL, PERENCANAAN, DAN KEBUMIHAN
INSTITUT TEKNOLOGI SEPULUH NOPEMBER

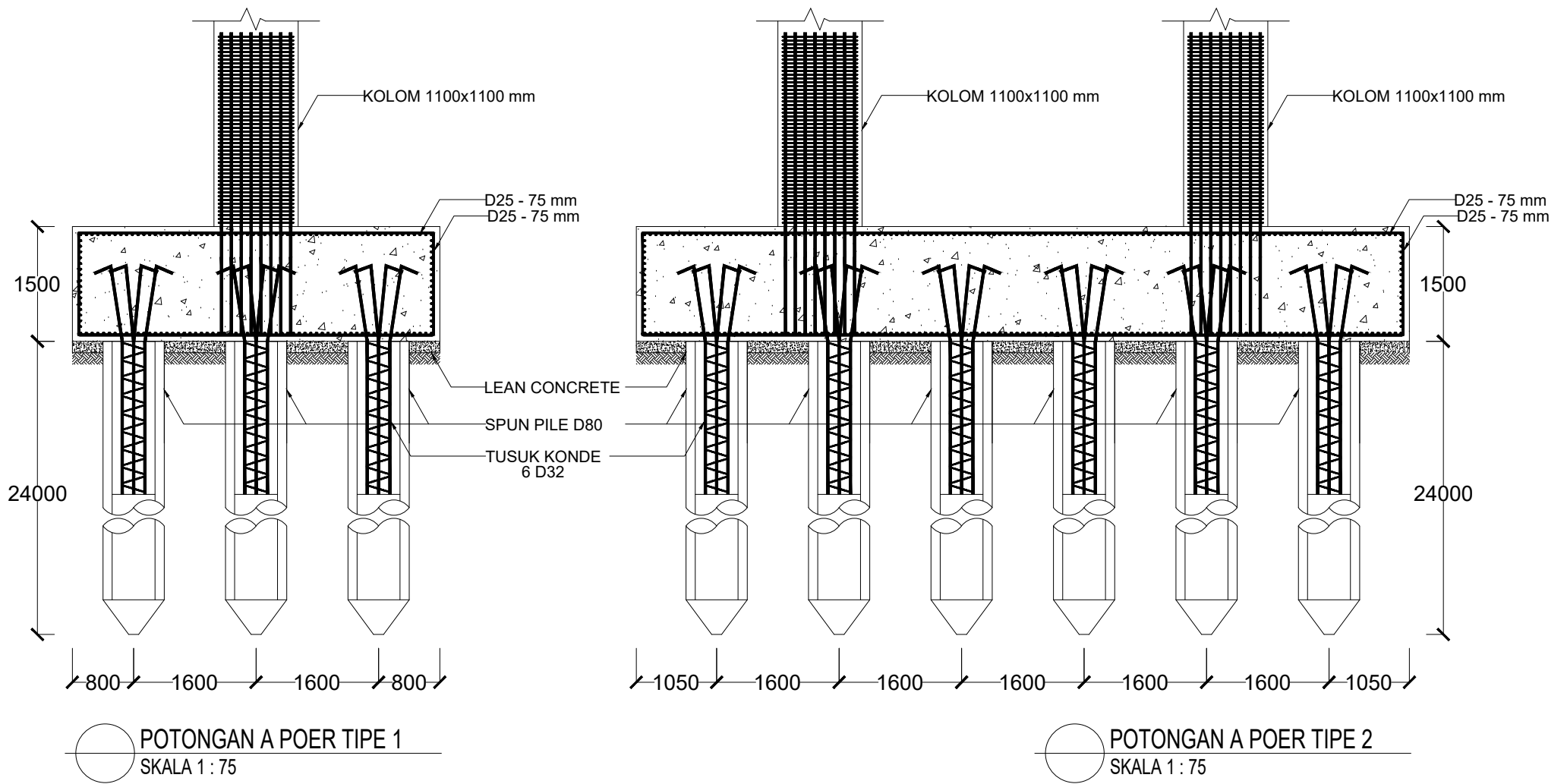
JUDUL TUGAS AKHIR
Modifikasi Perencanaan Struktur Gedung
Fakultas Ekonomi dan Bisnis Universitas
Muhammadiyah Prof. Dr. Hamka Menggunakan
Elemen Pracetak dan Hollow Core Slab

DOSEN PEMBIMBING
Dr. techn. Pujo Aji, ST., MT.
Prof. Dr. Ir. IGP Raka, DEA.

NAMA DAN NRP MAHASISWA
Ajeng Larasati
0311164000027

JUDUL GAMBAR
Detail Penulangan Pondasi

NO. GAMBAR
53 / 60



DEPARTEMEN TEKNIK SIPIL
FAKULTAS TEKNIK SIPIL, PERENCANAAN, DAN KEBUMIHAN
INSTITUT TEKNOLOGI SEPULUH NOPEMBER

JUDUL TUGAS AKHIR

Modifikasi Perencanaan Struktur Gedung
Fakultas Ekonomi dan Bisnis Universitas
Muhammadiyah Prof. Dr. Hamka Menggunakan
Elemen Pracetak dan Hollow Core Slab

DOSEN PEMBIMBING

Dr. techn. Pujo Aji, ST., MT.
Prof. Dr. Ir. IGP Raka, DEA.

NAMA DAN NRP
MAHASISWA

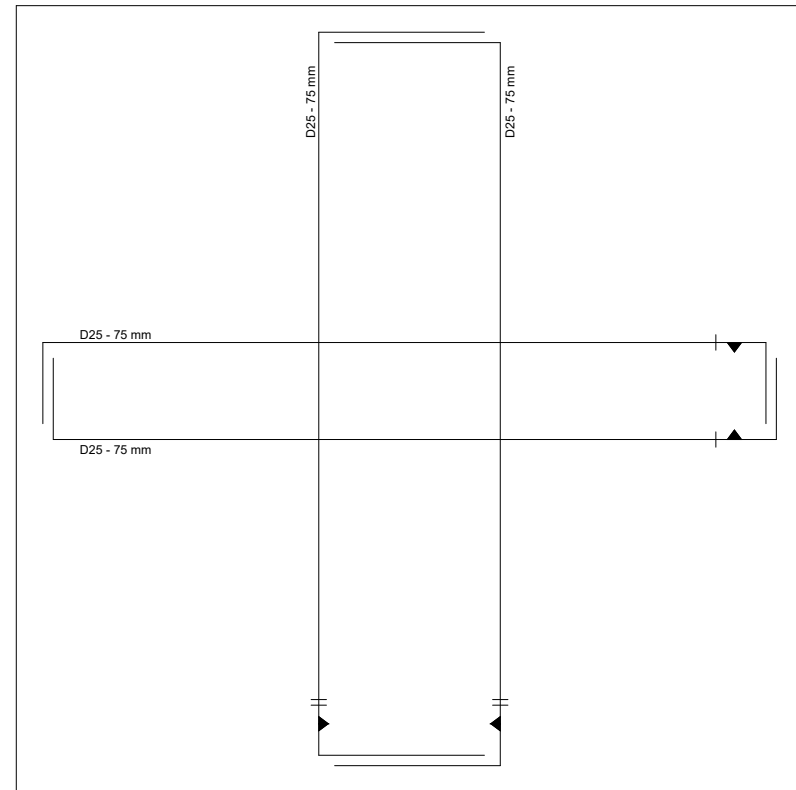
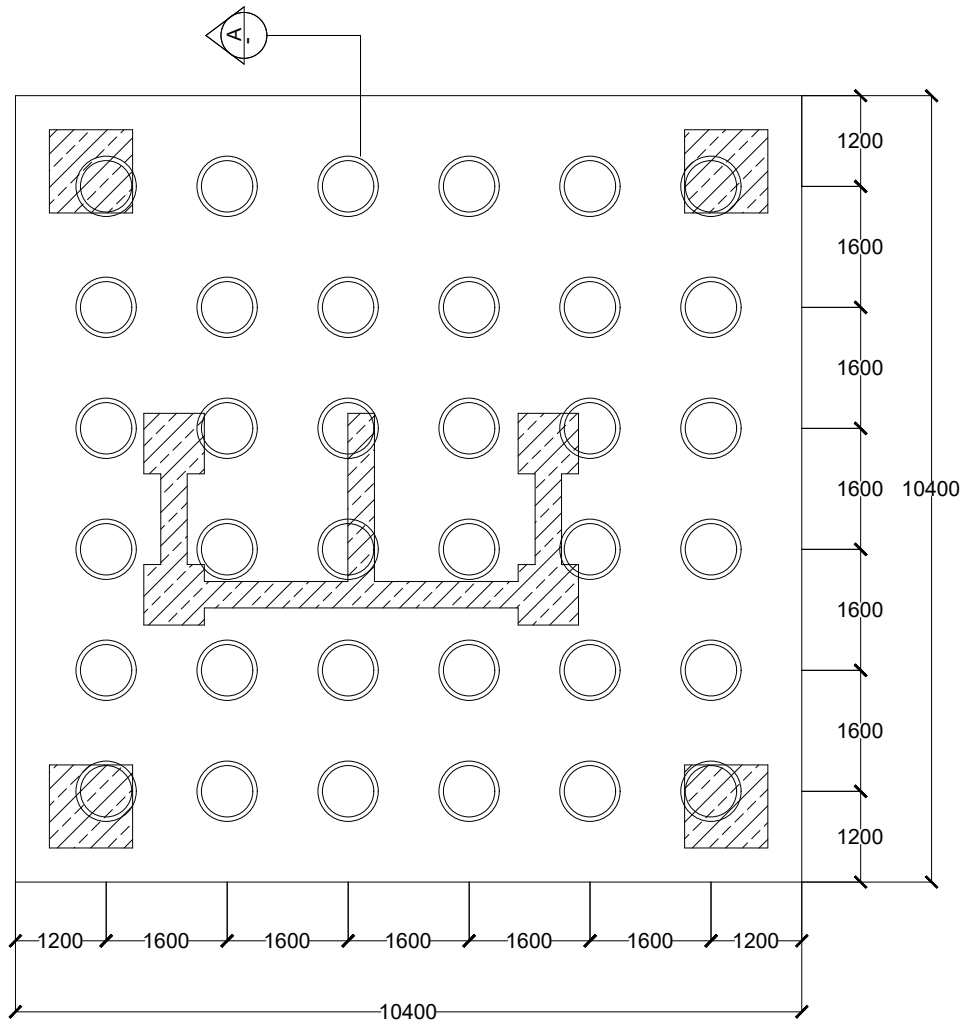
Ajeng Larasati
0311164000027

JUDUL GAMBAR

Detail Penulangan Pondasi

NO. GAMBAR

54 / 60




PENULANGAN POER TIPE 3
 SKALA 1 : 100



DEPARTEMEN TEKNIK SIPIL
 FAKULTAS TEKNIK SIPIL, PERENCANAAN, DAN KEBUMIHAN
 INSTITUT TEKNOLOGI SEPULUH NOPEMBER

JUDUL TUGAS AKHIR

Modifikasi Perencanaan Struktur Gedung
 Fakultas Ekonomi dan Bisnis Universitas
 Muhammadiyah Prof. Dr. Hamka Menggunakan
 Elemen Pracetak dan Hollow Core Slab

DOSEN PEMBIMBING

Dr. techn. Pujo Aji, ST., MT.
 Prof. Dr. Ir. IGP Raka, DEA.

NAMA DAN NRP MAHASISWA

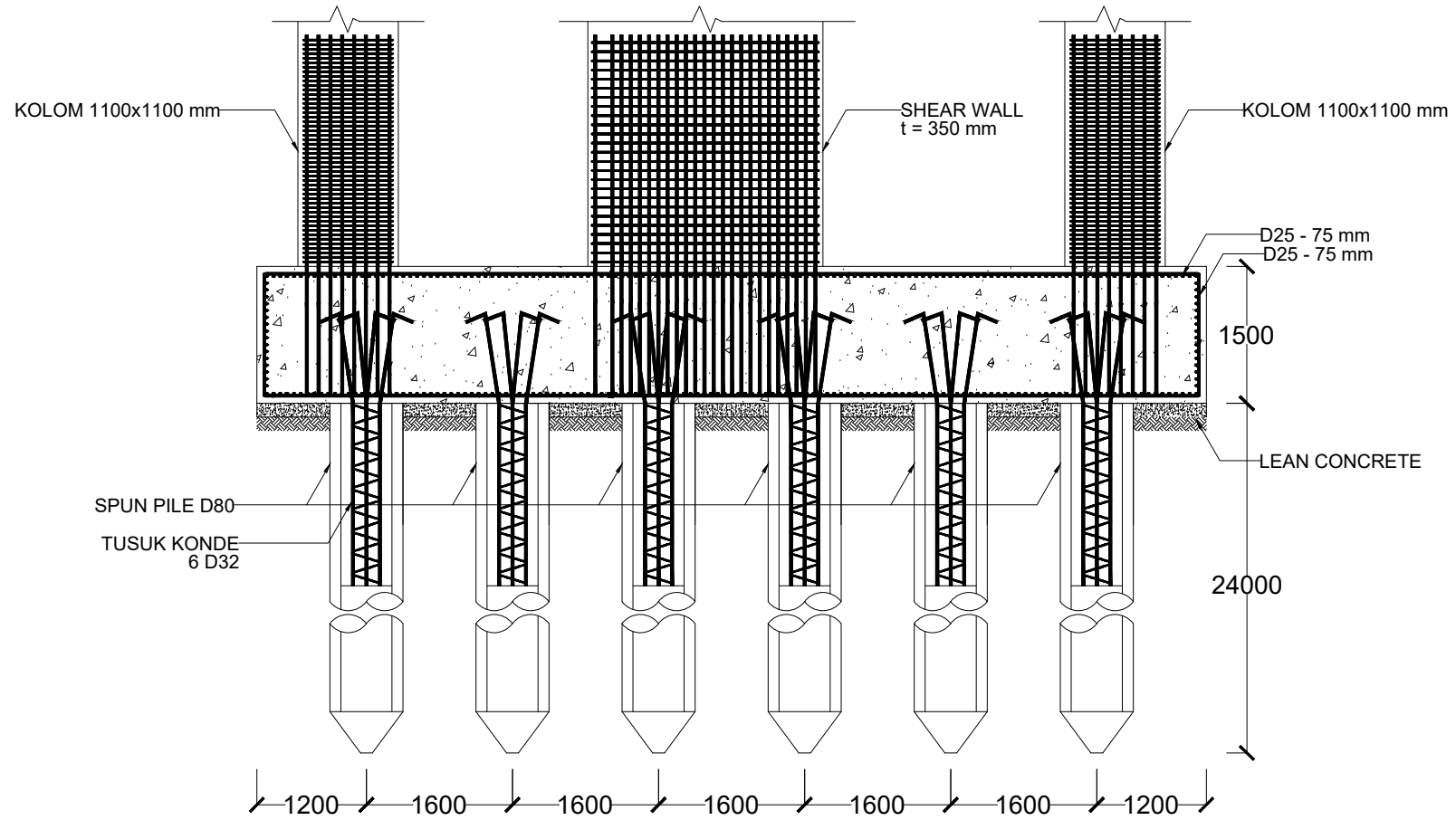
Ajeng Larasati
 0311164000027

JUDUL GAMBAR

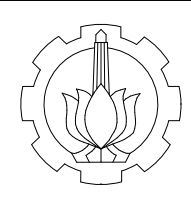
Detail Penulangan Pondasi

NO. GAMBAR

55 / 60



POTONGAN A POER TIPE 3
SKALA 1 : 75



DEPARTEMEN TEKNIK SIPIL
FAKULTAS TEKNIK SIPIL, PERENCANAAN, DAN KEBUMIHAN
INSTITUT TEKNOLOGI SEPULUH NOPEMBER

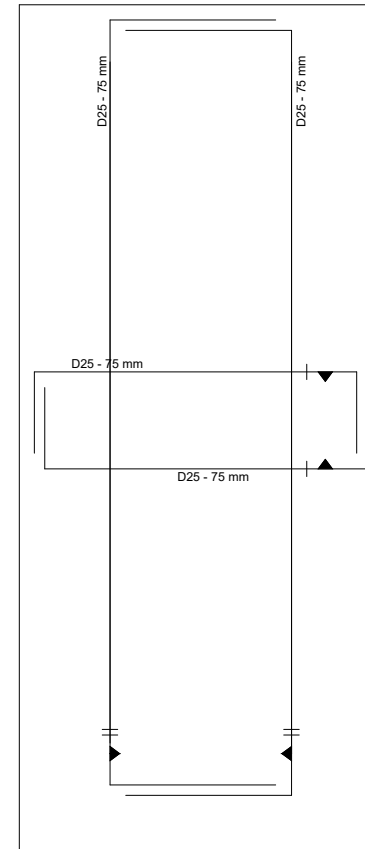
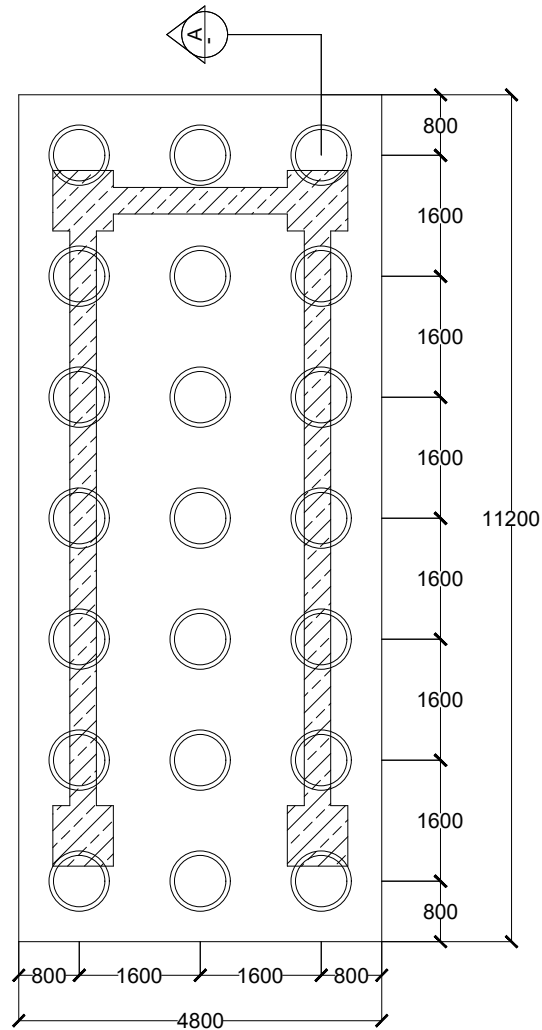
JUDUL TUGAS AKHIR
Modifikasi Perencanaan Struktur Gedung
Fakultas Ekonomi dan Bisnis Universitas
Muhammadiyah Prof. Dr. Hamka Menggunakan
Elemen Pracetak dan Hollow Core Slab

DOSEN PEMBIMBING
Dr. techn. Pujo Aji, ST., MT.
Prof. Dr. Ir. IGP Raka, DEA.

NAMA DAN NRP
MAHASISWA
Ajeng Larasati
0311164000027

JUDUL GAMBAR
Detail Penulangan Pondasi

NO. GAMBAR
56 / 60




PENULANGAN POER TIPE 4
 SKALA 1 : 100



DEPARTEMEN TEKNIK SIPIL
 FAKULTAS TEKNIK SIPIL, PERENCANAAN, DAN KEBUMIHAN
 INSTITUT TEKNOLOGI SEPULUH NOPEMBER

JUDUL TUGAS AKHIR

Modifikasi Perencanaan Struktur Gedung
 Fakultas Ekonomi dan Bisnis Universitas
 Muhammadiyah Prof. Dr. Hamka Menggunakan
 Elemen Pracetak dan Hollow Core Slab

DOSEN PEMBIMBING

Dr. techn. Pujo Aji, ST., MT.
 Prof. Dr. Ir. IGP Raka, DEA.

**NAMA DAN NRP
 MAHASISWA**

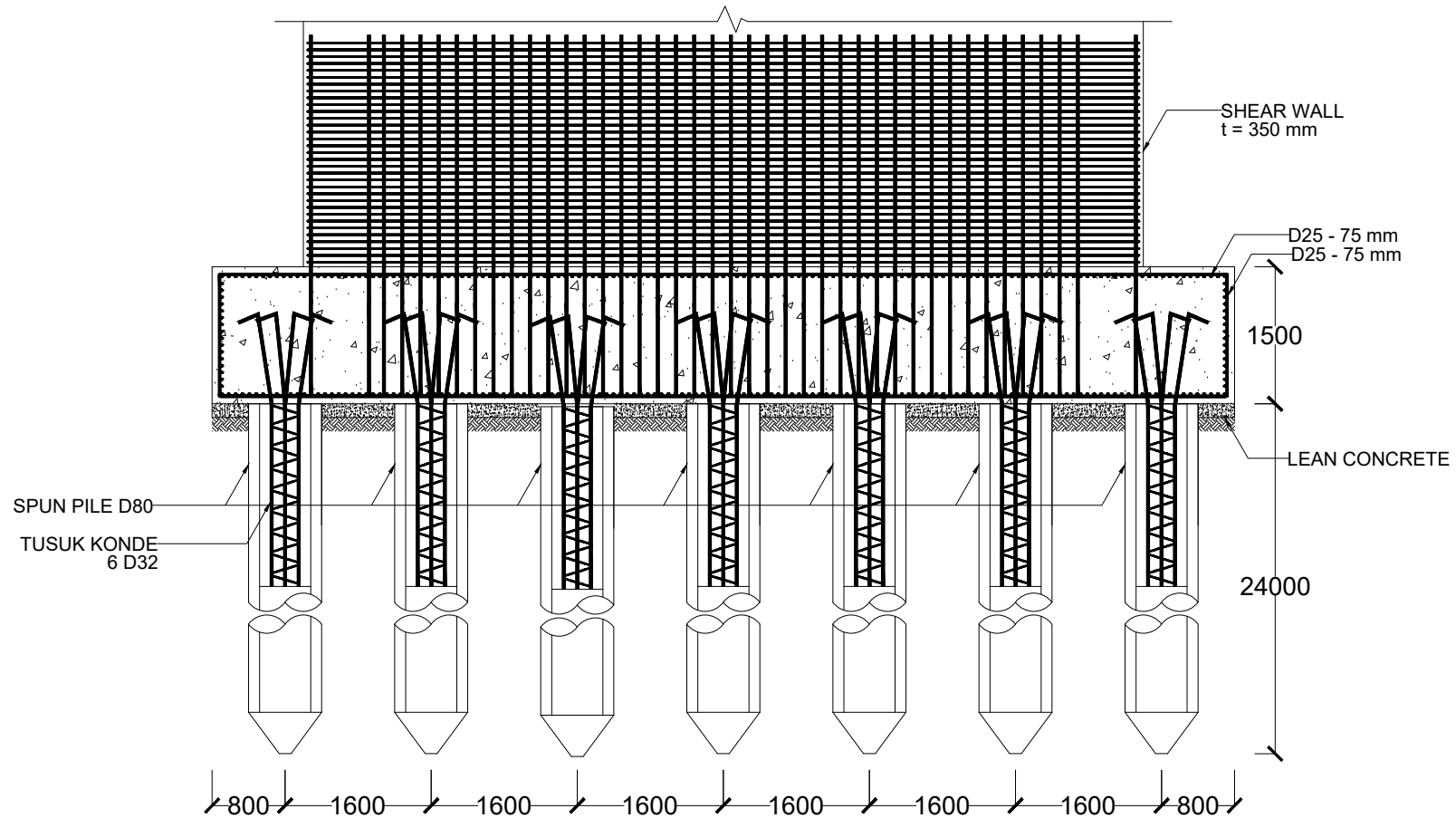
Ajeng Larasati
 0311164000027

JUDUL GAMBAR

Detail Penulangan Pondasi

NO. GAMBAR

57 / 60



POTONGAN A POER TIPE 4
SKALA 1 : 75



DEPARTEMEN TEKNIK SIPIL
FAKULTAS TEKNIK SIPIL, PERENCANAAN, DAN KEBUMIHAN
INSTITUT TEKNOLOGI SEPULUH NOPEMBER

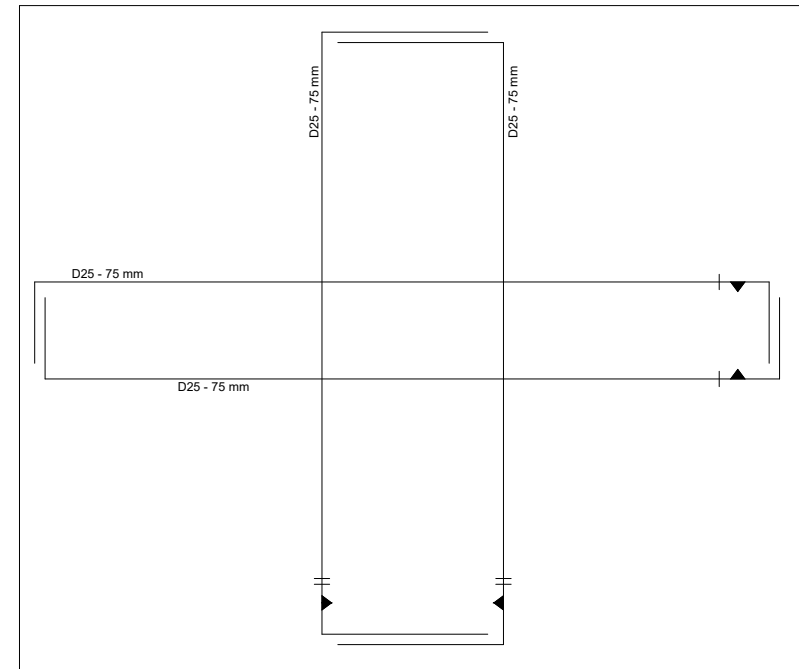
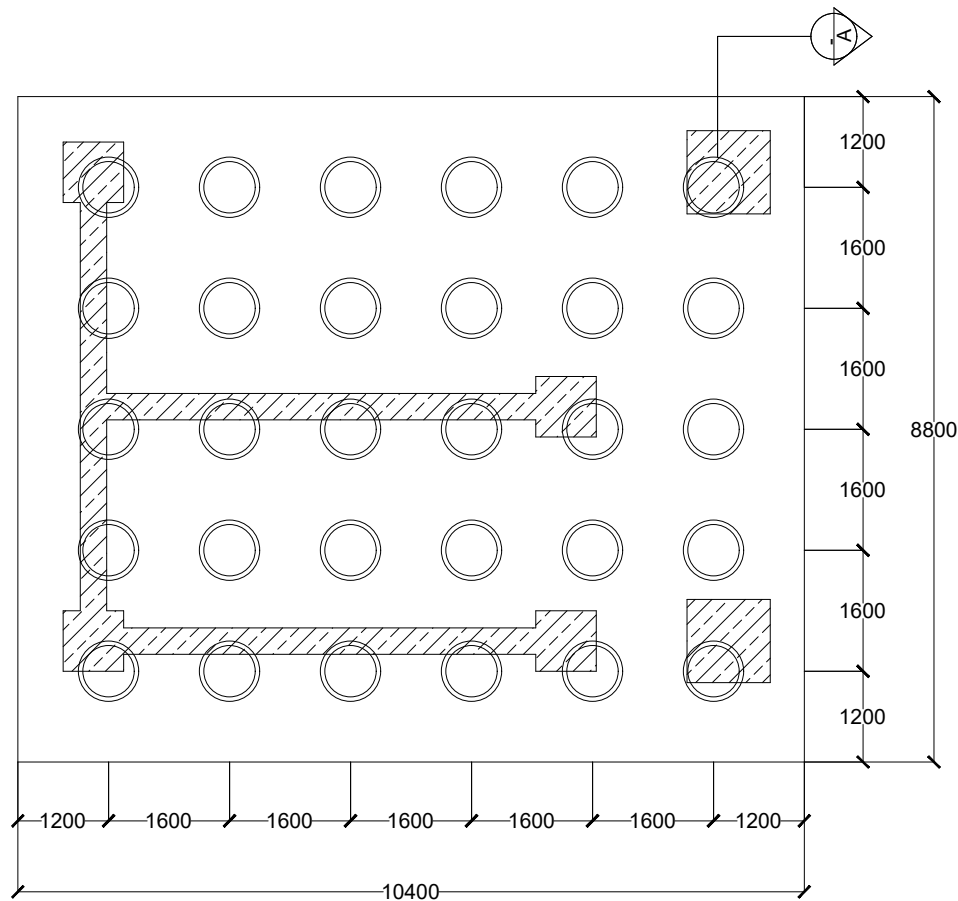
JUDUL TUGAS AKHIR
Modifikasi Perencanaan Struktur Gedung
Fakultas Ekonomi dan Bisnis Universitas
Muhammadiyah Prof. Dr. Hamka Menggunakan
Elemen Pracetak dan Hollow Core Slab

DOSEN PEMBIMBING
Dr. techn. Pujo Aji, ST., MT.
Prof. Dr. Ir. IGP Raka, DEA.

NAMA DAN NRP
MAHASISWA
Ajeng Larasati
0311164000027

JUDUL GAMBAR
Detail Penulangan Pondasi

NO. GAMBAR
58 / 60




PENULANGAN POER TIPE 5
 SKALA 1 : 100



DEPARTEMEN TEKNIK SIPIL
 FAKULTAS TEKNIK SIPIL, PERENCANAAN, DAN KEBUMIHAN
 INSTITUT TEKNOLOGI SEPULUH NOPEMBER

JUDUL TUGAS AKHIR

Modifikasi Perencanaan Struktur Gedung
 Fakultas Ekonomi dan Bisnis Universitas
 Muhammadiyah Prof. Dr. Hamka Menggunakan
 Elemen Pracetak dan Hollow Core Slab

DOSEN PEMBIMBING

Dr. techn. Pujo Aji, ST., MT.
 Prof. Dr. Ir. IGP Raka, DEA.

**NAMA DAN NRP
 MAHASISWA**

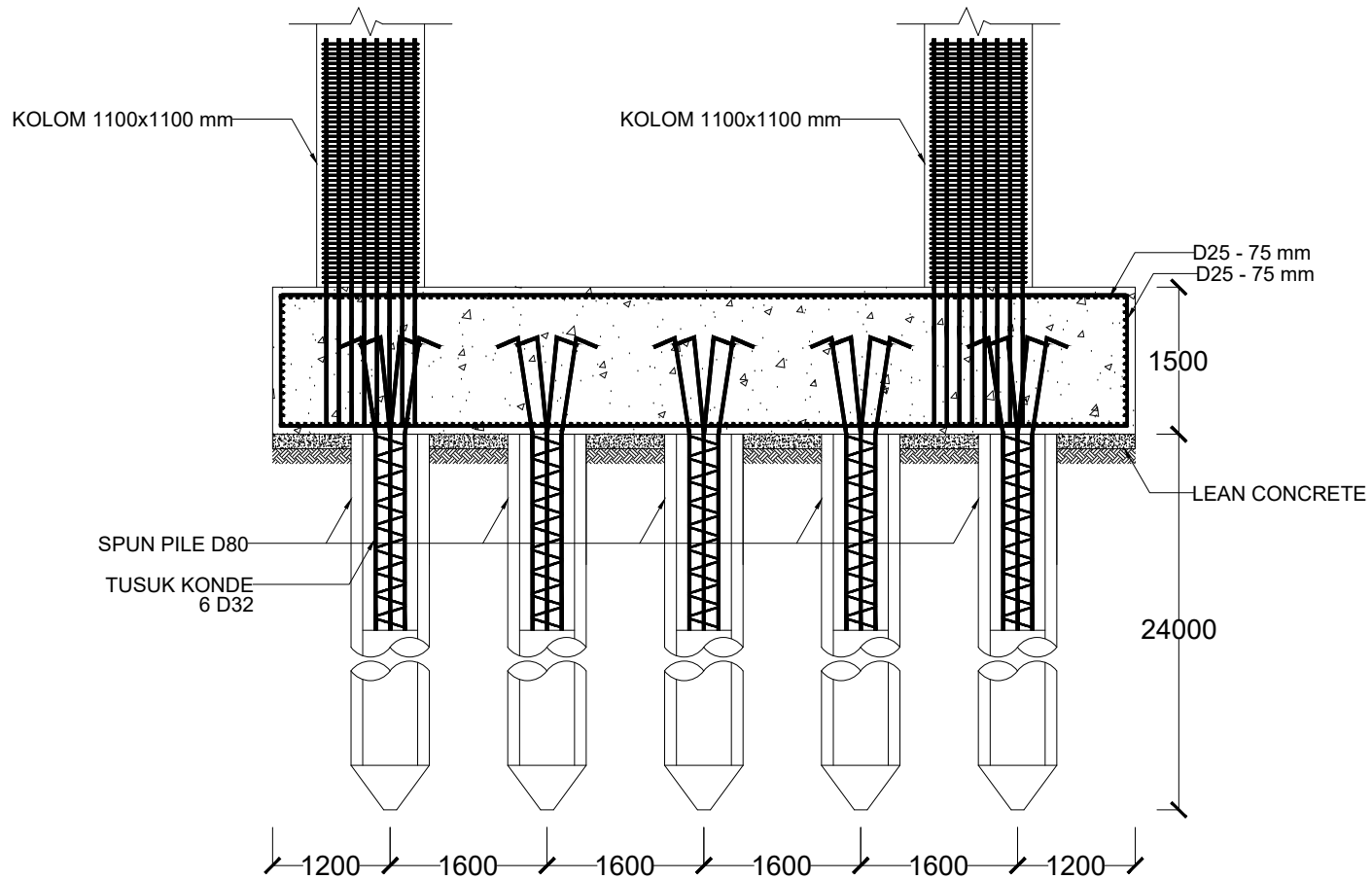
Ajeng Larasati
 0311164000027

JUDUL GAMBAR

Detail Penulangan Pondasi

NO. GAMBAR

59 / 60



POTONGAN A POER TIPE 5
SKALA 1 : 75



DEPARTEMEN TEKNIK SIPIL
FAKULTAS TEKNIK SIPIL, PERENCANAAN, DAN KEBUMIHAN
INSTITUT TEKNOLOGI SEPULUH NOPEMBER

JUDUL TUGAS AKHIR
Modifikasi Perencanaan Struktur Gedung
Fakultas Ekonomi dan Bisnis Universitas
Muhammadiyah Prof. Dr. Hamka Menggunakan
Elemen Pracetak dan Hollow Core Slab

DOSEN PEMBIMBING
Dr. techn. Pujo Aji, ST., MT.
Prof. Dr. Ir. IGP Raka, DEA.

NAMA DAN NRP
MAHASISWA
Ajeng Larasati
0311164000027

JUDUL GAMBAR
Detail Penulangan Pondasi

NO. GAMBAR
60 / 60

BIODATA PENULIS



Penulis bernama lengkap Ajeng Larasati, dilahirkan di Surabaya pada tanggal 13 Juli 1998 merupakan anak pertama dari dua bersaudara. Penulis menempuh pendidikan formal di TK Kristen Petra 13 Surabaya, SD Kristen Petra 13 Surabaya, SMP Kristen Petra 5 Surabaya, dan SMA Negeri 15 Surabaya. Setelah lulus dari SMA, penulis diterima di Departemen Teknik Sipil FTSPK-ITS pada tahun 2016 melalui jalur SNMPTN dan terdaftar dengan NRP 03111640000027. Semasa kuliah, penulis aktif mengikuti kegiatan organisasi terutama di Himpunan Mahasiswa Sipil sebagai Bendahara pada periode kepengurusan 2017/2018 sampai 2018/2019. Selain itu penulis juga kerap berpartisipasi dalam kepanitiaan pada acara himpunan dan departemen.